



Universidad
Zaragoza

Trabajo Fin de Máster

Conjunto residencial para Seniors
Housing complex for Seniors

Autora

María Angosto Ayerbe

Director

Luis Franco Lahoz

EINA Escuela de Ingeniería y Arquitectura
2018



(Este documento debe acompañar al Trabajo Fin de Grado (TFG)/Trabajo Fin de Máster (TFM) cuando sea depositado para su evaluación).

D./D^a. María Angosto Ayerbe,

con nº de DNI 73017470Z en aplicación de lo dispuesto en el art.

14 (Derechos de autor) del Acuerdo de 11 de septiembre de 2014, del Consejo

de Gobierno, por el que se aprueba el Reglamento de los TFG y TFM de la

Universidad de Zaragoza,

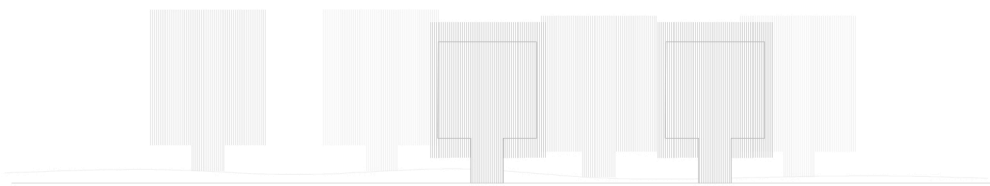
Declaro que el presente Trabajo de Fin de (Grado/Máster)
Máster _____, (Título del Trabajo)

Conjunto residencial para Seniors

es de mi autoría y es original, no habiéndose utilizado fuente sin ser citada debidamente.

Zaragoza, 21 de Noviembre de 2018

Fdo: María Angosto Ayerbe



La última casa

Conjunto residencial para Seniors en el Parque del Agua

Proyecto de ejecución. Autora: María Angosto Ayerbe

Trabajo Fin de Máster, Universidad de Zaragoza. Noviembre de 2018

Director Luis Franco Lahoz | Codirector: Mariano Pemán Gavín

MEMORIA

MEMORIA DESCRIPTIVA

1

1. Agentes intervinientes
2. Antecedentes
3. Descripción general del proyecto

MEMORIA CONSTRUCTIVA

24

1. Sustentación del edificio
2. Sistema estructural
3. Sistema de envolvente
4. Sistema de compartimentación
5. Sistema de acabados
6. Sistema de acondicionamientos e instalaciones

JUSTIFICACIÓN CUMPLIMIENTO DEL CTE

81

1. DB-SE, DB-SE-AE, DB-SE-C, DB-SE-A
2. DB-SI | Seguridad en caso de Incendio
3. DB-SUA | Seguridad de Utilización y Accesibilidad
4. DB-HS | Salubridad
5. DB-HR | Protección contra el ruido
6. DB-HE | Ahorro de energía. Certificado energético

ANEJO 1. CÁLCULO ESTRUCTURAL

PLANOS

1. Índice de planos

PLIEGO DE CONDICIONES

1. Pliego de prescripciones técnicas generales
2. Pliego de prescripciones técnicas particulares

PRESUPUESTO

MEMORIA

MEMORIA DESCRIPTIVA

MEMORIA DESCRIPTIVA

1. Agentes intervinientes

Promotor
Universidad de Zaragoza. Trabajo de Fin de Master

Proyectista
María Angosto Ayerbe

Otros técnicos
Luis Franco Lahoz, tutor del proyecto. Mariano Pemán Gavín, cotutor del proyecto.

2. Antecedentes

2.1. Encargo ¹

Una cooperativa de personas retiradas requiere al arquitecto la construcción de un conjunto residencial con servicios comunes en Zaragoza, con la finalidad de dejar atrás la casa convencional que han ocupado durante toda su vida adulta para imaginar un nuevo modelo de vivienda en la que desarrollar su nueva vida tras el retiro profesional.

2.2. El emplazamiento

El ámbito de actuación se localiza en una parcela en el lado norte del Parque Luis Buñuel (Parque del Agua), en la ciudad de Zaragoza. El terreno en el que se implanta el proyecto forma parte del barrio Actur, pero al mismo tiempo está integrado en un parque urbano que se proyectó con motivo de la Expo Zaragoza 2008 y que se adentra en el meandro del Ebro, acompañando al río y conectando los paseos de ribera y los espacios naturales del entorno semiurbano de la ciudad.

2.3. Condicionantes

La parcela presenta varios aspectos que deben tenerse en cuenta a la hora de aproximarse al desarrollo del proyecto, y es que la posición y la configuración del solar es algo compleja. La parcela tiene forma trapezoidal y presenta una pequeña pendiente Norte-Sur a lo largo de la misma.

El solar completa una banda de servicios públicos que se sitúan en el lado norte del parque. El primer límite físico se encuentra entre esta banda de servicios y el propio solar. Un muro de gaviones contiene los cinco metros de desnivel que separan la pequeña pradera que es el solar, del paseo peatonal situado en el borde Este. Paseo que, desde una cota muy superior, acompaña el final del parque a lo largo de un canal de agua que se adentra en el parque.

Los accesos peatonales desde el Este, provenientes del barrio Actur, descienden hasta la cota 197, cota del solar. Debido a la proximidad del terreno al río Ebro, no se permite la edificación por debajo de la cota 198,5.

2.4 Normativa Urbanística

En la elaboración de este informe de actividad sirve de base lo establecido en las siguientes normas y reglamentos:

¹ Presentación del ejercicio en el aula taller

Ordenación de la edificación

LEY 38/1999 de 5-nov-99, de la Jefatura del Estado
B.O.E.: 6-nov-99

Código Técnico de la Edificación

Real Decreto 314/2006, de 17-MAR-06, del Ministerio de Vivienda
B.O.E.: 28-mar-06
Entrada en vigor al día siguiente de su publicación en el B.O.E.

Modificación de la ley 38/199, de 5-nov-99, de Ordenación de la Edificación

Ley 53/2002 de 5-dic-02, (Art. 105), de Medidas Fiscales, Administrativas y del Orden Social,
de la Jefatura del Estado
B.O.E.: 31-dic-02

Norma Básica de la Edificación NBE-AE/88 "Acciones de la Edificación"

Real Decreto 1370/1988, de 11-nov-88, del Ministerio de Obras Públicas y Urbanismo.
B.O.E. 17-nov-88. Modifica parcialmente la antigua MV-101/62 "Acciones de la Edificación"
Decreto 195/1963 de 17-ene de M. de Vivienda.
B.O.E. 9-feb-63

Normas sobre la redacción de proyectos y dirección de obras de la edificación

Decreto 462/1971 de 11-mar-71, del Ministerio de Vivienda.
B.O.E. 24-mar-71

Pliego de condiciones técnicas de la dirección general de arquitectura

Orden de 04-jun-73, del Ministerio de Vivienda.
B.O.E.: 26-jun-73

3. Descripción general del proyecto

3.1. El usuario

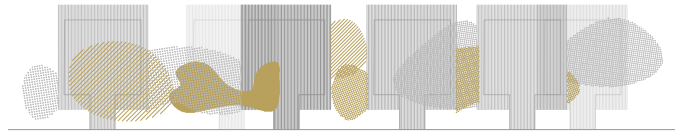
El usuario del Conjunto de viviendas para Seniors en el Parque del Agua es, sin duda, una persona que decide dejar atrás lo que siempre ha entendido como vivienda para formar parte de una experiencia diferente que nada tiene que ver con lo que se asocia con vivir en la ciudad.

Este Senior es una persona tranquila, que llegada a cierta edad decide alejarse del ruido de la ciudad, y del ritmo frenético de sus días de trabajo, para empezar de nuevo en un lugar retirado de ese bullicio. Pero a la vez, es un urbanita que no puede abandonar por completo la comodidad y la tranquilidad de vivir en un lugar que le proporciona los servicios e infraestructuras necesarios para llevar una vida cómoda y al mismo tiempo activa. Este Senior ha decidido vivir en la naturaleza, pero una naturaleza en definitiva impostada. Una naturaleza que ha sido moldeada por el hombre para adaptarla a las necesidades y los requerimientos de la vida moderna.

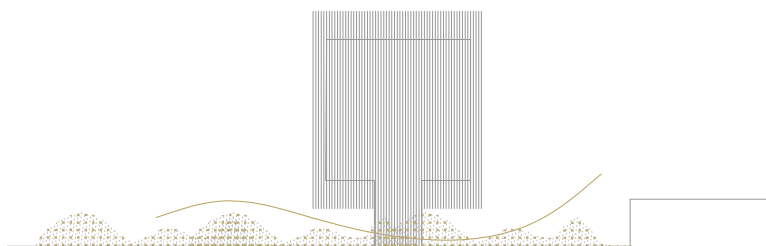
3.2 Relación con el entorno e idea de proyecto

El conjunto de viviendas para Seniors en el Parque del Agua nace de la oportunidad de vivir en la naturaleza en un entorno próximo a la ciudad. Una naturaleza construida en el que aún son visibles las reminiscencias de un pasado agrícola, y que ahora combina ese trazado desdibujado de terrazas, acequias y bancales rurales, con caminos sinuosos, sendas y arbolado lineal introducido en el paisaje por el hombre.

Es precisamente la construcción del paisaje lo que busca el proyecto. Un paisaje construido que ya no es naturaleza libre sino parque. El Senior busca habitar en el parque, vivir el parque.



De este modo, la estrategia de ocupación sugiere la creación de una construcción fragmentada y expansiva, pensando el proyecto como un juego de piezas que se levantan sobre plano del suelo dejando lugar a un espacio continuo en el que la vida en comunidad se vive en el jardín. La naturaleza abraza el proyecto dejando el carácter privado de la vivienda para el plano elevado. El propio proyecto es reflejo del carácter del usuario. Busca vivir en comunidad, se relaciona, pero mantiene su refugio, su lugar privado, su casa, en lo alto. Sólo para él.



La aproximación al solar comienza por romper esa barrera que crea el muro de gaviones y la gran diferencia de cota. Levantando el volumen del plano del suelo no solo se crea un espacio público

debajo, si no que se elevan las viviendas sobre esa primera barrera y los árboles quedan ligados al nivel suelo, formando parte del jardín y armando la trama de las piezas.

Los trazados sinuosos y las reminiscencias ortogonales sobre las que se dibuja el actual parque, invitan a entender el proyecto como una superposición de dos tramas.

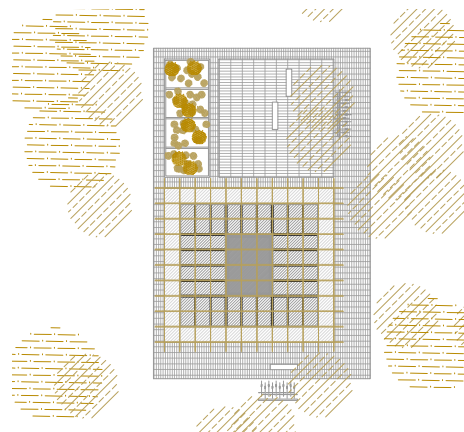
Por un lado, el trazado orgánico de las circulaciones en el interior del proyecto pretende responder a la necesidad de trazar conexiones entre las piezas de una manera natural y adaptada al entorno en el que se encuentra, conduciendo de una pieza a otra como si de un elemento natural más se tratase.



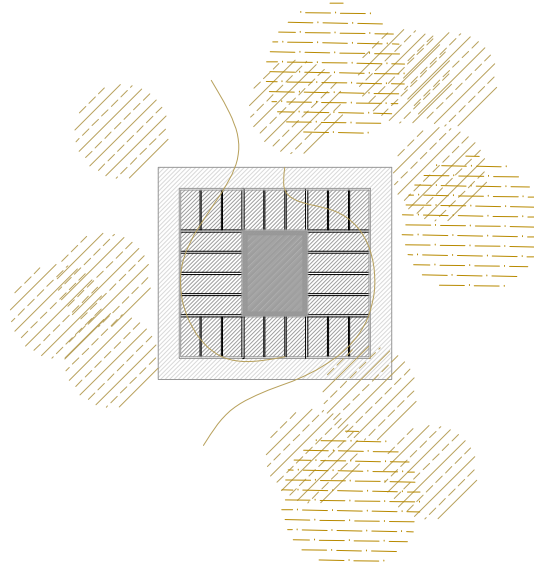
Por otro lado, la configuración ortogonal de las piezas proporciona cierto orden, estableciéndose así una relación con las edificaciones existentes en el lugar, como piezas aisladas que pueblan el parque.

La composición en planta del conjunto responde a las dos direcciones principales en los caminos que delimitan el solar por norte y sur. Con este simple gesto, se pretende atar el proyecto al lugar, aportándole referencias físicas existentes. Los bloques quedan ligeramente girados entre sí, evitando la disposición de las piezas de forma paralela, lo que le daría al conjunto un carácter más urbano.

Ese espacio diáfano en planta baja alberga las zonas comunes que se reparten en las piezas creando un recorrido entre las mismas en la que cada torre tiene un uso diferente. Estos recorridos y accesos a las torres por la parte central del parque, acaban en una pequeña plaza pública exterior frente a cada volumen. La disposición de la pieza respecto a la plaza marca una zona pavimentada más ancha para acceder desde la plaza pública al uso público en planta baja, y desde la fachada contraria a las viviendas.

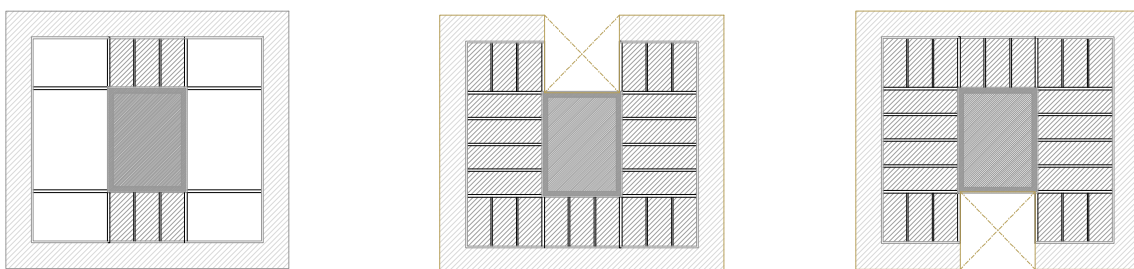


La idea de crear un plano continuo de jardín en el que se desarrolle la vida en común se refleja de forma directa en el diseño de la estructura, pues en un núcleo central de hormigón apoya todo el peso del bloque. El proyecto consta de seis bloques que “flotan” en el parque generando en su interior un espacio diáfano envuelto por una piel de vidrio.



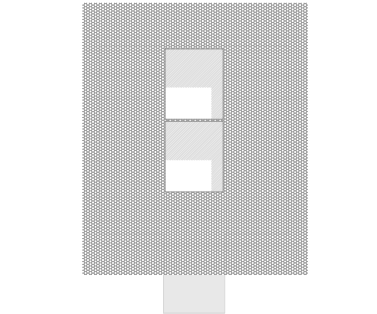
Ese núcleo central es el único soporte que sustenta el edificio, pues como resultado de una planta baja totalmente abierta al parque, el resto de la estructura cuelga del núcleo central, y no toca el suelo.

Mediante un diseño estructural ligero, se abren huecos en los forjados, y así la planta baja es un espacio de doble altura con unas visuales completas de 360 grados hacia el parque.



Esta idea de ligereza, se plasma en las plantas superiores, generando un sistema de forjados que crean huecos de forma simétrica en cada planta. Así, la dimensión del hueco en fachada toma una escala propia, reflejo de lo que ocurre en el interior del edificio, y que repetida en el conjunto refleja la identidad del mismo.

Con el fin no solo de enfatizar y recortar el hueco, si no de generar protección solar y dar uniformidad al bloque y al conjunto en general, se envuelve cada torre en una malla que, como si de un textil se tratase, cose todo el edificio generando diferentes planos de sombras y espacios exteriores en cada planta para poder ser habitados por los usuarios.



3.2. Descripción del programa de necesidades

El conjunto residencial para Seniors va a tener seis bloques de necesidades diferenciadas en planta baja, cada una en una torre, pero que funcionan y se interrelacionan entre ellas. En las plantas superiores, todas las torres albergan los usos de residencial vivienda.

- Torre 1. Zona fitness:
Espacio destinado en sala Sur a la sala de relajación y meditación y en la sala norte a la sala de máquinas/gimnasio. Espacio de utilización para todos los usuarios del conjunto. El acceso común se realiza desde la plaza exterior que servirá para realizar actividades al aire libre. En el interior del núcleo central soporte se localiza un pequeño aseo y un almacén.
- Torre 2. Zona de salas polivalentes:
Espacio destinado en sala Sur y Norte a salas polivalentes para su utilización por todos los usuarios del conjunto. Estas salas servirán para la realización de talleres, clases o cualquier otra actividad organizada. El espacio puede quedar abierto de forma diáfana o compartimentarse mediante paneles plegables ligeros. En el interior del núcleo central soporte se localiza un pequeño aseo y un almacén.
- Torre 3. Zona de administración:
Frente al acceso principal se sitúa la zona de administración. Se trata de un espacio diáfano compartimentado mediante armarios separadores y paneles plegables que alberga las salas para reuniones, oficinas y una pequeña enfermería. En el interior del núcleo central soporte se localizan un aseo y dos vestuarios para el personal.
- Torre 4. Zona de cafetería y restaurante:
Espacio destinado en sala Sur a un restaurante con capacidad para 40 personas y en sala norte a una cafetería para uso común de todos los residentes. En el interior del núcleo central soporte se localiza una pequeña cocina para la preparación de comidas de catering. El acceso común se realiza desde la plaza exterior que servirá para montar la terraza de la cafetería en épocas cálidas.
- Torre 5. Zona de estar:

Espacio destinado en sala Sur a una sala de juegos con zona de sofás para reunión de los residentes, y en sala Norte a una biblioteca y sala de lectura. En el interior del núcleo central soporte se localiza un pequeño aseo y un almacén.

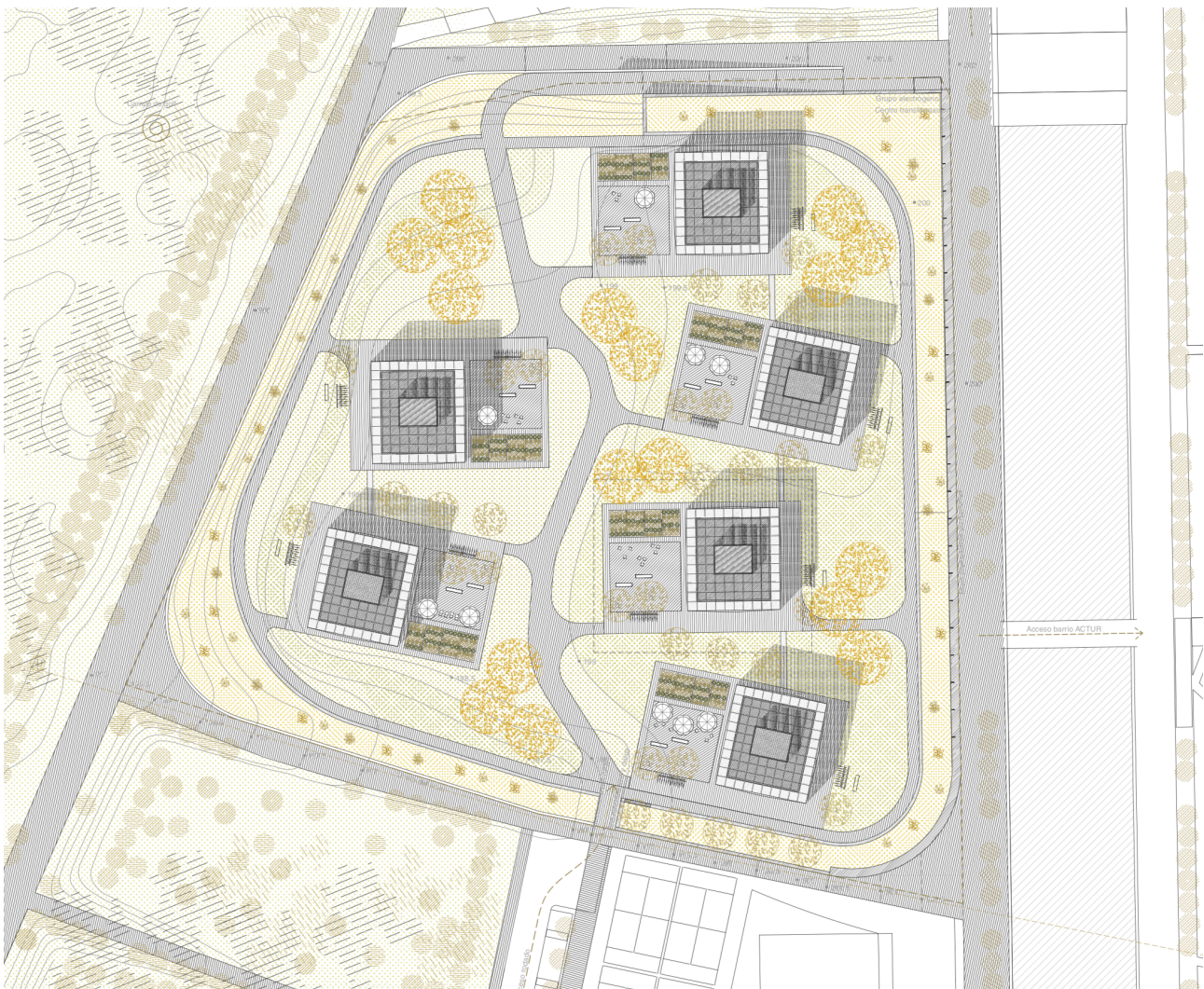
- Torre 6. Zona de sala multiusos:

Espacio destinado en sala Sur y Norte espacios diáfanos con posibilidad de compartimentación mediante paneles plegables para el desarrollo de actividades organizadas o en comunidad. En el interior del núcleo central soporte se localiza una pequeña cocina para la preparación de comidas de catering.

3.3. Descripción de la geometría del edificio: superficies útiles y construidas

El proyecto del Conjunto residencial para Seniors en el Parque del Agua toma la fragmentación como concepto esencial y punto de partida. El movimiento y desplazamiento de los volúmenes tomando de referencia los límites del solar ordena las piezas sin dejar lugar a la arbitrariedad y genera unas referencias visuales que enriquecen los espacios intersticiales entre bloques.

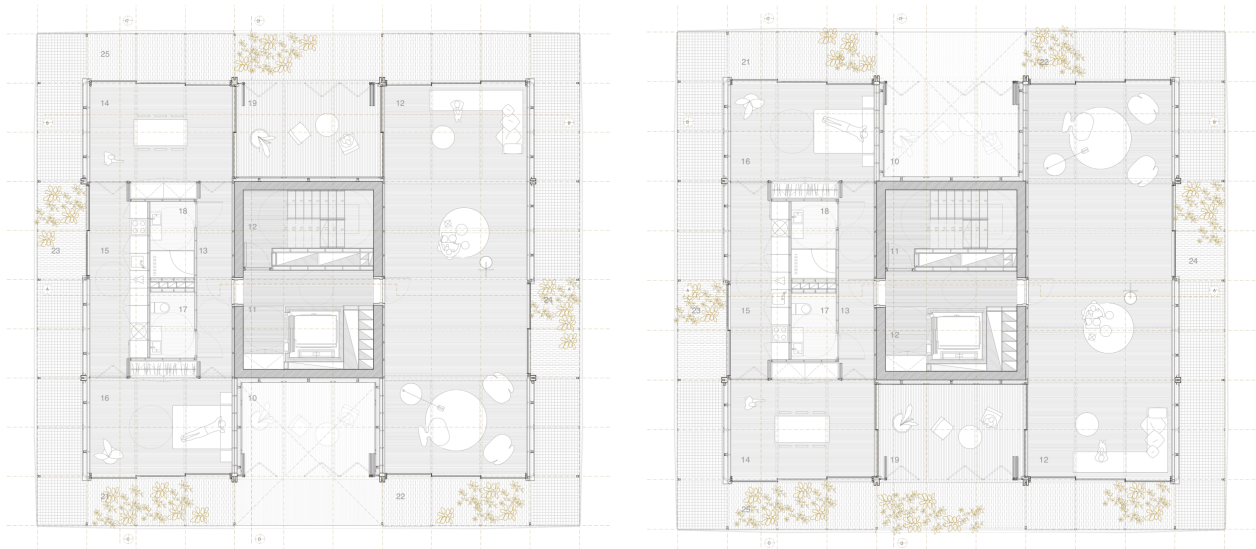
Los volúmenes flotan en el parque y crean una potente línea de sombra que, junto con los grandes huecos de fachada, dibujan la geometría de las piezas. Los espacios de doble altura que quedan bajo los volúmenes que flotan en el parque se utilizan como espacio de estar o de reunión de los residentes y crean una estrecha relación entre interior y exterior.



En cuanto a distribución, como se ha comentado, la existencia de bloques diferenciados facilita la diferenciación de las zonas de espacio público, quedando el gimnasio y la cafetería junto con la administración, más próximas a la entrada, y las zonas de estar y salas polivalentes en un lugar más recogido dentro del solar.

1 TORRE		PLANTA BAJA	
PLANTA BAJA		01 Vestibulo acceso viviendas	10,64m2
SUPERFICIE ÚTIL 186,13 m2		02 Sala técnica	3,64m2
SUPERFICIE CONSTRUIDA 200,30 m2		03 Cocina	20,34m2
PLANTA PRIMERA		04 Usos comunes	66,23m2
SUPERFICIE ÚTIL 42,06 m2		05 Usos comunes	66,23m2
SUPERFICIE CONSTRUIDA 316,06 m2		06 Vestibulo acceso común	7,45m2
PLANTAS SEGUNDA		- Espacios circulación	10,90 m2
SUPERFICIE ÚTIL 215,67 m2		PLANTA PRIMERA	
SUPERFICIE CONSTRUIDA 316,06 m2		07 Aseos	16,07m2
PLANTAS TERCERA A QUINTA		08 Almacén	3,71 m2
SUPERFICIE ÚTIL 200,50 m2		09 Cuarto de limpieza/almacén	15,80m2
SUPERFICIE CONSTRUIDA 316,06 m2		- Espacios circulación	21,49 m2
PLANTAS SEXTA		PLANTAS SEGUNDA A QUINTA	
SUPERFICIE ÚTIL 198,76 m2		10 Sala climatización	15,97m2
SUPERFICIE CONSTRUIDA 316,06 m2		11 Relano de acceso a vivienda	7,72m2
PLANTAS SÉPTIMA		12 Escalera protegida	9,93m2
SUPERFICIE ÚTIL 19,20 m2		Viviendas senior	
SUPERFICIE CONSTRUIDA 33,39 m2		13 Vestibulo vivienda	8,12m2
TOTAL		14 Comedor	17,41m2
SUPERFICIE ÚTIL 1576 m2		15 Cocina	23,54m2
SUPERFICIE CONSTRUIDA 1813 m2		16 Dormitorio	17,41m2
TOTAL X 6		17 Aseo	3,43m2
SUPERFICIE ÚTIL 9456 m2		18 Baño	3,99m2
SUPERFICIE CONSTRUIDA 10878 m2		19 Doble espacio	16,19m2
SUPERFICIE OCUPACIÓN 1 TORRE		20 Espacio flexible	65,43m2
200,30 M2		21 Espacio exterior 1	7,83m2
SUPERFICIE OCUPACIÓN TOTAL		22 Espacio exterior 2	7,83m2
1201,8 M2		23 Espacio exterior 3	5,27m2
		24 Espacio exterior 4	5,27m2
		25 Espacio exterior 5	23,5m2
		PLANTA SEXTA	
		Vivienda junior	
		13 Vestibulo vivienda	8,12m2
		14 Comedor/salón	17,41m2
		15 Cocina	23,54m2
		16 Dormitorio	17,41m2
		17 Aseo	3,43m2
		18 Baño	3,99m2
		26 Terraza	16,19m2
		27 Trastero vivienda 1	5,18m2
		28 Trastero vivienda 2	5,18m2
		29 Trastero vivienda 3	5,18m2
		30 Trastero vivienda 4	5,18m2
		31 Trastero vivienda 5	5,18m2
		Cuartos técnicos	
		32 Cuarto residuos	4,43m2
		33 Cuarto ACS	14,30m2
		SUPERFICIE ÚTIL 1 VIVIENDA	
		137,33 m2 sin terraza	
		200,33 m2 con terraza y espacio exterior	
		SUPERFICIE CONSTRUIDA 1 VIVIENDA	
		260 m2	

3.3.1. Unidad de vivienda



Si el espacio público que se posiciona como un elemento más del parque es un lugar totalmente abierto, de intercambio, de vida en comunidad y de relación; la unidad de vivienda que habitará el Senior es refugio en las alturas. Un mirador desde el que contemplar el parque, el río y la naturaleza desde una posición privilegiada.

La estructura se manifiesta otra vez de forma clara en la planta, regalando al usuario esa forma de vivir poco convencional que venía buscando.

El núcleo central de hormigón distribuye la planta generando un recorrido circular que pivota en torno a los huecos que se crean en fachada y que en la vivienda son unas grandes terrazas en doble altura que separan la zona de vivir propiamente dicha, de el espacio flexible.

Estos vacíos en el volumen captarán la luz del sol y mediante los paneles plegables de policarbonato que cierran la fachada, funcionarán como un invernadero cálido en invierno, o una terraza capaz de generar corriente en verano.

Mientras que al lado Sur se sitúan las necesidades básicas a desarrollar en una vivienda, en el espacio norte se proyecta una gran sala que sirve como ese espacio polivalente que el colectivo Senior demanda y que podrá albergar ya sea un taller de bricolaje, una sala de lectura, un lugar para el piano, un cuarto de juegos para sus nietos...

3.4. Accesos y evacuación

Todos los bloques que componen el conjunto son accesibles para minusválidos y las salidas de emergencia son tales que cumplen la norma de evacuación de edificios.

Los recorridos de evacuación no superan los 50m en ninguno de sus puntos y las salidas de planta no superan los 25 m en ninguno de sus recorridos. Además, la salida en planta baja se realiza de forma directa a espacio exterior seguro. Tanto la existencia de dos puertas hacia el exterior como la distribución del proyecto en planta, hace que la evacuación sea mucho más rápida y eficiente.

3.5. Capacidad de respuesta del edificio respecto a las exigencias básicas del CTE

Son requisitos básicos, conforme a la Ley de Ordenación de la Edificación, los relativos a la funcionalidad, seguridad y habitabilidad. Se establecen estos requisitos con el fin de garantizar la seguridad de las personas, el bienestar de la sociedad y la protección del medio ambiente, debiendo los edificios proyectarse, construirse, mantenerse y conservarse de tal forma que se satisfagan estos requisitos básicos.

3.5.1. Requisitos básicos relativos a la funcionalidad

- Utilización: En la ejecución se tendrá en cuenta lo establecido en el CTE-D13 SU y los criterios de Habitabilidad en Aragón, de tal forma que la disposición y las dimensiones de los espacios y la dotación de las instalaciones faciliten la adecuada realización de las funciones previstas en el edificio.
- Accesibilidad: La adecuación se ajustará a lo establecido en el CTE-DB SU, en la Ley 3/1997 de Promoción de la Accesibilidad y Supresión de las Barreras Arquitectónicas, Urbanísticas, de Transportes y de la Comunicación y D.108/2000 del Gobierno de Aragón, de tal forma que se permita a las personas con movilidad y comunicación reducidas el acceso y la circulación por el edificio en los términos previstos en su normativa específica.
- Acceso a los servicios de telecomunicación, Audiovisuales y de información: La adecuación garantizará el acceso a los servicios de telecomunicaciones, ajustándose a lo establecido en el RD. Ley 1/98 de Telecomunicaciones en instalaciones comunes.

3.5.2. Requisitos básicos relativos a la seguridad

- Seguridad estructural: Resistir todas las acciones e influencias que puedan tener lugar durante la ejecución y uso, con una durabilidad apropiada en relación con los costos de mantenimiento, para un grado de seguridad adecuado. Evitar deformaciones inadmisibles, limitando a un nivel aceptable la probabilidad de un comportamiento dinámico y degradaciones o anomalías inadmisibles. Conservar en buenas condiciones para el uso al que se destina, teniendo en cuenta su vida en servicio y su coste, para una probabilidad aceptable.
- Seguridad en caso de incendios: En la ejecución se tendrá en cuenta lo establecido en CTE-DB SI para reducir a límites aceptables el riesgo de que los usuarios del edificio sufran daños derivados de un incendio de origen accidental, asegurando que los ocupantes puedan desalojar el edificio en condiciones seguras, se pueda limitar la extensión del incendio dentro del propio edificio y de los colindantes y se permita la actuación de los equipos de extinción y rescate. No se colocará ningún tipo de material que por su baja resistencia al fuego, combustibilidad o toxicidad pueda perjudicar la seguridad del edificio o la de sus ocupantes.
- Seguridad de utilización: La adecuación se ajustará a lo establecido en DB-SU en lo referente a la configuración de los espacios, los elementos fijos y móviles que se instalen, de tal

manera que pueda ser usado para los fines previstos reduciendo a límites aceptables el riesgo de accidentes para los usuarios.

3.5.3.Requisitos básicos relativos a la habitabilidad

- Higiene, salud y protección del medio ambiente: En la ejecución se tendrá en cuenta los criterios de Habitabilidad de la Normas Urbanísticas del P.G.O.U. de Zaragoza, así como el CTE-DB HS con respecto a higiene, salud y protección del medioambiente, de tal forma que se alcancen condiciones aceptables de salubridad y estanqueidad en el ambiente interior del edificio y que éste no deteriore el medio ambiente en su entorno inmediato, garantizando una adecuada gestión de toda clase de residuos.
- Protección frente al ruido en los edificios: En la ejecución se tendrá en cuenta lo establecido en el CTE-DB HR de tal forma que el ruido percibido o emitido no ponga en peligro la salud de las personas y les permita realizar satisfactoriamente sus actividades.
- Ahorro de energía y aislamiento térmico: En la ejecución se tendrá en cuenta lo establecido en CTE-DB HE, de tal forma que se consiga un uso racional de la energía necesaria para la adecuada utilización del edificio. Se dispondrán de instalaciones de iluminación adecuadas a las necesidades de sus usuarios y a la vez eficaces energéticamente disponiendo de un sistema de control que permita ajustar el encendido a la ocupación real de la zona, así como de un sistema de regulación que optimice el aprovechamiento de la luz natural, en las zonas que reúnan unas determinadas condiciones.

MEMORIA CONSTRUCTIVA

MEMORIA CONSTRUCTIVA

1. Sustentación del edificio

Justificación de las características del suelo y parámetros a considerar para el cálculo de la parte del sistema estructural correspondiente a la cimentación .

1.1. Bases de cálculo

Método de Cálculo

El dimensionado de secciones se realiza según la Teoría de los Estados Límite Últimos (apartado 3.2.1 DB SE) y los Estados Límite de Servicio (apartado 3.2.2 DB SE). El comportamiento de la cimentación debe comprobarse frente a la capacidad portante (resistencia y estabilidad) y la aptitud de servicio.

Verificaciones

Las verificaciones de los Estados Límites están basadas en el uso de un modelo adecuado para al sistema de cimentación elegido y el terreno de apoyo de la misma.

Acciones

Se han considerado las acciones que actúan sobre el edificio según el documento DB SE-AE y las acciones geotécnicas que transmiten o generan a través del terreno en que se apoya, según el documento DB SE en los apartados 4.3-4.4-4.5.

1.2 Estudio geotécnico

Cota original del solar: 197 m. Se procederá a rellenar la parcela con las tierras resultantes de la extracción en el proceso de cimentación para la configuración del parque según cotas indicadas en los planos Plantas generales A01.

Se ha realizado una campaña de reconocimiento de las características del terreno para evaluar sus condiciones de cimentación y problemática de tipo geotécnica. A partir del informe de las excavaciones arqueológicas realizado sobre el emplazamiento, así como del estudio geotécnico del terreno, obtenemos una sección del terreno como la siguiente:

Nivel I rellenos. Localizado superficialmente en los sondeos con una profundidad estimada de 0,80 m (cota -1,50 a -2,3). Por su baja compacidad en algunos puntos, reducida resistencia al corte y considerable deformabilidad, este nivel carece de interés desde el punto de vista geotécnico, debiendo ser rechazado como terreno para apoyar sobre ningún tipo de estructura o cimentación. Presión admisible = 0,30 kg/cm²

Nivel II de arcillas limosas. Bajo el nivel de rellenos aparece un nivel arcilloso alcanzando un espesor aproximado de 4,00 m (cota -2,3 a -6,30). Está formado basicamente por limos y arenas limosas con gravas y gravillas. Este nivel también debe ser rechazado para apoyar ninguna cimentación sobre él. Presión admisible = 1,00 kg/cm²

Nivel III de arenas y gravas. Capa de 2,00 m de espesor, alcanza hasta los 8,30 m (cota -3,60 a -8,50). Esta formado de materiales de baja plasticidad con un grado de consolidación en aumento con la profundidad, pero sin llegar a ser auténtica roca. Presión admisible = 1,80 kg/cm²

Nivel IV de terreno resistente de suelo granular grueso gravas. Aparece a una profundidad de 8,50 metros y su espesor mínimo es de 15 m (cota -8,50 en adelante). Presión admisible = 3,50 kg/m²

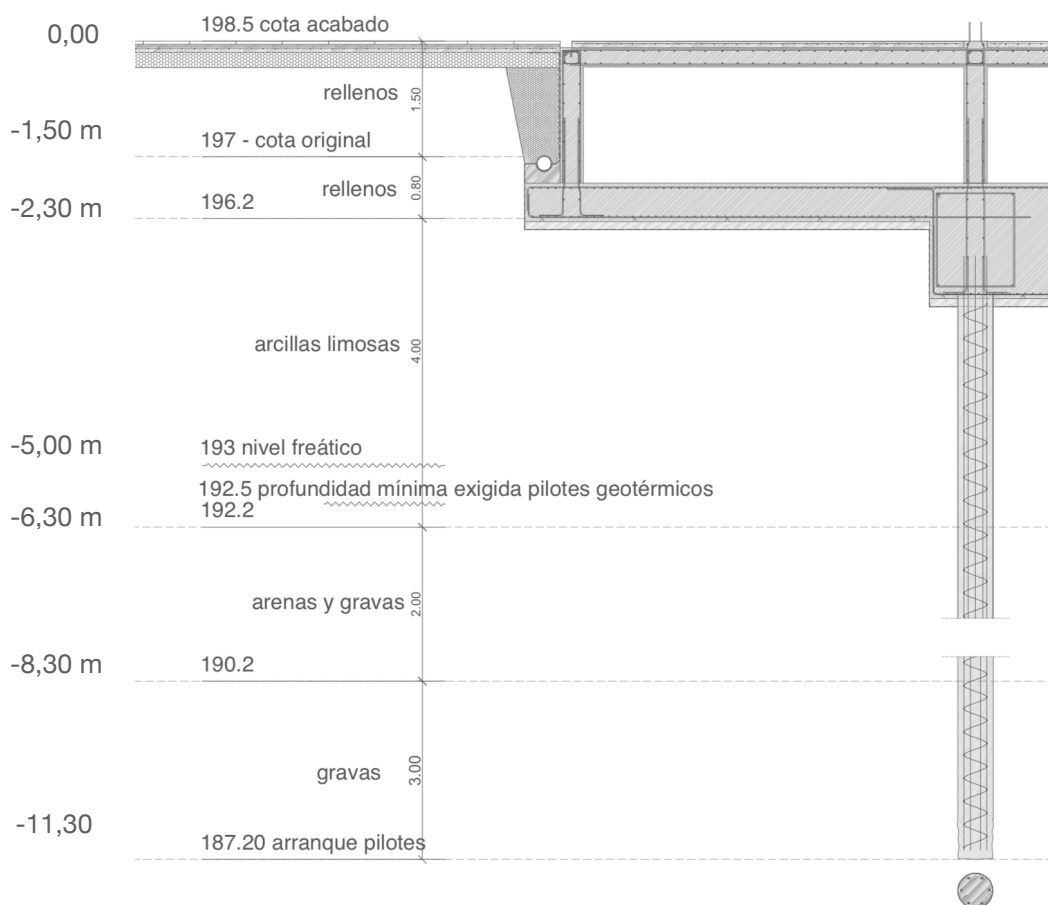
Existe además la presencia de nivel freático, situado a una profundidad de -5,50 m respecto de la superficie actual (tras aportación de tierras en construcción). Se trata de un nivel de agua asociado al cauce del Río Ebro. En condiciones normales este nivel puede alcanzar la cota 193, si bien en momentos de avenida puede llegar a situarse a cota 197. Siguiendo las recomendaciones técnicas, se eleva la cota del proyecto respecto a la cota inicial de 197,00 m al menos 1,50 m por encima, de forma que se salve la cota de inundabilidad existente.

No se realiza ninguna planta subterránea, pero sí se realiza un forjado sanitario de 1,50 m de profundidad empleando unos pequeños muros de contención de tierras debidamente impermeabilizados.

En cuanto a la sismicidad, el término municipal de Zaragoza presenta, según la norma NCSE-02 (parte general y edificación), una aceleración sísmica básica menor del 0,04 g, por lo que no será necesario aplicar la citada norma para el diseño de las cimentaciones de la estructura.

Dada la composición del terreno se recomienda el empleo de pilotes in situ de tipo CPI-5 de camisa perdida, con una longitud de empotramiento de 8 m.

A efectos de cálculo, en el nivel de rellenos, dadas sus bajas características resistentes, no se deberían considerar efectos de resistencia por fuste en el pilote.



2. Sistema estructural

Aclaraciones previas

Cada uno de los bloques idénticos proyectados para el conjunto, responden estructuralmente a la idea primera del proyecto, que es la de pasear por un parque en el que los volúmenes floten entre el paisaje dibujado por el hombre. Este concepto de un cuerpo liviano que no toca el suelo se refleja de manera directa en la estructura de cada torre, ya que los espacios comunes se desarrollan en planta baja en un espacio totalmente diáfano y en doble altura entorno a un núcleo central de hormigón que sustenta todo el peso del edificio.

Mientras que el núcleo central, macizo y pesado, se materializa en un núcleo de hormigón, el resto de la estructura es una estructura ligera, metálica, que cuelga en su totalidad de la gran cercha que nace en el extremo superior del núcleo.

Por tanto, pueden reconocerse tres partes diferenciadas en la estructura portante:

- Núcleo compacto de hormigón armado formado por los muros M1, M2, M3 y M4.
- Estructura ligera metálica formada por perfiles de acero y forjados de chapa colaborante.
- Viga de celosía anclada al núcleo de hormigón en su extremo superior.

Se establecen para el cálculo los datos y las hipótesis de partida, el programa de necesidades, las bases de cálculo y procedimientos o métodos empleados para todo el sistema estructural, así como las características de los materiales utilizados.

El proceso seguido para el cálculo estructural es el siguiente: primero, determinación de situaciones de dimensionado; segundo, establecimiento de las acciones; tercero, análisis estructural; y cuarto dimensionado. Los métodos de comprobación utilizados son el de Estado Límite Último para la resistencia y estabilidad, y el de Estado Límite de Servicio para la aptitud de servicio. El cálculo estructural se ha desarrollado mediante el Software de cálculo *CYPE*, cuyos resultados pueden consultarse en el *Anejo 1. Cálculo estructural*.

2.1 Cimentación

2.1.1 Descripción constructiva

Se ha realizado un estudio geotécnico de la parcela por un laboratorio de control de calidad homologado para conocer la morfología y el comportamiento del terreno. La capacidad portante supuesta del sustrato resistente es de 3,50 kg/cm² a una cota a partir de los -8,50 m en adelante para pilotes in situ empotrados en sustrato sano.

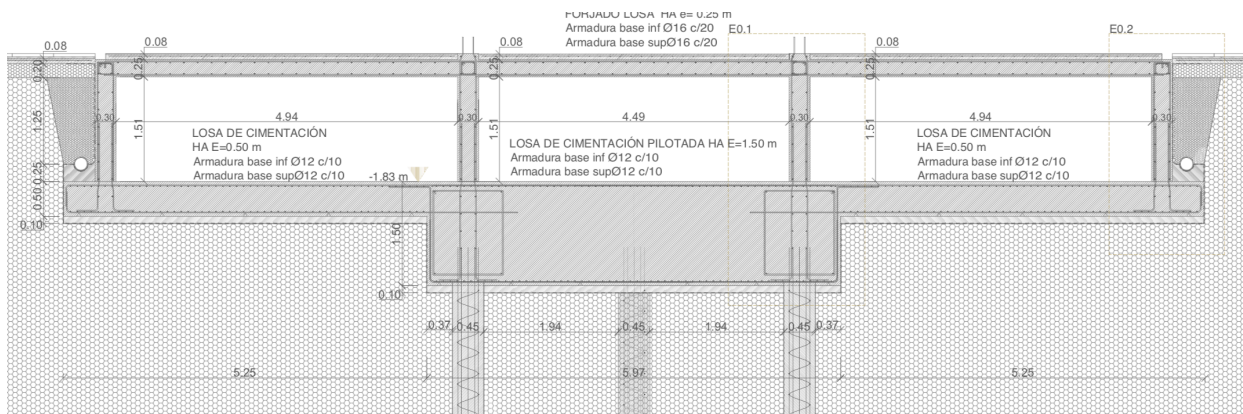
El nivel freático se localiza en torno a la cota -5,00 m bajo rasante, por lo que la cimentación se llevará a cabo mediante pilotes con camisa perdida para evitar discontinuidades a lo largo de los mismos por infiltración de agua o movimiento de tierras.

Edificación cuyo único elemento de sustentación es un gran prisma central de hormigón armado compuesto por cuatro muros solidarios entre sí y que transmiten la totalidad de las cargas a la cimentación de forma concentrada. Para hacer frente a esta carga puntual sobre la cimentación y evitar el vuelco del edificio, se decide pilotar esta estructura de muros de HA mediante un sistema de losa de cimentación pilotada. Por tanto, la cimentación se realiza mediante tres elementos solidarios entre sí:

- Losa de cimentación pilotada bajo núcleo de muros de hormigón armado 1,50x6x7,60 armada con armadura superior $\varnothing 12$ c/10 e inferior $\varnothing 12$ c/10

-Losa de cimentación de hormigón armado para formación de forjado sanitario 0,50x16,50x14,80 armada con armadura superior $\varnothing 12$ c/10 e inferior $\varnothing 12$ c/10

-Pilotes CPI-5 (P1,P2,P3,P4,P5,P6,P7,P8,P9,P10)



Tomando de referencia la *Norma Tecnológica de la Edificación. Cimentaciones. Pilotes In situ*:

Grupo de pilotes de extracción con camisa perdida n.D.L.S.C.Hormigonado.Cemento CPI-5. Usualmente como pilotaje trabajando por punta apoyada en roca de capas duras de terreno y siempre que se atraviesen capas de terreno incoherente fino en presencia de agua, o exista flujo de agua y existan capas agresivas al hormigón fresco.

CPI-1 Camisa perdida.

Se utilizará para proteger un tramo de los pilares expuesto a la acción de un terreno agresivo al hormigón fresco o a un flujo de agua. La longitud C del tubo que constituye la camisa, será tal que suspendida desde la boca de perforación profundice dos diámetros por debajo de la capa peligrosa. Realizada la excavación y antes del hormigonado, se introducirá en la entubación situándola en la posición prevista en la Documentación Técnica. Se mantendrá suspendida desde la boca de perforación hasta la terminación de las operaciones de hormigonado.

EFH-7 Hormigón.

De resistencia característica 175 Kg/cm^2 . Consistencia medida en cono de Abrams: 10 a 15 cm. Se introducirá, mediante excavación, la entubación de diámetro exterior D, en cm, hasta una profundidad L, en m, para los n pilotes del grupo a separación S, en cm, según documentación técnica y en el orden y tiempo previsto. La entubación se introducirá en el terreno acompañado por la excavación y siempre por delante de la misma. Durante el hormigonado, la entubación recuperable quedará siempre, como mínimo $2D$ dentro del hormigón anteriormente vertido.

EFH-5 Armadura

Longitudinal: constituida por barras dispuestas uniformemente en perímetro de la sección. El n número de barras y el diámetro de las mismas, en función del diámetro D del pilote será:

D= 45 cm

n= 6 barras

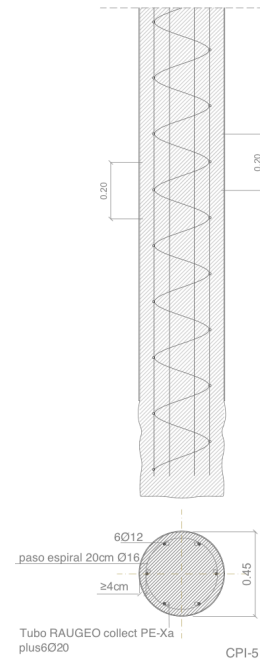
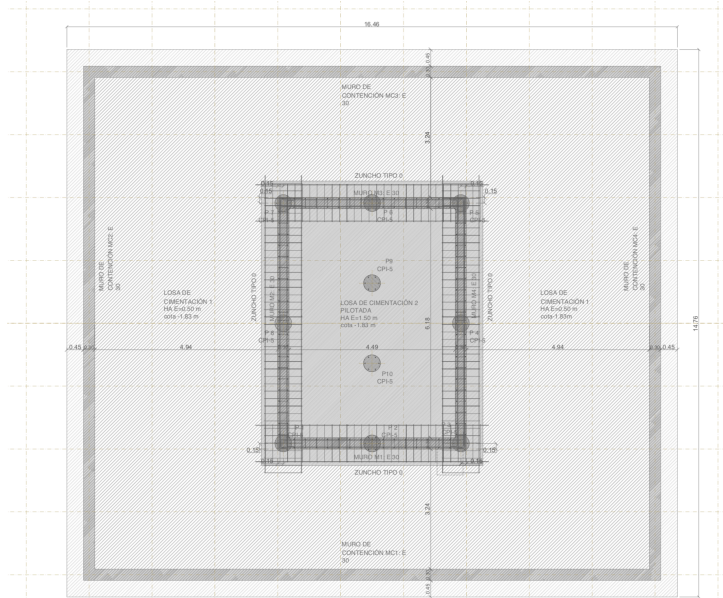
\varnothing barras= 12 mm

La longitud de la armadura será tal que después del pilote sobresalga la mayor de las siguientes longitudes: D o 50 cm, en este caso 50 cm.

Transversal: Constituida por zuncho en espiral. El paso de la espiral y el diámetro de los redondos, en función del diámetro D del pilote, será el siguiente:

D=45 cm

Paso= 20 cm \varnothing barras= 6 mm



2.1.2 Bases de cálculo

Para la definición de las acciones actuantes, se ha seguido el CTE SE-AE.

Acciones permanentes (G) Aquellas que actúan en todo instante sobre el edificio con posición constante.

Peso propio (PP)

Peso propio estructura (Muros de hormigón M1, M2, M3, M4 + Perfiles de acero S275)

Peso propio forjados (Forjados de Chapa colaboran INCO 70.4)

Peso propio cubierta (chapa grecada + paneles aislamiento + formación pendientes):
 $0,15+2,25+0,48 = 2,88 \text{ kN/m}^2$

Pavimento y tabiquería: 2,00 kN/m²

Suelo radiante: 1,045 kN/m²

Fachada ventilada F2: 3,016 kN/m²

Acciones variables (Q)

Sobrecarga de uso (SU) residencial- 2,00 kN/m²

Sobre cubierta: 0,40 kN/m²

Esta sobrecarga no se considerará concomitante con otras acciones variables como la nieve.

Acciones climáticas - Viento (Vi)

V1a: 0,29 kN/m² V1b: 0,43 kN/m²

- Nieve (Ni) Para Zaragoza (altitud 210m): 0,50 kN/m² No se considera por tratarse de longitudes muy inferiores a los 40m indicados por la norma.

Acciones accidentales (A) No se consideran.

2.2 Estructura portante

2.2.1 Núcleo de hormigón

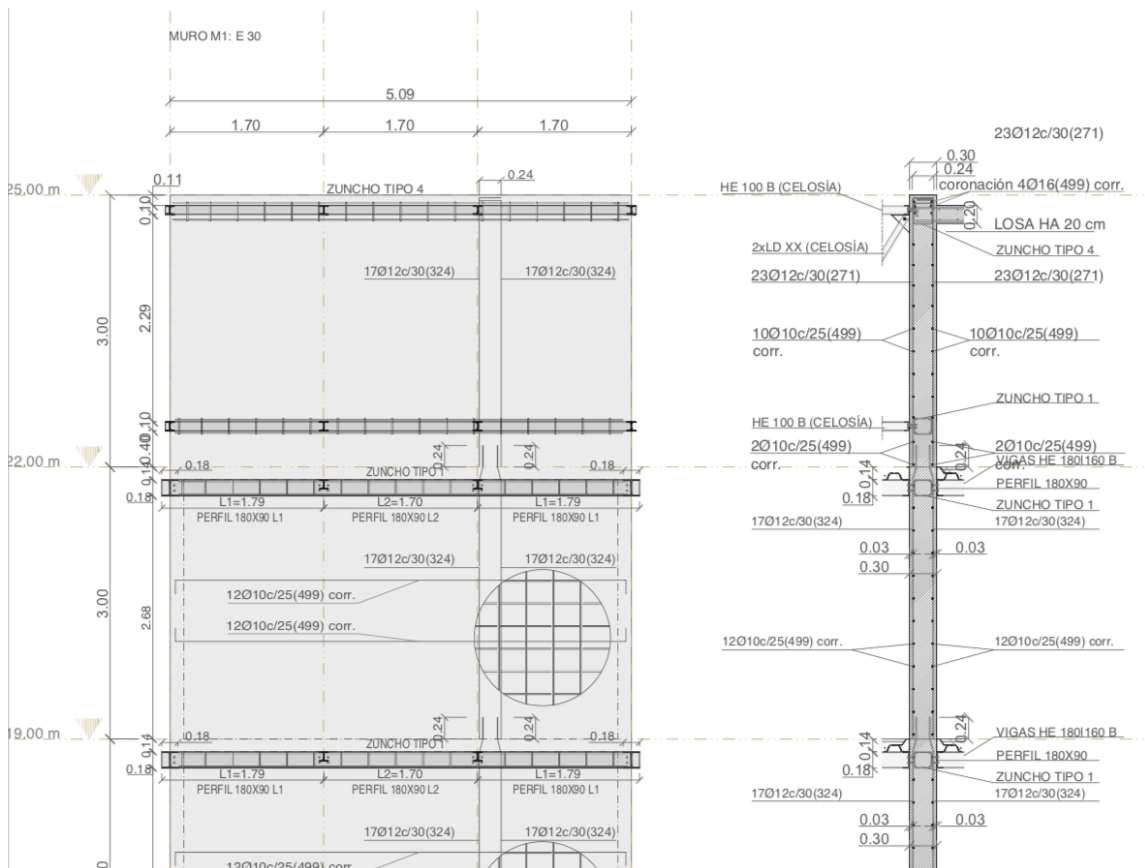
La estructura portante vertical se compone únicamente de un gran núcleo en forma de prisma central de hormigón armado, compuesto por cuatro muros solidarios entre sí (M1, M2, M3 y M4), que transmiten la totalidad de las cargas a la cimentación de forma concentrada.

Armadura Longitudinal: $\varnothing 10$ c/25

Armadura Transversal: $\varnothing 10$ c/30

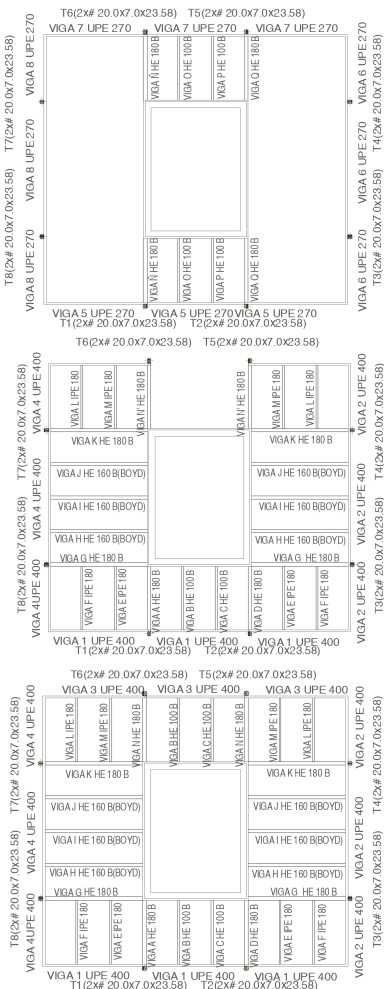
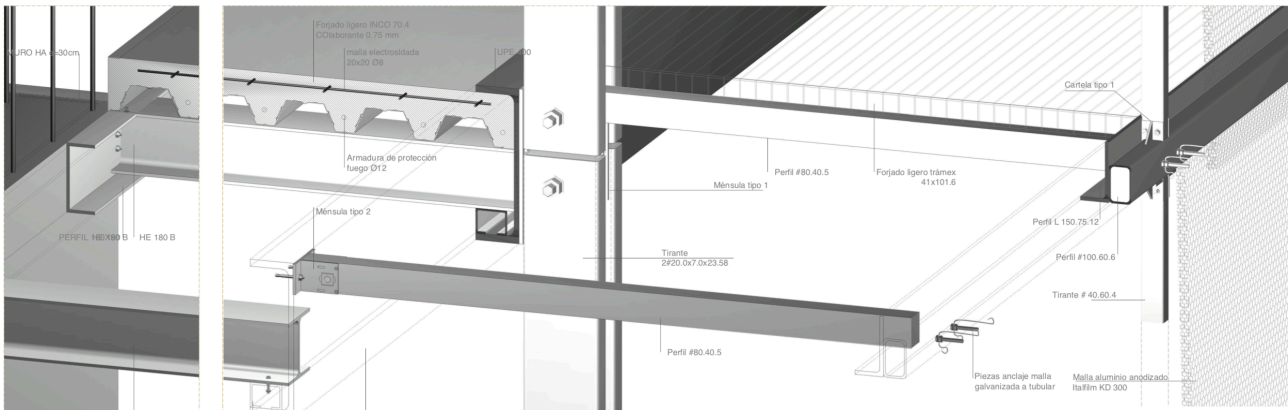
Dicho prisma se encuentra atado en cada planta por una corona perimetral formada por perfiles de acero laminado en U (180x90x8 mm), anclados a los muros mediante tornillos expansivos HILTI y que reciben en cada piso la estructura de vigas metálicas. En el interior de los muros, cuando estos se encuentran con los perfiles en U, se coloca un zuncho (zuncho tipo 1) para reforzar la estructura.

De esta forma, aunque M1, M2, M3 y M4 estén perforados en numerosos puntos para apertura de puertas o paso de instalaciones, quedan completamente atados y el prisma será rígido desde la cimentación al anclaje de la cercha en el piso superior.



Estas vigas son perfiles HEB 180 que se empotran mediante soldadura en los perfiles en U anclados al muro y se apoyan en el otro extremo atornillados a perfiles conformados que funcionan como un apoyo articulado en el perfil UPE.

Los tirantes estructurales están diseñados como un doble perfil hueco (2x #20.0x7.0x23.58) que deja un espacio de 60 mm en su interior para el paso de los perfiles cuadrados #80.40.5 que rigidizan la envolvente exterior de malla de acero. Todo esto está recogido en la siguiente figura:



La configuración de la estructura como una retícula que cuelga del perímetro y se empotra en el núcleo central, hace posible el juego de huecos que en fachada que reproduce lo que ocurre en el sistema estructural. En planta primera, toda la estructura de los lados norte y sur desaparece, por lo que se crean en planta baja dobles espacios que permiten que en las zonas comunes destaque la presencia del núcleo de hormigón y se genere un espacio diáfano en torno a él.

En el resto de plantas, destinados a viviendas, ocurre algo similar con los huecos en planta. De forma simétrica, en cada planta desaparece una porción de forjado, lo que da lugar a la aparición de los espacios nexos entre la vivienda y el “espacio flexible”. Estos espacios nexos serán también una doble altura que tendrá presencia en la fachada, dibujándose con la ayuda de la malla perimetral que se recorta sólo cuando pasa por delante de estos.

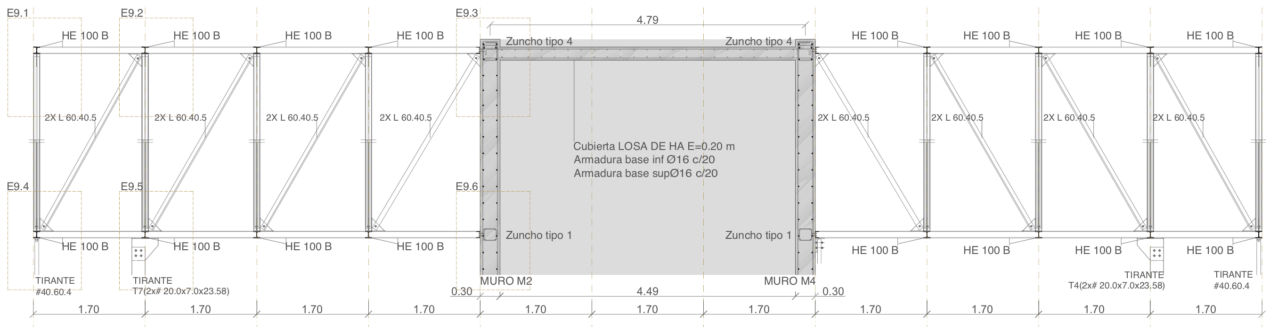
Además, las vigas H, I y J, correspondientes a los pórticos 7, 7', 8, 8, 9, 9', 10 y 10' han sido calculadas como perfiles HEB 160 con el alma aligerada mediante tres huecos de diámetro Ø11 cm en el centro de la viga, para el paso de instalaciones entre pórticos.

Por último, con la intención de crear un espacio intermedio entre exterior e interior que pueda ser ocupado y vivido por el usuario, y que ayude a percibir el volumen como un elemento continuo además de proporcionar control solar, aparece una segunda estructura metálica que cuelga de los nudos exteriores de la cercha superior.

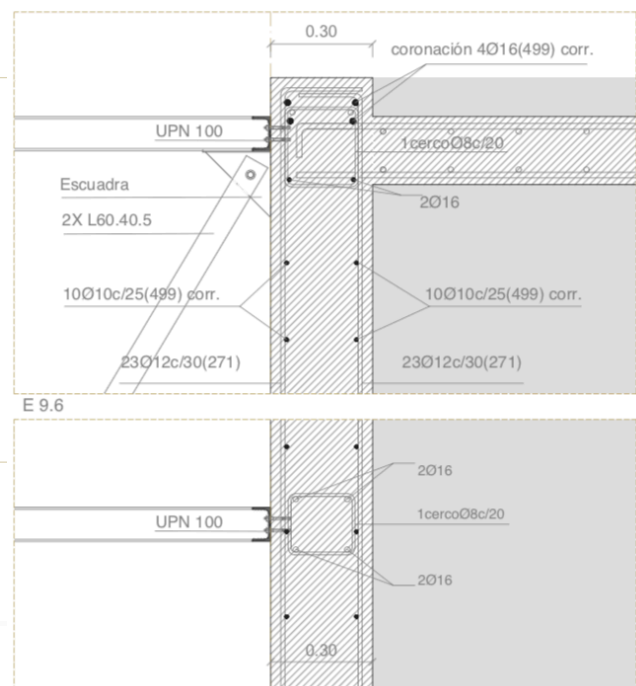
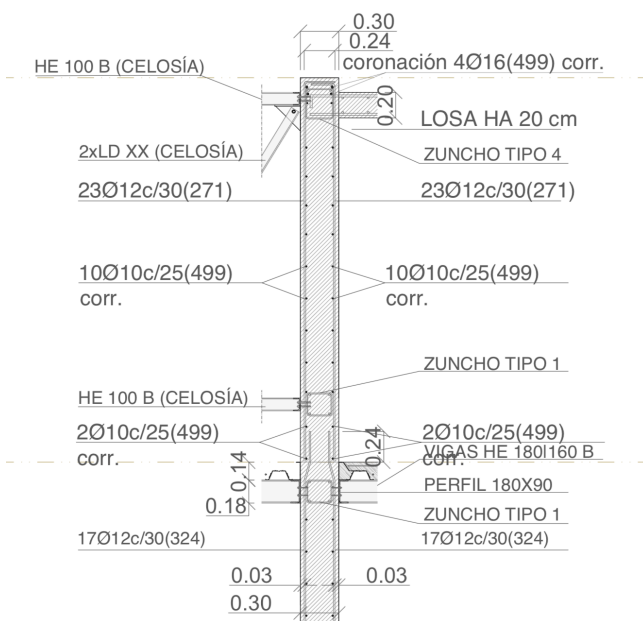
2.2.3 Viga de celosía

Toda la estructura horizontal, tanto los forjados de cada planta como el sistema de la malla exterior, cuelgan, mediante tirantes de acero, de los nudos exteriores de la celosía. Esta está compuesta por los siguientes perfiles:

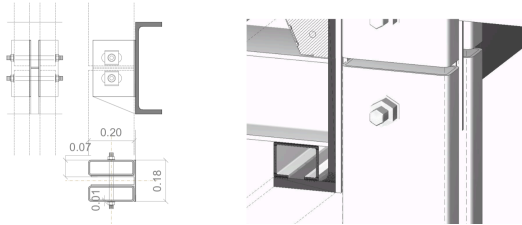
- Montantes verticales: HE 100 B
- Cordones horizontales: HE 100 B
- Diagonales: dos perfiles L 60.40.5 unidos a la estructura mediante escuadras de acero



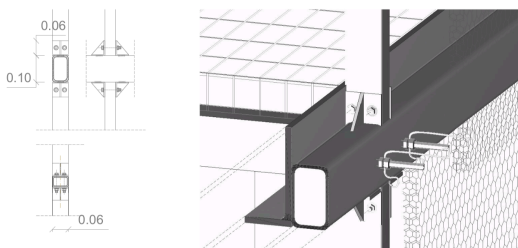
La cercha se ancla al núcleo de hormigón mediante perfiles UPN 100 que se fijan al muro mediante tornillos expansivos HILTI.



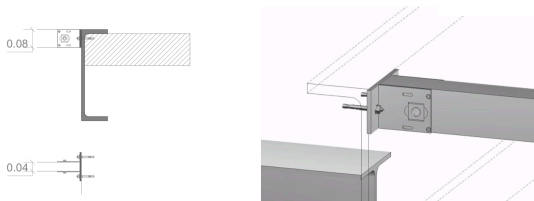
A continuación se muestran los diferentes tipos de uniones y algunos detalles tipo de la estructura.



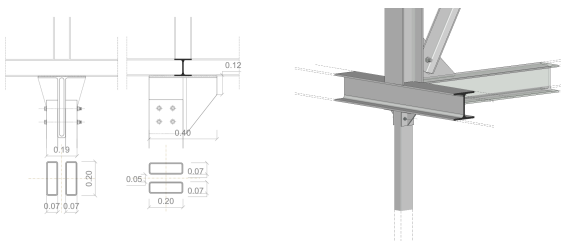
Estructura principal. Ménsula 1. Unión de tirantes T (2x #20.0x7.0x23.58) con perfil UPE perimetral



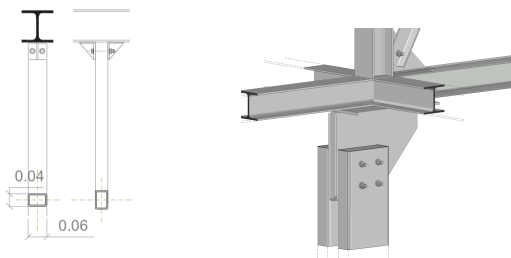
Estructura envolvente malla exterior. Cartela tipo 1. Unión de tirantes #40.60.4 con tubular #100.60.6



Estructura envolvente malla exterior. Ménsula 2. Unión de UPE perimetral con perfil #80.40.5



Estructura celosía. Cartela tipo 1. Unión de montantes HE 100 B de celosía con perfil #80.40.5 de envolvente malla exterior



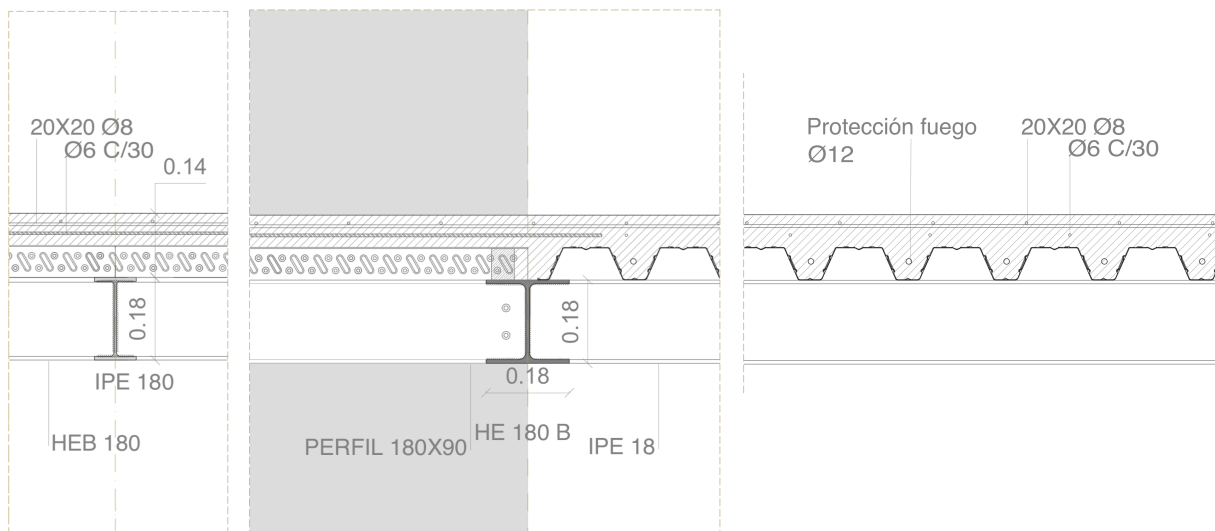
Estructura celosía. Ménsula 1. Unión de tirantes (2x#20.0x7.0x23.58) con montante HE 100 B de celosía.

2.2.4 Forjados

Esta dualidad en la estructura del edificio (núcleo compacto de hormigón y estructura liviana de acero) se refleja también en el diseño de los forjados. Sobre las vigas de acero se apoyan en cada piso los forjados de chapa grecada colaborante INCO 70.4 Colaborante, de espesor de chapa 0.75mm y espesor total 140 mm. La malla electrosoldada que se coloca en el forjado es de 20x20 $\varnothing 8$ y la armadura de negativos es $\varnothing 6$ c/30. Además, se colocará un redondo en cada nervio de $\varnothing 12$ para la protección contra el fuego.

En cuanto a las cubiertas, en el caso de las correspondientes a la estructura ligera, se resuelven como una cubierta Deck. Se utiliza la misma chapa grecada INCO 70.4 que para el resto de forjados , sin embargo no es necesario el vertido de hormigón armado.

En cambio, la coronación del núcleo de hormigón se cierra con una losa de hormigón armado de espesor 20 cm con armadura inferior $\varnothing 16$ c/20 y superior $\varnothing 16$ c/20.



3. Sistema de envolventes

3.1 Envolvente horizontal. Cubiertas.

Se realizan dos tipos de cubiertas en el proyecto: la cubierta que cubre la estructura colgada del edificio y el cierre superior del núcleo de hormigón.

-Cubierta 1 Cubierta Deck con hormigón para formación de pendientes

En primer lugar, la cubierta sobre la estructura colgada responde a la misma idea de ligereza utilizada para los forjados en cada planta. Se utiliza la misma chapa grecada INCO 70.4 que para el resto de forjados, sin embargo no es necesario el vertido de hormigón armado. La solución es la de una cubierta plana de chapa grecada, sobre la que se coloca la barrera de vapor, a continuación se disponen dos capas de aislamiento térmico poliestireno extruado (XPS) de 6cm de espesor modelo 3035 CS de DICONA, una lámina impermeabilizante de 2'5 mm y una lámina geotextil de 2 mm. Sobre esto, se vierte una capa de 50 mm de hormigón de pendiente poroso ligero premezclado a base de arcilla expandida LATERLITE Latermix Cem Classic. La estructura sobre la que se apoya la cubierta está formada, como en las plantas inferiores, por unos perfiles metálicos HEB180 en la continuación de los ejes del muro, y perfiles HEB160, HEB100 y IPE180 en los espacios intermedios.

Cubierta 1: Transmitancia térmica. Cubierta Deck con hormigón para formación de pendientes

Material de F11.6b	Espesor (m)	Conductividad térmica (W/m.K)	Resistencia térmica (m ² ·k/W)	Transmitancia térmica (k.W/m ²)
1.Chapa grecada acero	0,001	50,000	0,000	41666,667
3.Barrera Vapor LPDE	0,002	0,330	0,006	165,000
4.Placa Aislante XPS	0,060	0,034	1,765	0,567
5.Placa Aislante XPS	0,060	0,034	1,765	0,567
6.Lámina impermeabilizante bituminosa	0,003	0,230	0,011	92,000
7.Lámina geotextil	0,020	0,038	0,526	1,900
8.Hormigón de pendiente	0,050	0,134	0,373	2,680
TOTAL	0,126		3,546	0,282
				U _{max} =0.38
				CUMPL E

-Cubierta 2 Cubierta de losa de hormigón armado

En segundo lugar, la coronación del núcleo de hormigón se cierra con una losa de hormigón armado de espesor 20 cm con armadura inferior $\varnothing 16$ c/20 y superior $\varnothing 16$ c/20. Sobre la losa, se vierte una capa de hormigón de pendiente poroso ligero premezclado a base de arcilla expandida LATERLITE Latermix Cem Classic, una barrera de vapor LPDE, dos capas de aislamiento térmico poliestireno extruído (XPS) de 6cm de espesor modelo 3035 CS de DICONA, una lámina impermeabilizante de 2'5 mm y una lámina geotextil de 2 mm.

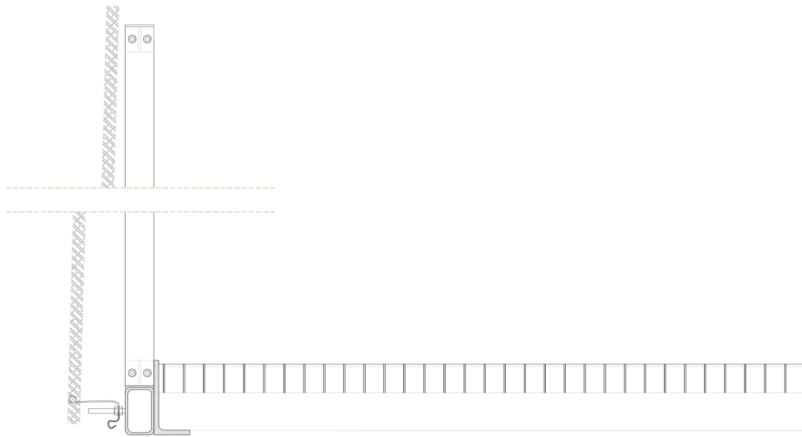
Cubierta 2: Transmitancia térmica. Cubierta losa de hormigón sobre núcleo central

Componente	Espesor (m)	Conductividad térmica (W/m.K)	Resistencia térmica (m ² k/W)	Transmitancia térmica (k.W/m ²)
1.Losa Hormigón	0,200	2,300	0,087	11,500
2.Hormigón de pendiente	0,050	0,134	0,373	2,680
3.Barrera Vapor LPDE	0,002	0,330	0,006	165,000
4.Aislamiento XPS	0,060	0,034	1,765	0,567
5.Aislamiento XPS	0,060	0,034	1,765	0,567
6.Lámina impermeabilizante bituminosa	0,025	0,230	0,109	9,200
7.Lámina geotextil	0,020	0,038	0,526	1,900
TOTAL	0,287		4,631	0,216
				U _{max} =0.38 CUMPLE

3.2 Envoltente vertical. Fachadas

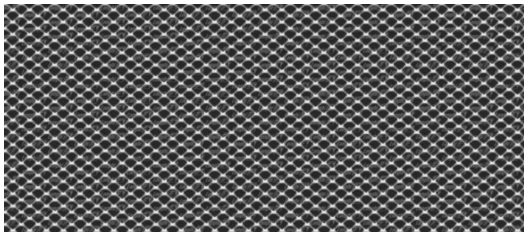
La envoltente de este proyecto la conforman por un lado los cerramientos opacos, los cuales tienen un acabado continuo de placas de aluminio anodizado, y los cerramientos transparentes, que incluyen las carpinterías con rotura de puente térmico. Se encuentran detallados en los planos de albañilería. Además, fuera ya de la envoltente térmica se sitúa la fachada ligera que envuelve la pieza y que actúa como protección solar y da uniformidad a la fachada.

-Fachada 1 Malla de acero (No pertenece a la envoltente térmica)

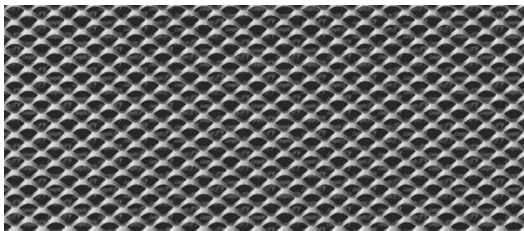


La malla de acero estirado Italfilm KD envuelve todo el edificio. Por este motivo se ha escogido una geometría que permite la visibilidad a través de ella y, además, los módulos colocados frente a los huecos de ventana en vivienda tendrán una superficie de hueco mayor.

F1a: Malla de acero Italfilm KD300 línea Stiltech anclada a estructura colgante mediante piezas de acero de fabricación propia. Porcentaje de hueco: 57%. Posición: frente a ventana.

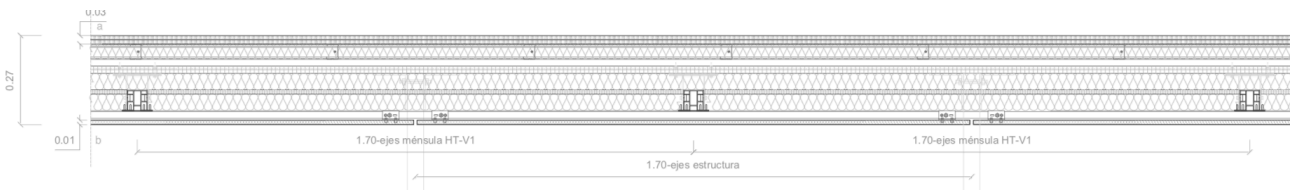


F1b: Malla de acero Italfilm KD400 línea Stiltech anclada a estructura colgante mediante piezas de acero de fabricación propia. Porcentaje de hueco:46%. Posición: frente a fachada ventilada y en la doble altura del espacio público.



-Fachada 2. Fachada de paneles de aluminio

Fachada ventilada compuesta por trasdosado de Pladur en su hoja interior con placa de yeso laminado 2xe=13mm con estructura modelo 76 (46) MW de Pladur. Montantes de acero de 46mm colocados cada 60cm y lana de roca entre bastidores. Tras la cámara de aire se coloca un tablero con base de cemento e= 22 mm para sostener el aislamiento. En su hoja exterior se dispone una fachada ventilada conformada por paneles de aluminio anodizado con núcleo de nido de abeja Iarcore A2 de alucoil de 14 mm y, colgados mediante una subestructura de aluminio definida en los planos de construcción, y formada por el sistema Hidetech System de Alucoil. Ver Ménsulas HT-V1, Montantes verticales HT-V2, Barras horizontales HT-V3 y piezas de anclaje HT-V4 en Anexo 2: fachada ventilada. La fachada se completa con dos capas de aislamiento de lana de roca y un tablero con base de cemento para un mejor soporte del aislamiento de 12mm. Ménsulas colocadas cada 170cm.



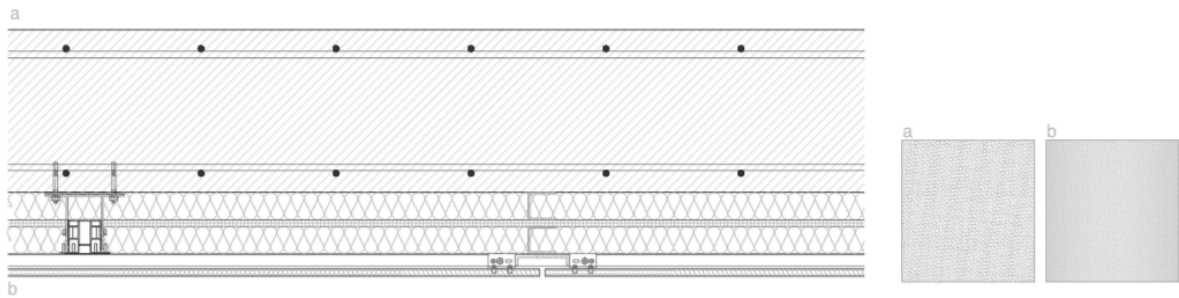
Fachada F2: Transmitancia térmica fachada ventilada de paneles de aluminio

	Espesor (m)	Conductividad térmica (W/ m.K)	Resistencia térmica (m ² .k/ W)	Transmitancia térmica (k.W/ m ²)
1.Panel Abeja	0,014	-	-	-
2.Cámara aire ventilada	0,029	-	-	-
5.Aislamiento Lana roca	0,050	0,035	1,429	0,700
6.Tablero con base de cemento	0,012	0,230	0,052	19,167
7.Aislamiento Lana roca	0,050	0,035	1,429	0,700
8.Tablero con base de cemento	0,022	0,230	0,096	10,455
9.Cámara de aire no ventilada	0,021	0,024	0,867	1,154
9.Aislamiento Lana roca	0,050	0,050	1,000	1,000
10.Panel de Yeso laminado	0,013	0,250	0,052	19,231
11.Panel de Yeso laminado	0,013	0,250	0,052	19,231
TOTAL	0,273		4,976	0,201
				U _{max} =0.66
				CUMPLE

-Muro 2.

Muro de hormigón armado e=300mm con armadura horizontal $\varnothing 12$ c/25 y armadura vertical $\varnothing 12$ c/30. Se encuentra en la separación del núcleo central de comunicaciones con las terrazas en doble altura de las viviendas y en la planta séptima en el encuentro del núcleo de hormigón con la viga en celosía. Acabado por cara a de hormigón estructural visto y cara b una fachada ventilada conformada por paneles de aluminio anodizado con núcleo de nido de abeja larcore A2 de alucoil de 14 mm y, colgados mediante una subestructura de aluminio definida en los planos de construcción, y formada por el sistema Hidetech System de Alucoil. Ver Ménsulas HT-V1, Montantes verticales HT-V2, Barras horizontales HT-V3 y piezas de anclaje HT-V4 en Anexo 2: fachada ventilada. La fachada se completa con dos capas de aislamiento de lana de roca y un tablero con base de cemento para un mejor soporte del aislamiento de 12mm. Ménsulas colocadas cada 170cm-Cerramientos vidriados

Las características de los vidrios y las carpinterías, las cuales son de la marca comercial Panoramah, se describen en el apartado de carpinterías. Encontraremos cerramientos transparentes de este tipo en dos situaciones distintas. En el caso de las viviendas aparecen como ventanas triples o dobles correderas de acceso directo al espacio exterior que se encuentra tras la malla de la fachada 1, o como acceso a los espacios en doble altura. En el caso del espacio público, las ventanas del espacio de doble altura son dobles correderas en las fachadas norte y sur y fijas en este y oeste. En la planta baja, todas las ventanas son fijas excepto por las puertas pivotantes de acceso, también de Panoramah y con rotura de puente térmico.



Muro 2: Transmitancia térmica en muros de hormigón en terrazas

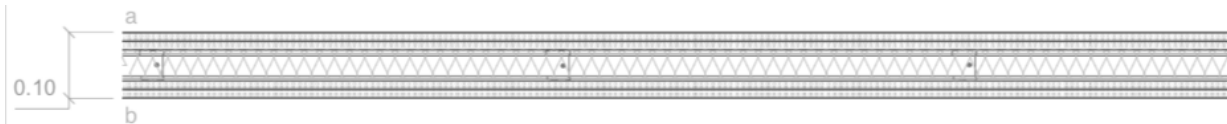
Componentes	Espesor (m)	Conductividad térmica (W/m.K)	Resistencia térmica (m ² .k/W)	Transmitancia térmica (k.W/m ²)
1.Panel Abeja	0,0140	-	-	-
2.Cámara aire ventilada	0,0285	-	-	-
5.Aislamiento Lana roca	0,0500	0,0350	1,4286	0,7000
6.Aislamiento Lana roca	0,0500	0,0350	1,4286	0,7000
7.Tablero con base de cemento	0,0120	0,2300	0,0522	19,1667
8.Muro HA	0,3000	2,3000	0,1304	7,6667
TOTAL	0,4045		3,0398	0,3290
				U _{max} =0.66 CUMPLE

4. Sistema de compartimentación

4.1 Tabiquería | Acabados verticales

- Tabique T1

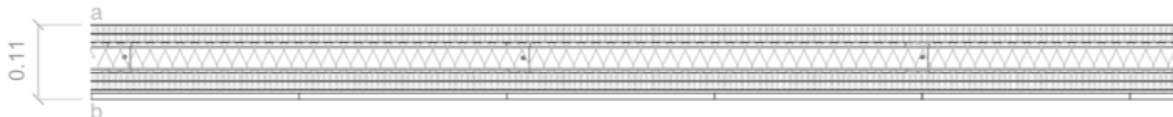
Sistema 98 (46) MW PLADUR. Tabique autoportante compuesto por cuatro placas de yeso laminado colocadas dos a dos y con aislamiento de lana de roca en el interior. Placas atornilladas a montantes 46 Pladur de acero galvanizado colocados cada 600 mm. Tabique separatorio baño de vivienda/zonas circulación de vivienda. Dos placas de yeso PLADUR N e=2x13 mm y dos placas de yeso PLADUR H1 resistentes al agua e=2x13 mm. Terminación



por cara a de estucado veneciano blanco sobre imprimación Pladur JH y cara b pintura blanca sobre imprimación Pladur JN.

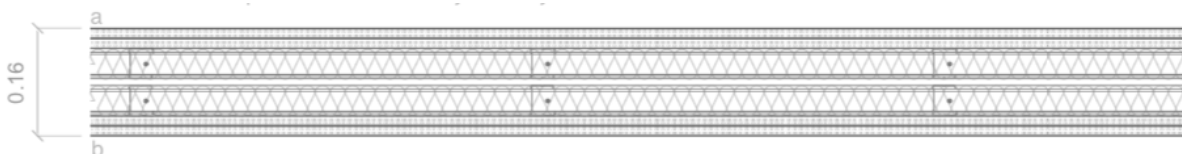
- Tabique T2

Sistema 98 (46) MW PLADUR. Tabique autoportante compuesto por cuatro placas de yeso laminado colocadas dos a dos y con aislamiento de lana de roca en el interior. Placas atornilladas a montantes 46 Pladur de acero galvanizado colocados cada 600 mm. Tabique separatorio baño de vivienda/cocina vivienda. Dos placas de yeso PLADUR H1 e=2x13 mm y dos placas de yeso PLADUR H1 resistentes al agua e=2x13 mm. Terminación por cara a de estucado veneciano blanco sobre imprimación Pladur JN y cara b revestimiento monocapa-wall tile MONACO brillo M (200x316x9 mm) de Porcelanosa adherido con tixocem bt 3000n.



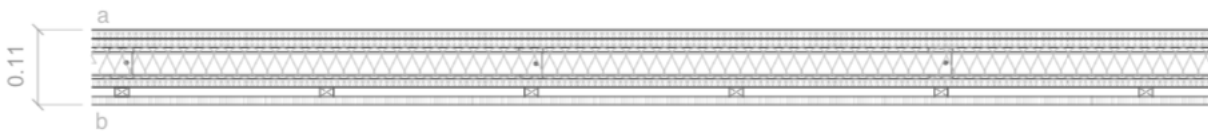
- Tabique T3

Sistema 152 (46+e+46) 2MW PLADUR. Tabique autoportante compuesto por cuatro placas de yeso laminado colocadas dos a dos y con aislamiento de lana de roca en el interior. Placas atornilladas a montantes 46 Pladur de acero galvanizado colocados cada 600 mm. Tabique separatorio baño de vivienda/patinillo de instalaciones. Dos placas de yeso PLADUR H1 e=2x15 mm y dos placas de yeso PLADUR H1 e=2x15 mm resistentes al agua. Terminación por cara a de estucado veneciano blanco sobre imprimación Pladur JH y cara b yeso visto.



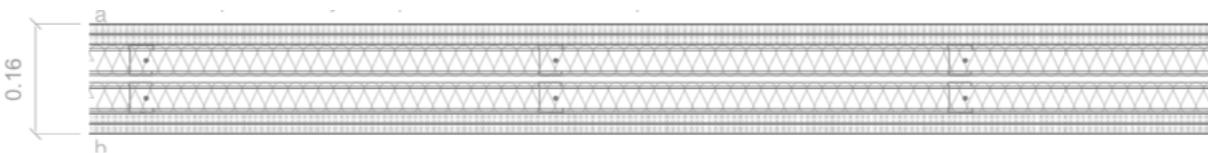
- Tabique T4

Sistema 98 (46) MW PLADUR. Tabique autoportante compuesto por tres placas de yeso laminado y con aislamiento de lana de roca en el interior. Placas atornilladas a montantes 46 Pladur de acero galvanizado colocados cada 600 mm. Tabique separatorio baño de vivienda/ estancia de vivienda. Dos placas de yeso PLADUR H1 resistentes al agua e=2x13 mm y una placa de yeso PLADUR N e=2x13 mm. Terminación por cara a de estucado veneciano blanco sobre imprimación Pladur JH y cara b panel de madera de pino natural e=12mm sobre rastreles de madera.



- Tabique T5

Sistema 152 (46+e+46) 2MW PLADUR. Tabique autoportante compuesto por cuatro placas de yeso laminado colocadas dos a dos y con aislamiento de lana de roca en el interior. Placas atornilladas a montantes 46 Pladur de acero galvanizado colocados cada 600 mm. Tabique separatorio vestíbulo de independencia/patinillo de instalaciones. Dos placas de yeso PLADUR H1 e=2x15 mm y dos placas de yeso PLADUR H1e=2x15 mm resistentes al agua. Montante 46 colocado cada 60 cm. Terminación por cara a y b de pintura blanca sobre imprimación Pladur JN Y JH.



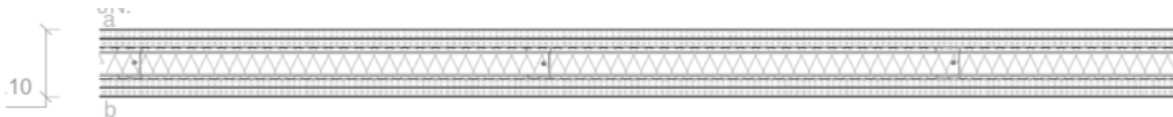
- Tabique T6

Sistema 167 (46+15+e+46) 2MW PLADUR. Tabique autoportante compuesto por cinco placas de yeso laminado y con aislamiento de lana de roca en el interior de las dos cámaras. Placas atornilladas a montantes 46 Pladur de acero galvanizado colocados cada 400 mm. Tabiques separatorios entre la cocina del espacio público y zonas comunes. Dos placas de yeso PLADUR N e=2x13 mm y dos placas de yeso PLADUR H1 resistentes al agua e=2x13 mm. Montante 46 colocado cada 60 cm. Terminación por cara a de pintura blanca sobre imprimación Pladur Jn y cara b revestimiento monocapa-wall tile MONACO brillo M (200x316x9 mm) de Porcelanosa adherido con tixocem bt 3000n.



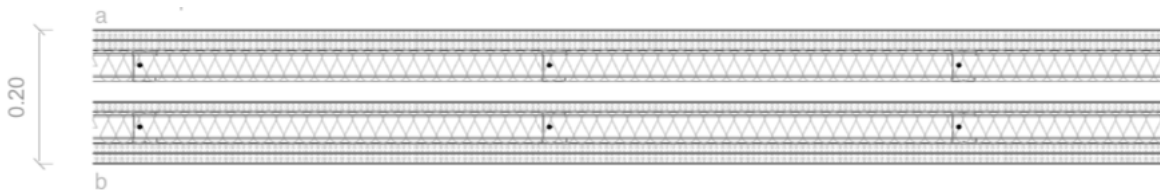
- Tabique T7

Sistema 98 (46) MW PLADUR. Tabique autoportante compuesto por cuatro placas de yeso laminado colocadas dos a dos y con aislamiento de lana de roca en el interior. Placas atornilladas a montantes 46 Pladur de acero galvanizado colocados cada 600 mm. Tabique separatorio baño espacio público. Dos placas de yeso PLADUR H1 e=2x13 mm y dos placas de yeso PLADUR H1 resistentes al agua e=2x13 mm. Terminación por cara a y b de estucado veneciano blanco sobre imprimación Pladur JN.



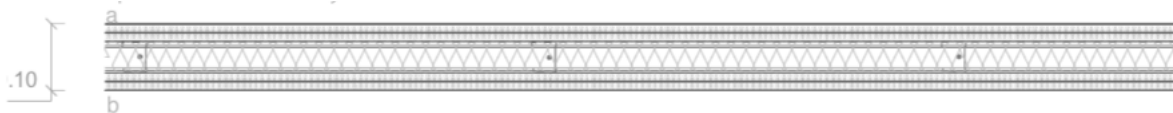
- Tabique T8

Sistema 98 (46) MW PLADUR. Tabique autoportante compuesto por cuatro placas de yeso laminado colocadas dos a dos y con aislamiento de lana de roca en el interior. Placas atornilladas a montantes 46 Pladur de acero galvanizado colocados cada 600 mm. Tabique separatorio baño espacio público. Dos placas de yeso PLADUR H1 e=2x13 mm y dos placas de yeso PLADUR H1 resistentes al agua e=2x13 mm. Terminación por cara a y b de estucado veneciano blanco sobre imprimación Pladur JN.



- Tabique T9

Sistema 98 (46) MW PLADUR. Tabique autoportante compuesto por cuatro placas de yeso laminado colocadas dos a dos y con aislamiento de lana de roca en el interior. Placas atornilladas a montantes 46 Pladur de acero galvanizado colocados cada 600 mm. Tabique separatorio baño de vivienda/zonas circulación de vivienda. Dos placas de yeso PLADUR N e=2x13 mm y dos placas de yeso PLADUR H1 resistentes al agua e=2x13 mm. Terminación por cara a y b pintura blanca sobre imprimación Pladur JN y JH.

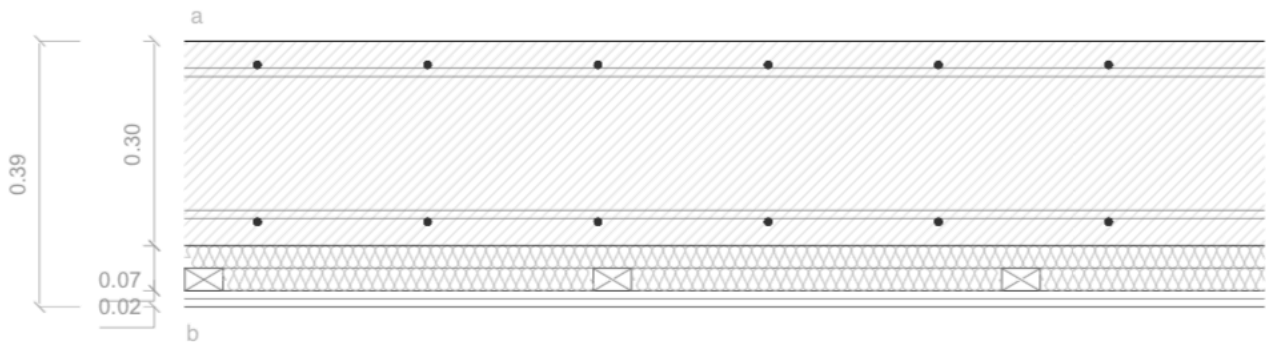


5. Sistema de acabados

5.1 Acabados superficiales en Muros

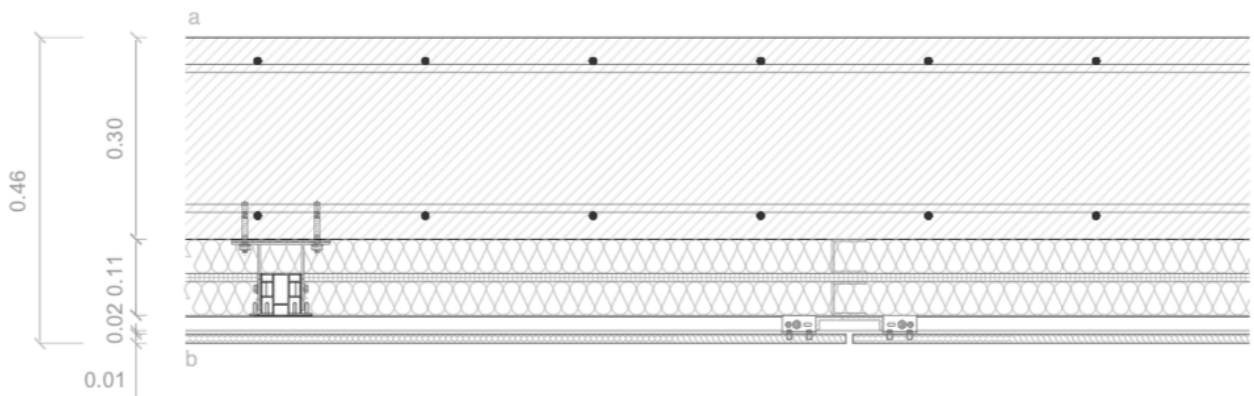
- Muro M1

Muro de hormigón armado $e=300\text{mm}$ $\varnothing 12$ c/25. Separación viviendas/ vestíbulo de independencia. Acabado por cara a de hormigón estructural visto y cara b revestimiento de panel de madera de pino natural $2xe=12$ mm sobre rastreles de madera en combinación vertical y horizontal entre los que se coloca aislamiento mineral de lana de roca.



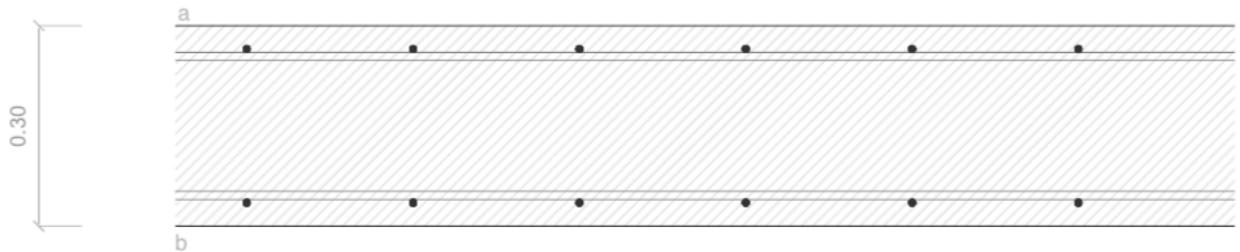
- Muro M2

Muro de hormigón armado $e=300\text{mm}$ $\varnothing 12$ c/25. Separación viviendas/ vestíbulo de independencia. Acabado por cara a de hormigón estructural visto y cara b revestimiento de panel de madera de pino natural $2xe=12$ mm sobre rastreles de madera en combinación vertical y horizontal entre los que se coloca aislamiento mineral de lana de roca $e=2x40\text{mm}$



- Muro M3

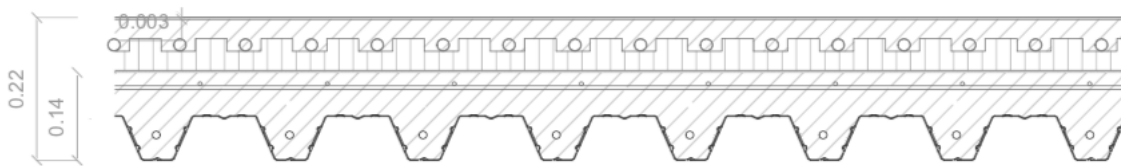
Muro de hormigón armado $e=300\text{mm}$ $\varnothing 12$ $c/25$. Acabado por caras a y b de hormigón estructural visto.



5.2 Acabados superficiales Suelos

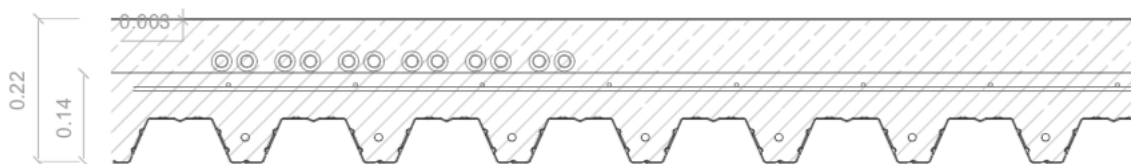
-Suelo S1

Pavimento continuo de microcemento en interior de vivienda. Microcemento fino de 3mm aplicado sobre una capa de grueso. Acabado microcemento SikaDecor 801 Nature 2. Color plata $e=3\text{mm}$



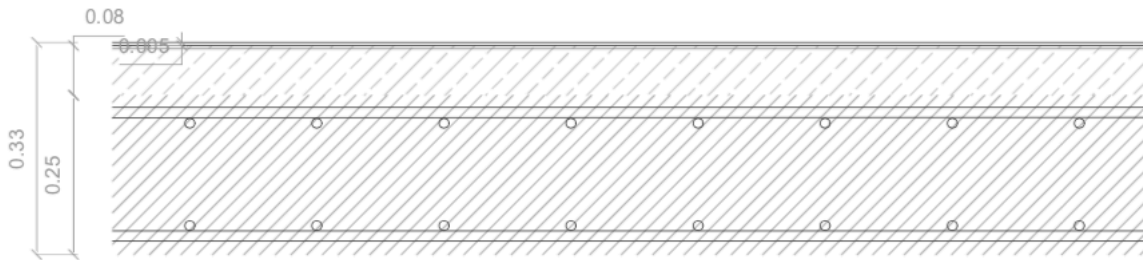
- Suelo S2

Pavimento continuo de microcemento en vestíbulos de independencia. Microcemento fino de 3mm aplicado sobre una capa de grueso. Acabado microcemento SikaDecor 801 Nature 2. Color rodio $e=3\text{mm}$



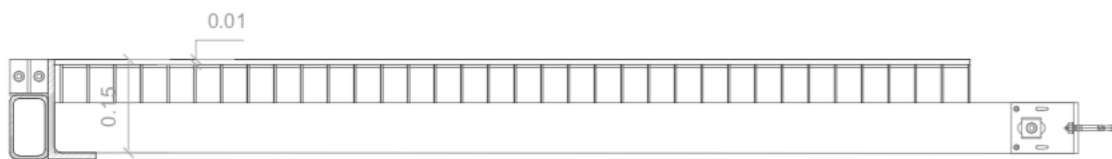
- Suelo S3

Pavimento continuo de microcemento en planta baja-espacio público. Microcemento fino de 5mm aplicado sobre una capa de grueso. Para mejorar la adherencia entre el acabado y la capa hormigón aligerado, y aumentar la durabilidad del pavimento, se coloca una malla de fibra de vidrio. Superficie resistente e impermeable de escaso mantenimiento. Acabado microcemento SikaDecor 801 Nature 2. Color plata e=5mm



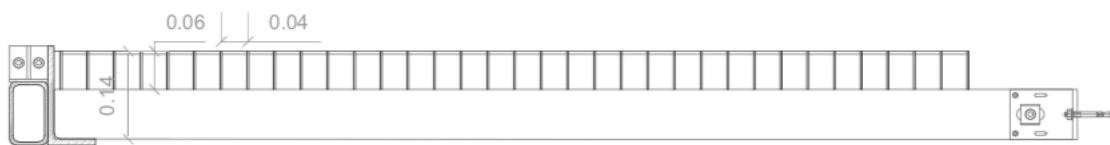
- Suelo S4

Chapa de acero inoxidable Italfilm Collection T163 sobre malla de seguridad RELESA en los espacios exteriores proyectados como terraza de vivienda

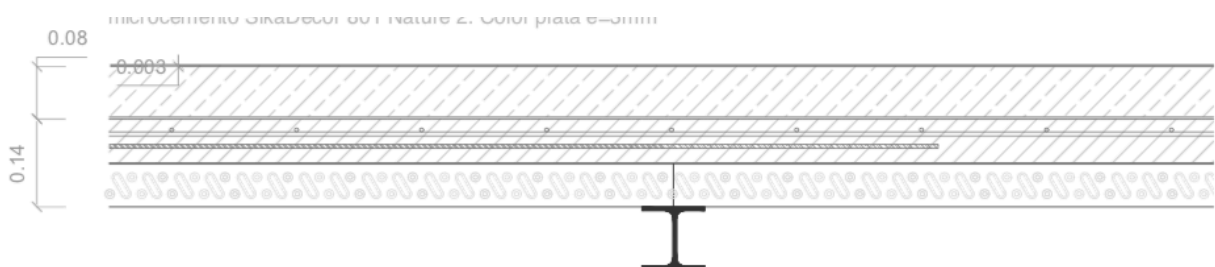


- Suelo S5

Malla de seguridad (EN-ISO 14122) Acero calidad S 235 JR (Norma EN 10025) RELESA. Malla41x101.6 sobre perfiles tubulares #80.40.5



- Suelo S6

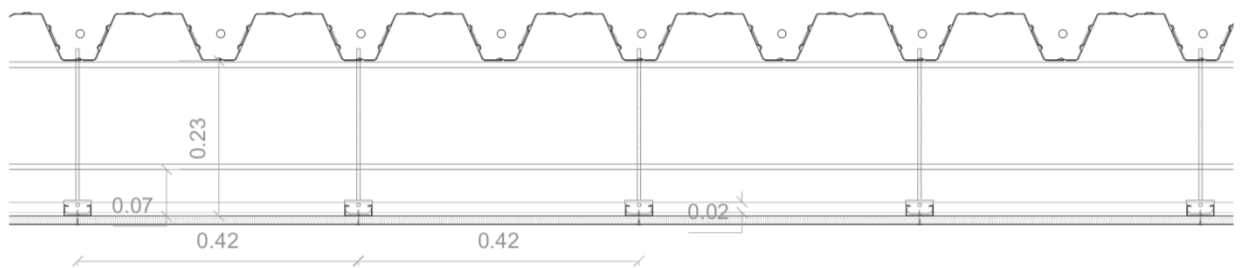


Pavimento continuo de microcemento sobre hormigón aligerado para formación de pendiente en la terraza de la vivienda. Microcemento fino de 3mm aplicado sobre una capa de grueso. Acabado microcemento SikaDecor 801 Nature 2. Color plata e=3mm

5.3 Acabados superficiales Techos

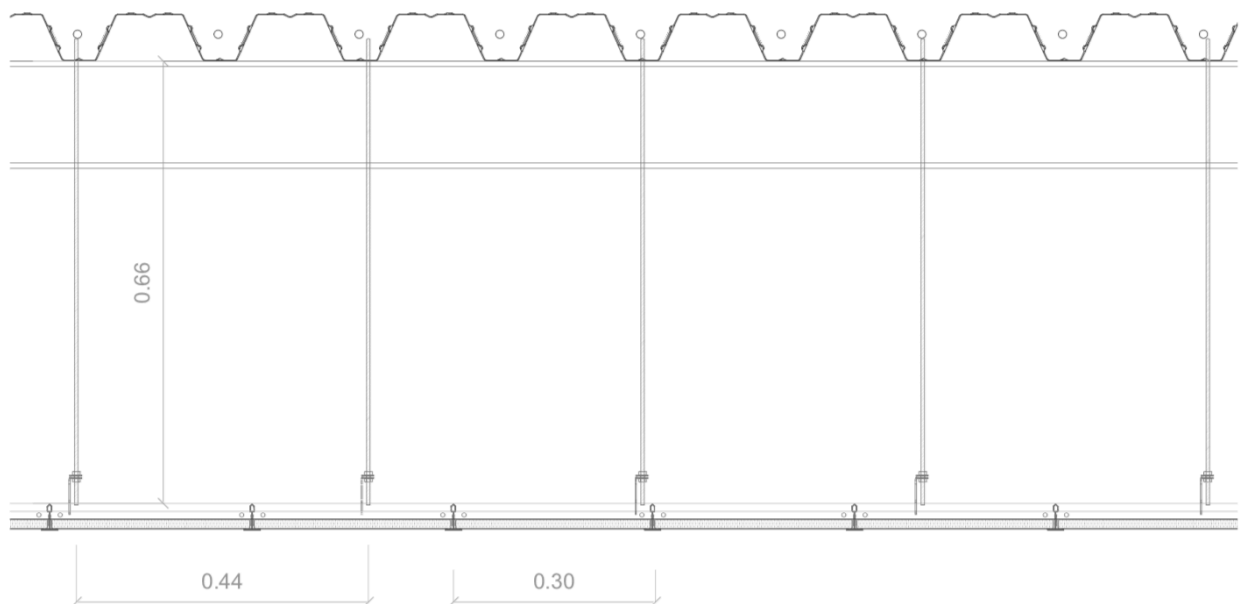
- Techo T1

Falso techo continuo suspendido estructura simple Sistema T-60/1x13 MW PLADUR. Falso techo compuesto por una placa de yeso laminado. Placas atornilladas a subestructura mediante Horquillas T-47 y Perfiles T47 colocados cada 42cm y anclados a forjado resistente mediante varilla roscada de $\varnothing 6\text{mm}$ Pladur. Falso techo sobre espacio público. Placa de yeso PLADUR N e=2x13 mM. Acabado pintura blanca sobre imprimación Pladur JN.



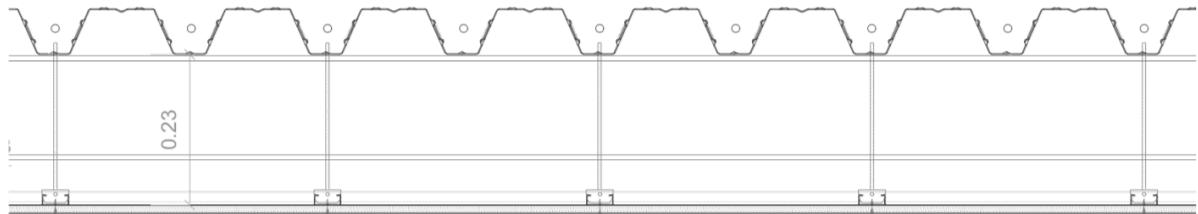
- Techo T2

Falso techo registrable suspendido estructura simple Sistema 1200X600 13 PLADUR. Falso techo compuesto por una placa de yeso laminado. Placas atornilladas a subestructura mediante Horquillas y perfiles TR Pladur colocados cada 42cm y anclados a forjado resistente mediante varilla roscada de $\varnothing 6\text{mm}$ Pladur. Falso techo en planta baja para paso de sistemas de ventilación. Acabado Placa de yeso PLADUR N e=13 mm.



- Techo T4

Falso techo continuo suspendido estructura simple Sistema T-60/1x13 MW PLADUR. Falso techo compuesto por una placa de yeso laminado. Placas atornilladas a subestructura mediante Horquillas T-47 y Perfiles T47 colocados cada 42cm y anclados a forjado resistente mediante varilla roscada de $\varnothing 6\text{mm}$ Pladur. Falso techo sobre zonas de circulación y cocina en vivienda y en vestíbulos de independencia. Placa de yeso PLADUR N e=13 mm. Acabado pintura blanca sobre imprimación Pladur JN.



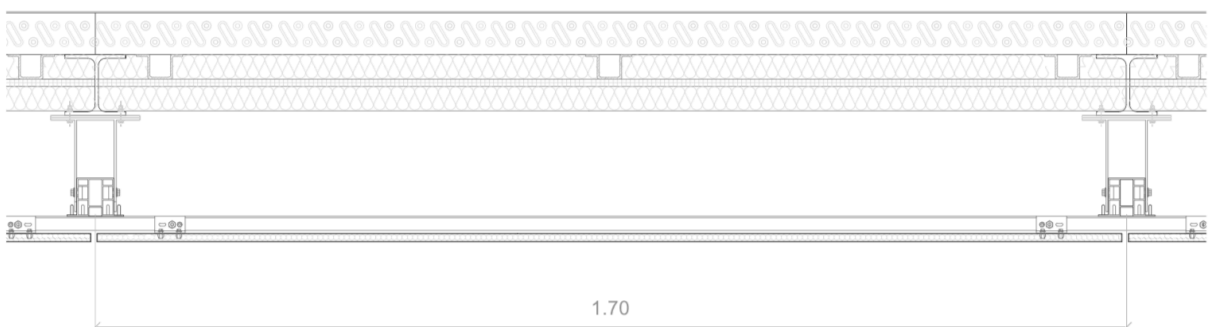
- Techo T5

Forjado de chapa colaborante INCO 70.4 e=140 mm con imprimación de pintura Promapaint-SC4 color blanco para protección frente al fuego R90. Forjado apoyado sobre perfiles metálicos de acero laminado (HEB 180, HEB 160, HEB100 y IPE 180) según posición del forjado. Detallado en planos de estructura. Perfiles con imprimación de pintura Promapaint-SC4 color blanco para protección frente al fuego R90.



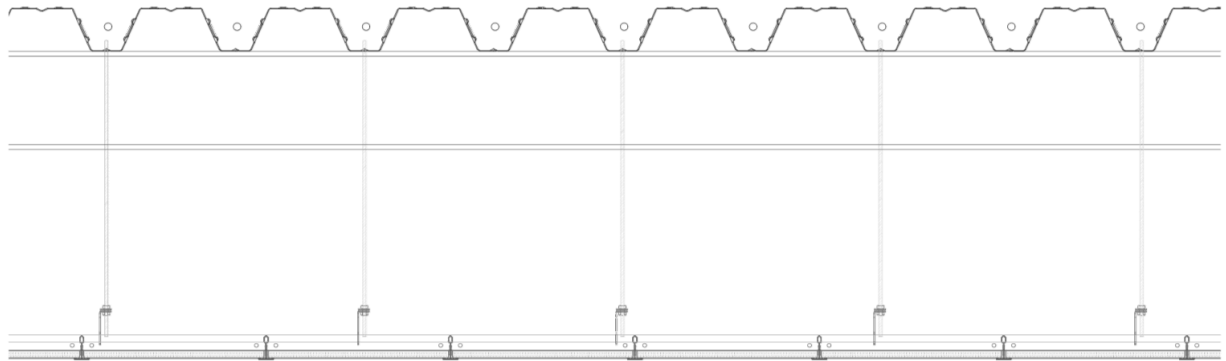
- Techo T6

Techo de terraza de las viviendas compuesto por elementos de la fachada ventilada sistema Hidetech de Alucoil. Acabado de paneles de aluminio anodizado con núcleo de nido de abeja larcore A2 de alucoil de 14 mm atornillados a la estructura mediante una subestructura de aluminio definida en los planos de construcción, y formada por el sistema Hidetech System de Alucoil (Ménsulas HT-V1, Montantes verticales HT-V2, Barras horizontales HT-V3 y piezas de anclaje HT-V4) con dos capas de aislamiento de lana de roca y un tablero con base de cemento e=12mm atornillado a perfiles omega OF 50.2.5 e=2.5mm). Mensulas colocadas cada 170cm.



- Techo T7

Falso techo registrable suspendido estructura simple Sistema 1200X600 13 PLADUR. Falso techo compuesto por una placa de yeso laminado. Placas atornilladas a subestructura mediante Horquillas y perfiles TR Pladur colocados cada 42cm y anclados a forjado resistente mediante varilla roscada de $\varnothing 6\text{mm}$ Pladur. Falso techo en baños de vivienda para instalaciones de climatización. Acabado Placa de yeso PLADUR H1 e=13 mm.



6. Sistema de acondicionamientos e instalaciones

Se indican los datos de partida, los objetivos a cumplir, las prestaciones y las bases de cálculo para cada uno de los subsistemas siguientes:

1. Protección contra incendios, electricidad, alumbrado, fontanería, ventilación, telecomunicación, etc.
2. Instalaciones térmicas del edificio proyectado y su rendimiento energético, suministro de combustibles, ahorro de energía e incorporación de energías renovables.

Nota: Por el carácter independiente de cada una de las piezas, se desarrollará como ejemplo la torre N°4, por ser la más restrictiva en cuanto a instalaciones se refiere debido a la inclusión de una cafetería/restaurante en planta baja que precisa de ACS y equipos electrodomésticos.

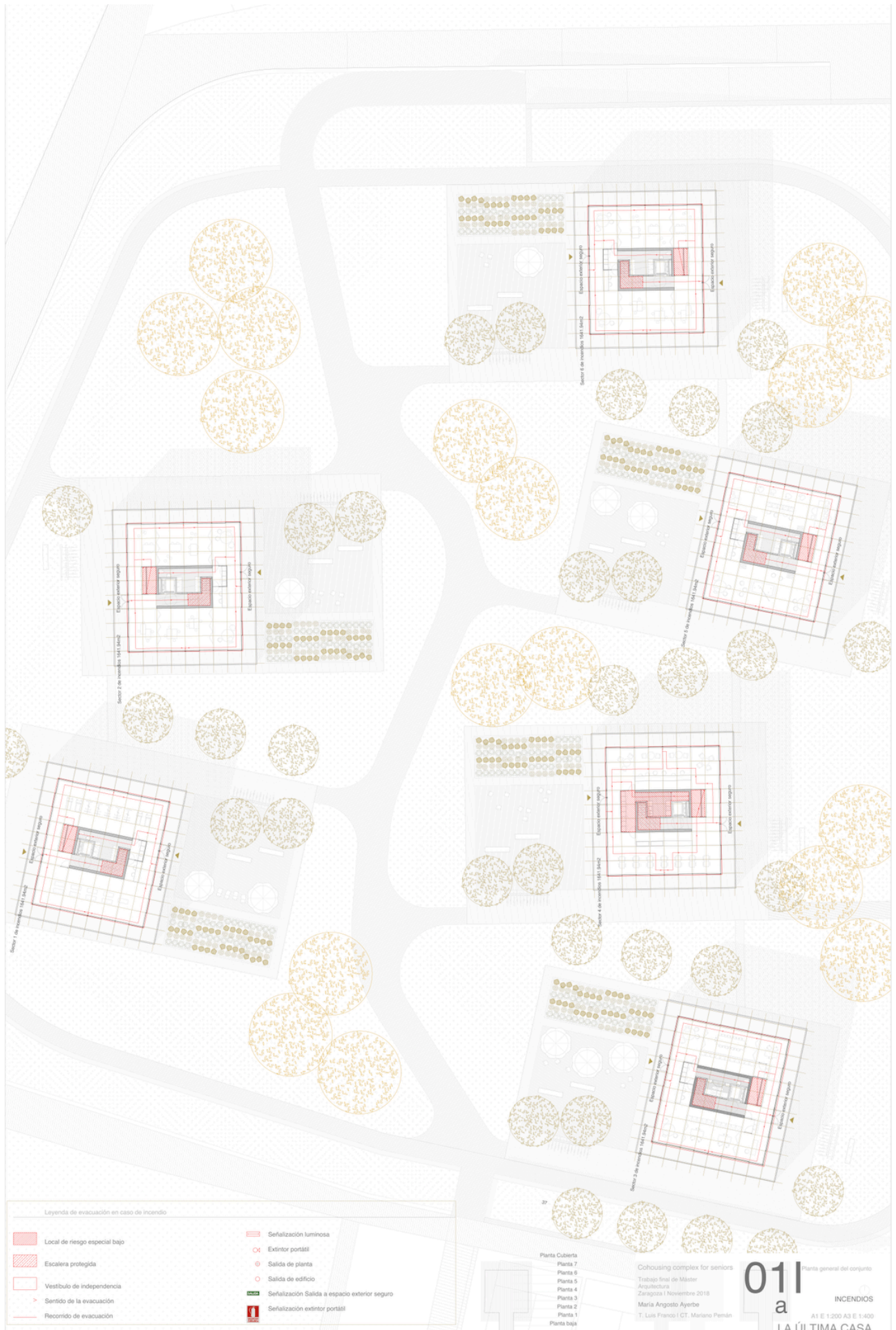
6.1 Subsistema de Protección contra Incendios

- Datos de partida
Constituye el objeto de la presente memoria, la descripción y justificación de la instalación de los sistemas de prevención y extinción de incendios para el proyecto de Conjunto residencial para Seniors en el Parque del Agua que nos atañe, incluyendo este el diseño y ejecución de los sistemas definidos a continuación.
- Objetivos a cumplir

La presente documentación tiene por finalidad la descripción y especificación de las características gráficas y técnicas de los sistemas que garanticen el requisito básico “Seguridad en caso de incendio”, CTE-DB-SI.

El objetivo consiste en reducir a límites aceptables el riesgo de que los usuarios de un edificio sufran daños derivados de un incendio de origen accidental, como consecuencia de las características del proyecto, construcción, uso y mantenimiento.

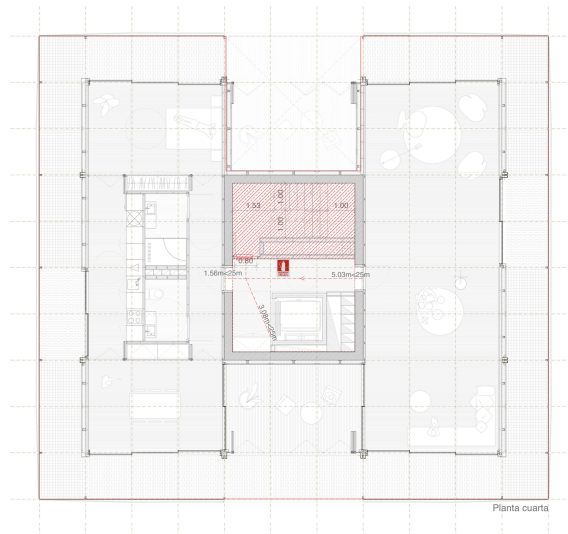
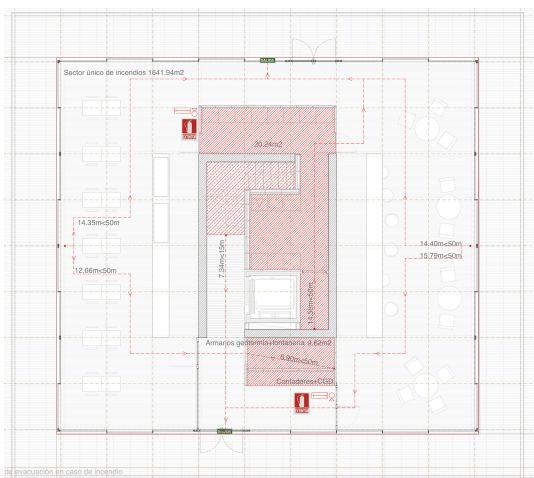
- A continuación se muestra el esquema de diseño del conjunto residencial:



- Descripción y características

Cálculo de Sectores de incendios

Planta baja	179,55 m ²	
Planta primera	36,05 m ²	
Planta segunda	182,61 m ²	
Planta tercera cuarta quinta	198,57 m ²	
Planta sexta	182,61 m ²	
TOTAL SECTOR		1175,97 M² < 2500m² residencial vivienda



Por lo tanto, cada uno de los bloques conforma un sector de incendios único por no superar el límite establecido para el uso previsto residencial vivienda.







Nota: se consideran los estores comunes en planta baja como zonas comunes dentro del uso residencial vivienda. Superficie útil de las zonas comunes en planta baja: 186,13 m²

Se instalarán extintores de tal forma que cubran todo el edificio. Cada uno de los extintores tendrá una eficacia como mínimo 21A-113B. Además se instalarán extintores de CO₂ en las zonas de cuadros eléctricos.

En el edificio existen locales de riesgo especial bajo como son los cuartos de instalaciones, los cuartos de residuos, almacenes y trasteros. En estos locales se instalará un extintor en el exterior del local o de la zona y próximo a la puerta de acceso. Este extintor podrá servir simultáneamente a varios locales o zonas. La situación de un extintor fuera del local o zona facilita su utilización en mejores condiciones de seguridad. No será necesaria la situación de extintores en el interior de los locales pues la longitud del recorrido desde cualquier punto de los locales hasta las salidas de planta o del edificio no supera nunca los 15m.

Los extintores se dispondrán de forma tal que puedan ser utilizados de manera rápida y fácil. El extintor estará señalizado con una placa fotoluminiscente de 210x210 mm., conforme a la norma UNE 23035-4, y se dispondrá además de alumbrado de emergencia que entre en funcionamiento en caso de fallo en el suministro del alumbrado normal, cuyas características se describen en el apartado del Subsistema de Alumbrado.

Leyenda

-  Acometida
-  Arqueta
-  Interruptor
-  Fusible o
-  Contador
-  Cuadro g
-  L Celda de
- R Celda de

En el núcleo central del edificio se encuentran la escalera protegida que sirve de evacuación a las viviendas en cada planta, siendo el punto de evacuación más alto 19m. En casa rellano hay un vestíbulo de independencia equipado con extintor y alumbrado de emergencia y una puerta contra incendios de 80 cm de hueco.

6.5 Subsistema de Electricidad, voz y datos

- Datos de partida

Constituye el objeto de la presente memoria, la descripción y justificación de la instalación de electricidad, voz y datos para el proyecto Conjunto residencial para Seniors en el Parque del Agua que nos atañe, incluyendo este el diseño y ejecución de la red eléctrica en el presente proyecto.

- Objetivos a cumplir

El presente proyecto tiene por finalidad la descripción y especificación de las características gráficas y técnicas de la instalación eléctrica, y en general de los siguientes servicios:

- Acometida.
- Cuadro General de Distribución.
- Cuadros Secundarios de Distribución.
- Elementos singulares
- Toma de tierra.

Se presenta así en este documento, junto con los documentos complementarios (planos y memoria de justificación del DB-HE3), el diseño y los sistemas utilizados.

Es de aplicación en este proyecto y su posterior ejecución toda la reglamentación y normativa de actual vigencia en España para este tipo de instalaciones, y en especial en el Vigente Reglamento Electrotécnico para Baja Tensión e instrucciones Técnicas Complementarias (ITC) BT 01 a BT 51, así como las Normas Particulares de la compañía suministradora.

- Descripción y características

PREVISIÓN DE CARGAS

La previsión de cargas B.T. de la urbanización y alumbrado público objeto de este proyecto, se ha efectuado en función de lo establecido en el REBT-ITC BT 010.

Carga correspondiente a 1 bloque:

	Ud	POTENCIA (KW)	POTENCIA TOTAL (KW)
Viviendas Grado electrificación elevado Coef simula 4,6	5 Ud	9,2 KW/Ud	42,32 KW
Local	186,13 m2	0,1 KW/m2	18,61 KW
Ascensor	1 Ud	4,5 KW/Ud	4,5 KW
Escalera	1 Ud	3 KS/ Ud	3 KW
	TOTAL BLOQUE		64,43 KW

Carga estimada correspondiente a alumbrado público:

	Ud	POTENCIA (KW)	POTENCIA TOTAL (KW)
Alu público (30w/Ud luminaria LED -> POT CÁLCULO 1,8-> 68,4 W/UD	30 UD	68,4 KW/Ud	2,05 KW
POT equipos de control	1 Ud	300 W	18,61 KW
	TOTAL ALU PÚBLICO		2,50 KW

Total bloques 64,43 KW x 6 bloques= 386,58 KW

Alumbrado público= 2,50 KW

TOTAL: 389,08 KW

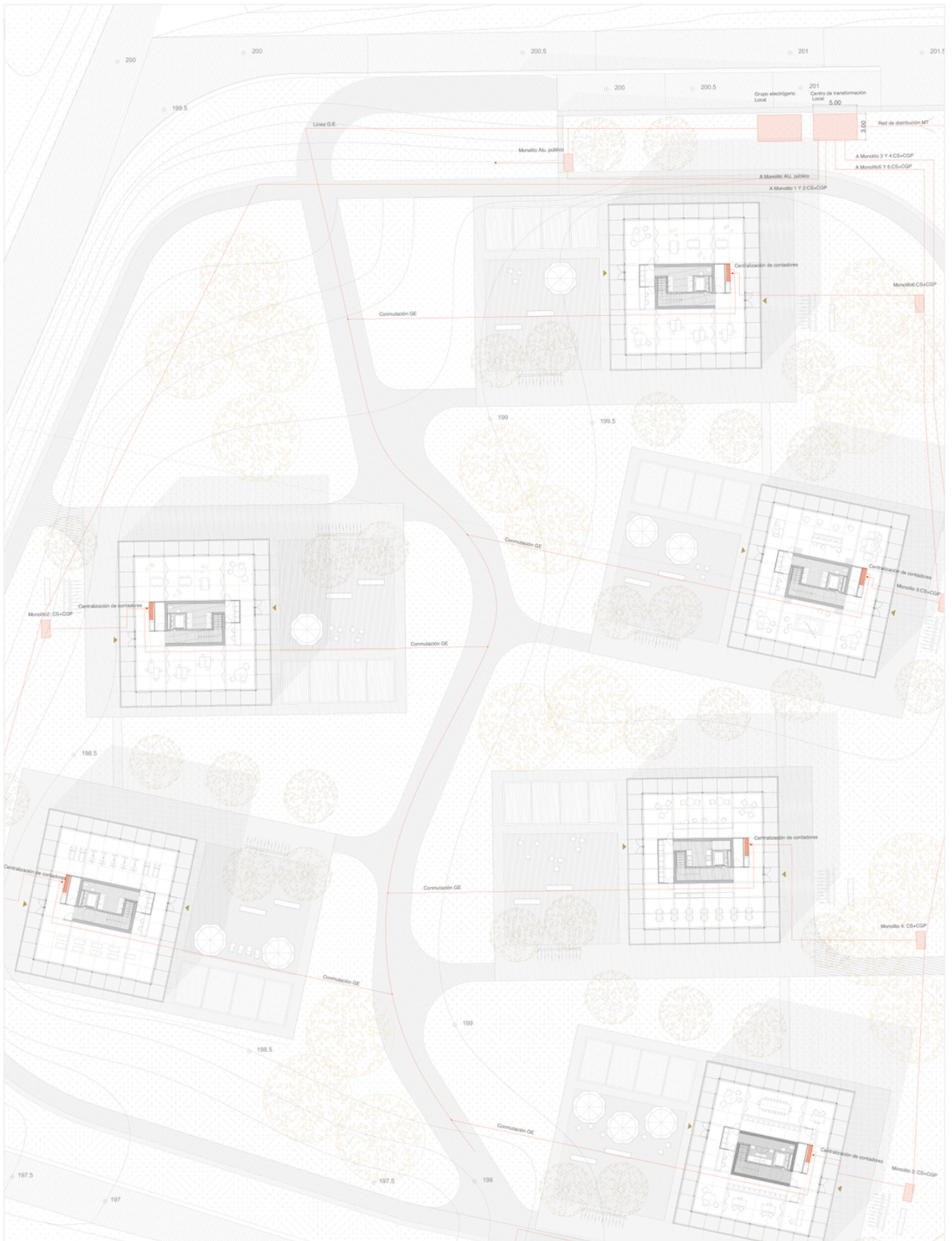
Según RD1955-2000 artículo 46, para una potencia superior a 100 kW se hace necesario reserva de espacio para centro de transformación.

Transformador a instalar $P_{ap} = 439,42 \text{ kW} / 0.8 (\cos \phi) = 549,27 \text{ kVA}$

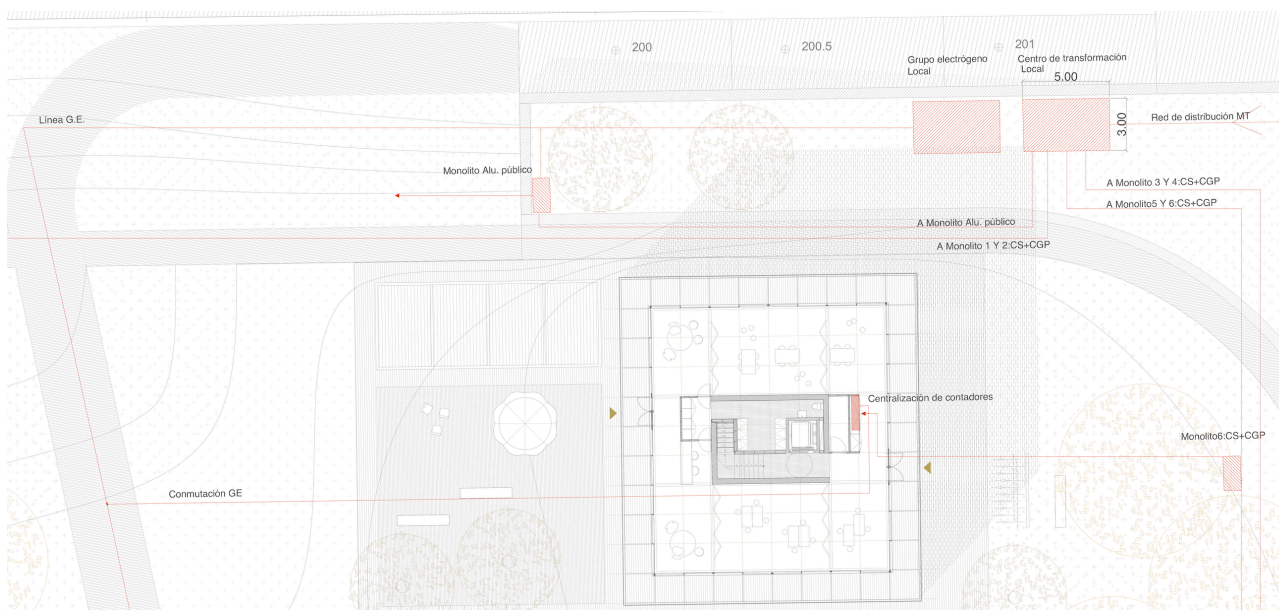
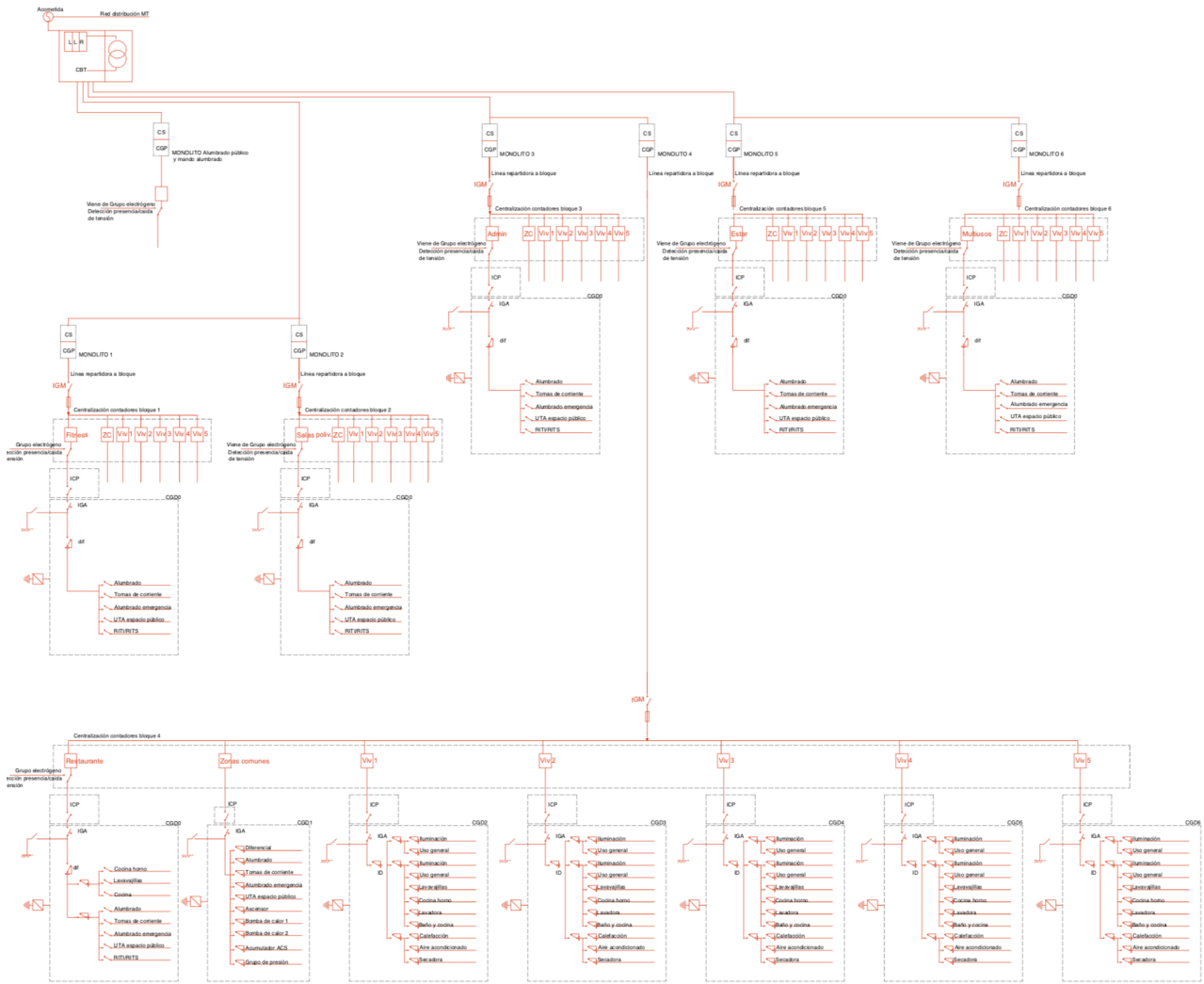
Como resultado de los cálculos anteriores, se coloca en el extremo noreste del solar un cuarto de dimensiones 5x3x3 para la colocación de un centro de transformación. Desde el centro de transformación salen tres líneas (red de distribución de baja tensión) a seis monolitos (dos monolitos cada red de distribución) en los que se coloca la Caja de Seccionamiento y el Cuadro General de Protección del que sale la línea repartidora a la centralización de contadores de cada bloque.

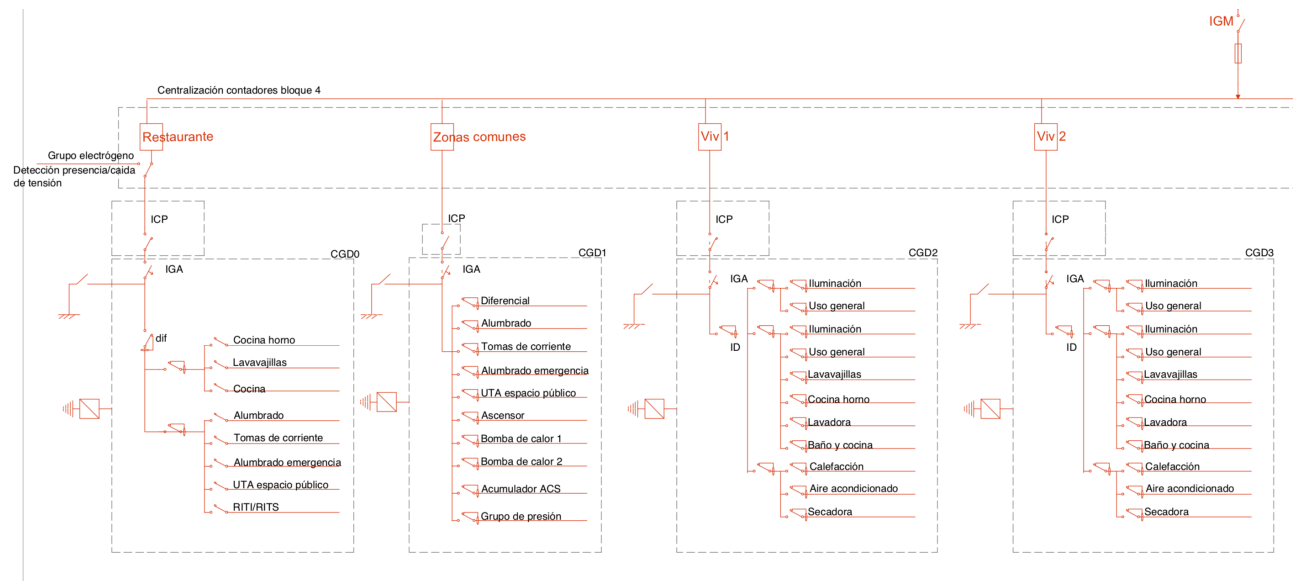
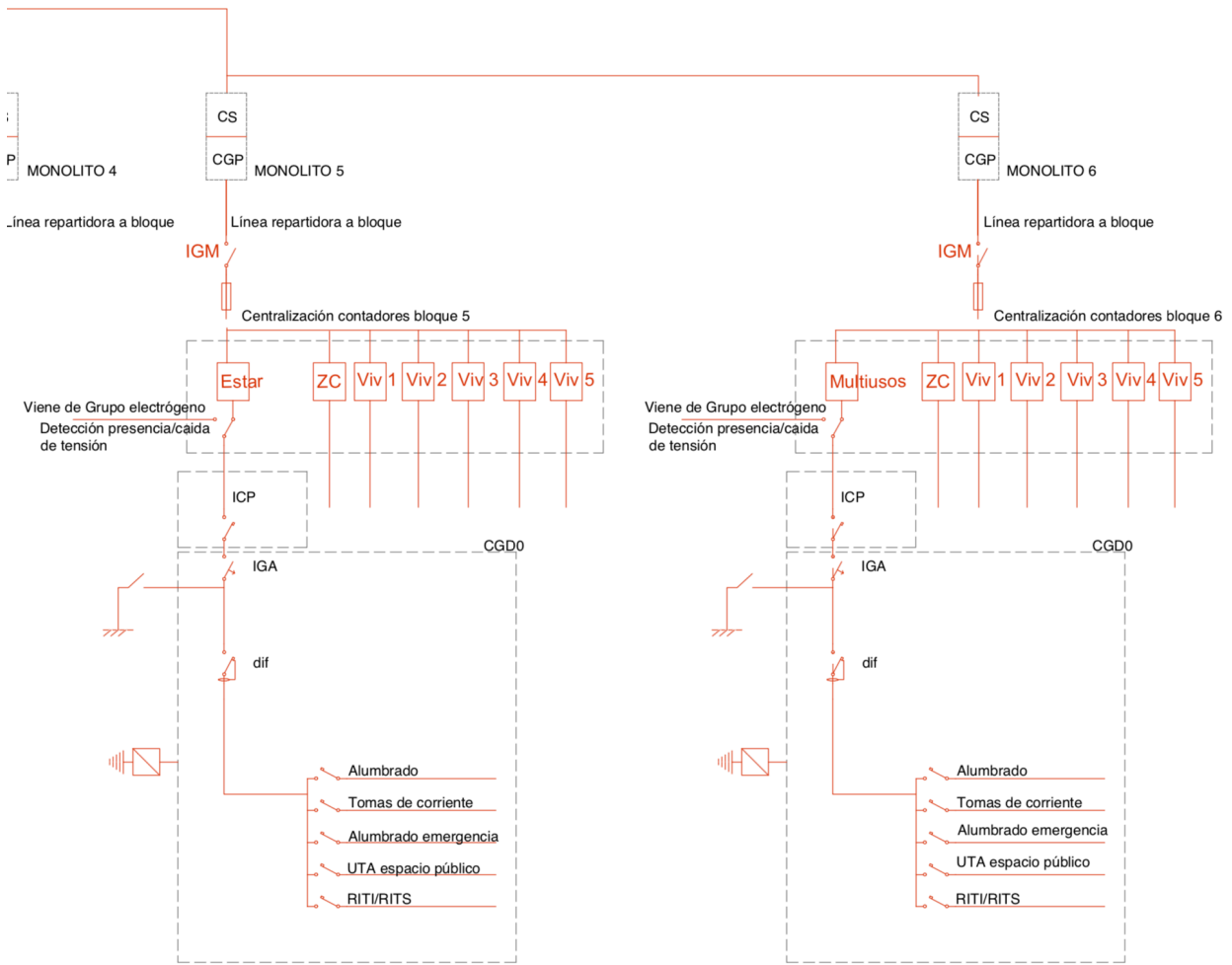
En la centralización de contadores se encuentran cinco contadores (uno para cada vivienda), un contador para servicios comunes y otro contador para la zona de espacio público. Este último contador llevará un conmutador conectado a la línea proveniente del Grupo electrógeno en caso de ausencia de tensión.

A continuación se muestra el esquema de diseño del conjunto residencial y algunos detalles ampliados del mismo:



Leyenda de electricidad		Interruptores		Alumbrado		Nomenclatura	
	Interruptor magnetotérmico		Conexión luminaria al interruptor		CGD Cuadro general de distribución		ICT Recinto de infraestructuras de telecomunicación
	Interruptor diferencial		— Led lineal integrado en pared		TV Toma de televisión		DT Toma de datos
	Conducto de ruido puesta a tierra bajo cimentación		— Led lineal integrado en techo		TF Toma de teléfono		CS Caja de seccionamiento
	Punto de puesta a tierra		— Led lineal integrado en pavimento				
	CSGD Cuadro secundario de distribución						
	Cableado vertical						
	Cableado horizontal						
	Commutador						





6.4 Subsistema de fontanería

- Datos de partida

Constituye el objeto de la presente memoria, la descripción y justificación de la instalación de abastecimiento de agua para el proyecto del Conjunto residencial para Seniors en el Parque del Agua que nos atañe, incluyendo este el diseño y ejecución de la red de fontanería en el presente proyecto.

- Objetivos a cumplir

El presente proyecto tiene por finalidad la descripción y especificación de las características gráficas y técnicas de la instalación de abastecimiento de agua para los siguientes servicios:

- Almacenamiento de agua
- Red de distribución de agua

Se presentan así en este documento, junto con los documentos complementarios (planos y memoria de Justificación del DB-HS4), el diseño de la instalación, los cálculos justificativos y los materiales utilizados.

Es de aplicación en este proyecto y su posterior ejecución toda la reglamentación y normativa de actual vigencia en España para este tipo de instalaciones, y en especial el Documento Básico de Salubridad, sección 4. DB-HS 4. Suministro de Agua.

- Información previa:

El edificio está dotado de un cuarto de instalaciones situado en la planta superior, que alberga dos bombas de calor de alta eficiencia de tierra/agua BWS-1 de la casa Wolf. Ambas bombas de calor alimentan los sistemas de calefacción/refrigeración y agua caliente sanitaria del edificio mediante energía geotérmica que llega del subsuelo gracias a la instalación de pilotes energéticos en la cimentación del edificio.

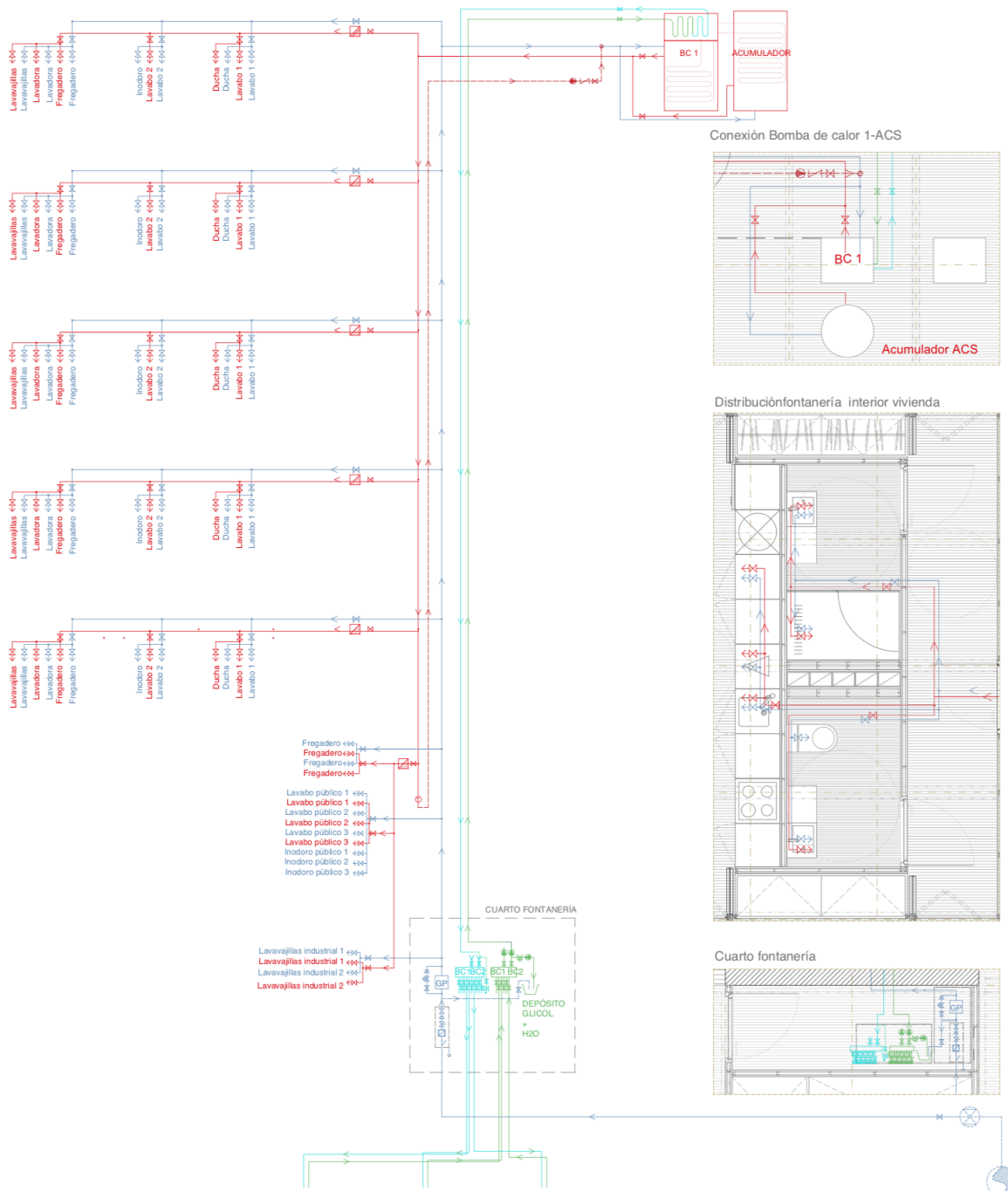
La solución estructural de pilotes CPI-5 sirve como pretexto para utilizar este sistema de captación de energía por medio de pilotes energéticos.

La bomba de calor 1 (BC1 en la documentación planos) será la responsable de suministrar el agua caliente sanitaria al edificio. Tanto al espacio público como a las viviendas, cada uno con un contador divisionario.

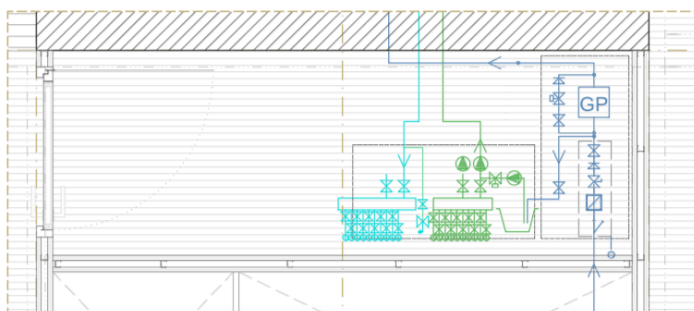
La bomba de calor 2 (BC2 en la documentación planos) será la responsable de alimentar los sistemas de climatización (calefacción y refrigeración) por suelo radiante de las viviendas, el apoyo de UTA con recuperador de calor en las mismas y la UTA con recuperador de calor para la climatización del espacio público, cada uno también con un contador divisionario.

A continuación se muestra el esquema de diseño del conjunto residencial y algunos detalles ampliados del mismo:

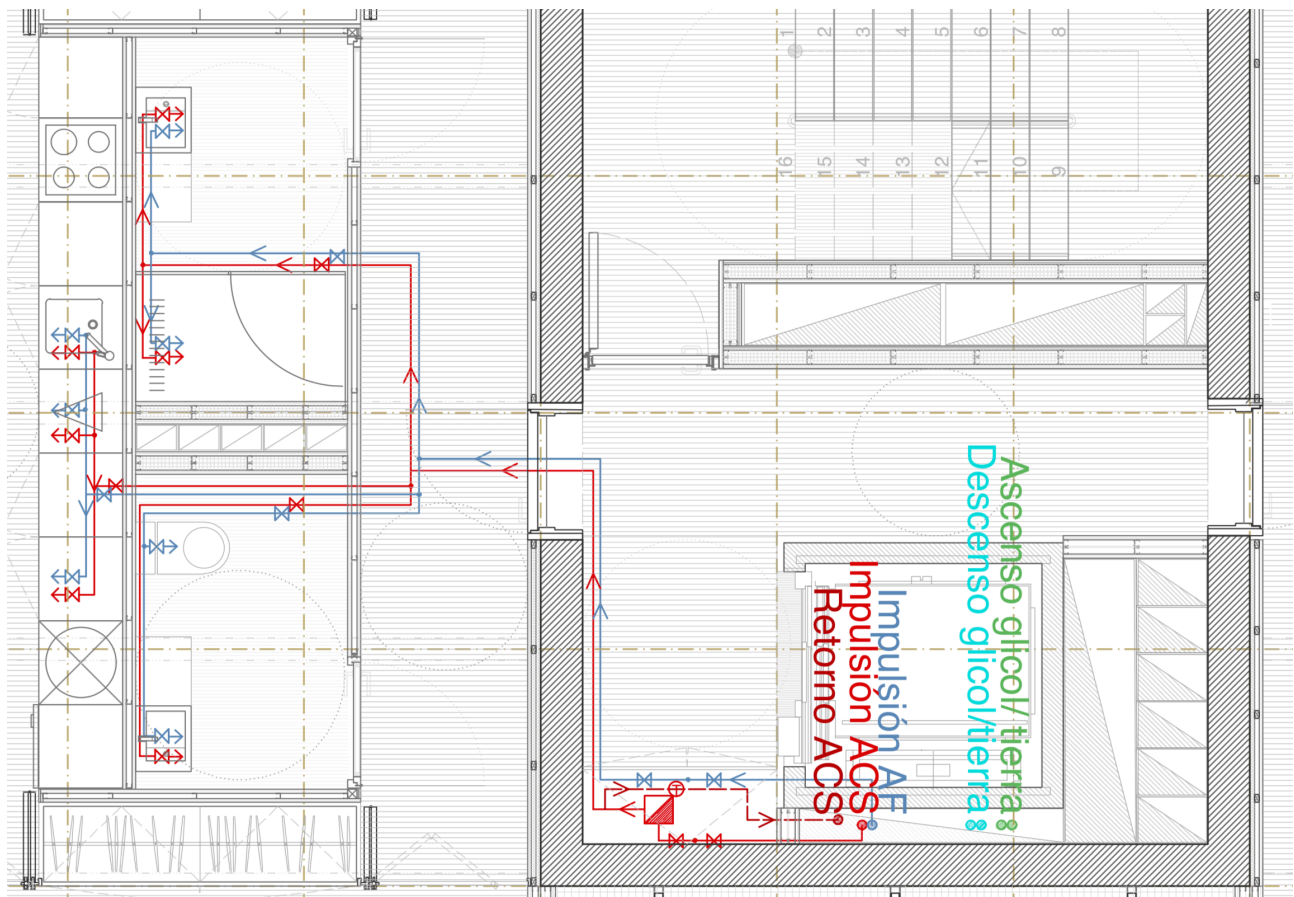
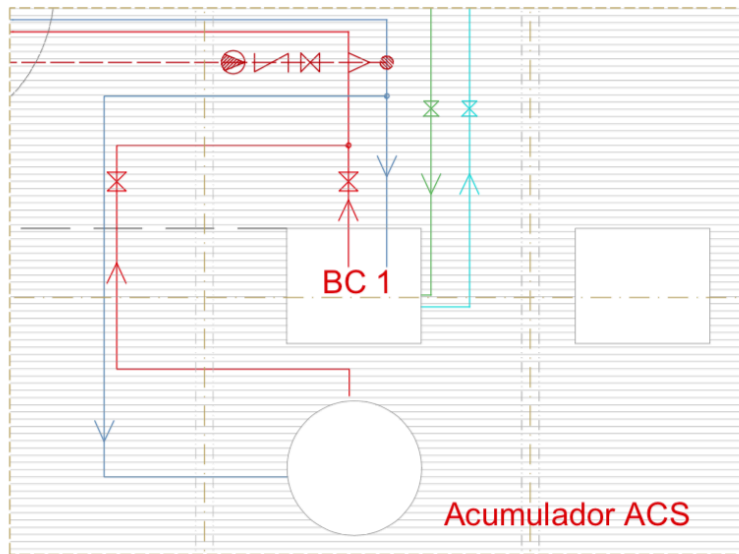
Esquema de principios de la red de fontanería y suministro de ACS mediante una bomba de calor (BC1) que sirve en cada planta a la red de una vivienda mediante su correspondiente contador divisionario. En la planta 1 se encuentra el cuarto de contador para el espacio público, que sirve a la cocina del restaurante en planta baja y a los baños y almacén de planta primera.



Cuarto fontanería



Conexión Bomba de calor 1-ACS



Las BC1 (ACS) y la BC2 (climatización) son bombas de calor tierra-agua para la utilización de energía geotérmica a través de los pilotes energéticos. Estas son bombas de calor de alta eficiencia BWS de Wolf de clase A. En el caso de la producción de ACS viene montada como “hidro torre” mediante conexión de interacumulador para ACS CEW-1-200. Las dimensiones totales del bloque BWS-1-con CEW-200 son 650x600x1998 cm. Además se coloca un acumulador de ACS SEW-1.

- Bases de cálculo

Para el cálculo se toman como referencia los caudales instantáneos del CTE para cada elemento:

Tipo de aparatos	Nº de aparatos		ACS Qins (dm3/s)
Restaurante PB			
lavavajillas	1	0,3	0,2
fregadero	1	0,25	0,2
Aseos espacio público P1			
Inodoro	3	0,3	0
Lavabo	3	0,3	0,3
Cuarto limpieza/almacén P1	2	0,6	0,4
Viviendas (x5)	—	—	—
Fregadero	1	0,2	0,1
Lavavajillas	1	0,15	0,1
Lavadora	1	0,2	0,15
Lavabo	2	0,2	0,13
Inodoro	1	0,1	0
Ducha	1	0,2	0,1
TOTAL 5 VIVIENDAS		1,05X5= 5,25	0,58X5=2,90
TOTAL		7 dm3/s	4 dm3/s

Se precisa de una instalación muy sencilla de agua fría que apenas sirva a varios aseos de uso público y cuarto de limpieza en planta primera y una cocina en la planta baja, además distribución de agua en el interior de las viviendas. Para satisfacer sus necesidades se opta por una instalación centralizada tanto de agua fría como de agua caliente sanitaria, así se optimiza el espacio y se favorecen los coeficientes de simultaneidad estimados por el código técnico, obteniéndose un rendimiento más elevado. La instalación de agua caliente sanitaria se basa en un sistema de bomba de calor tierra/agua conectado al sistema de geotermia que circula por el interior de los pilotes estructurales definidos en los planos de cimentación. Así se calentará el agua a una temperatura considerable de unos 60-80°C. Ésta instalación se detalla en su parte correspondiente de la memoria de la instalaciones.

El circuito comienza en la derivación que parte de la acometida, sobre la que se sitúa la llave de registro, en la vía pública a la entrada del solar, en arqueta registrable por la entidad suministradora u otra entidad autorizada por esta. La tubería de alimentación enterrada termina en el contador general del edificio que se encuentra en un local en planta baja junto al grupo de presión, en el que además aparecen, por este orden, una llave de corte general y un filtro, antes del mismo, y, a continuación del contador, un grifo de vaciado, una válvula antirretorno y una última llave de corte.

Este agua fría se utiliza tanto para el llenado de los circuitos primarios de la climatización, el depósito de glicol+ agua del sistema de geotermia, así como para el suministro de agua corriente (tras pasar por el grupo de presión).

Desde el cuarto de fontanería de planta baja se dispone de una red que suministra agua a todos los puntos de consumo interiores. Se coloca una montante vertical a través del patinillo situado en el núcleo central de hormigón dando servicio a las diferentes zonas húmedas antes citadas. En todas las plantas desde la montante de salida se efectúa una distribución de tuberías por falso techo que permite llevar el agua a cada unidad terminal. Se instalan además llaves de corte en cada una de los locales de consumo para poder sectorizar el edificio correctamente.

La producción de agua caliente, como ya se ha podido prever, se efectúa en la bomba de calor 1 mediante el interacumulador CEW-1-200 del agua que llega de la acometida. Las derivaciones y montantes discurrirían paralelas a las de agua fría y por encima de éstas en los tramos horizontales para evitar las pérdidas caloríficas y siempre a una distancia de 4 cm.

Además, este circuito es un circuito cerrado, por poseer una red de retorno que evita las pérdidas de calor y asegura el adecuado estado de su temperatura en todo el circuito y en los puntos de consumo cada vez que un usuario precisa su demanda. Este circuito posee un sistema de bombeo (dos bombas colocadas una en la dirección de distribución y otra en la de retorno) para conseguir que el agua siempre se encuentre en movimiento en su interior.

Toda la instalación de fontanería y agua caliente sanitaria se efectúa con tuberías de polietileno reticulado, según Norma UNE EN ISO 15875:2004. Las llaves de paso serán de tipo de bola en latón, estancas a la presión de trabajo y adecuadas para la regulación del caudal. Se disponen sistemas antirretorno para evitar la inversión del sentido del flujo tras el contador general, en la base de cada uno de los montantes ascendentes y antes de los aparatos de refrigeración y climatización. Antes de cada válvula antirretorno se dispondrá de un grifo de vaciado de modo que se permita vaciar cualquier tramo de la red.

6.4 Subsistema de Saneamiento

- Datos de partida

Constituye el objeto de la presente memoria, la descripción y justificación de la instalación de saneamiento para el proyecto del Conjunto residencial para Seniors en el Parque del Agua que nos atañe, incluyendo este el diseño y ejecución de la red de saneamiento en el presente proyecto.

- Objetivos a cumplir

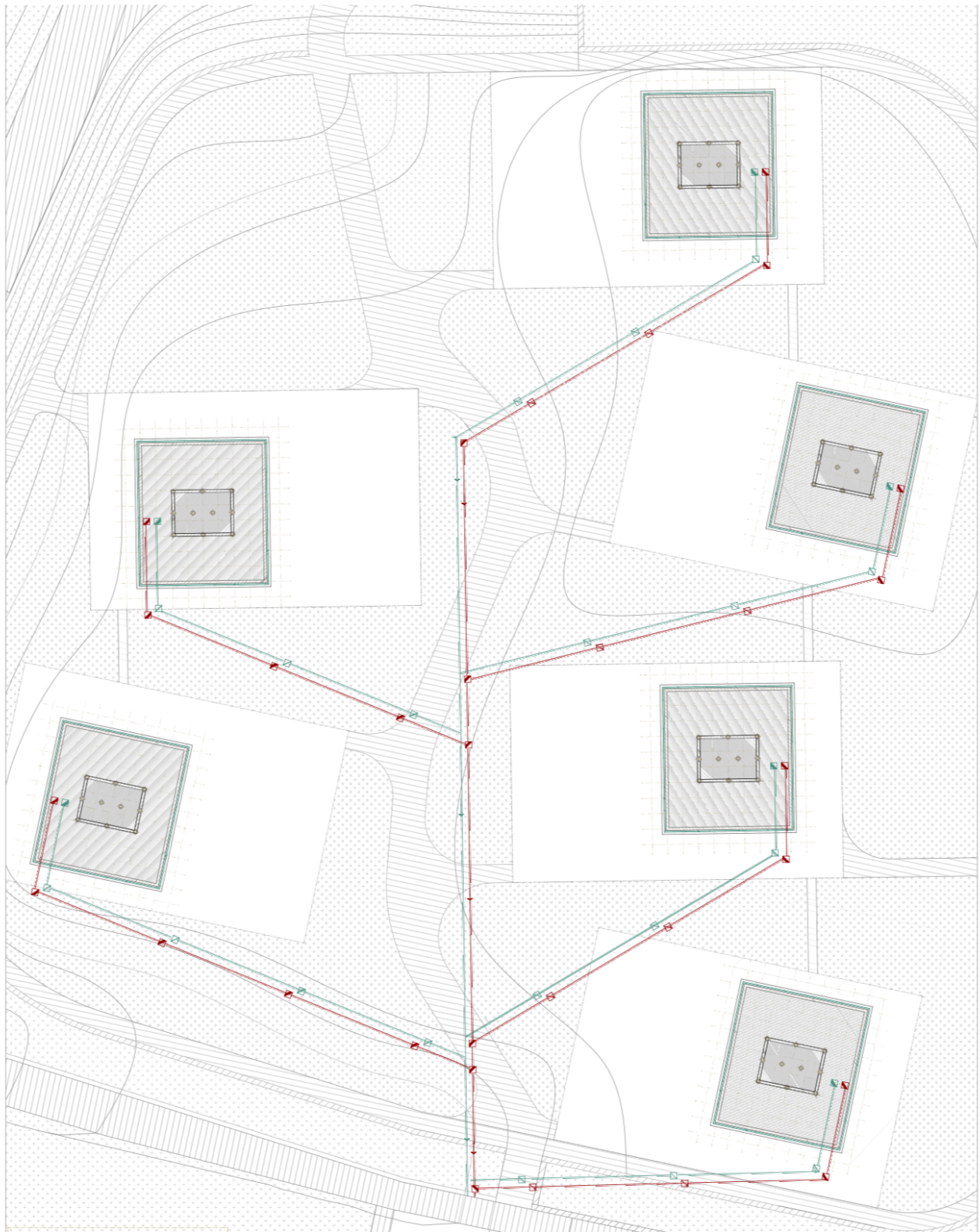
El presente proyecto tiene por finalidad la descripción y especificación de las características gráficas y técnicas de la instalación de saneamiento, y en general de los siguientes servicios:

- Red separativa de residuales y pluviales de zona habitable.
- Red de pluviales procedentes del drenaje de la cimentación
- Conexión a sistema de filtrado.

Se presenta así en este documento, junto con los documentos complementarios (planos y memoria de justificación del DB-HS 5), el diseño y dimensionado de la instalación y los sistemas utilizados.

Es de aplicación en este proyecto y su posterior ejecución toda la reglamentación y normativa de actual vigencia en España para este tipo de instalaciones, y en especial el Documento Básico de Salubridad, sección 5. DB-HS 5. Evacuación de Aguas.

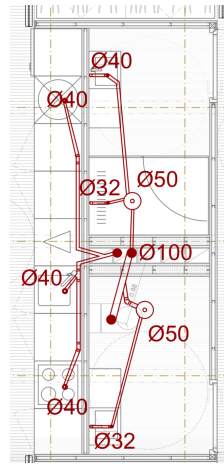
- Esquema de diseño



Leyenda de pluviales		Leyenda de residuales	
	Drenaje perimetral		Arqueta de registro
	Arqueta de registro		Sifón
	Sumidero aguas pluviales		Dirección de evacuación
	Diámetro de bajantes		Sifón individual
	Dirección de evacuación		
	Canalón lineal		

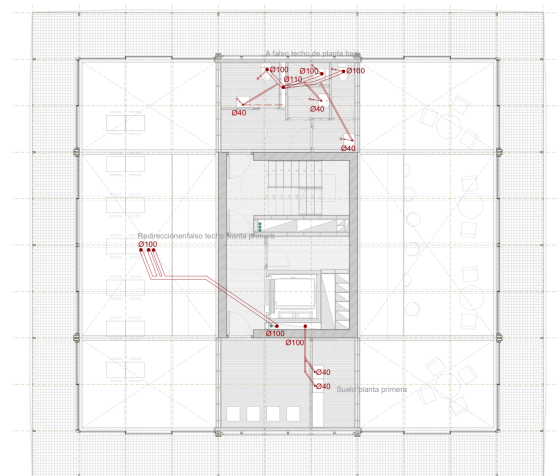


Planta segunda

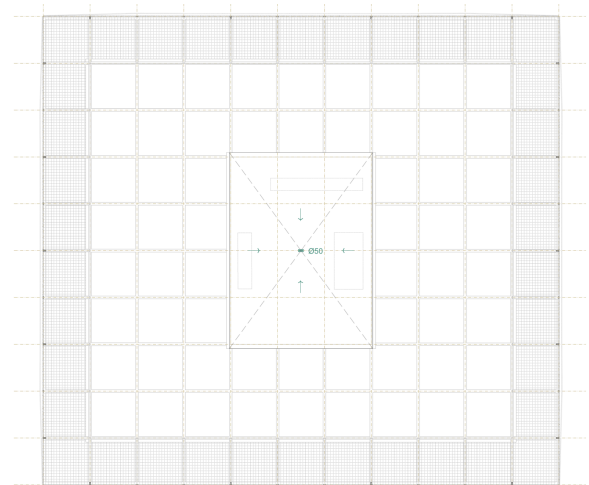


Evacuación interior de vivienda

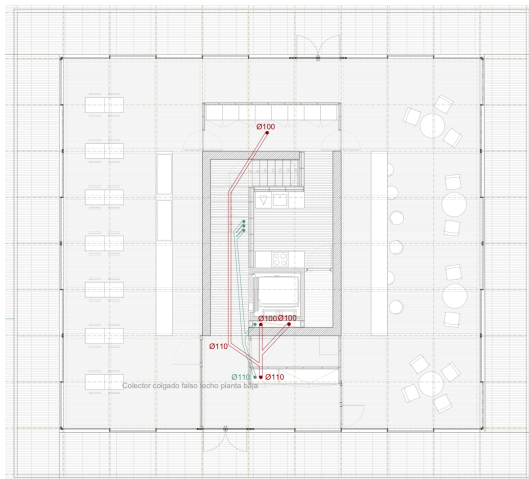
Cubierta 1



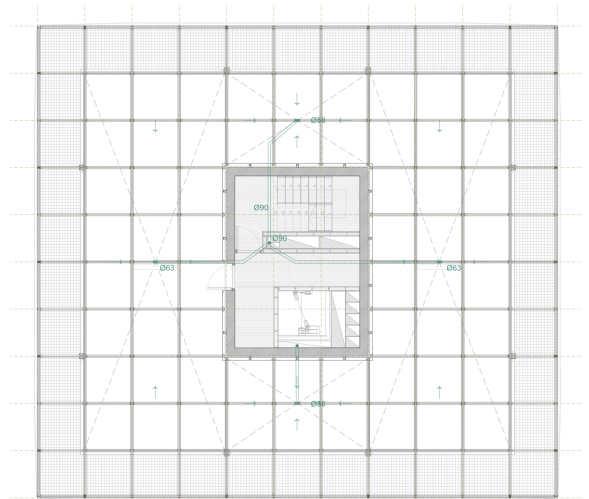
Planta primera



Cubierta 2



Planta baja



- Bases de cálculo

Aplicaremos un procedimiento de dimensionado para un sistema separativo, es decir, dimensionando la red de aguas residuales por un lado y la red de aguas pluviales por otro, de forma separada e independiente, y posteriormente mediante las oportunas conversiones, dimensionar un sistema mixto. Utilizaremos el método de adjudicación del número de unidades de desagüe (UD) a cada aparato sanitario en función de que el uso sea público o privado.

- Aguas residuales

Se ha diseñado un sistema separativo de aguas pluviales y residuales. El sistema separativo permite una mayor adaptabilidad a las posibles modificaciones de la red y una mayor higiene en la evacuación de las aguas pluviales, que permitirá reaprovecharlas para otros usos.

La red de evacuación está constituida por los siguientes elementos:

- Puntos de captación: locales húmedos donde se recogen las aguas residuales, sumideros en la cubierta y canalón en las terrazas en doble espacio.

- Red de pequeña evacuación: tuberías de tendido sensiblemente horizontal que recogen las aguas en los locales húmedos y las conducen hasta la red de evacuación vertical. Esta red se proyecta por el falso techo.

- Red vertical de evacuación: conjunto de tuberías que transportan las aguas, residuales o pluviales, desde las derivaciones de desagüe de aguas residuales o sumideros hasta la red horizontal.

- Red horizontal de evacuación: une las diferentes arquetas en su parte inferior y conducen las aguas hasta el punto de vertido. Esta red se proyecta enterrada, al nivel de la planta de cimentación del edificio discurriendo un corto tramo por el forjado sanitario, accesible desde una trampilla en el cuarto técnico de la planta baja.

- Red de aguas residuales

Las aguas residuales son aquellas que provienen de cocina, baños, aseos y locales específicos. La cocina, a efectos de evacuación, consta de fregadero y lavavajillas; los aseos constan de inodoros y lavamanos; y el cuarto de limpieza de fregaderos. Cada elemento sanitario está dotado de sifón individual por cumplir la distancia permitida a la bajante según el CTE. La disposición vertical del edificio y su altura hacen que se dispongan bajantes comunes en los patinillos de vivienda y del núcleo central. El desagüe de los aparatos sanitarios se efectuará por el falso techo de la planta inferior hasta conectar a la bajante.

La instalación en el edificio se plantea con una bajante por cada núcleo de zonas húmedas, que recogen las aguas provenientes de las diferentes plantas, apareciendo un total de cuatro bajantes.

En el caso de los baños públicos, no se puede prolongar las bajantes por encima de la cubierta por lo que se sustituye este sistema por válvulas de aireación conectadas a una red horizontal que une las derivaciones de los diferentes aparatos; sistema que tiene su salida en los mismos baños que se encuentran provistos de un sistema de extracción mecánica.

Las redes de los diferentes colectores se unen en una arqueta previa a la arqueta de trasdós en la que confluyen tanto la red de residuales como de pluviales, para conectar después con el pozo de recogida del sistema urbano.

La instalación en el proyecto se plantea de forma ramal por colectores colgados, que irán unidos en forma arbórea y tendrán el trazado más sencillo posible, con unas distancias y pendientes que faciliten la evacuación de los residuos y ser autolimpiables.

Las bajantes de aguas residuales pertenecientes a las viviendas discurren verticalmente por los patinillos situados en el centro de las mismas. Al llegar a la planta 1, en el falso techo del espacio público se redirigen mediante un colector horizontal al patinillo situado al lado del ascensor. Desde allí descienden hasta la planta baja donde, en el falso techo se redirigen al cuarto técnico para bajar a la arqueta del forjado sanitario ventilado.

Las unidades de desagüe adjudicadas a cada tipo de apartamento (UDs) y los diámetros mínimos de sifones y derivaciones individuales serán las establecidas en la tabla 4.1 DB HS 5, en función del uso.

Tipo de aparatos	Nº de aparatos	Unidades de desagüe	Diámetro mínimo sifón y derivación individual
Restaurante PB			
lavavajillas	1	6	50
fregadero	1	2	40
Aseos espacio público P1			
Inodoro	3	5x3=15	100
Lavabo	3	2x3=6	40
Cuarto limpieza/almacén P1	2	2x2=4	40
Viviendas (x5)	—	—	—
Fregadero	1	3	40
Lavavajillas	1	3	40
Lavadora	1	3	40
Lavabo	2	1	32
Inodoro	1	4	100
Ducha	1	2	40
TOTAL 5 VIVIENDAS		16X5= 80	

Los sifones individuales deben tener el mismo diámetro que la válvula de desagüe conectada.

Los botes sifónicos deben tener el número y tamaño de entradas adecuado y una altura suficiente para evitar que la descarga de un aparato sanitario alto salga por otro de menor altura.

El dimensionado de los ramales colectores entre aparatos sanitarios y la bajante se realizará de acuerdo con la tabla 4.3 DB HS 5 según el número máximo de unidades de desagüe y la pendiente del ramal colector.

El dimensionado de las bajantes se hará de acuerdo con la tabla 4.4 DB HS 5, en que se hace corresponder el número de plantas del edificio con el número máximo de UD's y el diámetro que le correspondería a la bajante, conociendo que el diámetro de la misma será único en toda su altura y considerando también el máximo caudal que puede descargar en la bajante desde cada ramal sin contrapresiones en éste.

El dimensionado de los colectores horizontales se hará de acuerdo con la tabla 4.5 DB HS 5, obteniéndose el diámetro en función del máximo número de UD's y de la pendiente.

A continuación se ha dimensionado el diámetro de los ramales colectores entre los aparatos y bajantes, el diámetro de las bajantes y el diámetro de los colectores horizontales de redirección en falsos techos.

Tipo de aparatos	Nº de aparatos	UD's	Diámetro de ramales colectores entre aparatos y bajante (mm)	Diámetro de las bajantes (mm)	Diámetro de los colectores horizontales (mm)
Restaurante PB	1	6	50 , p:2%		
lavavajillas fregadero	1	2	40 , p:2%		50, p:2%
Aseos espacio público P1					
Inodoro	3	5x3=15	75 , p:2%	75	63 p:2%
Lavabo	3	2x3=6	50 , p:2%		
Cuarto limpieza/ almacén P1					
Fregadero	2	2x2=4	50 , p:2%	50	50, p:2%
Viviendas (x5)					
Fregadero	1	3	50 , p:2%		
Lavavajillas	1	3	50 , p:2%		
Lavadora	1	3	50 , p:2%		
Lavabo	2	1	32 , p:2%	90	90, p:2%
Inodoro	1	4	50 , p:2%		
Ducha	1	2	50 , p:2%		
			16X5= 80		

- Aguas pluviales

Se define la red de saneamiento de aguas pluviales del edificio, el cual tiene dos cubiertas planas. En ambas cubiertas (Cubierta C1: Cubierta Deck sobre estructura ligera y Cubierta C2: Cubierta de losa de hormigón sobre núcleo central) se desagua en el centro de las mismas mediante pares de sumideros. El agua se recoge en esas cubiertas planas de pendiente mínima con sumideros puntuales que conducen el agua a las bajantes las cuales se encuentran en los patinillos centrales. Éstas discurren ocultas por los patinillos hasta la planta primera, donde se redirigen por el falso techo para bajar por el patinillo correspondiente hasta la cimentación (forjado sanitario), para llegar hasta la arqueta y red horizontal de evacuación.

El número de sumideros proyectado debe calcularse de acuerdo con la tabla 4.6 DB HS 5, en función de la superficie proyectada horizontalmente a la que sirven. Con desniveles no mayores de 150 mm y pendientes máximas del 0,5%.

El diámetro nominal de los canalones de sección semicircular para una intensidad pluviométrica de 100mm/h debe calcularse de acuerdo con la tabla 4.7 DB HS 5, en función de su pendiente y de la superficie proyectada horizontalmente a la que sirven.

El diámetro de las bajantes para una intensidad pluviométrica de 100mm/h debe calcularse de acuerdo con la tabla 4.8 DB HS 5, en función de la superficie proyectada horizontalmente a la que sirven.

El diámetro de los colectores para una intensidad pluviométrica de 100mm/h debe calcularse de acuerdo con la tabla 4.9 DB HS 5, en función de su pendiente y de la superficie proyectada horizontalmente a la que sirven.

Los colectores se dimensionan fijando una pendiente mínima del 2 % requerida para colectores enterrados, ajustando los diámetros nominales en función de la superficie de cada cubierta.

Cubierta	Superficie (m ²)	Nº sumideros calculado	Nº sumideros proyectados	Diámetro nominal de la bajante (mm)	Diámetro nominal del colector (mm)	Pendiente colector (%)
Cubierta C1 Sección 1	72 m ²	2	2	50	90	2
Cubierta C1 Sección 2	72 m ²	2	2	50	90	2
Cubierta C1 Sección 3	18 m ²	2	2	50	90	2
Cubierta C1 Sección 4	18 m ²	2	2	50	90	2
Cubierta C2	18 m ²	2	2	50	90	2

6.4 Subsistema de ventilación

Constituye el objeto de la presente memoria, la descripción y justificación de la instalación de ventilación para el proyecto del Conjunto residencial para Seniors en el Parque del Agua, incluyendo este el diseño y ejecución de la red de ventilación en el presente proyecto.

Esta instalación garantiza la renovación de aire necesaria en cada uno de los ámbitos del proyecto. No obstante, el aporte de aire de renovación en invierno para este espacio también necesita un precalentamiento para no afectar al confort térmico del mismo, por lo que en el sistema de ventilación de el espacio público y las viviendas mediante Unidades de Tratamiento del Aire (UTAs) se incorpora un recuperador de calor.

Objetivos

El presente proyecto tiene por finalidad la descripción y especificación de las características gráficas y técnicas de la instalación de ventilación y climatización necesaria para los dos espacios, y en general de los siguientes servicios:

- Unidades de Tratamiento de Aire
- Red de conductos de ventilación
- Extracción mecánica de cuartos húmedos

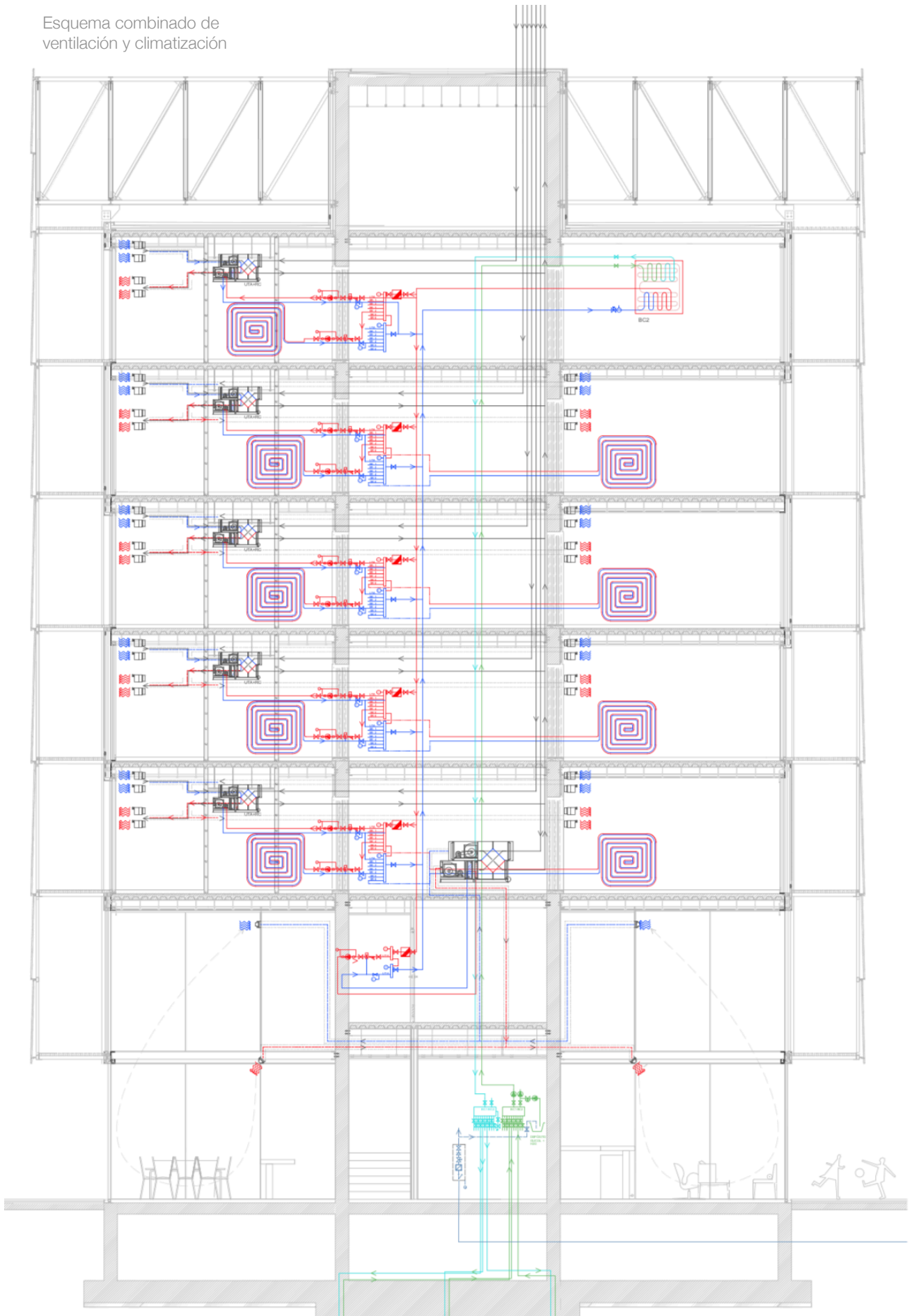
Se presenta así en este documento, junto con los documentos complementarios (planos y memoria de justificación del DB-HS3), el diseño de la instalación y los sistemas utilizados.

Es de aplicación en este proyecto y su posterior ejecución toda la reglamentación y normativa de actual vigencia en España para este tipo de instalaciones, y en especial los siguientes documentos:

- Documento Básico de Salubridad, sección 3. DB-HS 3. Calidad del aire interior
- Reglamento de Instalaciones Térmicas de los Edificios, RITE. Instrucción Técnica 1.1.4.2. Exigencia de calidad del aire interior
- UNE-EN 13779
- Esquema de diseño:

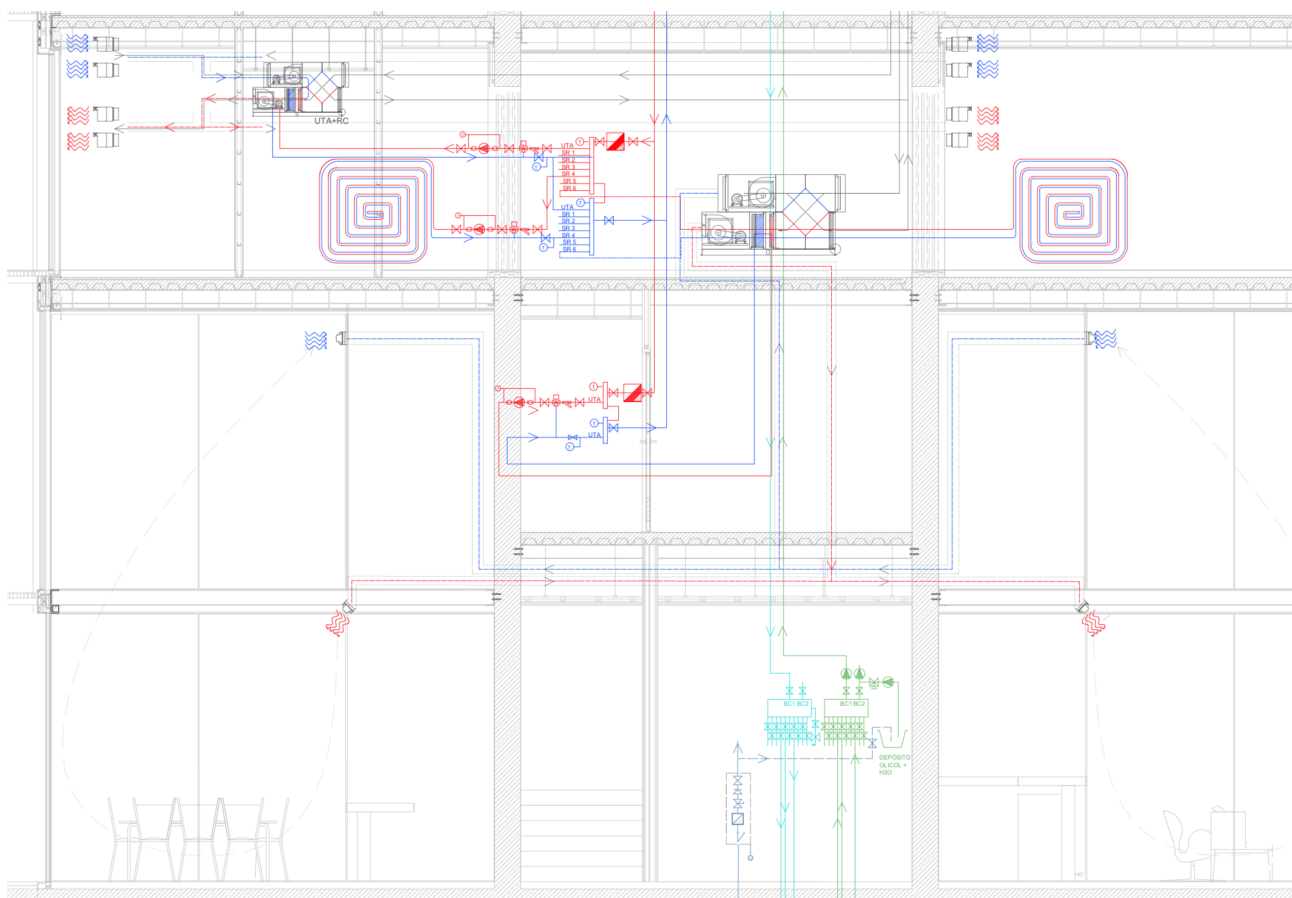
Leyenda de pilotes geotérmicos		CLIMATIZACIÓN y VENTILACIÓN	
BC1	Colector geotermia- bomba de calor ACS		válvula de tres vías motorizada
BC2	Colector geotermia- bomba de calor clima		manguito antivibratorio
	Bomba recirculación		filtro
	Válvula llenado/vaciado		válvula de retención
	Retorno circuito geotérmico		termómetro
	Tubería vertical retorno geotermia		manómetro
	Tubería vertical impulsión geotermia		llave de corte
	Depósito H2O+glicol		impulsión de aire con recuperador de calor
	Impulsión circuito geotérmico		expulsión de aire con recuperador de calor
	Pilote geotérmico		conductos de ventilación
			válvula antirretorno
			boca de extracción
			contador individual

Esquema combinado de ventilación y climatización



Por un lado, en la planta segunda se sitúa la UTA KG de Wolf con recuperador de calor que renueva el aire del espacio público en planta baja. Esta máquina toma el aire del exterior mediante los conductos situados en núcleo central y lo impulsa a través del falso techo de 65 cm de altura de la planta baja. La impulsión de aire a las estancias se produce mediante un sistema de microtoberas WGA-V de la casa Schako debido a los requerimientos de carga y velocidad de aire, la altura de los techos permiten el empleo de microtoberas sin afectar al comfort. El retorno de aire viciado se realiza mediante otra hilera de microtoberas WGA-V en la parte superior de la estancia, para volver otra vez por el falso techo a la UTA donde tiene lugar el intercambio de energía en el recuperador de calor. Desde allí, el aire es expulsado otra vez por un conducto en el interior del núcleo central que discurre paralelo al conducto de impulsión y que será expulsado en cubierta.

La UTA contará con módulo de ventilador radial, módulo de intercambiadores de calor, módulo de filtro de partículas en suspensión, módulo de silenciador y todo ellos sobre una bancada de acero galvanizado proporcionada por Wolf.

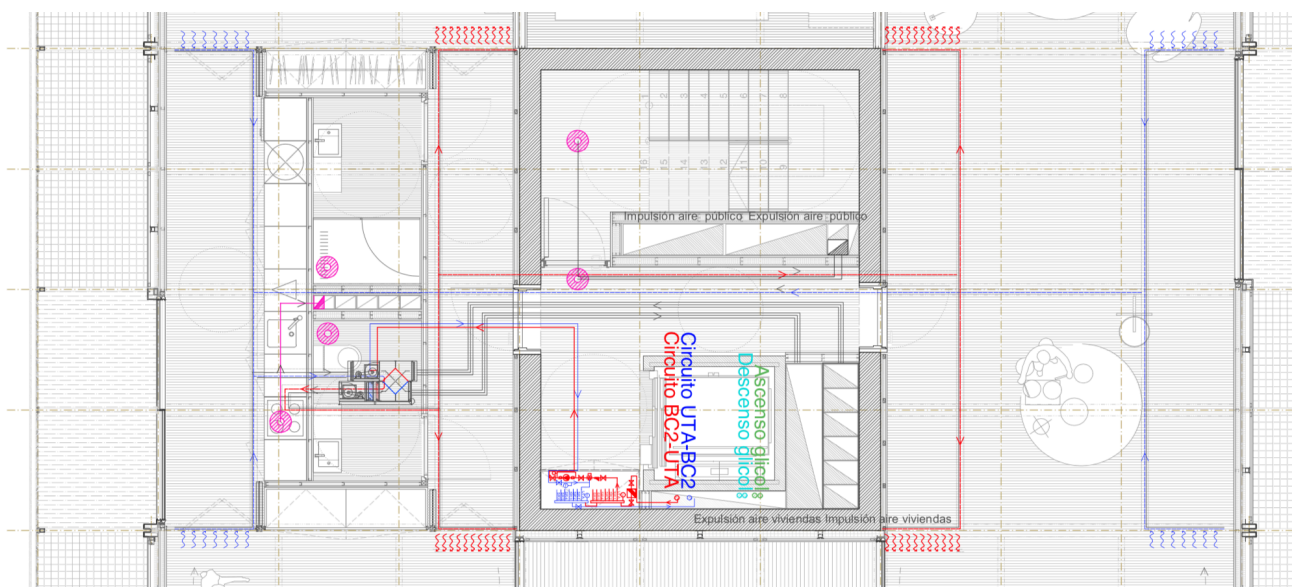
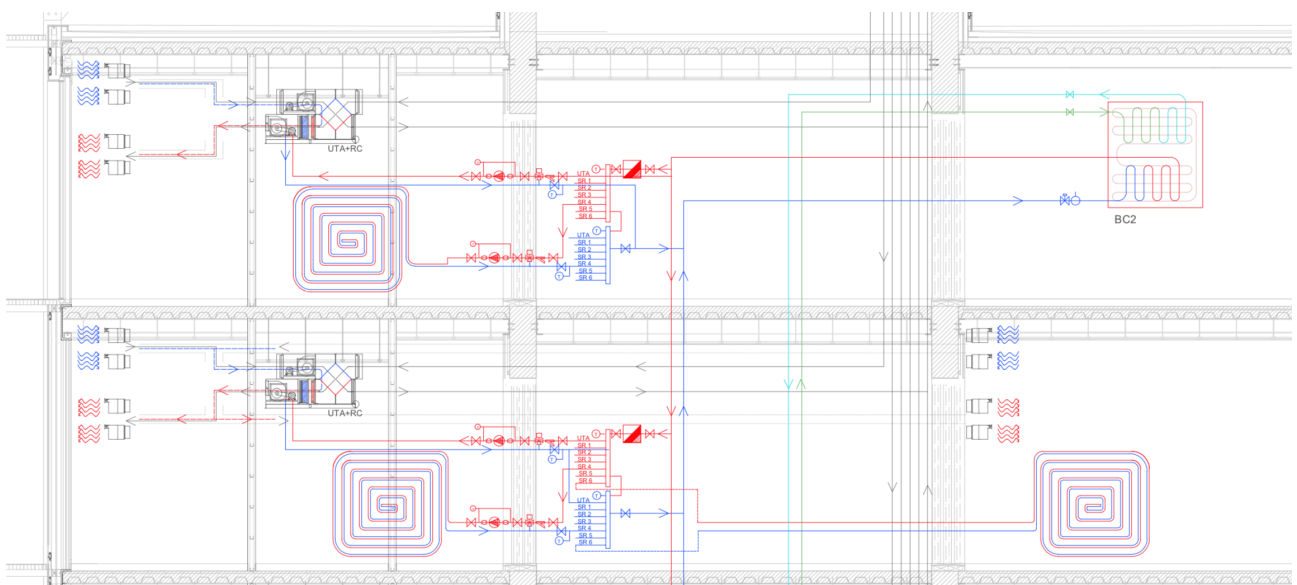


Esquema combinado de ventilación y climatización- UTA con recuperador de calor en espacio público y vivienda

El acceso al cuarto técnico de la UTA se realiza mediante una trampilla ALUPLAC100100 de 100x100 cm de hueco, de acero galvanizado y situada en el falso techo, de la casa isopractic. El cuarto, además, estará debidamente insonorizado en todas sus superficies mediante paneles absorbentes acústicos Acustison50A de Acústica Integral, para reducir el efecto de amplificación del ruido debido a las reflexiones. La máquina apoyará sobre soportes antivibratorios serie CAM de la casa Egaña. Dichos soportes están formados por una campana metálica circular que sirve de protección contra agentes corrosivos, una base de caucho de 75-80° shöre y de un tornillo de ajuste de cabeza hexagonal. La campana sirve de asiento estable para los pies de la máquina.

Para los aseos, almacén y almacén de residuos se utiliza un sistema de extracción mecánica independiente mediante extractores eólicos situados en la cubierta C2 de losa de hormigón sobre el núcleo de hormigón central.

En el caso de la vivienda, se propone un sistema de extracción mecánica mediante una UTA con recuperador de calor Wolf de baja silueta situada en los falsos techos de los baños y de la cocina que, como en el caso de la primera UTA, impulsará el aire del exterior mediante los conductos situados en núcleo central y lo conducirá a través del falso techo de la parte central de la vivienda hasta el resto de estancias. La impulsión de aire a las estancias se produce mediante difusores lineales DSX de la casa Schako. El retorno de aire viciado se realiza mediante otro difusor lineal para volver de nuevo por el falso techo a la UTA donde tiene lugar el intercambio de energía en el recuperador de calor. Desde allí, el aire es expulsado otra vez por un conducto en el interior del núcleo central que discurre paralelo al conducto de impulsión y que será expulsado en cubierta. Este conducto de expulsión de aire viciado será común a las cinco viviendas.



Esquema combinado de ventilación y climatización- UTA baja silueta con recuperador de calor en vivienda

6.7. Climatización

Constituye el objeto de la presente memoria, la descripción y justificación de la instalación de calefacción y refrigeración para el proyecto del Conjunto residencial para Seniors en el Parque del Agua, incluyendo este el diseño y ejecución de la red de climatización en el presente proyecto.

- Objetivos a cumplir

El presente proyecto tiene por finalidad la descripción y especificación de las características gráficas y técnicas de la instalación de suelo radiante del edificio, recogiendo:

- Producción de agua caliente/fría para suelo radiante en viviendas
- Red de distribución y control de suelo radiante de calor y frío en viviendas
- UTA con recuperador de calor para ventilación y apoyo de climatización en vivienda
- UTA con recuperador de calor para ventilación y climatización en espacio público

Se presenta así en este documento, junto con los documentos complementarios (planos), el diseño de la instalación y los sistemas utilizados.

Es de aplicación en este proyecto y su posterior ejecución toda la reglamentación y normativa de actual vigencia en España para este tipo de instalaciones, y en especial el Reglamento de Instalaciones Térmicas de los Edificios, RITE.

Esquema:

La instalación de climatización parte de la bomba de calor 2 tierra-agua, situada junto con la bomba de calor 1 en el cuarto técnico de la planta superior. La bomba de calor 2 (BC2 en la documentación planos) será la responsable de alimentar los sistemas de climatización (calefacción y refrigeración) mediante suelo radiante y UTAs de baja silueta como apoyo de las viviendas y la UTA para climatización del espacio público, cada uno también con un contador divisionario.

La bomba de calor BWS-1 de Wolf cuenta con entrada y salida de glicol para el circuito cerrado proveniente de los colectores de geotermia e impulsión y retorno para los circuitos de las climatización de las viviendas y del espacio público.

En cada rellano de independencia se coloca, dentro de un armario, el colector con los circuitos de climatización para cada vivienda: UTA, SR1, SR2, SR3, SR4, SR5 y SR6. Por lo tanto, cada vivienda cuenta con una Unidad de Tratamiento del aire con recuperador de calor situada en el falso techo del baño para apoyo de la climatización en la vivienda. El sistema principal de calefacción y refrigeración son los seis circuitos de suelo radiante.

La climatización por suelo radiante es el modelo Biofloor de la casa Standard hidráulica. Se ha diseñado según cuatro circuitos independientes en la parte “vivienda” que corresponden a la cocina, los baños, el estar y el dormitorio. Los otros dos circuitos se encuentran en el “espacio flexible”/taller.

El recorrido de las tuberías multicapa Beta Skin-S $\varnothing 16\text{mm}$ desde el colector de cada rellano al interior de la vivienda se hace por el suelo del rellano. Para evitar pérdidas por transmisión de calor, se aíslan las tuberías con Isover alrededor de las mismas, y estas discurren por

dentro del recrecido de hormigón ligero a base de arcilla expandida laterlite que nivela el suelo del rellano (sin el paquete de suelo radiante) con el interior de la vivienda.

El paquete de suelo radiante Biofloor está formado por:

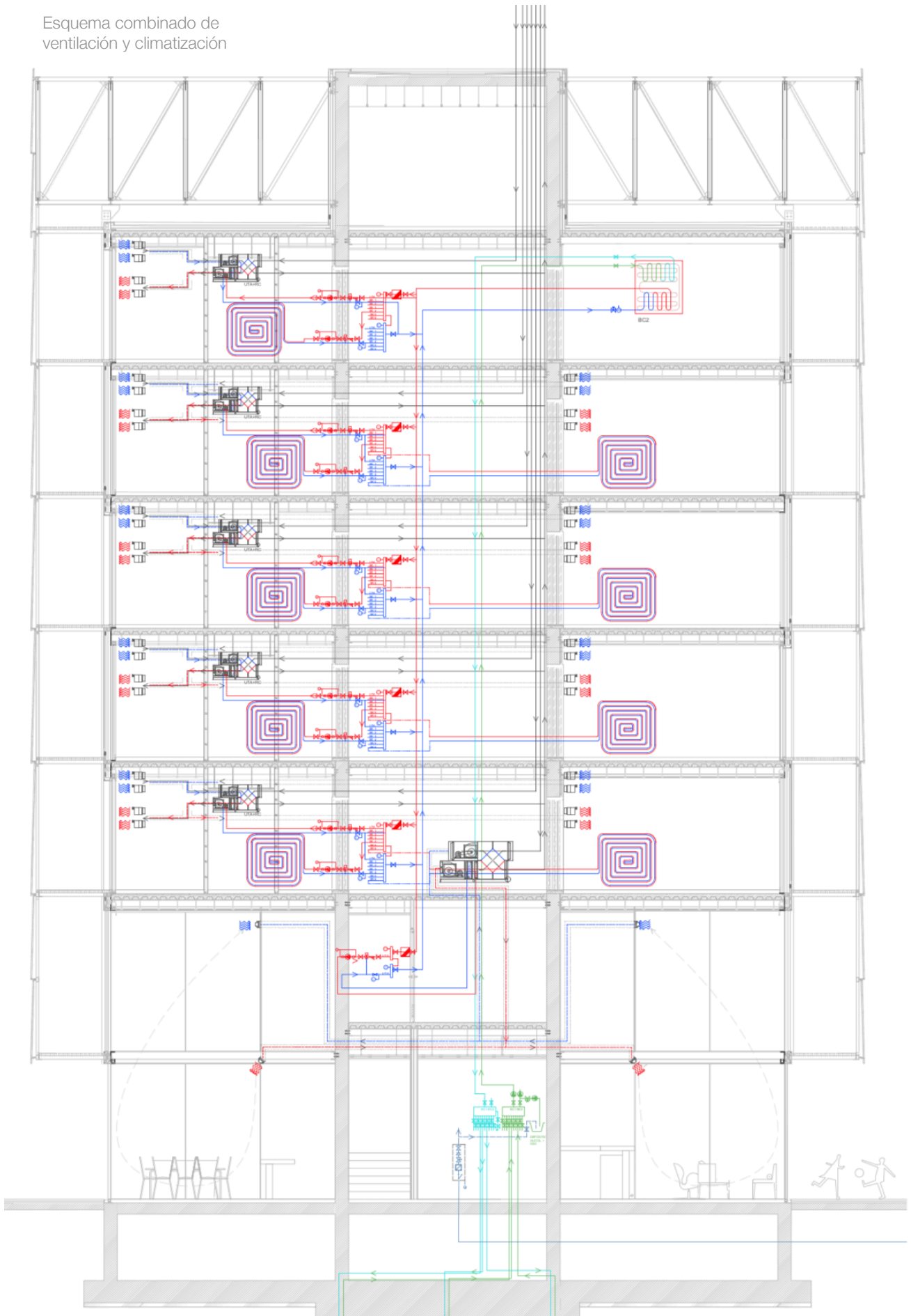
1. Barrera de vapor
2. Panel aislante de tetones Óptima EPS (Poliestireno expandido) e= 50 mm
3. Tubería multicapa Beta Skin-S ø16mm
4. Mortero de cemento e=50 mm

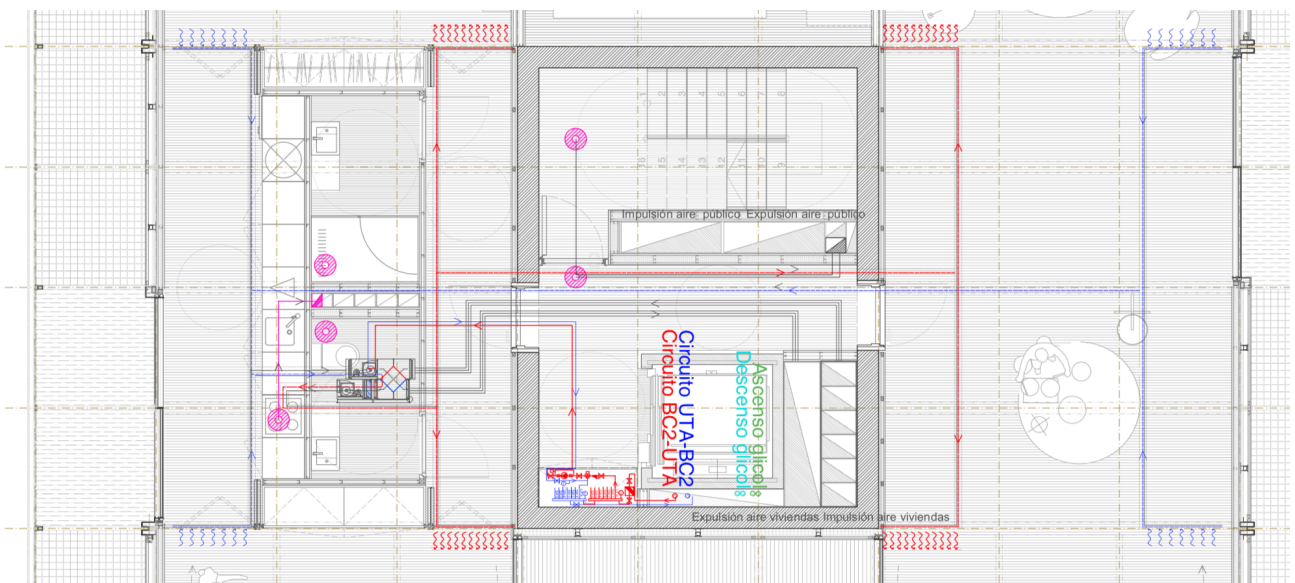
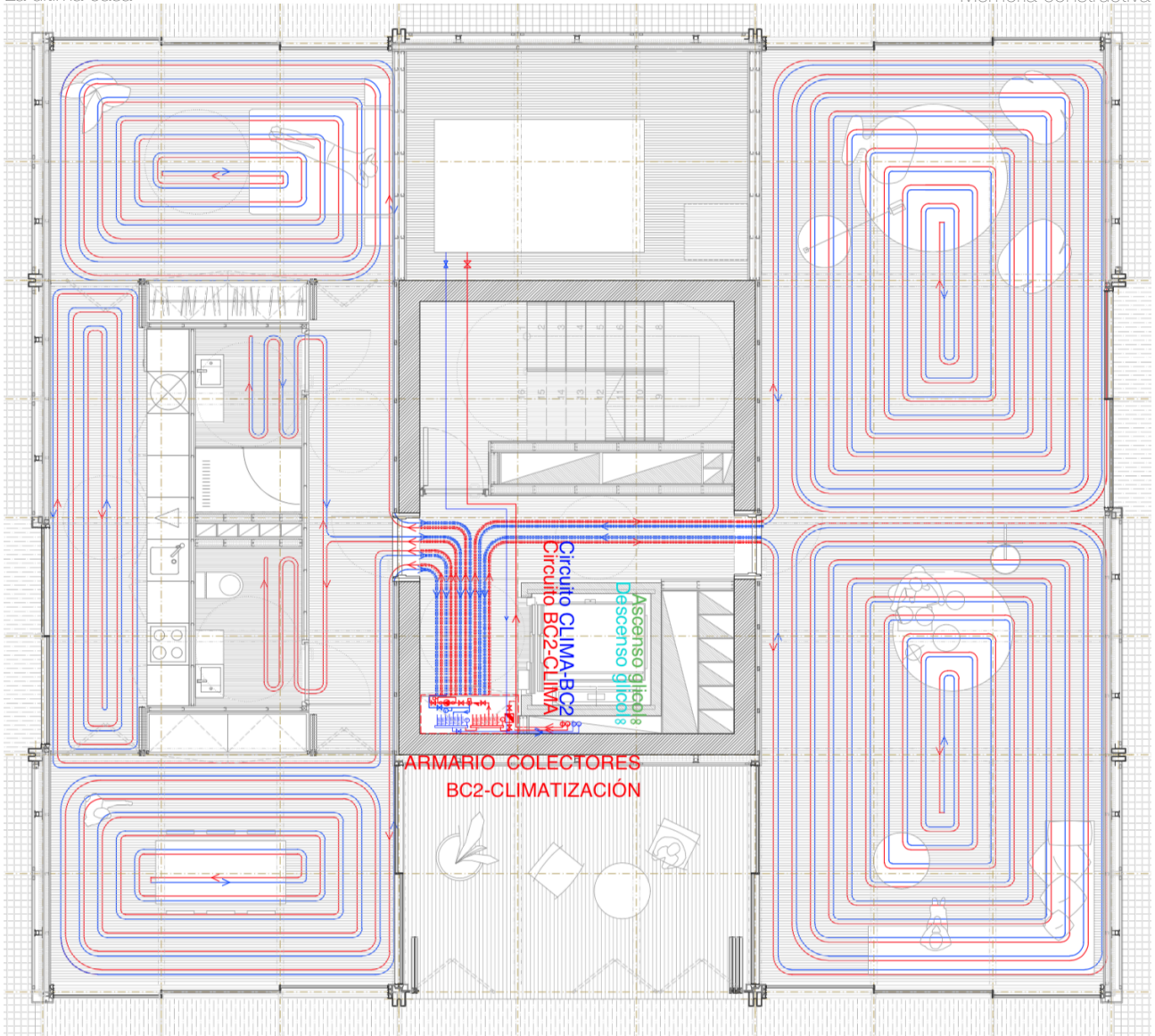
Además, la climatización en la vivienda se apoya en una UTA con recuperador de calor Wolf de baja silueta situada en los falsos techos de los baños y de la cocina que impulsará el aire del exterior mediante los conductos situados en núcleo central y lo conducirá, a través del falso techo de la parte central de la vivienda hasta el resto de estancias. La impulsión de aire a las estancias se produce mediante difusores lineales DSX de la casa Schako. El retorno de aire viciado se realiza mediante otro difusor lineal para volver de nuevo por el falso techo a la UTA donde tiene lugar el intercambio de energía en el recuperador de calor. Desde allí, el aire es expulsado otra vez por un conducto en el interior del núcleo central que discurre paralelo al conducto de impulsión y que será expulsado en cubierta. Este conducto de expulsión de aire viciado será común a las cinco viviendas.

Esquema:

Leyenda de pilotes geotérmicos		CLIMATIZACIÓN y VENTILACIÓN	
BC1	Colector geotermia- bomba de calor ACS		válvula de tres vías motorizada
BC2	Colector geotermia- bomba de calor clima		manguito antivibratorio
	Bomba recirculación		filtro
	Válvula llenado/vaciado		válvula de retención
	Retorno circuito geotérmico		termómetro
	Tubería vertical retorno geotermia		manómetro
	Tubería vertical impulsión geotermia		llave de corte
	Depósito H2O+glicol		impulsión de aire con recuperador de calor
	Impulsión circuito geotérmico		expulsión de aire con recuperador de calor
	Pilote geotérmico		conductos de ventilación
			válvula antirretorno
			boca de extracción
			contador individual

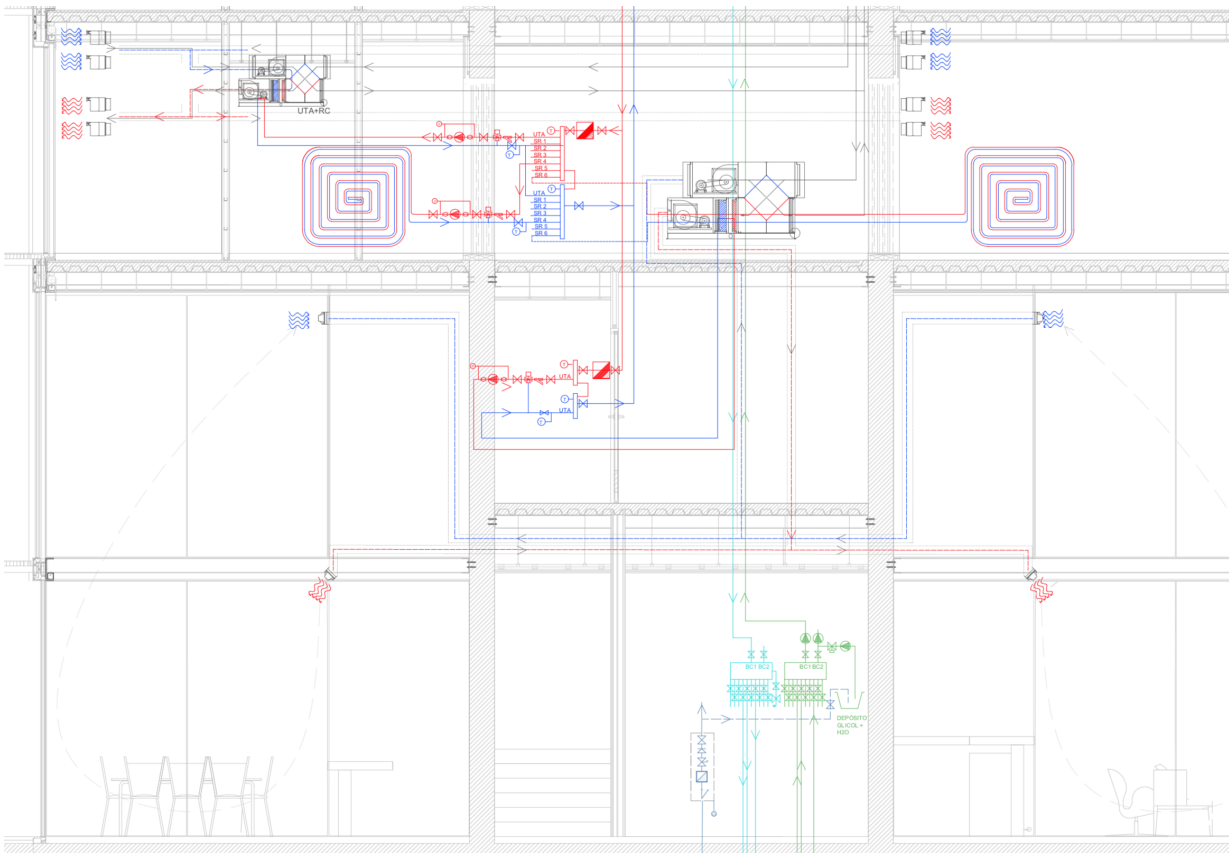
Esquema combinado de ventilación y climatización



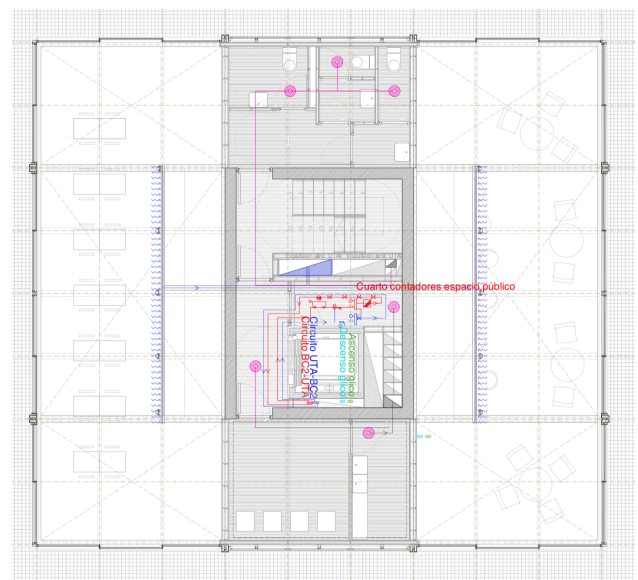
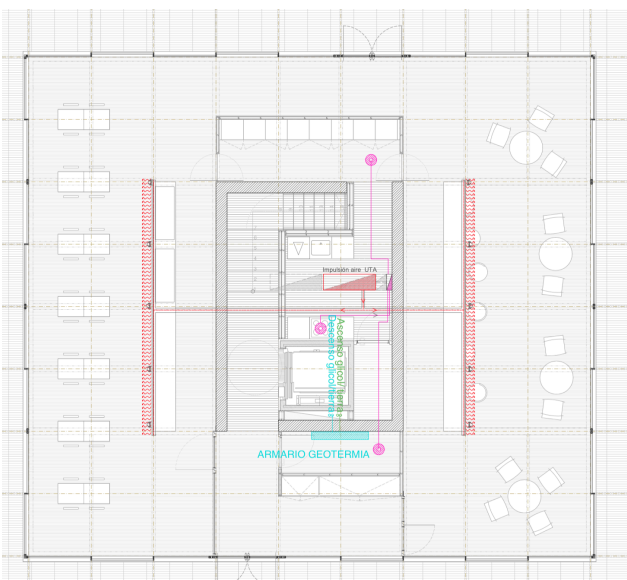


Esquema combinado de ventilación y climatización- UTA baja silueta con recuperador de calor en vivienda

Para el caso del espacio público se utiliza un sistema paralelo al sistema de ventilación con UTA con recuperador de calor para climatización que viene alimentado de la boina de calor , al igual que los sistemas de climatización de viviendas.



Esquema combinado de ventilación y climatización- UTA con recuperador de calor en espacio público y vivienda



Esquema combinado de ventilación y climatización- UTA con recuperador de calor en espacio público

JUSTIFICACIÓN CTE

JUSTIFICACION CUMPLIMIENTO DEL CTE INDICE

JUSTIFICACION CUMPLIMIENTO DB-SE, DB-SE-AE, DB-SE-C, DB-SE-A | Seguridad Estructural

- 1.DB-SE DB-SE-AE | Seguridad Estructural y Acciones en la edificación
- 2.DB-SE-C | Seguridad Estructural. Cimientos
- 3.DB-SE-A | Seguridad Estructural. Acero

JUSTIFICACION CUMPLIMIENTO DB-SI | Seguridad en caso de Incendio

- 1.SI 1 | Propagación interior
- 2.SI 2 | Propagación exterior
- 3.SI 3 | Evacuación de ocupantes
- 4.SI 4 | Instalaciones de protección frente a incendios
- 5.SI 5 | Intervención de los bomberos
- 6.SI 6 | Resistencia al fuego de la estructura

JUSTIFICACION CUMPLIMIENTO DB-SUA | Seguridad de Utilización y Accesibilidad

- 1.DB-SUA 1 | Seguridad frente al riesgo de caídas
- 2.DB-SUA 2 | Seguridad frente al riesgo de impacto o atrapamiento
- 3.DB-SUA 3 | Seguridad frente al riesgo de aprisionamiento en recintos
- 4.DB-SUA 4 | Seguridad frente al riesgo causado por iluminación inadecuada
- 5.DB-SUA 5 | Seguridad frente al riesgo causado por situaciones de alta ocupación
- 6.DB-SUA 6 | Seguridad frente al riesgo de ahogamiento
- 7.DB-SUA 7 | Seguridad frente al riesgo causado por vehículos en movimiento
- 8.DB-SUA 8 | Seguridad frente al riesgo causado por la acción del rayo
- 9.DB-SUA 9 | Accesibilidad

JUSTIFICACION CUMPLIMIENTO DB-HR | Protección contra el ruido

JUSTIFICACION CUMPLIMIENTO DB-HE | Ahorro de energía

- 1.DB-HE 1 | Limitación de demanda energética

JUSTIFICACION CUMPLIMIENTO DB-SE, DB-SE-AE, DB-SE-C, DB-SE-A | Seguridad Estructural

1. DB-SE DB-SE-AE | Seguridad Estructural y Acciones en la edificación

1.1. Objeto

Se establecen las reglas y procedimientos que permitan cumplir las exigencias básicas de seguridad estructural con el fin de asegurar que el edificio tiene un comportamiento estructural adecuado frente a las acciones e influencias previsibles a las que pueda estar sometido durante su construcción y uso previsto.

1.2. Ámbito de aplicación

Se establecen los principios y requisitos relativos a la resistencia mecánica y la estabilidad del edificio, así como la aptitud al servicio, incluyendo su durabilidad. En el DB SE-AE se determinan las acciones que van a actuar sobre el edificio, para verificar si se cumplen los requisitos de seguridad estructural, de capacidad portante y estabilidad, y aptitud al servicio establecidos en el DB SE.

Se detallan las acciones y el cálculo para la estructura metálica de vigas y forjados, los muros portantes y la viga en celosía de una torre completa mediante el software de cálculo estructural CYPECAD.

1.3. Documentación

Se adjunta en los anexos de la memoria un documento con el dimensionado de la estructura, en el que se detalla para cada elemento de estudio las características mecánicas, su geometría y comportamiento, las acciones que sobre él actúan, así como los distintos cálculos con él efectuados atendiendo a cada una de las hipótesis posibles tanto para estados límite últimos como para estados límite de servicio.

En los planos del proyecto aparece, igualmente, un apartado específico referente a su estructura, donde se muestra el sistema para cada uno de los elementos, así como los detalles necesarios para su correcta interpretación y puesta en obra.

1.4. Análisis estructural y dimensionado

En el dimensionado de un pórtico tipo y su posterior comprobación se determinan las situaciones que resultan determinantes, se realiza el análisis, adoptando los métodos de cálculo adecuados a cada problema y se realizan verificaciones basadas en coeficientes parciales atendiendo a las especificaciones impuestas en estos Documentos Básicos del CTE.

La estructura del proyecto se resume en cuatro sistemas:

-El primero son los muros de hormigón que forman el núcleo central y que sustentan todo el edificio transmitiendo las cargas a la cimentación

- El segundo es el sistema de vigas y forjados ligeros metálicos que cuelga de los tirantes estructurales.
- El tercero es la fachada/ malla metálica exterior que cuelga del nudo exterior de la celosía
- El cuarto es la viga de celosía superior de la que cuelga toda la estructura.

2. DB-SE-C | Seguridad Estructural. Cimientos

2.1. Objeto

Se establecen las reglas y procedimientos que permitan cumplir las exigencias básicas de seguridad estructural con el fin de asegurar que la cimentación del edificio tiene un comportamiento estructural adecuado frente a las acciones e influencias previsibles a las que pueda estar sometido durante su construcción y uso previsto.

2.2. Ámbito de aplicación

El ámbito de aplicación de este Documento Básico es el de la seguridad estructural, capacidad portante y aptitud al servicio, de los elementos de cimentación y de contención del edificio.

2.3. Bases de cálculo

Los cálculos llevados a cabo para el dimensionado de los elementos del edificio que se incluyen en este DB están basados en una simplificación que considera el método de los estados límite para cimentaciones superficiales de hormigón armado, teniendo en cuenta las acciones del edificio sobre la cimentación, las que se puedan transmitir o generar a través del terreno, los parámetros de comportamiento mecánico del terreno y los parámetros de comportamiento mecánico del material utilizado.

2.4. Estudio geotécnico

Se ha realizado un estudio y análisis del informe detallado de las características del terreno en relación con el tipo de proyecto y el entorno, siendo necesario para el análisis y dimensionado de sus cimientos. Las características del terreno se determinan mediante una serie de procedimientos que se detallan en dicho informe y que se realizan en base a lo establecido en este DB.

2.5. Tipo de cimentación

En base al sistema estructural del edificio, que recibe todas las cargas de forma concentrada en el perímetro del núcleo de hormigón armado a través de los muros M1, M2, M3 y M4, y a las características del terreno, se propone una cimentación profunda a través de una losa pilotada debajo del núcleo de hormigón y muros de contención que dibujan el perímetro de una losa de menor espesor que sustenta el forjado sanitario.

La losa central de cimentación de espesor 1.50 m se pilota mediante un grupo de 10 pilotes de extracción con camisa perdida n.D.L.S.C.Hormigonado.Cemento CPI-5. Usualmente como pilotaje trabajando por punta apoyada en roca de capas duras de terreno y siempre que se atraviesen capas de terreno incoherente fino en presencia de agua, o exista flujo de agua y existan capas agresivas al hormigón fresco.

CPI-1 Camisa perdida. Se utilizará para proteger un tramo de los pilares expuesto a la acción de un terreno agresivo al hormigón fresco o a un flujo de agua. La longitud C del tubo que

constituye la camisa, será tal que suspendida desde la boca de perforación profundice dos diámetros por debajo de la capa peligrosa. Realizada la excavación y antes del hormigonado, se introducirá en la entubación situándola en la posición prevista en la Documentación Técnica. Se mantendrá suspendida desde la boca de perforación hasta la terminación de las operaciones de hormigonado.

Nivel IV de terreno resistente de suelo granular grueso gravas. Aparece a una profundidad de 8,50 metros y su espesor mínimo es de 15 metros (cota -8,50 en adelante). Presión admisible = 3,50 kg/m²

CUADRO DE ESPECIFICACIONES DE LOS MATERIALES

HORMIGONES	TIPO	Árido		R caract.	Cemento designación	Acero	
		Tipo árido	Tamaño máx.			Coef. pond.	Clase
H. de limpieza	HM-20/P/40/I	RODADO	I-40 mm	20 N/mm ²	CEM I/ A-V32.5	1.15	B 500 s
H. solera	HA-30/B/20/IIa	RODADO	II-20 mm	30 N/mm ²	CEM II/ A-V42.5	1.15	B 500 s
H Losa cimentación	HA-30/B/20/IIa	RODADO	II-20 mm	30 N/mm ²	CEM II/ A-V42.5	1.15	B 500 s
H. muros	HA-30/B/20/IIa	RODADO	II-20 mm	30 N/mm ²	CEM II/ A-V42.5	1.15	B 500 s
H. Pilotes	HAM-25/F/40/I	RODADO	II-20 mm	25 N/mm ²	CEM I/ A-V32.5	1.15	B 500 s

3. DB-SE-A | Seguridad estructural. Acero

3.1. Objeto

Se establecen las reglas y procedimientos que permitan cumplir las exigencias básicas de seguridad estructural con el fin de asegurar que los elementos de acero de la estructura tienen un comportamiento estructural adecuado frente a las acciones e influencias previsibles a las que pueda estar sometido durante su construcción y uso previsto.

3.2. Ámbito de aplicación

Este DB se destina a verificar la seguridad estructural de los elementos metálicos de la estructura realizados con acero, a saber, la viga de celosía, los tirantes metálicos, vigas y forjados y las armaduras del hormigón armado.

3.3. Condiciones particulares

Se incluyen en la documentación del proyecto las características mecánicas consideradas para los diferentes elementos, las dimensiones a ejes de referencia de las barras y la definición de los perfiles y uniones que aparecen en él.

3.4. Bases de cálculo

En el anejo a la memoria del proyecto que contiene el cálculo de la estructura se dimensiona la estructura de acero de la viga de celosía verificando su estabilidad, a pandeo y resistencia (Estados Límite Últimos), así como la aptitud para el servicio del mismo (Estados Límite de Servicio).

Aceros en perfiles	TIPO	G	Límite elástico	E (Mpa)
Acero laminado	S 275	81000 Mpa	275 Mpa	210 Mpa
Acero laminado	S 235	81000 Mpa	235 Mpa	210 Mpa

PRESCRIPCIONES PARA LAS SOLDADURAS

Todas las soldaduras a tope se realizarán previo biselado por procedimientos mecánicos de las chapas o perfiles a unir. Se prohíbe todo enfriamiento anormal o excesivamente rápido de las soldaduras preceptivo tomar las precauciones precisas para evitarlo.

CUMPLIMIENTO DB-SI | Seguridad en caso de Incendio

REAL DECRETO 314/2006, de 17 de marzo, por el que se aprueba el Código Técnico de la Edificación.(BOE núm. 74, martes 28 marzo 2006)

Artículo 11. Exigencias básicas de seguridad en caso de incendio (SI).

1.El objetivo del requisito básico «Seguridad en caso de incendio» consiste en reducir a límites aceptables el riesgo de que los usuarios de un edificio sufran daños derivados de un incendio de origen accidental, como consecuencia de las características de su proyecto, construcción, uso y mantenimiento.

2.Para satisfacer este objetivo, los edificios se proyectarán, construirán, mantendrán y utilizarán de forma que, en caso de incendio, se cumplan las exigencias básicas que se establecen en los apartados siguientes.

3.El Documento Básico DB-SI especifica parámetros objetivos y procedimientos cuyo cumplimiento asegura la satisfacción de las exigencias básicas y la superación de los niveles mínimos de calidad propios del requisito básico de seguridad en caso de incendio, excepto en el caso de los edificios, establecimientos y zonas de uso industrial a los que les sea de aplicación el «Reglamento de seguridad contra incendios en los establecimientos industriales», en los cuales las exigencias básicas se cumplen mediante dicha aplicación.

11.1 Exigencia básica SI 1: Propagación interior: se limitará el riesgo de propagación del incendio por el interior del edificio.

11.2 Exigencia básica SI 2: Propagación exterior: se limitará el riesgo de propagación del incendio por el exterior, tanto en el edificio considerado como a otros edificios.

11.3 Exigencia básica SI 3: Evacuación de ocupantes: el edificio dispondrá de los medios de evacuación adecuados para que los ocupantes puedan abandonarlo o alcanzar un lugar seguro dentro del mismo en condiciones de seguridad.

11.4 Exigencia básica SI 4: Instalaciones de protección contra incendios: el edificio dispondrá de los equipos e instalaciones adecuados para hacer posible la detección, el control y la extinción del incendio, así como la transmisión de la alarma a los ocupantes.

11.5 Exigencia básica SI 5: Intervención de bomberos: se facilitará la intervención de los equipos de rescate y de extinción de incendios.

11.6 Exigencia básica SI 6: Resistencia al fuego de la estructura: la estructura portante mantendrá su resistencia al fuego durante el tiempo necesario para que puedan cumplirse las anteriores exigencias básicas

1.1. Objeto

Se establecen las condiciones que deben reunir los edificios (elementos de protección contra incendios y soluciones constructivas) para proteger a sus ocupantes frente a los riesgos originados por un incendio y prevenir los daños a terceros.

1.2. Ámbito y aplicación

En el presente proyecto se contempla el cumplimiento de las prescripciones generales y las condiciones particulares del uso residencial vivienda

1.SI 1 | Propagación interior

1.1. Exigencia básica

Se limitará el riesgo de propagación del incendio por el interior del edificio.

1 Los edificios se deben compartimentar en sectores de incendio según las condiciones que se establecen en la tabla 1.1 de esta Sección. Las superficies máximas indicadas en dicha tabla para los sectores de incendio pueden duplicarse cuando estén protegidos con una instalación automática de extinción.

2 A efectos del cómputo de la superficie de un sector de incendio, se considera que los locales de riesgo especial, las escaleras y pasillos protegidos, los vestíbulos de independencia y las escaleras compartimentadas como sector de incendios, que estén contenidos en dicho sector no forman parte del mismo.

Tabla 1.1 Condiciones de compartimentación en sectores de incendio

Uso previsto del edificio o establecimiento	Condiciones
En general	<ul style="list-style-type: none"> - Todo <i>establecimiento</i> debe constituir sector de incendio diferenciado del resto del edificio excepto, en edificios cuyo uso principal sea <i>Residencial Vivienda</i>, los establecimientos cuya superficie construida no exceda de 500 m² y cuyo uso sea <i>Docente, Administrativo o Residencial Público</i>. - Toda zona cuyo <i>uso previsto</i> sea diferente y subsidiario del principal del edificio o del <i>establecimiento</i> en el que esté integrada debe constituir un <i>sector de incendio</i> diferente cuando supere los siguientes límites: <ul style="list-style-type: none"> Zona de <i>uso Residencial Vivienda</i>, en todo caso. Zona de alojamiento⁽¹⁾ o de <i>uso Administrativo, Comercial o Docente</i> cuya superficie construida exceda de 500 m². Zona de uso Pública Concurrencia cuya ocupación exceda de 500 personas. Zona de <i>uso Aparcamiento</i> cuya superficie construida exceda de 100 m² ⁽²⁾. Cualquier comunicación con zonas de otro uso se debe hacer a través de vestíbulos de <i>independencia</i>. - Un espacio diáfano puede constituir un único <i>sector de incendio</i> que supere los límites de superficie construida que se establecen, siempre que al menos el 90% de ésta se desarrolle en una planta, sus salidas comuniquen directamente con el espacio libre exterior, al menos el 75% de su perímetro sea fachada y no exista sobre dicho

⁽¹⁾ Determinado conforme a la norma UNE-EN 81-58:2004 "Reglas de seguridad para la construcción e instalación de ascensores. Exámenes y ensayos – Parte 58: Ensayo de resistencia al fuego de las puertas de piso".

Residencial Público	<ul style="list-style-type: none"> - La superficie construida de cada sector de incendio no debe exceder de 2.500 m². - Toda habitación para alojamiento, así como todo oficio de planta cuya dimensión y uso previsto no obliguen a su clasificación como local de riesgo especial conforme a SI 1-2, debe tener paredes EI 60 y, en <i>establecimientos</i> cuya superficie construida exceda de 500 m², puertas de acceso EI₂ 30-C5.
----------------------------	---

El proyecto se considera uso Residencial vivienda. El espacio público en planta baja puede tomarse como usos comunes del edificio pues será utilizado sólo por los residentes y la superficie que ocupan dichos espacios es de 215 m².

Cálculo de sectores de incendios:

Se han descontado las superficies de los vestíbulos de independencia, las escaleras protegidas y los locales de riesgo especial bajo en cada planta.

Superficie a descontar por hechos en doble altura terrazas: 16,62 m²

Vestíbulo de independencia: 16,62 m²

Escalera protegida: 12,43 m²

Planta	Superficie (m ²)
Planta baja	179,55
Planta primera	132,26
Planta segunda	288,99
Planta tercera	264,04
Planta cuarta	264,04
Planta quinta	264,04
Planta sexta	249,04
Planta séptima	-
Total	1641,94 m ² <2500 m ² ; cada bloque será un único sector de incendios

1.2. Locales de riesgo especial

Los locales y zonas de riesgo especial integrados en los edificios se clasifican conforme los grados de riesgo alto, medio y bajo según los criterios que se establecen en la tabla 2.1. Los locales y las zonas así clasificados deben cumplir las condiciones que se establecen en la tabla 2.2 de esta sección.

Los locales destinados a albergar instalaciones y equipos regulados por reglamentos específicos, tales como transformadores, maquinaria de aparatos elevadores, calderas, depósitos de combustible, contadores de gas o electricidad, etc. se rigen, además, por las condiciones que se establecen en dichos reglamentos. Las condiciones de ventilación de los locales y de los equipos exigidas por dicha reglamentación deberán solucionarse de forma compatible con las de compartimentación establecidas en el documento básico SI.

Tabla 2.1 Clasificación de los locales y zonas de riesgo especial integrados en edificios

Uso previsto del edificio o establecimiento - Uso del local o zona	Tamaño del local o zona S = superficie construida V = volumen construido		
	Riesgo bajo	Riesgo medio	Riesgo alto
En cualquier edificio o establecimiento:			
- Talleres de mantenimiento, almacenes de elementos combustibles (p. e.: mobiliario, lencería, limpieza, etc.) archivos de documentos, depósitos de libros, etc.	$100 < V \leq 200 \text{ m}^3$	$200 < V \leq 400 \text{ m}^3$	$V > 400 \text{ m}^3$
- Almacén de residuos	$5 < S \leq 15 \text{ m}^2$	$15 < S \leq 30 \text{ m}^2$	$S > 30 \text{ m}^2$
- Aparcamiento de vehículos de una vivienda unifamiliar o cuya superficie S no exceda de 100 m^2	En todo caso		
- Cocinas según potencia instalada P ⁽¹⁾⁽²⁾	$20 < P \leq 30 \text{ kW}$	$30 < P \leq 50 \text{ kW}$	$P > 50 \text{ kW}$
- Lavanderías. Vestuarios de personal. Camerinos ⁽³⁾	$20 < S \leq 100 \text{ m}^2$	$100 < S \leq 200 \text{ m}^2$	$S > 200 \text{ m}^2$
- Salas de calderas con potencia útil nominal P	$70 < P \leq 200 \text{ kW}$	$200 < P \leq 600 \text{ kW}$	$P > 600 \text{ kW}$
- Salas de máquinas de instalaciones de climatización (según Reglamento de Instalaciones Térmicas en los edificios, RITE, aprobado por RD 1027/2007, de 20 de julio, BOE 2007/08/29)	En todo caso		
- Salas de maquinaria frigorífica: refrigerante amoníaco refrigerante halogenado	$P \leq 400 \text{ kW}$	En todo caso $P > 400 \text{ kW}$	
- Almacén de combustible sólido para calefacción	$S \leq 3 \text{ m}^2$	$S > 3 \text{ m}^2$	
- Local de contadores de electricidad y de cuadros generales de distribución	En todo caso		
- Centro de transformación			
- aparatos con aislamiento dieléctrico seco o líquido con punto de inflamación mayor que 300°C	En todo caso		
- aparatos con aislamiento dieléctrico con punto de inflamación que no exceda de 300°C y potencia instalada P: total	$P \leq 2\,520 \text{ kVA}$	$2\,520 < P \leq 4\,000 \text{ kVA}$	$P > 4\,000 \text{ kVA}$
en cada transformador	$P \leq 630 \text{ kVA}$	$630 < P \leq 1\,000 \text{ kVA}$	$P > 1\,000 \text{ kVA}$
- Sala de maquinaria de ascensores	En todo caso		
- Sala de grupo electrógeno	En todo caso		
Residencial Vivienda			
- Trasteros ⁽⁴⁾	$50 < S \leq 100 \text{ m}^2$	$100 < S \leq 500 \text{ m}^2$	$S > 500 \text{ m}^2$

Sector	Local	Superficie (m2)	Nivel de riesgo	Vestibulo de independencia	Resistencia al fuego paredes/techo/puertas
SI1	Cuarto fontanería-refrigerante	9,62	Bajo	No	EI90/EI90 EI245-C5
SI1	Armario contadores electricidad	1,68	Bajo	No	EI90/EI90 EI245-C5
SI1	Sala UTA 1	15,96	Bajo	No	EI90/EI90 EI245-C5
SI1	Almacén	15,96	Bajo	Si	EI90/EI90 EI245-C5
SI1	Trasteros	50 m2	Bajo	No	EI90/EI90 EI245-C5
SI1	Cocina según potencia instalada	264,04	Bajo	No	EI90/EI90 EI245-C5
SI1	Cuarto Bombas de calor-refrigerante	15,52	Bajo	No	EI90/EI90 EI245-C5
S1	Almacén residuos	5,45	Bajo	No	EI90/EI90 EI245-C5

Tabla 2.2 Condiciones de las zonas de riesgo especial integradas en edificios ⁽¹⁾

Característica	Riesgo bajo	Riesgo medio	Riesgo alto
Resistencia al fuego de la estructura portante ⁽²⁾	R 90	R 120	R 180
Resistencia al fuego de las paredes y techos ⁽³⁾ que separan la zona del resto del edificio ⁽²⁾⁽⁴⁾	EI 90	EI 120	EI 180
Vestibulo de independencia en cada comunicación de la zona con el resto del edificio	-	Sí	Sí
Puertas de comunicación con el resto del edificio	EI ₂ 45-C5	2 x EI ₂ 30 -C5	2 x EI ₂ 45-C5
Máximo recorrido hasta alguna salida del local ⁽⁵⁾	≤ 25 m ⁽⁶⁾	≤ 25 m ⁽⁶⁾	≤ 25 m ⁽⁶⁾

escalera protegida, y ser esta la distribución del edificio. No sería necesario según CTE que

2.4. Espacios ocultos

La compartimentación contra incendios de los espacios ocupables debe tener continuidad en los espacios ocultos, tales como patinillos, cámaras, falsos techos, suelos elevados, etc., salvo cuando éstos estén compartimentados respecto de los primeros al menos con la misma resistencia al fuego, pudiendo reducirse ésta a la mitad en los registros para mantenimiento.

Se limita a tres plantas y a 10 m el desarrollo vertical de las cámaras no estancas en las que existan elementos cuya clase de reacción al fuego no sea B-s3,d2, BL-s3,d2 ó mejor.

La resistencia al fuego requerida a los elementos de compartimentación de incendios se debe mantener en los puntos en los que dichos elementos son atravesados por elementos de las

instalaciones, tales como cables, tuberías, conducciones, conductos de ventilación, etc., excluidas las penetraciones cuya sección de paso no exceda de 50 cm².

Se dispone en estos casos un elemento que, en caso de incendio, obture automáticamente la sección de paso y garantice en dicho punto una resistencia al fuego al menos igual a la del elemento atravesado, por ejemplo, un dispositivo intumescente de obturación.

2.5. Reacción al fuego de elementos constructivos, decorativos y de mobiliario

Los elementos constructivos deben cumplir las condiciones de reacción al fuego que se establecen en la tabla 4.1.

Las condiciones de reacción al fuego de los componentes de las instalaciones eléctricas (cables, tubos, bandejas, regletas, armarios, etc.) se regulan en su reglamentación específica.

Situación del elemento	Revestimientos ⁽¹⁾	
	De techos y paredes ^{(2) (3)}	De suelos ⁽²⁾
Zonas ocupables ⁽⁴⁾	C-s2,d0	E _{FL}
Pasillos y escaleras protegidos	B-s1,d0	C _{FL} -s1
Aparcamientos y recintos de riesgo especial ⁽⁵⁾	B-s1,d0	B _{FL} -s1
Espacios ocultos no estancos, tales como patinillos, falsos techos y suelos elevados (excepto los existentes dentro de las viviendas) etc. o que siendo estancos, contengan instalaciones susceptibles de iniciar o de propagar un incendio.	B-s3,d0	B _{FL} -s2 ⁽⁶⁾

2.6. Ascensores

El vestíbulo de independencia de acceso al ascensor es el de la escalera protegida.

Al tener la maquinaria incorporada en el hueco del ascensor, dicho hueco no se considera como *local para maquinaria del ascensor*, por lo que no hay que tratarlo como local de riesgo especial bajo

Situación del elemento	Revestimientos techos y paredes	Revestimiento suelos
Zonas ocupantes	C-s2,d0	E _{fl}
Local de riesgo especial	B-s1,d0	C _{fl} -S1
Patinillos, falsos techos	B-s3, d0	B _{fl} -S2(6)

2.SI 1 | Propagación interior

3.1. Medianerías y fachadas

No existen Medianerías ni elementos separables con otro proyecto. Se trata de un edificio asilado y único sector de incendios.

No existen huecos entre dos edificios, ni pertenecientes a dos sectores de incendio del mismo edificio, ni entre una zona de riesgo especial alto y otras zonas.

La clase de reacción al fuego de los materiales que ocupen más del 10% de la superficie del acabado exterior de las fachadas o de las superficies interiores de las cámaras ventiladas que dichas fachadas puedan tener, será B-s3,d2 hasta una altura de 3,5 m como mínimo, en aquellas fachadas cuyo arranque inferior sea accesible al público desde la rasante exterior o desde una cubierta, y en toda la altura de la fachada cuando esta exceda de 18 m, con independencia de donde se encuentre su arranque.

En este caso, aunque arranque a más de tres metros de altura, la altura de la fachada excede los 18 m, por tanto deberá cumplir esta exigencia

3.2. Cubiertas

Con el fin de limitar el riesgo de propagación exterior del incendio por la cubierta, ya sea entre dos edificios colindantes, ya sea en un mismo edificio, esta tendrá una resistencia al fuego REI 60, como mínimo, en una franja de 0,50 m de anchura medida desde el edificio colindante, así como en una franja de 1,00 m de anchura situada sobre el encuentro con la cubierta de todo elemento compartimentador de un sector de incendio o de un local de riesgo especial alto. Como alternativa a la condición anterior puede optarse por prolongar la medianería o el elemento compartimentador 0,60 m por encima del acabado de la cubierta.

Los materiales que ocupen más del 10% del revestimiento o acabado exterior de las zonas de cubierta situadas a menos de 5 m de distancia de la proyección vertical de cualquier zona de fachada, del mismo o de otro edificio, cuya resistencia al fuego no sea al menos EI 60, incluida la cara superior de los voladizos cuyo saliente exceda de 1 m, así como los lucernarios, claraboyas y cualquier otro elemento de iluminación o ventilación, deben pertenecer a la clase de reacción al fuego BROOF (t1).

3.SI 3 | Evacuación de ocupantes

Exigencia básica:

El edificio dispondrá de los medios de evacuación adecuados para que los ocupantes puedan abandonarlo o alcanzar un lugar seguro dentro del mismo en condiciones de seguridad.

4.1. Cálculo de la ocupación

Cuando en una zona, en un recinto, en una planta o en el edificio deba existir más de una salida, considerando también como tales los puntos de paso obligado, la distribución de los ocupantes entre ellas a efectos de cálculo debe hacerse suponiendo inutilizada una de ellas, bajo la hipótesis más desfavorable.

Recinto	Uso previsto	Superficie útil (m ²)	Ocupación	Nº salidas	Recorrido evacuación (m)
PLANTA BAJA- zonas comunes					
Vestíbulo	Residencial vivienda	9,79	0,48	1	<50
Restaurante	Residencial vivienda	66,25	40	1	<50
Cafetería	Residencial vivienda	66,25	40	1	<50
Cocina	Residencial vivienda	20,34	1,1	1	<50
PLANTA PRIMERA- Zonas comunes					
Zonas de ocupación ocasional			NULA		<50
Aseos de planta	Residencial vivienda	16,07	4,01	1	<50
VIVIENDA					
Vivienda	Residencial vivienda	190	9,5	1	<50

4.3. Dimensionado de los elementos de evacuación

Tabla 4.1 Dimensionado de los elementos de la evacuación

Tipo de elemento	Dimensionado
Puertas y pasos	$A \geq P / 200$ ⁽¹⁾ $\geq 0,80$ m ⁽²⁾ La anchura de toda hoja de puerta no debe ser menor que 0,60 m, ni exceder de 1,23 m.
Pasillos y rampas	$A \geq P / 200 \geq 1,00$ m ⁽³⁾ ⁽⁴⁾ ⁽⁵⁾
Pasos entre filas de asientos fijos en salas para público tales como cines, teatros, auditorios, etc. ⁽⁶⁾	En filas con salida a pasillo únicamente por uno de sus extremos, $A \geq 30$ cm cuando tengan 7 asientos y 2,5 cm más por cada asiento adicional, hasta un máximo admisible de 12 asientos. En filas con salida a pasillo por sus dos extremos, $A \geq 30$ cm en filas de 14 asientos como máximo y 1,25 cm más por cada asiento adicional. Para 30 asientos o más: $A \geq 50$ cm. ⁽⁷⁾ Cada 25 filas, como máximo, se dispondrá un paso entre filas cuya anchura sea 1,20 m, como mínimo.
Escaleras no protegidas ⁽⁸⁾	
para evacuación descendente	$A \geq P / 160$ ⁽⁹⁾
para evacuación ascendente	$A \geq P / (160-10h)$ ⁽⁹⁾
Escaleras protegidas	$E \leq 3 S + 160 A_s$ ⁽⁹⁾
Pasillos protegidos	$P \leq 3 S + 200 A$ ⁽⁹⁾
En zonas al aire libre:	
Pasos, pasillos y rampas	$A \geq P / 600$ ⁽¹⁰⁾
Escaleras	$A \geq P / 480$ ⁽¹⁰⁾

A efectos del cálculo de la capacidad de evacuación de las escaleras y de la distribución de los ocupantes entre ellas, cuando existan varias, no es preciso suponer inutilizada en su totalidad alguna de las escaleras protegidas, de las especialmente protegidas o de las compartimentadas como los sectores de incendio, existentes. En cambio, cuando deban existir varias escaleras y estas sean no protegidas y no compartimentadas, debe considerarse inutilizada en su totalidad alguna de ellas, bajo la hipótesis más desfavorable.

El dimensionado de las puertas en los recorridos de evacuación en el proyecto son siempre de anchura de paso mayor que 0.8 m. Cumple.

El dimensionado de los pasillos en los recorridos de evacuación en el proyecto son siempre de anchura de paso mayor que 1.20 m. Cumple.

El dimensionado de las escaleras protegidas en los recorridos de evacuación en el proyecto son siempre de anchura igual a 1 m. Cumple.

4.4. Protección de las escaleras

Tabla 5.1. Protección de las escaleras

Uso previsto ⁽¹⁾	Condiciones según tipo de protección de la escalera		
	<i>h = altura de evacuación de la escalera</i> <i>P = número de personas a las que sirve en el conjunto de plantas</i>		
	No protegida	Protegida ⁽²⁾	Especialmente protegida
Escaleras para evacuación descendente			
<i>Residencial Vivienda</i>	$h \leq 14$ m	$h \leq 28$ m	
<i>Administrativo, Docente,</i>	$h \leq 14$ m	$h \leq 28$ m	
<i>Comercial, Pública Concu- rrencia</i>	$h \leq 10$ m	$h \leq 20$ m	
<i>Residencial Público</i>	Baja más una	$h \leq 28$ m ⁽³⁾	Se admite en todo caso
<i>Hospitalario</i>			
zonas de hospitalización o de tratamiento intensivo	No se admite	$h \leq 14$ m	
otras zonas	$h \leq 10$ m	$h \leq 20$ m	
<i>Aparcamiento</i>	No se admite	No se admite	
Escaleras para evacuación ascendente			
<i>Uso Aparcamiento</i>	No se admite	No se admite	
Otro uso: $h \leq 2,80$ m	Se admite en todo caso	Se admite en todo caso	Se admite en todo caso
$2,80 < h \leq 6,00$ m	$P \leq 100$ personas	Se admite en todo caso	
$h > 6,00$ m	No se admite	Se admite en todo caso	

⁽¹⁾ Las escaleras para evacuación descendente y las escaleras para evacuación ascendente cumplirán en todas sus plantas respectivas las condiciones más restrictivas de las correspondientes a los usos de *los sectores de incendio* con los que comuniquen en dichas plantas. Cuando un *establecimiento* contenido en un edificio de *uso Residencial Vivienda* no precise constituir *sector de incendio* conforme al capítulo 1 de la Sección 1 de este DB, las condiciones exigibles a las escaleras comunes son las correspondientes a dicho uso.

⁽²⁾ Las escaleras que comuniquen *sectores de incendio* diferentes pero cuya *altura de evacuación* no exceda de la admitida para las escaleras no protegidas, no precisan cumplir las condiciones de las *escaleras protegidas*, sino únicamente estar compartimentadas de tal forma que a través de ellas se mantenga la compartimentación exigible entre *sectores de incendio*, siendo admisible la opción de incorporar el ámbito de la propia escalera a uno de los sectores a los que sirve.

⁽³⁾ Cuando se trate de un *establecimiento* con menos de 20 plazas de alojamiento se podrá optar por instalar un *sistema de detección y alarma* como medida alternativa a la exigencia de *escalera protegida*.

La tabla 5.1 indica la necesidad de disponer de una escalera protegida para la evacuación descendente en el proyecto (14<h<28m) residencial vivienda.

La escalera protegida es un recinto destinado exclusivamente a circulación y compartimentado del resto del edificio mediante elementos separadores EI 120. Cumple

En la planta de salida del edificio las escaleras protegidas o especialmente protegidas para evacuación ascendente pueden carecer de compartimentación. Las previstas para evacuación descendente pueden carecer de compartimentación cuando sea un sector de riesgo mínimo.

En la planta de salida del edificio, la longitud del recorrido desde la puerta de salida del recinto de la escalera, o en su defecto desde el desembarco de la misma, hasta una salida de edificio no debe exceder de 15 m, excepto cuando dicho recorrido se realice por un sector de riesgo mínimo, en cuyo caso dicho límite es el que con carácter general se establece para cualquier origen de evacuación de dicho sector.

El recinto tiene como máximo dos accesos en cada planta, los cuales se realizan a través de puertas EI2 60-C5 y desde espacios de circulación comunes y sin ocupación propia.

Además de dichos accesos, pueden abrir al recinto de la escalera protegida locales destinados a aseo, así como los ascensores, siempre que las puertas de estos últimos abran, en todas sus plantas, al recinto de la escalera protegida considerada o a un vestíbulo de independencia.

El recinto cuenta con protección frente al humo, mediante una de las siguientes opciones:

Ventilación natural mediante ventanas practicables o huecos abiertos al exterior con una superficie útil de ventilación de al menos 1 m² en cada planta.

Ventilación mediante dos conductos independientes de entrada y salida de aire, dispuestos exclusivamente para esta función y que cumplen las condiciones siguientes:

-La superficie de la sección útil total es de 50 cm² por cada m³ de recinto en cada planta, tanto para la entrada como para la salida de aire; cuando se utilicen conductos rectangulares, la relación entre los lados mayor y menor no es mayor que 4; Cumple

-las rejillas tienen una sección útil de igual superficie y relación máxima entre sus lados que el conducto al que están conectadas; Cumple

-en cada planta, la parte superior de las rejillas de entrada de aire está situada a una altura sobre el suelo menor que 1 m y las de salida de aire están enfrentadas a las anteriores y su parte inferior está situada a una altura mayor que 1,80 m. Cumple

Sistema de presión diferencial conforme a EN 12101-6:2005.

En el proyecto, se adoptará la ventilación mediante conductos que discurren por el patinillo central

4.5. Vestíbulos de independencia

Recinto de uso exclusivo para circulación situado entre dos o más recintos o zonas con el fin de aportar una mayor garantía de compartimentación contra incendios y que únicamente puede comunicar con los recintos o zonas a independizar, con aseos de planta y con ascensores. Cumplirán las siguientes condiciones:

- Sus paredes serán EI 120. Sus puertas de paso entre los recintos o zonas a independizar tendrán la cuarta parte de la resistencia al fuego exigible al elemento compartimentador que

separa dichos recintos y al menos EI₂ 30-C5.

- - Los *vestíbulos de independencia* de las *escaleras especialmente protegidas* dispondrán de protección frente al humo conforme a alguna de las alternativas establecidas para dichas escaleras.
- - Los que sirvan a uno o a varios locales de riesgo especial, según lo establecido en el apartado 2 de la Sección SI 1, no pueden utilizarse en los *recorridos de evacuación* de zonas habitables.
- - La distancia mínima entre los contornos de las superficies barridas por las puertas del vestíbulo debe ser al menos 0,50 m.
- - Los *vestíbulos de independencia* situados en un *itinerario accesible* (ver definición en el Anejo A del DB SUA) deben poder contener un círculo de diámetro Ø 1,20 m libre de obstáculos y del barrido de las puertas. Cuando el vestíbulo contenga una *zona de refugio*, dicho círculo tendrá un diámetro Ø 1,50 m y podrá invadir una de las plazas reservadas para usuarios de silla de ruedas. Los mecanismos de apertura de las puertas de los vestíbulos estarán a una distancia de 0,30 m, como mínimo, del encuentro en rincón más próximo de la pared que contiene la puerta.

4.6. Señalización de los medios de evacuación

Se utilizarán las señales de evacuación definidas en la norma UNE 23034:1988, conforme a los siguientes criterios:

a) Las salidas de recinto, planta o edificio tendrán una señal con el rótulo “SALIDA”, excepto en edificios de uso Residencial Vivienda y, en otros usos, cuando se trate de salidas de recintos cuya superficie no exceda de 50 m², sean fácilmente visibles desde todo punto de dichos recintos y los ocupantes estén familiarizados con el edificio.

Por lo tanto, se colocarán los letreros en las salidas de emergencia de la planta baja para salida a espacio exterior seguro, sin ser necesarios en las salidas de planta de las viviendas.

b) La señal con el rótulo “Salida de emergencia” debe utilizarse en toda salida prevista para uso exclusivo en caso de emergencia.

c) Deben disponerse señales indicativas de dirección de los recorridos, visibles desde todo origen de evacuación desde el que no se perciban directamente las salidas o sus señales indicativas y, en particular, frente a toda salida de un recinto con ocupación mayor que 100 personas que acceda lateralmente a un pasillo.

d) En los puntos de los recorridos de evacuación en los que existan alternativas que puedan inducir a error, también se dispondrán las señales antes citadas, de forma que quede claramente indicada la alternativa correcta. Tal es el caso de determinados cruces o bifurcaciones de pasillos, así como de aquellas escaleras que, en la planta de salida del edificio, continúen su trazado hacia plantas más bajas, etc.

e) En dichos recorridos, junto a las puertas que no sean salida y que puedan inducir a error en la evacuación debe disponerse la señal con el rótulo “Sin salida” en lugar fácilmente visible pero en ningún caso sobre las hojas de las puertas.

f) Las señales se dispondrán de forma coherente con la asignación de ocupantes que se pretenda hacer a cada salida, conforme a lo establecido en el capítulo 4 de esta Sección.

g) Los itinerarios accesibles (ver definición en el Anejo A del DB SUA) para personas con discapacidad que conduzcan a una zona de refugio, a un sector de incendio alternativo previsto para la evacuación de personas con discapacidad, o a una salida del edificio accesible se señalarán mediante las señales establecidas en los párrafos anteriores a), b), c) y d) acompañadas del SIA (Símbolo Internacional de Accesibilidad para la movilidad). Cuando dichos itinerarios accesibles conduzcan a una zona de refugio o a un sector de incendio alternativo previsto para la evacuación de personas con discapacidad, irán además acompañadas del rótulo "ZONA DE REFUGIO".

h) La superficie de las zonas de refugio se señalará mediante diferente color en el pavimento y el rótulo "ZONA DE REFUGIO" acompañado del SIA colocado en una pared adyacente a la zona.

Las señales deben ser visibles incluso en caso de fallo en el suministro al alumbrado normal. Cuando sean fotoluminiscentes, deben cumplir lo establecido en las normas UNE 23035-1:2003, UNE 23035-2:2003 y UNE 23035-4:2003 y su mantenimiento se realizará conforme a lo establecido en la norma UNE 23035-3:2003.

4.7. Control de humo de incendio

Se debe instalar un sistema de control del humo de incendio capaz de garantizar dicho control durante la evacuación de los ocupantes, de forma que ésta se pueda llevar a cabo en condiciones de seguridad en:

- a) Zonas de uso Aparcamiento que no tengan la consideración de aparcamiento abierto.
- b) Establecimientos de uso Comercial o Pública Concurrencia cuya ocupación exceda de 1000 personas
- c) Atrios, cuando su ocupación en el conjunto de las zonas y plantas que constituyan un mismo sector de incendio, exceda de 500 personas, o bien cuando esté previsto para ser utilizado para la evacuación de más de 500 personas.

Por lo tanto no es necesario ningún sistema de control de humo de incendios en el proyecto al no contar con ninguna de las zonas citadas. No procede.

4.8. Evacuación de personas con discapacidad en caso de incendio

1. En los edificios de uso Residencial Vivienda con altura de evacuación superior a 28 m, de uso Residencial Público, Administrativo o Docente con altura de evacuación superior a 14 m, de uso Comercial o Pública Concurrencia con altura de evacuación superior a 10 m o en plantas de uso Aparcamiento cuya superficie exceda de 1.500 m², toda planta que no sea zona de ocupación nula y que no disponga de alguna salida del edificio accesible dispondrá de posibilidad de paso a un sector de incendio alternativo mediante una salida de planta accesible o bien de una zona de refugio apta para el número de plazas que se indica a continuación:

- una para usuario de silla de ruedas por cada 100 ocupantes o fracción, conforme a SI3-2;
- excepto en uso Residencial Vivienda, una para persona con otro tipo de movilidad reducida por cada 33 ocupantes o fracción, conforme a SI3-2.

No procede. La altura de evacuación es menor que 28 m.

2.Toda planta que disponga de zonas de refugio o de una salida de planta accesible de paso a un sector alternativo contará con algún itinerario accesible entre todo origen de evacuación situado en una zona accesible. No procede

3.Toda planta de salida del edificio dispondrá de algún itinerario accesible desde todo origen de evacuación situado en una zona accesible hasta alguna salida del edificio accesible. Cumple

4.En plantas de salida del edificio podrán habilitarse salidas de emergencia accesibles para personas con discapacidad diferentes de los accesos principales del edificio. No será necesario debido a la geometría de la planta.

5_SI 4: Instalaciones de protección contra incendios

Tabla 1.1. Dotación de instalaciones de protección contra incendios

Uso previsto del edificio o establecimiento	Condiciones
Instalación	
En general	
Extintores portátiles	Uno de eficacia 21A -113B: <ul style="list-style-type: none"> - A 15 m de recorrido en cada planta, como máximo, desde todo <i>origen de evacuación</i>. - En las zonas de riesgo especial conforme al capítulo 2 de la Sección 1⁽¹⁾ de este DB.
Bocas de incendio equipadas	En zonas de riesgo especial alto, conforme al capítulo 2 de la Sección SI1, en las que el riesgo se deba principalmente a materias combustibles sólidas ⁽²⁾
Ascensor de emergencia	En las plantas cuya <i>altura de evacuación</i> exceda de 28 m
Hidrantes exteriores	Si la <i>altura de evacuación</i> descendente excede de 28 m o si la ascendente excede de 6 m, así como en <i>establecimientos</i> de densidad de ocupación mayor que 1 persona cada 5 m ² y cuya superficie construida está comprendida entre 2.000 y 10.000 m ² . Al menos un hidrante hasta 10.000 m ² de superficie construida y uno más por cada 10.000 m ² adicionales o fracción. ⁽³⁾
Instalación automática de extinción	Salvo otra indicación en relación con el uso, en todo edificio cuya <i>altura de evacuación</i> exceda de 80 m. En cocinas en las que la potencia instalada exceda de 20 kW en <i>uso Hospitalario</i> o <i>Residencial Público</i> o de 50 kW en cualquier otro uso ⁽⁴⁾ En centros de transformación cuyos aparatos tengan aislamiento dieléctrico con punto de inflamación menor que 300 °C y potencia instalada mayor que 1 000 kVA en cada aparato o mayor que 4 000 kVA en el conjunto de los aparatos. Si el centro está integrado en un edificio de uso Pública Concurrencia y tiene acceso desde el interior del edificio, dichas potencias son 630 kVA y 2 520 kVA respectivamente.
Residencial Vivienda	
Columna seca ⁽⁵⁾	Si la <i>altura de evacuación</i> excede de 24 m.
Sistema de detección y de	Si la <i>altura de evacuación</i> excede de 50 m. ⁽⁶⁾

SI4-1

alarma de incendio

Hidrantes exteriores Uno si la superficie total construida esté comprendida entre 5.000 y 10.000 m².
Uno más por cada 10.000 m² adicionales o fracción.⁽³⁾

Se colocan extintores portátiles en cada vestíbulo de independencia, donde la longitud de evacuación desde cualquier punto es siempre menor que 15 m.

En planta baja, se colocan extintores frente a cada salida, donde el recorrido de evacuación es también menor que 15 m.

La altura de evacuación son 19 m, por lo que no será necesaria la inclusión de la columna seca ni de sistema de detección ni alarma de incendios.

La superficie total construída es 1633 m² por lo que no se precisa de Hidrante exterior.

5_SI 5: Intervención de los bomberos

5.1 Aproximación a los edificios

Los viales de aproximación de los vehículos de los bomberos a los espacios de maniobra a los que se refiere el apartado 1.2, deben cumplir las condiciones siguientes:

- a) anchura mínima libre 3,5 m
- b) altura mínima libre o gálibo 4,5 m
- c) capacidad portante del vial 20 KN/m²

El edificio se encuentra en un espacio libre, el vial de acceso es de 4 m de ancho y la distancia mínima entre edificios es de 15 m por lo que el acceso para vehículos de bomberos no se ve afectado.

5.2 Entorno de los edificios

Los edificios con una *altura de evacuación* descendente mayor que 9 m deben disponer de un espacio de maniobra para los bomberos que cumpla las siguientes condiciones a lo largo de las fachadas en las que estén situados los accesos, o bien al interior del edificio, o bien al espacio abierto interior en el que se encuentren aquellos:

- a) anchura mínima libre 5m
- b) altura libre la del edificio
- c) separación máxima del vehículo de bomberos a la fachada del edificio

- edificios de hasta 15 m de *altura de evacuación* 23 m
- edificios de más de 15 m y hasta 20 m de *altura de evacuación* 18 m
- edificios de más de 20 m de *altura de evacuación* 10 m

- d) distancia máxima hasta los accesos al edificio necesarios para poder llegar hasta todas sus zonas 30 m
- e) pendiente máxima 10%
- f) resistencia al punzonamiento del suelo 100 KN sobre 20 cm ϕ .

Cumple todas las exigencias. El edificio se encuentra en un espacio libre, el vial de acceso es de 4 m de ancho y la distancia mínima entre edificios es de 15 m por lo que el acceso para vehículos de bomberos no se ve afectado. Además, los grandes huecos en fachada permiten el acceso a bomberos desde la misma.

5.3 Accesibilidad por fachada

Las fachadas a las que se hace referencia en el apartado 1.2 deben disponer de huecos que permitan el acceso desde el exterior al personal del servicio de extinción de incendios. Dichos huecos deben cumplir las condiciones siguientes:

- a) Facilitar el acceso a cada una de las plantas del edificio, de forma que la altura del alféizar respecto del nivel de la planta a la que accede no sea mayor que 1,20 m;
- b) Sus dimensiones horizontal y vertical deben ser, al menos, 0,80 m y 1,20 m respectivamente. La distancia máxima entre los ejes verticales de dos huecos consecutivos no debe exceder de 25 m, medida sobre la fachada;
- c) No se deben instalar en fachada elementos que impidan o dificulten la accesibilidad al interior del edificio a través de dichos huecos, a excepción de los elementos de seguridad situados en los huecos de las plantas cuya altura de evacuación no exceda de 9 m.

Cumple todas las exigencias. La malla que rodea el edificio se ve interrumpida en cada planta por huecos de 6x 5,1 m que permiten el acceso a bomberos

5_SI 6: Resistencia al fuego de la estructura

Tabla 3.1 Resistencia al fuego suficiente de los elementos estructurales

Uso del sector de incendio considerado ⁽¹⁾	Plantas de sótano	Plantas sobre rasante altura de evacuación del edificio		
		≤15 m	≤28 m	>28 m
Vivienda unifamiliar ⁽²⁾	R 30	R 30	-	-
Residencial Vivienda, Residencial Público, Docente, Administrativo	R 120	R 60	R 90	R 120
Comercial, Pública Concurrencia, Hospitalario	R 120 ⁽³⁾	R 90	R 120	R 180
Aparcamiento (edificio de uso exclusivo o situado sobre otro uso)		R 90		
Aparcamiento (situado bajo un uso distinto)		R 120 ⁽⁴⁾		

⁽¹⁾ La *resistencia al fuego* suficiente R de los elementos estructurales de un suelo que separa sectores de incendio es función del uso del sector inferior. Los elementos estructurales de suelos que no delimitan un sector de incendios, sino que están contenidos en él, deben tener al menos la *resistencia al fuego* suficiente R que se exija para el uso de dicho sector

⁽²⁾ En viviendas unifamiliares agrupadas o adosadas, los elementos que formen parte de la estructura común tendrán la *resistencia al fuego* exigible a edificios de uso Residencial Vivienda.

⁽³⁾ R 180 si la altura de evacuación del edificio excede de 28 m.

⁽⁴⁾ R 180 cuando se trate de aparcamientos robotizados.

En el caso que nos ocupa, residencial vivienda con altura de evacuación 19 m, la resistencia al fuego de los elementos estructurales será R90.

Tabla 3.2 Resistencia al fuego suficiente de los elementos estructurales de zonas de riesgo especial integradas en los edificios ⁽¹⁾

Riesgo especial bajo	R 90
Riesgo especial medio	R 120
Riesgo especial alto	R 180

El proyecto sólo tiene locales de riesgo especial bajo, la resistencia al fuego de los elementos estructurales en su interior será R90.












Los elementos estructurales cuyo colapso ante la acción directa del incendio no pueda ocasionar daños a los ocupantes, ni comprometer la estabilidad global de la estructura, la evacuación o la compartimentación en sectores de incendio del edificio, como puede ser el caso de pequeñas entreplantas o de suelos o escaleras de construcción ligera, etc., no precisan cumplir ninguna exigencia de resistencia al fuego.

A los forjados de chapa colaborante que no se protejan con falsos techos, se les aplicará una capa de pintura ignífuga PROMAPAINTE SC4 .

Tabla resumen de la protección contra el fuego en los soportes estructurales verticales vigas de acero:

ELEMENTOS ESTRUCTURALES I PERFILES METÁLICOS

Se protegen todos los elementos metálicos con pintura ignífuga PROMAPAIN[®]-SC4 para protección R90 de estructuras metálicas (vigas y pilares) incluyendo perfiles huecos según la norma Norma EN 13381-8:2010 y CTE

											
	HE 180 B	HE 160 B	HE 100 B	IPE 180	UPE 400	UPE 270	U 180X90	LD 200.100.10	U 44x84	U 76x84	U 76x84
Espesor alas (mm)	8	8	6	8	18	13.5	8	10	5	5	5
Espesor alas (mm)	8	8	6	5.3	13.5	7.5	8	10	5	5	5
hxb (mm)	180x180	160x160	100x100	180x91	400x115	270x95	180x90	100X200	44X84	44X84	76X84
Factor de forma m ⁻¹	227.27	235.89	301.79	290.79	132.34	198.24	187.14	135.72	125.5	115.9	175
Espesor de PROMAPAIN [®] -SC4 en micras	1743	1747	1798	1792	1580	1708	1695	1580	1548	1511	1671

JUSTIFICACION CUMPLIMIENTO DB-SUA | Seguridad de Utilización y Accesibilidad

1. Seguridad frente al riesgo de caídas

1.2 Discontinuidades en el pavimento

Excepto en zonas de *uso restringido* o exteriores y con el fin de limitar el riesgo de caídas como consecuencia de traspies o de tropiezos, el suelo debe cumplir las condiciones siguientes:

- a) No tendrá juntas que presenten un resalto de más de 4 mm. Los elementos salientes del nivel del pavimento, puntuales y de pequeña dimensión (por ejemplo, los cerraderos de puertas) no deben sobresalir del pavimento más de 12 mm y el saliente que exceda de 6 mm en sus caras enfrentadas al sentido de circulación de las personas no debe formar un ángulo con el pavimento que exceda de 45°.
- b) Los desniveles que no excedan de 5 cm se resolverán con una pendiente que no exceda el 25%;
- c) En zonas para circulación de personas, el suelo no presentará perforaciones o huecos por los que pueda introducirse una esfera de 1,5 cm de diámetro.

Las juntas entre pavimentos se realizan mediante perfil metálicos integrados en el mismo- no existen resaltes. No existen perforaciones o huecos en pavimentos.

En zonas de circulación no se podrá disponer un escalón aislado, ni dos consecutivos, excepto en los casos siguientes.

- a) en zonas de *uso restringido*;
- b) en las zonas comunes de los edificios de *uso Residencial Vivienda*;
- c) en los accesos y en las salidas de los edificios;
- d) en el acceso a un estrado o escenario.

En estos casos, si la zona de circulación incluye un *itinerario accesible*, el o los escalones no podrán disponerse en el mismo.

No existen escalones aislados en ningún punto del proyecto. Todos los pavimentos son continuos.

1.3 Desniveles

Las barreras de protección tendrán, como mínimo, una altura de 0,90 m cuando la diferencia de cota que protegen no exceda de 6 m y de 1,10 m en el resto de los casos, excepto en el caso de huecos de escaleras de anchura menor que 40 cm, en los que la barrera tendrá una altura de 0,90 m, como mínimo (véase figura 3.1).

La altura se medirá verticalmente desde el nivel de suelo o, en el caso de escaleras, desde la línea de inclinación definida por los vértices de los peldaños, hasta el límite superior de la barrera.

El perímetro del edificio, donde se encuentra el espacio exterior que rodea la vivienda, está cerrado mediante una malla metálica resistente para la utilización en cerramientos de fachada. La malla se ancla de suelo a techo pro lo que no hay posibilidad de riesgo de caída . En los huecos de 6x 5.1 m existentes en fachada, se instalan barandillas de vidrio de 1.10 m de alto.

Las barreras de protección tendrán una resistencia y una rigidez suficiente para resistir la fuerza horizontal establecida en el apartado 3.2.1 del Documento Básico SE-AE, en función de la zona en que se encuentren.

1.4 Escaleras y rampas

Tabla 4.1 Escaleras de uso general. Anchura útil mínima de tramo en función del uso

Uso del edificio o zona	Anchura útil mínima (m) en escaleras previstas para un número de personas:			
	≤ 25	≤ 50	≤ 100	> 100
<i>Residencial Vivienda</i> , incluso escalera de comunicación con aparcamiento	1,00 ⁽¹⁾			
<i>Docente</i> con escolarización infantil o de enseñanza primaria <i>Pública concurrencia y Comercial</i>	0,80 ⁽²⁾	0,90 ⁽²⁾	1,00	1,10
<i>Sanitario</i> Zonas destinadas a pacientes internos o externos con recorridos que obligan a giros de 90° o mayores	1,40			
Otras zonas	1,20			
Casos restantes	0,80 ⁽²⁾	0,90 ⁽²⁾	1,00	

Escaleras de uso general:

En tramos rectos, la huella medirá 28 cm como mínimo. En tramos rectos o curvos la contrahuella medirá 13 cm como mínimo y 18,5 cm como máximo, excepto en zonas de uso público, así como siempre que no se disponga ascensor como alternativa a la escalera, en cuyo caso la contrahuella medirá 17,5 cm, como máximo.

La huella H y la contrahuella C cumplirán a lo largo de una misma escalera la relación siguiente: $54 \text{ cm} \leq 2C + H \leq 70 \text{ cm}$

La escalera proyectada cuenta con una huella de 28 cm y una contrahuella de 17.5 cm.

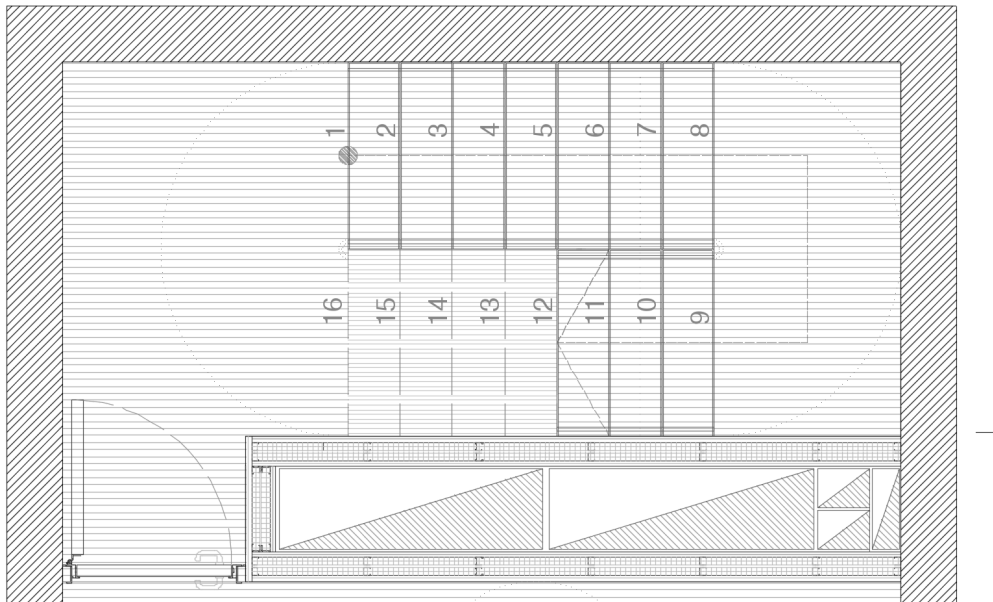
Entre dos plantas consecutivas de una misma escalera, todos los peldaños tendrán la misma contrahuella y todos los peldaños de los tramos rectos tendrán la misma huella. Entre dos tramos consecutivos de plantas diferentes, la contrahuella no variará más de 1 cm.

En tramos mixtos, la huella medida en el eje del tramo en las partes curvas no será menor que la huella en las partes rectas.

En todo caso, para el uso residencial vivienda, la anchura útil de la escalera será 1 m.

Mesetas

Las mesetas dispuestas entre tramos de una escalera con la misma dirección tendrán al menos la anchura de la escalera y una longitud medida en su eje de 1 m, como mínimo.



2. SUA 2: Seguridad frente al riesgo de impacto o atrapamiento

Exigencia básica:

Se limitará el riesgo de que los usuarios puedan sufrir impacto o atrapamiento con elementos fijos o practicables del edificio.

2.1. Con elementos fijos

En relación al impacto con elementos fijos, las exigencias existentes son las siguientes:

- La altura libre de paso en zonas de circulación será, como mínimo, 2,10 m en zonas de uso restringido y 2,20 m en el resto de las zonas. En los umbrales de las puertas la altura libre será 2 m, como mínimo.
- Cumple

- Los elementos fijos que sobresalgan de las fachadas y que estén situados sobre zonas de circulación estarán a una altura de 2,20 m, como mínimo. No procede
- En zonas de circulación, las paredes carecerán de elementos salientes que no arranquen del suelo, que vuelen más de 15 cm en la zona de altura comprendida entre 15 cm y 2,20 m medida a partir del suelo y que presenten riesgo de impact. No procede
- Se limitará el riesgo de impacto con elementos volados cuya altura sea menor que 2 m, tales como mesetas o tramos de escalera, de rampas, etc., disponiendo elementos fijos que restrinjan el acceso hasta ellos y permitirán su detección por los bastones de personas con discapacidad visual. Cumple

2.2. Con elementos practicables

En relación al impacto con elementos practicables, las exigencias existentes son las siguientes:

- En pasillos cuya anchura exceda de 2,50 m, el barrido de las hojas de las puertas no debe invadir la anchura determinada en las condiciones de evacuación. No procede
- En puertas de vaivén se dispondrá de uno o varios paneles que permitan percibir la aproximación de las personas entre 0,70 m y 1,50 m mínimo. Cumple

2.3_Zonas con alto riesgo de impacto

Estas posibles zonas con alto riesgo de impacto serían:

- En puertas, el área comprendida entre el nivel del suelo, una altura de 1,50 m y una anchura igual a la de la puerta más 0,30 m a cada lado de esta.
- En paños fijos, el área comprendida entre el nivel del suelo y una altura de 0,90 m.

Los vidrios existentes en las áreas con riesgo de impacto que se indican en el punto 2 siguiente de las superficies acristaladas que no dispongan de una barrera de protección conforme al apartado 3.2 de SUA 1, tendrán una clasificación de prestaciones X(Y)Z determinada según la norma UNE EN 12600:2003 cuyos parámetros cumplan lo que se establece en la tabla 1.1. Se excluyen de dicha condición los vidrios cuya mayor dimensión no exceda de 30 cm.

Diferencia de cotas a ambos lados de la superficie acristalada	Valor del parámetro		
	X	Y	Z
Mayor que 12 m	cualquiera	B o C	1
Comprendida entre 0,55 m y 12 m	cualquiera	B o C	1 ó 2
Menor que 0,55 m	1, 2 ó 3	B o C	cualquiera

2.4_Con elementos insuficientemente perceptibles

- En grandes superficies acristaladas que se puedan confundir con puertas o aberturas (lo que excluye el interior de viviendas) estarán provistas, en toda su longitud, de señalización visualmente contrastada situada a una altura inferior comprendida entre 0,85 y 1,10 m y a una altura superior comprendida entre 1,50 y 1,70 m. Dicha señalización no es necesaria cuando existan montantes separados una distancia de 0,60 m, como máximo, o si la superficie acristalada cuenta al menos con un travesaño situado a la altura inferior antes mencionada. Cumple

- Las puertas de vidrio que no dispongan de elementos que permitan identificarlas, tales como cercos o tiradores, dispondrán de señalización conforme al apartado anterior. Cumple

2.5_Atrapamiento

- En puertas correderas de accionamiento manual la distancia hasta el objeto fijo más próximo será como mínimo de 20 cm. Cumple
- Los elementos de apertura y cierre automáticos dispondrán de dispositivos de protección adecuados al tipo de accionamiento y cumplirán con las especificaciones técnicas propias. Cumple

3. SUA 3: Seguridad frente al riesgo de aprisionamiento

Exigencia básica:

Se limitará el riesgo de que los usuarios puedan quedar accidentalmente aprisionados en recintos.

3.1. Aprisionamiento

Para evitar el aprisionamiento de personas en los edificios del proyecto, se tomarán las siguientes precauciones:

-Cuando las puertas de un recinto tengan dispositivo para su bloqueo desde el interior y las personas puedan quedar accidentalmente atrapadas dentro del mismo, existirá algún sistema de desbloqueo de las puertas desde el exterior del recinto. Excepto en el caso de los baños o los aseos de viviendas, dichos recintos tendrán iluminación controlada desde su interior. Cumple

-En zonas de uso público, los aseos accesibles y cabinas de vestuarios accesibles dispondrán de un dispositivo en el interior fácilmente accesible, mediante el cual se transmita una llamada de asistencia perceptible desde un punto de control y que permita al usuario verificar que su llamada ha sido recibida, o perceptible desde un paso frecuente de personas. Cumple

-La fuerza de apertura de las puertas de salida será de 140 N, como máximo, excepto en las situadas en itinerarios accesibles, en las que será como máximo 25 N en general y 65 N cuando sean resistentes al fuego. Cumple

Para determinar la fuerza de maniobra de apertura y cierre de las puertas de maniobra manual batientes/pivotantes y deslizantes equipadas con pestillos de media vuelta y destinadas a ser utilizadas por peatones (excluidas puertas con sistema de cierre automático y puertas equipadas con herrajes especiales, como por ejemplo los dispositivos de salida de emergencia) se empleará el método de ensayo especificado en la norma UNE-EN 12046-2:2000.

4 .SUA 4: Seguridad frente al riesgo causado por iluminación inadecuada

Exigencia básica:

Se limitará el riesgo de daños a las personas como consecuencia de una iluminación inadecuada en zonas de circulación de los edificios, tanto interiores como exteriores, incluso en caso de emergencia o de fallo del alumbrado normal.

4.1. Alumbrado normal en zonas de circulación

El alumbrado normal en zonas de circulación será a través de una instalación cuyo factor de uniformidad media sea del 40% como mínimo, y sea capaz de proporcionar una iluminancia mínima medida a nivel del suelo de:

- 20 lux en zonas exteriores. Cumple
- 100 lux en zonas interiores. Cumple
- 50 lux en aparcamientos interiores. Cumple

4.2. Alumbrado de emergencia

Respecto al alumbrado de emergencia en caso de fallo del alumbrado normal, éste se situará en las siguientes zonas:

- Todo recinto cuya ocupación sea mayor que 100 personas.
- Los recorridos desde todo origen de evacuación hasta el espacio exterior seguro y hasta las zonas de refugio, incluidas estas últimas.
- Los aparcamientos cerrados o cubiertos cuya superficie construida exceda de 100 m², incluidos los pasillos y las escaleras que conduzcan hasta el exterior o hasta las zonas generales del edificio. No procede
- Los locales que alberguen equipos generales de las instalaciones de protección contra incendios y los de riesgo especial. Cumple
- Los aseos generales de planta en edificios de uso público. Cumple
- Los lugares en los que se ubican cuadros de distribución o de accionamiento de la instalación de alumbrado de las zonas antes citadas. Cumple
- Las señales de seguridad. Cumple
- Los itinerarios accesibles. Cumple

Así, las luminarias de emergencia deberán cumplir las siguientes características:

- Se situarán al menos a 2 m por encima del nivel del suelo.
- Se dispondrá una en cada puerta de salida y en posiciones en las que sea necesario destacar un peligro potencial o el emplazamiento de un equipo de seguridad. Como mínimo se dispondrán en los siguientes puntos:
 - en las puertas existentes en los recorridos de evacuación.
 - en las escaleras, de modo que cada tramo de escaleras reciba iluminación directa. -en cualquier otro cambio de nivel.
 - en los cambios de dirección y en las intersecciones de pasillos.

Con ello, la instalación necesaria para este alumbrado de emergencia seguirá estas indicaciones:

- La instalación será fija, estará provista de fuente propia de energía y debe entrar automáticamente en funcionamiento al producirse un fallo de alimentación en la instalación de alumbrado normal en las zonas cubiertas por el alumbrado de emergencia. Se considera como fallo de alimentación el descenso de la tensión de alimentación por debajo del 70% de su valor nominal.
- El alumbrado de emergencia de las vías de evacuación debe alcanzar al menos el 50% del nivel de iluminación requerido al cabo de los 5 s y el 100% a los 60 s.

- La instalación cumplirá las condiciones de servicio que se indican a continuación durante una hora, como mínimo, a partir del instante en que tenga lugar el fallo:
 - En las vías de evacuación cuya anchura no exceda de 2 m, la iluminancia horizontal en el suelo debe ser, como mínimo, 1 lux a lo largo del eje central y 0,5 lux en la banda central que comprende al menos la mitad de la anchura de la vía. Las vías de evacuación con anchura superior a 2 m pueden ser tratadas como varias bandas de 2 m de anchura, como máximo.
 - En los puntos en los que estén situados los equipos de seguridad, las instalaciones de protección contra incendios de utilización manual y los cuadros de distribución del alumbrado, la iluminancia horizontal será de 5 lux, como mínimo.
 - A lo largo de la línea central de una vía de evacuación, la relación entre la iluminancia máxima y la mínima no debe ser mayor que 40:1.
 - Los niveles de iluminación establecidos deben obtenerse considerando nulo el factor de reflexión sobre paredes y techos y contemplando un factor de mantenimiento que englobe la reducción del rendimiento luminoso debido a la suciedad de las luminarias y al envejecimiento de las lámparas.
 - Con el fin de identificar los colores de seguridad de las señales, el valor mínimo del índice de rendimiento cromático Ra de las lámparas será 40.

4.3. Iluminación de las señales de evacuación

La iluminación de las señales de evacuación indicativas de las salidas y de las señales indicativas de los medios manuales de protección contra incendios y de los de primeros auxilios, deben cumplir los siguientes requisitos:

- La luminancia de cualquier área de color de seguridad de la señal debe ser al menos de 2 cd/m² en todas las direcciones de visión importantes.
- La relación de la luminancia máxima a la mínima dentro del color blanco o de seguridad no debe ser mayor de 10:1, debiéndose evitar variaciones importantes entre puntos adyacentes.
- La relación entre la luminancia Lblanca, y la luminancia Lcolor >10, no será menor que 5:1 ni mayor que 15:1.
- Las señales de seguridad deben estar iluminadas al menos al 50% de la iluminancia requerida, al cabo de 5 s, y al 100% al cabo de 60 s.

5. SUA 5: Seguridad frente al riesgo causado por situaciones de alta ocupación

Exigencia básica:

Se limitará el riesgo causado por situaciones con alta ocupación facilitando la circulación de las personas y la sectorización con elementos de protección y contención en previsión del riesgo de aplastamiento.

Esta sección es de aplicación para espacios previstos para más de 3000 espectadores a pie, por lo que no procede.

6. SUA 6: Seguridad frente al riesgo de ahogamiento

Exigencia básica:

Se limitará el riesgo de caídas que puedan derivar en ahogamiento en piscinas, depósitos, pozos y similares mediante elementos que restrinjan el acceso. No procede

7. SUA 7: Seguridad frente al riesgo causado por vehículos en movimiento

Exigencia básica:

Se limitará el riesgo causado por vehículos en movimiento atendiendo a los tipos de pavimentos y la señalización y protección de las zonas de circulación rodada y de las personas.

7.1. Vehículos en movimiento

Esta sección es de aplicación en el eje central de acceso al solar, con un carácter secundario y que permitirá acceder a las plazas públicas frente a cada edificio para carga y descarga de mercancías.

En cuanto a la protección de los recorridos peatonales, no son necesarias ya que la capacidad es inferior a 200 vehículos y la superficie menor de 5000 m².

Finalmente, la señalización se realizará según las siguientes exigencias:

- Debe señalizarse, conforme a lo establecido en el código de la circulación:
- El sentido de la circulación y las salidas.
- La velocidad máxima de circulación de 20 km/h.
- Las zonas de tránsito y paso de peatones, en las vías o rampas de circulación y acceso. Los aparcamientos a los que pueda acceder transporte pesado tendrán señalizado además los gálibos y las alturas limitadas. No procede. No es requerimiento del proyecto la construcción de aparcamiento para vehículos.
- Las zonas destinadas a almacenamiento y a carga o descarga deben estar señalizadas y delimitadas mediante marcas viales o pinturas en el pavimento.
- En los accesos de vehículos a viales exteriores desde establecimientos de uso Aparcamiento se dispondrán dispositivos que alerten al conductor de la presencia de peatones en las proximidades de dichos accesos.

8. SUA 8: Seguridad frente al riesgo causado por la acción del rayo

Exigencia básica:

Se limitará el riesgo de electrocución y de incendio causado por la acción del rayo, mediante instalaciones adecuadas de protección contra el rayo.

8.1. Acción del rayo

Será necesaria la instalación de un sistema de protección contra el rayo cuando la frecuencia esperada de impactos (N_e) sea mayor que el riesgo admisible (N_a).

Así, la frecuencia esperada de impactos será: $N_e = N_g * A_e * C_1 * 10^{-6}$, con los siguientes coeficientes:

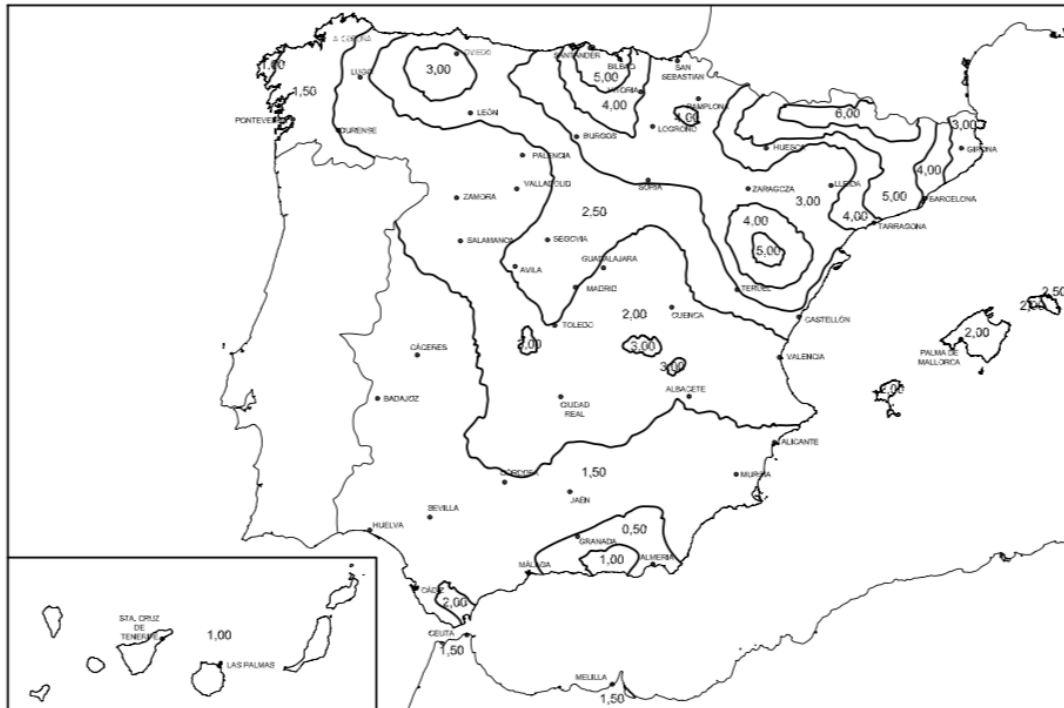


Figura 1.1 Mapa de densidad de impactos sobre el terreno N_g

- A_e : superficie de captura equivalente del edificio aislado en m^2 , que es la delimitada por una línea trazada a una distancia $3H$ de cada uno de los puntos del perímetro del edificio, siendo H la altura del edificio en el punto del perímetro considerado.
- C_1 : coeficiente relacionado con el entorno, según la tabla 1.1.

Tabla 1.1 Coeficiente C_1

Situación del edificio	C_1
Próximo a otros edificios o árboles de la misma altura o más altos	0,5
Rodeado de edificios más bajos	0,75
Aislado	1
Aislado sobre una colina o promontorio	2

El riesgo admisible, N_a , puede determinarse mediante la expresión:

$$N_a = \frac{5,5}{C_2 C_3 C_4 C_5} 10^{-3} \quad (1.2)$$

siendo:

- C_2 coeficiente en función del tipo de construcción, conforme a la tabla 1.2;
- C_3 coeficiente en función del contenido del edificio, conforme a la tabla 1.3;
- C_4 coeficiente en función del uso del edificio, conforme a la tabla 1.4;
- C_5 coeficiente en función de la necesidad de continuidad en las actividades que se desarrollan en el edificio, conforme a la tabla 1.5.

Tabla 1.2 Coeficiente C_2

	Cubierta metálica	Cubierta de hormigón	Cubierta de madera
Estructura metálica	0,5	1	2
Estructura de hormigón	1	1	2,5
Estructura de madera	2	2,5	3

Tabla 1.3 Coeficiente C_3

Edificio con contenido inflamable	3
Otros contenidos	1

Tabla 1.4 Coeficiente C_4

Edificios no ocupados normalmente	0,5
Usos Pública Concurrencia, Sanitario, Comercial, Docente	3
Resto de edificios	1

Tabla 1.5 Coeficiente C_5

Edificios cuyo deterioro pueda interrumpir un servicio imprescindible (hospitales, bomberos, ...) o pueda ocasionar un impacto ambiental grave	5
Resto de edificios	1

Ng (Zaragoza) = 3
 Ae= 1201.8 m²
 C1= 0.5

Frecuencia esperada de impacto Ne= 0,199

Para el cálculo del riesgo admisible se utiliza la expresión: $N_a = (5,5 * 10^{-3}) / (C_2 * C_3 * C_4 * C_5)$

C2= 0,5 (Estructura metálica, con predominio de cubierta metálica)
 C3= 1
 C4= 1
 C5= 1

Riesgo admisible Na= 0.01

Por tanto como $N_e > N_a$ será necesaria la instalación de un sistema de protección contra el rayo, cuya eficacia requerida (E) vendrá determinada por la expresión:

$$E = 1 - (N_a / N_e)$$

E= 0.95 con lo que se precisa un nivel de protección 2 según tabla 2.1

Tabla 2.1 Componentes de la instalación

Eficiencia requerida	Nivel de protección
$E \geq 0,98$	1
$0,95 \leq E < 0,98$	2
$0,80 \leq E < 0,95$	3
$0 \leq E < 0,80$ ⁽¹⁾	4

⁽¹⁾ Dentro de estos límites de *eficiencia* requerida, la instalación de protección contra el rayo no es obligatoria.

9. SUA 9: ACCESIBILIDAD

Exigencia básica:

Se facilitará el acceso y la utilización no discriminatoria, independiente y segura de los edificios a las personas con discapacidad.

Condiciones de accesibilidad

Con el fin de facilitar el acceso y la utilización no discriminatoria, independiente y segura de los edificios a las personas con discapacidad se cumplirán las condiciones funcionales y de dotación de elementos accesibles.

Dentro de los límites de las viviendas, incluidas las unifamiliares y sus zonas exteriores privativas, las condiciones de accesibilidad únicamente son exigibles en aquellas que deban ser accesibles.

9.1. Condiciones funcionales

- En el exterior del edificio, la parcela dispondrá al menos de un itinerario accesible que comunique con una entrada principal del mismo. Cumple

-Los edificios en los que haya que salvar más de dos plantas desde alguna entrada principal accesible al edificio hasta alguna planta que no sea de ocupación nula, o cuando en total existan más de 200 m² de superficie útil, excluida la superficie de zonas de ocupación nula en plantas sin entrada accesible al edificio, dispondrán de ascensor accesible o rampa accesible que comunique las plantas que no sean de ocupación nula con las de entrada accesible al edificio. Cumple

-Las plantas que tengan zonas de uso público con más de 100 m² de superficie útil o elementos accesibles, dispondrán de ascensor accesible o rampa accesible que las comunique con las de entrada accesible al edificio. No procede

- Los edificios dispondrán de un itinerario accesible que comunique, en cada planta, el acceso accesible a ella con las zonas de uso público, con todo origen de evacuación de las zonas de uso privado exceptuando las zonas de ocupación nula, y con los elementos accesibles. Cumple

9.2. Dotación de elementos accesibles

- Viviendas accesibles

1 Los edificios de uso Residencial Vivienda dispondrán del número de viviendas accesibles para usuarios de silla de ruedas y para personas con discapacidad auditiva según la reglamentación aplicable.

-Alojamientos accesibles

1 Los establecimientos de uso Residencial Público deberán disponer del número de alojamientos accesibles que se indica en la tabla 1.1:

Tabla 1.1 Número de *alojamientos accesibles*

Número total de alojamientos	Número de <i>alojamientos accesibles</i>
De 5 a 50	1
De 51 a 100	2
De 101 a 150	4
De 151 a 200	6
Más de 200	8, y uno más cada 50 alojamientos o fracción adicionales a 250

En este caso, todas las viviendas son accesibles como demanda del cliente.

-Plazas de aparcamiento accesibles No procede

- Plazas reservadas No procede

-Piscinas No procede

-Servicios higiénicos accesibles:

- Un aseo accesible por cada 10 unidades o fracción de inodoros instalados, pudiendo ser de uso compartido para ambos sexos. Cumple

- En cada vestuario, una cabina de vestuario accesible, un aseo accesible y una ducha accesible

por cada 10 unidades o fracción de los instalados. En el caso de que el vestuario no esté distribuido en cabinas individuales, se dispondrá al menos una cabina accesible. No procede

-Mobiliario fijo: en zonas de atención al público incluirá al menos un punto de atención accesible. Como alternativa a lo anterior, se podrá disponer un punto de llamada accesible para recibir asistencia. Cumple

-Mecanismos: excepto en el interior de las viviendas y en las zonas de ocupación nula, los interruptores, los dispositivos de intercomunicación y los pulsadores de alarma serán mecanismos accesibles. Cumple

9.3. Señalización de elementos accesibles

-Las entradas al edificio accesibles, los itinerarios accesibles, las plazas de aparcamiento accesibles y los servicios higiénicos accesibles (aseo, cabina de vestuario y ducha accesible) se señalarán mediante SIA, complementado, en su caso, con flecha direccional. Cumple

-Los ascensores accesibles se señalarán mediante SIA. Asimismo, contarán con indicación en Braille y arábigo en alto relieve a una altura entre 0,80 y 1,20 m, del número de planta en la jamba derecha en sentido salida de la cabina. Cumple

-Los servicios higiénicos de uso general se señalarán con pictogramas normalizados de sexo en alto relieve y contraste cromático, a una altura entre 0,80 y 1,20 m, junto al marco, a la derecha de la puerta y en el sentido de la entrada. Cumple

-Las bandas señalizadoras visuales y táctiles serán de color contrastado con el pavimento, con relieve de altura 3 ± 1 mm en interiores y 5 ± 1 mm en exteriores. Las exigidas en el apartado 4.2.3 de la Sección SUA 1 para señalar el arranque de escaleras, tendrán 80 cm de longitud en el sentido de la marcha, anchura la del itinerario y acanaladuras perpendiculares al eje de la escalera. Las exigidas para señalar el itinerario accesible hasta un punto de llamada accesible o hasta un punto de atención accesible, serán de acanaladura paralela a la dirección de la marcha y de anchura 40 cm. Cumple

Esta señalización se realizará en función de su localización en el edificio, siguiendo la Tabla 2.1:

Elementos accesibles	En zonas de uso privado	En zonas de uso público
Entradas al edificio accesibles	Cuando existan varias entradas al edificio	En todo caso
<i>Itinerarios accesibles</i>	Cuando existan varios recorridos alternativos	En todo caso
<i>Ascensores accesibles,</i>		En todo caso
Plazas reservadas		En todo caso
Zonas dotadas con bucle magnético u otros sistemas adaptados para personas con discapacidad auditiva		En todo caso
<i>Plazas de aparcamiento accesibles</i>	En todo caso, excepto en uso <i>Residencial Vivienda</i> las vinculadas a un residente	En todo caso
<i>Servicios higiénicos accesibles</i> (aseo accesible, ducha accesible, cabina de vestuario accesible)	---	En todo caso
Servicios higiénicos de <i>uso general</i>	---	En todo caso
<i>Itinerario accesible</i> que comunique la vía pública con los <i>puntos de llamada accesibles</i> o, en su ausencia, con los <i>puntos de atención accesibles</i>	---	En todo caso

JUSTIFICACION CUMPLIMIENTO DB-HR | Protección frente al ruido

1. Aislamiento acústico a ruido aéreo

Aclaraciones:

Recinto habitable: *Recinto* interior destinado al uso de personas cuya densidad de ocupación y tiempo de estancia exigen unas condiciones acústicas, térmicas y de salubridad adecuadas. Se consideran *re- cintos habitables* los siguientes:

- a) habitaciones y estancias (dormitorios, comedores, bibliotecas, salones, etc.) en edificios resi- denciales;
- b) aulas, salas de conferencias, bibliotecas, despachos, en edificios de uso docente;
- c) quirófanos, habitaciones, salas de espera, en edificios de uso sanitario u hospitalario;
- d) oficinas, despachos; salas de reunión, en edificios de uso administrativo;
- e) cocinas, baños, aseos, pasillos. distribuidores y escaleras, en edificios de cualquier uso;
- f) cualquier otro con un uso asimilable a los anteriores.

En el caso en el que en un *recinto* se combinen varios usos de los anteriores siempre que uno de ellos sea protegido, a los efectos de este DB se considerará *recinto protegido*.

Se consideran *recintos no habitables* aquellos no destinados al uso permanente de personas o cuya ocupación, por ser ocasional o excepcional y por ser bajo el tiempo de estancia, sólo exige unas condiciones de salubridad adecuadas. En esta categoría se incluyen explícitamente como no habitables los trasteros, las cámaras técnicas y desvanes no acondicionados, y sus zonas comunes.

Recinto protegido: *Recinto habitable* con mejores características acústicas. Se consideran *recintos protegidos* los *recintos habitables* de los casos a), b), c), d).

Los elementos constructivos interiores de separación, así como las fachadas, las cubiertas, las medianerías y los suelos en contacto con el aire exterior que conforman cada recinto de un edificio deben tener, en conjunción con los elementos constructivos adyacentes, unas características tales que se cumpla:

1.1. En los recintos protegidos

- Protección frente al ruido generado en recintos pertenecientes a la misma unidad de uso en edificios de uso residencial privado:

El índice global de reducción acústica, ponderado A, RA, de la tabiquería no será menor que 33 dBA. Cumple

- Protección frente al ruido generado en recintos no pertenecientes a la misma unidad de uso:

El aislamiento acústico a ruido aéreo, DnT,A, entre un recinto protegido y cualquier otro recinto habitable o protegido del edificio no perteneciente a la misma unidad de uso y que no sea recinto de instalaciones o de actividad, colindante vertical u horizontalmente con él, no será menor que 50 dBA, siempre que no compartan puertas o ventanas. Cumple

Cuando sí las compartan, el índice global de reducción acústica, ponderado A, RA, de éstas no será menor que 30 dBA y el índice global de reducción acústica, ponderado A, RA, del cerramiento no será menor que 50 dBA.

- Protección frente al ruido generado en recintos de instalaciones y en recintos de actividad:

El aislamiento acústico a ruido aéreo, $D_{nT,A}$, entre un recinto protegido y un recinto de instalaciones o un recinto de actividad, colindante vertical u horizontalmente con él, no será menor que 55 dBA. Cumple

- Protección frente al ruido procedente del exterior:

El aislamiento acústico a ruido aéreo, $D_{2m,nT,Atr}$, entre un recinto protegido y el exterior no será menor que los valores indicados en la tabla 2.1, en función del uso del edificio y de los valores del índice de ruido día, L_d , definido en el Anexo I del Real Decreto 1513/2005, de 16 de diciembre, de la zona donde se ubica el edificio. El valor del índice de ruido día, L_d , puede obtenerse en las administraciones competentes o mediante consulta de los mapas estratégicos de ruido. En el caso de que un recinto pueda estar expuesto a varios valores de L_d , como por ejemplo un recinto en esquina, se adoptará el mayor valor.

Cuando no se disponga de datos oficiales del valor del índice de ruido día, L_d , se aplicará el valor de 60 dBA para el tipo de área acústica relativo a sectores de territorio con predominio de suelo de uso residencial. Para el resto de áreas acústicas, se aplicará lo dispuesto en las normas reglamentarias de desarrollo de la Ley 37/2003, de 17 de noviembre, del Ruido en lo referente a zonificación acústica, objetivos de calidad y emisiones acústicas. Cuando se prevea que algunas fachadas, tales como fachadas de patios de manzana cerrados o patios interiores, así como fachadas exteriores en zonas o entornos tranquilos, no van a estar expuestas directamente al ruido de automóviles, aeronaves, de actividades industriales, comerciales o deportivas, se considerará un índice de ruido día, L_d , 10 dBA menor que el índice de ruido día de la zona.

Cuando en la zona donde se ubique el edificio el ruido exterior dominante sea el de aeronaves según se establezca en los mapas de ruido correspondientes, el valor de aislamiento acústico a ruido aéreo, $D_{2m,nT,Atr}$, obtenido en la tabla 2.1 se incrementará en 4 dBA.

1.2. En los recintos habitables

- Protección frente al ruido generado en recintos pertenecientes a la misma unidad de uso, en edificios de uso residencial privado:

El índice global de reducción acústica, ponderado A, RA, de la tabiquería no será menor que 33 dBA.

- Protección frente al ruido generado en recintos no pertenecientes a la misma unidad de uso:

El aislamiento acústico a ruido aéreo, $D_{nT,A}$, entre un recinto habitable y cualquier otro recinto habitable o protegido del edificio no perteneciente a la misma unidad de uso y que no sea recinto de instalaciones o de actividad, colindante vertical u horizontalmente con él, no será menor que 45 dBA, siempre que no compartan puertas o ventanas.

Cuando sí las compartan y sean edificios de uso residencial (público o privado) u hospitalario, el índice global de reducción acústica, ponderado A, RA, de éstas no será menor que 20 dBA y el índice global de reducción acústica, ponderado A, RA, del cerramiento no será menor que 50 dBA.

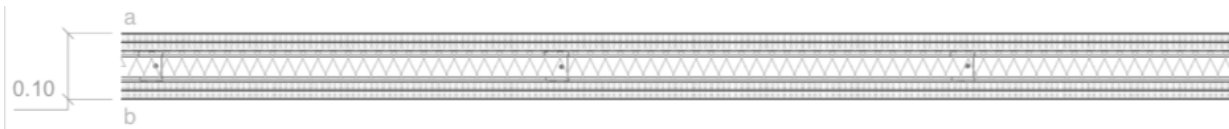
- Protección frente al ruido generado en recintos de instalaciones y en recintos de actividad:

El aislamiento acústico a ruido aéreo, $D_{nT,A}$, entre un recinto habitable y un recinto de instalaciones, o un recinto de actividad, colindantes vertical u horizontalmente con él, siempre que no compartan puertas, no será menor que 45 dBA. Cuando sí las compartan, el índice global de reducción acústica,

ponderado A, RA, de éstas, no será menor que 30 dBA y el índice global de reducción acústica, ponderado A, RA, del cerramiento no será menor que 50 dBA.

1.3. Cálculo de Protección frente al ruido

Tabique T1, T2, T4, T7 Y T9. Compuestos por la misma base de sistema Pladur.



Sistema 98 (46) MW PLADUR. Tabique autoportante compuesto por cuatro placas de yeso laminado colocadas dos a dos y con aislamiento de lana de roca en el interior. Placas atornilladas a montantes 46 Pladur de acero galvanizado colocados cada 600 mm.

Ra= 52.5 dB

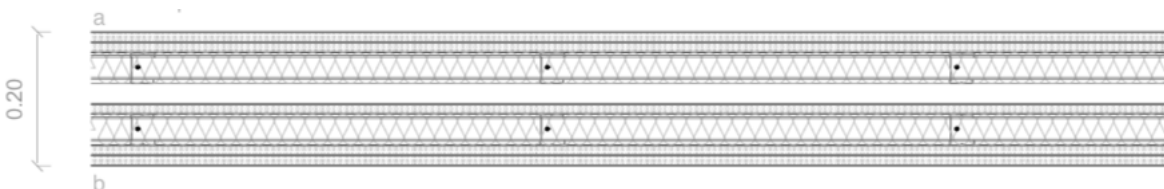
Empleados como sistema de compartimentación en interior de viviendas y otros recintos habitables del mismo uso. $52.5 > 33$ Cumple

Tabique T6 y T8. Compuestos por la misma base de sistema Pladur

Sistema 167 (46+15+e+46) 2MW PLADUR. Tabique autoportante compuesto por cinco placas de yeso laminado y con aislamiento de lana de roca en el interior de las dos cámaras. Placas atornilladas a montantes 46 Pladur de acero galvanizado colocados cada 400 mm.

Ra= 67 dB

Empleados como sistema de compartimentación entre recinto habitable y cuarto de instalaciones. $67 > 45$ Cumple

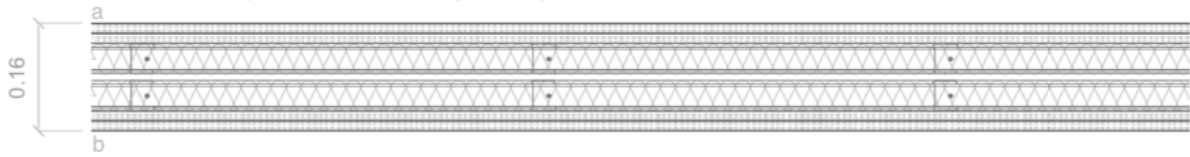


Tabique T3 y T5. Compuestos por la misma base de sistema Pladur

Sistema 152 (46+e+46) 2MW PLADUR. Tabique autoportante compuesto por cuatro placas de yeso laminado colocadas dos a dos y con aislamiento de lana de roca en el interior. Placas atornilladas a montantes 46 Pladur de acero galvanizado colocados cada 600 mm.

Ra= 66.5 dB

Empleados como sistema de compartimentación entre recinto habitable y patinillos de instalaciones. $66.5 > 45$ Cumple



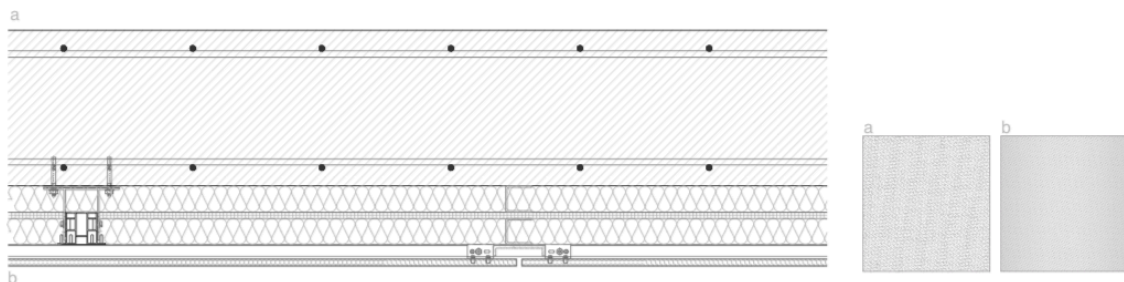
Muro 2.. Muro de Hormigón armado e= 30 cm con acabado de fachada paneles de aluminio Larcore

Ra muro de hormigón e=20 cm (aproximación) = 55 dB

Ra por aproximación del elemento Fachada ventilada ligera F.10.2 del catálogo de elementos constructivos = 47

$Ra1+Ra2= 102$

Empleados envolvente térmica. En contacto con el exterior. $102 > 60$ Cumple



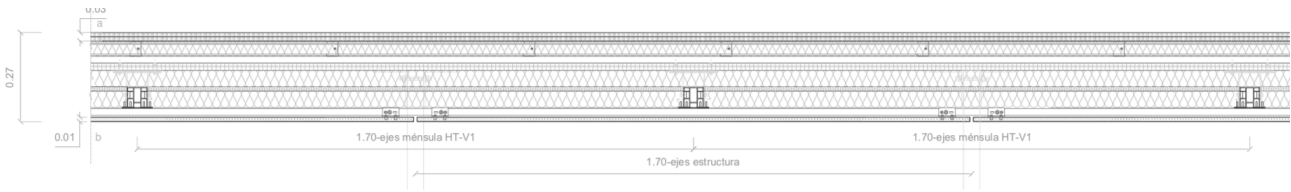
Fachada 2. Fachada de paneles de aluminio

Fachada ventilada compuesta por trasdosado de Pladur en su hoja interior con placa de yeso laminado $2xe=13\text{mm}$ con estructura modelo 76 (46) MW de Pladur. Montantes de acero de 46mm colocados cada 60cm y lana de roca entre bastidores. Tras la cámara de aire se coloca un tablero con base de cemento $e= 22\text{ mm}$ para sostener el aislamiento. En su hoja exterior se dispone una fachada ventilada conformada por paneles de aluminio anodizado con núcleo de nido de abeja larcore A2 de alucoil de 14 mm y, colgados mediante una subestructura de aluminio definida en los planos de construcción, y formada por el sistema Hidetech System de Alucoil.

Ra por aproximación del elemento Fachada ventilada ligera F.10.3 (7) del catálogo de elementos constructivos = 47 dB

Ra del trasdosado 72 (46) MW de pladur adosado a la fachada por el interior: 16 dB

$R_{a1} + R_{a2} = 63 < 60$ dB



JUSTIFICACION CUMPLIMIENTO DB-HE | Ahorro de energía

1.1. Objeto

Se establecen las reglas y procedimientos que permiten cumplir el requisito básico de ahorro de energía.

1.2. Ámbito de aplicación

Este documento se aplica a los ámbitos de uso docente en planta baja y planta primera, como a los espacios de talleres, aulas y zonas de estar de la planta sótano.

1.3. Caracterización y cuantificación de las exigencias

Demanda energética

La demanda energética se limita en función del clima en el que se construye el proyecto, que viene definido para cada localidad en la Tabla B1 del apéndice B de este documento. A Zaragoza le corresponde la zona climática D3.

Según estos datos y la Tabla 2.2 del documento, los valores límite de los parámetros característicos medios correspondientes a la zona climática D3 son:

- Transmitancia límite de muros de fachada y cerramientos en contacto con el terreno: $U_{Mlim} = 0,66$ W/m²K
- Transmitancia límite de suelos: $U_{Slim} = 0,49$ W/m²K
- Transmitancia límite de cubiertas: $U_{Slim} = 0,38$ W/m²K

Para evitar descompensaciones entre la calidad térmica de los diferentes espacios, cada uno de los cerramientos y particiones interiores de la envolvente térmica tendrán una transmitancia no superior a la indicada en la Tabla 2.1 de este documento, que se corresponde para las zonas de:

- Muros de fachada / particiones interiores en contacto con espacios no habitables / primer metro de muro en contacto con el terreno: 0,86 W/m²K
- Suelos 0,64 W/m²K
- Cubiertas 0,49 W/m²K
- Vidrios y marcos 3,50 W/m²K

Del mismo modo, las particiones interiores que limitan con espacios no calefactados, como almacenes o cuartos de instalaciones, tienen una transmitancia no superior a $1,2 \text{ W/m}^2\text{K}$.

Condensaciones

Las condensaciones superficiales en los cerramientos y particiones interiores que componen la envolvente térmica del edificio, se limitan con el fin de evitar que se formen mohos en su superficie interior. La humedad relativa media mensual debe ser inferior al 80%.

Además, la máxima condensación acumulada en cada periodo anual no debe ser superior a la cantidad de evaporación posible en el mismo periodo.

Permeabilidad del aire

Las carpinterías de los huecos de los cerramientos se caracterizan por la permeabilidad al aire. Con una sobrepresión de 100Pa , la permeabilidad al aire de las carpinterías en la zona climática D debe ser inferior a $27\text{m}^3/\text{hm}^2$. Las características de los huecos y carpinterías aparecen en el apartado de planos, en la memoria de carpinterías.

1.4. Cálculo y dimensionado

Definición de la envolvente térmica y clasificación de sus componentes

La envolvente térmica está compuesta por todos los cerramientos que limitan los espacios habitables con el ambiente exterior, aire, y terreno; así como las particiones interiores que limitan espacios habitables con espacios no habitables que a su vez estén en contacto con el ambiente exterior.

En el caso del Complejo residencial para Seniors, en núcleo central de hormigón que contine la caja del ascensor, la escalera protegida y los conductos de instalaciones, está incluida dentro de la envolvente.

.1 Envolvente horizontal. Cubiertas.

Se realizan dos tipos de cubiertas en el proyecto: la cubierta que cubre la estructura colgada del edificio y el cierre superior del núcleo de hormigón.

-Cubierta 1 Cubierta Deck con hormigón para formación de pendientes

En primer lugar, la cubierta sobre la estructura colgada responde a la misma idea de ligereza utilizada para los forjados en cada planta. Se utiliza la misma chapa grecada INCO 70.4 que para el resto de forjados, sin embargo no es necesario el vertido de hormigón armado. La solución es la de una cubierta plana de chapa grecada, sobre la que se coloca la barrera de vapor, a continuación se disponen dos capas de aislamiento térmico poliestireno extruído (XPS) de 6cm de espesor modelo 3035 CS de DICONA, una lámina impermeabilizante de 2'5

Cubierta 1: Transmitancia térmica. Cubierta Deck con hormigón para formación de pendientes

Material de F11.6b	Espesor (m)	Conductividad térmica (W/m.K)	Resistencia térmica (m ² ·k/W)	Transmitancia térmica (k.W/m ²)
1.Chapa grecada acero	0,001	50,000	0,000	41666,667
3.Barrera Vapor LPDE	0,002	0,330	0,006	165,000
4.Placa Aislante XPS	0,060	0,034	1,765	0,567
5.Placa Aislante XPS	0,060	0,034	1,765	0,567
6.Lámina impermeabilizante bituminosa	0,003	0,230	0,011	92,000
7.Lámina geotextil	0,020	0,038	0,526	1,900
8.Hormigón de pendiente	0,050	0,134	0,373	2,680
TOTAL	0,126		3,546	0,282
				U _{max} =0.38 CUMPL E

mm y una lámina geotextil de 2 mm. Sobre esto, se vierte una capa de 50 mm de hormigón de pendiente poroso ligero premezclado a base de arcilla expandida LATERLITE Latermix Cem Classic. La estructura sobre la que se apoya la cubierta está formada, como en las

plantas inferiores, por unos perfiles metálicos HEB180 en la continuación de los ejes del muro, y perfiles HEB160, HEB100 y IPE180 en los espacios intermedios.

-Cubierta 2 Cubierta de losa de hormigón armado

Cubierta 2: Transmitancia térmica. Cubierta losa de hormigón sobre núcleo central

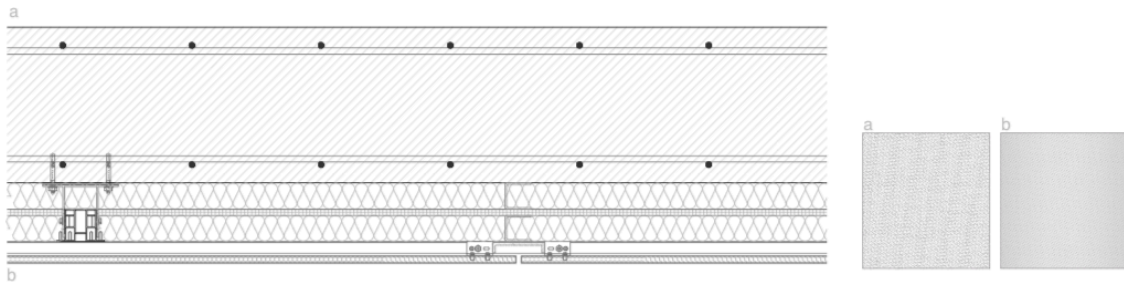
Componente	Espesor (m)	Conductividad térmica (W/m.K)	Resistencia térmica (m ² .k/W)	Transmitancia térmica (k.W/m ²)
1.Losa Hormigón	0,200	2,300	0,087	11,500
2.Hormigón de pendiente	0,050	0,134	0,373	2,680
3.Barrera Vapor LPDE	0,002	0,330	0,006	165,000
4.Aislamiento XPS	0,060	0,034	1,765	0,567
5.Aislamiento XPS	0,060	0,034	1,765	0,567
6.Lámina impermeabilizante bituminosa	0,025	0,230	0,109	9,200
7.Lámina geotextil	0,020	0,038	0,526	1,900
TOTAL	0,287		4,631	0,216
				U _{max} =0.38 CUMPLE

En segundo lugar, la coronación del núcleo de hormigón se cierra con una losa de hormigón armado de espesor 20 cm con armadura inferior $\varnothing 16$ c/20 y superior $\varnothing 16$ c/20. Sobre la losa, se vierte una capa de hormigón de pendiente poroso ligero premezclado a base de arcilla expandida LATERLITE Latermix Cem Classic, una barrera de vapor LPDE, dos capas de aislamiento térmico poliestireno extruído (XPS) de 6cm de espesor modelo 3035 CS de DICONA, una lámina impermeabilizante de 2'5 mm y una lámina geotextil de 2 mm.

-Muro 2.. Muro de Hormigón armado e= 30 cm con acabado de fachada paneles de aluminio

Muro de hormigón armado e=300mm con armadura horizontal $\varnothing 12$ c/25 y armadura vertical $\varnothing 12$ c/30. Se encuentra en la separación del núcleo central de comunicaciones con las terrazas en doble altura de las viviendas y en la planta séptima en el encuentro del núcleo de hormigón con la viga en celosía. Acabado por cara a de hormigón estructural visto y cara b una fachada ventilada conformada por paneles de aluminio anodizado con núcleo de nido de abeja larcore A2 de alucoil de 14 mm y, colgados mediante una subestructura de aluminio definida en los planos de construcción, y formada por el sistema Hidetech System de Alucoil. Ver Ménsulas HT-V1, Montantes verticales HT-V2, Barras horizontales HT-V3 y piezas de anclaje HT-V4 en Anexo 2: fachada ventilada. La fachada se completa con dos capas de aislamiento de lana de roca y un tablero con base de cemento para un mejor soporte del aislamiento de 12mm. Ménsulas colocadas cada 170cm-Cerramientos vidriados

Las características de los vidrios y las carpinterías, las cuales son de la marca comercial Panoramah, se describen en el apartado de carpinterías. Encontraremos cerramientos transparentes de este tipo en dos situaciones distintas. En el caso de las viviendas aparecen como ventanas triples o dobles correderas de acceso directo al espacio exterior que se encuentra tras la malla de la fachada 1, o como acceso a los espacios en doble altura. En el caso del espacio público, las ventanas del espacio de doble altura son dobles correderas en las fachadas norte y sur y fijas en este y oeste. En la planta baja, todas las ventanas son fijas excepto por las puertas pivotantes de acceso, también de Panoramah y con rotura de puente térmico.



Muro 2: Transmitancia térmica en muros de hormigón en terrazas

Componentes	Espesor (m)	Conductividad térmica (W/m.K)	Resistencia térmica ($m^2 \cdot k/W$)	Transmitancia térmica ($k \cdot W/m^2$)
1.Panel Abeja	0,0140	-	-	-
2.Cámara aire ventilada	0,0285	-	-	-
5.Aislamiento Lana roca	0,0500	0,0350	1,4286	0,7000
6.Aislamiento Lana roca	0,0500	0,0350	1,4286	0,7000
7.Tablero con base de cemento	0,0120	0,2300	0,0522	19,1667
8.Muro HA	0,3000	2,3000	0,1304	7,6667
TOTAL	0,4045		3,0398	0,3290
				U _{max} =0.6
				CUMPLE

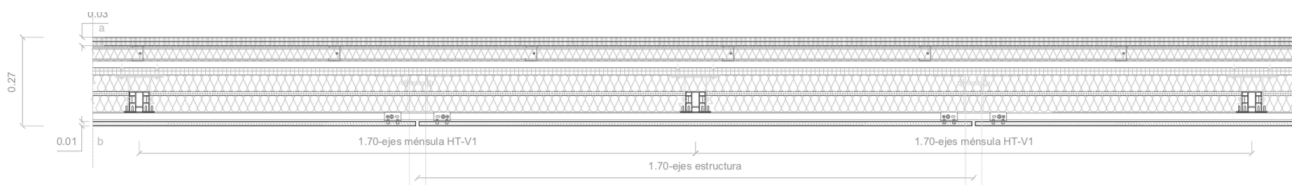
-Fachada 2. Fachada de paneles de aluminio

Fachada ventilada compuesta por trasdosado de Pladur en su hoja interior con placa de yeso laminado $2xe=13\text{mm}$ con estructura modelo 76 (46) MW de Pladur. Montantes de acero de 46mm colocados cada 60cm y lana de roca entre bastidores. Tras la cámara de aire se coloca un tablero con base de cemento $e=22\text{ mm}$ para sostener el aislamiento. En su hoja exterior se dispone una fachada ventilada

Fachada F2: Transmitancia térmica fachada ventilada de paneles de aluminio

	Espesor (m)	Conductividad térmica (W/ m.K)	Resistencia térmica (m ² ·k/ W)	Transmitancia térmica (k.W/ m ²)
1.Panel Abeja	0,014	-	-	-
2.Cámara aire ventilada	0,029	-	-	-
5.Aislamiento Lana roca	0,050	0,035	1,429	0,700
6.Tablero con base de cemento	0,012	0,230	0,052	19,167
7.Aislamiento Lana roca	0,050	0,035	1,429	0,700
8.Tablero con base de cemento	0,022	0,230	0,096	10,455
9.Cámara de aire no ventilada	0,021	0,024	0,867	1,154
9.Aislamiento Lana roca	0,050	0,050	1,000	1,000
10.Panel de Yeso laminado	0,013	0,250	0,052	19,231
11.Panel de Yeso laminado	0,013	0,250	0,052	19,231
TOTAL	0,273		4,976	0,201
			$U_{max}=0.66$	CUMPLE

conformada por paneles de aluminio anodizado con núcleo de nido de abeja Iarcore A2 de alucoil de 14 mm y, colgados mediante una subestructura de aluminio definida en los planos de construcción, y formada por el sistema Hidetech System de Alucoil. Ver Ménsulas HT-V1, Montantes verticales HT-V2, Barras horizontales HT-V3 y piezas de anclaje HT-V4 en Anexo 2: fachada ventilada. La fachada se completa con dos capas de aislamiento de lana de roca y un tablero con base de cemento para un mejor soporte del aislamiento de 12mm. Ménsulas colocadas cada 170cm.



CERTIFICADO ENERGÉTICO

Certificado energético calculado con el Software CE3X.

Datos generales

Normativa vigente	CTE 2013	?	Año construcción	2018		
Tipo de edificio	Bloque de Viviendas				HE-1	HE-4
Provincia/Ciudad autónoma	Zaragoza	Localidad	Zaragoza	Zona climática	D3	IV

Definición edificio

Superficie útil habitable	1400	m ²
Altura libre de planta	2.5	m
Número de plantas habitables	7	
Ventilación del inmueble	0.63	ren/h
Demanda diaria de ACS	350	l/día
Masa de las particiones internas	Media	

Se ha ensayado la estanqueidad del edificio

Cubierta en contacto con el aire

Nombre	Cubierta con aire	Zona	Edificio Objeto
Dimensiones		Características	
Superficie	210 m ²	Patrón de sombras	Sin patrón
Longitud	m		
Anchura	m		
Parámetros característicos del cerramiento			
Propiedades térmicas	Estimadas	Transmitancia térmica	0.25 W/m ² K
Clase de cubierta	Cubierta plana		
Tipo de forjado	Reticular		
<input checked="" type="checkbox"/> Tiene aislamiento térmico			
Características del aislamiento térmico			
<input type="radio"/> Tipo de aislamiento		Espesor	m
<input checked="" type="radio"/> Ra	3.70		m ² K/W

Muro de fachada

Nombre	Muro de fachada	Zona	Edificio Objeto
Dimensiones		Características	
Superficie	335 m ²	Orientación	Este
Longitud	m	Patrón de sombras	Sin patrón
Altura	m		
Parámetros característicos del cerramiento			
Propiedades térmicas	Estimadas	Transmitancia térmica	0.19 W/m ² K
Tipo de fachada	Doble hoja con cámara		
Cámara de aire	Ventilada		
<input checked="" type="checkbox"/> Tiene aislamiento térmico			
Características del aislamiento térmico			
<input type="radio"/> Tipo de aislamiento		Espesor	m
<input checked="" type="radio"/> Ra	5		m ² K/W

Suelo en contacto con el terreno

Nombre	<input type="text" value="Suelo con terreno"/>	Zona	<input type="text" value="Edificio Objeto"/>
<i>Dimensiones</i>		<i>Características</i>	
Superficie	<input type="text" value="210"/> m ²	<input checked="" type="radio"/> Menor o igual que 0.5 m	
Longitud	<input type="text"/> m	<input type="radio"/> Mayor que 0.5 m	<input type="text"/> m
Anchura	<input type="text"/> m		
<i>Parámetros característicos del cerramiento</i>			
Propiedades térmicas	<input type="text" value="Estimadas"/>	<i>Transmitancia térmica</i>	<input type="text" value="0.4"/> W/m ² K
Perímetro	<input type="text" value="60"/> m		
<input checked="" type="checkbox"/> Tiene aislamiento térmico			
<i>Características del aislamiento térmico</i>			
Tipo de aislamiento	<input type="text" value="Continuo"/>		
Definir Ra	<input type="text" value="Conocida"/>		
<input type="radio"/> Espesor aislamiento	<input type="text"/> m		
<input checked="" type="radio"/> Ra	<input type="text" value="1.87"/> m ² /K		

Equipo de ACS

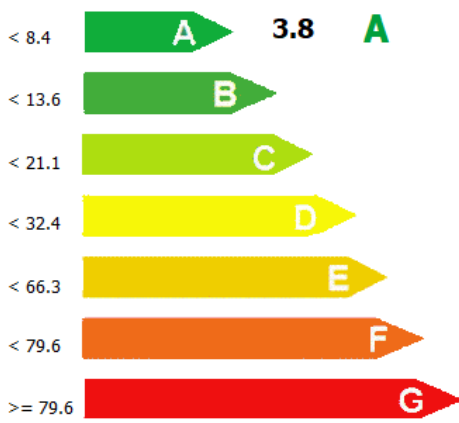
Nombre	<input type="text" value="Equipo ACS"/>	Zona	<input type="text" value="Edificio Objeto"/>
<i>Características</i>		<i>Demanda cubierta</i>	
Tipo de generador	<input type="text" value="Bomba de Calor"/>	ACS	
Tipo de combustible	<input type="text" value="Electricidad"/>	Superficie (m ²)	<input type="text" value="1400.0"/>
		Porcentaje (%)	<input type="text" value="100"/>
<i>Rendimiento medio estacional</i>			
Rendimiento estacional	<input type="text" value="Estimado según Instalación"/>	<i>Rendimiento medio estacional</i>	<input type="text" value="279.3"/> %
Antigüedad del equipo	<input type="text" value="Posterior a 2013"/>		
Rendimiento nominal	<input type="text" value="270.0"/> %		
<input checked="" type="checkbox"/> Con Acumulación			
Valor UA	<input type="text" value="Por defecto"/>	UA	<input type="text" value="5.0"/> W/K
Volumen de un depósito	<input type="text" value="180"/> l	Multiplicador	<input type="text" value="1"/>
		Tª alta	<input type="text" value="80"/> °C
		Tª baja	<input type="text" value="60"/> °C

Equipo de calefacción y refrigeración

Nombre	<input type="text" value="Calefacción y refrigeración"/>	Zona	<input type="text" value="Edificio Objeto"/>
<i>Características</i>		<i>Demanda cubierta</i>	
Tipo de generador	<input type="text" value="Bomba de Calor"/>	Calefacción	Refrigeración
Tipo de combustible	<input type="text" value="Electricidad"/>	Superficie (m ²)	<input type="text" value="1400.0"/>
		Porcentaje (%)	<input type="text" value="100"/>
			<input type="text" value="100"/>
<i>Rendimiento medio estacional</i>			
Rendimiento estacional	<input type="text" value="Estimado según Instalación"/>	<i>Rendimiento medio estacional</i>	<input type="text" value="159.8"/> %
Antigüedad del equipo	<input type="text" value="Posterior a 2013"/>	<i>Rendimiento medio estacional</i>	<input type="text" value="157.5"/> %
Calefacción	Rendimiento nominal <input type="text" value="270.0"/> %		
Refrigeración	Rendimiento nominal <input type="text" value="250.0"/> %		

Calificación energética de edificios

Indicador kgCO₂/m²



Edificio objeto

Demanda de calefacción <small>(kWh/m²)</small>	14.0	B
Demanda de refrigeración <small>(kWh/m²)</small>	0.9	A
Emisiones de calefacción <small>(kg CO₂/m²)</small>	2.9	A
Emisiones de refrigeración <small>(kg CO₂/m²)</small>	0.2	A
Emisiones de ACS <small>(kg CO₂/m²)</small>	0.7	A

U. DEFINICIÓN URBANÍSTICA

- U01. PLANO DE SITUACIÓN
- U02. PLANO DE EMPLAZAMIENTO
 - U02 a. Estado actual
 - U02 b. Propuesta

A. ARQUITECTURA

- A01. PLANTAS GENERALES
 - A01 a. Planta baja
 - A01 b. Planta primera
 - A01 c. Planta segunda
 - A01 d. Planta tercera
 - A01 e. Planta cuarta
 - A01 f. Planta quinta
 - A01 g. Planta sexta
 - A01 h. Planta séptima
 - A01 i. Planta cubierta
 - A01 j. Torre 4. Bloque tipo
 - A01 k. Torre 4. Bloque tipo
- A02. ALZADOS GENERALES
 - A02a. Alzados AA BB
- A03. SECCIONES GENERALES
 - A03a. Secciones CC DD
 - A03b. Secciones EE FF
- A04. PLANTAS COTAS Y ACABADOS
 - A04a. Planta baja
 - A04b. Planta 1
 - A04c. Planta 2
 - A04d. Planta vivienda tipo
 - A04e. Planta vivienda invitados y planta siete
- A05. PLANTAS ACABADOS Y SUPERFICIES
 - A05a. Planta baja
 - A05b. Planta 1
 - A05c. Planta 2
 - A05d. Planta vivienda tipo
 - A05e. Planta vivienda invitados y planta siete
 - A05f. Carpinterías ventanas
 - A05g. Carpinterías ventanas
 - A05h. Carpinterías ventanas

E. ESTRUCTURA

- E01. PLANO DE REPLANTEO
- E02. CIMENTACIÓN
- E03. PLANTAS DE ESTRUCTURA
 - E03a. Forjado planta baja
 - E03b. Forjado planta primera
 - E03c. Forjado planta segunda-tipo
 - E03d. Forjado cubierta
 - E03e. Elemento singular. Viga de celosía
- E04. ALZADOS MUROS
 - E04a. Muros 1 y 2
 - E04b. Muros 3 y 4

C. CONSTRUCCIÓN

- E00. AXONOMETRÍA CONSTRUCTIVA
- E01. SECCIÓN CONSTRUCTIVA
 - E01a. Sección constructiva AA
 - E01b. Sección constructiva BB
 - E01c. Sección constructiva CC
 - E01d. Sección constructiva DD
 - E01e. Detalle constructivo tipo

I. INSTALACIONES

- I01. INCENDIOS
 - I01a. Planta general
 - I01b. Incendios Torre 4
- I02. CLIMATIZACIÓN Y VENTILACIÓN
 - I02a. Climatización ventilación Torre 4
 - I02b. Climatización ventilación Torre 4
- I03. SANEAMIENTO
 - I03a. Planta general
 - I03b. Saneamiento Torre 4
 - I03c. Saneamiento Torre 4
- I04. FONTANERÍA
 - I04a. Fontanería Planta general
 - I04a. Fontanería Torre 4
- I05. ELECTRICIDAD
 - I05a. Electricidad Plano general
 - I05b. Electricidad Toma a tierra
 - I05c. Electricidad Torre 4

PRESUPUESTO

A continuación se presenta un resumen general del presupuesto de la estructura del edificio. Se ha calculado por un lado la estructura metálica vigas de forjados de planta y de la viga de celosía superior, y por otro lado los muros portantes de hormigón.

Código	Resumen	Descripción
Capítulo 1	Estructura Metálica	
1.1	Perfiles HEB	
1.1.1	HEB100 (vigas de forjado y celosía)	Suministro y montaje de acero UNE-EN 10025 S275JR, en vigas con piezas simples de perfiles alveolares laminados en caliente con alveolos circulares de la serie HEB100, con uniones soldadas en obra. Trabajado y montado en taller, con preparación de superficies en grado SA21/2 según UNE-EN ISO 8501-1 y aplicación posterior de dos manos de imprimación con un espesor mínimo de película seca de 30 micras por mano, excepto en la zona en que deban realizarse soldaduras en obra, en una distancia de 100 mm desde el borde de la soldadura. Incluso p/p de preparación de bordes, soldaduras, cortes, piezas especiales, despuntes y reparación en obra de cuantos desperfectos se originen por razones de transporte, manipulación o montaje, con el mismo grado de preparación de superficies e imprimación.
1.1.2	HEB160	Suministro y montaje de acero UNE-EN 10025 S275JR, en estructura metálica con piezas simples de perfiles laminados en caliente de la serie HEB160, con uniones soldadas en obra. Trabajado y montado en taller, con preparación de superficies en grado SA21/2 según UNE-EN ISO 8501-1 y aplicación posterior de dos manos de imprimación con un espesor mínimo de película seca de 30 micras por mano, excepto en la zona en que deban realizarse soldaduras en obra, en una distancia de 100 mm desde el borde de la soldadura. Incluso p/p de preparación de bordes, soldaduras, cortes, piezas especiales, mortero sin retracción para retacado de placas, despuntes y reparación en obra de cuantos desperfectos se originen por razones de transporte, manipulación o montaje, con el mismo grado de preparación de superficies e imprimación.
1.1.3	HEB180	Suministro y montaje de acero UNE-EN 10025 S275JR, en vigas con piezas simples de perfiles laminados en caliente de la serie HEB180, con uniones soldadas en obra. Trabajado y montado en taller, con preparación de superficies en grado SA21/2 según UNE-EN ISO 8501-1 y aplicación posterior de dos manos de imprimación con un espesor mínimo de película seca de 30 micras por mano, excepto en la zona en que deban realizarse soldaduras en obra, en una distancia de 100 mm desde el borde de la soldadura. Incluso p/p de preparación de bordes, soldaduras, cortes, piezas especiales, despuntes y reparación en obra de cuantos desperfectos se originen por razones de transporte, manipulación o montaje, con el mismo grado de preparación de superficies e imprimación.

- 1.2 Perfiles IPE180 Suministro y montaje de acero UNE-EN 10025 S275JR, en vigas con piezas simples de perfiles laminados en caliente de la serie IPE180, con uniones soldadas en obra. Trabajado y montado en taller, con preparación de superficies en grado SA21/2 según UNE-EN ISO 8501-1 y aplicación posterior de dos manos de imprimación con un espesor mínimo de película seca de 30 micras por mano, excepto en la zona en que deban realizarse soldaduras en obra, en una distancia de 100 mm desde el borde de la soldadura. Incluso p/p de preparación de bordes, soldaduras, cortes, piezas especiales, despuntes y reparación en obra de cuantos desperfectos se originen por razones de transporte, manipulación o montaje, con el mismo grado de preparación de superficies e imprimación.
- 1.3 Perfiles UPE400 Suministro y montaje de acero UNE-EN 10025 S275JR, en vigas con piezas simples de perfiles laminados en caliente de la serie UPE400, con uniones soldadas en obra. Trabajado y montado en taller, con preparación de superficies en grado SA21/2 según UNE-EN ISO 8501-1 y aplicación posterior de dos manos de imprimación con un espesor mínimo de película seca de 30 micras por mano, excepto en la zona en que deban realizarse soldaduras en obra, en una distancia de 100 mm desde el borde de la soldadura. Incluso p/p de preparación de bordes, soldaduras, cortes, piezas especiales, despuntes y reparación en obra de cuantos desperfectos se originen por razones de transporte, manipulación o montaje, con el mismo grado de preparación de superficies e imprimación.
- 1.4 Perfiles L (celosía) Suministro y montaje de acero UNE-EN 10025 S275JR, en estructura metálica con piezas compuestas por perfiles laminados en caliente de la serie L, con uniones soldadas en obra. Trabajado y montado en taller, con preparación de superficies en grado SA21/2 según UNE-EN ISO 8501-1 y aplicación posterior de dos manos de imprimación con un espesor mínimo de película seca de 30 micras por mano, excepto en la zona en que deban realizarse soldaduras en obra, en una distancia de 100 mm desde el borde de la soldadura. Incluso p/p de preparación de bordes, soldaduras, cortes, piezas especiales, mortero sin retracción para retacado de placas, despuntes y reparación en obra de cuantos desperfectos se originen por razones de transporte, manipulación o montaje, con el mismo grado de preparación de superficies e imprimación.
- 1.5 Tirantes tubulares Suministro y montaje de acero UNE-EN 10025 S275JR, en estructura metálica con piezas compuestas por tirantes tubulares laminados en caliente, con uniones soldadas en obra. Trabajado y montado en taller, con preparación de superficies en grado SA21/2 según UNE-EN ISO 8501-1 y aplicación posterior de dos manos de imprimación con un espesor mínimo de película seca de 30 micras por mano, excepto en la zona en que deban realizarse soldaduras en obra, en una distancia de 100 mm desde el borde de la soldadura. Incluso p/p de preparación de bordes, soldaduras, cortes, piezas especiales, mortero sin retracción para retacado de placas, despuntes y reparación en obra de cuantos desperfectos se originen por razones de transporte, manipulación o montaje, con el mismo grado de preparación de superficies e imprimación.

- 1.6 Perfil en C Suministro y montaje de acero UNE-EN 10025 S275JR, en estructura metálica con piezas compuestas por perfiles laminados en caliente de la serie C, con uniones soldadas en obra. Trabajado y montado en taller, con preparación de superficies en grado SA21/2 según UNE-EN ISO 8501-1 y aplicación posterior de dos manos de imprimación con un espesor mínimo de película seca de 30 micras por mano, excepto en la zona en que deban realizarse soldaduras en obra, en una distancia de 100 mm desde el borde de la soldadura. Incluso p/p de preparación de bordes, soldaduras, cortes, piezas especiales, mortero sin retracción para retacado de placas, despuntes y reparación en obra de cuantos desperfectos se originen por razones de transporte, manipulación o montaje, con el mismo grado de preparación de superficies e imprimación.

Código	Resumen	Descripción
Capítulo 2	Estructura H.A.	
2.1	Muros Núcleo Vertical	Formación de muro, núcleo o pantalla de hormigón armado 2C, de 30 cm de espesor medio, realizado con hormigón HA-25/B/20/IIa fabricado en central y vertido con cubilote, y acero UNE-EN 10080 B 400 S, con una cuantía aproximada de 42,7 kg/m ³ , ejecutado en condiciones complejas. Montaje y desmontaje de sistema de encofrado con acabado tipo industrial para revestir, realizado con paneles metálicos modulares, amortizables en 150 usos. Incluso p/p de replanteo, elaboración de la ferralla (corte, doblado y conformado de elementos) en taller industrial y montaje en el lugar definitivo de su colocación en obra, formación de juntas, separadores, accesorios, elementos de sustentación, fijación y apuntalamiento necesarios para la estabilidad del encofrado, aplicación de líquido desencofrante y curado del hormigón.
2.2	Losa sobre Sanitario	Formación de losa maciza de hormigón armado, horizontal, con altura libre de planta de entre 3 y 4 m, canto 25 cm, realizada con hormigón HA-35/B/20/IIa fabricado en central y vertido con cubilote, y acero UNE-EN 10080 B 400 S, con una cuantía aproximada de 57,6 kg/m ² ; montaje y desmontaje de sistema de encofrado continuo, con acabado tipo industrial para revestir, formado por: superficie encofrante de tableros de madera tratada, reforzados con varillas y perfiles, amortizables en 25 usos; estructura soporte horizontal de sopandas metálicas y accesorios de montaje, amortizables en 150 usos y estructura soporte vertical de puntales metálicos, amortizables en 150 usos. Incluso p/p de replanteo, nervios y zunchos perimetrales de planta y huecos, elaboración de la ferralla (corte, doblado y conformado de elementos) en taller industrial y montaje en el lugar definitivo de su colocación en obra, y curado del hormigón.

Código	Resumen	U. d.	Cantidad	Coste	Importe	Coste Mantenimiento	Importe Mantenimiento	Coste Total
Capítulo 1	Estructura Metálica							
1.1	Perfiles HEB							
1.1.1	HEB100	k g	1.326, 00	2, 55	3.381 ,30	0,07	92,82	
1.1.2	HEB160	k g	20.79 5,45	2, 50	51.98 8,63	0,07	1.455,68	
1.1.3	HEB180	k g	23.78 3,10	2, 50	59.45 7,75	0,07	1.664,82	
1.2	Perfiles IPE180	k g	1.268, 60	2, 50	3.171 ,50	0,07	88,80	
1.3	Perfiles UPE400	k g	19.99 0,50	2, 50	49.97 6,25	0,07	1.399,34	
1.4	Perfiles L (celosía)	k g	7.786, 40	2, 65	20.63 3,96	0,08	622,91	
1.5	Tirantes tubulares	k g	6.861, 53	2, 50	17.15 3,83	0,07	480,31	
1.6	Perfil en C	k g	3.768, 00	2, 50	9.420 ,00	0,07	263,76	
					215.183,21		6.068,43	221.251,64

<i>Código</i>	<i>Resumen</i>	<i>Ud.</i>	<i>Cantidad</i>	<i>Coste</i>	<i>Importe</i>	<i>Coste Mantenimiento</i>	<i>Importe Mantenimiento</i>	<i>Coste Total</i>
Capítulo 2	Estructura H.A.							
2.1	Muros Núcleo Vertical	m 3	170, 88	310 ,00	52.97 2,80	12,00	2.050,56	
2.2	Losa sobre Sanitario	m 2	52,5 0	150 ,00	7.875 ,00	8,50	446,25	
					60.847,80		2.496,81	63.344,61

PLIEGO DE CONDICIONES

1. Pliego de prescripciones técnicas generales

1.1 Disposiciones generales

1.2 Disposiciones facultativas y económicas

2. Pliego de prescripciones técnicas particulares

2.1 Prescripciones sobre los materiales

2.2 Prescripciones sobre ejecución

1. Prescripciones técnicas generales:

1.1 Disposiciones generales

- Definición y alcance del pliego:

El presente Pliego, en unión de las disposiciones que con carácter general y particular se indican y con los pliegos de licitación de los distintos agentes intervinientes, tiene por objeto la ordenación de las condiciones técnico-facultativas que han de regir en la ejecución de las obras de construcción del presente proyecto.

- Documentos que definen las obras:

El presente Pliego, conjuntamente con los Planos, la Memoria, los distintos anexos y las Mediciones y Presupuesto, forma parte del Proyecto de Ejecución que servirá de base para la ejecución de las obras. El Pliego de Condiciones Técnicas Particulares establece la definición de las obras en cuanto a su naturaleza intrínseca. Los Planos junto con la Memoria, los anexos, las Mediciones y el Presupuesto, constituyen los documentos que definen la obra en forma geométrica y cuantitativa.

En caso de incompatibilidad o contradicción entre el Pliego y el resto de la documentación del Proyecto, se estará a lo que disponga al respecto la Dirección Facultativa. En cualquier caso, ambos documentos tienen preferencia sobre los Pliegos de Prescripciones Técnicas Generales de la Edificación. Lo mencionado en el Pliego de Prescripciones Técnicas Particulares y omitido en los planos o viceversa, habrá de ser considerado como si estuviese expuesto en ambos documentos, siempre que la unidad de obra esté definida en uno u otro documento y figure en el presupuesto.

1.2 Disposiciones facultativas y económicas:

1.2.1 Delimitación general de funciones técnicas:

- El arquitecto director de obra. De conformidad con la Ley de Ordenación de la Edificación (Ley 38/1999, de 5 de noviembre), corresponde al arquitecto director de obra:

a) Verificar el replanteo y comprobar la adecuación de la cimentación y de las estructuras proyectadas a las características geotécnicas del suelo.

b) Resolver las contingencias que se produzcan en la obra y consignar en el Libro de órdenes y asistencias las instrucciones precisas para la correcta interpretación del proyecto.

c) Elaborar, a requerimiento del promotor o con su conformidad, eventuales modificaciones del proyecto, que vengan exigidas por la marcha de la obra siempre que las mismas se adapten a las disposiciones normativas contempladas y observadas en la redacción del proyecto.

d) Suscribir el acta de replanteo o de comienzo de obra y el certificado final de obra (junto con el aparejador o arquitecto técnico director de ejecución de obra), así como conformar las certificaciones parciales y la liquidación final de las unidades de obra ejecutadas, con los visados que en su caso fueran preceptivos.

e) Elaborar y suscribir la documentación de la obra ejecutada para entregarla al promotor, con los visados que en su caso fueran preceptivos.

f) Asistir a las obras, cuantas veces lo requiera su naturaleza y complejidad, a fin de resolver las contingencias que se produzcan e impartir las instrucciones complementarias que sean precisas para conseguir la correcta solución arquitectónica.

g) Coordinar la intervención en obra de otros técnicos que, en su caso, concurran a la dirección con función propia en aspectos parciales de su especialidad.

e) Asesorar a la Propiedad en el acto de la recepción de la obra.

- El director de ejecución de la obra. De conformidad con la Ley de Ordenación de la Edificación (Ley 38/1999, de 5 de noviembre), corresponde al Aparejador o Arquitecto Técnico en su condición de Director de Ejecución de la obra:

a) Planificar, a la vista del proyecto arquitectónico, del contrato y de la normativa técnica de aplicación, el control de calidad y económico de las obras.

b) Verificar la recepción en obra de los productos de construcción, realizar o disponer las pruebas y ensayos de materiales, instalaciones y demás unidades de obra según las frecuencias de muestreo programadas en el plan de control, así como efectuar las demás comprobaciones que resulten necesarias para asegurar la calidad constructiva de acuerdo con el proyecto y la normativa técnica aplicable. De los resultados informará puntualmente al constructor, impartándole, en su caso, las órdenes oportunas; de no resolverse la contingencia adoptará las medidas que corresponda dando cuenta al arquitecto director de obra.

c) Dirigir la ejecución material de la obra comprobando los replanteos, los materiales, la correcta ejecución y disposición de los elementos constructivos y de las instalaciones, de acuerdo con el proyecto y con las instrucciones del director de obra.

d) Consignar en el Libro de órdenes y asistencias las instrucciones precisas.

e) Suscribir el acta de replanteo o de comienzo de obra y el certificado final de obra (este último junto con el arquitecto director de obra), así como elaborar y suscribir las certificaciones parciales y la liquidación final de las unidades de obra ejecutadas.

f) Colaborar con los restantes agentes en la elaboración de la documentación de la obra ejecutada, aportando los resultados del control realizado.

g) Comprobar las instalaciones provisionales y medios auxiliares, controlando su correcta ejecución.

- El constructor. Corresponde al Constructor:

a) Organizar los trabajos de construcción, redactando los planes de obra que se precisen y proyectando o autorizando las instalaciones provisionales y medios auxiliares de la obra.

b) Elaborar el Plan de Seguridad y Salud de la obra en aplicación del estudio correspondiente y disponer, en todo caso, la ejecución de las medidas preventivas, velando por su cumplimiento y por la observancia de la normativa vigente en materia de seguridad e higiene en el trabajo.

- c) Suscribir con el Arquitecto y el Aparejador o Arquitecto Técnico, el acta de replanteo de la obra.
- d) Ordenar y dirigir la ejecución material con arreglo al Proyecto, a las normas técnicas y a las reglas de la buena construcción. A tal efecto, ostenta la jefatura de todo el personal que intervenga en la obra y coordina las intervenciones de los subcontratistas.
- e) Asegurar la idoneidad de todos y cada uno de los materiales y elementos constructivos que se utilicen, comprobando los preparados en obra y rechazando, por iniciativa propia o por prescripción del Aparejador o Arquitecto Técnico, los suministros o prefabricados que no cuenten con las garantías o documentos de idoneidad requeridos por las normas de aplicación.
- f) Custodiar el Libro de órdenes y asistencias, y dar el enterado a las anotaciones que se practiquen en el mismo.
- g) Facilitar a la Dirección Facultativa, con antelación suficiente, los materiales precisos para el cumplimiento de su cometido.
- h) Preparar las certificaciones parciales de obra y la propuesta de liquidación final.
- i) Suscribir con la Propiedad y demás intervinientes el acta de recepción.
- j) Concertar los seguros de accidentes de trabajo y de daños a terceros, que resulten preceptivos, durante la obra.

1.2.2 Obligaciones y derechos del Constructor o Contratista

- Observancia de estas condiciones

Las presentes condiciones serán de obligada observación por el Contratista, el cual deberá hacer constar que las conoce y que se compromete a ejecutar la obra con estricta sujeción a las mismas.

- Normativa vigente

El Contratista se sujetará a las leyes, reglamentos, ordenanzas y normativa vigentes, así como a las que se dicten antes y durante la ejecución de las obras.

- Verificación de los documentos del proyecto

Antes de dar comienzo a las obras, el Constructor consignará por escrito que la documentación

aportada le resulta suficiente para la comprensión de la totalidad de la obra contratada, o en caso

contrario solicitará las aclaraciones pertinentes.

- Plan de seguridad y salud

El Constructor, a la vista del Estudio de Seguridad y Salud, presentará el Plan de Seguridad y Salud de la obra a la aprobación del Coordinador en obra de Seguridad y Salud.

- Oficina en la obra

El Constructor habilitará en la obra una oficina que dispondrá de una mesa o tablero adecuado, en el que puedan extenderse y consultarse los planos y estará convenientemente acondicionada para que en ella pueda trabajar la Dirección Facultativa con normalidad a cualquier hora de la jornada. En dicha oficina tendrá siempre el Contratista a disposición de la Dirección Facultativa:

- El Proyecto de ejecución completo visado por el colegio profesional o con la aprobación administrativa preceptivos, incluidos los complementos que en su caso redacte el Arquitecto.
- La Licencia de Obras.
- El Libro de Ordenes y Asistencias.
- El Plan de Seguridad y Salud.
- El Libro de Incidencias.
- La normativa sobre prevención de riesgos laborales.
- La documentación de los seguros

- Representación del constructor

El constructor viene obligado a comunicar a la Dirección Facultativa la persona designada como delegado suyo en la obra, que tendrá el carácter de jefe de la misma, con dedicación plena y con facultades para representarle y adoptar en todo momento cuantas decisiones competan a la contrata. Serán sus funciones las del Constructor según se especifica en la Ley de Ordenación de la Edificación. Todos los

trabajos han de ejecutarse por personas especialmente preparadas. Cada oficio ordenará su trabajo armónicamente con los demás procurando siempre facilitar la marcha de los mismos, en ventaja de la buena ejecución y rapidez de la construcción, ajustándose a la planificación económica prevista en el Proyecto.

El incumplimiento de estas obligaciones o, en general, la falta de calificación suficiente por parte del personal según la naturaleza de los trabajos, facultará al Arquitecto para ordenar la paralización de las obras, sin derecho a reclamación alguna, hasta que se subsane la deficiencia.

- Presencia del constructor en la obra

El jefe de obra, por sí o por medio de sus técnicos o encargados, estará presente durante la jornada legal de trabajo y acompañará a la Dirección Facultativa, en las visitas que hagan a las obras, poniéndose a su disposición para la práctica de los reconocimientos que se consideren necesarios y suministrando los datos precisos para la comprobación de mediciones y liquidaciones.

- Dudas de interpretación

Todas las dudas que surjan en la interpretación de los documentos del Proyecto o posteriormente durante la ejecución de los trabajos serán resueltas por la Dirección Facultativa.

- Datos a tener en cuenta por el constructor

Las especificaciones no descritas en el presente Pliego con relación al Proyecto y que figuren en el resto de la documentación que completa el Proyecto: Memoria, Planos, Mediciones y Presupuesto, deben considerarse como datos a tener en cuenta en la formulación del Presupuesto por parte del Contratista que realice las obras, así como el grado de calidad de las mismas.

- Conceptos no reflejados en parte de la documentación

En la circunstancia de que se vertieran conceptos en los documentos escritos que no fueran reflejados en los planos del Proyecto, el criterio a seguir lo decidirá la Dirección Facultativa; recíprocamente cuando en los documentos gráficos aparecieran conceptos que no se ven reflejados en los documentos escritos, la especificación de los mismos será decidida igualmente por la Dirección Facultativa.

- Trabajos no estipulados expresamente

Es obligación de la contrata el ejecutar cuanto sea necesario para la buena construcción y aspecto de las obras, aun cuando no se halle expresamente determinado en los documentos de Proyecto, siempre que, sin separarse de su espíritu y recta interpretación, lo disponga la Dirección Facultativa dentro de los límites de posibilidades que los presupuestos habiliten para cada unidad de obra y tipo de ejecución.

- Interpretaciones, aclaraciones y modificaciones de los documentos del proyecto

Cuando se trate de aclarar, interpretar o modificar preceptos de los Pliegos de Condiciones o indicaciones de los planos o croquis, las órdenes e instrucciones correspondientes se comunicarán por escrito al Constructor, estando éste obligado a su vez a devolver los originales o las copias suscribiendo con su firma el enterado, que figurará al pie de todas las órdenes, avisos o instrucciones que reciba, tanto del Aparejador o Arquitecto Técnico como del Arquitecto.

Cualquier reclamación que, en contra de las disposiciones tomadas por éstos, crea oportuno hacer el Constructor habrá de dirigirla, dentro del plazo de tres días, a quien la hubiere dictado, el cual dará al Constructor el correspondiente recibo, si éste lo solicitase.

- Requerimiento de aclaraciones por parte del constructor

El Constructor podrá requerir del Arquitecto o del Aparejador o Arquitecto Técnico, según sus respectivos cometidos, las instrucciones o aclaraciones que se precisen para la correcta interpretación y ejecución de lo proyectado.

- Reclamación contra las órdenes de la dirección facultativa

Las reclamaciones que el Contratista quiera hacer contra las órdenes o instrucciones dimanadas de la Dirección Facultativa, sólo podrá presentarlas, a través del Arquitecto, ante la Propiedad, si son de orden económico y de acuerdo con las condiciones estipuladas en los Pliegos de Condiciones correspondientes. Contra disposiciones de tipo técnico del Arquitecto, del Aparejador o Arquitecto Técnico, no se admitirá reclamación alguna, pudiendo el Contratista salvar su responsabilidad, si lo estima oportuno, mediante exposición razonada dirigida al Arquitecto, el cual podrá limitar su contestación al acuse de recibo, que en todo caso será obligatorio para este tipo de reclamaciones.

- Libro de órdenes y asistencias

Con objeto de que en todo momento se pueda tener un conocimiento exacto de la ejecución e incidencias de la obra, se llevará mientras dure la misma, el Libro de Ordenes, y Asistencias, en el que se reflejarán las visitas realizadas por la Dirección Facultativa, incidencias surgidas y en general todos aquellos datos que sirvan para determinar con exactitud si por la contrata se han cumplido los plazos y fases de ejecución previstos para la realización del Proyecto.

El Arquitecto director de la obra, el Aparejador o Arquitecto Técnico y los demás facultativos colaboradores en la dirección de las obras irán dejando constancia, mediante las oportunas referencias, de sus visitas e inspecciones y de las incidencias que surjan en el transcurso de ellas y obliguen a cualquier modificación en el Proyecto, así como de las órdenes que se necesite dar al Contratista respecto de la ejecución de las obras, las cuales serán de su obligado cumplimiento.

Las anotaciones en el Libro de Ordenes, harán fe a efectos de determinar las posibles causas de resolución e incidencias del contrato; sin embargo, cuando el Contratista no estuviese conforme podrá alegar en su descargo todas aquellas razones que abonen su postura, aportando las pruebas que estime pertinentes. Efectuar una orden a través del correspondiente asiento en este libro no será obstáculo para que cuando

la Dirección Facultativa lo juzgue conveniente, se efectúe la misma también por oficio. Dicha circunstancia se reflejará de igual forma en el Libro de Ordenes.

- Recusación por el constructor de la dirección facultativa

El Constructor no podrá recusar a los Arquitectos, Aparejadores, o personal encargado por éstos de la vigilancia de las obras, ni pedir que por parte de la propiedad se designen otros facultativos para los reconocimientos y mediciones.

Cuando se crea perjudicado por la labor de éstos, procederá de acuerdo con lo estipulado en el artículo correspondiente (que figura anteriormente) del presente Pliego, pero sin que por esta causa puedan interrumpirse ni perturbarse la marcha de los trabajos.

- Faltas del personal

El Arquitecto, en supuestos de desobediencia a sus instrucciones, manifiesta incompetencia o negligencia grave que comprometan o perturben la marcha de los trabajos, podrá requerir al Contratista para que aparte de la obra a los dependientes u operarios causantes de la perturbación.

- Subcontrataciones por parte del constructor

El Constructor podrá subcontratar capítulos o unidades de obra a otros Contratistas e industriales, con sujeción a lo dispuesto por la legislación sobre esta materia y, en su caso, a lo estipulado en el Pliego de Condiciones particulares, todo ello sin perjuicio de sus obligaciones como Contratista general de la obra.

- Desperfectos a colindantes

Si el Constructor causase algún desperfecto en propiedades colindantes tendrá que restaurarlas por su cuenta, dejándolas en el estado que las encontró al comienzo de la obra.

1.2.3 Recepción de las obras

- Recepción de la obra

Para la recepción de la obra se estará en todo a lo estipulado al respecto en el artículo 6 de la Ley de Ordenación de la Edificación (Ley 38/1999, de 5 de noviembre). Se cumplimentará con lo definido en el Pliego de Cláusulas Administrativas Particulares.

- Plazo de garantía

El plazo de las garantías establecidas por la Ley de Ordenación de la Edificación comenzará a contarse a partir de la fecha consignada en el Acta de Recepción de la obra o cuando se entienda ésta tácitamente producida (Art. 6 de la LOE). Se cumplimentará con lo definido en el Pliego de Cláusulas Administrativas Particulares.

- Autorizaciones de uso

Al realizarse la recepción de las obras deberá presentar el Constructor las pertinentes autorizaciones de los organismos oficiales para el uso y puesta en servicio de las instalaciones que así lo requieran. Los gastos de todo tipo que dichas autorizaciones originen, así como los derivados de arbitrios, licencias, vallas, alumbrado, multas, etc., que se ocasionen en las obras desde su inicio hasta su total extinción serán de cuenta del Constructor.

- Planos de las instalaciones

El Constructor, de acuerdo con la Dirección Facultativa, entregará previa o simultáneamente a la finalización de la obra los datos de todas las modificaciones o estado definitivo en que hayan quedado las instalaciones.

Sin perjuicio de las garantías que expresamente se detallan, el Contratista garantiza en general todas las obras que ejecute, así como los materiales empleados en ellas y su buena manipulación.

Tras la recepción de la obra sin objeciones, o una vez que estas hayan sido subsanadas, el Constructor quedará relevado de toda responsabilidad, salvo en lo referente a los vicios ocultos de la construcción, de los cuales responderá, en su caso, en el plazo de tiempo que marcan las leyes.

Se cumplimentarán todas las normas de las diferentes Consejerías y demás organismos, que sean de aplicación.

1.2.4 De los trabajos, los materiales y los medios auxiliares

- Caminos y accesos

El Constructor dispondrá por su cuenta los accesos a la obra y el cerramiento o vallado de ésta. El Aparejador o Arquitecto Técnico podrá exigir su modificación o mejora.

- Replanteo

Como actividad previa a cualquier otra de la obra, se procederá por el Contratista al replanteo de las obras en presencia de la Dirección Facultativa, marcando sobre el terreno convenientemente todos los puntos necesarios para la ejecución de las mismas. De esta operación se extenderá acta por duplicado, que firmarán la Dirección Facultativa y el Contratista. La Contrata facilitará por su cuenta todos los medios necesarios para la ejecución de los referidos replanteos y señalamiento de los mismos, cuidando bajo su responsabilidad de las señales o datos fijados para su determinación.

- Comienzo de la obra. Ritmo de ejecución de los trabajos

El Constructor dará comienzo a las obras en el plazo estipulado, desarrollándose en la forma necesaria para que dentro de los períodos parciales queden ejecutados los trabajos correspondientes y, en consecuencia, la ejecución total se lleve a efecto dentro del plazo exigido.

Obligatoriamente y por escrito, deberá el Contratista contar con la autorización expresa del Arquitecto y dar cuenta al Aparejador o Arquitecto Técnico del comienzo de los trabajos al menos con cinco días de antelación.

- Orden de los trabajos

En general la determinación del orden de los trabajos es facultad de la contrata, salvo aquellos casos en que, por circunstancias de orden técnico, estime conveniente su variación la Dirección Facultativa.

- Facilidades para subcontratistas

De acuerdo con lo que requiera la Dirección Facultativa, el Constructor deberá dar todas las facilidades razonables para la realización de los trabajos que le sean encomendados a los Subcontratistas que intervengan en la obra. Ello sin perjuicio de las compensaciones económicas a que haya lugar entre Contratistas por utilización de medios auxiliares o suministros de energía u otros conceptos. En caso de litigio se estará a lo establecido en la legislación relativa a la subcontratación y en último caso a lo que resuelva la Dirección Facultativa.

- Ampliación del proyecto por causas imprevistas o de fuerza mayor

Cuando sea preciso por motivo imprevisto o por cualquier accidente, ampliar el Proyecto, no se interrumpirán los trabajos, continuándose según las instrucciones dadas por el Arquitecto en tanto se formula o se tramita el Proyecto Reformado.

- Obras de carácter urgente

El Constructor está obligado a realizar con su personal y sus materiales cuanto la Dirección Facultativa de las obras disponga para apeos, apuntalamientos, derribos, recalces o cualquier otra obra de carácter urgente.

- Responsabilidad de la dirección facultativa en el retraso de la obra

El Constructor no podrá excusarse de no haber cumplido los plazos de obras estipulados, alegando como causa la carencia de planos u órdenes de la Dirección Facultativa, a excepción del caso en que habiéndolo solicitado por escrito no se le hubiera proporcionado.

- Condiciones generales de ejecución de los trabajos

Todos los trabajos se ejecutarán con estricta sujeción al Proyecto, a las modificaciones del mismo que previamente hayan sido aprobadas y a las órdenes e instrucciones que bajo su responsabilidad y por escrito entreguen el Arquitecto o el Aparejador o Arquitecto Técnico al Constructor, dentro de las limitaciones presupuestarias y de conformidad con lo especificado en artículos precedentes.

- Obras ocultas

De todos los trabajos y unidades de obra que hayan de quedar ocultos a la terminación del edificio, se levantarán los planos precisos para que queden perfectamente definidos; estos documentos se extenderán por triplicado, entregándose uno al Arquitecto; otro al Aparejador o Arquitecto Técnico; y el tercero al Constructor, firmados todos ellos por los tres. Dichos planos, que deberán ir suficientemente acotados, se considerarán documentos indispensables e irrecusables para efectuar las mediciones.

- Trabajos defectuosos

El Constructor debe emplear los materiales que cumplan las condiciones exigidas en las Disposiciones Técnicas, Generales y Particulares del Pliego de Condiciones y realizará todos y cada uno de los trabajos contratados de acuerdo con lo especificado también en dicho documento.

Por ello y hasta que tenga lugar la recepción definitiva del edificio, es responsable de la ejecución de los trabajos que ha contratado y de las faltas y defectos que en éstos puedan existir por su mala ejecución, erradas maniobras o por la deficiente calidad de los materiales empleados o aparatos colocados, sin que le exonere de responsabilidad el control que compete al Aparejador o Arquitecto Técnico, ni tampoco el hecho de que estos trabajos hayan sido valorados en las certificaciones parciales de obra.

- Accidentes

Así mismo será responsable ante los tribunales de los accidentes que, por ignorancia o descuido, sobrevinieran, tanto en la construcción como en los andamios, ateniéndose en todo a las disposiciones de policía urbana y leyes sobre la materia.

Como consecuencia de lo anteriormente expresado, cuando el Aparejador o Arquitecto Técnico advierta vicios o defectos en los trabajos ejecutados, o que los materiales empleados o los aparatos colocados no reúnen las condiciones perpetuadas, ya sea en el curso de la ejecución de los trabajos, o finalizados éstos, y antes de verificarse la recepción de la obra, podrá disponer que las partes defectuosas sean demolidas y reconstruidas de acuerdo con lo contratado, y todo ello a expensas de la contrata. Si ésta no estimase justa la decisión y se negase a la demolición y reconstrucción ordenadas, se planteará la cuestión ante el Arquitecto de la obra, quien resolverá.

- Vicios ocultos

Si el Aparejador o Arquitecto Técnico tuviese fundadas razones para creer en la existencia de vicios ocultos de construcción en las obras ejecutadas, ordenará efectuar en cualquier tiempo, y antes de la recepción de la obra, los ensayos, destructivos o no, que crea necesarios para reconocer los trabajos que suponga defectuosos, dando cuenta de la circunstancia al Arquitecto.

Los gastos que se ocasionen serán de cuenta del Constructor, siempre que los vicios existan realmente, en caso contrario serán a cargo de la Propiedad.

- De los materiales y de los aparatos. Su procedencia

El Constructor tiene libertad de proveerse de los materiales y aparatos de todas clases en los puntos que le parezca conveniente, excepto en los casos en que el Pliego de Condiciones Técnicas particulares preceptúe una procedencia determinada.

Obligatoriamente, y antes de proceder a su empleo o acopio, el Constructor deberá presentar a la Dirección Facultativa una lista completa de los materiales y aparatos que vaya a utilizar en la que se especifiquen todas las indicaciones sobre marcas, calidades, procedencia e idoneidad de cada uno de ellos.

- Reconocimiento de los materiales por la dirección facultativa

Los materiales serán reconocidos, antes de su puesta en obra, por la Dirección Facultativa sin cuya aprobación no podrán emplearse en la citada obra; para lo cual el Contratista proporcionará al menos dos muestras de cada material, para su examen, a la Dirección Facultativa, quien se reserva el derecho de rechazar aquellos que, a su juicio, no resulten aptos. Los materiales desechados serán retirados de la obra en el plazo más breve. Las muestras de los materiales una vez que hayan sido aceptados, serán guardados juntamente con los certificados de los análisis, para su posterior comparación y contraste.

- Ensayos y análisis

Siempre que la Dirección Facultativa lo estime necesario, serán efectuados los ensayos, pruebas, análisis y extracción de muestras de obra realizada que permitan comprobar que tanto los materiales como las unidades de obra están en perfectas condiciones y cumplen lo establecido en este Pliego. El abono de todas las pruebas y ensayos será de cuenta del Contratista. Todo ensayo que no haya resultado satisfactorio o que no ofrezca las suficientes garantías podrá comenzarse de nuevo a cargo del mismo.

- Materiales no utilizables

Se estará en todo a lo dispuesto en la legislación vigente sobre gestión de los residuos de obra.

- Materiales y aparatos defectuosos

Cuando los materiales, elementos de instalaciones o aparatos no fuesen de la calidad prescrita en este Pliego, o no tuvieran la preparación en él exigida o, en fin, cuando la falta de prescripciones formales de aquel, se reconociera o se demostrara que no eran adecuados para su objeto, el Arquitecto a instancias propias o del Aparejador o Arquitecto Técnico, dará orden al Constructor de sustituirlos por otros que satisfagan las condiciones o llenen el objeto a que se destinen.

Si los materiales, elementos de instalaciones o aparatos fueran defectuosos, pero aceptables a juicio del Arquitecto, se recibirán con la rebaja de precio que aquél determine, a no ser que el Constructor prefiera sustituirlos por otros en condiciones.

- Limpieza de las obras

Es obligación del Constructor mantener limpias las obras y sus alrededores, tanto de escombros como de materiales sobrantes, hacer desaparecer las instalaciones provisionales que no sean necesarias, así como adoptar las medidas y ejecutar todos los trabajos que sean necesarios para que la obra ofrezca buen aspecto.

- Obras sin prescripciones

En la ejecución de los trabajos que entran en la construcción de las obras y para los cuales no existan prescripciones consignadas explícitamente en este Pliego ni en la restante documentación del Proyecto, el Constructor se atenderá, en primer término, a las instrucciones que dicte la Dirección Facultativa de las obras y, en segundo lugar, a las reglas y prácticas de la buena construcción.

1.2.5 Mediciones y valoraciones

La medición del conjunto de unidades de obra se verificará aplicando a cada una la unidad de medida que le sea apropiada y con arreglo a las mismas unidades adoptadas en el presupuesto, unidad completa, metros lineales, cuadrados, o cúbicos, kilogramos, partida alzada, etc.

Tanto las mediciones parciales como las que se ejecuten al final de la obra se realizarán conjuntamente con el Constructor, levantándose las correspondientes actas que serán firmadas por ambas partes.

Todas las mediciones que se efectúen comprenderán las unidades de obra realmente ejecutadas, no teniendo el Constructor derecho a reclamación de ninguna especie por las diferencias que se produjeran entre las mediciones que se ejecuten y las que figuren en el Proyecto, salvo cuando se trate de modificaciones de este aprobadas por la Dirección Facultativa y con la conformidad del promotor que vengan exigidas por la marcha de las obras, así como tampoco por los errores de clasificación de las diversas unidades de obra que figuren en los estados de valoración.

La valoración de las obras no expresadas en este Pliego se verificará aplicando a cada una de ellas la medida que le sea más apropiada y en la forma y condiciones que estime justas el Arquitecto, multiplicando el resultado final por el precio correspondiente.

El Constructor no tendrá derecho alguno a que las medidas a que se refiere este artículo se ejecuten en la forma que él indique, sino que será con arreglo a lo que determine el Director Facultativo.

Se supone que el Contratista ha hecho un detenido estudio de los documentos que componen el Proyecto y, por lo tanto, al no haber hecho ninguna observación sobre errores posibles o equivocaciones del mismo, no hay lugar a disposición alguna en cuanto afecta a medidas o precios, de tal suerte que si la obra ejecutada con arreglo al proyecto contiene mayor número de unidades de las previstas, no tiene derecho a reclamación alguna, si por el contrario el número de unidades fuera inferior se descontará del presupuesto.

Las valoraciones de las unidades de obra que figuran en el presente Proyecto se efectuarán multiplicando el número de estas por el precio unitario asignado a las mismas en el presupuesto.

En el precio unitario aludido en el artículo anterior se consideran incluidos los gastos del transporte de materiales, las indemnizaciones o pagos que hayan de hacerse por cualquier concepto, así como todo tipo de impuestos que graven los materiales, ya sea por el Estado, Comunidad Autónoma, Provincia o Municipio, durante la ejecución de las obras; de igual forma se consideran incluidas toda clase de cargas sociales. También serán de cuenta del Contratista los honorarios, las tasas y demás gravámenes que se originen con ocasión de las inspecciones, aprobación y comprobación de las instalaciones con que esté dotado el inmueble.

El Constructor no tendrá derecho por ello a pedir indemnización alguna por las causas enumeradas.

En el precio de cada unidad de obra van comprendidos los de todos los materiales, accesorios y operaciones necesarias para dejar la obra terminada y en disposición de recibirse.

Zaragoza, noviembre de 2018

El Técnico Autor del Proyecto

María Angosto Ayerbe

2. Pliego de prescripciones técnicas particulares:

2.1 Prescripciones sobre los materiales:

2.1.1. Garantías de calidad (Marcado CE)

Para facilitar la labor a realizar, por parte del director de la ejecución de la Obra, para el control de recepción en obra de los productos, equipos y sistemas que se suministren a la obra de acuerdo con lo especificado en el Artíc. 7.2. del CTE, en el presente proyecto se especifican las Características técnicas que deberán cumplir los productos, equipos y sistemas suministrados.

Los productos, equipos y sistemas suministrados deberán cumplir las condiciones que sobre ellos se especifican en los distintos documentos que componen el Proyecto. Asimismo, sus calidades serán acordes con las distintas normas que sobre ellos estén publicadas y que tendrán un carácter de complementariedad a este apartado del Pliego. Tendrán preferencia en cuanto a su aceptabilidad aquellos materiales que estén en posesión de Documento de Idoneidad Técnica que avale sus calidades, emitido por Organismos Técnicos reconocidos.

Este control de recepción en obra de productos, equipos y sistemas comprenderá según el Artíc. 7.2. del CTE:

- El control de la documentación de los suministros, realizado de acuerdo con el Artíc. 7.2.1.
- El control mediante distintivos de calidad o evaluaciones técnicas de idoneidad, según el Artíc. 7.2.2.
- El control mediante ensayos, conforme al Artíc. 7.2.3.

Por parte del Constructor o Contratista debe existir obligación de comunicar a los suministradores de productos las cualidades que se exigen para los distintos materiales, aconsejándose que previamente al empleo de los mismos se solicite la aprobación del Director de Ejecución de la Obra y de las entidades y laboratorios encargados del control de calidad de la obra.

El Contratista será responsable de que los materiales empleados cumplan con las condiciones exigidas, independientemente del nivel de control de calidad que se establezca para la aceptación de los mismos.

El Contratista notificará al Director de Ejecución de la Obra, con suficiente antelación, la procedencia de los materiales que se proponga utilizar, aportando, cuando así lo solicite el Director de Ejecución de la Obra, las muestras y datos necesarios para decidir acerca de su aceptación.

Estos materiales serán reconocidos por el Director de Ejecución de la Obra antes de su empleo en obra, sin cuya aprobación no podrán ser acopiados en obra ni se podrá proceder a su colocación. Así mismo, aún después de colocados en obra, aquellos materiales que presenten defectos no percibidos en el primer reconocimiento, siempre que vaya en perjuicio del buen acabado de la obra, serán retirados de la obra. Todos los gastos que ello ocasionase serán a cargo del Contratista.

El hecho de que el Contratista subcontrate cualquier partida de obra no le exime de su responsabilidad.

La simple inspección o examen por parte de los Técnicos no supone la recepción absoluta de los mismos, siendo los oportunos ensayos los que determinen su idoneidad, no extinguiéndose la responsabilidad contractual del Contratista a estos efectos hasta la recepción definitiva de la obra.

2.1.2. Hormigones

Hormigón estructural

- Condiciones de suministro

- El hormigón se debe transportar utilizando procedimientos adecuados para conseguir que las masas lleguen al lugar de entrega en las condiciones estipuladas, sin experimentar variación sensible en las características que poseían recién amasadas.
- Cuando el hormigón se amasa completamente en central y se transporta en amasadoras móviles, el volumen de hormigón transportado no deberá exceder del 80% del volumen total del tambor. Cuando el hormigón se amasa, o se termina de amasar, en amasadora móvil, el volumen no excederá de los dos tercios del volumen total del tambor.
- Los equipos de transporte deberán estar exentos de residuos de hormigón o mortero endurecido, para lo cual se limpiarán cuidadosamente antes de proceder a la carga de una nueva masa fresca de hormigón. Asimismo, no deberán presentar desperfectos o desgastes en las paletas o en su superficie interior que puedan afectar a la homogeneidad del hormigón.
- El transporte podrá realizarse en amasadoras móviles, a la velocidad de agitación, o en equipos con o sin agitadores, siempre que tales equipos tengan superficies lisas y

redondeadas y sean capaces de mantener la homogeneidad del hormigón durante el transporte y la descarga.

- Recepción y control

- Previamente a efectuar el pedido del hormigón se deben planificar una serie de tareas, con objeto de facilitar las operaciones de puesta en obra del hormigón:

Preparar los accesos y viales por los que transitarán los equipos de transporte dentro de la obra.

Preparar la recepción del hormigón antes de que llegue el primer camión.

Programar el vertido de forma que los descansos o los horarios de comida no afecten a la puesta en obra del hormigón, sobre todo en aquellos elementos que no deban presentar juntas frías. Esta programación debe comunicarse a la central de fabricación para adaptar el ritmo de suministro.

- Inspecciones:

Cada carga de hormigón fabricado en central, tanto si ésta pertenece o no a las instalaciones de obra, irá acompañada de una hoja de suministro que estará en todo momento a disposición de la Dirección de Obra, y en la que deberán figurar, como mínimo, los siguientes datos:

Nombre de la central de fabricación de hormigón.

Número de serie de la hoja de suministro.

Fecha de entrega.

Nombre del peticionario y del responsable de la recepción.

- Especificación del hormigón.

- Ensayos: La comprobación de las propiedades o características exigibles a este material se realiza según la Instrucción de Hormigón Estructural (EHE-08)

- Conservación, almacenamiento y manipulación

- En el vertido y colocación de las masas, incluso cuando estas operaciones se realicen de un modo continuo mediante conducciones apropiadas, se adoptarán las debidas precauciones para evitar la disgregación de la mezcla.

- Recomendaciones para su uso en obra

- El tiempo transcurrido entre la adición de agua de amasado al cemento y a los áridos y la colocación del hormigón, no debe ser mayor de hora y media. En tiempo caluroso, o bajo condiciones que contribuyan a un rápido fraguado del hormigón, el tiempo límite deberá ser inferior, a menos que se adopten medidas especiales que, sin perjudicar la calidad del hormigón, aumenten el tiempo de fraguado.

- Hormigonado en tiempo frío:

La temperatura de la masa de hormigón, en el momento de verterla en el molde o encofrado, no será inferior a 5°C.

Se prohíbe verter el hormigón sobre elementos (armaduras, moldes, etc.) cuya temperatura sea inferior a cero grados centígrados.

En general, se suspenderá el hormigonado siempre que se prevea que, dentro de las cuarenta y ocho horas siguientes, pueda descender la temperatura ambiente por debajo de cero grados centígrados.

En los casos en que, por absoluta necesidad, se hormigona en tiempo de heladas, se adoptarán las medidas necesarias para garantizar que, durante el fraguado y primer endurecimiento del hormigón, no se producirán deterioros locales en los elementos correspondientes, ni mermas permanentes apreciables de las características resistentes del material.

▪ Hormigonado en tiempo caluroso:

Si la temperatura ambiente es superior a 40°C o hay un viento excesivo, se suspenderá el hormigonado, salvo que, previa autorización expresa de la Dirección de Obra, se adopten medidas especiales.

2.1.3 Aceros para hormigón armado

A) Aceros corrugados

- Condiciones de suministro

▪ Los aceros se deben transportar protegidos adecuadamente contra la lluvia y la agresividad de la atmósfera ambiental.

- Recepción y control

▪ Los suministradores entregarán al Constructor, quién los facilitará a la Dirección Facultativa, cualquier documento de identificación del producto exigido por la reglamentación aplicable o, en su caso, por el proyecto o por la Dirección Facultativa. La clase técnica se especificará mediante un código de identificación del tipo de acero mediante engrosamientos u omisiones de corrugas o grafilas. Además, las barras corrugadas deberán llevar grabadas las marcas de identificación que incluyen información sobre el país de origen y el fabricante.

▪ En el caso de que el producto de acero corrugado sea suministrado en rollo o proceda de operaciones de enderezado previas a su suministro, deberá indicarse explícitamente en la correspondiente hoja de suministro.

▪ En el caso de barras corrugadas en las que, dadas las características del acero, se precise de procedimientos especiales para el proceso de soldadura, el fabricante deberá indicarlos.

▪ Ensayos: La comprobación de las propiedades o características exigibles a este material se realiza según la Instrucción de Hormigón Estructural (EHE-08).

- Conservación, almacenamiento y manipulación

▪ Durante el almacenamiento las armaduras se protegerán adecuadamente contra la lluvia y de la agresividad de la atmósfera ambiental. Hasta el momento de su empleo, se conservarán en obra, cuidadosamente clasificadas según sus tipos, calidades, diámetros y procedencias, para garantizar la necesaria trazabilidad.

- Recomendaciones para su uso en obra

- Para prevenir la corrosión, se deberá tener en cuenta todas las consideraciones relativas a los espesores de recubrimiento.
- Con respecto a los materiales empleados, se prohíbe poner en contacto las armaduras con otros metales de muy diferente potencial galvánico.

B) Mallas electrosoldadas

- Condiciones de suministro

- Las mallas se deben transportar protegidas adecuadamente contra la lluvia y la agresividad de la atmósfera ambiental.

- Recepción y control

- Control de la documentación: Los suministradores entregarán al Constructor, quién los facilitará a la Dirección Facultativa, cualquier documento de identificación del producto exigido por la reglamentación aplicable o, en su caso, por el proyecto o por la Dirección Facultativa.

- Ensayos:

- La comprobación de las propiedades o características exigibles a este material se realiza según la Instrucción de Hormigón Estructural (EHE-08).

- Conservación, almacenamiento y manipulación

- Durante el almacenamiento las armaduras se protegerán adecuadamente contra la lluvia, y de la agresividad de la atmósfera ambiental. Hasta el momento de su empleo, se conservarán en obra, cuidadosamente clasificadas según sus tipos, calidades, diámetros y procedencias, para garantizar la necesaria trazabilidad.

2.1.4 Morteros

- Condiciones de suministro

- El conglomerante (cal o cemento) se debe suministrar:

- En sacos de papel o plástico, adecuados para que su contenido no sufra alteración.

- O a granel, mediante instalaciones especiales de transporte y almacenamiento que garanticen su perfecta conservación.

- La arena se debe suministrar a granel, mediante instalaciones especiales de transporte y almacenamiento que garanticen su perfecta conservación.

- El agua se debe suministrar desde la red de agua potable.

- Recepción y control

- Inspecciones:

Si ciertos tipos de mortero necesitan equipamientos, procedimientos o tiempos de amasado especificados para el amasado en obra, se deben especificar por el fabricante. El tiempo de amasado se mide a partir del momento en el que todos los componentes se han adicionado.

- Ensayos:

La comprobación de las propiedades o características exigibles a este material se realiza según la normativa vigente.

- Conservación, almacenamiento y manipulación

- Los morteros deben estar perfectamente protegidos del agua y del viento, ya que, si se encuentran expuestos a la acción de este último, la mezcla verá reducido el número de finos que la componen, deteriorando sus características iniciales y por consiguiente no podrá ser utilizado. Es aconsejable almacenar los morteros secos en silos.

- Recomendaciones para su uso en obra

- Para elegir el tipo de mortero apropiado se tendrá en cuenta determinadas propiedades, como la resistencia al hielo y el contenido de sales solubles en las condiciones de servicio en función del grado de exposición y del riesgo de saturación de agua.

- En condiciones climatológicas adversas, como lluvia, helada o excesivo calor, se tomarán las medidas oportunas de protección.

- El amasado de los morteros se realizará preferentemente con medios mecánicos. La mezcla debe ser batida hasta conseguir su uniformidad, con un tiempo mínimo de 1 minuto. Cuando el amasado se realice a mano, se hará sobre una plataforma impermeable y limpia, realizando como mínimo tres batidas.

- El mortero se utilizará en las dos horas posteriores a su amasado. Si es necesario, durante este tiempo se le podrá agregar agua para compensar su pérdida. Pasadas las dos horas, el mortero que no se haya empleado se desechará.

2.1.5 Conglomerantes. Cemento

- Condiciones de suministro

- El cemento se suministra a granel o envasado.

- El cemento a granel se debe transportar en vehículos, cubas o sistemas similares adecuados, con el hermetismo, seguridad y almacenamiento tales que garanticen la perfecta conservación del cemento, de forma que su contenido no sufra alteración, y que no alteren el medio ambiente.

- El cemento envasado se debe transportar mediante pallets o plataformas similares, para facilitar tanto su carga y descarga como su manipulación, y así permitir mejor trato de los envases.

- El cemento no llegará a la obra u otras instalaciones de uso excesivamente caliente. Se recomienda que, si su manipulación se va a realizar por medios mecánicos, su temperatura no exceda de 70°C, y si se va a realizar a mano, no exceda de 40°C.

- Recepción y control

- Inspecciones:

Este material debe estar provisto del marcado CE, que es una indicación de que cumple los requisitos esenciales y ha sido objeto de un procedimiento de evaluación de la conformidad.

- Ensayos:

La comprobación de las propiedades o características exigibles a este material se realiza según la Instrucción para la recepción de cementos (RC-08).

- Conservación, almacenamiento y manipulación

- Los cementos a granel se almacenarán en silos estancos y se evitará, en particular, su contaminación con otros cementos de tipo o clase de resistencia distintos. Los silos deben estar protegidos de la humedad y tener un sistema o mecanismo de apertura para la carga en condiciones adecuadas desde los vehículos de transporte, sin riesgo de alteración del cemento.

- En cementos envasados, el almacenamiento deberá realizarse sobre pallets o plataforma similar, en locales cubiertos, ventilados y protegidos de las lluvias y de la exposición directa del sol. Se evitarán especialmente las ubicaciones en las que los envases puedan estar expuestos a la humedad, así como las manipulaciones durante su almacenamiento que puedan dañar el envase o la calidad del cemento.

- Recomendaciones para su uso en obra

- La elección de los distintos tipos de cemento se realizará en función de la aplicación o uso al que se destinen, las condiciones de puesta en obra y la clase de exposición ambiental del hormigón o mortero fabricado con ellos.

- El comportamiento de los cementos puede ser afectado por las condiciones de puesta en obra de los productos que los contienen, entre las que cabe destacar:

- Los factores climáticos: temperatura, humedad relativa del aire y velocidad del viento.

- Los procedimientos de ejecución del hormigón o mortero: colocado en obra, prefabricado, proyectado, etc.

- Las clases de exposición ambiental.

- Los cementos que vayan a utilizarse en presencia de sulfatos, deberán poseer la característica adicional de resistencia a sulfatos.

- Los cementos deberán tener la característica adicional de resistencia al agua de mar cuando vayan a emplearse en los ambientes marino sumergido o de zona de carrera de mareas.

2.1.6 Forjados

Elementos resistentes de hormigón armado para forjados

- Condiciones de suministro

- Los elementos prefabricados se deben apoyar sobre las cajas del camión de forma que no se introduzcan esfuerzos en los elementos no contemplados en el proyecto.
- La carga deberá estar atada para evitar movimientos indeseados de la misma.
- Las piezas deberán estar separadas mediante los dispositivos adecuados para evitar impactos entre las mismas durante el transporte.

- Recepción y control

▪ Inspecciones:

Este material debe estar provisto del marcado CE, que es una indicación de que cumple los requisitos esenciales y ha sido objeto de un procedimiento de evaluación de la conformidad.

▪ Ensayos:

La comprobación de las propiedades o características exigibles a este material se realiza según la Instrucción de Hormigón Estructural (EHE-08).

- Conservación, almacenamiento y manipulación

- Las zonas de acopios serán lugares suficientemente grandes para que se permita la gestión adecuada de los mismos sin perder la necesaria trazabilidad, a la vez que sean posibles las maniobras de camiones o grúas, en su caso.
- Para evitar el contacto directo con el suelo, se apilarán horizontalmente sobre durmientes de madera, que coincidirán en la misma vertical, con vuelos no mayores de 0,5 m y con una altura máxima de pilas de 1,50 m.

- Recomendaciones para su uso en obra

- El montaje de los elementos de hormigón armado deberá ser conforme con lo establecido en el proyecto.
- En función del tipo de elemento de hormigón armado, puede ser necesario que el montaje sea efectuado por personal especializado y con la debida formación.

2.1.7 Perfiles laminados de acero

- Condiciones de suministro

- Los aceros se deben transportar de una manera segura, de forma que no se produzcan deformaciones permanentes y los daños superficiales sean mínimos. Los componentes deben estar protegidos contra posibles daños en los puntos de eslingado (por donde se sujetan para izarlos).

Los componentes prefabricados que se almacenan antes del transporte o del montaje deben estar apilados por encima del terreno y sin contacto directo con éste. Debe

evitarse cualquier acumulación de agua. Los componentes deben mantenerse limpios y colocados de forma que se eviten las deformaciones permanentes.

-Recepción y control

- Documentación de los suministros:

Para los productos planos:

Salvo acuerdo en contrario, el estado de suministro de los productos planos de los tipos S235, S275 y S355 de grado JR queda a elección del fabricante.

Si en el pedido se solicita inspección y ensayo, se deberá indicar:

Tipo de inspección y ensayos (específicos o no específicos).

El tipo de documento de la inspección.

Para los productos largos:

Salvo acuerdo en contrario, el estado de suministro de los productos largos de los tipos S235, S275 y S355 de grado JR queda a elección del fabricante.

Ensayos:

La comprobación de las propiedades o características exigibles a este material se realiza según la normativa vigente.

- Conservación, almacenamiento y manipulación

- Si los materiales han estado almacenados durante un largo periodo de tiempo, o de una manera tal que pudieran haber sufrido un deterioro importante, deberán ser comprobados antes de ser utilizados, para asegurarse de que siguen cumpliendo con la norma de producto correspondiente. Los productos de acero resistentes a la corrosión atmosférica pueden requerir un chorreo ligero antes de su empleo para proporcionarles una base uniforme para la exposición a la intemperie.

El material deberá almacenarse en condiciones que cumplan las instrucciones de su fabricante, cuando se disponga de éstas.

- Recomendaciones para su uso en obra

- El material no deberá emplearse si se ha superado la vida útil en almacén especificada por su fabricante.

2.1.8 Aislantes e impermeabilizantes

A) Aislantes conformados en planchas rígidas

- Condiciones de suministro

- Los aislantes se deben suministrar en forma de paneles, envueltos en films plásticos en sus seis caras.
- Los paneles se agruparán formando pallets para su mejor almacenamiento y transporte.
- En caso de desmontar los pallets, los paquetes resultantes deben transportarse de forma que no se desplacen por la caja del transporte.

- Recepción y control

- Inspecciones:

Este material debe estar provisto del marcado CE, que es una indicación de que cumple los requisitos esenciales y ha sido objeto de un procedimiento de evaluación de la conformidad.

- Si el material ha de ser componente de la parte ciega del cerramiento exterior de un espacio habitable, el fabricante declarará el valor del factor de resistencia a la difusión del agua.

- Ensayos:

La comprobación de las propiedades o características exigibles a este material se realiza según la normativa vigente.

- Conservación, almacenamiento y manipulación

- Los pallets completos pueden almacenarse a la intemperie por un periodo limitado de tiempo.
- Se apilarán horizontalmente sobre superficies planas y limpias.
- Se protegerán de la insolación directa y de la acción del viento.

- Recomendaciones para su uso en obra

- Se seguirán las recomendaciones de aplicación y de uso proporcionadas por el fabricante en su documentación técnica.

B) Aislante térmico

- Condiciones de suministro

- Los aislantes se deben suministrar en forma de paneles enrollados o mantas, envueltos en films plásticos.
- Los paneles o mantas se agruparán formando pallets para su mejor almacenamiento y transporte.
- En caso de desmontar los pallets, los paquetes resultantes deben transportarse de forma que no se desplacen por la caja del transporte.
- Se procurará no aplicar pesos elevados sobre los mismos, para evitar su deterioro.

- Recepción y control

▪ Inspecciones:

Este material debe estar provisto del marcado CE, que es una indicación de que cumple los requisitos esenciales y ha sido objeto de un procedimiento de evaluación de la conformidad.

▪ Ensayos:

La comprobación de las propiedades o características exigibles a este material se realiza según la normativa vigente.

- Conservación, almacenamiento y manipulación

- Conservar y almacenar preferentemente en el pallet original, protegidos del sol y de la intemperie, salvo cuando esté prevista su aplicación.
- Los pallets completos pueden almacenarse a la intemperie por un periodo limitado de tiempo.
- Los paneles deben almacenarse bajo cubierto, sobre superficies planas y limpias.
- Siempre que se manipule el panel de lana de roca se hará con guantes.
- Bajo ningún concepto debe emplearse para cortar el producto maquinaria que pueda

diseminar polvo, ya que éste produce irritación de garganta y de ojos.

- Recomendaciones para su uso en obra

- En aislantes utilizados en cubiertas, se recomienda evitar su aplicación cuando las condiciones climatológicas sean adversas, en particular cuando esté nevando o haya nieve o hielo sobre la cubierta, cuando llueva o la cubierta esté mojada, o cuando sople viento fuerte.
- Los productos deben colocarse siempre secos.

C) Láminas drenantes

- Condiciones de suministro

- Las láminas se deben transportar preferentemente en pallets retractilados y, en caso de pequeños acopios, en rollos sueltos.
- Cada rollo contendrá una sola pieza o como máximo dos. Sólo se aceptarán dos piezas en el 3% de los rollos de cada partida y no se aceptará ninguno que contenga más de dos piezas. Los rollos irán protegidos. Se procurará no aplicar pesos elevados sobre los mismos para evitar su deterioro.

- Recepción y control

- Inspecciones:

Este material debe estar provisto del marcado CE, que es una indicación de que cumple los requisitos esenciales y ha sido objeto de un procedimiento de evaluación de la conformidad.

- Condiciones de almacenamiento.

- Ensayos:

La comprobación de las propiedades o características exigibles a este material se realiza según la normativa vigente.

- Conservación, almacenamiento y manipulación

- Conservar y almacenar preferentemente en el pallet original, apilados en posición horizontal con un máximo de cuatro hiladas puestas en el mismo sentido, a temperatura baja y uniforme, protegidos del sol, la lluvia y la humedad en lugares cubiertos y ventilados, salvo cuando esté prevista su aplicación.

2.1.9 Vidrios

Vidrios para la construcción

- Condiciones de suministro

- Los vidrios se deben transportar en grupos de 40 cm de espesor máximo y sobre material no duro.
- Los vidrios se deben entregar con corchos intercalados, de forma que haya aireación entre ellos durante el transporte.

- Recepción y control

▪ Inspecciones:

Este material debe estar provisto del marcado CE, que es una indicación de que cumple los requisitos esenciales y ha sido objeto de un procedimiento de evaluación de la conformidad.

▪ Ensayos:

La comprobación de las propiedades o características exigibles a este material se realiza según la normativa vigente.

- Conservación, almacenamiento y manipulación

- El almacenamiento se realizará protegido de acciones mecánicas tales como golpes, rayaduras y sol directo y de acciones químicas como impresiones producidas por la humedad.
- Se almacenarán en grupos de 25 cm de espesor máximo y con una pendiente del 6% respecto a la vertical.
- Se almacenarán las pilas de vidrio empezando por los vidrios de mayor dimensión y procurando poner siempre entre cada vidrio materiales tales como corchos, listones de madera o papel ondulado. El contacto de una arista con una cara del vidrio puede provocar rayas en la superficie. También es preciso procurar que todos los vidrios tengan la misma inclinación, para que apoyen de forma regular y no haya cargas puntuales.
- Es conveniente tapar las pilas de vidrio para evitar la suciedad. La protección debe ser ventilada.
- La manipulación de vidrios llenos de polvo puede provocar rayas en la superficie de los mismos.

- Recomendaciones para su uso en obra

- Antes del acristalamiento, se recomienda eliminar los corchos de almacenaje y transporte, así como las etiquetas identificativas del pedido, ya que de no hacerlo el calentamiento podría ocasionar roturas térmicas.

2.1.10 Instalaciones

Tubos de PVC-U para saneamiento

- Condiciones de suministro

- Los tubos se deben suministrar a pie de obra en camiones, sin paletizar, y los accesorios en cajas adecuadas para ellos.
- Los tubos se deben colocar sobre los camiones de forma que no se produzcan deformaciones por contacto con aristas vivas, cadenas, etc.
- Los tubos y accesorios se deben cargar de forma que no se produzca ningún deterioro durante el transporte. Los tubos se deben apilar a una altura máxima de 1,5 m.
- Debe evitarse la colocación de peso excesivo encima de los tubos, colocando las cajas de accesorios en la base del camión.

- Recepción y control

▪ Inspecciones:

Los tubos y accesorios deben estar marcados a intervalos de 1 m para sistemas de evacuación y de 2 m para saneamiento enterrado y al menos una vez por elemento con:

- Los caracteres correspondientes a la designación normalizada.

- La trazabilidad del tubo (información facilitada por el fabricante que indique la fecha de fabricación, en cifras o en código, y un número o código indicativo de la factoría de fabricación en caso de existir más de una).

▪ Ensayos:

La comprobación de las propiedades o características exigibles a este material se realiza según la normativa vigente.

- Conservación, almacenamiento y manipulación

- Debe evitarse el daño en las superficies y en los extremos de los tubos y accesorios.
- Debe evitarse el almacenamiento a la luz directa del sol durante largos periodos de tiempo.
- Debe disponerse de una zona de almacenamiento que tenga el suelo liso y nivelado o un lecho plano de estructura de madera, con el fin de evitar cualquier curvatura o deterioro de los tubos.

▪ Canalones y bajantes

- Condiciones de suministro

- Los tubos se deben suministrar a pie de obra en camiones, sin paletizar, y los accesorios en cajas adecuadas para ellos.
- Los tubos se deben colocar sobre los camiones de forma que no se produzcan deformaciones por contacto con aristas vivas, cadenas, etc.
- Los tubos y accesorios se deben cargar de forma que no se produzca ningún deterioro durante el transporte. Los tubos se deben apilar a una altura máxima de 1,5 m.
- Se debe evitar la colocación de peso excesivo encima de los tubos, colocando las cajas de accesorios en la base del camión.

- Recepción y control

▪ Inspecciones:

Los canalones, tubos y accesorios deben estar marcados al menos una vez por elemento con:

- Los caracteres correspondientes a la designación normalizada.
- La trazabilidad del tubo (información facilitada por el fabricante que indique la fecha de fabricación, en cifras o en código, y un número o código indicativo de la factoría de fabricación en caso de existir más de una).

▪ Ensayos:

La comprobación de las propiedades o características exigibles a este material se realiza según la normativa vigente.

- Conservación, almacenamiento y manipulación

- Debe evitarse el daño en las superficies y en los extremos de los tubos y accesorios.
- Debe evitarse el almacenamiento a la luz directa del sol durante largos periodos de tiempo.
- Debe disponerse de una zona de almacenamiento que tenga el suelo liso y nivelado o un lecho plano de estructura de madera, con el fin de evitar cualquier curvatura o deterioro de los tubos.

Tubos de polietileno para abastecimiento

- Condiciones de suministro

- Los tubos se deben suministrar a pie de obra en camiones, sin paletizar, y los accesorios en cajas adecuadas para ellos.
- Los tubos se deben colocar sobre los camiones de forma que no se produzcan deformaciones por contacto con aristas vivas, cadenas, etc.
- Los tubos y accesorios se deben cargar de forma que no se produzca ningún deterioro durante el transporte. Los tubos se deben apilar a una altura máxima de 1,5 m.
- Se debe evitar la colocación de peso excesivo encima de los tubos, colocando las cajas de accesorios en la base del camión.

- Conservación, almacenamiento y manipulación

- Debe evitarse el daño en las superficies y en los extremos de los tubos y accesorios.
- Debe evitarse el almacenamiento a la luz directa del sol durante largos periodos de tiempo.
- Debe disponerse de una zona de almacenamiento que tenga el suelo liso y nivelado o un lecho plano de estructura de madera, con el fin de evitar cualquier curvatura o deterioro de los tubos.

Tubos de plástico para fontanería

- Condiciones de suministro

- Los tubos se deben suministrar a pie de obra en camiones con suelo plano, sin paletizar, y los accesorios en cajas adecuadas para ellos.
- Los tubos se deben colocar sobre los camiones de forma que no se produzcan deformaciones por contacto con aristas vivas, cadenas, etc., y de forma que no queden tramos salientes innecesarios.

- Recepción y control

▪ Inspecciones:

Los tubos deben estar marcados a intervalos máximos de 1 m y al menos una vez por accesorio, con:

- Los caracteres correspondientes a la designación normalizada.

- La trazabilidad del tubo (información facilitada por el fabricante que indique la fecha de fabricación, en cifras o en código, y un número o código indicativo de la factoría de fabricación en caso de existir más de una).

▪ Ensayos:

La comprobación de las propiedades o características exigibles a este material se realiza según la normativa vigente.

- Conservación, almacenamiento y manipulación

▪ Debe evitarse el daño en las superficies y en los extremos de los tubos y accesorios. Deben utilizarse, si fuese posible, los embalajes de origen.

▪ Debe evitarse el almacenamiento a la luz directa del sol durante largos periodos de tiempo.

▪ Debe disponerse de una zona de almacenamiento que tenga el suelo liso y nivelado o un lecho plano de estructura de madera, con el fin de evitar cualquier curvatura o deterioro de los tubos.

Tubos de polipropileno para fontanería y calefacción

- Condiciones de suministro

▪ Los tubos se suministran en barras y en rollos:

- En barras: estos tubos se suministran en estado duro en longitudes de 5 m.

- En rollos: los tubos recocidos se obtienen a partir de los duros por medio de un tratamiento térmico; los tubos en rollos se suministran hasta un diámetro exterior de 22 mm, siempre en longitud de 50 m; se pueden solicitar rollos con cromado exterior para instalaciones vistas.

- Recepción y control

▪ Inspecciones:

Los tubos de $DN \geq 10$ mm y $DN \leq 54$ mm deben estar marcados, indeleblemente, a intervalos menores de 600 mm a lo largo de una generatriz, con la designación normalizada.

Los tubos de $DN > 6$ mm y $DN < 10$ mm, o $DN > 54$ mm mm deben estar marcados de idéntica manera al menos en los 2 extremos.

▪ Ensayos:

La comprobación de las propiedades o características exigibles a este material se realiza según la normativa vigente.

- Conservación, almacenamiento y manipulación
 - El almacenamiento se realizará en lugares protegidos de impactos y de la humedad. Se colocarán paralelos y en posición horizontal sobre superficies planas.

- Recomendaciones para su uso en obra
 - Las características de la instalación de agua o calefacción a la que va destinado el tubo de cobre son las que determinan la elección del estado del tubo: duro o recocado.
 - Los tubos en estado duro se utilizan en instalaciones que requieren una gran rigidez o en aquellas en que los tramos rectos son de gran longitud.
 - Los tubos recocidos se utilizan en instalaciones con recorridos de gran longitud, sinuosos o irregulares, cuando es necesario adaptarlos al lugar en el que vayan a ser colocados.

Grifería sanitaria

- Condiciones de suministro
 - Se suministrarán en bolsa de plástico dentro de caja protectora.

- Recepción y control

- Inspecciones:

Este material debe estar marcado de manera permanente y legible con:

- Para grifos convencionales de sistema de Tipo 1
- El nombre o identificación del fabricante sobre el cuerpo o el órgano de maniobra.
- El nombre o identificación del fabricante en la montura.
- Los códigos de las clases de nivel acústico y del caudal (el marcado de caudal sólo es exigible si el grifo está dotado de un regulador de chorro intercambiable).

Para los mezcladores termostáticos

- El nombre o identificación del fabricante sobre el cuerpo o el órgano de maniobra.
- Las letras LP (baja presión).

- Ensayos:

La comprobación de las propiedades o características exigibles a este material se realiza según la normativa vigente.

- Conservación, almacenamiento y manipulación

- El almacenamiento se realizará en su embalaje, en lugares protegidos de impactos y de la intemperie.

Aparatos sanitarios cerámicos

- Condiciones de suministro

- Durante el transporte las superficies se protegerán adecuadamente.

- Recepción y control

- Inspecciones:

Este material dispondrá de los siguientes datos:

- Una etiqueta con el nombre o identificación del fabricante.
- Las instrucciones para su instalación.

- Ensayos:

La comprobación de las propiedades o características exigibles a este material se realiza según la normativa vigente.

- Conservación, almacenamiento y manipulación

- El almacenamiento se realizará en lugares protegidos de impactos y de la intemperie. Se colocarán en posición vertical.

2.2 Prescripciones sobre ejecución:

Artículo 1. Pilotaje.

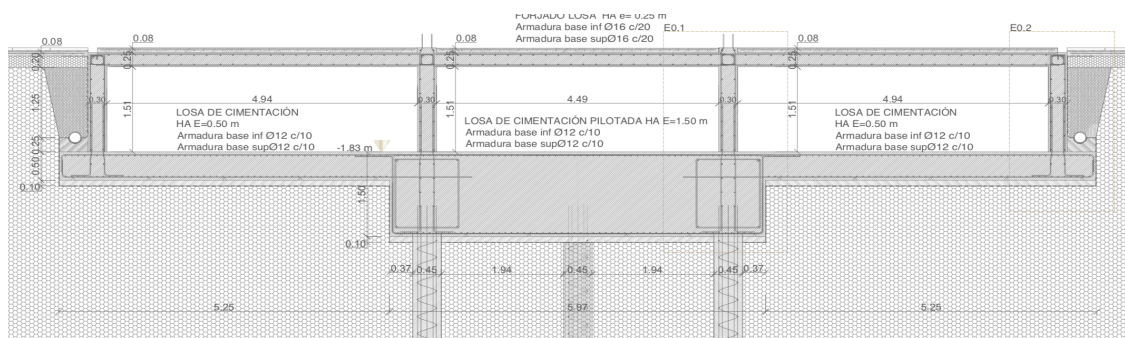
Se ha realizado un estudio geotécnico de la parcela por un laboratorio de control de calidad homologado para conocer la morfología y el comportamiento del terreno. La capacidad portante supuesta del sustrato resistente es de 3,50 kg/cm² a una cota a partir de los -8,50 m en adelante para pilotes in situ empotrados en sustrato sano.

El nivel freático se localiza en torno a la cota -5,00 m bajo rasante, por lo que la cimentación se llevará a cabo mediante pilotes con camisa perdida para evitar discontinuidades a lo largo de los mismos por infiltración de agua o movimiento de tierras.

Edificación cuyo único elemento de sustentación es un gran prisma central de hormigón armado compuesto por cuatro muros solidarios entre sí y que transmiten la totalidad de las cargas a la cimentación de forma concentrada. Para hacer frente a esta carga puntual sobre la cimentación y evitar el vuelco del edificio, se decide pilotar esta estructura de muros de HA mediante un sistema de losa de cimentación pilotada. Por tanto, la cimentación se realiza mediante tres elementos solidarios entre sí:

-Losa de cimentación pilotada bajo núcleo de muros de hormigón armado 1,50x6x7,60 armada con armadura superior $\varnothing 12$ c/10 e inferior $\varnothing 12$ c/10

-Losa de cimentación de hormigón armado para formación de forjado sanitario 0,50x16,50x14,80 armada con armadura superior $\varnothing 12$ c/10 e inferior $\varnothing 12$ c/10



-Pilotes CPI-5 (P1,P2,P3,P4,P5,P6,P7,P8,P9,P10)

Tomando de referencia la Norma Tecnológica de la Edificación. Cimentaciones. Pilotes In situ:

Grupo de pilotes de extracción con camisa perdida n.D.L.S.C.Hormigonado.Cemento CPI-5. Usualmente como pilotaje trabajando por punta apoyada en roca de capas duras de terreno y siempre que se atraviesen capas de terreno incoherente fino en presencia de agua, o exista flujo de agua y existan capas agresivas al hormigón fresco.

CPI-1 Camisa perdida. Se utilizará para proteger un tramo de los pilares expuesto a la acción de un terreno agresivo al hormigón fresco o a un flujo de agua. La longitud C del tubo que constituye la camisa, será tal que suspendida desde la boca de perforación profundice dos diámetros por debajo de la capa peligrosa. Realizada la excavación y antes del hormigonado, se introducirá en la entubación situándola en la posición prevista en la Documentación Técnica. Se mantendrá suspendida desde la boca de perforación hasta la terminación de las operaciones de hormigonado.

EFH-7 Hormigón. De resistencia característica 175 Kg/cm² . Consistencia medida en cono de Abrams: 10 a 15 cm. Se introducirá, mediante excavación, la entubación de diámetro exterior D, en cm, hasta una profundidad L, en m, para los n pilotes del grupo a separación S, en cm, según documentación técnica y en el orden y tiempo previsto. La entubación se introducirá en el terreno acompañado por la excavación y siempre por delante de la misma. Durante el hormigonado, la entubación recuperable quedará siempre, como mínimo 2D dentro del hormigón anteriormente vertido.

EFH-5 Armadura

Longitudinal: constituida por barras dispuestas uniformemente en perímetro de la sección. El n número de barras y el diámetro de las mismas, en función del diámetro D del pilote será:

D= 45 cm

n= 6 barras

∅ barras= 12 mm

La longitud de la armadura será tal que después del pilote sobresalga la mayor de las siguientes longitudes: D o 50 cm, en este caso 50 cm.

Transversal: Constituída por zuncho en espiral. El paso de la espiral y el diámetro de los redondos en función del diámetro D del pilote, será el siguiente:

D=45 cm

Artículo 2. Excavaciones.

- Escarificado de firmes o terrenos existentes.

Se entiende por escarificado, la disgregación con medios mecánicos adecuados de terrenos o firmes existentes con posterior regularización y compactación de la superficie resultante y retirada de productos sobrantes a vertedero, confiriéndole las características prefijadas de acuerdo con su situación en la obra. La profundidad del escarificado se fijará por la Inspección Facultativa y, en todo caso, oscilará entre quince centímetros y treinta centímetros.

- Excavación en zanjas y emplazamientos.

Las excavaciones están referidas a cualquier clase de terreno geológicamente natural o artificial, ya sea suelto, alterado con elementos extraños o compacto, como yesos o similares, a cualquier profundidad, comprendiendo los medios y elementos necesarios para llevarlos a cabo, tales como entibaciones y acodamientos o bien los agotamientos, si se precisasen. Esta unidad, incluye, además de las operaciones señaladas, el despeje y desbroce, el refinado y compactación de las superficies resultantes hasta el noventa por ciento (95 %) de la densidad del Proctor Modificado, y el transporte a los almacenes municipales de cuantos productos u objetos extraídos tengan futuros aprovechamientos.

No deberán transcurrir más de cuatro días entre la excavación de la zanja y la colocación de las tuberías.

Como norma general, para profundidades superiores a un metro con cincuenta centímetros, se adoptarán taludes de un quinto en los paramentos laterales.

Los excesos de excavación, se considerarán como no justificados y, por lo tanto, no computables ni tampoco su posterior relleno, a efectos de medición y abono. La realización de los taludes indicados, no exime al Contratista de efectuar cuantas entibaciones sean precisas, para excluir el riesgo de desprendimientos de tierras.

Deberán respetarse todos los servicios existentes, adoptando las medidas y medios complementarios necesarios. Igualmente, se mantendrán las entradas y accesos a fincas o locales. El acopio de las tierras excavadas deberá atenderse en todo momento, a lo dispuesto en el Reglamento de Seguridad e Higiene en la Construcción. En particular, se realizarán los acopios a suficiente distancia de la excavación para evitar desprendimientos y accidentes.

- Excavación en la explanación.

Las excavaciones están referidas a cualquier clase de terreno, en la profundidad comprendida entre la rasante del terreno natural y la subrasante obtenida disminuyendo los perfiles o cotas del pavimento definitivo en el espesor del firme. Igualmente se refiere a la excavación de terreno existente con objeto de sanearlo en la profundidad que se indique por la Inspección de la obra. Comprende esta unidad el despeje y desbroce superficial, la nivelación y compactación de la superficie resultante hasta el 98 % del Proctor Modificado, así como el escarificado del terreno en una profundidad de quince centímetros en los casos que juzgue necesarios la Inspección Facultativa.

Durante la ejecución de los trabajos se tomarán, en cualquier caso, las precauciones adecuadas para no disminuir la resistencia o estabilidad del terreno no excavado.

- Vallado de zanjas.

Las zanjas y pozos deberán vallarse y señalizarse en toda su longitud por ambos lados y extremos. Las vallas deberán ajustarse al modelo oficial indicado en el plano correspondiente y estarán recubiertas con pintura reflectante e iluminadas.

- Saneamiento del terreno.

Se entiende por saneamiento, la excavación del terreno existente por debajo de la subrasante del firme, hasta la profundidad que sea necesaria, a juicio de la Inspección Facultativa y su posterior relleno hasta alcanzar la cota de subrasante.

El relleno se efectuará con suelo seleccionado, procedente de la excavación o bien con material procedente de préstamos cuando así lo ordene la Inspección Facultativa de la obra. Estos materiales se humedecerán y compactarán en tongadas de veinte centímetros hasta alcanzar una densidad mínima del 95 % o el 98 % del Proctor Modificado, de forma similar a los terraplenes y de acuerdo con su situación.

Artículo 3. Terraplenes y capas granulares.

- Terraplenes.

Se entiende por terraplén, el extendido y compactación de los materiales que se describen en este artículo sobre la explanación o superficie originada para el saneamiento del terreno y comprende las operaciones de acopio de materiales, carga, transporte, extendido por tongadas, humectación, compactación por tongadas de espesor no superior a treinta centímetros; una vez compactadas, refinado, reperfilado y formación de pendientes, y ello cuantas veces sea necesario, hasta conseguir la cota de subrasante.

En la coronación de terraplenes, de espesor cincuenta centímetros, se deberán utilizar suelos seleccionados. En la construcción de núcleos y cimientos de terraplenes, se podrán utilizar suelos tolerables, adecuados o seleccionados. Cuando el núcleo del terraplén pueda estar sujeto a inundación, sólo se utilizarán suelos adecuados o seleccionados.

- Rellenos de zanjas y emplazamientos. Las características del relleno de las zanjas serán las mismas que las exigidas en el terraplén, es decir:

- Suelos seleccionados compactados al 98 % P.M. en los cincuenta centímetros bajo la explanación.
- Suelos tolerables, adecuados o seleccionados compactados al 95 % P.M. en el resto del relleno.

En cualquier caso, la primera capa de relleno, de espesor treinta centímetros sobre la generatriz superior exterior del tubo, no contendrá gruesos superiores a dos centímetros. Se retacará manualmente y se compactará al 95 % P.M.

- Arena. La arena a utilizar para asiento de tuberías podrá ser natural, de machaqueo o mezcla de ambas, debiendo cumplir, en cualquier caso, las siguientes prescripciones:

- El Equivalente de Arena será superior a setenta.
- El Índice de Plasticidad será inferior a cinco ($IP < 5$).
- Por el tamiz UNE nº 4 deberá pasar el cien por cien.
- El contenido de partículas arcillosas no excederá del uno por ciento del peso total.
- El contenido de sulfatos solubles, expresado en porcentaje de SO_3 sobre el peso del árido seco, no excederá del cero ocho por ciento.
- Los finos que pasen por el tamiz 0,080 UNE, serán inferiores en peso al cinco por ciento del total.

- Subbase de zahorra natural.

La zahorra natural no se extenderá hasta que se haya comprobado que la superficie sobre la que haya de asentarse tenga las condiciones de calidad y forma previstas, con las tolerancias establecidas.

La ejecución de la subbase deberá evitar la segregación del material, creará las pendientes necesarias para el drenaje superficial y contará con una humectación uniforme. Todas las operaciones de aportación de agua tendrán lugar antes de la compactación. Después la única humectación admisible será la destinada a lograr en superficie la humedad necesaria para la ejecución de la capa siguiente. La superficie acabada no podrá tener irregularidades superiores a veinte milímetros y no podrá rebasar a la superficie teórica en ningún punto. Las zahorras naturales se podrán emplear siempre que las condiciones climatológicas no hayan producido alteraciones en la humedad del material tales que se supere en más de dos puntos porcentuales la humedad óptima. Se suspenderá la ejecución con temperatura ambiente a la sombra, igual o inferior a 2°C.

Artículo 4. Hormigón.

- Hormigones.

Para la fabricación de hormigones se deberá tener en cuenta la Instrucción de Hormigón Estructural (EHE). Los distintos tipos de hormigón a emplear en las obras, son los que se definen en el siguiente cuadro:

TIPO	TAMAÑO MÁX. DEL ÁRIDO	RESIST. CARACT. COMP. (28 d.)
	(mm)	(N/mm ²)
Armado:		
HA-35	22	35
HA-30	22	30
HA-25	22	25
En masa estructural:		
HM-30	22	30
HM-25	22	25
HM-20	22	20
En masa no estructural:	40-22	15
HNE-15	40	12,5
HNE-12,5	40	6
HNE-6		

El cemento a emplear será I-42,5 R (UNE-EN 197-1:2000), que a efectos de la Instrucción EHE se trata de un cemento de endurecimiento rápido, siempre que su relación agua/cemento sea menor o igual que 0,50.

El tamaño máximo del árido será el definido en la designación del hormigón, pero en ausencia de ésta el Ingeniero Inspector de la obra podrá decidir el más conveniente en cada caso y para cada tipo de hormigón.

La máxima relación agua/cemento en función de la clase de exposición ambiental, para conseguir una adecuada durabilidad del hormigón, será la siguiente:

CLASE	I	Ila	Ilb	Qa	Qb	Qc	E
A/C para HA	0,65	0,60	0,55	0,50	0,45	0,45	0,50
A/C para HM	0,65	--	--	0,50	0,50	0,45	0,50

El mínimo contenido de cemento en función de la clase de exposición ambiental, para conseguir una adecuada durabilidad del hormigón, será la siguiente:

CLASE	I	Ila	Ilb	Qa	Qb	Qc	E
-------	---	-----	-----	----	----	----	---

CEMENTO (Kg/m ³), para HA	250	275	300	325	350	350	300
C E M E N T O (Kg(m ³), para HM	200	--	--	275	300	325	275

En ningún caso, la dosificación podrá exceder de cuatrocientos kilogramos de cemento por metro cúbico de hormigón (400 kg/m³). Con carácter orientativo, las resistencias mínimas compatibles con los requisitos de durabilidad, en función de la clase de exposición ambiental, serán las siguientes:

CLASE	I	Ila	IIb	Qa	Qb	Qc	E
RESISTENCIA (N/mm ²) para HA	25	25	30	30	30	35	30
RESISTENCIA (N/mm ²) para HM	20	--	--	30	30	35	30

En condiciones ambientales normales (no calurosas) el tiempo transcurrido entre la adición de agua del amasado al cemento y a los áridos y la colocación del hormigón, no será mayor de una hora y media.

Los hormigones de central transportados por cubas agitadoras, deberán ponerse en obra dentro de la hora y media posterior a la adición de agua del amasado, no siendo admisibles los amasijos con un tiempo superior. Cada carga de hormigón fabricado en central irá acompañada de una hoja de suministro que estará en todo momento a disposición de la Inspección Facultativa.

El recubrimiento nominal de las armaduras de los hormigones en función de la clase de exposición ambiental, para conseguir una adecuada durabilidad, será el siguiente:

CLASE	I	Ila	IIb	Qa	Qb	Qc
RECUBRIMIENTO (mm)	30	35	40	50	50	50

Todos los hormigones se compactarán y curarán debidamente. A título orientativo el método de compactación adecuado para hormigones plásticos es la vibración normal. La duración mínima del curado será de 5 días. La altura máxima de vertido libre del hormigón, será de un metro. Deberá suspenderse el hormigonado cuando la temperatura de ambiente sea superior a 40 °C y siempre que se prevea que, dentro de las 48 h siguientes, pueda descender la temperatura ambiente por debajo de 0 °C.

La parada en el proceso de hormigonado superior a treinta minutos, requerirá realizar una junta de hormigonado correctamente dispuesta en el punto en que se encuentra la unidad, si técnicamente es admisible. Si no fuera admisible dicha junta, deberá demolerse lo ejecutado hasta el punto donde se pueda realizar.

Todos los muros deberán disponer de mechinales y de berenjenos en los lugares que disponga la Inspección de la obra.

El sistema de tolerancias adoptado es el indicado en el Anejo 10 de la Instrucción EHE. Los defectos deberán ser corregidos por cuenta del Contratista, de acuerdo con las indicaciones de la Inspección de la obra.

- Morteros de cemento.

Se definen los morteros de cemento como la masa constituida por árido fino, cemento y agua.

En la fabricación de morteros se tendrá en cuenta la Instrucción de Hormigón Estructural (EHE).

Los tipos de mortero a emplear serán los que se definen en la siguiente tabla:

TIPO	DOSIFICACION CEMENTO
	(Kg/m3)
M-250	250 a 300
M-300	300 a 350
M-350	350 a 400
M-400	400 a 450
M-450	450 a 500
M-600	600 a 650

Las dosificaciones dadas son simplemente orientativas y, en cada caso, la Inspección Facultativa de la obra podrá modificarlas de acuerdo con las necesidades de la misma. El tamaño máximo del árido fino será de cinco milímetros.

- Pintado de superficies de hormigón. La protección con pintura de superficies de obras de fábrica, se realizará mediante las siguientes actividades y aplicaciones:

Preparación de la superficie.

- En la superficie a recubrir, se deberán reparar los defectos, eliminar grasas, aceites, suciedad, etc., y rascar cuidadosamente las zonas con recubrimientos antiguos.
- Antes de proceder a la aplicación de cualquier capa de pintura, la superficie deberá tener una humedad no superior al 3 %.

Revestimientos.

- La superficie preparada, se recubrirá con dos capas de pintura constituida fundamentalmente por una emulsión acuosa a base de copolímeros acrílicos o vinílicos, que cumplan la Norma UNE-48243 del tipo I para interiores y del tipo II para exteriores, reforzada con pigmento de alta resistencia a la intemperie.
- El espesor de cada capa será tal que cubra el fondo por opacidad.

Artículo 5. Elementos metálicos.

- Aceros en armaduras.

A) Barras corrugadas.

El acero a emplear en armaduras, salvo especificación expresa en contra, será siempre soldable. Irá marcado con señales indelebles de fábrica: informe UNE 36.811 “Barras corrugadas de acero para hormigón armado”, informe UNE 35.812 “Alambres corrugados de acero para hormigón armado”. Deberá contar con el sello de conformidad CIETSID, y con el correspondiente certificado de homologación de adherencia. Deberá responder a las siguientes características mecánicas mínimas:

DESIGNACIÓN DEL ACERO	LÍMITE ELÁSTICO f_y (N/mm ²)	CARGA UNITARIA DE ROTURA f_s (N/mm ²)	ALARGAMIENTO EN ROTURA (%)	RELACIÓN (f_s / f_y)
B - 400 S	400	440	14	1,05
B - 500 S	500	550	12	1,05

Las características químicas, mecánicas y geométricas se establecen en la Norma UNE 36068.

B) Mallas electrosoldadas.

Estarán formadas por barras corrugadas que cumplan lo especificado en el punto anterior o por alambres corrugados estirados en frío, contando con el correspondiente certificado de homologación de adherencia. Cada panel deberá llegar a obra con una etiqueta en la que se haga constar la marca del fabricante y la designación de la malla. Las características mecánicas mínimas de los alambres serán:

DESIGNACIÓN DE LOS ALAMBRES	LÍMITE ELÁSTICO f_y (N/mm ²)	CARGA UNITARIA DE ROTURA f_s (N/mm ²)	ALARGAMIENTO EN ROTURA (%)
B-500 T	500	550	8

Las características químicas, mecánicas y geométricas se establecen en la Norma UNE 36092.

C) Protección de superficies con pintura.

Todos los elementos metálicos estarán protegidos contra los fenómenos de oxidación y corrosión. La protección con pintura se realizará mediante los siguientes materiales, actividades y aplicaciones:

a) Materiales:

- Imprimación a base de resina epoxi de dos componentes (catalizador de poliamida) pigmentada con alto porcentaje de fosfato de zinc.
- Acabado a base de esmalte de poliuretano de dos componentes (catalizador alifático).

b) Preparación de la superficie:

- Se eliminarán grasas, aceite, sales, residuos cera, etc., mediante disolvente previamente a cualquier operación.

- En superficies nuevas o a repintar, las escamas de óxido, cascarillas de laminación y restos de escoria, suciedad y pintura mal adherida, se eliminarán con rasqueta y cepillo de alambre hasta obtener una superficie sana y exenta de impurezas que permita una buena adherencia del recubrimiento, evitando sin embargo pulir la superficie o provocar una abrasión muy profunda, correspondiente al grado St2 (Norma UNE-EN-ISO-8501).

- La eliminación de oxidaciones importantes y de recubrimientos anteriores de elementos que deban estar sumergidos en agua o sometidos a altas temperaturas, deberá realizarse mediante chorreado con arena o granalla hasta alcanzar un grado SA-2 o SA-2 1/2, respectivamente (Norma UNE-EN-ISO-8501).

c) Imprimación.

- Se realizará sobre la superficie preparada y seca mediante la aplicación de dos manos de imprimación.

- La primera mano de imprimación, se realizará por el Contratista en el taller de fabricación, debiendo transcurrir desde las operaciones de limpieza el menor tiempo posible. Las manos restantes podrán aplicarse al aire libre siempre que no llueva, hiele o la humedad relativa supere el 85 %.

- No recibirán ninguna capa de protección las superficies que hayan de soldarse, en tanto no se haya ejecutado la unión; ni tampoco las adyacentes en una anchura mínima de cincuenta milímetros (50 mm), medida desde el borde del cordón.

- El espesor de cada capa seca de imprimación, será de cuarenta a cincuenta micras (40 a 50 μ). El tiempo mínimo de aplicación entre dos manos será de veinticuatro horas (24 h).

d) Acabado.

- Sobre las dos capas de imprimación antes indicadas, se extenderán dos capas de acabado. El espesor de cada capa seca, será de 30 a 40 μ . (Norma INTA-160224).

e) Ensayos específicos de la pintura.

- Al inicio del pintado se presentará al laboratorio un envase de imprimación y otro de acabado.

- En ensayo de corrosión acelerada aplicado sobre una muestra de pintura seca completa, deberá aguantar 250 h en cámara de niebla salina de acuerdo con la Norma MELC-12104 y el de envejecimiento artificial acelerado 250 h de acuerdo con la Norma MELC-1294.

- Resistencia a la abrasión, según norma UNE-48250.

- Ensayo de plegado, según norma UNE-EN-ISO-1519.

- Ensayo de resistencia al impacto, según norma UNE-EN-ISO-6272.

Aquellos elementos visibles que forman parte de lo que genéricamente puede considerarse mobiliario urbano, el tipo de pintura de acabado deberá ser de color homogéneo RAL-6009 (verde oscuro).

ANEJO 1

CÁLCULO ESTRUCTURAL

En el presente Anejo se muestran los resultados obtenidos del cálculo completo de la estructura metálica ligera, núcleo central de hormigón y viga en celosía anteriormente descrita. El diseño y cálculo de la estructura se ha efectuado con el Software de cálculo estructural CYPECAD.

1. Bases de cálculo

Para la definición de las acciones actuantes, se ha seguido el CTE SE-AE.

Acciones permanentes (G) Aquellas que actúan en todo instante sobre el edificio con posición constante.

Peso propio (PP)

Peso propio estructura (Muros de hormigón M1, M2, M3, M4 + Perfiles de acero S275)

Peso propio forjados (Forjados de Chapa colaborante INCO 70.4)

Peso propio cubierta (chapa grecada + paneles aislamiento + formación pendientes):
 $0,15+2,25+0,48 = 2,88 \text{ kN/m}^2$

Pavimento y tabiquería: $2,00 \text{ kN/m}^2$

Suelo radiante: $1,045 \text{ kN/m}^2$

Fachada ventilada F2: $3,016 \text{ kN/m}^2$

Acciones variables (Q)

Sobrecarga de uso (SU) residencial- $2,00 \text{ kN/m}^2$

Sobre cubierta: $0,40 \text{ kN/m}^2$

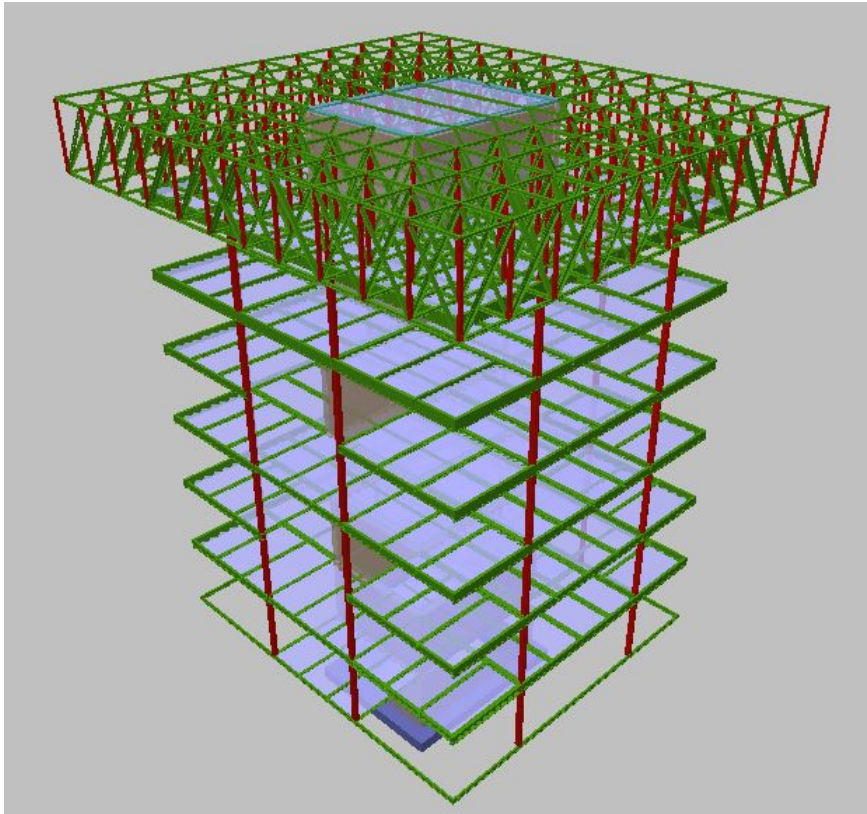
Esta sobrecarga no se considerará concomitante con otras acciones variables como la nieve.

Acciones climáticas - Viento (Vi)

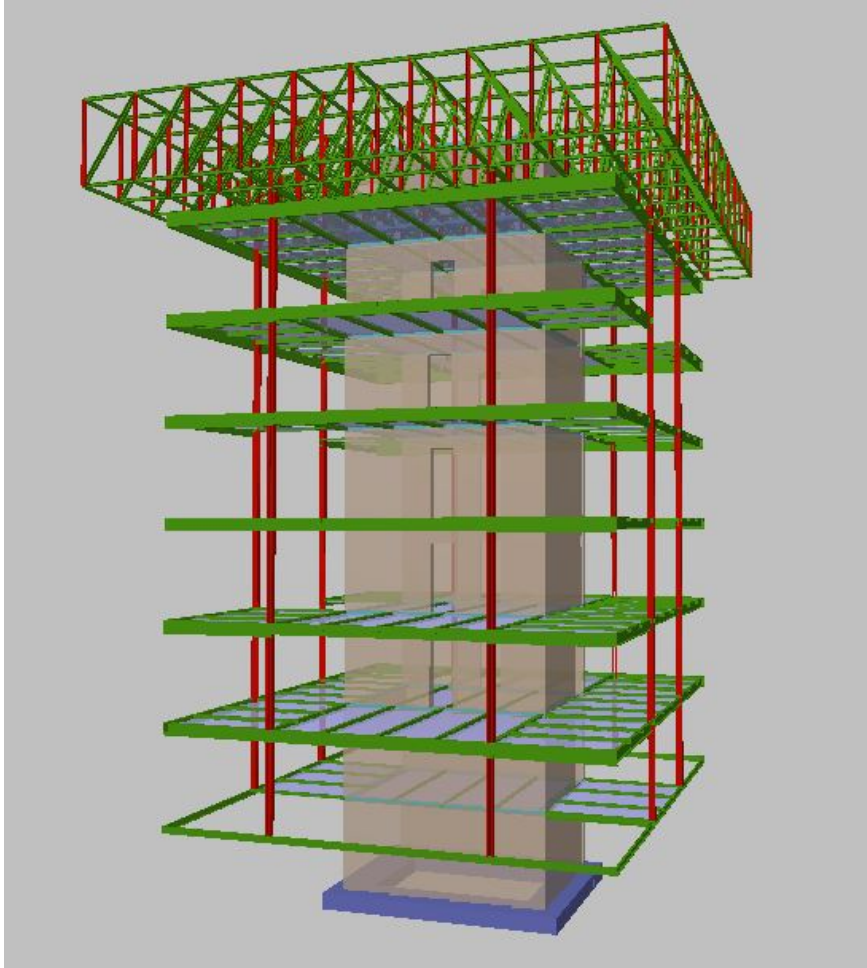
V1a: $0,29 \text{ kN/m}^2$ V1b: $0,43 \text{ kN/m}^2$

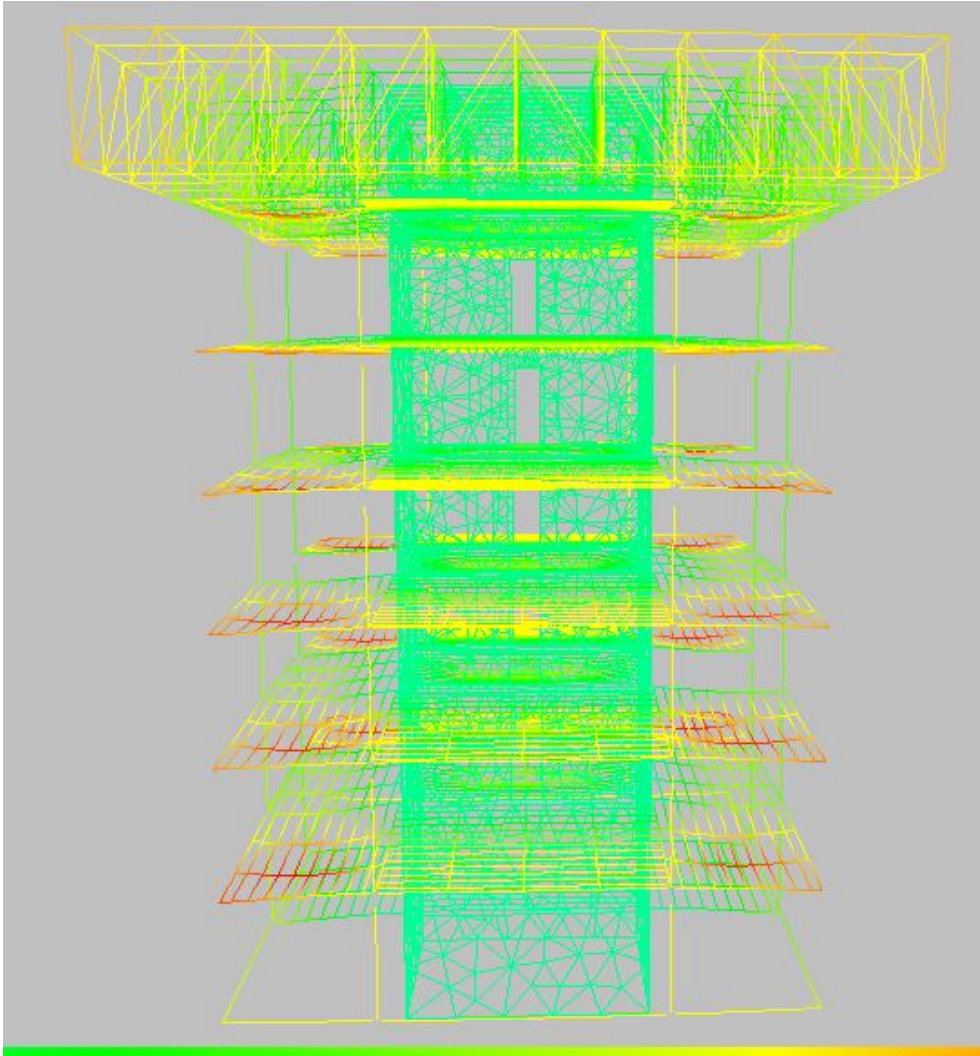
- Nieve (Ni) Para Zaragoza (altitud 210m): $0,50 \text{ kN/m}^2$ No se considera por tratarse de longitudes muy inferiores a los 40m indicados por la norma.

Acciones accidentales (A) No se consideran.



Los muros de HA han sido calculados con una simplificación de los huecos para el paso de instalaciones y apertura de puertas.





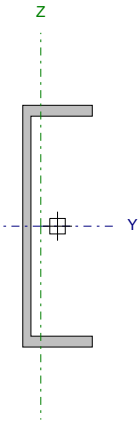
Se observa que el punto más débil de la deformada se encuentra en las esquinas de los forjados en voladizo, donde los perfiles UPE perimetrales deben hacer un esfuerzo mayor.

Esta condición es lo que ha determinado la elección de un perfil tan potente para la estructura colgante.

A continuación se presentan los perfiles obtenidos para el diseño de la estructura según los Estados Límite último y Estados Límite de servicio en las condiciones más desfavorables.

Comprobaciones E.L.U. - Viga P3-P4 (Pórtico 29)

1.- PLANTA 6

Perfil: UPE 400 Material: Acero (S275)										
	Tramo		Luz libre (m)	Características mecánicas						
	Origen	Extremo		Área (cm ²)	I _y ⁽¹⁾ (cm ⁴)	I _z ⁽¹⁾ (cm ⁴)	I _t ⁽²⁾ (cm ⁴)	y _g ⁽³⁾ (mm)	z _g ⁽³⁾ (mm)	
	P3	P4	6.620	91.90	20980.00	1045.00	79.14	-27.70	0.00	
Notas: (1) Inercia respecto al eje indicado (2) Momento de inercia a torsión uniforme (3) Coordenadas del centro de gravedad										
		Pandeo			Pandeo lateral					
		Plano XY	Plano XZ	Ala sup.	Ala inf.					
		β	0.00	0.00	1.00	1.00				
		L _K	0.000	0.000	6.620	6.620				
		C _m	1.000	1.000	1.000	1.000				
		C ₁	-			1.000				
Notación: b: Coeficiente de pandeo L _K : Longitud de pandeo (m) C _m : Coeficiente de momentos C ₁ : Factor de modificación para el momento crítico										

Tramo	COMPROBACIONES (CTE DB SE-A)															Estado
	$\bar{\lambda}$	$\lambda_{w, \text{Cumple}}$	N _t	N _c	M _y	M _z	V _z	V _y	M _y V _z	M _z V _y	NM _y M _z	NM _y M _z V _z	M _t	M _y V _t	M _z V _t	
P3-P4	N.P. ⁽¹⁾	$\lambda_w \leq \lambda_{w, \text{max}}$ Cumple	N _{Ed} = 0.00 N.P. ⁽²⁾	N _{Ed} = 0.00 N.P. ⁽³⁾	η = 65.3	M _{Ed} = 0.00 N.P. ⁽⁴⁾	η = 5.3	V _{Ed} = 0.00 N.P. ⁽⁵⁾	η < 0.1	N.P. ⁽⁶⁾	N.P. ⁽⁷⁾	N.P. ⁽⁸⁾	η < 0.1	η = 5.3	N.P. ⁽⁹⁾	CUMPLE h = 65.3
Notación: I: Limitación de esbeltez I _w : Abolladura del alma inducida por el ala comprimida N _t : Resistencia a tracción N _c : Resistencia a compresión M _y : Resistencia a flexión eje Y M _z : Resistencia a flexión eje Z V _z : Resistencia a corte Z V _y : Resistencia a corte Y M _y V _z : Resistencia a momento flector Y y fuerza cortante Z combinados M _z V _y : Resistencia a momento flector Z y fuerza cortante Y combinados NM _y M _z : Resistencia a flexión y axil combinados NM _y M _z V _z : Resistencia a flexión, axil y cortante combinados M _t : Resistencia a torsión M _y V _t : Resistencia a cortante Z y momento torsor combinados M _z V _t : Resistencia a cortante Y y momento torsor combinados x: Distancia al origen de la barra h: Coeficiente de aprovechamiento (%) N.P.: No procede																
Comprobaciones que no proceden (N.P.): (1) La comprobación no procede, ya que no hay axil de compresión ni de tracción. (2) La comprobación no procede, ya que no hay axil de tracción. (3) La comprobación no procede, ya que no hay axil de compresión. (4) La comprobación no procede, ya que no hay momento flector. (5) La comprobación no procede, ya que no hay esfuerzo cortante. (6) No hay interacción entre momento flector y esfuerzo cortante para ninguna combinación. Por lo tanto, la comprobación no procede. (7) No hay interacción entre axil y momento flector ni entre momentos flectores en ambas direcciones para ninguna combinación. Por lo tanto, la comprobación no procede. (8) No hay interacción entre momento flector, axil y cortante para ninguna combinación. Por lo tanto, la comprobación no procede. (9) No hay interacción entre momento torsor y esfuerzo cortante para ninguna combinación. Por lo tanto, la comprobación no procede.																

Limitación de esbeltez (CTE DB SE-A, Artículos 6.3.1 y 6.3.2.1 - Tabla 6.3)

La comprobación no procede, ya que no hay axil de compresión ni de tracción.

Comprobaciones E.L.U. - Viga P3-P4 (Pórtico 29)

Abolladura del alma inducida por el ala comprimida (Criterio de CYPE Ingenieros, basado en: Eurocódigo 3 EN 1993-1-5: 2006, Artículo 8)

Se debe satisfacer:

$$\frac{h_w}{t_w} \leq k \frac{E}{f_{yf}} \sqrt{\frac{A_w}{A_{fc,ef}}}$$

26.96 ≤ 366.29 ✓

Donde:

h_w : Altura del alma.

h_w : 364.00 mm

t_w : Espesor del alma.

t_w : 13.50 mm

A_w : Área del alma.

A_w : 49.14 cm²

$A_{fc,ef}$: Área reducida del ala comprimida.

$A_{fc,ef}$: 20.70 cm²

k : Coeficiente que depende de la clase de la sección.

k : 0.30

E : Módulo de elasticidad.

E : 2140673 kp/cm²

f_{yf} : Límite elástico del acero del ala comprimida.

f_{yf} : 2701.33 kp/cm²

Siendo:

$$f_{yf} = f_y$$

Resistencia a tracción (CTE DB SE-A, Artículo 6.2.3)

La comprobación no procede, ya que no hay axil de tracción.

Resistencia a compresión (CTE DB SE-A, Artículo 6.2.5)

La comprobación no procede, ya que no hay axil de compresión.

Resistencia a flexión eje Y (CTE DB SE-A, Artículo 6.2.6)

Se debe satisfacer:

$$\eta = \frac{M_{Ed}}{M_{c,Rd}} \leq 1$$

η : 0.217 ✓

$$\eta = \frac{M_{Ed}}{M_{b,Rd}} \leq 1$$

η : 0.653 ✓

Para flexión positiva:

M_{Ed}^+ : Momento flector solicitante de cálculo pésimo.

M_{Ed}^+ : 0.000 t·m

Para flexión negativa:

El esfuerzo solicitante de cálculo pésimo se produce para la combinación de acciones 1.35·PP+1.35·CM+1.5·Qa+0.9·V(-Xexc.+).

M_{Ed}^- : Momento flector solicitante de cálculo pésimo.

M_{Ed}^- : 7.050 t·m

El momento flector resistente de cálculo $M_{c,Rd}$ viene dado por:

$$M_{c,Rd} = W_{pl,y} \cdot f_{yd}$$

$M_{c,Rd}$: 32.493 t·m

Donde:

Clase: Clase de la sección, según la capacidad de deformación y de desarrollo de la resistencia plástica de los elementos planos de una sección a flexión simple.

Clase : 1

$W_{pl,y}$: Módulo resistente plástico correspondiente a la fibra con mayor tensión, para las secciones de clase 1 y 2.

$W_{pl,y}$: 1263.00 cm³

f_{yd} : Resistencia de cálculo del acero.

f_{yd} : 2572.69 kp/cm²

Comprobaciones E.L.U. - Viga P3-P4 (Pórtico 29)

$$f_{yd} = f_y / \gamma_{M0}$$

Siendo:

f_y : Límite elástico. (CTE DB SE-A, Tabla 4.1)

$$f_y : \underline{2701.33} \text{ kp/cm}^2$$

γ_{M0} : Coeficiente parcial de seguridad del material.

$$\gamma_{M0} : \underline{1.05}$$

Resistencia a pandeo lateral: (CTE DB SE-A, Artículo 6.3.3.2)

El momento flector resistente de cálculo $M_{b,Rd}$ viene dado por:

$$M_{b,Rd} = \chi_{LT} \cdot W_{pl,y} \cdot f_{yd}$$

$$M_{b,Rd} : \underline{10.802} \text{ t}\cdot\text{m}$$

Donde:

$W_{pl,y}$: Módulo resistente plástico correspondiente a la fibra con mayor tensión, para las secciones de clase 1 y 2.

$$W_{pl,y} : \underline{1263.00} \text{ cm}^3$$

f_{yd} : Resistencia de cálculo del acero.

$$f_{yd} : \underline{2572.69} \text{ kp/cm}^2$$

$$f_{yd} = f_y / \gamma_{M1}$$

Siendo:

f_y : Límite elástico. (CTE DB SE-A, Tabla 4.1)

$$f_y : \underline{2701.33} \text{ kp/cm}^2$$

γ_{M1} : Coeficiente parcial de seguridad del material.

$$\gamma_{M1} : \underline{1.05}$$

c_{LT} : Factor de reducción por pandeo lateral.

$$\chi_{LT} = \frac{1}{\Phi_{LT} + \sqrt{\Phi_{LT}^2 - \bar{\lambda}_{LT}^2}} \leq 1$$

$$c_{LT} : \underline{0.33}$$

Siendo:

$$\Phi_{LT} = 0.5 \cdot \left[1 + \alpha_{LT} \cdot (\bar{\lambda}_{LT} - 0.2) + \bar{\lambda}_{LT}^2 \right]$$

$$f_{LT} : \underline{1.79}$$

α_{LT} : Coeficiente de imperfección elástica.

$$a_{LT} : \underline{0.76}$$

$$\bar{\lambda}_{LT} = \sqrt{\frac{W_{pl,y} \cdot f_y}{M_{cr}}}$$

$$\bar{\lambda}_{LT} : \underline{1.32}$$

M_{cr} : Momento crítico elástico de pandeo lateral.

$$M_{cr} : \underline{19.654} \text{ t}\cdot\text{m}$$

El momento crítico elástico de pandeo lateral M_{cr} se determina según la teoría de la elasticidad:

$$M_{cr} = \sqrt{M_{LTV}^2 + M_{LTW}^2}$$

Siendo:

M_{LTV} : Componente que representa la resistencia por torsión uniforme de la barra.

$$M_{LTV} = C_1 \cdot \frac{\pi}{L_c} \cdot \sqrt{G \cdot I_t \cdot E \cdot I_z}$$

$$M_{LTV} : \underline{18.143} \text{ t}\cdot\text{m}$$

M_{LTW} : Componente que representa la resistencia por torsión no uniforme de la barra.

$$M_{LTW} = W_{el,y} \cdot \frac{\pi^2 \cdot E}{L_c^2} \cdot C_1 \cdot i_{f,z}^2$$

$$M_{LTW} : \underline{7.557} \text{ t}\cdot\text{m}$$

Siendo:

$W_{el,y}$: Módulo resistente elástico de la sección bruta, obtenido para la fibra más comprimida.

$$W_{el,y} : \underline{1049.00} \text{ cm}^3$$

I_z : Momento de inercia de la sección bruta, respecto al eje Z.

$$I_z : \underline{1045.00} \text{ cm}^4$$

I_t : Momento de inercia a torsión uniforme.

$$I_t : \underline{79.14} \text{ cm}^4$$

E: Módulo de elasticidad.

$$E : \underline{2140673} \text{ kp/cm}^2$$

G: Módulo de elasticidad transversal.

$$G : \underline{825688} \text{ kp/cm}^2$$

Comprobaciones E.L.U. - Viga P3-P4 (Pórtico 29)

L_c^+ : Longitud efectiva de pandeo lateral del ala superior.

$$L_c^+ : \underline{\underline{6.620}} \text{ m}$$

L_c^- : Longitud efectiva de pandeo lateral del ala inferior.

$$L_c^- : \underline{\underline{6.620}} \text{ m}$$

C_1 : Factor que depende de las condiciones de apoyo y de la forma de la ley de momentos flectores sobre la barra.

$$C_1 : \underline{\underline{1.00}}$$

$i_{r,z}$: Radio de giro, respecto al eje de menor inercia de la sección, del soporte formado por el ala comprimida y la tercera parte de la zona comprimida del alma adyacente al ala comprimida.

$$i_{r,z}^+ : \underline{\underline{3.87}} \text{ cm}$$

$$i_{r,z}^- : \underline{\underline{3.87}} \text{ cm}$$

Resistencia a flexión eje Z (CTE DB SE-A, Artículo 6.2.6)

La comprobación no procede, ya que no hay momento flector.

Comprobaciones E.L.U. - Viga P3-P4 (Pórtico 29)

Resistencia a corte Z (CTE DB SE-A, Artículo 6.2.4)

Se debe satisfacer:

$$\eta = \frac{V_{Ed}}{V_{c,Rd}} \leq 1$$

h : 0.053 ✓

El esfuerzo solicitante de cálculo pésimo se produce para la combinación de acciones 1.35·PP+1.35·CM+1.5·Qa+0.9·V(+Xexc.-).

V_{Ed} : Esfuerzo cortante solicitante de cálculo pésimo.

V_{Ed} : 4.393 t

El esfuerzo cortante resistente de cálculo $V_{c,Rd}$ viene dado por:

$$V_{c,Rd} = A_v \cdot \frac{f_{yd}}{\sqrt{3}}$$

$V_{c,Rd}$: 83.432 t

Donde:

A_v : Área transversal a cortante.

A_v : 56.17 cm²

$$A_v = h \cdot t_w$$

Siendo:

h : Canto de la sección.

h : 400.00 mm

t_w : Espesor del alma.

t_w : 13.50 mm

f_{yd} : Resistencia de cálculo del acero.

f_{yd} : 2572.69 kp/cm²

$$f_{yd} = f_y / \gamma_{M0}$$

Siendo:

f_y : Límite elástico. (CTE DB SE-A, Tabla 4.1)

f_y : 2701.33 kp/cm²

γ_{M0} : Coeficiente parcial de seguridad del material.

γ_{M0} : 1.05

Abolladura por cortante del alma: (CTE DB SE-A, Artículo 6.3.3.4)

Aunque no se han dispuesto rigidizadores transversales, no es necesario comprobar la resistencia a la abolladura del alma, puesto que se cumple:

$$\frac{d}{t_w} < 70 \cdot \varepsilon$$

26.96 < 65.92 ✓

Donde:

l_w : Esbeltez del alma.

l_w : 26.96

$$\lambda_w = \frac{d}{t_w}$$

$l_{m\acute{a}x}$: Esbeltez máxima.

$l_{m\acute{a}x}$: 65.92

$$\lambda_{m\acute{a}x} = 70 \cdot \varepsilon$$

e : Factor de reducción.

e : 0.94

$$\varepsilon = \sqrt{\frac{f_{ref}}{f_y}}$$

Siendo:

f_{ref} : Límite elástico de referencia.

f_{ref} : 2395.51 kp/cm²

f_y : Límite elástico. (CTE DB SE-A, Tabla 4.1)

f_y : 2701.33 kp/cm²

Comprobaciones E.L.U. - Viga P3-P4 (Pórtico 29)

Resistencia a corte Y (CTE DB SE-A, Artículo 6.2.4)

La comprobación no procede, ya que no hay esfuerzo cortante.

Resistencia a momento flector Y y fuerza cortante Z combinados (CTE DB SE-A, Artículo 6.2.8)

No es necesario reducir la resistencia de cálculo a flexión, ya que el esfuerzo cortante solicitante de cálculo pésimo V_{Ed} no es superior al 50% de la resistencia de cálculo a cortante $V_{c,Rd}$.

$$V_{Ed} \leq \frac{V_{c,Rd}}{2}$$

$$3.975 \text{ t} \leq 41.716 \text{ t} \quad \checkmark$$

Los esfuerzos solicitantes de cálculo pésimos se producen para la combinación de acciones $1.35 \cdot PP + 1.35 \cdot CM + 1.5 \cdot Qa + 0.9 \cdot V(+Yexc.-)$.

V_{Ed} : Esfuerzo cortante solicitante de cálculo pésimo.

$$V_{Ed} : \underline{3.975} \text{ t}$$

$V_{c,Rd}$: Esfuerzo cortante resistente de cálculo.

$$V_{c,Rd} : \underline{83.432} \text{ t}$$

Resistencia a momento flector Z y fuerza cortante Y combinados (CTE DB SE-A, Artículo 6.2.8)

No hay interacción entre momento flector y esfuerzo cortante para ninguna combinación. Por lo tanto, la comprobación no procede.

Resistencia a flexión y axil combinados (CTE DB SE-A, Artículo 6.2.8)

No hay interacción entre axil y momento flector ni entre momentos flectores en ambas direcciones para ninguna combinación. Por lo tanto, la comprobación no procede.

Resistencia a flexión, axil y cortante combinados (CTE DB SE-A, Artículo 6.2.8)

No hay interacción entre momento flector, axil y cortante para ninguna combinación. Por lo tanto, la comprobación no procede.

Resistencia a torsión (CTE DB SE-A, Artículo 6.2.7)

Se debe satisfacer:

$$\eta = \frac{M_{T,Ed}}{M_{T,Rd}} \leq 1$$

$$h < \underline{0.001} \quad \checkmark$$

El esfuerzo solicitante de cálculo pésimo se produce para la combinación de acciones $1.35 \cdot PP + 1.35 \cdot CM + 1.05 \cdot Qa + 1.5 \cdot V(+Yexc.-)$.

$M_{T,Ed}$: Momento torsor solicitante de cálculo pésimo.

$$M_{T,Ed} : \underline{0.000} \text{ t}\cdot\text{m}$$

El momento torsor resistente de cálculo $M_{T,Rd}$ viene dado por:

$$M_{T,Rd} = \frac{1}{\sqrt{3}} \cdot W_T \cdot f_{yd}$$

$$M_{T,Rd} : \underline{0.653} \text{ t}\cdot\text{m}$$

Donde:

W_T : Módulo de resistencia a torsión.

$$W_T : \underline{43.97} \text{ cm}^3$$

f_{yd} : Resistencia de cálculo del acero.

$$f_{yd} : \underline{2572.69} \text{ kp/cm}^2$$

$$f_{yd} = f_y / \gamma_{M0}$$

Siendo:

f_y : Límite elástico. (CTE DB SE-A, Tabla 4.1)

$$f_y : \underline{2701.33} \text{ kp/cm}^2$$

γ_{M0} : Coeficiente parcial de seguridad del material.

$$\gamma_{M0} : \underline{1.05}$$

Comprobaciones E.L.U. - Viga P3-P4 (Pórtico 29)

Resistencia a cortante Z y momento torsor combinados (CTE DB SE-A, Artículo 6.2.8)

Se debe satisfacer:

$$\eta = \frac{V_{Ed}}{V_{pl,T,Rd}} \leq 1$$

$$h : \underline{0.053} \quad \checkmark$$

Los esfuerzos solicitantes de cálculo pésimos se producen para la combinación de acciones 1.35·PP+1.35·CM+1.5·Qa+0.9·V(+Xexc.-).

V_{Ed} : Esfuerzo cortante solicitante de cálculo pésimo.

$$V_{Ed} : \underline{4.393} \text{ t}$$

$M_{T,Ed}$: Momento torsor solicitante de cálculo pésimo.

$$M_{T,Ed} : \underline{0.000} \text{ t}\cdot\text{m}$$

El esfuerzo cortante resistente de cálculo reducido $V_{pl,T,Rd}$ viene dado por:

$$V_{pl,T,Rd} = \sqrt{1 - \frac{\tau_{T,Ed}}{1.25 \cdot f_{yd} / \sqrt{3}}} \cdot V_{pl,Rd}$$

$$V_{pl,T,Rd} : \underline{83.431} \text{ t}$$

Donde:

$V_{pl,Rd}$: Esfuerzo cortante resistente de cálculo.

$$V_{pl,Rd} : \underline{83.432} \text{ t}$$

$\tau_{T,Ed}$: Tensiones tangenciales por torsión.

$$\tau_{T,Ed} : \underline{0.02} \text{ kp/cm}^2$$

$$\tau_{T,Ed} = \frac{M_{T,Ed}}{W_t}$$

Siendo:

W_t : Módulo de resistencia a torsión.

$$W_t : \underline{43.97} \text{ cm}^3$$

f_{yd} : Resistencia de cálculo del acero.

$$f_{yd} : \underline{2572.69} \text{ kp/cm}^2$$

$$f_{yd} = f_y / \gamma_{M0}$$

Siendo:

f_y : Límite elástico. (CTE DB SE-A, Tabla 4.1)

$$f_y : \underline{2701.33} \text{ kp/cm}^2$$

γ_{M0} : Coeficiente parcial de seguridad del material.

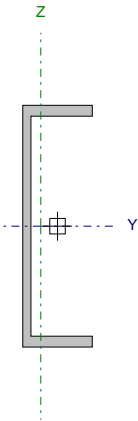
$$\gamma_{M0} : \underline{1.05}$$

Resistencia a cortante Y y momento torsor combinados (CTE DB SE-A, Artículo 6.2.8)

No hay interacción entre momento torsor y esfuerzo cortante para ninguna combinación. Por lo tanto, la comprobación no procede.

Comprobaciones E.L.U. - Viga B110-P1 (Pórtico 1)

1.- PLANTA 6

Perfil: UPE 400 Material: Acero (S275)									
	Tramo		Luz libre (m)	Características mecánicas					
	Origen	Extremo		Área (cm ²)	I _y ⁽¹⁾ (cm ⁴)	I _z ⁽¹⁾ (cm ⁴)	I _t ⁽²⁾ (cm ⁴)	y _g ⁽³⁾ (mm)	z _g ⁽³⁾ (mm)
	B110	P1	5.108	91.90	20980.00	1045.00	79.14	-27.70	0.00
Notas: (1) Inercia respecto al eje indicado (2) Momento de inercia a torsión uniforme (3) Coordenadas del centro de gravedad									
			Pandeo			Pandeo lateral			
			Plano XY	Plano XZ	Ala sup.	Ala inf.			
	β		0.00	0.00	1.00	1.00			
	L _K		0.000	0.000	5.108	5.108			
	C _m		1.000	1.000	1.000	1.000			
	C ₁		-			1.000			
Notación: b: Coeficiente de pandeo L _K : Longitud de pandeo (m) C _m : Coeficiente de momentos C ₁ : Factor de modificación para el momento crítico									

Tramo	COMPROBACIONES (CTE DB SE-A)															Estado
	$\bar{\lambda}$	$\lambda_{w, \max}$	N _t	N _c	M _y	M _z	V _z	V _y	M _y V _z	M _z V _y	NM _y M _z	NM _y M _z V _y V _z	M _t	M _y V _t	M _z V _t	
B110-P1	N.P. ⁽¹⁾	$\lambda_{w, \max} \leq \lambda_w$ Cumple	N _{Ed} = 0.00 N.P. ⁽²⁾	N _{Ed} = 0.00 N.P. ⁽³⁾	$\eta = 69.7$	M _{Ed} = 0.00 N.P. ⁽⁴⁾	$\eta = 5.5$	V _{Ed} = 0.00 N.P. ⁽⁵⁾	$\eta < 0.1$	N.P. ⁽⁶⁾	N.P. ⁽⁷⁾	N.P. ⁽⁸⁾	$\eta = 0.4$	$\eta = 5.5$	N.P. ⁽⁹⁾	CUMPLE h = 69.7
Notación: λ: Limitación de esbeltez λ _w : Abolladura del alma inducida por el ala comprimida N _t : Resistencia a tracción N _c : Resistencia a compresión M _y : Resistencia a flexión eje Y M _z : Resistencia a flexión eje Z V _y : Resistencia a corte Y V _z : Resistencia a corte Z M _y V _z : Resistencia a momento flector Y y fuerza cortante Z combinados M _z V _y : Resistencia a momento flector Z y fuerza cortante Y combinados NM _y M _z : Resistencia a flexión y axil combinados NM _y M _z V _y V _z : Resistencia a flexión, axil y cortante combinados M _t : Resistencia a torsión M _y V _t : Resistencia a cortante Y y momento torsor combinados M _z V _t : Resistencia a cortante Z y momento torsor combinados x: Distancia al origen de la barra h: Coeficiente de aprovechamiento (%) N.P.: No procede																
Comprobaciones que no proceden (N.P.): (1) La comprobación no procede, ya que no hay axil de compresión ni de tracción. (2) La comprobación no procede, ya que no hay axil de tracción. (3) La comprobación no procede, ya que no hay momento flector. (4) La comprobación no procede, ya que no hay esfuerzo cortante. (5) No hay interacción entre momento flector y esfuerzo cortante para ninguna combinación. Por lo tanto, la comprobación no procede. (6) No hay interacción entre axil y momento flector ni entre momentos flectores en ambas direcciones para ninguna combinación. Por lo tanto, la comprobación no procede. (7) No hay interacción entre momento flector, axil y cortante para ninguna combinación. Por lo tanto, la comprobación no procede. (8) No hay interacción entre momento torsor y esfuerzo cortante para ninguna combinación. Por lo tanto, la comprobación no procede.																

Limitación de esbeltez (CTE DB SE-A, Artículos 6.3.1 y 6.3.2.1 - Tabla 6.3)

La comprobación no procede, ya que no hay axil de compresión ni de tracción.

Comprobaciones E.L.U. - Viga B110-P1 (Pórtico 1)

Abolladura del alma inducida por el ala comprimida (Criterio de CYPE Ingenieros, basado en: Eurocódigo 3 EN 1993-1-5: 2006, Artículo 8)

Se debe satisfacer:

$$\frac{h_w}{t_w} \leq k \frac{E}{f_{yf}} \sqrt{\frac{A_w}{A_{fc,ef}}}$$

$$26.96 \leq 366.29 \quad \checkmark$$

Donde:

h_w : Altura del alma.

$$h_w : \underline{364.00} \text{ mm}$$

t_w : Espesor del alma.

$$t_w : \underline{13.50} \text{ mm}$$

A_w : Área del alma.

$$A_w : \underline{49.14} \text{ cm}^2$$

$A_{fc,ef}$: Área reducida del ala comprimida.

$$A_{fc,ef} : \underline{20.70} \text{ cm}^2$$

k : Coeficiente que depende de la clase de la sección.

$$k : \underline{0.30}$$

E : Módulo de elasticidad.

$$E : \underline{2140673} \text{ kp/cm}^2$$

f_{yf} : Límite elástico del acero del ala comprimida.

$$f_{yf} : \underline{2701.33} \text{ kp/cm}^2$$

Siendo:

$$f_{yf} = f_y$$

Resistencia a tracción (CTE DB SE-A, Artículo 6.2.3)

La comprobación no procede, ya que no hay axil de tracción.

Resistencia a compresión (CTE DB SE-A, Artículo 6.2.5)

La comprobación no procede, ya que no hay axil de compresión.

Resistencia a flexión eje Y (CTE DB SE-A, Artículo 6.2.6)

Se debe satisfacer:

$$\eta = \frac{M_{Ed}}{M_{c,Rd}} \leq 1$$

$$h : \underline{0.283} \quad \checkmark$$

$$\eta = \frac{M_{Ed}}{M_{b,Rd}} \leq 1$$

$$h : \underline{0.697} \quad \checkmark$$

Para flexión positiva:

M_{Ed}^+ : Momento flector solicitante de cálculo pésimo.

$$M_{Ed}^+ : \underline{0.000} \text{ t}\cdot\text{m}$$

Para flexión negativa:

El esfuerzo solicitante de cálculo pésimo se produce para la combinación de acciones 1.35·PP+1.35·CM+1.5·Qa+0.9·V(-Yexc.-).

M_{Ed}^- : Momento flector solicitante de cálculo pésimo.

$$M_{Ed}^- : \underline{9.180} \text{ t}\cdot\text{m}$$

El momento flector resistente de cálculo $M_{c,Rd}$ viene dado por:

$$M_{c,Rd} = W_{pl,y} \cdot f_{yd}$$

$$M_{c,Rd} : \underline{32.493} \text{ t}\cdot\text{m}$$

Donde:

Clase: Clase de la sección, según la capacidad de deformación y de desarrollo de la resistencia plástica de los elementos planos de una sección a flexión simple.

$$\text{Clase} : \underline{1}$$

$W_{pl,y}$: Módulo resistente plástico correspondiente a la fibra con mayor tensión, para las secciones de clase 1 y 2.

$$W_{pl,y} : \underline{1263.00} \text{ cm}^3$$

f_{yd} : Resistencia de cálculo del acero.

$$f_{yd} : \underline{2572.69} \text{ kp/cm}^2$$

Comprobaciones E.L.U. - Viga B110-P1 (Pórtico 1)

$$f_{yd} = f_y / \gamma_{M0}$$

Siendo:

f_y : Límite elástico. (CTE DB SE-A, Tabla 4.1)

$$f_y : \underline{2701.33} \text{ kp/cm}^2$$

γ_{M0} : Coeficiente parcial de seguridad del material.

$$\gamma_{M0} : \underline{1.05}$$

Resistencia a pandeo lateral: (CTE DB SE-A, Artículo 6.3.3.2)

El momento flector resistente de cálculo $M_{b,Rd}$ viene dado por:

$$M_{b,Rd} = \chi_{LT} \cdot W_{pl,y} \cdot f_{yd}$$

$$M_{b,Rd} : \underline{13.178} \text{ t}\cdot\text{m}$$

Donde:

$W_{pl,y}$: Módulo resistente plástico correspondiente a la fibra con mayor tensión, para las secciones de clase 1 y 2.

$$W_{pl,y} : \underline{1263.00} \text{ cm}^3$$

f_{yd} : Resistencia de cálculo del acero.

$$f_{yd} : \underline{2572.69} \text{ kp/cm}^2$$

$$f_{yd} = f_y / \gamma_{M1}$$

Siendo:

f_y : Límite elástico. (CTE DB SE-A, Tabla 4.1)

$$f_y : \underline{2701.33} \text{ kp/cm}^2$$

γ_{M1} : Coeficiente parcial de seguridad del material.

$$\gamma_{M1} : \underline{1.05}$$

c_{LT} : Factor de reducción por pandeo lateral.

$$\chi_{LT} = \frac{1}{\Phi_{LT} + \sqrt{\Phi_{LT}^2 - \bar{\lambda}_{LT}^2}} \leq 1$$

$$c_{LT} : \underline{0.41}$$

Siendo:

$$\Phi_{LT} = 0.5 \cdot \left[1 + \alpha_{LT} \cdot (\bar{\lambda}_{LT} - 0.2) + \bar{\lambda}_{LT}^2 \right]$$

$$f_{LT} : \underline{1.49}$$

α_{LT} : Coeficiente de imperfección elástica.

$$a_{LT} : \underline{0.76}$$

$$\bar{\lambda}_{LT} = \sqrt{\frac{W_{pl,y} \cdot f_y}{M_{cr}}}$$

$$\bar{\lambda}_{LT} : \underline{1.13}$$

M_{cr} : Momento crítico elástico de pandeo lateral.

$$M_{cr} : \underline{26.724} \text{ t}\cdot\text{m}$$

El momento crítico elástico de pandeo lateral M_{cr} se determina según la teoría de la elasticidad:

$$M_{cr} = \sqrt{M_{LTV}^2 + M_{LTw}^2}$$

Siendo:

M_{LTV} : Componente que representa la resistencia por torsión uniforme de la barra.

$$M_{LTV} = C_1 \cdot \frac{\pi}{L_c} \cdot \sqrt{G \cdot I_t \cdot E \cdot I_z}$$

$$M_{LTV} : \underline{23.516} \text{ t}\cdot\text{m}$$

M_{LTw} : Componente que representa la resistencia por torsión no uniforme de la barra.

$$M_{LTw} = W_{el,y} \cdot \frac{\pi^2 \cdot E}{L_c^2} \cdot C_1 \cdot i_{f,z}^2$$

$$M_{LTw} : \underline{12.695} \text{ t}\cdot\text{m}$$

Siendo:

$W_{el,y}$: Módulo resistente elástico de la sección bruta, obtenido para la fibra más comprimida.

$$W_{el,y} : \underline{1049.00} \text{ cm}^3$$

I_z : Momento de inercia de la sección bruta, respecto al eje Z.

$$I_z : \underline{1045.00} \text{ cm}^4$$

I_t : Momento de inercia a torsión uniforme.

$$I_t : \underline{79.14} \text{ cm}^4$$

E: Módulo de elasticidad.

$$E : \underline{2140673} \text{ kp/cm}^2$$

G: Módulo de elasticidad transversal.

$$G : \underline{825688} \text{ kp/cm}^2$$

Comprobaciones E.L.U. - Viga B110-P1 (Pórtico 1)

L_c^+ : Longitud efectiva de pandeo lateral del ala superior.

$$L_c^+ : \underline{\quad 5.108 \quad} \text{ m}$$

L_c^- : Longitud efectiva de pandeo lateral del ala inferior.

$$L_c^- : \underline{\quad 5.108 \quad} \text{ m}$$

C_1 : Factor que depende de las condiciones de apoyo y de la forma de la ley de momentos flectores sobre la barra.

$$C_1 : \underline{\quad 1.00 \quad}$$

$i_{r,z}$: Radio de giro, respecto al eje de menor inercia de la sección, del soporte formado por el ala comprimida y la tercera parte de la zona comprimida del alma adyacente al ala comprimida.

$$i_{r,z}^+ : \underline{\quad 3.87 \quad} \text{ cm}$$

$$i_{r,z}^- : \underline{\quad 3.87 \quad} \text{ cm}$$

Resistencia a flexión eje Z (CTE DB SE-A, Artículo 6.2.6)

La comprobación no procede, ya que no hay momento flector.

Comprobaciones E.L.U. - Viga B110-P1 (Pórtico 1)

Resistencia a corte Z (CTE DB SE-A, Artículo 6.2.4)

Se debe satisfacer:

$$\eta = \frac{V_{Ed}}{V_{c,Rd}} \leq 1$$

$$h : \underline{0.055} \quad \checkmark$$

El esfuerzo solicitante de cálculo pésimo se produce para la combinación de acciones 1.35·PP+1.35·CM+1.5·Qa+0.9·V(-Yexc.-).

V_{Ed} : Esfuerzo cortante solicitante de cálculo pésimo.

$$V_{Ed} : \underline{4.606} \text{ t}$$

El esfuerzo cortante resistente de cálculo $V_{c,Rd}$ viene dado por:

$$V_{c,Rd} = A_v \cdot \frac{f_{yd}}{\sqrt{3}}$$

$$V_{c,Rd} : \underline{83.432} \text{ t}$$

Donde:

A_v : Área transversal a cortante.

$$A_v : \underline{56.17} \text{ cm}^2$$

$$A_v = h \cdot t_w$$

Siendo:

h: Canto de la sección.

$$h : \underline{400.00} \text{ mm}$$

t_w : Espesor del alma.

$$t_w : \underline{13.50} \text{ mm}$$

f_{yd} : Resistencia de cálculo del acero.

$$f_{yd} : \underline{2572.69} \text{ kp/cm}^2$$

$$f_{yd} = f_y / \gamma_{M0}$$

Siendo:

f_y : Límite elástico. (CTE DB SE-A, Tabla 4.1)

$$f_y : \underline{2701.33} \text{ kp/cm}^2$$

γ_{M0} : Coeficiente parcial de seguridad del material.

$$\gamma_{M0} : \underline{1.05}$$

Abolladura por cortante del alma: (CTE DB SE-A, Artículo 6.3.3.4)

Aunque no se han dispuesto rigidizadores transversales, no es necesario comprobar la resistencia a la abolladura del alma, puesto que se cumple:

$$\frac{d}{t_w} < 70 \cdot \varepsilon$$

$$26.96 < 65.92 \quad \checkmark$$

Donde:

l_w : Esbeltez del alma.

$$l_w : \underline{26.96}$$

$$\lambda_w = \frac{d}{t_w}$$

$l_{m\acute{a}x}$: Esbeltez máxima.

$$l_{m\acute{a}x} : \underline{65.92}$$

$$\lambda_{m\acute{a}x} = 70 \cdot \varepsilon$$

e: Factor de reducción.

$$e : \underline{0.94}$$

$$\varepsilon = \sqrt{\frac{f_{ref}}{f_y}}$$

Siendo:

f_{ref} : Límite elástico de referencia.

$$f_{ref} : \underline{2395.51} \text{ kp/cm}^2$$

f_y : Límite elástico. (CTE DB SE-A, Tabla 4.1)

$$f_y : \underline{2701.33} \text{ kp/cm}^2$$

Comprobaciones E.L.U. - Viga B110-P1 (Pórtico 1)

Resistencia a corte Y (CTE DB SE-A, Artículo 6.2.4)

La comprobación no procede, ya que no hay esfuerzo cortante.

Resistencia a momento flector Y y fuerza cortante Z combinados (CTE DB SE-A, Artículo 6.2.8)

No es necesario reducir la resistencia de cálculo a flexión, ya que el esfuerzo cortante solicitante de cálculo pésimo V_{Ed} no es superior al 50% de la resistencia de cálculo a cortante $V_{c,Rd}$.

$$V_{Ed} \leq \frac{V_{c,Rd}}{2}$$

$$0.908 \text{ t} \leq 41.716 \text{ t} \quad \checkmark$$

Los esfuerzos solicitantes de cálculo pésimos se producen para la combinación de acciones $1.35 \cdot PP + 1.35 \cdot CM + 1.5 \cdot Qa + 0.9 \cdot V(+Yexc.-)$.

V_{Ed} : Esfuerzo cortante solicitante de cálculo pésimo.

$$V_{Ed} : \underline{0.908} \text{ t}$$

$V_{c,Rd}$: Esfuerzo cortante resistente de cálculo.

$$V_{c,Rd} : \underline{83.432} \text{ t}$$

Resistencia a momento flector Z y fuerza cortante Y combinados (CTE DB SE-A, Artículo 6.2.8)

No hay interacción entre momento flector y esfuerzo cortante para ninguna combinación. Por lo tanto, la comprobación no procede.

Resistencia a flexión y axil combinados (CTE DB SE-A, Artículo 6.2.8)

No hay interacción entre axil y momento flector ni entre momentos flectores en ambas direcciones para ninguna combinación. Por lo tanto, la comprobación no procede.

Resistencia a flexión, axil y cortante combinados (CTE DB SE-A, Artículo 6.2.8)

No hay interacción entre momento flector, axil y cortante para ninguna combinación. Por lo tanto, la comprobación no procede.

Resistencia a torsión (CTE DB SE-A, Artículo 6.2.7)

Se debe satisfacer:

$$\eta = \frac{M_{T,Ed}}{M_{T,Rd}} \leq 1$$

$$\eta : \underline{0.004} \quad \checkmark$$

El esfuerzo solicitante de cálculo pésimo se produce para la combinación de acciones $1.35 \cdot PP + 1.35 \cdot CM + 1.5 \cdot Qa + 0.9 \cdot V(+Yexc.-)$.

$M_{T,Ed}$: Momento torsor solicitante de cálculo pésimo.

$$M_{T,Ed} : \underline{0.003} \text{ t}\cdot\text{m}$$

El momento torsor resistente de cálculo $M_{T,Rd}$ viene dado por:

$$M_{T,Rd} = \frac{1}{\sqrt{3}} \cdot W_T \cdot f_{yd}$$

$$M_{T,Rd} : \underline{0.653} \text{ t}\cdot\text{m}$$

Donde:

W_T : Módulo de resistencia a torsión.

$$W_T : \underline{43.97} \text{ cm}^3$$

f_{yd} : Resistencia de cálculo del acero.

$$f_{yd} : \underline{2572.69} \text{ kp/cm}^2$$

$$f_{yd} = f_y / \gamma_{M0}$$

Siendo:

f_y : Límite elástico. (CTE DB SE-A, Tabla 4.1)

$$f_y : \underline{2701.33} \text{ kp/cm}^2$$

γ_{M0} : Coeficiente parcial de seguridad del material.

$$\gamma_{M0} : \underline{1.05}$$

Comprobaciones E.L.U. - Viga B110-P1 (Pórtico 1)

Resistencia a cortante Z y momento torsor combinados (CTE DB SE-A, Artículo 6.2.8)

Se debe satisfacer:

$$\eta = \frac{V_{Ed}}{V_{pl,T,Rd}} \leq 1$$

$$h : \underline{0.055} \quad \checkmark$$

Los esfuerzos solicitantes de cálculo pésimos se producen para la combinación de acciones 1.35·PP+1.35·CM+1.5·Qa+0.9·V(-Yexc.-).

V_{Ed} : Esfuerzo cortante solicitante de cálculo pésimo.

$$V_{Ed} : \underline{4.606} \text{ t}$$

$M_{T,Ed}$: Momento torsor solicitante de cálculo pésimo.

$$M_{T,Ed} : \underline{0.003} \text{ t}\cdot\text{m}$$

El esfuerzo cortante resistente de cálculo reducido $V_{pl,T,Rd}$ viene dado por:

$$V_{pl,T,Rd} = \sqrt{1 - \frac{\tau_{T,Ed}}{1.25 \cdot f_{yd} / \sqrt{3}}} \cdot V_{pl,Rd}$$

$$V_{pl,T,Rd} : \underline{83.296} \text{ t}$$

Donde:

$V_{pl,Rd}$: Esfuerzo cortante resistente de cálculo.

$$V_{pl,Rd} : \underline{83.432} \text{ t}$$

$\tau_{T,Ed}$: Tensiones tangenciales por torsión.

$$\tau_{T,Ed} : \underline{6.02} \text{ kp/cm}^2$$

$$\tau_{T,Ed} = \frac{M_{T,Ed}}{W_t}$$

Siendo:

W_t : Módulo de resistencia a torsión.

$$W_t : \underline{43.97} \text{ cm}^3$$

f_{yd} : Resistencia de cálculo del acero.

$$f_{yd} : \underline{2572.69} \text{ kp/cm}^2$$

$$f_{yd} = f_y / \gamma_{M0}$$

Siendo:

f_y : Límite elástico. (CTE DB SE-A, Tabla 4.1)

$$f_y : \underline{2701.33} \text{ kp/cm}^2$$

γ_{M0} : Coeficiente parcial de seguridad del material.

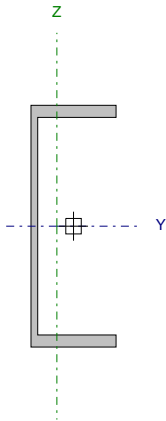
$$\gamma_{M0} : \underline{1.05}$$

Resistencia a cortante Y y momento torsor combinados (CTE DB SE-A, Artículo 6.2.8)

No hay interacción entre momento torsor y esfuerzo cortante para ninguna combinación. Por lo tanto, la comprobación no procede.

Comprobaciones E.L.U. - Viga P1-P2 (Pórtico 1)

1.- PLANTA 1

Perfil: UPE 270 Material: Acero (S275)									
	Tramo		Luz libre (m)	Características mecánicas					
	Origen	Extremo		Área (cm ²)	I _y ⁽¹⁾ (cm ⁴)	I _z ⁽¹⁾ (cm ⁴)	I _t ⁽²⁾ (cm ⁴)	y _g ⁽³⁾ (mm)	z _g ⁽³⁾ (mm)
	P1	P2	4.925	44.80	5255.00	401.00	19.91	-18.60	0.00
Notas: (1) Inercia respecto al eje indicado (2) Momento de inercia a torsión uniforme (3) Coordenadas del centro de gravedad									
		Pandeo			Pandeo lateral				
		Plano XY	Plano XZ	Ala sup.	Ala inf.				
β		0.00	0.00	1.00	1.00				
L _K		0.000	0.000	4.925	4.925				
C _m		1.000	1.000	1.000	1.000				
C ₁		-			1.000				
Notación: b: Coeficiente de pandeo L _K : Longitud de pandeo (m) C _m : Coeficiente de momentos C ₁ : Factor de modificación para el momento crítico									

Tramo	COMPROBACIONES (CTE DB SE-A)															Estado
	$\bar{\lambda}$	λ_{w0}	N _t	N _c	M _y	M _z	V _z	V _y	M _y V _z	M _z V _y	NM _y M _z	NM _y M _z V _z	M _t	M _y V _z	M _z V _y	
P1-P2	N.P. ⁽¹⁾	$\lambda_{w0} \leq \lambda_{w0,max}$ Cumple	N _{Ed} = 0.00 N.P. ⁽²⁾	N _{Ed} = 0.00 N.P. ⁽³⁾	$\eta = 26.3$	M _{Ed} = 0.00 N.P. ⁽⁴⁾	$\eta = 4.3$	V _{Ed} = 0.00 N.P. ⁽⁵⁾	$\eta < 0.1$	N.P. ⁽⁶⁾	N.P. ⁽⁷⁾	N.P. ⁽⁸⁾	$\eta < 0.1$	$\eta = 4.3$	N.P. ⁽⁹⁾	CUMPLE h = 26.3
Notación: I: Limitación de esbeltez I _w : Abolladura del alma inducida por el ala comprimida N _t : Resistencia a tracción N _c : Resistencia a compresión M _y : Resistencia a flexión eje Y M _z : Resistencia a flexión eje Z V _z : Resistencia a corte Z V _y : Resistencia a corte Y M _y V _z : Resistencia a momento flector Y y fuerza cortante Z combinados M _z V _y : Resistencia a momento flector Z y fuerza cortante Y combinados NM _y M _z : Resistencia a flexión y axil combinados NM _y M _z V _z : Resistencia a flexión, axil y cortante combinados M _t : Resistencia a torsión M _y V _z : Resistencia a cortante Z y momento torsor combinados M _z V _y : Resistencia a cortante Y y momento torsor combinados x: Distancia al origen de la barra h: Coeficiente de aprovechamiento (%) N.P.: No procede																
Comprobaciones que no proceden (N.P.): (1) La comprobación no procede, ya que no hay axil de compresión ni de tracción. (2) La comprobación no procede, ya que no hay axil de tracción. (3) La comprobación no procede, ya que no hay axil de compresión. (4) La comprobación no procede, ya que no hay momento flector. (5) La comprobación no procede, ya que no hay esfuerzo cortante. (6) No hay interacción entre momento flector y esfuerzo cortante para ninguna combinación. Por lo tanto, la comprobación no procede. (7) No hay interacción entre axil y momento flector ni entre momentos flectores en ambas direcciones para ninguna combinación. Por lo tanto, la comprobación no procede. (8) No hay interacción entre momento flector, axil y cortante para ninguna combinación. Por lo tanto, la comprobación no procede. (9) No hay interacción entre momento torsor y esfuerzo cortante para ninguna combinación. Por lo tanto, la comprobación no procede.																

Limitación de esbeltez (CTE DB SE-A, Artículos 6.3.1 y 6.3.2.1 - Tabla 6.3)

La comprobación no procede, ya que no hay axil de compresión ni de tracción.

Comprobaciones E.L.U. - Viga P1-P2 (Pórtico 1)

Abolladura del alma inducida por el ala comprimida (Criterio de CYPE Ingenieros, basado en: Eurocódigo 3 EN 1993-1-5: 2006, Artículo 8)

Se debe satisfacer:

$$\frac{h_w}{t_w} \leq k \frac{E}{f_{yf}} \sqrt{\frac{A_w}{A_{fc,ef}}}$$

32.40 ≤ 273.09 ✓

Donde:

h_w : Altura del alma.

h_w : 243.00 mm

t_w : Espesor del alma.

t_w : 7.50 mm

A_w : Área del alma.

A_w : 18.23 cm²

$A_{fc,ef}$: Área reducida del ala comprimida.

$A_{fc,ef}$: 12.83 cm²

k : Coeficiente que depende de la clase de la sección.

k : 0.30

E : Módulo de elasticidad.

E : 2140673 kp/cm²

f_{yf} : Límite elástico del acero del ala comprimida.

f_{yf} : 2803.26 kp/cm²

Siendo:

$$f_{yf} = f_y$$

Resistencia a tracción (CTE DB SE-A, Artículo 6.2.3)

La comprobación no procede, ya que no hay axil de tracción.

Resistencia a compresión (CTE DB SE-A, Artículo 6.2.5)

La comprobación no procede, ya que no hay axil de compresión.

Resistencia a flexión eje Y (CTE DB SE-A, Artículo 6.2.6)

Se debe satisfacer:

$$\eta = \frac{M_{Ed}}{M_{c,Rd}} \leq 1$$

η : 0.096 ✓

$$\eta = \frac{M_{Ed}}{M_{b,Rd}} \leq 1$$

η : 0.263 ✓

Para flexión positiva:

M_{Ed}^+ : Momento flector solicitante de cálculo pésimo.

M_{Ed}^+ : 0.000 t·m

Para flexión negativa:

El esfuerzo solicitante de cálculo pésimo se produce para la combinación de acciones 1.35·PP+1.35·CM+1.5·Qa+0.9·V(-Xexc.+).

M_{Ed}^- : Momento flector solicitante de cálculo pésimo.

M_{Ed}^- : 1.152 t·m

El momento flector resistente de cálculo $M_{c,Rd}$ viene dado por:

$$M_{c,Rd} = W_{pl,y} \cdot f_{yd}$$

$M_{c,Rd}$: 12.043 t·m

Donde:

Clase: Clase de la sección, según la capacidad de deformación y de desarrollo de la resistencia plástica de los elementos planos de una sección a flexión simple.

Clase : 1

$W_{pl,y}$: Módulo resistente plástico correspondiente a la fibra con mayor tensión, para las secciones de clase 1 y 2.

$W_{pl,y}$: 451.10 cm³

f_{yd} : Resistencia de cálculo del acero.

f_{yd} : 2669.77 kp/cm²

Comprobaciones E.L.U. - Viga P1-P2 (Pórtico 1)

$$f_{yd} = f_y / \gamma_{M0}$$

Siendo:

f_y : Límite elástico. (CTE DB SE-A, Tabla 4.1)

$$f_y : \underline{2803.26} \text{ kp/cm}^2$$

γ_{M0} : Coeficiente parcial de seguridad del material.

$$\gamma_{M0} : \underline{1.05}$$

Resistencia a pandeo lateral: (CTE DB SE-A, Artículo 6.3.3.2)

El momento flector resistente de cálculo $M_{b,Rd}$ viene dado por:

$$M_{b,Rd} = \chi_{LT} \cdot W_{pl,y} \cdot f_{yd}$$

$$M_{b,Rd} : \underline{4.373} \text{ t}\cdot\text{m}$$

Donde:

$W_{pl,y}$: Módulo resistente plástico correspondiente a la fibra con mayor tensión, para las secciones de clase 1 y 2.

$$W_{pl,y} : \underline{451.10} \text{ cm}^3$$

f_{yd} : Resistencia de cálculo del acero.

$$f_{yd} : \underline{2669.77} \text{ kp/cm}^2$$

$$f_{yd} = f_y / \gamma_{M1}$$

Siendo:

f_y : Límite elástico. (CTE DB SE-A, Tabla 4.1)

$$f_y : \underline{2803.26} \text{ kp/cm}^2$$

γ_{M1} : Coeficiente parcial de seguridad del material.

$$\gamma_{M1} : \underline{1.05}$$

c_{LT} : Factor de reducción por pandeo lateral.

$$\chi_{LT} = \frac{1}{\Phi_{LT} + \sqrt{\Phi_{LT}^2 - \bar{\lambda}_{LT}^2}} \leq 1$$

$$c_{LT} : \underline{0.36}$$

Siendo:

$$\Phi_{LT} = 0.5 \cdot \left[1 + \alpha_{LT} \cdot (\bar{\lambda}_{LT} - 0.2) + \bar{\lambda}_{LT}^2 \right]$$

$$f_{LT} : \underline{1.65}$$

α_{LT} : Coeficiente de imperfección elástica.

$$a_{LT} : \underline{0.76}$$

$$\bar{\lambda}_{LT} = \sqrt{\frac{W_{pl,y} \cdot f_y}{M_{cr}}}$$

$$\bar{\lambda}_{LT} : \underline{1.23}$$

M_{cr} : Momento crítico elástico de pandeo lateral.

$$M_{cr} : \underline{8.315} \text{ t}\cdot\text{m}$$

El momento crítico elástico de pandeo lateral M_{cr} se determina según la teoría de la elasticidad:

$$M_{cr} = \sqrt{M_{LTV}^2 + M_{LTw}^2}$$

Siendo:

M_{LTV} : Componente que representa la resistencia por torsión uniforme de la barra.

$$M_{LTV} = C_1 \cdot \frac{\pi}{L_c} \cdot \sqrt{G \cdot I_t \cdot E \cdot I_z}$$

$$M_{LTV} : \underline{7.577} \text{ t}\cdot\text{m}$$

M_{LTw} : Componente que representa la resistencia por torsión no uniforme de la barra.

$$M_{LTw} = W_{el,y} \cdot \frac{\pi^2 \cdot E}{L_c^2} \cdot C_1 \cdot i_{f,z}^2$$

$$M_{LTw} : \underline{3.424} \text{ t}\cdot\text{m}$$

Siendo:

$W_{el,y}$: Módulo resistente elástico de la sección bruta, obtenido para la fibra más comprimida.

$$W_{el,y} : \underline{389.26} \text{ cm}^3$$

I_z : Momento de inercia de la sección bruta, respecto al eje Z.

$$I_z : \underline{401.00} \text{ cm}^4$$

I_t : Momento de inercia a torsión uniforme.

$$I_t : \underline{19.91} \text{ cm}^4$$

E: Módulo de elasticidad.

$$E : \underline{2140673} \text{ kp/cm}^2$$

G: Módulo de elasticidad transversal.

$$G : \underline{825688} \text{ kp/cm}^2$$

Comprobaciones E.L.U. - Viga P1-P2 (Pórtico 1)

L_c^+ : Longitud efectiva de pandeo lateral del ala superior.

$$L_c^+ : \underline{\quad 4.925 \quad} \text{ m}$$

L_c^- : Longitud efectiva de pandeo lateral del ala inferior.

$$L_c^- : \underline{\quad 4.925 \quad} \text{ m}$$

C_1 : Factor que depende de las condiciones de apoyo y de la forma de la ley de momentos flectores sobre la barra.

$$C_1 : \underline{\quad 1.00 \quad}$$

$i_{r,z}$: Radio de giro, respecto al eje de menor inercia de la sección, del soporte formado por el ala comprimida y la tercera parte de la zona comprimida del alma adyacente al ala comprimida.

$$i_{r,z}^+ : \underline{\quad 3.18 \quad} \text{ cm}$$

$$i_{r,z}^- : \underline{\quad 3.18 \quad} \text{ cm}$$

Resistencia a flexión eje Z (CTE DB SE-A, Artículo 6.2.6)

La comprobación no procede, ya que no hay momento flector.

Comprobaciones E.L.U. - Viga P1-P2 (Pórtico 1)

Resistencia a corte Z (CTE DB SE-A, Artículo 6.2.4)

Se debe satisfacer:

$$\eta = \frac{V_{Ed}}{V_{c,Rd}} \leq 1$$

$$h : \underline{0.043} \quad \checkmark$$

El esfuerzo solicitante de cálculo pésimo se produce para la combinación de acciones $1.35 \cdot PP + 1.35 \cdot CM + 1.5 \cdot Qa + 0.9 \cdot V(+Xexc. +)$.

V_{Ed} : Esfuerzo cortante solicitante de cálculo pésimo.

$$V_{Ed} : \underline{1.470} \text{ t}$$

El esfuerzo cortante resistente de cálculo $V_{c,Rd}$ viene dado por:

$$V_{c,Rd} = A_v \cdot \frac{f_{yd}}{\sqrt{3}}$$

$$V_{c,Rd} : \underline{34.200} \text{ t}$$

Donde:

A_v : Área transversal a cortante.

$$A_v : \underline{22.19} \text{ cm}^2$$

$$A_v = h \cdot t_w$$

Siendo:

h: Canto de la sección.

$$h : \underline{270.00} \text{ mm}$$

t_w : Espesor del alma.

$$t_w : \underline{7.50} \text{ mm}$$

f_{yd} : Resistencia de cálculo del acero.

$$f_{yd} : \underline{2669.77} \text{ kp/cm}^2$$

$$f_{yd} = f_y / \gamma_{M0}$$

Siendo:

f_y : Límite elástico. (CTE DB SE-A, Tabla 4.1)

$$f_y : \underline{2803.26} \text{ kp/cm}^2$$

γ_{M0} : Coeficiente parcial de seguridad del material.

$$\gamma_{M0} : \underline{1.05}$$

Abolladura por cortante del alma: (CTE DB SE-A, Artículo 6.3.3.4)

Aunque no se han dispuesto rigidizadores transversales, no es necesario comprobar la resistencia a la abolladura del alma, puesto que se cumple:

$$\frac{d}{t_w} < 70 \cdot \varepsilon$$

$$32.40 < 64.71 \quad \checkmark$$

Donde:

l_w : Esbeltez del alma.

$$l_w : \underline{32.40}$$

$$\lambda_w = \frac{d}{t_w}$$

l_{\max} : Esbeltez máxima.

$$l_{\max} : \underline{64.71}$$

$$\lambda_{\max} = 70 \cdot \varepsilon$$

e: Factor de reducción.

$$e : \underline{0.92}$$

$$\varepsilon = \sqrt{\frac{f_{ref}}{f_y}}$$

Siendo:

f_{ref} : Límite elástico de referencia.

$$f_{ref} : \underline{2395.51} \text{ kp/cm}^2$$

f_y : Límite elástico. (CTE DB SE-A, Tabla 4.1)

$$f_y : \underline{2803.26} \text{ kp/cm}^2$$

Comprobaciones E.L.U. - Viga P1-P2 (Pórtico 1)

Resistencia a corte Y (CTE DB SE-A, Artículo 6.2.4)

La comprobación no procede, ya que no hay esfuerzo cortante.

Resistencia a momento flector Y y fuerza cortante Z combinados (CTE DB SE-A, Artículo 6.2.8)

No es necesario reducir la resistencia de cálculo a flexión, ya que el esfuerzo cortante solicitante de cálculo pésimo V_{Ed} no es superior al 50% de la resistencia de cálculo a cortante $V_{c,Rd}$.

$$V_{Ed} \leq \frac{V_{c,Rd}}{2}$$

$$1.470 \text{ t} \leq 17.100 \text{ t} \quad \checkmark$$

Los esfuerzos solicitantes de cálculo pésimos se producen para la combinación de acciones $1.35 \cdot PP + 1.35 \cdot CM + 1.5 \cdot Qa + 0.9 \cdot V(+Xexc. +)$.

V_{Ed} : Esfuerzo cortante solicitante de cálculo pésimo.

$$V_{Ed} : \underline{1.470} \text{ t}$$

$V_{c,Rd}$: Esfuerzo cortante resistente de cálculo.

$$V_{c,Rd} : \underline{34.200} \text{ t}$$

Resistencia a momento flector Z y fuerza cortante Y combinados (CTE DB SE-A, Artículo 6.2.8)

No hay interacción entre momento flector y esfuerzo cortante para ninguna combinación. Por lo tanto, la comprobación no procede.

Resistencia a flexión y axil combinados (CTE DB SE-A, Artículo 6.2.8)

No hay interacción entre axil y momento flector ni entre momentos flectores en ambas direcciones para ninguna combinación. Por lo tanto, la comprobación no procede.

Resistencia a flexión, axil y cortante combinados (CTE DB SE-A, Artículo 6.2.8)

No hay interacción entre momento flector, axil y cortante para ninguna combinación. Por lo tanto, la comprobación no procede.

Resistencia a torsión (CTE DB SE-A, Artículo 6.2.7)

Se debe satisfacer:

$$\eta = \frac{M_{T,Ed}}{M_{T,Rd}} \leq 1$$

$$h < \underline{0.001} \quad \checkmark$$

El esfuerzo solicitante de cálculo pésimo se produce para la combinación de acciones $1.35 \cdot PP + 1.35 \cdot CM + 1.5 \cdot V(+Xexc. +)$.

$M_{T,Ed}$: Momento torsor solicitante de cálculo pésimo.

$$M_{T,Ed} : \underline{0.000} \text{ t}\cdot\text{m}$$

El momento torsor resistente de cálculo $M_{T,Rd}$ viene dado por:

$$M_{T,Rd} = \frac{1}{\sqrt{3}} \cdot W_T \cdot f_{yd}$$

$$M_{T,Rd} : \underline{0.227} \text{ t}\cdot\text{m}$$

Donde:

W_T : Módulo de resistencia a torsión.

$$W_T : \underline{14.75} \text{ cm}^3$$

f_{yd} : Resistencia de cálculo del acero.

$$f_{yd} : \underline{2669.77} \text{ kp/cm}^2$$

$$f_{yd} = f_y / \gamma_{M0}$$

Siendo:

f_y : Límite elástico. (CTE DB SE-A, Tabla 4.1)

$$f_y : \underline{2803.26} \text{ kp/cm}^2$$

γ_{M0} : Coeficiente parcial de seguridad del material.

$$\gamma_{M0} : \underline{1.05}$$

Comprobaciones E.L.U. - Viga P1-P2 (Pórtico 1)

Resistencia a cortante Z y momento torsor combinados (CTE DB SE-A, Artículo 6.2.8)

Se debe satisfacer:

$$\eta = \frac{V_{Ed}}{V_{pl,T,Rd}} \leq 1$$

$$h : \underline{0.043} \quad \checkmark$$

Los esfuerzos solicitantes de cálculo pésimos se producen para la combinación de acciones 1.35·PP+1.35·CM+1.5·Qa+0.9·V(+Xexc.+).

V_{Ed} : Esfuerzo cortante solicitante de cálculo pésimo.

$$V_{Ed} : \underline{1.470} \text{ t}$$

$M_{T,Ed}$: Momento torsor solicitante de cálculo pésimo.

$$M_{T,Ed} : \underline{0.000} \text{ t}\cdot\text{m}$$

El esfuerzo cortante resistente de cálculo reducido $V_{pl,T,Rd}$ viene dado por:

$$V_{pl,T,Rd} = \sqrt{1 - \frac{\tau_{T,Ed}}{1.25 \cdot f_{yd} / \sqrt{3}}} \cdot V_{pl,Rd}$$

$$V_{pl,T,Rd} : \underline{34.200} \text{ t}$$

Donde:

$V_{pl,Rd}$: Esfuerzo cortante resistente de cálculo.

$$V_{pl,Rd} : \underline{34.200} \text{ t}$$

$\tau_{T,Ed}$: Tensiones tangenciales por torsión.

$$\tau_{T,Ed} : \underline{0.01} \text{ kp/cm}^2$$

$$\tau_{T,Ed} = \frac{M_{T,Ed}}{W_t}$$

Siendo:

W_t : Módulo de resistencia a torsión.

$$W_t : \underline{14.75} \text{ cm}^3$$

f_{yd} : Resistencia de cálculo del acero.

$$f_{yd} : \underline{2669.77} \text{ kp/cm}^2$$

$$f_{yd} = f_y / \gamma_{M0}$$

Siendo:

f_y : Límite elástico. (CTE DB SE-A, Tabla 4.1)

$$f_y : \underline{2803.26} \text{ kp/cm}^2$$

γ_{M0} : Coeficiente parcial de seguridad del material.

$$\gamma_{M0} : \underline{1.05}$$

Resistencia a cortante Y y momento torsor combinados (CTE DB SE-A, Artículo 6.2.8)

No hay interacción entre momento torsor y esfuerzo cortante para ninguna combinación. Por lo tanto, la comprobación no procede.

Comprobaciones E.L.U. - Viga P2-M5 (Pórtico 23)

1.- PLANTA 6

Perfil: HE 180 B Material: Acero (S275)						
Origen	Extremo	Luz libre (m)	Características mecánicas			
			Área (cm ²)	I _y ⁽¹⁾ (cm ⁴)	I _z ⁽¹⁾ (cm ⁴)	I _t ⁽²⁾ (cm ⁴)
P2	M5	3.440	65.30	3831.00	1363.00	42.16
Notas: ⁽¹⁾ Inercia respecto al eje indicado ⁽²⁾ Momento de inercia a torsión uniforme						
		Pandeo		Pandeo lateral		
		Plano XY	Plano XZ	Ala sup.	Ala inf.	
β		0.00	0.00	0.00	1.00	
L _k		0.000	0.000	0.000	3.440	
C _m		1.000	1.000	1.000	1.000	
C ₁		-		1.000		
Notación: b: Coeficiente de pandeo L _k : Longitud de pandeo (m) C _m : Coeficiente de momentos C ₁ : Factor de modificación para el momento crítico						

Tramo	COMPROBACIONES (CTE DB SE-A)														Estado	
	$\bar{\lambda}$	$\lambda_w \leq \lambda_{w,max}$ Cumple	N _t	N _c	M _y	M _z	V _z	V _y	M _y V _z	M _z V _y	NM _y M _z	NM _y V _y V _z	M _t	M _t V _z		M _t V _y
P2-M5	N.P. ⁽¹⁾	Cumple	N _{Ed} = 0.00 N.P. ⁽²⁾	N _{Ed} = 0.00 N.P. ⁽³⁾	$\eta = 36.0$	M _{Ed} = 0.00 N.P. ⁽⁴⁾	$\eta = 10.1$	V _{Ed} = 0.00 N.P. ⁽⁵⁾	$\eta < 0.1$	N.P. ⁽⁶⁾	N.P. ⁽⁷⁾	N.P. ⁽⁸⁾	$\eta = 3.7$	$\eta = 10.3$	N.P. ⁽⁹⁾	CUMPLE h = 36.0
Notación: I: Limitación de esbeltez I _w : Abolladura del alma inducida por el ala comprimida N _t : Resistencia a tracción N _c : Resistencia a compresión M _y : Resistencia a flexión eje Y M _z : Resistencia a flexión eje Z V _z : Resistencia a corte Z V _y : Resistencia a corte Y M _y V _z : Resistencia a momento flector Y y fuerza cortante Z combinados M _z V _y : Resistencia a momento flector Z y fuerza cortante Y combinados NM _y M _z : Resistencia a flexión y axil combinados NM _y V _y V _z : Resistencia a flexión, axil y cortante combinados M _t : Resistencia a torsión M _t V _z : Resistencia a cortante Z y momento torsor combinados M _t V _y : Resistencia a cortante Y y momento torsor combinados x: Distancia al origen de la barra h: Coeficiente de aprovechamiento (%) N.P.: No procede																
Comprobaciones que no proceden (N.P.): ⁽¹⁾ La comprobación no procede, ya que no hay axil de compresión ni de tracción. ⁽²⁾ La comprobación no procede, ya que no hay axil de tracción. ⁽³⁾ La comprobación no procede, ya que no hay axil de compresión. ⁽⁴⁾ La comprobación no procede, ya que no hay momento flector. ⁽⁵⁾ La comprobación no procede, ya que no hay esfuerzo cortante. ⁽⁶⁾ No hay interacción entre momento flector y esfuerzo cortante para ninguna combinación. Por lo tanto, la comprobación no procede. ⁽⁷⁾ No hay interacción entre axil y momento flector ni entre momentos flectores en ambas direcciones para ninguna combinación. Por lo tanto, la comprobación no procede. ⁽⁸⁾ No hay interacción entre momento flector, axil y cortante para ninguna combinación. Por lo tanto, la comprobación no procede. ⁽⁹⁾ No hay interacción entre momento torsor y esfuerzo cortante para ninguna combinación. Por lo tanto, la comprobación no procede.																

Limitación de esbeltez (CTE DB SE-A, Artículos 6.3.1 y 6.3.2.1 - Tabla 6.3)

La comprobación no procede, ya que no hay axil de compresión ni de tracción.

Comprobaciones E.L.U. - Viga P2-M5 (Pórtico 23)

Abolladura del alma inducida por el ala comprimida (Criterio de CYPE Ingenieros, basado en: Eurocódigo 3 EN 1993-1-5: 2006, Artículo 8)

Se debe satisfacer:

$$\frac{h_w}{t_w} \leq k \frac{E}{f_{yf}} \sqrt{\frac{A_w}{A_{fc,ef}}}$$

$$17.88 \leq 164.04 \quad \checkmark$$

Donde:

h_w : Altura del alma.

$$h_w : \underline{152.00} \text{ mm}$$

t_w : Espesor del alma.

$$t_w : \underline{8.50} \text{ mm}$$

A_w : Área del alma.

$$A_w : \underline{12.92} \text{ cm}^2$$

$A_{fc,ef}$: Área reducida del ala comprimida.

$$A_{fc,ef} : \underline{25.20} \text{ cm}^2$$

k : Coeficiente que depende de la clase de la sección.

$$k : \underline{0.30}$$

E : Módulo de elasticidad.

$$E : \underline{2140673} \text{ kp/cm}^2$$

f_{yf} : Límite elástico del acero del ala comprimida.

$$f_{yf} : \underline{2803.26} \text{ kp/cm}^2$$

Siendo:

$$f_{yf} = f_y$$

Resistencia a tracción (CTE DB SE-A, Artículo 6.2.3)

La comprobación no procede, ya que no hay axil de tracción.

Resistencia a compresión (CTE DB SE-A, Artículo 6.2.5)

La comprobación no procede, ya que no hay axil de compresión.

Resistencia a flexión eje Y (CTE DB SE-A, Artículo 6.2.6)

Se debe satisfacer:

$$\eta = \frac{M_{Ed}}{M_{c,Rd}} \leq 1$$

$$h : \underline{0.317} \quad \checkmark$$

$$\eta = \frac{M_{Ed}}{M_{b,Rd}} \leq 1$$

$$h : \underline{0.360} \quad \checkmark$$

Para flexión positiva:

M_{Ed}^+ : Momento flector solicitante de cálculo pésimo.

$$M_{Ed}^+ : \underline{0.000} \text{ t}\cdot\text{m}$$

Para flexión negativa:

El esfuerzo solicitante de cálculo pésimo se produce para la combinación de acciones $1.35 \cdot PP + 1.35 \cdot CM + 1.5 \cdot Qa + 0.9 \cdot V(+Xexc.-)$.

M_{Ed}^- : Momento flector solicitante de cálculo pésimo.

$$M_{Ed}^- : \underline{4.076} \text{ t}\cdot\text{m}$$

El momento flector resistente de cálculo $M_{c,Rd}$ viene dado por:

$$M_{c,Rd} = W_{pl,y} \cdot f_{yd}$$

$$M_{c,Rd} : \underline{12.852} \text{ t}\cdot\text{m}$$

Donde:

Clase: Clase de la sección, según la capacidad de deformación y de desarrollo de la resistencia plástica de los elementos planos de una sección a flexión simple.

$$\text{Clase} : \underline{1}$$

$W_{pl,y}$: Módulo resistente plástico correspondiente a la fibra con mayor tensión, para las secciones de clase 1 y 2.

$$W_{pl,y} : \underline{481.40} \text{ cm}^3$$

f_{yd} : Resistencia de cálculo del acero.

$$f_{yd} : \underline{2669.77} \text{ kp/cm}^2$$

Comprobaciones E.L.U. - Viga P2-M5 (Pórtico 23)

$$f_{yd} = f_y / \gamma_{M0}$$

Siendo:

f_y : Límite elástico. (CTE DB SE-A, Tabla 4.1)

γ_{M0} : Coeficiente parcial de seguridad del material.

$$f_y : \underline{2803.26} \text{ kp/cm}^2$$

$$\gamma_{M0} : \underline{1.05}$$

Resistencia a pandeo lateral: (CTE DB SE-A, Artículo 6.3.3.2)

El momento flector resistente de cálculo $M_{b,Rd}$ viene dado por:

$$M_{b,Rd}^+ = \chi_{LT} \cdot W_{pl,y}^+ \cdot f_{yd}$$

$$M_{b,Rd}^+ : \underline{12.852} \text{ t}\cdot\text{m}$$

$$M_{b,Rd}^- = \chi_{LT} \cdot W_{pl,y}^- \cdot f_{yd}$$

$$M_{b,Rd}^- : \underline{11.321} \text{ t}\cdot\text{m}$$

Donde:

$W_{pl,y}$: Módulo resistente plástico correspondiente a la fibra con mayor tensión, para las secciones de clase 1 y 2.

$$W_{pl,y} : \underline{481.40} \text{ cm}^3$$

f_{yd} : Resistencia de cálculo del acero.

$$f_{yd} : \underline{2669.77} \text{ kp/cm}^2$$

$$f_{yd} = f_y / \gamma_{M1}$$

Siendo:

f_y : Límite elástico. (CTE DB SE-A, Tabla 4.1)

γ_{M1} : Coeficiente parcial de seguridad del material.

$$f_y : \underline{2803.26} \text{ kp/cm}^2$$

$$\gamma_{M1} : \underline{1.05}$$

c_{LT} : Factor de reducción por pandeo lateral.

$$\chi_{LT} = \frac{1}{\Phi_{LT} + \sqrt{\Phi_{LT}^2 - \bar{\lambda}_{LT}^2}} \leq 1$$

$$c_{LT}^+ : \underline{1.00}$$

$$c_{LT}^- : \underline{0.88}$$

Siendo:

$$\Phi_{LT} = 0.5 \cdot \left[1 + \alpha_{LT} \cdot (\bar{\lambda}_{LT} - 0.2) + \bar{\lambda}_{LT}^2 \right]$$

$$f_{LT}^+ : \underline{0.00}$$

$$f_{LT}^- : \underline{0.74}$$

α_{LT} : Coeficiente de imperfección elástica.

$$a_{LT} : \underline{0.21}$$

$\bar{\lambda}_{LT}$: Esbeltez reducida.

$$\bar{\lambda}_{LT}^+ = \sqrt{\frac{W_{pl,y}^+ \cdot f_y}{M_{cr}}}$$

$$\bar{\lambda}_{LT}^+ : \underline{0.00}$$

$$\bar{\lambda}_{LT}^- = \sqrt{\frac{W_{pl,y}^- \cdot f_y}{M_{cr}}}$$

$$\bar{\lambda}_{LT}^- : \underline{0.62}$$

M_{cr} : Momento crítico elástico de pandeo lateral.

$$M_{cr}^+ : \underline{\infty}$$

$$M_{cr}^- : \underline{34.706} \text{ t}\cdot\text{m}$$

El momento crítico elástico de pandeo lateral M_{cr} se determina según la teoría de la elasticidad:

$$M_{cr} = \sqrt{M_{LTV}^2 + M_{LTw}^2}$$

Siendo:

M_{LTV} : Componente que representa la resistencia por torsión uniforme de la barra.

$$M_{LTV} = C_1 \cdot \frac{\pi}{L_c} \cdot \sqrt{G \cdot I_t \cdot E \cdot I_z}$$

$$M_{LTV}^+ : \underline{\infty}$$

$$M_{LTV}^- : \underline{29.104} \text{ t}\cdot\text{m}$$

M_{LTw} : Componente que representa la resistencia por torsión no uniforme de la barra.

$$M_{LTw} = W_{el,y} \cdot \frac{\pi^2 \cdot E}{L_c^2} \cdot C_1 \cdot i_{f,z}^2$$

$$M_{LTw}^+ : \underline{\infty}$$

Comprobaciones E.L.U. - Viga P2-M5 (Pórtico 23)

Siendo:

$W_{el,y}$: Módulo resistente elástico de la sección bruta, obtenido para la fibra más comprimida.

I_z : Momento de inercia de la sección bruta, respecto al eje Z.

I_t : Momento de inercia a torsión uniforme.

E: Módulo de elasticidad.

G: Módulo de elasticidad transversal.

L_c^+ : Longitud efectiva de pandeo lateral del ala superior.

L_c^- : Longitud efectiva de pandeo lateral del ala inferior.

C_1 : Factor que depende de las condiciones de apoyo y de la forma de la ley de momentos flectores sobre la barra.

$i_{r,z}$: Radio de giro, respecto al eje de menor inercia de la sección, del soporte formado por el ala comprimida y la tercera parte de la zona comprimida del alma adyacente al ala comprimida.

$$M_{LTW}^- : \underline{18.906} \text{ t}\cdot\text{m}$$

$$W_{el,y} : \underline{425.67} \text{ cm}^3$$

$$I_z : \underline{1363.00} \text{ cm}^4$$

$$I_t : \underline{42.16} \text{ cm}^4$$

$$E : \underline{2140673} \text{ kp/cm}^2$$

$$G : \underline{825688} \text{ kp/cm}^2$$

$$L_c^+ : \underline{0.000} \text{ m}$$

$$L_c^- : \underline{3.440} \text{ m}$$

$$C_1 : \underline{1.00}$$

$$i_{r,z}^+ : \underline{4.99} \text{ cm}$$

$$i_{r,z}^- : \underline{4.99} \text{ cm}$$

Resistencia a flexión eje Z (CTE DB SE-A, Artículo 6.2.6)

La comprobación no procede, ya que no hay momento flector.

Comprobaciones E.L.U. - Viga P2-M5 (Pórtico 23)

Resistencia a corte Z (CTE DB SE-A, Artículo 6.2.4)

Se debe satisfacer:

$$\eta = \frac{V_{Ed}}{V_{c,Rd}} \leq 1$$

$$h : \underline{0.101} \quad \checkmark$$

El esfuerzo solicitante de cálculo pésimo se produce para la combinación de acciones 1.35·PP+1.35·CM+1.5·Qa+0.9·V(+Xexc.-).

V_{Ed} : Esfuerzo cortante solicitante de cálculo pésimo.

$$V_{Ed} : \underline{3.158} \text{ t}$$

El esfuerzo cortante resistente de cálculo $V_{c,Rd}$ viene dado por:

$$V_{c,Rd} = A_v \cdot \frac{f_{yd}}{\sqrt{3}}$$

$$V_{c,Rd} : \underline{31.275} \text{ t}$$

Donde:

A_v : Área transversal a cortante.

$$A_v : \underline{20.29} \text{ cm}^2$$

$$A_v = h \cdot t_w$$

Siendo:

h: Canto de la sección.

$$h : \underline{180.00} \text{ mm}$$

t_w : Espesor del alma.

$$t_w : \underline{8.50} \text{ mm}$$

f_{yd} : Resistencia de cálculo del acero.

$$f_{yd} : \underline{2669.77} \text{ kp/cm}^2$$

$$f_{yd} = f_y / \gamma_{M0}$$

Siendo:

f_y : Límite elástico. (CTE DB SE-A, Tabla 4.1)

$$f_y : \underline{2803.26} \text{ kp/cm}^2$$

γ_{M0} : Coeficiente parcial de seguridad del material.

$$\gamma_{M0} : \underline{1.05}$$

Abolladura por cortante del alma: (CTE DB SE-A, Artículo 6.3.3.4)

Aunque no se han dispuesto rigidizadores transversales, no es necesario comprobar la resistencia a la abolladura del alma, puesto que se cumple:

$$\frac{d}{t_w} < 70 \cdot \varepsilon$$

$$14.35 < 64.71 \quad \checkmark$$

Donde:

l_w : Esbeltez del alma.

$$l_w : \underline{14.35}$$

$$\lambda_w = \frac{d}{t_w}$$

l_{\max} : Esbeltez máxima.

$$l_{\max} : \underline{64.71}$$

$$\lambda_{\max} = 70 \cdot \varepsilon$$

e: Factor de reducción.

$$e : \underline{0.92}$$

$$\varepsilon = \sqrt{\frac{f_{ref}}{f_y}}$$

Siendo:

f_{ref} : Límite elástico de referencia.

$$f_{ref} : \underline{2395.51} \text{ kp/cm}^2$$

f_y : Límite elástico. (CTE DB SE-A, Tabla 4.1)

$$f_y : \underline{2803.26} \text{ kp/cm}^2$$

Comprobaciones E.L.U. - Viga P2-M5 (Pórtico 23)

Resistencia a corte Y (CTE DB SE-A, Artículo 6.2.4)

La comprobación no procede, ya que no hay esfuerzo cortante.

Resistencia a momento flector Y y fuerza cortante Z combinados (CTE DB SE-A, Artículo 6.2.8)

No es necesario reducir la resistencia de cálculo a flexión, ya que el esfuerzo cortante solicitante de cálculo pésimo V_{Ed} no es superior al 50% de la resistencia de cálculo a cortante $V_{c,Rd}$.

$$V_{Ed} \leq \frac{V_{c,Rd}}{2}$$

$$0.964 \text{ t} \leq 15.637 \text{ t} \quad \checkmark$$

Los esfuerzos solicitantes de cálculo pésimos se producen para la combinación de acciones $1.35 \cdot PP + 1.35 \cdot CM + 1.5 \cdot Qa + 0.9 \cdot V(-Yexc. +)$.

V_{Ed} : Esfuerzo cortante solicitante de cálculo pésimo.

$$V_{Ed} : \underline{0.964} \text{ t}$$

$V_{c,Rd}$: Esfuerzo cortante resistente de cálculo.

$$V_{c,Rd} : \underline{31.275} \text{ t}$$

Resistencia a momento flector Z y fuerza cortante Y combinados (CTE DB SE-A, Artículo 6.2.8)

No hay interacción entre momento flector y esfuerzo cortante para ninguna combinación. Por lo tanto, la comprobación no procede.

Resistencia a flexión y axil combinados (CTE DB SE-A, Artículo 6.2.8)

No hay interacción entre axil y momento flector ni entre momentos flectores en ambas direcciones para ninguna combinación. Por lo tanto, la comprobación no procede.

Resistencia a flexión, axil y cortante combinados (CTE DB SE-A, Artículo 6.2.8)

No hay interacción entre momento flector, axil y cortante para ninguna combinación. Por lo tanto, la comprobación no procede.

Resistencia a torsión (CTE DB SE-A, Artículo 6.2.7)

Se debe satisfacer:

$$\eta = \frac{M_{T,Ed}}{M_{T,Rd}} \leq 1$$

$$h : \underline{0.037} \quad \checkmark$$

El esfuerzo solicitante de cálculo pésimo se produce para la combinación de acciones $1.35 \cdot PP + 1.35 \cdot CM + 1.5 \cdot Qa + 0.9 \cdot V(-Xexc.-)$.

$M_{T,Ed}$: Momento torsor solicitante de cálculo pésimo.

$$M_{T,Ed} : \underline{0.017} \text{ t}\cdot\text{m}$$

El momento torsor resistente de cálculo $M_{T,Rd}$ viene dado por:

$$M_{T,Rd} = \frac{1}{\sqrt{3}} \cdot W_T \cdot f_{yd}$$

$$M_{T,Rd} : \underline{0.464} \text{ t}\cdot\text{m}$$

Donde:

W_T : Módulo de resistencia a torsión.

$$W_T : \underline{30.11} \text{ cm}^3$$

f_{yd} : Resistencia de cálculo del acero.

$$f_{yd} : \underline{2669.77} \text{ kp/cm}^2$$

$$f_{yd} = f_y / \gamma_{M0}$$

Siendo:

f_y : Límite elástico. (CTE DB SE-A, Tabla 4.1)

$$f_y : \underline{2803.26} \text{ kp/cm}^2$$

γ_{M0} : Coeficiente parcial de seguridad del material.

$$\gamma_{M0} : \underline{1.05}$$

Comprobaciones E.L.U. - Viga P2-M5 (Pórtico 23)

Resistencia a cortante Z y momento torsor combinados (CTE DB SE-A, Artículo 6.2.8)

Se debe satisfacer:

$$\eta = \frac{V_{Ed}}{V_{pl,T,Rd}} \leq 1$$

$$h : \underline{0.103} \quad \checkmark$$

Los esfuerzos solicitantes de cálculo pésimos se producen para la combinación de acciones 1.35·PP+1.35·CM+1.5·Qa+0.9·V(+Xexc.-).

V_{Ed} : Esfuerzo cortante solicitante de cálculo pésimo.

$$V_{Ed} : \underline{3.158} \text{ t}$$

$M_{T,Ed}$: Momento torsor solicitante de cálculo pésimo.

$$M_{T,Ed} : \underline{0.017} \text{ t}\cdot\text{m}$$

El esfuerzo cortante resistente de cálculo reducido $V_{pl,T,Rd}$ viene dado por:

$$V_{pl,T,Rd} = \sqrt{1 - \frac{\tau_{T,Ed}}{1.25 \cdot f_{yd} / \sqrt{3}}} \cdot V_{pl,Rd}$$

$$V_{pl,T,Rd} : \underline{30.805} \text{ t}$$

Donde:

$V_{pl,Rd}$: Esfuerzo cortante resistente de cálculo.

$$V_{pl,Rd} : \underline{31.275} \text{ t}$$

$\tau_{T,Ed}$: Tensiones tangenciales por torsión.

$$\tau_{T,Ed} : \underline{57.48} \text{ kp/cm}^2$$

$$\tau_{T,Ed} = \frac{M_{T,Ed}}{W_t}$$

Siendo:

W_t : Módulo de resistencia a torsión.

$$W_t : \underline{30.11} \text{ cm}^3$$

f_{yd} : Resistencia de cálculo del acero.

$$f_{yd} : \underline{2669.77} \text{ kp/cm}^2$$

$$f_{yd} = f_y / \gamma_{M0}$$

Siendo:

f_y : Límite elástico. (CTE DB SE-A, Tabla 4.1)

$$f_y : \underline{2803.26} \text{ kp/cm}^2$$

γ_{M0} : Coeficiente parcial de seguridad del material.

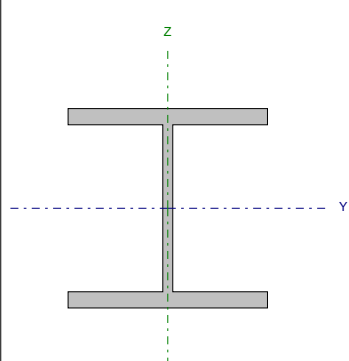
$$\gamma_{M0} : \underline{1.05}$$

Resistencia a cortante Y y momento torsor combinados (CTE DB SE-A, Artículo 6.2.8)

No hay interacción entre momento torsor y esfuerzo cortante para ninguna combinación. Por lo tanto, la comprobación no procede.

Comprobaciones E.L.U. - Viga M4-Pórtico 29 (Pórtico 5)

1.- PLANTA 6

Perfil: HE 160 B Material: Acero (S275)							
	Tramo		Luz libre (m)	Características mecánicas			
	Origen	Extremo		Área (cm ²)	I _y ⁽¹⁾ (cm ⁴)	I _z ⁽¹⁾ (cm ⁴)	I _t ⁽²⁾ (cm ⁴)
	M4	Pórtico 29	5.180	54.30	2492.00	889.20	31.24
Notas: ⁽¹⁾ Inercia respecto al eje indicado ⁽²⁾ Momento de inercia a torsión uniforme							
	Pandeo			Pandeo lateral			
			Plano XY	Plano XZ	Ala sup.		Ala inf.
	β		0.00	0.00	0.00		1.00
	L _k		0.000	0.000	0.000		5.180
	C _m		1.000	1.000	1.000		1.000
	C ₁		-		1.000		
Notación: b: Coeficiente de pandeo L _k : Longitud de pandeo (m) C _m : Coeficiente de momentos C ₁ : Factor de modificación para el momento crítico							

Tramo	COMPROBACIONES (CTE DB SE-A)														Estado	
	$\bar{\lambda}$	λ_w	N _t	N _c	M _y	M _z	V _z	V _y	M _y V _z	M _z V _y	NM,M _z	NM,M _y V _z	M _t	M _y V _z		M _z V _y
M4-Pórtico 29	N.P. ⁽¹⁾	$\lambda_w \leq \lambda_{w,max}$ Cumple	N _{Ed} = 0.00 N.P. ⁽²⁾	N _{Ed} = 0.00 N.P. ⁽³⁾	$\eta = 65.6$	M _{Ed} = 0.00 N.P. ⁽⁴⁾	$\eta = 14.1$	V _{Ed} = 0.00 N.P. ⁽⁵⁾	$\eta < 0.1$	N.P. ⁽⁶⁾	N.P. ⁽⁷⁾	N.P. ⁽⁸⁾	$\eta = 0.2$	$\eta = 14.1$	N.P. ⁽⁹⁾	CUMPLE h = 65.6
Notación: 1: Limitación de esbeltez I _w : Abolladura del alma inducida por el ala comprimida N: Resistencia a tracción N _c : Resistencia a compresión M _y : Resistencia a flexión eje Y M _z : Resistencia a flexión eje Z V _z : Resistencia a corte Z V _y : Resistencia a corte Y M _y V _z : Resistencia a momento flector Y y fuerza cortante Z combinados M _z V _y : Resistencia a momento flector Z y fuerza cortante Y combinados NM,M _z : Resistencia a flexión y axil combinados NM,M _y V _z : Resistencia a flexión, axil y cortante combinados M _t : Resistencia a torsión M _y V _z : Resistencia a cortante Z y momento torsor combinados M _z V _y : Resistencia a cortante Y y momento torsor combinados x: Distancia al origen de la barra h: Coeficiente de aprovechamiento (%) N.P.: No procede																
Comprobaciones que no proceden (N.P.): ⁽¹⁾ La comprobación no procede, ya que no hay axil de compresión ni de tracción. ⁽²⁾ La comprobación no procede, ya que no hay axil de tracción. ⁽³⁾ La comprobación no procede, ya que no hay axil de compresión. ⁽⁴⁾ La comprobación no procede, ya que no hay momento flector. ⁽⁵⁾ La comprobación no procede, ya que no hay esfuerzo cortante. ⁽⁶⁾ No hay interacción entre momento flector y esfuerzo cortante para ninguna combinación. Por lo tanto, la comprobación no procede. ⁽⁷⁾ No hay interacción entre axil y momento flector ni entre momentos flectores en ambas direcciones para ninguna combinación. Por lo tanto, la comprobación no procede. ⁽⁸⁾ No hay interacción entre momento flector, axil y cortante para ninguna combinación. Por lo tanto, la comprobación no procede. ⁽⁹⁾ No hay interacción entre momento torsor y esfuerzo cortante para ninguna combinación. Por lo tanto, la comprobación no procede.																

Limitación de esbeltez (CTE DB SE-A, Artículos 6.3.1 y 6.3.2.1 - Tabla 6.3)

La comprobación no procede, ya que no hay axil de compresión ni de tracción.

Comprobaciones E.L.U. - Viga M4-Pórtico 29 (Pórtico 5)

Abolladura del alma inducida por el ala comprimida (Criterio de CYPE Ingenieros, basado en: Eurocódigo 3 EN 1993-1-5: 2006, Artículo 8)

Se debe satisfacer:

$$\frac{h_w}{t_w} \leq k \frac{E}{f_{yf}} \sqrt{\frac{A_w}{A_{fc,ef}}}$$

$$16.75 \leq 164.47 \quad \checkmark$$

Donde:

h_w : Altura del alma.

$$h_w : \underline{134.00} \text{ mm}$$

t_w : Espesor del alma.

$$t_w : \underline{8.00} \text{ mm}$$

A_w : Área del alma.

$$A_w : \underline{10.72} \text{ cm}^2$$

$A_{fc,ef}$: Área reducida del ala comprimida.

$$A_{fc,ef} : \underline{20.80} \text{ cm}^2$$

k : Coeficiente que depende de la clase de la sección.

$$k : \underline{0.30}$$

E : Módulo de elasticidad.

$$E : \underline{2140673} \text{ kp/cm}^2$$

f_{yf} : Límite elástico del acero del ala comprimida.

$$f_{yf} : \underline{2803.26} \text{ kp/cm}^2$$

Siendo:

$$f_{yf} = f_y$$

Resistencia a tracción (CTE DB SE-A, Artículo 6.2.3)

La comprobación no procede, ya que no hay axil de tracción.

Resistencia a compresión (CTE DB SE-A, Artículo 6.2.5)

La comprobación no procede, ya que no hay axil de compresión.

Resistencia a flexión eje Y (CTE DB SE-A, Artículo 6.2.6)

Se debe satisfacer:

$$\eta = \frac{M_{Ed}}{M_{c,Rd}} \leq 1$$

$$h : \underline{0.509} \quad \checkmark$$

$$\eta = \frac{M_{Ed}}{M_{b,Rd}} \leq 1$$

$$h : \underline{0.656} \quad \checkmark$$

Para flexión positiva:

M_{Ed}^+ : Momento flector solicitante de cálculo pésimo.

$$M_{Ed}^+ : \underline{0.000} \text{ t}\cdot\text{m}$$

Para flexión negativa:

El esfuerzo solicitante de cálculo pésimo se produce para la combinación de acciones $1.35 \cdot PP + 1.35 \cdot CM + 1.5 \cdot Qa + 0.9 \cdot V(-Xexc.-)$.

M_{Ed}^- : Momento flector solicitante de cálculo pésimo.

$$M_{Ed}^- : \underline{4.807} \text{ t}\cdot\text{m}$$

El momento flector resistente de cálculo $M_{c,Rd}$ viene dado por:

$$M_{c,Rd} = W_{pl,y} \cdot f_{yd}$$

$$M_{c,Rd} : \underline{9.451} \text{ t}\cdot\text{m}$$

Donde:

Clase: Clase de la sección, según la capacidad de deformación y de desarrollo de la resistencia plástica de los elementos planos de una sección a flexión simple.

$$\text{Clase} : \underline{1}$$

$W_{pl,y}$: Módulo resistente plástico correspondiente a la fibra con mayor tensión, para las secciones de clase 1 y 2.

$$W_{pl,y} : \underline{354.00} \text{ cm}^3$$

f_{yd} : Resistencia de cálculo del acero.

$$f_{yd} : \underline{2669.77} \text{ kp/cm}^2$$

Comprobaciones E.L.U. - Viga M4-Pórtico 29 (Pórtico 5)

$$f_{yd} = f_y / \gamma_{M0}$$

Siendo:

f_y : Límite elástico. (CTE DB SE-A, Tabla 4.1)

γ_{M0} : Coeficiente parcial de seguridad del material.

$$f_y : \underline{2803.26} \text{ kp/cm}^2$$

$$\gamma_{M0} : \underline{1.05}$$

Resistencia a pandeo lateral: (CTE DB SE-A, Artículo 6.3.3.2)

El momento flector resistente de cálculo $M_{b,Rd}$ viene dado por:

$$M_{b,Rd}^+ = \chi_{LT} \cdot W_{pl,y}^+ \cdot f_{yd}$$

$$M_{b,Rd}^+ : \underline{9.451} \text{ t}\cdot\text{m}$$

$$M_{b,Rd}^- = \chi_{LT} \cdot W_{pl,y}^- \cdot f_{yd}$$

$$M_{b,Rd}^- : \underline{7.333} \text{ t}\cdot\text{m}$$

Donde:

$W_{pl,y}$: Módulo resistente plástico correspondiente a la fibra con mayor tensión, para las secciones de clase 1 y 2.

$$W_{pl,y} : \underline{354.00} \text{ cm}^3$$

f_{yd} : Resistencia de cálculo del acero.

$$f_{yd} : \underline{2669.77} \text{ kp/cm}^2$$

$$f_{yd} = f_y / \gamma_{M1}$$

Siendo:

f_y : Límite elástico. (CTE DB SE-A, Tabla 4.1)

γ_{M1} : Coeficiente parcial de seguridad del material.

$$f_y : \underline{2803.26} \text{ kp/cm}^2$$

$$\gamma_{M1} : \underline{1.05}$$

c_{LT} : Factor de reducción por pandeo lateral.

$$\chi_{LT} = \frac{1}{\Phi_{LT} + \sqrt{\Phi_{LT}^2 - \bar{\lambda}_{LT}^2}} \leq 1$$

$$c_{LT}^+ : \underline{1.00}$$

$$c_{LT}^- : \underline{0.78}$$

Siendo:

$$\Phi_{LT} = 0.5 \cdot \left[1 + \alpha_{LT} \cdot (\bar{\lambda}_{LT} - 0.2) + \bar{\lambda}_{LT}^2 \right]$$

$$f_{LT}^+ : \underline{0.00}$$

$$f_{LT}^- : \underline{0.91}$$

α_{LT} : Coeficiente de imperfección elástica.

$$a_{LT} : \underline{0.21}$$

$\bar{\lambda}_{LT}$: Esbeltez reducida.

$$\bar{\lambda}_{LT}^+ = \sqrt{\frac{W_{pl,y}^+ \cdot f_y}{M_{cr}}}$$

$$\bar{\lambda}_{LT}^+ : \underline{0.00}$$

$$\bar{\lambda}_{LT}^- = \sqrt{\frac{W_{pl,y}^- \cdot f_y}{M_{cr}}}$$

$$\bar{\lambda}_{LT}^- : \underline{0.83}$$

M_{cr} : Momento crítico elástico de pandeo lateral.

$$M_{cr}^+ : \underline{\infty}$$

$$M_{cr}^- : \underline{14.276} \text{ t}\cdot\text{m}$$

El momento crítico elástico de pandeo lateral M_{cr} se determina según la teoría de la elasticidad:

$$M_{cr} = \sqrt{M_{LTV}^2 + M_{LTw}^2}$$

Siendo:

M_{LTV} : Componente que representa la resistencia por torsión uniforme de la barra.

$$M_{LTV} = C_1 \cdot \frac{\pi}{L_c} \cdot \sqrt{G \cdot I_t \cdot E \cdot I_z}$$

$$M_{LTV}^+ : \underline{\infty}$$

$$M_{LTV}^- : \underline{13.438} \text{ t}\cdot\text{m}$$

M_{LTw} : Componente que representa la resistencia por torsión no uniforme de la barra.

$$M_{LTw} = W_{el,y} \cdot \frac{\pi^2 \cdot E}{L_c^2} \cdot C_1 \cdot i_{f,z}^2$$

$$M_{LTw}^+ : \underline{\infty}$$

Comprobaciones E.L.U. - Viga M4-Pórtico 29 (Pórtico 5)

Siendo:

$W_{el,y}$: Módulo resistente elástico de la sección bruta, obtenido para la fibra más comprimida.

I_z : Momento de inercia de la sección bruta, respecto al eje Z.

I_t : Momento de inercia a torsión uniforme.

E: Módulo de elasticidad.

G: Módulo de elasticidad transversal.

L_c^+ : Longitud efectiva de pandeo lateral del ala superior.

L_c^- : Longitud efectiva de pandeo lateral del ala inferior.

C_1 : Factor que depende de las condiciones de apoyo y de la forma de la ley de momentos flectores sobre la barra.

$i_{r,z}$: Radio de giro, respecto al eje de menor inercia de la sección, del soporte formado por el ala comprimida y la tercera parte de la zona comprimida del alma adyacente al ala comprimida.

$$M_{LTW}^- : \underline{4.819} \text{ t}\cdot\text{m}$$

$$W_{el,y} : \underline{311.50} \text{ cm}^3$$

$$I_z : \underline{889.20} \text{ cm}^4$$

$$I_t : \underline{31.24} \text{ cm}^4$$

$$E : \underline{2140673} \text{ kp/cm}^2$$

$$G : \underline{825688} \text{ kp/cm}^2$$

$$L_c^+ : \underline{0.000} \text{ m}$$

$$L_c^- : \underline{5.180} \text{ m}$$

$$C_1 : \underline{1.00}$$

$$i_{r,z}^+ : \underline{4.43} \text{ cm}$$

$$i_{r,z}^- : \underline{4.43} \text{ cm}$$

Resistencia a flexión eje Z (CTE DB SE-A, Artículo 6.2.6)

La comprobación no procede, ya que no hay momento flector.

Comprobaciones E.L.U. - Viga M4-Pórtico 29 (Pórtico 5)

Resistencia a corte Z (CTE DB SE-A, Artículo 6.2.4)

Se debe satisfacer:

$$\eta = \frac{V_{Ed}}{V_{c,Rd}} \leq 1$$

$$h : \underline{0.141} \quad \checkmark$$

El esfuerzo solicitante de cálculo pésimo se produce para la combinación de acciones 1.35·PP+1.35·CM+1.5·Qa+0.9·V(-Yexc. +).

V_{Ed} : Esfuerzo cortante solicitante de cálculo pésimo.

$$V_{Ed} : \underline{3.825} \text{ t}$$

El esfuerzo cortante resistente de cálculo $V_{c,Rd}$ viene dado por:

$$V_{c,Rd} = A_v \cdot \frac{f_{yd}}{\sqrt{3}}$$

$$V_{c,Rd} : \underline{27.190} \text{ t}$$

Donde:

A_v : Área transversal a cortante.

$$A_v : \underline{17.64} \text{ cm}^2$$

$$A_v = h \cdot t_w$$

Siendo:

h: Canto de la sección.

$$h : \underline{160.00} \text{ mm}$$

t_w : Espesor del alma.

$$t_w : \underline{8.00} \text{ mm}$$

f_{yd} : Resistencia de cálculo del acero.

$$f_{yd} : \underline{2669.77} \text{ kp/cm}^2$$

$$f_{yd} = f_y / \gamma_{M0}$$

Siendo:

f_y : Límite elástico. (CTE DB SE-A, Tabla 4.1)

$$f_y : \underline{2803.26} \text{ kp/cm}^2$$

γ_{M0} : Coeficiente parcial de seguridad del material.

$$\gamma_{M0} : \underline{1.05}$$

Abolladura por cortante del alma: (CTE DB SE-A, Artículo 6.3.3.4)

Aunque no se han dispuesto rigidizadores transversales, no es necesario comprobar la resistencia a la abolladura del alma, puesto que se cumple:

$$\frac{d}{t_w} < 70 \cdot \varepsilon$$

$$13.00 < 64.71 \quad \checkmark$$

Donde:

l_w : Esbeltez del alma.

$$l_w : \underline{13.00}$$

$$\lambda_w = \frac{d}{t_w}$$

l_{\max} : Esbeltez máxima.

$$l_{\max} : \underline{64.71}$$

$$\lambda_{\max} = 70 \cdot \varepsilon$$

e: Factor de reducción.

$$e : \underline{0.92}$$

$$\varepsilon = \sqrt{\frac{f_{ref}}{f_y}}$$

Siendo:

f_{ref} : Límite elástico de referencia.

$$f_{ref} : \underline{2395.51} \text{ kp/cm}^2$$

f_y : Límite elástico. (CTE DB SE-A, Tabla 4.1)

$$f_y : \underline{2803.26} \text{ kp/cm}^2$$

Comprobaciones E.L.U. - Viga M4-Pórtico 29 (Pórtico 5)

Resistencia a corte Y (CTE DB SE-A, Artículo 6.2.4)

La comprobación no procede, ya que no hay esfuerzo cortante.

Resistencia a momento flector Y y fuerza cortante Z combinados (CTE DB SE-A, Artículo 6.2.8)

No es necesario reducir la resistencia de cálculo a flexión, ya que el esfuerzo cortante solicitante de cálculo pésimo V_{Ed} no es superior al 50% de la resistencia de cálculo a cortante $V_{c,Rd}$.

$$V_{Ed} \leq \frac{V_{c,Rd}}{2}$$

$$3.825 \text{ t} \leq 13.595 \text{ t} \quad \checkmark$$

Los esfuerzos solicitantes de cálculo pésimos se producen para la combinación de acciones $1.35 \cdot PP + 1.35 \cdot CM + 1.5 \cdot Qa + 0.9 \cdot V(-Yexc. +)$.

V_{Ed} : Esfuerzo cortante solicitante de cálculo pésimo.

$$V_{Ed} : \underline{3.825} \text{ t}$$

$V_{c,Rd}$: Esfuerzo cortante resistente de cálculo.

$$V_{c,Rd} : \underline{27.190} \text{ t}$$

Resistencia a momento flector Z y fuerza cortante Y combinados (CTE DB SE-A, Artículo 6.2.8)

No hay interacción entre momento flector y esfuerzo cortante para ninguna combinación. Por lo tanto, la comprobación no procede.

Resistencia a flexión y axil combinados (CTE DB SE-A, Artículo 6.2.8)

No hay interacción entre axil y momento flector ni entre momentos flectores en ambas direcciones para ninguna combinación. Por lo tanto, la comprobación no procede.

Resistencia a flexión, axil y cortante combinados (CTE DB SE-A, Artículo 6.2.8)

No hay interacción entre momento flector, axil y cortante para ninguna combinación. Por lo tanto, la comprobación no procede.

Resistencia a torsión (CTE DB SE-A, Artículo 6.2.7)

Se debe satisfacer:

$$\eta = \frac{M_{T,Ed}}{M_{T,Rd}} \leq 1$$

$$\eta : \underline{0.002} \quad \checkmark$$

El esfuerzo solicitante de cálculo pésimo se produce para la combinación de acciones $1.35 \cdot PP + 1.35 \cdot CM + 1.5 \cdot Qa + 0.9 \cdot V(+Yexc. +)$.

$M_{T,Ed}$: Momento torsor solicitante de cálculo pésimo.

$$M_{T,Ed} : \underline{0.001} \text{ t}\cdot\text{m}$$

El momento torsor resistente de cálculo $M_{T,Rd}$ viene dado por:

$$M_{T,Rd} = \frac{1}{\sqrt{3}} \cdot W_T \cdot f_{yd}$$

$$M_{T,Rd} : \underline{0.370} \text{ t}\cdot\text{m}$$

Donde:

W_T : Módulo de resistencia a torsión.

$$W_T : \underline{24.03} \text{ cm}^3$$

f_{yd} : Resistencia de cálculo del acero.

$$f_{yd} : \underline{2669.77} \text{ kp/cm}^2$$

$$f_{yd} = f_y / \gamma_{M0}$$

Siendo:

f_y : Límite elástico. (CTE DB SE-A, Tabla 4.1)

$$f_y : \underline{2803.26} \text{ kp/cm}^2$$

γ_{M0} : Coeficiente parcial de seguridad del material.

$$\gamma_{M0} : \underline{1.05}$$

Comprobaciones E.L.U. - Viga M4-Pórtico 29 (Pórtico 5)

Resistencia a cortante Z y momento torsor combinados (CTE DB SE-A, Artículo 6.2.8)

Se debe satisfacer:

$$\eta = \frac{V_{Ed}}{V_{pl,T,Rd}} \leq 1$$

$$h : \underline{0.141} \quad \checkmark$$

Los esfuerzos solicitantes de cálculo pésimos se producen para la combinación de acciones 1.35·PP+1.35·CM+1.5·Qa+0.9·V(+Xexc.-).

V_{Ed} : Esfuerzo cortante solicitante de cálculo pésimo.

$$V_{Ed} : \underline{3.825} \text{ t}$$

$M_{T,Ed}$: Momento torsor solicitante de cálculo pésimo.

$$M_{T,Ed} : \underline{0.001} \text{ t}\cdot\text{m}$$

El esfuerzo cortante resistente de cálculo reducido $V_{pl,T,Rd}$ viene dado por:

$$V_{pl,T,Rd} = \sqrt{1 - \frac{\tau_{T,Ed}}{1.25 \cdot f_{yd} / \sqrt{3}}} \cdot V_{pl,Rd}$$

$$V_{pl,T,Rd} : \underline{27.168} \text{ t}$$

Donde:

$V_{pl,Rd}$: Esfuerzo cortante resistente de cálculo.

$$V_{pl,Rd} : \underline{27.190} \text{ t}$$

$\tau_{T,Ed}$: Tensiones tangenciales por torsión.

$$\tau_{T,Ed} : \underline{3.18} \text{ kp/cm}^2$$

$$\tau_{T,Ed} = \frac{M_{T,Ed}}{W_t}$$

Siendo:

W_t : Módulo de resistencia a torsión.

$$W_t : \underline{24.03} \text{ cm}^3$$

f_{yd} : Resistencia de cálculo del acero.

$$f_{yd} : \underline{2669.77} \text{ kp/cm}^2$$

$$f_{yd} = f_y / \gamma_{M0}$$

Siendo:

f_y : Límite elástico. (CTE DB SE-A, Tabla 4.1)

$$f_y : \underline{2803.26} \text{ kp/cm}^2$$

γ_{M0} : Coeficiente parcial de seguridad del material.

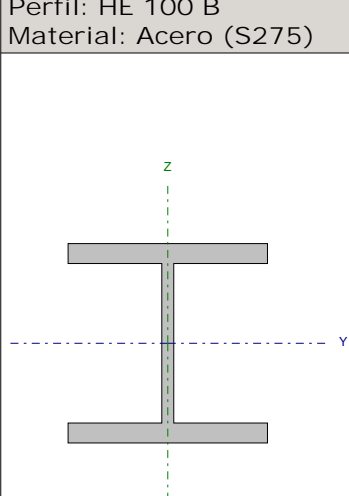
$$\gamma_{M0} : \underline{1.05}$$

Resistencia a cortante Y y momento torsor combinados (CTE DB SE-A, Artículo 6.2.8)

No hay interacción entre momento torsor y esfuerzo cortante para ninguna combinación. Por lo tanto, la comprobación no procede.

Comprobaciones E.L.U. - Viga B121-B122 (Pórtico 21)

1.- PLANTA 5

Perfil: HE 100 B Material: Acero (S275)							
	Tramo		Luz libre (m)	Características mecánicas			
	Origen	Extremo		Área (cm ²)	I _y ⁽¹⁾ (cm ⁴)	I _z ⁽¹⁾ (cm ⁴)	I _t ⁽²⁾ (cm ⁴)
		B121	B122	3.493	26.00	449.50	167.30
Notas: (1) Inercia respecto al eje indicado (2) Momento de inercia a torsión uniforme							
	Pandeo			Pandeo lateral			
	Plano XY		Plano XZ	Ala sup.		Ala inf.	
	β	0.00	0.00	0.00	0.00		
	L _k	0.000	0.000	0.000	0.000		
	C _m	1.000	1.000	1.000	1.000		
	C ₁	-		1.000			
Notación: b: Coeficiente de pandeo L _k : Longitud de pandeo (m) C _m : Coeficiente de momentos C ₁ : Factor de modificación para el momento crítico							

Tramo	COMPROBACIONES (CTE DB SE-A)															Estado
	$\bar{\lambda}$	λ_w	N _t	N _c	M _y	M _z	V _z	V _y	M _y V _z	M _z V _y	NM _y M _z	NM _y M _z V _z	M _t	M _y V _z	M _z V _y	
B121-B122	N.P. ⁽¹⁾	$\lambda_w \leq \lambda_{w,max}$ Cumple	N _{Ed} = 0.00 N.P. ⁽²⁾	N _{Ed} = 0.00 N.P. ⁽³⁾	$\eta = 80.8$	M _{Ed} = 0.00 N.P. ⁽⁴⁾	$\eta = 21.2$	V _{Ed} = 0.00 N.P. ⁽⁵⁾	$\eta < 0.1$	N.P. ⁽⁶⁾	N.P. ⁽⁷⁾	N.P. ⁽⁸⁾	$\eta = 0.7$	$\eta = 21.3$	N.P. ⁽⁹⁾	CUMPLE h = 80.8
Notación: I: Limitación de esbeltez I _w : Abolladura del alma inducida por el ala comprimida N _t : Resistencia a tracción N _c : Resistencia a compresión M _y : Resistencia a flexión eje Y M _z : Resistencia a flexión eje Z V _z : Resistencia a corte Z V _y : Resistencia a corte Y M _y V _z : Resistencia a momento flector Y y fuerza cortante Z combinados M _z V _y : Resistencia a momento flector Z y fuerza cortante Y combinados NM _y M _z : Resistencia a flexión y axil combinados NM _y M _z V _z : Resistencia a flexión, axil y cortante combinados M _t : Resistencia a torsión M _y V _z : Resistencia a cortante Z y momento torsor combinados M _z V _y : Resistencia a cortante Y y momento torsor combinados x: Distancia al origen de la barra h: Coeficiente de aprovechamiento (%) N.P.: No procede																
Comprobaciones que no proceden (N.P.): (1) La comprobación no procede, ya que no hay axil de compresión ni de tracción. (2) La comprobación no procede, ya que no hay axil de tracción. (3) La comprobación no procede, ya que no hay axil de compresión. (4) La comprobación no procede, ya que no hay momento flector. (5) La comprobación no procede, ya que no hay esfuerzo cortante. (6) No hay interacción entre momento flector y esfuerzo cortante para ninguna combinación. Por lo tanto, la comprobación no procede. (7) No hay interacción entre axil y momento flector ni entre momentos flectores en ambas direcciones para ninguna combinación. Por lo tanto, la comprobación no procede. (8) No hay interacción entre momento flector, axil y cortante para ninguna combinación. Por lo tanto, la comprobación no procede. (9) No hay interacción entre momento torsor y esfuerzo cortante para ninguna combinación. Por lo tanto, la comprobación no procede.																

Limitación de esbeltez (CTE DB SE-A, Artículos 6.3.1 y 6.3.2.1 - Tabla 6.3)

La comprobación no procede, ya que no hay axil de compresión ni de tracción.

Comprobaciones E.L.U. - Viga B121-B122 (Pórtico 21)

Abolladura del alma inducida por el ala comprimida (Criterio de CYPE Ingenieros, basado en: Eurocódigo 3 EN 1993-1-5: 2006, Artículo 8)

Se debe satisfacer:

$$\frac{h_w}{t_w} \leq k \frac{E}{f_{yf}} \sqrt{\frac{A_w}{A_{fc,ef}}}$$

13.33 ≤ 158.72 ✓

Donde:

h_w : Altura del alma.

t_w : Espesor del alma.

A_w : Área del alma.

$A_{fc,ef}$: Área reducida del ala comprimida.

k : Coeficiente que depende de la clase de la sección.

E : Módulo de elasticidad.

f_{yf} : Límite elástico del acero del ala comprimida.

Siendo:

$$f_{yf} = f_y$$

h_w : 80.00 mm

t_w : 6.00 mm

A_w : 4.80 cm²

$A_{fc,ef}$: 10.00 cm²

k : 0.30

E : 2140673 kp/cm²

f_{yf} : 2803.26 kp/cm²

Resistencia a tracción (CTE DB SE-A, Artículo 6.2.3)

La comprobación no procede, ya que no hay axil de tracción.

Resistencia a compresión (CTE DB SE-A, Artículo 6.2.5)

La comprobación no procede, ya que no hay axil de compresión.

Comprobaciones E.L.U. - Viga B121-B122 (Pórtico 21)

Resistencia a flexión eje Y (CTE DB SE-A, Artículo 6.2.6)

Se debe satisfacer:

$$\eta = \frac{M_{Ed}}{M_{c,Rd}} \leq 1$$

$$h : \underline{0.808} \quad \checkmark$$

Para flexión positiva:

M_{Ed}^+ : Momento flector solicitante de cálculo pésimo.

$$M_{Ed}^+ : \underline{0.000} \text{ t}\cdot\text{m}$$

Para flexión negativa:

El esfuerzo solicitante de cálculo pésimo se produce para la combinación de acciones $1.35 \cdot PP + 1.35 \cdot CM + 1.5 \cdot Qa + 0.9 \cdot V(-Y_{exc.-})$.

M_{Ed}^- : Momento flector solicitante de cálculo pésimo.

$$M_{Ed}^- : \underline{2.248} \text{ t}\cdot\text{m}$$

El momento flector resistente de cálculo $M_{c,Rd}$ viene dado por:

$$M_{c,Rd} = W_{pl,y} \cdot f_{yd}$$

$$M_{c,Rd} : \underline{2.782} \text{ t}\cdot\text{m}$$

Donde:

Clase: Clase de la sección, según la capacidad de deformación y de desarrollo de la resistencia plástica de los elementos planos de una sección a flexión simple.

$$\text{Clase} : \underline{1}$$

$W_{pl,y}$: Módulo resistente plástico correspondiente a la fibra con mayor tensión, para las secciones de clase 1 y 2.

$$W_{pl,y} : \underline{104.20} \text{ cm}^3$$

f_{yd} : Resistencia de cálculo del acero.

$$f_{yd} : \underline{2669.77} \text{ kp/cm}^2$$

$$f_{yd} = f_y / \gamma_{M0}$$

Siendo:

f_y : Límite elástico. (CTE DB SE-A, Tabla 4.1)

$$f_y : \underline{2803.26} \text{ kp/cm}^2$$

γ_{M0} : Coeficiente parcial de seguridad del material.

$$\gamma_{M0} : \underline{1.05}$$

Resistencia a pandeo lateral: (CTE DB SE-A, Artículo 6.3.3.2)

No procede, dado que las longitudes de pandeo lateral son nulas.

Resistencia a flexión eje Z (CTE DB SE-A, Artículo 6.2.6)

La comprobación no procede, ya que no hay momento flector.

Comprobaciones E.L.U. - Viga B121-B122 (Pórtico 21)

Resistencia a corte Z (CTE DB SE-A, Artículo 6.2.4)

Se debe satisfacer:

$$\eta = \frac{V_{Ed}}{V_{c,Rd}} \leq 1$$

h : 0.212 ✓

El esfuerzo solicitante de cálculo pésimo se produce para la combinación de acciones 1.35·PP+1.35·CM+1.5·Qa+0.9·V(-Yexc.-).

V_{Ed} : Esfuerzo cortante solicitante de cálculo pésimo.

V_{Ed} : 2.943 t

El esfuerzo cortante resistente de cálculo $V_{c,Rd}$ viene dado por:

$$V_{c,Rd} = A_v \cdot \frac{f_{yd}}{\sqrt{3}}$$

$V_{c,Rd}$: 13.873 t

Donde:

A_v : Área transversal a cortante.

A_v : 9.00 cm²

$$A_v = h \cdot t_w$$

Siendo:

h : Canto de la sección.

h : 100.00 mm

t_w : Espesor del alma.

t_w : 6.00 mm

f_{yd} : Resistencia de cálculo del acero.

f_{yd} : 2669.77 kp/cm²

$$f_{yd} = f_y / \gamma_{M0}$$

Siendo:

f_y : Límite elástico. (CTE DB SE-A, Tabla 4.1)

f_y : 2803.26 kp/cm²

γ_{M0} : Coeficiente parcial de seguridad del material.

γ_{M0} : 1.05

Abolladura por cortante del alma: (CTE DB SE-A, Artículo 6.3.3.4)

Aunque no se han dispuesto rigidizadores transversales, no es necesario comprobar la resistencia a la abolladura del alma, puesto que se cumple:

$$\frac{d}{t_w} < 70 \cdot \varepsilon$$

$9.33 < 64.71$ ✓

Donde:

l_w : Esbeltez del alma.

l_w : 9.33

$$\lambda_w = \frac{d}{t_w}$$

$l_{m\acute{a}x}$: Esbeltez máxima.

$l_{m\acute{a}x}$: 64.71

$$\lambda_{m\acute{a}x} = 70 \cdot \varepsilon$$

e : Factor de reducción.

e : 0.92

$$\varepsilon = \sqrt{\frac{f_{ref}}{f_y}}$$

Siendo:

f_{ref} : Límite elástico de referencia.

f_{ref} : 2395.51 kp/cm²

f_y : Límite elástico. (CTE DB SE-A, Tabla 4.1)

f_y : 2803.26 kp/cm²

Comprobaciones E.L.U. - Viga B121-B122 (Pórtico 21)

Resistencia a corte Y (CTE DB SE-A, Artículo 6.2.4)

La comprobación no procede, ya que no hay esfuerzo cortante.

Resistencia a momento flector Y y fuerza cortante Z combinados (CTE DB SE-A, Artículo 6.2.8)

No es necesario reducir la resistencia de cálculo a flexión, ya que el esfuerzo cortante solicitante de cálculo pésimo V_{Ed} no es superior al 50% de la resistencia de cálculo a cortante $V_{c,Rd}$.

$$V_{Ed} \leq \frac{V_{c,Rd}}{2}$$

$$2.943 \text{ t} \leq 6.936 \text{ t} \quad \checkmark$$

Los esfuerzos solicitantes de cálculo pésimos se producen para la combinación de acciones $1.35 \cdot PP + 1.35 \cdot CM + 1.5 \cdot Qa + 0.9 \cdot V(-Yexc.-)$.

V_{Ed} : Esfuerzo cortante solicitante de cálculo pésimo.

$$V_{Ed} : \underline{2.943} \text{ t}$$

$V_{c,Rd}$: Esfuerzo cortante resistente de cálculo.

$$V_{c,Rd} : \underline{13.873} \text{ t}$$

Resistencia a momento flector Z y fuerza cortante Y combinados (CTE DB SE-A, Artículo 6.2.8)

No hay interacción entre momento flector y esfuerzo cortante para ninguna combinación. Por lo tanto, la comprobación no procede.

Resistencia a flexión y axil combinados (CTE DB SE-A, Artículo 6.2.8)

No hay interacción entre axil y momento flector ni entre momentos flectores en ambas direcciones para ninguna combinación. Por lo tanto, la comprobación no procede.

Resistencia a flexión, axil y cortante combinados (CTE DB SE-A, Artículo 6.2.8)

No hay interacción entre momento flector, axil y cortante para ninguna combinación. Por lo tanto, la comprobación no procede.

Resistencia a torsión (CTE DB SE-A, Artículo 6.2.7)

Se debe satisfacer:

$$\eta = \frac{M_{T,Ed}}{M_{T,Rd}} \leq 1$$

$$h : \underline{0.007} \quad \checkmark$$

El esfuerzo solicitante de cálculo pésimo se produce para la combinación de acciones $1.35 \cdot PP + 1.35 \cdot CM + 1.5 \cdot Qa + 0.9 \cdot V(+Xexc.+)$.

$M_{T,Ed}$: Momento torsor solicitante de cálculo pésimo.

$$M_{T,Ed} : \underline{0.001} \text{ t}\cdot\text{m}$$

El momento torsor resistente de cálculo $M_{T,Rd}$ viene dado por:

$$M_{T,Rd} = \frac{1}{\sqrt{3}} \cdot W_T \cdot f_{yd}$$

$$M_{T,Rd} : \underline{0.143} \text{ t}\cdot\text{m}$$

Donde:

W_T : Módulo de resistencia a torsión.

$$W_T : \underline{9.25} \text{ cm}^3$$

f_{yd} : Resistencia de cálculo del acero.

$$f_{yd} : \underline{2669.77} \text{ kp/cm}^2$$

$$f_{yd} = f_y / \gamma_{M0}$$

Siendo:

f_y : Límite elástico. (CTE DB SE-A, Tabla 4.1)

$$f_y : \underline{2803.26} \text{ kp/cm}^2$$

γ_{M0} : Coeficiente parcial de seguridad del material.

$$\gamma_{M0} : \underline{1.05}$$

Comprobaciones E.L.U. - Viga B121-B122 (Pórtico 21)

Resistencia a cortante Z y momento torsor combinados (CTE DB SE-A, Artículo 6.2.8)

Se debe satisfacer:

$$\eta = \frac{V_{Ed}}{V_{pl,T,Rd}} \leq 1$$

$$h : \underline{0.213} \quad \checkmark$$

Los esfuerzos solicitantes de cálculo pésimos se producen para la combinación de acciones 1.35·PP+1.35·CM+1.5·Qa+0.9·V(+Xexc.+).

V_{Ed} : Esfuerzo cortante solicitante de cálculo pésimo.

$$V_{Ed} : \underline{2.943} \text{ t}$$

$M_{T,Ed}$: Momento torsor solicitante de cálculo pésimo.

$$M_{T,Ed} : \underline{0.001} \text{ t}\cdot\text{m}$$

El esfuerzo cortante resistente de cálculo reducido $V_{pl,T,Rd}$ viene dado por:

$$V_{pl,T,Rd} = \sqrt{1 - \frac{\tau_{T,Ed}}{1.25 \cdot f_{yd} / \sqrt{3}}} \cdot V_{pl,Rd}$$

$$V_{pl,T,Rd} : \underline{13.834} \text{ t}$$

Donde:

$V_{pl,Rd}$: Esfuerzo cortante resistente de cálculo.

$$V_{pl,Rd} : \underline{13.873} \text{ t}$$

$\tau_{T,Ed}$: Tensiones tangenciales por torsión.

$$\tau_{T,Ed} : \underline{10.82} \text{ kp/cm}^2$$

$$\tau_{T,Ed} = \frac{M_{T,Ed}}{W_t}$$

Siendo:

W_t : Módulo de resistencia a torsión.

$$W_t : \underline{9.25} \text{ cm}^3$$

f_{yd} : Resistencia de cálculo del acero.

$$f_{yd} : \underline{2669.77} \text{ kp/cm}^2$$

$$f_{yd} = f_y / \gamma_{M0}$$

Siendo:

f_y : Límite elástico. (CTE DB SE-A, Tabla 4.1)

$$f_y : \underline{2803.26} \text{ kp/cm}^2$$

γ_{M0} : Coeficiente parcial de seguridad del material.

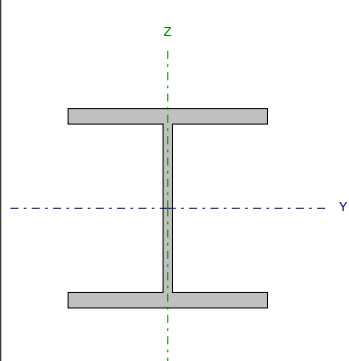
$$\gamma_{M0} : \underline{1.05}$$

Resistencia a cortante Y y momento torsor combinados (CTE DB SE-A, Artículo 6.2.8)

No hay interacción entre momento torsor y esfuerzo cortante para ninguna combinación. Por lo tanto, la comprobación no procede.

Comprobaciones E.L.U. - Viga P1-M5 (Pórtico 19)

1.- PLANTA 6

Perfil: HE 180 B Material: Acero (S275)							
	Tramo		Luz libre (m)	Características mecánicas			
	Origen	Extremo		Área (cm ²)	I _y ⁽¹⁾ (cm ⁴)	I _z ⁽¹⁾ (cm ⁴)	I _t ⁽²⁾ (cm ⁴)
		P1	M5	3.440	65.30	3831.00	1363.00
Notas: ⁽¹⁾ Inercia respecto al eje indicado ⁽²⁾ Momento de inercia a torsión uniforme							
			Pandeo		Pandeo lateral		
			Plano XY	Plano XZ	Ala sup.	Ala inf.	
	β		0.00	0.00	0.00	1.00	
	L _k		0.000	0.000	0.000	3.440	
	C _m		1.000	1.000	1.000	1.000	
	C ₁		-		1.000		
Notación: b: Coeficiente de pandeo L _k : Longitud de pandeo (m) C _m : Coeficiente de momentos C ₁ : Factor de modificación para el momento crítico							

Tramo	COMPROBACIONES (CTE DB SE-A)															Estado
	$\bar{\lambda}$	λ_w	N _t	N _c	M _y	M _z	V _z	V _y	M _y V _z	M _z V _y	NM _y M _z	NM _y M _z V _z	M _t	M _y V _z	M _z V _y	
P1-M5	N.P. ⁽¹⁾	$\lambda_w \leq \lambda_{w,max}$ Cumple	N _{Ed} = 0.00 N.P. ⁽²⁾	N _{Ed} = 0.00 N.P. ⁽³⁾	$\eta = 35.6$	M _{Ed} = 0.00 N.P. ⁽⁴⁾	$\eta = 9.9$	V _{Ed} = 0.00 N.P. ⁽⁵⁾	$\eta < 0.1$	N.P. ⁽⁶⁾	N.P. ⁽⁷⁾	N.P. ⁽⁸⁾	$\eta = 3.8$	$\eta = 10.0$	N.P. ⁽⁹⁾	CUMPLE h = 35.6
Notación: I _w : Limitación de esbeltez I _w : Abolladura del alma inducida por el ala comprimida N _t : Resistencia a tracción N _c : Resistencia a compresión M _y : Resistencia a flexión eje Y M _z : Resistencia a flexión eje Z V _z : Resistencia a corte Z V _y : Resistencia a corte Y M _y V _z : Resistencia a momento flector Y y fuerza cortante Z combinados M _z V _y : Resistencia a momento flector Z y fuerza cortante Y combinados NM _y M _z : Resistencia a flexión y axil combinados NM _y M _z V _z : Resistencia a flexión, axil y cortante combinados M _t : Resistencia a torsión M _y V _z : Resistencia a cortante Z y momento torsor combinados M _z V _y : Resistencia a cortante Y y momento torsor combinados x: Distancia al origen de la barra h: Coeficiente de aprovechamiento (%) N.P.: No procede																
Comprobaciones que no proceden (N.P.): ⁽¹⁾ La comprobación no procede, ya que no hay axil de compresión ni de tracción. ⁽²⁾ La comprobación no procede, ya que no hay axil de tracción. ⁽³⁾ La comprobación no procede, ya que no hay axil de compresión. ⁽⁴⁾ La comprobación no procede, ya que no hay momento flector. ⁽⁵⁾ La comprobación no procede, ya que no hay esfuerzo cortante. ⁽⁶⁾ No hay interacción entre momento flector y esfuerzo cortante para ninguna combinación. Por lo tanto, la comprobación no procede. ⁽⁷⁾ No hay interacción entre axil y momento flector ni entre momentos flectores en ambas direcciones para ninguna combinación. Por lo tanto, la comprobación no procede. ⁽⁸⁾ No hay interacción entre momento flector, axil y cortante para ninguna combinación. Por lo tanto, la comprobación no procede. ⁽⁹⁾ No hay interacción entre momento torsor y esfuerzo cortante para ninguna combinación. Por lo tanto, la comprobación no procede.																

Limitación de esbeltez (CTE DB SE-A, Artículos 6.3.1 y 6.3.2.1 - Tabla 6.3)

La comprobación no procede, ya que no hay axil de compresión ni de tracción.

Comprobaciones E.L.U. - Viga P1-M5 (Pórtico 19)

Abolladura del alma inducida por el ala comprimida (Criterio de CYPE Ingenieros, basado en: Eurocódigo 3 EN 1993-1-5: 2006, Artículo 8)

Se debe satisfacer:

$$\frac{h_w}{t_w} \leq k \frac{E}{f_{yf}} \sqrt{\frac{A_w}{A_{fc,ef}}} \quad 17.88 \leq 164.04 \quad \checkmark$$

Donde:

h_w : Altura del alma.

h_w : 152.00 mm

t_w : Espesor del alma.

t_w : 8.50 mm

A_w : Área del alma.

A_w : 12.92 cm²

$A_{fc,ef}$: Área reducida del ala comprimida.

$A_{fc,ef}$: 25.20 cm²

k : Coeficiente que depende de la clase de la sección.

k : 0.30

E : Módulo de elasticidad.

E : 2140673 kp/cm²

f_{yf} : Límite elástico del acero del ala comprimida.

f_{yf} : 2803.26 kp/cm²

Siendo:

$$f_{yf} = f_y$$

Resistencia a tracción (CTE DB SE-A, Artículo 6.2.3)

La comprobación no procede, ya que no hay axil de tracción.

Resistencia a compresión (CTE DB SE-A, Artículo 6.2.5)

La comprobación no procede, ya que no hay axil de compresión.

Resistencia a flexión eje Y (CTE DB SE-A, Artículo 6.2.6)

Se debe satisfacer:

$$\eta = \frac{M_{Ed}}{M_{c,Rd}} \leq 1 \quad h : \underline{0.313} \quad \checkmark$$

$$\eta = \frac{M_{Ed}}{M_{b,Rd}} \leq 1 \quad h : \underline{0.356} \quad \checkmark$$

Para flexión positiva:

M_{Ed}^+ : Momento flector solicitante de cálculo pésimo.

M_{Ed}^+ : 0.000 t·m

Para flexión negativa:

El esfuerzo solicitante de cálculo pésimo se produce para la combinación de acciones 1.35·PP+1.35·CM+1.5·Qa+0.9·V(+Yexc.-).

M_{Ed}^- : Momento flector solicitante de cálculo pésimo.

M_{Ed}^- : 4.025 t·m

El momento flector resistente de cálculo $M_{c,Rd}$ viene dado por:

$$M_{c,Rd} = W_{pl,y} \cdot f_{yd} \quad M_{c,Rd} : \underline{12.852} \text{ t·m}$$

Donde:

Clase: Clase de la sección, según la capacidad de deformación y de desarrollo de la resistencia plástica de los elementos planos de una sección a flexión simple.

Clase : 1

$W_{pl,y}$: Módulo resistente plástico correspondiente a la fibra con mayor tensión, para las secciones de clase 1 y 2.

$W_{pl,y}$: 481.40 cm³

f_{yd} : Resistencia de cálculo del acero.

f_{yd} : 2669.77 kp/cm²

Comprobaciones E.L.U. - Viga P1-M5 (Pórtico 19)

$$f_{yd} = f_y / \gamma_{M0}$$

Siendo:

f_y : Límite elástico. (CTE DB SE-A, Tabla 4.1)

γ_{M0} : Coeficiente parcial de seguridad del material.

$$f_y : \underline{2803.26} \text{ kp/cm}^2$$

$$\gamma_{M0} : \underline{1.05}$$

Resistencia a pandeo lateral: (CTE DB SE-A, Artículo 6.3.3.2)

El momento flector resistente de cálculo $M_{b,Rd}$ viene dado por:

$$M_{b,Rd}^+ = \chi_{LT} \cdot W_{pl,y}^+ \cdot f_{yd}$$

$$M_{b,Rd}^+ : \underline{12.852} \text{ t}\cdot\text{m}$$

$$M_{b,Rd}^- = \chi_{LT} \cdot W_{pl,y}^- \cdot f_{yd}$$

$$M_{b,Rd}^- : \underline{11.321} \text{ t}\cdot\text{m}$$

Donde:

$W_{pl,y}$: Módulo resistente plástico correspondiente a la fibra con mayor tensión, para las secciones de clase 1 y 2.

$$W_{pl,y} : \underline{481.40} \text{ cm}^3$$

f_{yd} : Resistencia de cálculo del acero.

$$f_{yd} : \underline{2669.77} \text{ kp/cm}^2$$

$$f_{yd} = f_y / \gamma_{M1}$$

Siendo:

f_y : Límite elástico. (CTE DB SE-A, Tabla 4.1)

γ_{M1} : Coeficiente parcial de seguridad del material.

$$f_y : \underline{2803.26} \text{ kp/cm}^2$$

$$\gamma_{M1} : \underline{1.05}$$

c_{LT} : Factor de reducción por pandeo lateral.

$$\chi_{LT} = \frac{1}{\Phi_{LT} + \sqrt{\Phi_{LT}^2 - \bar{\lambda}_{LT}^2}} \leq 1$$

$$c_{LT}^+ : \underline{1.00}$$

$$c_{LT}^- : \underline{0.88}$$

Siendo:

$$\Phi_{LT} = 0.5 \cdot \left[1 + \alpha_{LT} \cdot (\bar{\lambda}_{LT} - 0.2) + \bar{\lambda}_{LT}^2 \right]$$

$$f_{LT}^+ : \underline{0.00}$$

$$f_{LT}^- : \underline{0.74}$$

α_{LT} : Coeficiente de imperfección elástica.

$$a_{LT} : \underline{0.21}$$

$\bar{\lambda}_{LT}$: Esbeltez reducida.

$$\bar{\lambda}_{LT}^+ = \sqrt{\frac{W_{pl,y}^+ \cdot f_y}{M_{cr}}}$$

$$\bar{\lambda}_{LT}^+ : \underline{0.00}$$

$$\bar{\lambda}_{LT}^- = \sqrt{\frac{W_{pl,y}^- \cdot f_y}{M_{cr}}}$$

$$\bar{\lambda}_{LT}^- : \underline{0.62}$$

M_{cr} : Momento crítico elástico de pandeo lateral.

$$M_{cr}^+ : \underline{\infty}$$

$$M_{cr}^- : \underline{34.706} \text{ t}\cdot\text{m}$$

El momento crítico elástico de pandeo lateral M_{cr} se determina según la teoría de la elasticidad:

$$M_{cr} = \sqrt{M_{LTV}^2 + M_{LTw}^2}$$

Siendo:

M_{LTV} : Componente que representa la resistencia por torsión uniforme de la barra.

$$M_{LTV} = C_1 \cdot \frac{\pi}{L_c} \cdot \sqrt{G \cdot I_t \cdot E \cdot I_z}$$

$$M_{LTV}^+ : \underline{\infty}$$

$$M_{LTV}^- : \underline{29.104} \text{ t}\cdot\text{m}$$

M_{LTw} : Componente que representa la resistencia por torsión no uniforme de la barra.

$$M_{LTw} = W_{el,y} \cdot \frac{\pi^2 \cdot E}{L_c^2} \cdot C_1 \cdot i_{f,z}^2$$

$$M_{LTw}^+ : \underline{\infty}$$

Comprobaciones E.L.U. - Viga P1-M5 (Pórtico 19)

Siendo:

$W_{el,y}$: Módulo resistente elástico de la sección bruta, obtenido para la fibra más comprimida.

I_z : Momento de inercia de la sección bruta, respecto al eje Z.

I_t : Momento de inercia a torsión uniforme.

E: Módulo de elasticidad.

G: Módulo de elasticidad transversal.

L_c^+ : Longitud efectiva de pandeo lateral del ala superior.

L_c^- : Longitud efectiva de pandeo lateral del ala inferior.

C_1 : Factor que depende de las condiciones de apoyo y de la forma de la ley de momentos flectores sobre la barra.

$i_{r,z}$: Radio de giro, respecto al eje de menor inercia de la sección, del soporte formado por el ala comprimida y la tercera parte de la zona comprimida del alma adyacente al ala comprimida.

$$M_{LTW}^- : \underline{18.906} \text{ t}\cdot\text{m}$$

$$W_{el,y} : \underline{425.67} \text{ cm}^3$$

$$I_z : \underline{1363.00} \text{ cm}^4$$

$$I_t : \underline{42.16} \text{ cm}^4$$

$$E : \underline{2140673} \text{ kp/cm}^2$$

$$G : \underline{825688} \text{ kp/cm}^2$$

$$L_c^+ : \underline{0.000} \text{ m}$$

$$L_c^- : \underline{3.440} \text{ m}$$

$$C_1 : \underline{1.00}$$

$$i_{r,z}^+ : \underline{4.99} \text{ cm}$$

$$i_{r,z}^- : \underline{4.99} \text{ cm}$$

Resistencia a flexión eje Z (CTE DB SE-A, Artículo 6.2.6)

La comprobación no procede, ya que no hay momento flector.

Comprobaciones E.L.U. - Viga P1-M5 (Pórtico 19)

Resistencia a corte Z (CTE DB SE-A, Artículo 6.2.4)

Se debe satisfacer:

$$\eta = \frac{V_{Ed}}{V_{c,Rd}} \leq 1$$

h : 0.099 ✓

El esfuerzo solicitante de cálculo pésimo se produce para la combinación de acciones 1.35·PP+1.35·CM+1.5·Qa+0.9·V(+Yexc.-).

V_{Ed} : Esfuerzo cortante solicitante de cálculo pésimo.

V_{Ed} : 3.084 t

El esfuerzo cortante resistente de cálculo $V_{c,Rd}$ viene dado por:

$$V_{c,Rd} = A_v \cdot \frac{f_{yd}}{\sqrt{3}}$$

$V_{c,Rd}$: 31.275 t

Donde:

A_v : Área transversal a cortante.

A_v : 20.29 cm²

$$A_v = h \cdot t_w$$

Siendo:

h : Canto de la sección.

h : 180.00 mm

t_w : Espesor del alma.

t_w : 8.50 mm

f_{yd} : Resistencia de cálculo del acero.

f_{yd} : 2669.77 kp/cm²

$$f_{yd} = f_y / \gamma_{M0}$$

Siendo:

f_y : Límite elástico. (CTE DB SE-A, Tabla 4.1)

f_y : 2803.26 kp/cm²

γ_{M0} : Coeficiente parcial de seguridad del material.

γ_{M0} : 1.05

Abolladura por cortante del alma: (CTE DB SE-A, Artículo 6.3.3.4)

Aunque no se han dispuesto rigidizadores transversales, no es necesario comprobar la resistencia a la abolladura del alma, puesto que se cumple:

$$\frac{d}{t_w} < 70 \cdot \varepsilon$$

14.35 < 64.71 ✓

Donde:

l_w : Esbeltez del alma.

l_w : 14.35

$$\lambda_w = \frac{d}{t_w}$$

$l_{m\acute{a}x}$: Esbeltez máxima.

$l_{m\acute{a}x}$: 64.71

$$\lambda_{m\acute{a}x} = 70 \cdot \varepsilon$$

e : Factor de reducción.

e : 0.92

$$\varepsilon = \sqrt{\frac{f_{ref}}{f_y}}$$

Siendo:

f_{ref} : Límite elástico de referencia.

f_{ref} : 2395.51 kp/cm²

f_y : Límite elástico. (CTE DB SE-A, Tabla 4.1)

f_y : 2803.26 kp/cm²

Comprobaciones E.L.U. - Viga P1-M5 (Pórtico 19)

Resistencia a corte Y (CTE DB SE-A, Artículo 6.2.4)

La comprobación no procede, ya que no hay esfuerzo cortante.

Resistencia a momento flector Y y fuerza cortante Z combinados (CTE DB SE-A, Artículo 6.2.8)

No es necesario reducir la resistencia de cálculo a flexión, ya que el esfuerzo cortante solicitante de cálculo pésimo V_{Ed} no es superior al 50% de la resistencia de cálculo a cortante $V_{c,Rd}$.

$$V_{Ed} \leq \frac{V_{c,Rd}}{2}$$

$$0.911 \text{ t} \leq 15.637 \text{ t} \quad \checkmark$$

Los esfuerzos solicitantes de cálculo pésimos se producen para la combinación de acciones $1.35 \cdot PP + 1.35 \cdot CM + 1.5 \cdot Qa + 0.9 \cdot V(-Yexc.-)$.

V_{Ed} : Esfuerzo cortante solicitante de cálculo pésimo.

$$V_{Ed} : \underline{0.911} \text{ t}$$

$V_{c,Rd}$: Esfuerzo cortante resistente de cálculo.

$$V_{c,Rd} : \underline{31.275} \text{ t}$$

Resistencia a momento flector Z y fuerza cortante Y combinados (CTE DB SE-A, Artículo 6.2.8)

No hay interacción entre momento flector y esfuerzo cortante para ninguna combinación. Por lo tanto, la comprobación no procede.

Resistencia a flexión y axil combinados (CTE DB SE-A, Artículo 6.2.8)

No hay interacción entre axil y momento flector ni entre momentos flectores en ambas direcciones para ninguna combinación. Por lo tanto, la comprobación no procede.

Resistencia a flexión, axil y cortante combinados (CTE DB SE-A, Artículo 6.2.8)

No hay interacción entre momento flector, axil y cortante para ninguna combinación. Por lo tanto, la comprobación no procede.

Resistencia a torsión (CTE DB SE-A, Artículo 6.2.7)

Se debe satisfacer:

$$\eta = \frac{M_{T,Ed}}{M_{T,Rd}} \leq 1$$

$$h : \underline{0.038} \quad \checkmark$$

El esfuerzo solicitante de cálculo pésimo se produce para la combinación de acciones $1.35 \cdot PP + 1.35 \cdot CM + 1.5 \cdot Qa + 0.9 \cdot V(+Xexc.-)$.

$M_{T,Ed}$: Momento torsor solicitante de cálculo pésimo.

$$M_{T,Ed} : \underline{0.018} \text{ t}\cdot\text{m}$$

El momento torsor resistente de cálculo $M_{T,Rd}$ viene dado por:

$$M_{T,Rd} = \frac{1}{\sqrt{3}} \cdot W_T \cdot f_{yd}$$

$$M_{T,Rd} : \underline{0.464} \text{ t}\cdot\text{m}$$

Donde:

W_T : Módulo de resistencia a torsión.

$$W_T : \underline{30.11} \text{ cm}^3$$

f_{yd} : Resistencia de cálculo del acero.

$$f_{yd} : \underline{2669.77} \text{ kp/cm}^2$$

$$f_{yd} = f_y / \gamma_{M0}$$

Siendo:

f_y : Límite elástico. (CTE DB SE-A, Tabla 4.1)

$$f_y : \underline{2803.26} \text{ kp/cm}^2$$

γ_{M0} : Coeficiente parcial de seguridad del material.

$$\gamma_{M0} : \underline{1.05}$$

Comprobaciones E.L.U. - Viga P1-M5 (Pórtico 19)

Resistencia a cortante Z y momento torsor combinados (CTE DB SE-A, Artículo 6.2.8)

Se debe satisfacer:

$$\eta = \frac{V_{Ed}}{V_{pl,T,Rd}} \leq 1$$

$$h : \underline{0.100} \quad \checkmark$$

Los esfuerzos solicitantes de cálculo pésimos se producen para la combinación de acciones 1.35·PP+1.35·CM+1.5·Qa+0.9·V(+Yexc.-).

V_{Ed} : Esfuerzo cortante solicitante de cálculo pésimo.

$$V_{Ed} : \underline{3.084} \text{ t}$$

$M_{T,Ed}$: Momento torsor solicitante de cálculo pésimo.

$$M_{T,Ed} : \underline{0.018} \text{ t}\cdot\text{m}$$

El esfuerzo cortante resistente de cálculo reducido $V_{pl,T,Rd}$ viene dado por:

$$V_{pl,T,Rd} = \sqrt{1 - \frac{\tau_{T,Ed}}{1.25 \cdot f_{yd} / \sqrt{3}}} \cdot V_{pl,Rd}$$

$$V_{pl,T,Rd} : \underline{30.795} \text{ t}$$

Donde:

$V_{pl,Rd}$: Esfuerzo cortante resistente de cálculo.

$$V_{pl,Rd} : \underline{31.275} \text{ t}$$

$\tau_{T,Ed}$: Tensiones tangenciales por torsión.

$$\tau_{T,Ed} : \underline{58.62} \text{ kp/cm}^2$$

$$\tau_{T,Ed} = \frac{M_{T,Ed}}{W_t}$$

Siendo:

W_t : Módulo de resistencia a torsión.

$$W_t : \underline{30.11} \text{ cm}^3$$

f_{yd} : Resistencia de cálculo del acero.

$$f_{yd} : \underline{2669.77} \text{ kp/cm}^2$$

$$f_{yd} = f_y / \gamma_{M0}$$

Siendo:

f_y : Límite elástico. (CTE DB SE-A, Tabla 4.1)

$$f_y : \underline{2803.26} \text{ kp/cm}^2$$

γ_{M0} : Coeficiente parcial de seguridad del material.

$$\gamma_{M0} : \underline{1.05}$$

Resistencia a cortante Y y momento torsor combinados (CTE DB SE-A, Artículo 6.2.8)

No hay interacción entre momento torsor y esfuerzo cortante para ninguna combinación. Por lo tanto, la comprobación no procede.

Comprobaciones E.L.U. - Viga P2-M5 (Pórtico 23)

1.- PLANTA 6

Perfil: HE 180 B Material: Acero (S275)						
Origen	Extremo	Luz libre (m)	Características mecánicas			
			Área (cm ²)	I _y ⁽¹⁾ (cm ⁴)	I _z ⁽¹⁾ (cm ⁴)	I _t ⁽²⁾ (cm ⁴)
P2	M5	3.440	65.30	3831.00	1363.00	42.16
Notas: ⁽¹⁾ Inercia respecto al eje indicado ⁽²⁾ Momento de inercia a torsión uniforme						
		Pandeo		Pandeo lateral		
		Plano XY	Plano XZ	Ala sup.	Ala inf.	
β		0.00	0.00	0.00	1.00	
L _k		0.000	0.000	0.000	3.440	
C _m		1.000	1.000	1.000	1.000	
C ₁		-		1.000		
Notación: b: Coeficiente de pandeo L _k : Longitud de pandeo (m) C _m : Coeficiente de momentos C ₁ : Factor de modificación para el momento crítico						

Tramo	COMPROBACIONES (CTE DB SE-A)														Estado	
	$\bar{\lambda}$	$\lambda_w \leq \lambda_{w,max}$ Cumple	N _t	N _c	M _y	M _z	V _z	V _y	M _y V _z	M _z V _y	NM _y M _z	NM _y V _z V _y	M _t	M _t V _z		M _t V _y
P2-M5	N.P. ⁽¹⁾	Cumple	N _{Ed} = 0.00 N.P. ⁽²⁾	N _{Ed} = 0.00 N.P. ⁽³⁾	$\eta = 36.0$	M _{Ed} = 0.00 N.P. ⁽⁴⁾	$\eta = 10.1$	V _{Ed} = 0.00 N.P. ⁽⁵⁾	$\eta < 0.1$	N.P. ⁽⁶⁾	N.P. ⁽⁷⁾	N.P. ⁽⁸⁾	$\eta = 3.7$	$\eta = 10.3$	N.P. ⁽⁹⁾	CUMPLE h = 36.0
Notación: I: Limitación de esbeltez I _z : Abolladura del alma inducida por el ala comprimida N: Resistencia a tracción N _c : Resistencia a compresión M _y : Resistencia a flexión eje Y M _z : Resistencia a flexión eje Z V _z : Resistencia a corte Z V _y : Resistencia a corte Y M _y V _z : Resistencia a momento flector Y y fuerza cortante Z combinados M _z V _y : Resistencia a momento flector Z y fuerza cortante Y combinados NM _y M _z : Resistencia a flexión y axil combinados NM _y V _z V _y : Resistencia a flexión, axil y cortante combinados M _t : Resistencia a torsión M _t V _z : Resistencia a cortante Z y momento torsor combinados M _t V _y : Resistencia a cortante Y y momento torsor combinados x: Distancia al origen de la barra h: Coeficiente de aprovechamiento (%) N.P.: No procede																
Comprobaciones que no proceden (N.P.): ⁽¹⁾ La comprobación no procede, ya que no hay axil de compresión ni de tracción. ⁽²⁾ La comprobación no procede, ya que no hay axil de tracción. ⁽³⁾ La comprobación no procede, ya que no hay axil de compresión. ⁽⁴⁾ La comprobación no procede, ya que no hay momento flector. ⁽⁵⁾ La comprobación no procede, ya que no hay esfuerzo cortante. ⁽⁶⁾ No hay interacción entre momento flector y esfuerzo cortante para ninguna combinación. Por lo tanto, la comprobación no procede. ⁽⁷⁾ No hay interacción entre axil y momento flector ni entre momentos flectores en ambas direcciones para ninguna combinación. Por lo tanto, la comprobación no procede. ⁽⁸⁾ No hay interacción entre momento flector, axil y cortante para ninguna combinación. Por lo tanto, la comprobación no procede. ⁽⁹⁾ No hay interacción entre momento torsor y esfuerzo cortante para ninguna combinación. Por lo tanto, la comprobación no procede.																

Limitación de esbeltez (CTE DB SE-A, Artículos 6.3.1 y 6.3.2.1 - Tabla 6.3)

La comprobación no procede, ya que no hay axil de compresión ni de tracción.

Comprobaciones E.L.U. - Viga P2-M5 (Pórtico 23)

Abolladura del alma inducida por el ala comprimida (Criterio de CYPE Ingenieros, basado en: Eurocódigo 3 EN 1993-1-5: 2006, Artículo 8)

Se debe satisfacer:

$$\frac{h_w}{t_w} \leq k \frac{E}{f_{yf}} \sqrt{\frac{A_w}{A_{fc,ef}}}$$

$$17.88 \leq 164.04 \quad \checkmark$$

Donde:

h_w : Altura del alma.

$$h_w : \underline{152.00} \text{ mm}$$

t_w : Espesor del alma.

$$t_w : \underline{8.50} \text{ mm}$$

A_w : Área del alma.

$$A_w : \underline{12.92} \text{ cm}^2$$

$A_{fc,ef}$: Área reducida del ala comprimida.

$$A_{fc,ef} : \underline{25.20} \text{ cm}^2$$

k : Coeficiente que depende de la clase de la sección.

$$k : \underline{0.30}$$

E : Módulo de elasticidad.

$$E : \underline{2140673} \text{ kp/cm}^2$$

f_{yf} : Límite elástico del acero del ala comprimida.

$$f_{yf} : \underline{2803.26} \text{ kp/cm}^2$$

Siendo:

$$f_{yf} = f_y$$

Resistencia a tracción (CTE DB SE-A, Artículo 6.2.3)

La comprobación no procede, ya que no hay axil de tracción.

Resistencia a compresión (CTE DB SE-A, Artículo 6.2.5)

La comprobación no procede, ya que no hay axil de compresión.

Resistencia a flexión eje Y (CTE DB SE-A, Artículo 6.2.6)

Se debe satisfacer:

$$\eta = \frac{M_{Ed}}{M_{c,Rd}} \leq 1$$

$$h : \underline{0.317} \quad \checkmark$$

$$\eta = \frac{M_{Ed}}{M_{b,Rd}} \leq 1$$

$$h : \underline{0.360} \quad \checkmark$$

Para flexión positiva:

M_{Ed}^+ : Momento flector solicitante de cálculo pésimo.

$$M_{Ed}^+ : \underline{0.000} \text{ t}\cdot\text{m}$$

Para flexión negativa:

El esfuerzo solicitante de cálculo pésimo se produce para la combinación de acciones $1.35 \cdot PP + 1.35 \cdot CM + 1.5 \cdot Qa + 0.9 \cdot V(+Xexc.-)$.

M_{Ed}^- : Momento flector solicitante de cálculo pésimo.

$$M_{Ed}^- : \underline{4.076} \text{ t}\cdot\text{m}$$

El momento flector resistente de cálculo $M_{c,Rd}$ viene dado por:

$$M_{c,Rd} = W_{pl,y} \cdot f_{yd}$$

$$M_{c,Rd} : \underline{12.852} \text{ t}\cdot\text{m}$$

Donde:

Clase: Clase de la sección, según la capacidad de deformación y de desarrollo de la resistencia plástica de los elementos planos de una sección a flexión simple.

$$\text{Clase} : \underline{1}$$

$W_{pl,y}$: Módulo resistente plástico correspondiente a la fibra con mayor tensión, para las secciones de clase 1 y 2.

$$W_{pl,y} : \underline{481.40} \text{ cm}^3$$

f_{yd} : Resistencia de cálculo del acero.

$$f_{yd} : \underline{2669.77} \text{ kp/cm}^2$$

Comprobaciones E.L.U. - Viga P2-M5 (Pórtico 23)

$$f_{yd} = f_y / \gamma_{M0}$$

Siendo:

f_y : Límite elástico. (CTE DB SE-A, Tabla 4.1)

γ_{M0} : Coeficiente parcial de seguridad del material.

$$f_y : \underline{2803.26} \text{ kp/cm}^2$$

$$\gamma_{M0} : \underline{1.05}$$

Resistencia a pandeo lateral: (CTE DB SE-A, Artículo 6.3.3.2)

El momento flector resistente de cálculo $M_{b,Rd}$ viene dado por:

$$M_{b,Rd}^+ = \chi_{LT} \cdot W_{pl,y}^+ \cdot f_{yd}$$

$$M_{b,Rd}^+ : \underline{12.852} \text{ t}\cdot\text{m}$$

$$M_{b,Rd}^- = \chi_{LT} \cdot W_{pl,y}^- \cdot f_{yd}$$

$$M_{b,Rd}^- : \underline{11.321} \text{ t}\cdot\text{m}$$

Donde:

$W_{pl,y}$: Módulo resistente plástico correspondiente a la fibra con mayor tensión, para las secciones de clase 1 y 2.

$$W_{pl,y} : \underline{481.40} \text{ cm}^3$$

f_{yd} : Resistencia de cálculo del acero.

$$f_{yd} : \underline{2669.77} \text{ kp/cm}^2$$

$$f_{yd} = f_y / \gamma_{M1}$$

Siendo:

f_y : Límite elástico. (CTE DB SE-A, Tabla 4.1)

γ_{M1} : Coeficiente parcial de seguridad del material.

$$f_y : \underline{2803.26} \text{ kp/cm}^2$$

$$\gamma_{M1} : \underline{1.05}$$

c_{LT} : Factor de reducción por pandeo lateral.

$$\chi_{LT} = \frac{1}{\Phi_{LT} + \sqrt{\Phi_{LT}^2 - \bar{\lambda}_{LT}^2}} \leq 1$$

$$c_{LT}^+ : \underline{1.00}$$

$$c_{LT}^- : \underline{0.88}$$

Siendo:

$$\Phi_{LT} = 0.5 \cdot \left[1 + \alpha_{LT} \cdot (\bar{\lambda}_{LT} - 0.2) + \bar{\lambda}_{LT}^2 \right]$$

$$f_{LT}^+ : \underline{0.00}$$

$$f_{LT}^- : \underline{0.74}$$

α_{LT} : Coeficiente de imperfección elástica.

$$a_{LT} : \underline{0.21}$$

$\bar{\lambda}_{LT}$: Esbeltez reducida.

$$\bar{\lambda}_{LT}^+ = \sqrt{\frac{W_{pl,y}^+ \cdot f_y}{M_{cr}}}$$

$$\bar{\lambda}_{LT}^+ : \underline{0.00}$$

$$\bar{\lambda}_{LT}^- = \sqrt{\frac{W_{pl,y}^- \cdot f_y}{M_{cr}}}$$

$$\bar{\lambda}_{LT}^- : \underline{0.62}$$

M_{cr} : Momento crítico elástico de pandeo lateral.

$$M_{cr}^+ : \underline{\infty}$$

$$M_{cr}^- : \underline{34.706} \text{ t}\cdot\text{m}$$

El momento crítico elástico de pandeo lateral M_{cr} se determina según la teoría de la elasticidad:

$$M_{cr} = \sqrt{M_{LTV}^2 + M_{LTw}^2}$$

Siendo:

M_{LTV} : Componente que representa la resistencia por torsión uniforme de la barra.

$$M_{LTV} = C_1 \cdot \frac{\pi}{L_c} \cdot \sqrt{G \cdot I_t \cdot E \cdot I_z}$$

$$M_{LTV}^+ : \underline{\infty}$$

$$M_{LTV}^- : \underline{29.104} \text{ t}\cdot\text{m}$$

M_{LTw} : Componente que representa la resistencia por torsión no uniforme de la barra.

$$M_{LTw} = W_{el,y} \cdot \frac{\pi^2 \cdot E}{L_c^2} \cdot C_1 \cdot i_{f,z}^2$$

$$M_{LTw}^+ : \underline{\infty}$$

Comprobaciones E.L.U. - Viga P2-M5 (Pórtico 23)

Siendo:

$W_{el,y}$: Módulo resistente elástico de la sección bruta, obtenido para la fibra más comprimida.

I_z : Momento de inercia de la sección bruta, respecto al eje Z.

I_t : Momento de inercia a torsión uniforme.

E: Módulo de elasticidad.

G: Módulo de elasticidad transversal.

L_c^+ : Longitud efectiva de pandeo lateral del ala superior.

L_c^- : Longitud efectiva de pandeo lateral del ala inferior.

C_1 : Factor que depende de las condiciones de apoyo y de la forma de la ley de momentos flectores sobre la barra.

$i_{r,z}$: Radio de giro, respecto al eje de menor inercia de la sección, del soporte formado por el ala comprimida y la tercera parte de la zona comprimida del alma adyacente al ala comprimida.

$$M_{LTW}^- : \underline{18.906} \text{ t}\cdot\text{m}$$

$$W_{el,y} : \underline{425.67} \text{ cm}^3$$

$$I_z : \underline{1363.00} \text{ cm}^4$$

$$I_t : \underline{42.16} \text{ cm}^4$$

$$E : \underline{2140673} \text{ kp/cm}^2$$

$$G : \underline{825688} \text{ kp/cm}^2$$

$$L_c^+ : \underline{0.000} \text{ m}$$

$$L_c^- : \underline{3.440} \text{ m}$$

$$C_1 : \underline{1.00}$$

$$i_{r,z}^+ : \underline{4.99} \text{ cm}$$

$$i_{r,z}^- : \underline{4.99} \text{ cm}$$

Resistencia a flexión eje Z (CTE DB SE-A, Artículo 6.2.6)

La comprobación no procede, ya que no hay momento flector.

Comprobaciones E.L.U. - Viga P2-M5 (Pórtico 23)

Resistencia a corte Z (CTE DB SE-A, Artículo 6.2.4)

Se debe satisfacer:

$$\eta = \frac{V_{Ed}}{V_{c,Rd}} \leq 1$$

h : 0.101 ✓

El esfuerzo solicitante de cálculo pésimo se produce para la combinación de acciones 1.35·PP+1.35·CM+1.5·Qa+0.9·V(+Xexc.-).

V_{Ed} : Esfuerzo cortante solicitante de cálculo pésimo.

V_{Ed} : 3.158 t

El esfuerzo cortante resistente de cálculo $V_{c,Rd}$ viene dado por:

$$V_{c,Rd} = A_v \cdot \frac{f_{yd}}{\sqrt{3}}$$

$V_{c,Rd}$: 31.275 t

Donde:

A_v : Área transversal a cortante.

A_v : 20.29 cm²

$$A_v = h \cdot t_w$$

Siendo:

h : Canto de la sección.

h : 180.00 mm

t_w : Espesor del alma.

t_w : 8.50 mm

f_{yd} : Resistencia de cálculo del acero.

f_{yd} : 2669.77 kp/cm²

$$f_{yd} = f_y / \gamma_{M0}$$

Siendo:

f_y : Límite elástico. (CTE DB SE-A, Tabla 4.1)

f_y : 2803.26 kp/cm²

γ_{M0} : Coeficiente parcial de seguridad del material.

γ_{M0} : 1.05

Abolladura por cortante del alma: (CTE DB SE-A, Artículo 6.3.3.4)

Aunque no se han dispuesto rigidizadores transversales, no es necesario comprobar la resistencia a la abolladura del alma, puesto que se cumple:

$$\frac{d}{t_w} < 70 \cdot \varepsilon$$

14.35 < 64.71 ✓

Donde:

l_w : Esbeltez del alma.

l_w : 14.35

$$\lambda_w = \frac{d}{t_w}$$

$l_{m\acute{a}x}$: Esbeltez máxima.

$l_{m\acute{a}x}$: 64.71

$$\lambda_{m\acute{a}x} = 70 \cdot \varepsilon$$

e : Factor de reducción.

e : 0.92

$$\varepsilon = \sqrt{\frac{f_{ref}}{f_y}}$$

Siendo:

f_{ref} : Límite elástico de referencia.

f_{ref} : 2395.51 kp/cm²

f_y : Límite elástico. (CTE DB SE-A, Tabla 4.1)

f_y : 2803.26 kp/cm²

Comprobaciones E.L.U. - Viga P2-M5 (Pórtico 23)

Resistencia a corte Y (CTE DB SE-A, Artículo 6.2.4)

La comprobación no procede, ya que no hay esfuerzo cortante.

Resistencia a momento flector Y y fuerza cortante Z combinados (CTE DB SE-A, Artículo 6.2.8)

No es necesario reducir la resistencia de cálculo a flexión, ya que el esfuerzo cortante solicitante de cálculo pésimo V_{Ed} no es superior al 50% de la resistencia de cálculo a cortante $V_{c,Rd}$.

$$V_{Ed} \leq \frac{V_{c,Rd}}{2}$$

$$0.964 \text{ t} \leq 15.637 \text{ t} \quad \checkmark$$

Los esfuerzos solicitantes de cálculo pésimos se producen para la combinación de acciones $1.35 \cdot PP + 1.35 \cdot CM + 1.5 \cdot Qa + 0.9 \cdot V(-Yexc. +)$.

V_{Ed} : Esfuerzo cortante solicitante de cálculo pésimo.

$$V_{Ed} : \underline{0.964} \text{ t}$$

$V_{c,Rd}$: Esfuerzo cortante resistente de cálculo.

$$V_{c,Rd} : \underline{31.275} \text{ t}$$

Resistencia a momento flector Z y fuerza cortante Y combinados (CTE DB SE-A, Artículo 6.2.8)

No hay interacción entre momento flector y esfuerzo cortante para ninguna combinación. Por lo tanto, la comprobación no procede.

Resistencia a flexión y axil combinados (CTE DB SE-A, Artículo 6.2.8)

No hay interacción entre axil y momento flector ni entre momentos flectores en ambas direcciones para ninguna combinación. Por lo tanto, la comprobación no procede.

Resistencia a flexión, axil y cortante combinados (CTE DB SE-A, Artículo 6.2.8)

No hay interacción entre momento flector, axil y cortante para ninguna combinación. Por lo tanto, la comprobación no procede.

Resistencia a torsión (CTE DB SE-A, Artículo 6.2.7)

Se debe satisfacer:

$$\eta = \frac{M_{T,Ed}}{M_{T,Rd}} \leq 1$$

$$h : \underline{0.037} \quad \checkmark$$

El esfuerzo solicitante de cálculo pésimo se produce para la combinación de acciones $1.35 \cdot PP + 1.35 \cdot CM + 1.5 \cdot Qa + 0.9 \cdot V(-Xexc. -)$.

$M_{T,Ed}$: Momento torsor solicitante de cálculo pésimo.

$$M_{T,Ed} : \underline{0.017} \text{ t}\cdot\text{m}$$

El momento torsor resistente de cálculo $M_{T,Rd}$ viene dado por:

$$M_{T,Rd} = \frac{1}{\sqrt{3}} \cdot W_T \cdot f_{yd}$$

$$M_{T,Rd} : \underline{0.464} \text{ t}\cdot\text{m}$$

Donde:

W_T : Módulo de resistencia a torsión.

$$W_T : \underline{30.11} \text{ cm}^3$$

f_{yd} : Resistencia de cálculo del acero.

$$f_{yd} : \underline{2669.77} \text{ kp/cm}^2$$

$$f_{yd} = f_y / \gamma_{M0}$$

Siendo:

f_y : Límite elástico. (CTE DB SE-A, Tabla 4.1)

$$f_y : \underline{2803.26} \text{ kp/cm}^2$$

γ_{M0} : Coeficiente parcial de seguridad del material.

$$\gamma_{M0} : \underline{1.05}$$

Comprobaciones E.L.U. - Viga P2-M5 (Pórtico 23)

Resistencia a cortante Z y momento torsor combinados (CTE DB SE-A, Artículo 6.2.8)

Se debe satisfacer:

$$\eta = \frac{V_{Ed}}{V_{pl,T,Rd}} \leq 1$$

$$h : \underline{0.103} \quad \checkmark$$

Los esfuerzos solicitantes de cálculo pésimos se producen para la combinación de acciones 1.35·PP+1.35·CM+1.5·Qa+0.9·V(+Xexc.-).

V_{Ed} : Esfuerzo cortante solicitante de cálculo pésimo.

$$V_{Ed} : \underline{3.158} \text{ t}$$

$M_{T,Ed}$: Momento torsor solicitante de cálculo pésimo.

$$M_{T,Ed} : \underline{0.017} \text{ t}\cdot\text{m}$$

El esfuerzo cortante resistente de cálculo reducido $V_{pl,T,Rd}$ viene dado por:

$$V_{pl,T,Rd} = \sqrt{1 - \frac{\tau_{T,Ed}}{1.25 \cdot f_{yd} / \sqrt{3}}} \cdot V_{pl,Rd}$$

$$V_{pl,T,Rd} : \underline{30.805} \text{ t}$$

Donde:

$V_{pl,Rd}$: Esfuerzo cortante resistente de cálculo.

$$V_{pl,Rd} : \underline{31.275} \text{ t}$$

$\tau_{T,Ed}$: Tensiones tangenciales por torsión.

$$\tau_{T,Ed} : \underline{57.48} \text{ kp/cm}^2$$

$$\tau_{T,Ed} = \frac{M_{T,Ed}}{W_t}$$

Siendo:

W_t : Módulo de resistencia a torsión.

$$W_t : \underline{30.11} \text{ cm}^3$$

f_{yd} : Resistencia de cálculo del acero.

$$f_{yd} : \underline{2669.77} \text{ kp/cm}^2$$

$$f_{yd} = f_y / \gamma_{M0}$$

Siendo:

f_y : Límite elástico. (CTE DB SE-A, Tabla 4.1)

$$f_y : \underline{2803.26} \text{ kp/cm}^2$$

γ_{M0} : Coeficiente parcial de seguridad del material.

$$\gamma_{M0} : \underline{1.05}$$

Resistencia a cortante Y y momento torsor combinados (CTE DB SE-A, Artículo 6.2.8)

No hay interacción entre momento torsor y esfuerzo cortante para ninguna combinación. Por lo tanto, la comprobación no procede.

Comprobaciones E.L.U. - Viga M4-P3 (Pórtico 3)

1.- PLANTA 6

Perfil: HE 180 B Material: Acero (S275)						
Origen	Extremo	Luz libre (m)	Características mecánicas			
			Área (cm ²)	I _y ⁽¹⁾ (cm ⁴)	I _z ⁽¹⁾ (cm ⁴)	I _t ⁽²⁾ (cm ⁴)
M4	P3	5.135	65.30	3831.00	1363.00	42.16
Notas: ⁽¹⁾ Inercia respecto al eje indicado ⁽²⁾ Momento de inercia a torsión uniforme						
		Pandeo		Pandeo lateral		
		Plano XY	Plano XZ	Ala sup.	Ala inf.	
β		0.00	0.00	0.00	1.00	
L _k		0.000	0.000	0.000	5.135	
C _m		1.000	1.000	1.000	1.000	
C ₁		-		1.000		
Notación: b: Coeficiente de pandeo L _k : Longitud de pandeo (m) C _m : Coeficiente de momentos C ₁ : Factor de modificación para el momento crítico						

Tramo	COMPROBACIONES (CTE DB SE-A)														Estado	
	$\bar{\lambda}$	$\lambda_w \leq \lambda_{w,max}$ Cumple	N _t	N _c	M _y	M _z	V _z	V _y	M _y V _z	M _z V _y	NM _y M _z	NM _z V _y V _z	M _t	M _t V _z		M _t V _y
M4-P3	N.P. ⁽¹⁾	Cumple	N _{Ed} = 0.00 N.P. ⁽²⁾	N _{Ed} = 0.00 N.P. ⁽³⁾	η = 67.2	M _{Ed} = 0.00 N.P. ⁽⁴⁾	η = 15.0	V _{Ed} = 0.00 N.P. ⁽⁵⁾	η < 0.1	N.P. ⁽⁶⁾	N.P. ⁽⁷⁾	N.P. ⁽⁸⁾	η = 7.4	η = 15.1	N.P. ⁽⁹⁾	CUMPLE h = 67.2
Notación: I: Limitación de esbeltez I _c : Abolladura del alma inducida por el ala comprimida N: Resistencia a tracción N _c : Resistencia a compresión M _y : Resistencia a flexión eje Y M _z : Resistencia a flexión eje Z V _z : Resistencia a corte Z V _y : Resistencia a corte Y M _y V _z : Resistencia a momento flector Y y fuerza cortante Z combinados M _z V _y : Resistencia a momento flector Z y fuerza cortante Y combinados NM _y M _z : Resistencia a flexión y axil combinados NM _z V _y V _z : Resistencia a flexión, axil y cortante combinados M _t : Resistencia a torsión M _t V _z : Resistencia a cortante Z y momento torsor combinados M _t V _y : Resistencia a cortante Y y momento torsor combinados x: Distancia al origen de la barra h: Coeficiente de aprovechamiento (%) N.P.: No procede																
Comprobaciones que no proceden (N.P.): ⁽¹⁾ La comprobación no procede, ya que no hay axil de compresión ni de tracción. ⁽²⁾ La comprobación no procede, ya que no hay axil de tracción. ⁽³⁾ La comprobación no procede, ya que no hay axil de compresión. ⁽⁴⁾ La comprobación no procede, ya que no hay momento flector. ⁽⁵⁾ La comprobación no procede, ya que no hay esfuerzo cortante. ⁽⁶⁾ No hay interacción entre momento flector y esfuerzo cortante para ninguna combinación. Por lo tanto, la comprobación no procede. ⁽⁷⁾ No hay interacción entre axil y momento flector ni entre momentos flectores en ambas direcciones para ninguna combinación. Por lo tanto, la comprobación no procede. ⁽⁸⁾ No hay interacción entre momento flector, axil y cortante para ninguna combinación. Por lo tanto, la comprobación no procede. ⁽⁹⁾ No hay interacción entre momento torsor y esfuerzo cortante para ninguna combinación. Por lo tanto, la comprobación no procede.																

Limitación de esbeltez (CTE DB SE-A, Artículos 6.3.1 y 6.3.2.1 - Tabla 6.3)

La comprobación no procede, ya que no hay axil de compresión ni de tracción.

Comprobaciones E.L.U. - Viga M4-P3 (Pórtico 3)

Abolladura del alma inducida por el ala comprimida (Criterio de CYPE Ingenieros, basado en: Eurocódigo 3 EN 1993-1-5: 2006, Artículo 8)

Se debe satisfacer:

$$\frac{h_w}{t_w} \leq k \frac{E}{f_{yf}} \sqrt{\frac{A_w}{A_{fc,ef}}}$$

$$17.88 \leq 164.04 \quad \checkmark$$

Donde:

h_w : Altura del alma.

$$h_w : \underline{152.00} \text{ mm}$$

t_w : Espesor del alma.

$$t_w : \underline{8.50} \text{ mm}$$

A_w : Área del alma.

$$A_w : \underline{12.92} \text{ cm}^2$$

$A_{fc,ef}$: Área reducida del ala comprimida.

$$A_{fc,ef} : \underline{25.20} \text{ cm}^2$$

k : Coeficiente que depende de la clase de la sección.

$$k : \underline{0.30}$$

E : Módulo de elasticidad.

$$E : \underline{2140673} \text{ kp/cm}^2$$

f_{yf} : Límite elástico del acero del ala comprimida.

$$f_{yf} : \underline{2803.26} \text{ kp/cm}^2$$

Siendo:

$$f_{yf} = f_y$$

Resistencia a tracción (CTE DB SE-A, Artículo 6.2.3)

La comprobación no procede, ya que no hay axil de tracción.

Resistencia a compresión (CTE DB SE-A, Artículo 6.2.5)

La comprobación no procede, ya que no hay axil de compresión.

Resistencia a flexión eje Y (CTE DB SE-A, Artículo 6.2.6)

Se debe satisfacer:

$$\eta = \frac{M_{Ed}}{M_{c,Rd}} \leq 1$$

$$h : \underline{0.536} \quad \checkmark$$

$$\eta = \frac{M_{Ed}}{M_{b,Rd}} \leq 1$$

$$h : \underline{0.672} \quad \checkmark$$

Para flexión positiva:

M_{Ed}^+ : Momento flector solicitante de cálculo pésimo.

$$M_{Ed}^+ : \underline{0.000} \text{ t}\cdot\text{m}$$

Para flexión negativa:

El esfuerzo solicitante de cálculo pésimo se produce para la combinación de acciones 1.35·PP+1.35·CM+1.5·Qa+0.9·V(-Xexc.-).

M_{Ed}^- : Momento flector solicitante de cálculo pésimo.

$$M_{Ed}^- : \underline{6.894} \text{ t}\cdot\text{m}$$

El momento flector resistente de cálculo $M_{c,Rd}$ viene dado por:

$$M_{c,Rd} = W_{pl,y} \cdot f_{yd}$$

$$M_{c,Rd} : \underline{12.852} \text{ t}\cdot\text{m}$$

Donde:

Clase: Clase de la sección, según la capacidad de deformación y de desarrollo de la resistencia plástica de los elementos planos de una sección a flexión simple.

$$\text{Clase} : \underline{1}$$

$W_{pl,y}$: Módulo resistente plástico correspondiente a la fibra con mayor tensión, para las secciones de clase 1 y 2.

$$W_{pl,y} : \underline{481.40} \text{ cm}^3$$

f_{yd} : Resistencia de cálculo del acero.

$$f_{yd} : \underline{2669.77} \text{ kp/cm}^2$$

Comprobaciones E.L.U. - Viga M4-P3 (Pórtico 3)

$$f_{yd} = f_y / \gamma_{M0}$$

Siendo:

f_y : Límite elástico. (CTE DB SE-A, Tabla 4.1)

γ_{M0} : Coeficiente parcial de seguridad del material.

$$f_y : \underline{2803.26} \text{ kp/cm}^2$$

$$\gamma_{M0} : \underline{1.05}$$

Resistencia a pandeo lateral: (CTE DB SE-A, Artículo 6.3.3.2)

El momento flector resistente de cálculo $M_{b,Rd}$ viene dado por:

$$M_{b,Rd}^+ = \chi_{LT} \cdot W_{pl,y}^+ \cdot f_{yd}$$

$$M_{b,Rd}^+ : \underline{12.852} \text{ t}\cdot\text{m}$$

$$M_{b,Rd}^- = \chi_{LT} \cdot W_{pl,y}^- \cdot f_{yd}$$

$$M_{b,Rd}^- : \underline{10.251} \text{ t}\cdot\text{m}$$

Donde:

$W_{pl,y}$: Módulo resistente plástico correspondiente a la fibra con mayor tensión, para las secciones de clase 1 y 2.

$$W_{pl,y} : \underline{481.40} \text{ cm}^3$$

f_{yd} : Resistencia de cálculo del acero.

$$f_{yd} : \underline{2669.77} \text{ kp/cm}^2$$

$$f_{yd} = f_y / \gamma_{M1}$$

Siendo:

f_y : Límite elástico. (CTE DB SE-A, Tabla 4.1)

γ_{M1} : Coeficiente parcial de seguridad del material.

$$f_y : \underline{2803.26} \text{ kp/cm}^2$$

$$\gamma_{M1} : \underline{1.05}$$

c_{LT} : Factor de reducción por pandeo lateral.

$$\chi_{LT} = \frac{1}{\Phi_{LT} + \sqrt{\Phi_{LT}^2 - \bar{\lambda}_{LT}^2}} \leq 1$$

$$c_{LT}^+ : \underline{1.00}$$

$$c_{LT}^- : \underline{0.80}$$

Siendo:

$$\Phi_{LT} = 0.5 \cdot \left[1 + \alpha_{LT} \cdot (\bar{\lambda}_{LT} - 0.2) + \bar{\lambda}_{LT}^2 \right]$$

$$f_{LT}^+ : \underline{0.00}$$

$$f_{LT}^- : \underline{0.88}$$

α_{LT} : Coeficiente de imperfección elástica.

$$a_{LT} : \underline{0.21}$$

$\bar{\lambda}_{LT}$: Esbeltez reducida.

$$\bar{\lambda}_{LT}^+ = \sqrt{\frac{W_{pl,y}^+ \cdot f_y}{M_{cr}}}$$

$$\bar{\lambda}_{LT}^+ : \underline{0.00}$$

$$\bar{\lambda}_{LT}^- = \sqrt{\frac{W_{pl,y}^- \cdot f_y}{M_{cr}}}$$

$$\bar{\lambda}_{LT}^- : \underline{0.80}$$

M_{cr} : Momento crítico elástico de pandeo lateral.

$$M_{cr}^+ : \underline{\infty}$$

$$M_{cr}^- : \underline{21.263} \text{ t}\cdot\text{m}$$

El momento crítico elástico de pandeo lateral M_{cr} se determina según la teoría de la elasticidad:

$$M_{cr} = \sqrt{M_{LTV}^2 + M_{LTw}^2}$$

Siendo:

M_{LTV} : Componente que representa la resistencia por torsión uniforme de la barra.

$$M_{LTV} = C_1 \cdot \frac{\pi}{L_c} \cdot \sqrt{G \cdot I_t \cdot E \cdot I_z}$$

$$M_{LTV}^+ : \underline{\infty}$$

$$M_{LTV}^- : \underline{19.497} \text{ t}\cdot\text{m}$$

M_{LTw} : Componente que representa la resistencia por torsión no uniforme de la barra.

$$M_{LTw} = W_{el,y} \cdot \frac{\pi^2 \cdot E}{L_c^2} \cdot C_1 \cdot i_{f,z}^2$$

$$M_{LTw}^+ : \underline{\infty}$$

Comprobaciones E.L.U. - Viga M4-P3 (Pórtico 3)

Siendo:

$W_{el,y}$: Módulo resistente elástico de la sección bruta, obtenido para la fibra más comprimida.

I_z : Momento de inercia de la sección bruta, respecto al eje Z.

I_t : Momento de inercia a torsión uniforme.

E: Módulo de elasticidad.

G: Módulo de elasticidad transversal.

L_c^+ : Longitud efectiva de pandeo lateral del ala superior.

L_c^- : Longitud efectiva de pandeo lateral del ala inferior.

C_1 : Factor que depende de las condiciones de apoyo y de la forma de la ley de momentos flectores sobre la barra.

$i_{r,z}$: Radio de giro, respecto al eje de menor inercia de la sección, del soporte formado por el ala comprimida y la tercera parte de la zona comprimida del alma adyacente al ala comprimida.

$$M_{LTW}^- : \underline{8.485} \text{ t}\cdot\text{m}$$

$$W_{el,y} : \underline{425.67} \text{ cm}^3$$

$$I_z : \underline{1363.00} \text{ cm}^4$$

$$I_t : \underline{42.16} \text{ cm}^4$$

$$E : \underline{2140673} \text{ kp/cm}^2$$

$$G : \underline{825688} \text{ kp/cm}^2$$

$$L_c^+ : \underline{0.000} \text{ m}$$

$$L_c^- : \underline{5.135} \text{ m}$$

$$C_1 : \underline{1.00}$$

$$i_{r,z}^+ : \underline{4.99} \text{ cm}$$

$$i_{r,z}^- : \underline{4.99} \text{ cm}$$

Resistencia a flexión eje Z (CTE DB SE-A, Artículo 6.2.6)

La comprobación no procede, ya que no hay momento flector.

Comprobaciones E.L.U. - Viga M4-P3 (Pórtico 3)

Resistencia a corte Z (CTE DB SE-A, Artículo 6.2.4)

Se debe satisfacer:

$$\eta = \frac{V_{Ed}}{V_{c,Rd}} \leq 1$$

h : 0.150 ✓

El esfuerzo solicitante de cálculo pésimo se produce para la combinación de acciones $1.35 \cdot PP + 1.35 \cdot CM + 1.5 \cdot Qa + 0.9 \cdot V(-Xexc.-)$.

V_{Ed} : Esfuerzo cortante solicitante de cálculo pésimo.

V_{Ed} : 4.694 t

El esfuerzo cortante resistente de cálculo $V_{c,Rd}$ viene dado por:

$$V_{c,Rd} = A_v \cdot \frac{f_{yd}}{\sqrt{3}}$$

$V_{c,Rd}$: 31.275 t

Donde:

A_v : Área transversal a cortante.

A_v : 20.29 cm²

$$A_v = h \cdot t_w$$

Siendo:

h : Canto de la sección.

h : 180.00 mm

t_w : Espesor del alma.

t_w : 8.50 mm

f_{yd} : Resistencia de cálculo del acero.

f_{yd} : 2669.77 kp/cm²

$$f_{yd} = f_y / \gamma_{M0}$$

Siendo:

f_y : Límite elástico. (CTE DB SE-A, Tabla 4.1)

f_y : 2803.26 kp/cm²

γ_{M0} : Coeficiente parcial de seguridad del material.

γ_{M0} : 1.05

Abolladura por cortante del alma: (CTE DB SE-A, Artículo 6.3.3.4)

Aunque no se han dispuesto rigidizadores transversales, no es necesario comprobar la resistencia a la abolladura del alma, puesto que se cumple:

$$\frac{d}{t_w} < 70 \cdot \varepsilon$$

$14.35 < 64.71$ ✓

Donde:

l_w : Esbeltez del alma.

l_w : 14.35

$$\lambda_w = \frac{d}{t_w}$$

$l_{m\acute{a}x}$: Esbeltez máxima.

$l_{m\acute{a}x}$: 64.71

$$\lambda_{m\acute{a}x} = 70 \cdot \varepsilon$$

e : Factor de reducción.

e : 0.92

$$\varepsilon = \sqrt{\frac{f_{ref}}{f_y}}$$

Siendo:

f_{ref} : Límite elástico de referencia.

f_{ref} : 2395.51 kp/cm²

f_y : Límite elástico. (CTE DB SE-A, Tabla 4.1)

f_y : 2803.26 kp/cm²

Comprobaciones E.L.U. - Viga M4-P3 (Pórtico 3)

Resistencia a corte Y (CTE DB SE-A, Artículo 6.2.4)

La comprobación no procede, ya que no hay esfuerzo cortante.

Resistencia a momento flector Y y fuerza cortante Z combinados (CTE DB SE-A, Artículo 6.2.8)

No es necesario reducir la resistencia de cálculo a flexión, ya que el esfuerzo cortante solicitante de cálculo pésimo V_{Ed} no es superior al 50% de la resistencia de cálculo a cortante $V_{c,Rd}$.

$$V_{Ed} \leq \frac{V_{c,Rd}}{2}$$

$$4.694 \text{ t} \leq 15.637 \text{ t} \quad \checkmark$$

Los esfuerzos solicitantes de cálculo pésimos se producen para la combinación de acciones $1.35 \cdot PP + 1.35 \cdot CM + 1.5 \cdot Qa + 0.9 \cdot V(-Xexc.-)$.

V_{Ed} : Esfuerzo cortante solicitante de cálculo pésimo.

$$V_{Ed} : \underline{4.694} \text{ t}$$

$V_{c,Rd}$: Esfuerzo cortante resistente de cálculo.

$$V_{c,Rd} : \underline{31.275} \text{ t}$$

Resistencia a momento flector Z y fuerza cortante Y combinados (CTE DB SE-A, Artículo 6.2.8)

No hay interacción entre momento flector y esfuerzo cortante para ninguna combinación. Por lo tanto, la comprobación no procede.

Resistencia a flexión y axil combinados (CTE DB SE-A, Artículo 6.2.8)

No hay interacción entre axil y momento flector ni entre momentos flectores en ambas direcciones para ninguna combinación. Por lo tanto, la comprobación no procede.

Resistencia a flexión, axil y cortante combinados (CTE DB SE-A, Artículo 6.2.8)

No hay interacción entre momento flector, axil y cortante para ninguna combinación. Por lo tanto, la comprobación no procede.

Resistencia a torsión (CTE DB SE-A, Artículo 6.2.7)

Se debe satisfacer:

$$\eta = \frac{M_{T,Ed}}{M_{T,Rd}} \leq 1$$

$$h : \underline{0.074} \quad \checkmark$$

El esfuerzo solicitante de cálculo pésimo se produce para la combinación de acciones $1.35 \cdot PP + 1.35 \cdot CM + 1.5 \cdot Qa + 0.9 \cdot V(-Xexc.-)$.

$M_{T,Ed}$: Momento torsor solicitante de cálculo pésimo.

$$M_{T,Ed} : \underline{0.034} \text{ t}\cdot\text{m}$$

El momento torsor resistente de cálculo $M_{T,Rd}$ viene dado por:

$$M_{T,Rd} = \frac{1}{\sqrt{3}} \cdot W_T \cdot f_{yd}$$

$$M_{T,Rd} : \underline{0.464} \text{ t}\cdot\text{m}$$

Donde:

W_T : Módulo de resistencia a torsión.

$$W_T : \underline{30.11} \text{ cm}^3$$

f_{yd} : Resistencia de cálculo del acero.

$$f_{yd} : \underline{2669.77} \text{ kp/cm}^2$$

$$f_{yd} = f_y / \gamma_{M0}$$

Siendo:

f_y : Límite elástico. (CTE DB SE-A, Tabla 4.1)

$$f_y : \underline{2803.26} \text{ kp/cm}^2$$

γ_{M0} : Coeficiente parcial de seguridad del material.

$$\gamma_{M0} : \underline{1.05}$$

Comprobaciones E.L.U. - Viga M4-P3 (Pórtico 3)

Resistencia a cortante Z y momento torsor combinados (CTE DB SE-A, Artículo 6.2.8)

Se debe satisfacer:

$$\eta = \frac{V_{Ed}}{V_{pl,T,Rd}} \leq 1$$

$$h : \underline{0.151} \quad \checkmark$$

Los esfuerzos solicitantes de cálculo pésimos se producen para la combinación de acciones 1.35·PP+1.35·CM+1.5·Qa+0.9·V(-Xexc.-).

V_{Ed} : Esfuerzo cortante solicitante de cálculo pésimo.

$$V_{Ed} : \underline{4.694} \text{ t}$$

$M_{T,Ed}$: Momento torsor solicitante de cálculo pésimo.

$$M_{T,Ed} : \underline{0.006} \text{ t}\cdot\text{m}$$

El esfuerzo cortante resistente de cálculo reducido $V_{pl,T,Rd}$ viene dado por:

$$V_{pl,T,Rd} = \sqrt{1 - \frac{\tau_{T,Ed}}{1.25 \cdot f_{yd} / \sqrt{3}}} \cdot V_{pl,Rd}$$

$$V_{pl,T,Rd} : \underline{31.119} \text{ t}$$

Donde:

$V_{pl,Rd}$: Esfuerzo cortante resistente de cálculo.

$$V_{pl,Rd} : \underline{31.275} \text{ t}$$

$\tau_{T,Ed}$: Tensiones tangenciales por torsión.

$$\tau_{T,Ed} : \underline{19.15} \text{ kp/cm}^2$$

$$\tau_{T,Ed} = \frac{M_{T,Ed}}{W_t}$$

Siendo:

W_t : Módulo de resistencia a torsión.

$$W_t : \underline{30.11} \text{ cm}^3$$

f_{yd} : Resistencia de cálculo del acero.

$$f_{yd} : \underline{2669.77} \text{ kp/cm}^2$$

$$f_{yd} = f_y / \gamma_{M0}$$

Siendo:

f_y : Límite elástico. (CTE DB SE-A, Tabla 4.1)

$$f_y : \underline{2803.26} \text{ kp/cm}^2$$

γ_{M0} : Coeficiente parcial de seguridad del material.

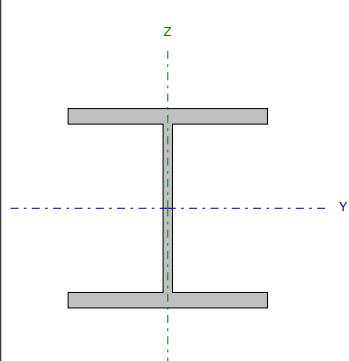
$$\gamma_{M0} : \underline{1.05}$$

Resistencia a cortante Y y momento torsor combinados (CTE DB SE-A, Artículo 6.2.8)

No hay interacción entre momento torsor y esfuerzo cortante para ninguna combinación. Por lo tanto, la comprobación no procede.

Comprobaciones E.L.U. - Viga B125-P4 (Pórtico 11)

1.- PLANTA 6

Perfil: HE 180 B Material: Acero (S275)							
	Tramo		Luz libre (m)	Características mecánicas			
	Origen	Extremo		Área (cm ²)	I _y ⁽¹⁾ (cm ⁴)	I _z ⁽¹⁾ (cm ⁴)	I _t ⁽²⁾ (cm ⁴)
		B125	P4	5.135	65.30	3831.00	1363.00
Notas: ⁽¹⁾ Inercia respecto al eje indicado ⁽²⁾ Momento de inercia a torsión uniforme							
	Pandeo			Pandeo lateral			
			Plano XY	Plano XZ	Ala sup.		Ala inf.
	β		0.00	0.00	0.00		1.00
	L _k		0.000	0.000	0.000		5.135
	C _m		1.000	1.000	1.000		1.000
	C ₁		-		1.000		
Notación: b: Coeficiente de pandeo L _k : Longitud de pandeo (m) C _m : Coeficiente de momentos C ₁ : Factor de modificación para el momento crítico							

Tramo	COMPROBACIONES (CTE DB SE-A)															Estado
	$\bar{\lambda}$	$\lambda_{w, \max}$	N _t	N _c	M _y	M _z	V _z	V _y	M _y V _z	M _z V _y	NM _y M _z	NM _y M _z V _y V _z	M _t	M _y V _t	M _z V _t	
B125-P4	N.P. ⁽¹⁾	$\lambda_{w, \max} \leq \lambda_{w, \max}$ Cumple	N _{Ed} = 0.00 N.P. ⁽²⁾	N _{Ed} = 0.00 N.P. ⁽³⁾	$\eta = 67.7$	M _{Ed} = 0.00 N.P. ⁽⁴⁾	$\eta = 15.1$	V _{Ed} = 0.00 N.P. ⁽⁵⁾	$\eta < 0.1$	N.P. ⁽⁶⁾	N.P. ⁽⁷⁾	N.P. ⁽⁸⁾	$\eta = 7.7$	$\eta = 15.2$	N.P. ⁽⁹⁾	CUMPLE h = 67.7
Notación: I _w : Limitación de esbeltez I _w : Abolladura del alma inducida por el ala comprimida N _t : Resistencia a tracción N _c : Resistencia a compresión M _y : Resistencia a flexión eje Y M _z : Resistencia a flexión eje Z V _z : Resistencia a corte Z V _y : Resistencia a corte Y M _y V _z : Resistencia a momento flector Y y fuerza cortante Z combinados M _z V _y : Resistencia a momento flector Z y fuerza cortante Y combinados NM _y M _z : Resistencia a flexión y axil combinados NM _y M _z V _y V _z : Resistencia a flexión, axil y cortante combinados M _t : Resistencia a torsión M _y V _t : Resistencia a cortante Z y momento torsor combinados M _z V _t : Resistencia a cortante Y y momento torsor combinados x: Distancia al origen de la barra h: Coeficiente de aprovechamiento (%) N.P.: No procede																
Comprobaciones que no proceden (N.P.): ⁽¹⁾ La comprobación no procede, ya que no hay axil de compresión ni de tracción. ⁽²⁾ La comprobación no procede, ya que no hay axil de tracción. ⁽³⁾ La comprobación no procede, ya que no hay axil de compresión. ⁽⁴⁾ La comprobación no procede, ya que no hay momento flector. ⁽⁵⁾ La comprobación no procede, ya que no hay esfuerzo cortante. ⁽⁶⁾ No hay interacción entre momento flector y esfuerzo cortante para ninguna combinación. Por lo tanto, la comprobación no procede. ⁽⁷⁾ No hay interacción entre axil y momento flector ni entre momentos flectores en ambas direcciones para ninguna combinación. Por lo tanto, la comprobación no procede. ⁽⁸⁾ No hay interacción entre momento flector, axil y cortante para ninguna combinación. Por lo tanto, la comprobación no procede. ⁽⁹⁾ No hay interacción entre momento torsor y esfuerzo cortante para ninguna combinación. Por lo tanto, la comprobación no procede.																

Limitación de esbeltez (CTE DB SE-A, Artículos 6.3.1 y 6.3.2.1 - Tabla 6.3)

La comprobación no procede, ya que no hay axil de compresión ni de tracción.

Comprobaciones E.L.U. - Viga B125-P4 (Pórtico 11)

Abolladura del alma inducida por el ala comprimida (Criterio de CYPE Ingenieros, basado en: Eurocódigo 3 EN 1993-1-5: 2006, Artículo 8)

Se debe satisfacer:

$$\frac{h_w}{t_w} \leq k \frac{E}{f_{yf}} \sqrt{\frac{A_w}{A_{fc,ef}}}$$

17.88 ≤ 164.04 ✓

Donde:

h_w : Altura del alma.

h_w : 152.00 mm

t_w : Espesor del alma.

t_w : 8.50 mm

A_w : Área del alma.

A_w : 12.92 cm²

$A_{fc,ef}$: Área reducida del ala comprimida.

$A_{fc,ef}$: 25.20 cm²

k : Coeficiente que depende de la clase de la sección.

k : 0.30

E : Módulo de elasticidad.

E : 2140673 kp/cm²

f_{yf} : Límite elástico del acero del ala comprimida.

f_{yf} : 2803.26 kp/cm²

Siendo:

$$f_{yf} = f_y$$

Resistencia a tracción (CTE DB SE-A, Artículo 6.2.3)

La comprobación no procede, ya que no hay axil de tracción.

Resistencia a compresión (CTE DB SE-A, Artículo 6.2.5)

La comprobación no procede, ya que no hay axil de compresión.

Resistencia a flexión eje Y (CTE DB SE-A, Artículo 6.2.6)

Se debe satisfacer:

$$\eta = \frac{M_{Ed}}{M_{c,Rd}} \leq 1$$

η : 0.540 ✓

$$\eta = \frac{M_{Ed}}{M_{b,Rd}} \leq 1$$

η : 0.677 ✓

Para flexión positiva:

M_{Ed}^+ : Momento flector solicitante de cálculo pésimo.

M_{Ed}^+ : 0.000 t·m

Para flexión negativa:

El esfuerzo solicitante de cálculo pésimo se produce para la combinación de acciones 1.35·PP+1.35·CM+1.5·Qa+0.9·V(-Xexc.+).

M_{Ed}^- : Momento flector solicitante de cálculo pésimo.

M_{Ed}^- : 6.937 t·m

El momento flector resistente de cálculo $M_{c,Rd}$ viene dado por:

$$M_{c,Rd} = W_{pl,y} \cdot f_{yd}$$

$M_{c,Rd}$: 12.852 t·m

Donde:

Clase: Clase de la sección, según la capacidad de deformación y de desarrollo de la resistencia plástica de los elementos planos de una sección a flexión simple.

Clase : 1

$W_{pl,y}$: Módulo resistente plástico correspondiente a la fibra con mayor tensión, para las secciones de clase 1 y 2.

$W_{pl,y}$: 481.40 cm³

f_{yd} : Resistencia de cálculo del acero.

f_{yd} : 2669.77 kp/cm²

Comprobaciones E.L.U. - Viga B125-P4 (Pórtico 11)

$$f_{yd} = f_y / \gamma_{M0}$$

Siendo:

f_y : Límite elástico. (CTE DB SE-A, Tabla 4.1)

γ_{M0} : Coeficiente parcial de seguridad del material.

$$f_y : \underline{2803.26} \text{ kp/cm}^2$$

$$\gamma_{M0} : \underline{1.05}$$

Resistencia a pandeo lateral: (CTE DB SE-A, Artículo 6.3.3.2)

El momento flector resistente de cálculo $M_{b,Rd}$ viene dado por:

$$M_{b,Rd}^+ = \chi_{LT} \cdot W_{pl,y}^+ \cdot f_{yd}$$

$$M_{b,Rd}^+ : \underline{12.852} \text{ t}\cdot\text{m}$$

$$M_{b,Rd}^- = \chi_{LT} \cdot W_{pl,y}^- \cdot f_{yd}$$

$$M_{b,Rd}^- : \underline{10.251} \text{ t}\cdot\text{m}$$

Donde:

$W_{pl,y}$: Módulo resistente plástico correspondiente a la fibra con mayor tensión, para las secciones de clase 1 y 2.

$$W_{pl,y} : \underline{481.40} \text{ cm}^3$$

f_{yd} : Resistencia de cálculo del acero.

$$f_{yd} : \underline{2669.77} \text{ kp/cm}^2$$

$$f_{yd} = f_y / \gamma_{M1}$$

Siendo:

f_y : Límite elástico. (CTE DB SE-A, Tabla 4.1)

γ_{M1} : Coeficiente parcial de seguridad del material.

$$f_y : \underline{2803.26} \text{ kp/cm}^2$$

$$\gamma_{M1} : \underline{1.05}$$

c_{LT} : Factor de reducción por pandeo lateral.

$$\chi_{LT} = \frac{1}{\Phi_{LT} + \sqrt{\Phi_{LT}^2 - \bar{\lambda}_{LT}^2}} \leq 1$$

$$c_{LT}^+ : \underline{1.00}$$

$$c_{LT}^- : \underline{0.80}$$

Siendo:

$$\Phi_{LT} = 0.5 \cdot \left[1 + \alpha_{LT} \cdot (\bar{\lambda}_{LT} - 0.2) + \bar{\lambda}_{LT}^2 \right]$$

$$f_{LT}^+ : \underline{0.00}$$

$$f_{LT}^- : \underline{0.88}$$

α_{LT} : Coeficiente de imperfección elástica.

$$a_{LT} : \underline{0.21}$$

$\bar{\lambda}_{LT}$: Esbeltez reducida.

$$\bar{\lambda}_{LT}^+ = \sqrt{\frac{W_{pl,y}^+ \cdot f_y}{M_{cr}}}$$

$$\bar{\lambda}_{LT}^+ : \underline{0.00}$$

$$\bar{\lambda}_{LT}^- = \sqrt{\frac{W_{pl,y}^- \cdot f_y}{M_{cr}}}$$

$$\bar{\lambda}_{LT}^- : \underline{0.80}$$

M_{cr} : Momento crítico elástico de pandeo lateral.

$$M_{cr}^+ : \underline{\infty}$$

$$M_{cr}^- : \underline{21.263} \text{ t}\cdot\text{m}$$

El momento crítico elástico de pandeo lateral M_{cr} se determina según la teoría de la elasticidad:

$$M_{cr} = \sqrt{M_{LTV}^2 + M_{LTw}^2}$$

Siendo:

M_{LTV} : Componente que representa la resistencia por torsión uniforme de la barra.

$$M_{LTV} = C_1 \cdot \frac{\pi}{L_c} \cdot \sqrt{G \cdot I_t \cdot E \cdot I_z}$$

$$M_{LTV}^+ : \underline{\infty}$$

$$M_{LTV}^- : \underline{19.497} \text{ t}\cdot\text{m}$$

M_{LTw} : Componente que representa la resistencia por torsión no uniforme de la barra.

$$M_{LTw} = W_{el,y} \cdot \frac{\pi^2 \cdot E}{L_c^2} \cdot C_1 \cdot i_{f,z}^2$$

$$M_{LTw}^+ : \underline{\infty}$$

Comprobaciones E.L.U. - Viga B125-P4 (Pórtico 11)

Siendo:

$W_{el,y}$: Módulo resistente elástico de la sección bruta, obtenido para la fibra más comprimida.

I_z : Momento de inercia de la sección bruta, respecto al eje Z.

I_t : Momento de inercia a torsión uniforme.

E: Módulo de elasticidad.

G: Módulo de elasticidad transversal.

L_c^+ : Longitud efectiva de pandeo lateral del ala superior.

L_c^- : Longitud efectiva de pandeo lateral del ala inferior.

C_1 : Factor que depende de las condiciones de apoyo y de la forma de la ley de momentos flectores sobre la barra.

$i_{r,z}$: Radio de giro, respecto al eje de menor inercia de la sección, del soporte formado por el ala comprimida y la tercera parte de la zona comprimida del alma adyacente al ala comprimida.

$$M_{LTW}^- : \underline{8.485} \text{ t}\cdot\text{m}$$

$$W_{el,y} : \underline{425.67} \text{ cm}^3$$

$$I_z : \underline{1363.00} \text{ cm}^4$$

$$I_t : \underline{42.16} \text{ cm}^4$$

$$E : \underline{2140673} \text{ kp/cm}^2$$

$$G : \underline{825688} \text{ kp/cm}^2$$

$$L_c^+ : \underline{0.000} \text{ m}$$

$$L_c^- : \underline{5.135} \text{ m}$$

$$C_1 : \underline{1.00}$$

$$i_{r,z}^+ : \underline{4.99} \text{ cm}$$

$$i_{r,z}^- : \underline{4.99} \text{ cm}$$

Resistencia a flexión eje Z (CTE DB SE-A, Artículo 6.2.6)

La comprobación no procede, ya que no hay momento flector.

Comprobaciones E.L.U. - Viga B125-P4 (Pórtico 11)

Resistencia a corte Z (CTE DB SE-A, Artículo 6.2.4)

Se debe satisfacer:

$$\eta = \frac{V_{Ed}}{V_{c,Rd}} \leq 1$$

$$h : \underline{0.151} \quad \checkmark$$

El esfuerzo solicitante de cálculo pésimo se produce para la combinación de acciones 1.35·PP+1.35·CM+1.5·Qa+0.9·V(-Xexc.+).

V_{Ed} : Esfuerzo cortante solicitante de cálculo pésimo.

$$V_{Ed} : \underline{4.717} \text{ t}$$

El esfuerzo cortante resistente de cálculo $V_{c,Rd}$ viene dado por:

$$V_{c,Rd} = A_v \cdot \frac{f_{yd}}{\sqrt{3}}$$

$$V_{c,Rd} : \underline{31.275} \text{ t}$$

Donde:

A_v : Área transversal a cortante.

$$A_v : \underline{20.29} \text{ cm}^2$$

$$A_v = h \cdot t_w$$

Siendo:

h: Canto de la sección.

$$h : \underline{180.00} \text{ mm}$$

t_w : Espesor del alma.

$$t_w : \underline{8.50} \text{ mm}$$

f_{yd} : Resistencia de cálculo del acero.

$$f_{yd} : \underline{2669.77} \text{ kp/cm}^2$$

$$f_{yd} = f_y / \gamma_{M0}$$

Siendo:

f_y : Límite elástico. (CTE DB SE-A, Tabla 4.1)

$$f_y : \underline{2803.26} \text{ kp/cm}^2$$

γ_{M0} : Coeficiente parcial de seguridad del material.

$$\gamma_{M0} : \underline{1.05}$$

Abolladura por cortante del alma: (CTE DB SE-A, Artículo 6.3.3.4)

Aunque no se han dispuesto rigidizadores transversales, no es necesario comprobar la resistencia a la abolladura del alma, puesto que se cumple:

$$\frac{d}{t_w} < 70 \cdot \varepsilon$$

$$14.35 < 64.71 \quad \checkmark$$

Donde:

l_w : Esbeltez del alma.

$$l_w : \underline{14.35}$$

$$\lambda_w = \frac{d}{t_w}$$

l_{\max} : Esbeltez máxima.

$$l_{\max} : \underline{64.71}$$

$$\lambda_{\max} = 70 \cdot \varepsilon$$

e: Factor de reducción.

$$e : \underline{0.92}$$

$$\varepsilon = \sqrt{\frac{f_{ref}}{f_y}}$$

Siendo:

f_{ref} : Límite elástico de referencia.

$$f_{ref} : \underline{2395.51} \text{ kp/cm}^2$$

f_y : Límite elástico. (CTE DB SE-A, Tabla 4.1)

$$f_y : \underline{2803.26} \text{ kp/cm}^2$$

Comprobaciones E.L.U. - Viga B125-P4 (Pórtico 11)

Resistencia a corte Y (CTE DB SE-A, Artículo 6.2.4)

La comprobación no procede, ya que no hay esfuerzo cortante.

Resistencia a momento flector Y y fuerza cortante Z combinados (CTE DB SE-A, Artículo 6.2.8)

No es necesario reducir la resistencia de cálculo a flexión, ya que el esfuerzo cortante solicitante de cálculo pésimo V_{Ed} no es superior al 50% de la resistencia de cálculo a cortante $V_{c,Rd}$.

$$V_{Ed} \leq \frac{V_{c,Rd}}{2}$$

$$2.306 \text{ t} \leq 15.637 \text{ t} \quad \checkmark$$

Los esfuerzos solicitantes de cálculo pésimos se producen para la combinación de acciones 1.35·PP+1.35·CM+1.5·Qa+0.9·V(+Xexc. +).

V_{Ed} : Esfuerzo cortante solicitante de cálculo pésimo.

$$V_{Ed} : \underline{2.306} \text{ t}$$

$V_{c,Rd}$: Esfuerzo cortante resistente de cálculo.

$$V_{c,Rd} : \underline{31.275} \text{ t}$$

Resistencia a momento flector Z y fuerza cortante Y combinados (CTE DB SE-A, Artículo 6.2.8)

No hay interacción entre momento flector y esfuerzo cortante para ninguna combinación. Por lo tanto, la comprobación no procede.

Resistencia a flexión y axil combinados (CTE DB SE-A, Artículo 6.2.8)

No hay interacción entre axil y momento flector ni entre momentos flectores en ambas direcciones para ninguna combinación. Por lo tanto, la comprobación no procede.

Resistencia a flexión, axil y cortante combinados (CTE DB SE-A, Artículo 6.2.8)

No hay interacción entre momento flector, axil y cortante para ninguna combinación. Por lo tanto, la comprobación no procede.

Resistencia a torsión (CTE DB SE-A, Artículo 6.2.7)

Se debe satisfacer:

$$\eta = \frac{M_{T,Ed}}{M_{T,Rd}} \leq 1$$

$$h : \underline{0.077} \quad \checkmark$$

El esfuerzo solicitante de cálculo pésimo se produce para la combinación de acciones 1.35·PP+1.35·CM+1.5·Qa+0.9·V(-Xexc. +).

$M_{T,Ed}$: Momento torsor solicitante de cálculo pésimo.

$$M_{T,Ed} : \underline{0.036} \text{ t·m}$$

El momento torsor resistente de cálculo $M_{T,Rd}$ viene dado por:

$$M_{T,Rd} = \frac{1}{\sqrt{3}} \cdot W_T \cdot f_{yd}$$

$$M_{T,Rd} : \underline{0.464} \text{ t·m}$$

Donde:

W_T : Módulo de resistencia a torsión.

$$W_T : \underline{30.11} \text{ cm}^3$$

f_{yd} : Resistencia de cálculo del acero.

$$f_{yd} : \underline{2669.77} \text{ kp/cm}^2$$

$$f_{yd} = f_y / \gamma_{M0}$$

Siendo:

f_y : Límite elástico. (CTE DB SE-A, Tabla 4.1)

$$f_y : \underline{2803.26} \text{ kp/cm}^2$$

γ_{M0} : Coeficiente parcial de seguridad del material.

$$\gamma_{M0} : \underline{1.05}$$

Comprobaciones E.L.U. - Viga B125-P4 (Pórtico 11)

Resistencia a cortante Z y momento torsor combinados (CTE DB SE-A, Artículo 6.2.8)

Se debe satisfacer:

$$\eta = \frac{V_{Ed}}{V_{pl,T,Rd}} \leq 1$$

$$h : \underline{0.152} \quad \checkmark$$

Los esfuerzos solicitantes de cálculo pésimos se producen para la combinación de acciones 1.35·PP+1.35·CM+1.5·Qa+0.9·V(-Xexc.+).

V_{Ed} : Esfuerzo cortante solicitante de cálculo pésimo.

$$V_{Ed} : \underline{4.717} \text{ t}$$

$M_{T,Ed}$: Momento torsor solicitante de cálculo pésimo.

$$M_{T,Ed} : \underline{0.006} \text{ t}\cdot\text{m}$$

El esfuerzo cortante resistente de cálculo reducido $V_{pl,T,Rd}$ viene dado por:

$$V_{pl,T,Rd} = \sqrt{1 - \frac{\tau_{T,Ed}}{1.25 \cdot f_{yd} / \sqrt{3}}} \cdot V_{pl,Rd}$$

$$V_{pl,T,Rd} : \underline{31.108} \text{ t}$$

Donde:

$V_{pl,Rd}$: Esfuerzo cortante resistente de cálculo.

$$V_{pl,Rd} : \underline{31.275} \text{ t}$$

$\tau_{T,Ed}$: Tensiones tangenciales por torsión.

$$\tau_{T,Ed} : \underline{20.47} \text{ kp/cm}^2$$

$$\tau_{T,Ed} = \frac{M_{T,Ed}}{W_t}$$

Siendo:

W_t : Módulo de resistencia a torsión.

$$W_t : \underline{30.11} \text{ cm}^3$$

f_{yd} : Resistencia de cálculo del acero.

$$f_{yd} : \underline{2669.77} \text{ kp/cm}^2$$

$$f_{yd} = f_y / \gamma_{M0}$$

Siendo:

f_y : Límite elástico. (CTE DB SE-A, Tabla 4.1)

$$f_y : \underline{2803.26} \text{ kp/cm}^2$$

γ_{M0} : Coeficiente parcial de seguridad del material.

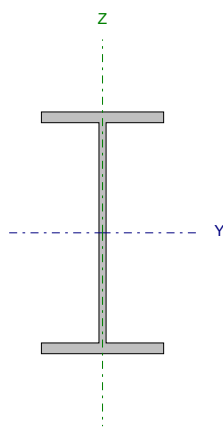
$$\gamma_{M0} : \underline{1.05}$$

Resistencia a cortante Y y momento torsor combinados (CTE DB SE-A, Artículo 6.2.8)

No hay interacción entre momento torsor y esfuerzo cortante para ninguna combinación. Por lo tanto, la comprobación no procede.

Comprobaciones E.L.U. - Viga Pórtico 11-Pórtico 13 (Pórtico 28)

1.- PLANTA 6

Perfil: IPE 180 Material: Acero (S275)							
	Tramo		Luz libre (m)	Características mecánicas			
	Origen	Extremo		Área (cm ²)	I _y ⁽¹⁾ (cm ⁴)	I _z ⁽¹⁾ (cm ⁴)	I _t ⁽²⁾ (cm ⁴)
		Pórtico 11	Pórtico 13	3.423	23.90	1317.00	101.00
Notas: ⁽¹⁾ Inercia respecto al eje indicado ⁽²⁾ Momento de inercia a torsión uniforme							
	Pandeo			Pandeo lateral			
			Plano XY	Plano XZ	Ala sup.	Ala inf.	
	β		0.00	0.00	0.00	1.00	
	L _k		0.000	0.000	0.000	3.423	
	C _m		1.000	1.000	1.000	1.000	
	C ₁		-		1.000		
Notación: b: Coeficiente de pandeo L _k : Longitud de pandeo (m) C _m : Coeficiente de momentos C ₁ : Factor de modificación para el momento crítico							

Tramo	COMPROBACIONES (CTE DB SE-A)														Estado	
	$\bar{\lambda}$	$\lambda_{w, \max}$	N _t	N _c	M _y	M _z	V _z	V _y	M _y V _z	M _z V _y	NM _y M _z	NM _y M _z V _z	M _t	M _t V _z		M _t V _y
Pórtico 11-Pórtico 13	N.P. ⁽¹⁾	$\lambda_w \leq \lambda_{w, \max}$ Cumple	N _{es} = 0,00 N.P. ⁽²⁾	N _{es} = 0,00 N.P. ⁽³⁾	$\eta = 34,9$	M _{es} = 0,00 N.P. ⁽⁴⁾	$\eta = 10,2$	V _{es} = 0,00 N.P. ⁽⁵⁾	$\eta < 0,1$	N.P. ⁽⁶⁾	N.P. ⁽⁷⁾	N.P. ⁽⁸⁾	$\eta = 0,8$	$\eta = 10,2$	N.P. ⁽⁹⁾	CUMPLE h = 34,9
Notación: 1: Limitación de esbeltez I _w : Abolladura del alma inducida por el ala comprimida N _t : Resistencia a tracción N _c : Resistencia a compresión M _y : Resistencia a flexión eje Y M _z : Resistencia a flexión eje Z V _z : Resistencia a corte Z V _y : Resistencia a corte Y M _y V _z : Resistencia a momento flector Y y fuerza cortante Z combinados M _z V _y : Resistencia a momento flector Z y fuerza cortante Y combinados NM _y M _z : Resistencia a flexión y axil combinados NM _y M _z V _z : Resistencia a flexión, axil y cortante combinados M _t : Resistencia a torsión M _t V _z : Resistencia a cortante Z y momento torsor combinados M _t V _y : Resistencia a cortante Y y momento torsor combinados x: Distancia al origen de la barra h: Coeficiente de aprovechamiento (%) N.P.: No procede																
Comprobaciones que no proceden (N.P.): ⁽¹⁾ La comprobación no procede, ya que no hay axil de compresión ni de tracción. ⁽²⁾ La comprobación no procede, ya que no hay axil de tracción. ⁽³⁾ La comprobación no procede, ya que no hay axil de compresión. ⁽⁴⁾ La comprobación no procede, ya que no hay momento flector. ⁽⁵⁾ La comprobación no procede, ya que no hay esfuerzo cortante. ⁽⁶⁾ No hay interacción entre momento flector y esfuerzo cortante para ninguna combinación. Por lo tanto, la comprobación no procede. ⁽⁷⁾ No hay interacción entre axil y momento flector ni entre momentos flectores en ambas direcciones para ninguna combinación. Por lo tanto, la comprobación no procede. ⁽⁸⁾ No hay interacción entre momento flector, axil y cortante para ninguna combinación. Por lo tanto, la comprobación no procede. ⁽⁹⁾ No hay interacción entre momento torsor y esfuerzo cortante para ninguna combinación. Por lo tanto, la comprobación no procede.																

Limitación de esbeltez (CTE DB SE-A, Artículos 6.3.1 y 6.3.2.1 - Tabla 6.3)

La comprobación no procede, ya que no hay axil de compresión ni de tracción.

Comprobaciones E.L.U. - Viga Pórtico 11-Pórtico 13 (Pórtico 28)

Abolladura del alma inducida por el ala comprimida (Criterio de CYPE Ingenieros, basado en: Eurocódigo 3 EN 1993-1-5: 2006, Artículo 8)

Se debe satisfacer:

$$\frac{h_w}{t_w} \leq k \frac{E}{f_{yf}} \sqrt{\frac{A_w}{A_{fc,ef}}}$$

30.94 ≤ 250.32 ✓

Donde:

h_w : Altura del alma.

h_w : 164.00 mm

t_w : Espesor del alma.

t_w : 5.30 mm

A_w : Área del alma.

A_w : 8.69 cm²

$A_{fc,ef}$: Área reducida del ala comprimida.

$A_{fc,ef}$: 7.28 cm²

k : Coeficiente que depende de la clase de la sección.

k : 0.30

E : Módulo de elasticidad.

E : 2140673 kp/cm²

f_{yf} : Límite elástico del acero del ala comprimida.

f_{yf} : 2803.26 kp/cm²

Siendo:

$$f_{yf} = f_y$$

Resistencia a tracción (CTE DB SE-A, Artículo 6.2.3)

La comprobación no procede, ya que no hay axil de tracción.

Resistencia a compresión (CTE DB SE-A, Artículo 6.2.5)

La comprobación no procede, ya que no hay axil de compresión.

Resistencia a flexión eje Y (CTE DB SE-A, Artículo 6.2.6)

Se debe satisfacer:

$$\eta = \frac{M_{Ed}}{M_{c,Rd}} \leq 1$$

η : 0.349 ✓

$$\eta = \frac{M_{Ed}}{M_{b,Rd}} \leq 1$$

η : 0.349 ✓

Para flexión positiva:

El esfuerzo solicitante de cálculo pésimo se produce para la combinación de acciones 1.35·PP+1.35·CM+1.5·Qa+0.9·V(+Xexc.-).

M_{Ed}^+ : Momento flector solicitante de cálculo pésimo.

M_{Ed}^+ : 1.546 t·m

Para flexión negativa:

M_{Ed}^- : Momento flector solicitante de cálculo pésimo.

M_{Ed}^- : 0.000 t·m

El momento flector resistente de cálculo $M_{c,Rd}$ viene dado por:

$$M_{c,Rd} = W_{pl,y} \cdot f_{yd}$$

$M_{c,Rd}$: 4.432 t·m

Donde:

Clase: Clase de la sección, según la capacidad de deformación y de desarrollo de la resistencia plástica de los elementos planos de una sección a flexión simple.

Clase : 1

$W_{pl,y}$: Módulo resistente plástico correspondiente a la fibra con mayor tensión, para las secciones de clase 1 y 2.

$W_{pl,y}$: 166.00 cm³

f_{yd} : Resistencia de cálculo del acero.

f_{yd} : 2669.77 kp/cm²

Comprobaciones E.L.U. - Viga Pórtico 11-Pórtico 13 (Pórtico 28)

$$f_{yd} = f_y / \gamma_{M0}$$

Siendo:

f_y : Límite elástico. (CTE DB SE-A, Tabla 4.1)

γ_{M0} : Coeficiente parcial de seguridad del material.

$$f_y : \underline{2803.26} \text{ kp/cm}^2$$

$$\gamma_{M0} : \underline{1.05}$$

Resistencia a pandeo lateral: (CTE DB SE-A, Artículo 6.3.3.2)

El momento flector resistente de cálculo $M_{b,Rd}$ viene dado por:

$$M_{b,Rd}^+ = \chi_{LT} \cdot W_{pl,y}^+ \cdot f_{yd}$$

$$M_{b,Rd}^+ : \underline{4.432} \text{ t}\cdot\text{m}$$

$$M_{b,Rd}^- = \chi_{LT} \cdot W_{pl,y}^- \cdot f_{yd}$$

$$M_{b,Rd}^- : \underline{2.271} \text{ t}\cdot\text{m}$$

Donde:

$W_{pl,y}$: Módulo resistente plástico correspondiente a la fibra con mayor tensión, para las secciones de clase 1 y 2.

$$W_{pl,y} : \underline{166.00} \text{ cm}^3$$

f_{yd} : Resistencia de cálculo del acero.

$$f_{yd} : \underline{2669.77} \text{ kp/cm}^2$$

$$f_{yd} = f_y / \gamma_{M1}$$

Siendo:

f_y : Límite elástico. (CTE DB SE-A, Tabla 4.1)

γ_{M1} : Coeficiente parcial de seguridad del material.

$$f_y : \underline{2803.26} \text{ kp/cm}^2$$

$$\gamma_{M1} : \underline{1.05}$$

c_{LT} : Factor de reducción por pandeo lateral.

$$\chi_{LT} = \frac{1}{\Phi_{LT} + \sqrt{\Phi_{LT}^2 - \bar{\lambda}_{LT}^2}} \leq 1$$

$$c_{LT}^+ : \underline{1.00}$$

$$c_{LT}^- : \underline{0.51}$$

Siendo:

$$\Phi_{LT} = 0.5 \cdot \left[1 + \alpha_{LT} \cdot (\bar{\lambda}_{LT} - 0.2) + \bar{\lambda}_{LT}^2 \right]$$

$$f_{LT}^+ : \underline{0.00}$$

$$f_{LT}^- : \underline{1.36}$$

α_{LT} : Coeficiente de imperfección elástica.

$$a_{LT} : \underline{0.21}$$

$\bar{\lambda}_{LT}$: Esbeltez reducida.

$$\bar{\lambda}_{LT}^+ = \sqrt{\frac{W_{pl,y}^+ \cdot f_y}{M_{cr}}}$$

$$\bar{\lambda}_{LT}^+ : \underline{0.00}$$

$$\bar{\lambda}_{LT}^- = \sqrt{\frac{W_{pl,y}^- \cdot f_y}{M_{cr}}}$$

$$\bar{\lambda}_{LT}^- : \underline{1.23}$$

M_{cr} : Momento crítico elástico de pandeo lateral.

$$M_{cr}^+ : \underline{\infty}$$

$$M_{cr}^- : \underline{3.085} \text{ t}\cdot\text{m}$$

El momento crítico elástico de pandeo lateral M_{cr} se determina según la teoría de la elasticidad:

$$M_{cr} = \sqrt{M_{LTV}^2 + M_{LTw}^2}$$

Siendo:

M_{LTV} : Componente que representa la resistencia por torsión uniforme de la barra.

$$M_{LTV} = C_1 \cdot \frac{\pi}{L_c} \cdot \sqrt{G \cdot I_t \cdot E \cdot I_z}$$

$$M_{LTV}^+ : \underline{\infty}$$

$$M_{LTV}^- : \underline{2.684} \text{ t}\cdot\text{m}$$

M_{LTw} : Componente que representa la resistencia por torsión no uniforme de la barra.

$$M_{LTw} = W_{el,y} \cdot \frac{\pi^2 \cdot E}{L_c^2} \cdot C_1 \cdot i_{f,z}^2$$

$$M_{LTw}^+ : \underline{\infty}$$

Comprobaciones E.L.U. - Viga Pórtico 11-Pórtico 13 (Pórtico 28)

Siendo:

$W_{el,y}$: Módulo resistente elástico de la sección bruta, obtenido para la fibra más comprimida.

I_z : Momento de inercia de la sección bruta, respecto al eje Z.

I_t : Momento de inercia a torsión uniforme.

E: Módulo de elasticidad.

G: Módulo de elasticidad transversal.

L_c^+ : Longitud efectiva de pandeo lateral del ala superior.

L_c^- : Longitud efectiva de pandeo lateral del ala inferior.

C_1 : Factor que depende de las condiciones de apoyo y de la forma de la ley de momentos flectores sobre la barra.

$i_{r,z}$: Radio de giro, respecto al eje de menor inercia de la sección, del soporte formado por el ala comprimida y la tercera parte de la zona comprimida del alma adyacente al ala comprimida.

$$M_{LTW}^- : \underline{1.520} \text{ t}\cdot\text{m}$$

$$W_{el,y} : \underline{146.33} \text{ cm}^3$$

$$I_z : \underline{101.00} \text{ cm}^4$$

$$I_t : \underline{4.79} \text{ cm}^4$$

$$E : \underline{2140673} \text{ kp/cm}^2$$

$$G : \underline{825688} \text{ kp/cm}^2$$

$$L_c^+ : \underline{0.000} \text{ m}$$

$$L_c^- : \underline{3.423} \text{ m}$$

$$C_1 : \underline{1.00}$$

$$i_{r,z}^+ : \underline{2.40} \text{ cm}$$

$$i_{r,z}^- : \underline{2.40} \text{ cm}$$

Resistencia a flexión eje Z (CTE DB SE-A, Artículo 6.2.6)

La comprobación no procede, ya que no hay momento flector.

Comprobaciones E.L.U. - Viga Pórtico 11-Pórtico 13 (Pórtico 28)

Resistencia a corte Z (CTE DB SE-A, Artículo 6.2.4)

Se debe satisfacer:

$$\eta = \frac{V_{Ed}}{V_{c,Rd}} \leq 1$$

$$h : \underline{0.102} \quad \checkmark$$

El esfuerzo solicitante de cálculo pésimo se produce para la combinación de acciones 1.35·PP+1.35·CM+1.5·Qa+0.9·V(+Xexc.-).

V_{Ed} : Esfuerzo cortante solicitante de cálculo pésimo.

$$V_{Ed} : \underline{1.765} \text{ t}$$

El esfuerzo cortante resistente de cálculo $V_{c,Rd}$ viene dado por:

$$V_{c,Rd} = A_v \cdot \frac{f_{yd}}{\sqrt{3}}$$

$$V_{c,Rd} : \underline{17.270} \text{ t}$$

Donde:

A_v : Área transversal a cortante.

$$A_v : \underline{11.20} \text{ cm}^2$$

$$A_v = h \cdot t_w$$

Siendo:

h: Canto de la sección.

$$h : \underline{180.00} \text{ mm}$$

t_w : Espesor del alma.

$$t_w : \underline{5.30} \text{ mm}$$

f_{yd} : Resistencia de cálculo del acero.

$$f_{yd} : \underline{2669.77} \text{ kp/cm}^2$$

$$f_{yd} = f_y / \gamma_{M0}$$

Siendo:

f_y : Límite elástico. (CTE DB SE-A, Tabla 4.1)

$$f_y : \underline{2803.26} \text{ kp/cm}^2$$

γ_{M0} : Coeficiente parcial de seguridad del material.

$$\gamma_{M0} : \underline{1.05}$$

Abolladura por cortante del alma: (CTE DB SE-A, Artículo 6.3.3.4)

Aunque no se han dispuesto rigidizadores transversales, no es necesario comprobar la resistencia a la abolladura del alma, puesto que se cumple:

$$\frac{d}{t_w} < 70 \cdot \varepsilon$$

$$27.55 < 64.71 \quad \checkmark$$

Donde:

l_w : Esbeltez del alma.

$$l_w : \underline{27.55}$$

$$\lambda_w = \frac{d}{t_w}$$

l_{\max} : Esbeltez máxima.

$$l_{\max} : \underline{64.71}$$

$$\lambda_{\max} = 70 \cdot \varepsilon$$

e: Factor de reducción.

$$e : \underline{0.92}$$

$$\varepsilon = \sqrt{\frac{f_{ref}}{f_y}}$$

Siendo:

f_{ref} : Límite elástico de referencia.

$$f_{ref} : \underline{2395.51} \text{ kp/cm}^2$$

f_y : Límite elástico. (CTE DB SE-A, Tabla 4.1)

$$f_y : \underline{2803.26} \text{ kp/cm}^2$$

Comprobaciones E.L.U. - Viga Pórtico 11-Pórtico 13 (Pórtico 28)

Resistencia a corte Y (CTE DB SE-A, Artículo 6.2.4)

La comprobación no procede, ya que no hay esfuerzo cortante.

Resistencia a momento flector Y y fuerza cortante Z combinados (CTE DB SE-A, Artículo 6.2.8)

No es necesario reducir la resistencia de cálculo a flexión, ya que el esfuerzo cortante solicitante de cálculo pésimo V_{Ed} no es superior al 50% de la resistencia de cálculo a cortante $V_{c,Rd}$.

$$V_{Ed} \leq \frac{V_{c,Rd}}{2}$$

$$1.762 \text{ t} \leq 8.635 \text{ t} \quad \checkmark$$

Los esfuerzos solicitantes de cálculo pésimos se producen para la combinación de acciones $1.35 \cdot PP + 1.35 \cdot CM + 1.5 \cdot Qa + 0.9 \cdot V(-Xexc. +)$.

V_{Ed} : Esfuerzo cortante solicitante de cálculo pésimo.

$$V_{Ed} : \underline{1.762} \text{ t}$$

$V_{c,Rd}$: Esfuerzo cortante resistente de cálculo.

$$V_{c,Rd} : \underline{17.270} \text{ t}$$

Resistencia a momento flector Z y fuerza cortante Y combinados (CTE DB SE-A, Artículo 6.2.8)

No hay interacción entre momento flector y esfuerzo cortante para ninguna combinación. Por lo tanto, la comprobación no procede.

Resistencia a flexión y axil combinados (CTE DB SE-A, Artículo 6.2.8)

No hay interacción entre axil y momento flector ni entre momentos flectores en ambas direcciones para ninguna combinación. Por lo tanto, la comprobación no procede.

Resistencia a flexión, axil y cortante combinados (CTE DB SE-A, Artículo 6.2.8)

No hay interacción entre momento flector, axil y cortante para ninguna combinación. Por lo tanto, la comprobación no procede.

Resistencia a torsión (CTE DB SE-A, Artículo 6.2.7)

Se debe satisfacer:

$$\eta = \frac{M_{T,Ed}}{M_{T,Rd}} \leq 1$$

$$\eta : \underline{0.008} \quad \checkmark$$

El esfuerzo solicitante de cálculo pésimo se produce para la combinación de acciones $1.35 \cdot PP + 1.35 \cdot CM + 1.5 \cdot Qa + 0.9 \cdot V(+Yexc. +)$.

$M_{T,Ed}$: Momento torsor solicitante de cálculo pésimo.

$$M_{T,Ed} : \underline{0.001} \text{ t}\cdot\text{m}$$

El momento torsor resistente de cálculo $M_{T,Rd}$ viene dado por:

$$M_{T,Rd} = \frac{1}{\sqrt{3}} \cdot W_T \cdot f_{yd}$$

$$M_{T,Rd} : \underline{0.092} \text{ t}\cdot\text{m}$$

Donde:

W_T : Módulo de resistencia a torsión.

$$W_T : \underline{5.99} \text{ cm}^3$$

f_{yd} : Resistencia de cálculo del acero.

$$f_{yd} : \underline{2669.77} \text{ kp/cm}^2$$

$$f_{yd} = f_y / \gamma_{M0}$$

Siendo:

f_y : Límite elástico. (CTE DB SE-A, Tabla 4.1)

$$f_y : \underline{2803.26} \text{ kp/cm}^2$$

γ_{M0} : Coeficiente parcial de seguridad del material.

$$\gamma_{M0} : \underline{1.05}$$

Comprobaciones E.L.U. - Viga Pórtico 11-Pórtico 13 (Pórtico 28)

Resistencia a cortante Z y momento torsor combinados (CTE DB SE-A, Artículo 6.2.8)

Se debe satisfacer:

$$\eta = \frac{V_{Ed}}{V_{pl,T,Rd}} \leq 1$$

$$h : \underline{0.102} \quad \checkmark$$

Los esfuerzos solicitantes de cálculo pésimos se producen para la combinación de acciones 1.35·PP+1.35·CM+1.5·Qa+0.9·V(-Xexc.+).

V_{Ed} : Esfuerzo cortante solicitante de cálculo pésimo.

$$V_{Ed} : \underline{1.762} \text{ t}$$

$M_{T,Ed}$: Momento torsor solicitante de cálculo pésimo.

$$M_{T,Ed} : \underline{0.001} \text{ t}\cdot\text{m}$$

El esfuerzo cortante resistente de cálculo reducido $V_{pl,T,Rd}$ viene dado por:

$$V_{pl,T,Rd} = \sqrt{1 - \frac{\tau_{T,Ed}}{1.25 \cdot f_{yd} / \sqrt{3}}} \cdot V_{pl,Rd}$$

$$V_{pl,T,Rd} : \underline{17.221} \text{ t}$$

Donde:

$V_{pl,Rd}$: Esfuerzo cortante resistente de cálculo.

$$V_{pl,Rd} : \underline{17.270} \text{ t}$$

$\tau_{T,Ed}$: Tensiones tangenciales por torsión.

$$\tau_{T,Ed} : \underline{10.76} \text{ kp/cm}^2$$

$$\tau_{T,Ed} = \frac{M_{T,Ed}}{W_t}$$

Siendo:

W_t : Módulo de resistencia a torsión.

$$W_t : \underline{5.99} \text{ cm}^3$$

f_{yd} : Resistencia de cálculo del acero.

$$f_{yd} : \underline{2669.77} \text{ kp/cm}^2$$

$$f_{yd} = f_y / \gamma_{M0}$$

Siendo:

f_y : Límite elástico. (CTE DB SE-A, Tabla 4.1)

$$f_y : \underline{2803.26} \text{ kp/cm}^2$$

γ_{M0} : Coeficiente parcial de seguridad del material.

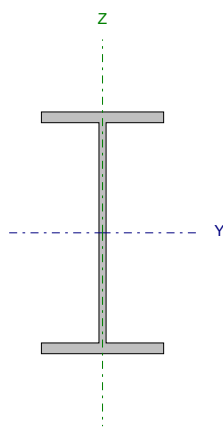
$$\gamma_{M0} : \underline{1.05}$$

Resistencia a cortante Y y momento torsor combinados (CTE DB SE-A, Artículo 6.2.8)

No hay interacción entre momento torsor y esfuerzo cortante para ninguna combinación. Por lo tanto, la comprobación no procede.

Comprobaciones E.L.U. - Viga Pórtico 11-Pórtico 13 (Pórtico 26)

1.- PLANTA 6

Perfil: IPE 180 Material: Acero (S275)							
	Tramo		Luz libre (m)	Características mecánicas			
	Origen	Extremo		Área (cm ²)	I _y ⁽¹⁾ (cm ⁴)	I _z ⁽¹⁾ (cm ⁴)	I _t ⁽²⁾ (cm ⁴)
		Pórtico 11	Pórtico 13	3.423	23.90	1317.00	101.00
Notas: ⁽¹⁾ Inercia respecto al eje indicado ⁽²⁾ Momento de inercia a torsión uniforme							
	Pandeo			Pandeo lateral			
			Plano XY	Plano XZ	Ala sup.		Ala inf.
	β		0.00	0.00	0.00		1.00
	L _k		0.000	0.000	0.000		3.423
	C _m		1.000	1.000	1.000		1.000
	C ₁		-		1.000		
Notación: b: Coeficiente de pandeo L _k : Longitud de pandeo (m) C _m : Coeficiente de momentos C ₁ : Factor de modificación para el momento crítico							

Tramo	COMPROBACIONES (CTE DB SE-A)														Estado	
	$\bar{\lambda}$	$\lambda_{w, \max}$	N _t	N _c	M _y	M _z	V _z	V _y	M _y V _z	M _z V _y	NM _y M _z	NM _y M _z V _z	M _t	M _y V _z		M _z V _y
Pórtico 11-Pórtico 13	N.P. ⁽¹⁾	$\lambda_w \leq \lambda_{w, \max}$ Cumple	N _{es} = 0,00 N.P. ⁽²⁾	N _{es} = 0,00 N.P. ⁽³⁾	$\eta = 36,9$	M _{es} = 0,00 N.P. ⁽⁴⁾	$\eta = 10,9$	V _{es} = 0,00 N.P. ⁽⁵⁾	$\eta < 0,1$	N.P. ⁽⁶⁾	N.P. ⁽⁷⁾	N.P. ⁽⁸⁾	$\eta = 1,0$	$\eta = 10,9$	N.P. ⁽⁹⁾	CUMPLE h = 36,9
Notación: 1: Limitación de esbeltez I _w : Abolladura del alma inducida por el ala comprimida N _t : Resistencia a tracción N _c : Resistencia a compresión M _y : Resistencia a flexión eje Y M _z : Resistencia a flexión eje Z V _z : Resistencia a corte Z V _y : Resistencia a corte Y M _y V _z : Resistencia a momento flector Y y fuerza cortante Z combinados M _z V _y : Resistencia a momento flector Z y fuerza cortante Y combinados NM _y M _z : Resistencia a flexión y axil combinados NM _y M _z V _z : Resistencia a flexión, axil y cortante combinados M _t : Resistencia a torsión M _y V _z : Resistencia a cortante Z y momento torsor combinados M _z V _y : Resistencia a cortante Y y momento torsor combinados x: Distancia al origen de la barra h: Coeficiente de aprovechamiento (%) N.P.: No procede																
Comprobaciones que no proceden (N.P.): ⁽¹⁾ La comprobación no procede, ya que no hay axil de compresión ni de tracción. ⁽²⁾ La comprobación no procede, ya que no hay axil de tracción. ⁽³⁾ La comprobación no procede, ya que no hay axil de compresión. ⁽⁴⁾ La comprobación no procede, ya que no hay momento flector. ⁽⁵⁾ La comprobación no procede, ya que no hay esfuerzo cortante. ⁽⁶⁾ No hay interacción entre momento flector y esfuerzo cortante para ninguna combinación. Por lo tanto, la comprobación no procede. ⁽⁷⁾ No hay interacción entre axil y momento flector ni entre momentos flectores en ambas direcciones para ninguna combinación. Por lo tanto, la comprobación no procede. ⁽⁸⁾ No hay interacción entre momento flector, axil y cortante para ninguna combinación. Por lo tanto, la comprobación no procede. ⁽⁹⁾ No hay interacción entre momento torsor y esfuerzo cortante para ninguna combinación. Por lo tanto, la comprobación no procede.																

Limitación de esbeltez (CTE DB SE-A, Artículos 6.3.1 y 6.3.2.1 - Tabla 6.3)

La comprobación no procede, ya que no hay axil de compresión ni de tracción.

Comprobaciones E.L.U. - Viga Pórtico 11-Pórtico 13 (Pórtico 26)

Abolladura del alma inducida por el ala comprimida (Criterio de CYPE Ingenieros, basado en: Eurocódigo 3 EN 1993-1-5: 2006, Artículo 8)

Se debe satisfacer:

$$\frac{h_w}{t_w} \leq k \frac{E}{f_{yf}} \sqrt{\frac{A_w}{A_{fc,ef}}}$$

$$30.94 \leq 250.32 \quad \checkmark$$

Donde:

h_w : Altura del alma.

$$h_w : \underline{164.00} \text{ mm}$$

t_w : Espesor del alma.

$$t_w : \underline{5.30} \text{ mm}$$

A_w : Área del alma.

$$A_w : \underline{8.69} \text{ cm}^2$$

$A_{fc,ef}$: Área reducida del ala comprimida.

$$A_{fc,ef} : \underline{7.28} \text{ cm}^2$$

k : Coeficiente que depende de la clase de la sección.

$$k : \underline{0.30}$$

E : Módulo de elasticidad.

$$E : \underline{2140673} \text{ kp/cm}^2$$

f_{yf} : Límite elástico del acero del ala comprimida.

$$f_{yf} : \underline{2803.26} \text{ kp/cm}^2$$

Siendo:

$$f_{yf} = f_y$$

Resistencia a tracción (CTE DB SE-A, Artículo 6.2.3)

La comprobación no procede, ya que no hay axil de tracción.

Resistencia a compresión (CTE DB SE-A, Artículo 6.2.5)

La comprobación no procede, ya que no hay axil de compresión.

Resistencia a flexión eje Y (CTE DB SE-A, Artículo 6.2.6)

Se debe satisfacer:

$$\eta = \frac{M_{Ed}}{M_{c,Rd}} \leq 1$$

$$h : \underline{0.369} \quad \checkmark$$

$$\eta = \frac{M_{Ed}}{M_{b,Rd}} \leq 1$$

$$h : \underline{0.369} \quad \checkmark$$

Para flexión positiva:

El esfuerzo solicitante de cálculo pésimo se produce para la combinación de acciones $1.35 \cdot PP + 1.35 \cdot CM + 1.5 \cdot Qa + 0.9 \cdot V(+Yexc. +)$.

M_{Ed}^+ : Momento flector solicitante de cálculo pésimo.

$$M_{Ed}^+ : \underline{1.637} \text{ t}\cdot\text{m}$$

Para flexión negativa:

M_{Ed}^- : Momento flector solicitante de cálculo pésimo.

$$M_{Ed}^- : \underline{0.000} \text{ t}\cdot\text{m}$$

El momento flector resistente de cálculo $M_{c,Rd}$ viene dado por:

$$M_{c,Rd} = W_{pl,y} \cdot f_{yd}$$

$$M_{c,Rd} : \underline{4.432} \text{ t}\cdot\text{m}$$

Donde:

Clase: Clase de la sección, según la capacidad de deformación y de desarrollo de la resistencia plástica de los elementos planos de una sección a flexión simple.

$$\text{Clase} : \underline{1}$$

$W_{pl,y}$: Módulo resistente plástico correspondiente a la fibra con mayor tensión, para las secciones de clase 1 y 2.

$$W_{pl,y} : \underline{166.00} \text{ cm}^3$$

f_{yd} : Resistencia de cálculo del acero.

$$f_{yd} : \underline{2669.77} \text{ kp/cm}^2$$

Comprobaciones E.L.U. - Viga Pórtico 11-Pórtico 13 (Pórtico 26)

$$f_{yd} = f_y / \gamma_{M0}$$

Siendo:

f_y : Límite elástico. (CTE DB SE-A, Tabla 4.1)

γ_{M0} : Coeficiente parcial de seguridad del material.

$$f_y : \underline{2803.26} \text{ kp/cm}^2$$

$$\gamma_{M0} : \underline{1.05}$$

Resistencia a pandeo lateral: (CTE DB SE-A, Artículo 6.3.3.2)

El momento flector resistente de cálculo $M_{b,Rd}$ viene dado por:

$$M_{b,Rd}^+ = \chi_{LT} \cdot W_{pl,y}^+ \cdot f_{yd}$$

$$M_{b,Rd}^+ : \underline{4.432} \text{ t}\cdot\text{m}$$

$$M_{b,Rd}^- = \chi_{LT} \cdot W_{pl,y}^- \cdot f_{yd}$$

$$M_{b,Rd}^- : \underline{2.271} \text{ t}\cdot\text{m}$$

Donde:

$W_{pl,y}$: Módulo resistente plástico correspondiente a la fibra con mayor tensión, para las secciones de clase 1 y 2.

$$W_{pl,y} : \underline{166.00} \text{ cm}^3$$

f_{yd} : Resistencia de cálculo del acero.

$$f_{yd} : \underline{2669.77} \text{ kp/cm}^2$$

$$f_{yd} = f_y / \gamma_{M1}$$

Siendo:

f_y : Límite elástico. (CTE DB SE-A, Tabla 4.1)

γ_{M1} : Coeficiente parcial de seguridad del material.

$$f_y : \underline{2803.26} \text{ kp/cm}^2$$

$$\gamma_{M1} : \underline{1.05}$$

c_{LT} : Factor de reducción por pandeo lateral.

$$\chi_{LT} = \frac{1}{\Phi_{LT} + \sqrt{\Phi_{LT}^2 - \bar{\lambda}_{LT}^2}} \leq 1$$

$$c_{LT}^+ : \underline{1.00}$$

$$c_{LT}^- : \underline{0.51}$$

Siendo:

$$\Phi_{LT} = 0.5 \cdot \left[1 + \alpha_{LT} \cdot (\bar{\lambda}_{LT} - 0.2) + \bar{\lambda}_{LT}^2 \right]$$

$$f_{LT}^+ : \underline{0.00}$$

$$f_{LT}^- : \underline{1.36}$$

α_{LT} : Coeficiente de imperfección elástica.

$$a_{LT} : \underline{0.21}$$

$\bar{\lambda}_{LT}$: Esbeltez reducida.

$$\bar{\lambda}_{LT}^+ = \sqrt{\frac{W_{pl,y}^+ \cdot f_y}{M_{cr}}}$$

$$\bar{\lambda}_{LT}^+ : \underline{0.00}$$

$$\bar{\lambda}_{LT}^- = \sqrt{\frac{W_{pl,y}^- \cdot f_y}{M_{cr}}}$$

$$\bar{\lambda}_{LT}^- : \underline{1.23}$$

M_{cr} : Momento crítico elástico de pandeo lateral.

$$M_{cr}^+ : \underline{\infty}$$

$$M_{cr}^- : \underline{3.085} \text{ t}\cdot\text{m}$$

El momento crítico elástico de pandeo lateral M_{cr} se determina según la teoría de la elasticidad:

$$M_{cr} = \sqrt{M_{LTV}^2 + M_{LTw}^2}$$

Siendo:

M_{LTV} : Componente que representa la resistencia por torsión uniforme de la barra.

$$M_{LTV} = C_1 \cdot \frac{\pi}{L_c} \cdot \sqrt{G \cdot I_t \cdot E \cdot I_z}$$

$$M_{LTV}^+ : \underline{\infty}$$

$$M_{LTV}^- : \underline{2.684} \text{ t}\cdot\text{m}$$

M_{LTw} : Componente que representa la resistencia por torsión no uniforme de la barra.

$$M_{LTw} = W_{el,y} \cdot \frac{\pi^2 \cdot E}{L_c^2} \cdot C_1 \cdot i_{f,z}^2$$

$$M_{LTw}^+ : \underline{\infty}$$

Comprobaciones E.L.U. - Viga Pórtico 11-Pórtico 13 (Pórtico 26)

Siendo:

$W_{el,y}$: Módulo resistente elástico de la sección bruta, obtenido para la fibra más comprimida.

I_z : Momento de inercia de la sección bruta, respecto al eje Z.

I_t : Momento de inercia a torsión uniforme.

E: Módulo de elasticidad.

G: Módulo de elasticidad transversal.

L_c^+ : Longitud efectiva de pandeo lateral del ala superior.

L_c^- : Longitud efectiva de pandeo lateral del ala inferior.

C_1 : Factor que depende de las condiciones de apoyo y de la forma de la ley de momentos flectores sobre la barra.

$i_{r,z}$: Radio de giro, respecto al eje de menor inercia de la sección, del soporte formado por el ala comprimida y la tercera parte de la zona comprimida del alma adyacente al ala comprimida.

$$M_{LTW}^- : \underline{1.520} \text{ t}\cdot\text{m}$$

$$W_{el,y} : \underline{146.33} \text{ cm}^3$$

$$I_z : \underline{101.00} \text{ cm}^4$$

$$I_t : \underline{4.79} \text{ cm}^4$$

$$E : \underline{2140673} \text{ kp/cm}^2$$

$$G : \underline{825688} \text{ kp/cm}^2$$

$$L_c^+ : \underline{0.000} \text{ m}$$

$$L_c^- : \underline{3.423} \text{ m}$$

$$C_1 : \underline{1.00}$$

$$i_{r,z}^+ : \underline{2.40} \text{ cm}$$

$$i_{r,z}^- : \underline{2.40} \text{ cm}$$

Resistencia a flexión eje Z (CTE DB SE-A, Artículo 6.2.6)

La comprobación no procede, ya que no hay momento flector.

Comprobaciones E.L.U. - Viga Pórtico 11-Pórtico 13 (Pórtico 26)

Resistencia a corte Z (CTE DB SE-A, Artículo 6.2.4)

Se debe satisfacer:

$$\eta = \frac{V_{Ed}}{V_{c,Rd}} \leq 1$$

$$h : \underline{0.109} \quad \checkmark$$

El esfuerzo solicitante de cálculo pésimo se produce para la combinación de acciones 1.35·PP+1.35·CM+1.5·Qa+0.9·V(-Xexc.+).

V_{Ed} : Esfuerzo cortante solicitante de cálculo pésimo.

$$V_{Ed} : \underline{1.874} \text{ t}$$

El esfuerzo cortante resistente de cálculo $V_{c,Rd}$ viene dado por:

$$V_{c,Rd} = A_v \cdot \frac{f_{yd}}{\sqrt{3}}$$

$$V_{c,Rd} : \underline{17.270} \text{ t}$$

Donde:

A_v : Área transversal a cortante.

$$A_v : \underline{11.20} \text{ cm}^2$$

$$A_v = h \cdot t_w$$

Siendo:

h: Canto de la sección.

$$h : \underline{180.00} \text{ mm}$$

t_w : Espesor del alma.

$$t_w : \underline{5.30} \text{ mm}$$

f_{yd} : Resistencia de cálculo del acero.

$$f_{yd} : \underline{2669.77} \text{ kp/cm}^2$$

$$f_{yd} = f_y / \gamma_{M0}$$

Siendo:

f_y : Límite elástico. (CTE DB SE-A, Tabla 4.1)

$$f_y : \underline{2803.26} \text{ kp/cm}^2$$

γ_{M0} : Coeficiente parcial de seguridad del material.

$$\gamma_{M0} : \underline{1.05}$$

Abolladura por cortante del alma: (CTE DB SE-A, Artículo 6.3.3.4)

Aunque no se han dispuesto rigidizadores transversales, no es necesario comprobar la resistencia a la abolladura del alma, puesto que se cumple:

$$\frac{d}{t_w} < 70 \cdot \varepsilon$$

$$27.55 < 64.71 \quad \checkmark$$

Donde:

l_w : Esbeltez del alma.

$$l_w : \underline{27.55}$$

$$\lambda_w = \frac{d}{t_w}$$

l_{\max} : Esbeltez máxima.

$$l_{\max} : \underline{64.71}$$

$$\lambda_{\max} = 70 \cdot \varepsilon$$

e: Factor de reducción.

$$e : \underline{0.92}$$

$$\varepsilon = \sqrt{\frac{f_{ref}}{f_y}}$$

Siendo:

f_{ref} : Límite elástico de referencia.

$$f_{ref} : \underline{2395.51} \text{ kp/cm}^2$$

f_y : Límite elástico. (CTE DB SE-A, Tabla 4.1)

$$f_y : \underline{2803.26} \text{ kp/cm}^2$$

Comprobaciones E.L.U. - Viga Pórtico 11-Pórtico 13 (Pórtico 26)

Resistencia a corte Y (CTE DB SE-A, Artículo 6.2.4)

La comprobación no procede, ya que no hay esfuerzo cortante.

Resistencia a momento flector Y y fuerza cortante Z combinados (CTE DB SE-A, Artículo 6.2.8)

No es necesario reducir la resistencia de cálculo a flexión, ya que el esfuerzo cortante solicitante de cálculo pésimo V_{Ed} no es superior al 50% de la resistencia de cálculo a cortante $V_{c,Rd}$.

$$V_{Ed} \leq \frac{V_{c,Rd}}{2}$$

$$1.874 \text{ t} \leq 8.635 \text{ t} \quad \checkmark$$

Los esfuerzos solicitantes de cálculo pésimos se producen para la combinación de acciones $1.35 \cdot PP + 1.35 \cdot CM + 1.5 \cdot Qa + 0.9 \cdot V(-Xexc. +)$.

V_{Ed} : Esfuerzo cortante solicitante de cálculo pésimo.

$$V_{Ed} : \underline{1.874} \text{ t}$$

$V_{c,Rd}$: Esfuerzo cortante resistente de cálculo.

$$V_{c,Rd} : \underline{17.270} \text{ t}$$

Resistencia a momento flector Z y fuerza cortante Y combinados (CTE DB SE-A, Artículo 6.2.8)

No hay interacción entre momento flector y esfuerzo cortante para ninguna combinación. Por lo tanto, la comprobación no procede.

Resistencia a flexión y axil combinados (CTE DB SE-A, Artículo 6.2.8)

No hay interacción entre axil y momento flector ni entre momentos flectores en ambas direcciones para ninguna combinación. Por lo tanto, la comprobación no procede.

Resistencia a flexión, axil y cortante combinados (CTE DB SE-A, Artículo 6.2.8)

No hay interacción entre momento flector, axil y cortante para ninguna combinación. Por lo tanto, la comprobación no procede.

Resistencia a torsión (CTE DB SE-A, Artículo 6.2.7)

Se debe satisfacer:

$$\eta = \frac{M_{T,Ed}}{M_{T,Rd}} \leq 1$$

$$h : \underline{0.010} \quad \checkmark$$

El esfuerzo solicitante de cálculo pésimo se produce para la combinación de acciones $1.35 \cdot PP + 1.35 \cdot CM + 1.5 \cdot Qa + 0.9 \cdot V(+Yexc. +)$.

$M_{T,Ed}$: Momento torsor solicitante de cálculo pésimo.

$$M_{T,Ed} : \underline{0.001} \text{ t}\cdot\text{m}$$

El momento torsor resistente de cálculo $M_{T,Rd}$ viene dado por:

$$M_{T,Rd} = \frac{1}{\sqrt{3}} \cdot W_T \cdot f_{yd}$$

$$M_{T,Rd} : \underline{0.092} \text{ t}\cdot\text{m}$$

Donde:

W_T : Módulo de resistencia a torsión.

$$W_T : \underline{5.99} \text{ cm}^3$$

f_{yd} : Resistencia de cálculo del acero.

$$f_{yd} : \underline{2669.77} \text{ kp/cm}^2$$

$$f_{yd} = f_y / \gamma_{M0}$$

Siendo:

f_y : Límite elástico. (CTE DB SE-A, Tabla 4.1)

$$f_y : \underline{2803.26} \text{ kp/cm}^2$$

γ_{M0} : Coeficiente parcial de seguridad del material.

$$\gamma_{M0} : \underline{1.05}$$

Comprobaciones E.L.U. - Viga Pórtico 11-Pórtico 13 (Pórtico 26)

Resistencia a cortante Z y momento torsor combinados (CTE DB SE-A, Artículo 6.2.8)

Se debe satisfacer:

$$\eta = \frac{V_{Ed}}{V_{pl,T,Rd}} \leq 1$$

$$h : \underline{0.109} \quad \checkmark$$

Los esfuerzos solicitantes de cálculo pésimos se producen para la combinación de acciones 1.35·PP+1.35·CM+1.5·Qa+0.9·V(-Xexc.+).

V_{Ed} : Esfuerzo cortante solicitante de cálculo pésimo.

$$V_{Ed} : \underline{1.874} \text{ t}$$

$M_{T,Ed}$: Momento torsor solicitante de cálculo pésimo.

$$M_{T,Ed} : \underline{0.001} \text{ t}\cdot\text{m}$$

El esfuerzo cortante resistente de cálculo reducido $V_{pl,T,Rd}$ viene dado por:

$$V_{pl,T,Rd} = \sqrt{1 - \frac{\tau_{T,Ed}}{1.25 \cdot f_{yd} / \sqrt{3}}} \cdot V_{pl,Rd}$$

$$V_{pl,T,Rd} : \underline{17.197} \text{ t}$$

Donde:

$V_{pl,Rd}$: Esfuerzo cortante resistente de cálculo.

$$V_{pl,Rd} : \underline{17.270} \text{ t}$$

$\tau_{T,Ed}$: Tensiones tangenciales por torsión.

$$\tau_{T,Ed} : \underline{16.10} \text{ kp/cm}^2$$

$$\tau_{T,Ed} = \frac{M_{T,Ed}}{W_t}$$

Siendo:

W_t : Módulo de resistencia a torsión.

$$W_t : \underline{5.99} \text{ cm}^3$$

f_{yd} : Resistencia de cálculo del acero.

$$f_{yd} : \underline{2669.77} \text{ kp/cm}^2$$

$$f_{yd} = f_y / \gamma_{M0}$$

Siendo:

f_y : Límite elástico. (CTE DB SE-A, Tabla 4.1)

$$f_y : \underline{2803.26} \text{ kp/cm}^2$$

γ_{M0} : Coeficiente parcial de seguridad del material.

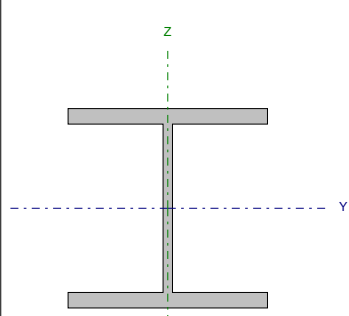
$$\gamma_{M0} : \underline{1.05}$$

Resistencia a cortante Y y momento torsor combinados (CTE DB SE-A, Artículo 6.2.8)

No hay interacción entre momento torsor y esfuerzo cortante para ninguna combinación. Por lo tanto, la comprobación no procede.

Comprobaciones E.L.U. - Viga B125-P5 (Pórtico 24)

1.- PLANTA 6

Perfil: HE 180 B Material: Acero (S275)							
	Tramo		Luz libre (m)	Características mecánicas			
	Origen	Extremo		Área (cm ²)	I _y ⁽¹⁾ (cm ⁴)	I _z ⁽¹⁾ (cm ⁴)	I _t ⁽²⁾ (cm ⁴)
		B125	P5	3.440	65.30	3831.00	1363.00
Notas: ⁽¹⁾ Inercia respecto al eje indicado ⁽²⁾ Momento de inercia a torsión uniforme							
			Pandeo		Pandeo lateral		
			Plano XY	Plano XZ	Ala sup.	Ala inf.	
	β		0.00	0.00	1.00	1.00	
	L _k		0.000	0.000	3.440	3.440	
	C _m		1.000	1.000	1.000	1.000	
	C ₁		-		1.000		
Notación: b: Coeficiente de pandeo L _k : Longitud de pandeo (m) C _m : Coeficiente de momentos C ₁ : Factor de modificación para el momento crítico							

Tramo	COMPROBACIONES (CTE DB SE-A)															Estado
	$\bar{\lambda}$	λ_w	N _t	N _c	M _y	M _z	V _z	V _y	M _y V _z	M _z V _y	NM _y M _z	NM _y M _z V _y V _z	M _t	M _y V _z	M _z V _y	
B125-P5	N.P. ⁽¹⁾	$\lambda_w \leq \lambda_{w,max}$ Cumple	N _{Ed} = 0.00 N.P. ⁽²⁾	N _{Ed} = 0.00 N.P. ⁽³⁾	$\eta = 29.6$	M _{Ed} = 0.00 N.P. ⁽⁴⁾	$\eta = 6.8$	V _{Ed} = 0.00 N.P. ⁽⁵⁾	$\eta < 0.1$	N.P. ⁽⁶⁾	N.P. ⁽⁷⁾	N.P. ⁽⁸⁾	$\eta = 6.5$	$\eta = 6.9$	N.P. ⁽⁹⁾	CUMPLE h = 29.6
Notación: I _w : Limitación de esbeltez I _w : Abolladura del alma inducida por el ala comprimida N _t : Resistencia a tracción N _c : Resistencia a compresión M _y : Resistencia a flexión eje Y M _z : Resistencia a flexión eje Z V _z : Resistencia a corte Z V _y : Resistencia a corte Y M _y V _z : Resistencia a momento flector Y y fuerza cortante Z combinados M _z V _y : Resistencia a momento flector Z y fuerza cortante Y combinados NM _y M _z : Resistencia a flexión y axil combinados NM _y M _z V _y V _z : Resistencia a flexión, axil y cortante combinados M _t : Resistencia a torsión M _y V _z : Resistencia a cortante Z y momento torsor combinados M _z V _y : Resistencia a cortante Y y momento torsor combinados x: Distancia al origen de la barra h: Coeficiente de aprovechamiento (%) N.P.: No procede																
Comprobaciones que no proceden (N.P.): ⁽¹⁾ La comprobación no procede, ya que no hay axil de compresión ni de tracción. ⁽²⁾ La comprobación no procede, ya que no hay axil de tracción. ⁽³⁾ La comprobación no procede, ya que no hay axil de compresión. ⁽⁴⁾ La comprobación no procede, ya que no hay momento flector. ⁽⁵⁾ La comprobación no procede, ya que no hay esfuerzo cortante. ⁽⁶⁾ No hay interacción entre momento flector y esfuerzo cortante para ninguna combinación. Por lo tanto, la comprobación no procede. ⁽⁷⁾ No hay interacción entre axil y momento flector ni entre momentos flectores en ambas direcciones para ninguna combinación. Por lo tanto, la comprobación no procede. ⁽⁸⁾ No hay interacción entre momento flector, axil y cortante para ninguna combinación. Por lo tanto, la comprobación no procede. ⁽⁹⁾ No hay interacción entre momento torsor y esfuerzo cortante para ninguna combinación. Por lo tanto, la comprobación no procede.																

Limitación de esbeltez (CTE DB SE-A, Artículos 6.3.1 y 6.3.2.1 - Tabla 6.3)

La comprobación no procede, ya que no hay axil de compresión ni de tracción.

Comprobaciones E.L.U. - Viga B125-P5 (Pórtico 24)

Abolladura del alma inducida por el ala comprimida (Criterio de CYPE Ingenieros, basado en: Eurocódigo 3 EN 1993-1-5: 2006, Artículo 8)

Se debe satisfacer:

$$\frac{h_w}{t_w} \leq k \frac{E}{f_{yf}} \sqrt{\frac{A_w}{A_{fc,ef}}}$$

17.88 ≤ 164.04 ✓

Donde:

h_w : Altura del alma.

h_w : 152.00 mm

t_w : Espesor del alma.

t_w : 8.50 mm

A_w : Área del alma.

A_w : 12.92 cm²

$A_{fc,ef}$: Área reducida del ala comprimida.

$A_{fc,ef}$: 25.20 cm²

k : Coeficiente que depende de la clase de la sección.

k : 0.30

E : Módulo de elasticidad.

E : 2140673 kp/cm²

f_{yf} : Límite elástico del acero del ala comprimida.

f_{yf} : 2803.26 kp/cm²

Siendo:

$$f_{yf} = f_y$$

Resistencia a tracción (CTE DB SE-A, Artículo 6.2.3)

La comprobación no procede, ya que no hay axil de tracción.

Resistencia a compresión (CTE DB SE-A, Artículo 6.2.5)

La comprobación no procede, ya que no hay axil de compresión.

Resistencia a flexión eje Y (CTE DB SE-A, Artículo 6.2.6)

Se debe satisfacer:

$$\eta = \frac{M_{Ed}}{M_{c,Rd}} \leq 1$$

η : 0.261 ✓

$$\eta = \frac{M_{Ed}}{M_{b,Rd}} \leq 1$$

η : 0.296 ✓

Para flexión positiva:

M_{Ed}^+ : Momento flector solicitante de cálculo pésimo.

M_{Ed}^+ : 0.000 t·m

Para flexión negativa:

El esfuerzo solicitante de cálculo pésimo se produce para la combinación de acciones 1.35·PP+1.35·CM+1.5·Qa+0.9·V(-Yexc. +).

M_{Ed}^- : Momento flector solicitante de cálculo pésimo.

M_{Ed}^- : 3.354 t·m

El momento flector resistente de cálculo $M_{c,Rd}$ viene dado por:

$$M_{c,Rd} = W_{pl,y} \cdot f_{yd}$$

$M_{c,Rd}$: 12.852 t·m

Donde:

Clase: Clase de la sección, según la capacidad de deformación y de desarrollo de la resistencia plástica de los elementos planos de una sección a flexión simple.

Clase : 1

$W_{pl,y}$: Módulo resistente plástico correspondiente a la fibra con mayor tensión, para las secciones de clase 1 y 2.

$W_{pl,y}$: 481.40 cm³

f_{yd} : Resistencia de cálculo del acero.

f_{yd} : 2669.77 kp/cm²

Comprobaciones E.L.U. - Viga B125-P5 (Pórtico 24)

$$f_{yd} = f_y / \gamma_{M0}$$

Siendo:

f_y : Límite elástico. (CTE DB SE-A, Tabla 4.1)

$$f_y : \underline{2803.26} \text{ kp/cm}^2$$

γ_{M0} : Coeficiente parcial de seguridad del material.

$$\gamma_{M0} : \underline{1.05}$$

Resistencia a pandeo lateral: (CTE DB SE-A, Artículo 6.3.3.2)

El momento flector resistente de cálculo $M_{b,Rd}$ viene dado por:

$$M_{b,Rd} = \chi_{LT} \cdot W_{pl,y} \cdot f_{yd}$$

$$M_{b,Rd} : \underline{11.321} \text{ t}\cdot\text{m}$$

Donde:

$W_{pl,y}$: Módulo resistente plástico correspondiente a la fibra con mayor tensión, para las secciones de clase 1 y 2.

$$W_{pl,y} : \underline{481.40} \text{ cm}^3$$

f_{yd} : Resistencia de cálculo del acero.

$$f_{yd} : \underline{2669.77} \text{ kp/cm}^2$$

$$f_{yd} = f_y / \gamma_{M1}$$

Siendo:

f_y : Límite elástico. (CTE DB SE-A, Tabla 4.1)

$$f_y : \underline{2803.26} \text{ kp/cm}^2$$

γ_{M1} : Coeficiente parcial de seguridad del material.

$$\gamma_{M1} : \underline{1.05}$$

c_{LT} : Factor de reducción por pandeo lateral.

$$\chi_{LT} = \frac{1}{\Phi_{LT} + \sqrt{\Phi_{LT}^2 - \bar{\lambda}_{LT}^2}} \leq 1$$

$$c_{LT} : \underline{0.88}$$

Siendo:

$$\Phi_{LT} = 0.5 \cdot \left[1 + \alpha_{LT} \cdot (\bar{\lambda}_{LT} - 0.2) + \bar{\lambda}_{LT}^2 \right]$$

$$f_{LT} : \underline{0.74}$$

α_{LT} : Coeficiente de imperfección elástica.

$$a_{LT} : \underline{0.21}$$

$$\bar{\lambda}_{LT} = \sqrt{\frac{W_{pl,y} \cdot f_y}{M_{cr}}}$$

$$\bar{\lambda}_{LT} : \underline{0.62}$$

M_{cr} : Momento crítico elástico de pandeo lateral.

$$M_{cr} : \underline{34.706} \text{ t}\cdot\text{m}$$

El momento crítico elástico de pandeo lateral M_{cr} se determina según la teoría de la elasticidad:

$$M_{cr} = \sqrt{M_{LTV}^2 + M_{LTW}^2}$$

Siendo:

M_{LTV} : Componente que representa la resistencia por torsión uniforme de la barra.

$$M_{LTV} = C_1 \cdot \frac{\pi}{L_c} \cdot \sqrt{G \cdot I_t \cdot E \cdot I_z}$$

$$M_{LTV} : \underline{29.104} \text{ t}\cdot\text{m}$$

M_{LTW} : Componente que representa la resistencia por torsión no uniforme de la barra.

$$M_{LTW} = W_{el,y} \cdot \frac{\pi^2 \cdot E}{L_c^2} \cdot C_1 \cdot i_{f,z}^2$$

$$M_{LTW} : \underline{18.906} \text{ t}\cdot\text{m}$$

Siendo:

$W_{el,y}$: Módulo resistente elástico de la sección bruta, obtenido para la fibra más comprimida.

$$W_{el,y} : \underline{425.67} \text{ cm}^3$$

I_z : Momento de inercia de la sección bruta, respecto al eje Z.

$$I_z : \underline{1363.00} \text{ cm}^4$$

I_t : Momento de inercia a torsión uniforme.

$$I_t : \underline{42.16} \text{ cm}^4$$

E: Módulo de elasticidad.

$$E : \underline{2140673} \text{ kp/cm}^2$$

G: Módulo de elasticidad transversal.

$$G : \underline{825688} \text{ kp/cm}^2$$

Comprobaciones E.L.U. - Viga B125-P5 (Pórtico 24)

L_c^+ : Longitud efectiva de pandeo lateral del ala superior.

$$L_c^+ : \underline{\quad 3.440 \quad} \text{ m}$$

L_c^- : Longitud efectiva de pandeo lateral del ala inferior.

$$L_c^- : \underline{\quad 3.440 \quad} \text{ m}$$

C_1 : Factor que depende de las condiciones de apoyo y de la forma de la ley de momentos flectores sobre la barra.

$$C_1 : \underline{\quad 1.00 \quad}$$

$i_{r,z}$: Radio de giro, respecto al eje de menor inercia de la sección, del soporte formado por el ala comprimida y la tercera parte de la zona comprimida del alma adyacente al ala comprimida.

$$i_{r,z}^+ : \underline{\quad 4.99 \quad} \text{ cm}$$

$$i_{r,z}^- : \underline{\quad 4.99 \quad} \text{ cm}$$

Resistencia a flexión eje Z (CTE DB SE-A, Artículo 6.2.6)

La comprobación no procede, ya que no hay momento flector.

Comprobaciones E.L.U. - Viga B125-P5 (Pórtico 24)

Resistencia a corte Z (CTE DB SE-A, Artículo 6.2.4)

Se debe satisfacer:

$$\eta = \frac{V_{Ed}}{V_{c,Rd}} \leq 1$$

$$h : \underline{0.068} \quad \checkmark$$

El esfuerzo solicitante de cálculo pésimo se produce para la combinación de acciones 1.35·PP+1.35·CM+1.5·Qa+0.9·V(-Yexc. +).

V_{Ed} : Esfuerzo cortante solicitante de cálculo pésimo.

$$V_{Ed} : \underline{2.115} \text{ t}$$

El esfuerzo cortante resistente de cálculo $V_{c,Rd}$ viene dado por:

$$V_{c,Rd} = A_v \cdot \frac{f_{yd}}{\sqrt{3}}$$

$$V_{c,Rd} : \underline{31.275} \text{ t}$$

Donde:

A_v : Área transversal a cortante.

$$A_v : \underline{20.29} \text{ cm}^2$$

$$A_v = h \cdot t_w$$

Siendo:

h: Canto de la sección.

$$h : \underline{180.00} \text{ mm}$$

t_w : Espesor del alma.

$$t_w : \underline{8.50} \text{ mm}$$

f_{yd} : Resistencia de cálculo del acero.

$$f_{yd} : \underline{2669.77} \text{ kp/cm}^2$$

$$f_{yd} = f_y / \gamma_{M0}$$

Siendo:

f_y : Límite elástico. (CTE DB SE-A, Tabla 4.1)

$$f_y : \underline{2803.26} \text{ kp/cm}^2$$

γ_{M0} : Coeficiente parcial de seguridad del material.

$$\gamma_{M0} : \underline{1.05}$$

Abolladura por cortante del alma: (CTE DB SE-A, Artículo 6.3.3.4)

Aunque no se han dispuesto rigidizadores transversales, no es necesario comprobar la resistencia a la abolladura del alma, puesto que se cumple:

$$\frac{d}{t_w} < 70 \cdot \varepsilon$$

$$14.35 < 64.71 \quad \checkmark$$

Donde:

l_w : Esbeltez del alma.

$$l_w : \underline{14.35}$$

$$\lambda_w = \frac{d}{t_w}$$

l_{\max} : Esbeltez máxima.

$$l_{\max} : \underline{64.71}$$

$$\lambda_{\max} = 70 \cdot \varepsilon$$

e: Factor de reducción.

$$e : \underline{0.92}$$

$$\varepsilon = \sqrt{\frac{f_{ref}}{f_y}}$$

Siendo:

f_{ref} : Límite elástico de referencia.

$$f_{ref} : \underline{2395.51} \text{ kp/cm}^2$$

f_y : Límite elástico. (CTE DB SE-A, Tabla 4.1)

$$f_y : \underline{2803.26} \text{ kp/cm}^2$$

Comprobaciones E.L.U. - Viga B125-P5 (Pórtico 24)

Resistencia a corte Y (CTE DB SE-A, Artículo 6.2.4)

La comprobación no procede, ya que no hay esfuerzo cortante.

Resistencia a momento flector Y y fuerza cortante Z combinados (CTE DB SE-A, Artículo 6.2.8)

No es necesario reducir la resistencia de cálculo a flexión, ya que el esfuerzo cortante solicitante de cálculo pésimo V_{Ed} no es superior al 50% de la resistencia de cálculo a cortante $V_{c,Rd}$.

$$V_{Ed} \leq \frac{V_{c,Rd}}{2}$$

$$2.115 \text{ t} \leq 15.637 \text{ t} \quad \checkmark$$

Los esfuerzos solicitantes de cálculo pésimos se producen para la combinación de acciones $1.35 \cdot PP + 1.35 \cdot CM + 1.5 \cdot Qa + 0.9 \cdot V(-Yexc. +)$.

V_{Ed} : Esfuerzo cortante solicitante de cálculo pésimo.

$$V_{Ed} : \underline{2.115} \text{ t}$$

$V_{c,Rd}$: Esfuerzo cortante resistente de cálculo.

$$V_{c,Rd} : \underline{31.275} \text{ t}$$

Resistencia a momento flector Z y fuerza cortante Y combinados (CTE DB SE-A, Artículo 6.2.8)

No hay interacción entre momento flector y esfuerzo cortante para ninguna combinación. Por lo tanto, la comprobación no procede.

Resistencia a flexión y axil combinados (CTE DB SE-A, Artículo 6.2.8)

No hay interacción entre axil y momento flector ni entre momentos flectores en ambas direcciones para ninguna combinación. Por lo tanto, la comprobación no procede.

Resistencia a flexión, axil y cortante combinados (CTE DB SE-A, Artículo 6.2.8)

No hay interacción entre momento flector, axil y cortante para ninguna combinación. Por lo tanto, la comprobación no procede.

Resistencia a torsión (CTE DB SE-A, Artículo 6.2.7)

Se debe satisfacer:

$$\eta = \frac{M_{T,Ed}}{M_{T,Rd}} \leq 1$$

$$h : \underline{0.065} \quad \checkmark$$

El esfuerzo solicitante de cálculo pésimo se produce para la combinación de acciones $1.35 \cdot PP + 1.35 \cdot CM + 1.5 \cdot Qa + 0.9 \cdot V(-Xexc. +)$.

$M_{T,Ed}$: Momento torsor solicitante de cálculo pésimo.

$$M_{T,Ed} : \underline{0.030} \text{ t}\cdot\text{m}$$

El momento torsor resistente de cálculo $M_{T,Rd}$ viene dado por:

$$M_{T,Rd} = \frac{1}{\sqrt{3}} \cdot W_T \cdot f_{yd}$$

$$M_{T,Rd} : \underline{0.464} \text{ t}\cdot\text{m}$$

Donde:

W_T : Módulo de resistencia a torsión.

$$W_T : \underline{30.11} \text{ cm}^3$$

f_{yd} : Resistencia de cálculo del acero.

$$f_{yd} : \underline{2669.77} \text{ kp/cm}^2$$

$$f_{yd} = f_y / \gamma_{M0}$$

Siendo:

f_y : Límite elástico. (CTE DB SE-A, Tabla 4.1)

$$f_y : \underline{2803.26} \text{ kp/cm}^2$$

γ_{M0} : Coeficiente parcial de seguridad del material.

$$\gamma_{M0} : \underline{1.05}$$

Comprobaciones E.L.U. - Viga B125-P5 (Pórtico 24)

Resistencia a cortante Z y momento torsor combinados (CTE DB SE-A, Artículo 6.2.8)

Se debe satisfacer:

$$\eta = \frac{V_{Ed}}{V_{pl,T,Rd}} \leq 1$$

$$h : \underline{0.069} \quad \checkmark$$

Los esfuerzos solicitantes de cálculo pésimos se producen para la combinación de acciones 1.35·PP+1.35·CM+1.5·Qa+0.9·V(-Yexc.+).

V_{Ed} : Esfuerzo cortante solicitante de cálculo pésimo.

$$V_{Ed} : \underline{2.115} \text{ t}$$

$M_{T,Ed}$: Momento torsor solicitante de cálculo pésimo.

$$M_{T,Ed} : \underline{0.030} \text{ t}\cdot\text{m}$$

El esfuerzo cortante resistente de cálculo reducido $V_{pl,T,Rd}$ viene dado por:

$$V_{pl,T,Rd} = \sqrt{1 - \frac{\tau_{T,Ed}}{1.25 \cdot f_{yd} / \sqrt{3}}} \cdot V_{pl,Rd}$$

$$V_{pl,T,Rd} : \underline{30.450} \text{ t}$$

Donde:

$V_{pl,Rd}$: Esfuerzo cortante resistente de cálculo.

$$V_{pl,Rd} : \underline{31.275} \text{ t}$$

$\tau_{T,Ed}$: Tensiones tangenciales por torsión.

$$\tau_{T,Ed} : \underline{100.31} \text{ kp/cm}^2$$

$$\tau_{T,Ed} = \frac{M_{T,Ed}}{W_t}$$

Siendo:

W_t : Módulo de resistencia a torsión.

$$W_t : \underline{30.11} \text{ cm}^3$$

f_{yd} : Resistencia de cálculo del acero.

$$f_{yd} : \underline{2669.77} \text{ kp/cm}^2$$

$$f_{yd} = f_y / \gamma_{M0}$$

Siendo:

f_y : Límite elástico. (CTE DB SE-A, Tabla 4.1)

$$f_y : \underline{2803.26} \text{ kp/cm}^2$$

γ_{M0} : Coeficiente parcial de seguridad del material.

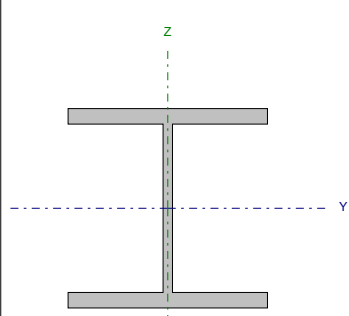
$$\gamma_{M0} : \underline{1.05}$$

Resistencia a cortante Y y momento torsor combinados (CTE DB SE-A, Artículo 6.2.8)

No hay interacción entre momento torsor y esfuerzo cortante para ninguna combinación. Por lo tanto, la comprobación no procede.

Comprobaciones E.L.U. - Viga B125-P5 (Pórtico 24)

1.- PLANTA 6

Perfil: HE 180 B Material: Acero (S275)							
	Tramo		Luz libre (m)	Características mecánicas			
	Origen	Extremo		Área (cm ²)	I _y ⁽¹⁾ (cm ⁴)	I _z ⁽¹⁾ (cm ⁴)	I _t ⁽²⁾ (cm ⁴)
		B125	P5	3.440	65.30	3831.00	1363.00
Notas: ⁽¹⁾ Inercia respecto al eje indicado ⁽²⁾ Momento de inercia a torsión uniforme							
	Pandeo			Pandeo lateral			
	Plano XY		Plano XZ	Ala sup.		Ala inf.	
	β	0.00	0.00	1.00		1.00	
	L _k	0.000	0.000	3.440		3.440	
	C _m	1.000	1.000	1.000		1.000	
	C ₁	-			1.000		
Notación: b: Coeficiente de pandeo L _k : Longitud de pandeo (m) C _m : Coeficiente de momentos C ₁ : Factor de modificación para el momento crítico							

Tramo	COMPROBACIONES (CTE DB SE-A)															Estado
	$\bar{\lambda}$	λ_w	N _t	N _c	M _y	M _z	V _z	V _y	M _y V _z	M _z V _y	NM _y M _z	NM _z M _y V _z	M _t	M _y V _z	M _z V _y	
B125-P5	N.P. ⁽¹⁾	$\lambda_w \leq \lambda_{w,max}$ Cumple	N _{Ed} = 0.00 N.P. ⁽²⁾	N _{Ed} = 0.00 N.P. ⁽³⁾	η = 29.6	M _{Ed} = 0.00 N.P. ⁽⁴⁾	η = 6.8	V _{Ed} = 0.00 N.P. ⁽⁵⁾	η < 0.1	N.P. ⁽⁶⁾	N.P. ⁽⁷⁾	N.P. ⁽⁸⁾	η = 6.5	η = 6.9	N.P. ⁽⁹⁾	CUMPLE h = 29.6
Notación: I _w : Limitación de esbeltez I _z : Abolladura del alma inducida por el ala comprimida N _t : Resistencia a tracción N _c : Resistencia a compresión M _y : Resistencia a flexión eje Y M _z : Resistencia a flexión eje Z V _z : Resistencia a corte Z V _y : Resistencia a corte Y M _y V _z : Resistencia a momento flector Y y fuerza cortante Z combinados M _z V _y : Resistencia a momento flector Z y fuerza cortante Y combinados NM _y M _z : Resistencia a flexión y axil combinados NM _z M _y V _z : Resistencia a flexión, axil y cortante combinados M _t : Resistencia a torsión M _y V _z : Resistencia a cortante Z y momento torsor combinados M _z V _y : Resistencia a cortante Y y momento torsor combinados x: Distancia al origen de la barra h: Coeficiente de aprovechamiento (%) N.P.: No procede																
Comprobaciones que no proceden (N.P.): ⁽¹⁾ La comprobación no procede, ya que no hay axil de compresión ni de tracción. ⁽²⁾ La comprobación no procede, ya que no hay axil de tracción. ⁽³⁾ La comprobación no procede, ya que no hay axil de compresión. ⁽⁴⁾ La comprobación no procede, ya que no hay momento flector. ⁽⁵⁾ La comprobación no procede, ya que no hay esfuerzo cortante. ⁽⁶⁾ No hay interacción entre momento flector y esfuerzo cortante para ninguna combinación. Por lo tanto, la comprobación no procede. ⁽⁷⁾ No hay interacción entre axil y momento flector ni entre momentos flectores en ambas direcciones para ninguna combinación. Por lo tanto, la comprobación no procede. ⁽⁸⁾ No hay interacción entre momento flector, axil y cortante para ninguna combinación. Por lo tanto, la comprobación no procede. ⁽⁹⁾ No hay interacción entre momento torsor y esfuerzo cortante para ninguna combinación. Por lo tanto, la comprobación no procede.																

Limitación de esbeltez (CTE DB SE-A, Artículos 6.3.1 y 6.3.2.1 - Tabla 6.3)

La comprobación no procede, ya que no hay axil de compresión ni de tracción.

Comprobaciones E.L.U. - Viga B125-P5 (Pórtico 24)

Abolladura del alma inducida por el ala comprimida (Criterio de CYPE Ingenieros, basado en: Eurocódigo 3 EN 1993-1-5: 2006, Artículo 8)

Se debe satisfacer:

$$\frac{h_w}{t_w} \leq k \frac{E}{f_{yf}} \sqrt{\frac{A_w}{A_{fc,ef}}}$$

17.88 ≤ 164.04 ✓

Donde:

h_w : Altura del alma.

h_w : 152.00 mm

t_w : Espesor del alma.

t_w : 8.50 mm

A_w : Área del alma.

A_w : 12.92 cm²

$A_{fc,ef}$: Área reducida del ala comprimida.

$A_{fc,ef}$: 25.20 cm²

k : Coeficiente que depende de la clase de la sección.

k : 0.30

E : Módulo de elasticidad.

E : 2140673 kp/cm²

f_{yf} : Límite elástico del acero del ala comprimida.

f_{yf} : 2803.26 kp/cm²

Siendo:

$$f_{yf} = f_y$$

Resistencia a tracción (CTE DB SE-A, Artículo 6.2.3)

La comprobación no procede, ya que no hay axil de tracción.

Resistencia a compresión (CTE DB SE-A, Artículo 6.2.5)

La comprobación no procede, ya que no hay axil de compresión.

Resistencia a flexión eje Y (CTE DB SE-A, Artículo 6.2.6)

Se debe satisfacer:

$$\eta = \frac{M_{Ed}}{M_{c,Rd}} \leq 1$$

η : 0.261 ✓

$$\eta = \frac{M_{Ed}}{M_{b,Rd}} \leq 1$$

η : 0.296 ✓

Para flexión positiva:

M_{Ed}^+ : Momento flector solicitante de cálculo pésimo.

M_{Ed}^+ : 0.000 t·m

Para flexión negativa:

El esfuerzo solicitante de cálculo pésimo se produce para la combinación de acciones 1.35·PP+1.35·CM+1.5·Qa+0.9·V(-Yexc. +).

M_{Ed}^- : Momento flector solicitante de cálculo pésimo.

M_{Ed}^- : 3.354 t·m

El momento flector resistente de cálculo $M_{c,Rd}$ viene dado por:

$$M_{c,Rd} = W_{pl,y} \cdot f_{yd}$$

$M_{c,Rd}$: 12.852 t·m

Donde:

Clase: Clase de la sección, según la capacidad de deformación y de desarrollo de la resistencia plástica de los elementos planos de una sección a flexión simple.

Clase : 1

$W_{pl,y}$: Módulo resistente plástico correspondiente a la fibra con mayor tensión, para las secciones de clase 1 y 2.

$W_{pl,y}$: 481.40 cm³

f_{yd} : Resistencia de cálculo del acero.

f_{yd} : 2669.77 kp/cm²

Comprobaciones E.L.U. - Viga B125-P5 (Pórtico 24)

$$f_{yd} = f_y / \gamma_{M0}$$

Siendo:

f_y : Límite elástico. (CTE DB SE-A, Tabla 4.1)

$$f_y : \underline{2803.26} \text{ kp/cm}^2$$

γ_{M0} : Coeficiente parcial de seguridad del material.

$$\gamma_{M0} : \underline{1.05}$$

Resistencia a pandeo lateral: (CTE DB SE-A, Artículo 6.3.3.2)

El momento flector resistente de cálculo $M_{b,Rd}$ viene dado por:

$$M_{b,Rd} = \chi_{LT} \cdot W_{pl,y} \cdot f_{yd}$$

$$M_{b,Rd} : \underline{11.321} \text{ t}\cdot\text{m}$$

Donde:

$W_{pl,y}$: Módulo resistente plástico correspondiente a la fibra con mayor tensión, para las secciones de clase 1 y 2.

$$W_{pl,y} : \underline{481.40} \text{ cm}^3$$

f_{yd} : Resistencia de cálculo del acero.

$$f_{yd} : \underline{2669.77} \text{ kp/cm}^2$$

$$f_{yd} = f_y / \gamma_{M1}$$

Siendo:

f_y : Límite elástico. (CTE DB SE-A, Tabla 4.1)

$$f_y : \underline{2803.26} \text{ kp/cm}^2$$

γ_{M1} : Coeficiente parcial de seguridad del material.

$$\gamma_{M1} : \underline{1.05}$$

c_{LT} : Factor de reducción por pandeo lateral.

$$\chi_{LT} = \frac{1}{\Phi_{LT} + \sqrt{\Phi_{LT}^2 - \bar{\lambda}_{LT}^2}} \leq 1$$

$$c_{LT} : \underline{0.88}$$

Siendo:

$$\Phi_{LT} = 0.5 \cdot \left[1 + \alpha_{LT} \cdot (\bar{\lambda}_{LT} - 0.2) + \bar{\lambda}_{LT}^2 \right]$$

$$f_{LT} : \underline{0.74}$$

α_{LT} : Coeficiente de imperfección elástica.

$$a_{LT} : \underline{0.21}$$

$$\bar{\lambda}_{LT} = \sqrt{\frac{W_{pl,y} \cdot f_y}{M_{cr}}}$$

$$\bar{\lambda}_{LT} : \underline{0.62}$$

M_{cr} : Momento crítico elástico de pandeo lateral.

$$M_{cr} : \underline{34.706} \text{ t}\cdot\text{m}$$

El momento crítico elástico de pandeo lateral M_{cr} se determina según la teoría de la elasticidad:

$$M_{cr} = \sqrt{M_{LTV}^2 + M_{LTW}^2}$$

Siendo:

M_{LTV} : Componente que representa la resistencia por torsión uniforme de la barra.

$$M_{LTV} = C_1 \cdot \frac{\pi}{L_c} \cdot \sqrt{G \cdot I_t \cdot E \cdot I_z}$$

$$M_{LTV} : \underline{29.104} \text{ t}\cdot\text{m}$$

M_{LTW} : Componente que representa la resistencia por torsión no uniforme de la barra.

$$M_{LTW} = W_{el,y} \cdot \frac{\pi^2 \cdot E}{L_c^2} \cdot C_1 \cdot i_{f,z}^2$$

$$M_{LTW} : \underline{18.906} \text{ t}\cdot\text{m}$$

Siendo:

$W_{el,y}$: Módulo resistente elástico de la sección bruta, obtenido para la fibra más comprimida.

$$W_{el,y} : \underline{425.67} \text{ cm}^3$$

I_z : Momento de inercia de la sección bruta, respecto al eje Z.

$$I_z : \underline{1363.00} \text{ cm}^4$$

I_t : Momento de inercia a torsión uniforme.

$$I_t : \underline{42.16} \text{ cm}^4$$

E: Módulo de elasticidad.

$$E : \underline{2140673} \text{ kp/cm}^2$$

G: Módulo de elasticidad transversal.

$$G : \underline{825688} \text{ kp/cm}^2$$

Comprobaciones E.L.U. - Viga B125-P5 (Pórtico 24)

L_c^+ : Longitud efectiva de pandeo lateral del ala superior.

$$L_c^+ : \underline{\quad 3.440 \quad} \text{ m}$$

L_c^- : Longitud efectiva de pandeo lateral del ala inferior.

$$L_c^- : \underline{\quad 3.440 \quad} \text{ m}$$

C_1 : Factor que depende de las condiciones de apoyo y de la forma de la ley de momentos flectores sobre la barra.

$$C_1 : \underline{\quad 1.00 \quad}$$

$i_{r,z}$: Radio de giro, respecto al eje de menor inercia de la sección, del soporte formado por el ala comprimida y la tercera parte de la zona comprimida del alma adyacente al ala comprimida.

$$i_{r,z}^+ : \underline{\quad 4.99 \quad} \text{ cm}$$

$$i_{r,z}^- : \underline{\quad 4.99 \quad} \text{ cm}$$

Resistencia a flexión eje Z (CTE DB SE-A, Artículo 6.2.6)

La comprobación no procede, ya que no hay momento flector.

Comprobaciones E.L.U. - Viga B125-P5 (Pórtico 24)

Resistencia a corte Z (CTE DB SE-A, Artículo 6.2.4)

Se debe satisfacer:

$$\eta = \frac{V_{Ed}}{V_{c,Rd}} \leq 1$$

$$h : \underline{0.068} \quad \checkmark$$

El esfuerzo solicitante de cálculo pésimo se produce para la combinación de acciones 1.35·PP+1.35·CM+1.5·Qa+0.9·V(-Yexc. +).

V_{Ed} : Esfuerzo cortante solicitante de cálculo pésimo.

$$V_{Ed} : \underline{2.115} \text{ t}$$

El esfuerzo cortante resistente de cálculo $V_{c,Rd}$ viene dado por:

$$V_{c,Rd} = A_v \cdot \frac{f_{yd}}{\sqrt{3}}$$

$$V_{c,Rd} : \underline{31.275} \text{ t}$$

Donde:

A_v : Área transversal a cortante.

$$A_v : \underline{20.29} \text{ cm}^2$$

$$A_v = h \cdot t_w$$

Siendo:

h: Canto de la sección.

$$h : \underline{180.00} \text{ mm}$$

t_w : Espesor del alma.

$$t_w : \underline{8.50} \text{ mm}$$

f_{yd} : Resistencia de cálculo del acero.

$$f_{yd} : \underline{2669.77} \text{ kp/cm}^2$$

$$f_{yd} = f_y / \gamma_{M0}$$

Siendo:

f_y : Límite elástico. (CTE DB SE-A, Tabla 4.1)

$$f_y : \underline{2803.26} \text{ kp/cm}^2$$

γ_{M0} : Coeficiente parcial de seguridad del material.

$$\gamma_{M0} : \underline{1.05}$$

Abolladura por cortante del alma: (CTE DB SE-A, Artículo 6.3.3.4)

Aunque no se han dispuesto rigidizadores transversales, no es necesario comprobar la resistencia a la abolladura del alma, puesto que se cumple:

$$\frac{d}{t_w} < 70 \cdot \varepsilon$$

$$14.35 < 64.71 \quad \checkmark$$

Donde:

l_w : Esbeltez del alma.

$$l_w : \underline{14.35}$$

$$\lambda_w = \frac{d}{t_w}$$

l_{\max} : Esbeltez máxima.

$$l_{\max} : \underline{64.71}$$

$$\lambda_{\max} = 70 \cdot \varepsilon$$

e: Factor de reducción.

$$e : \underline{0.92}$$

$$\varepsilon = \sqrt{\frac{f_{ref}}{f_y}}$$

Siendo:

f_{ref} : Límite elástico de referencia.

$$f_{ref} : \underline{2395.51} \text{ kp/cm}^2$$

f_y : Límite elástico. (CTE DB SE-A, Tabla 4.1)

$$f_y : \underline{2803.26} \text{ kp/cm}^2$$

Comprobaciones E.L.U. - Viga B125-P5 (Pórtico 24)

Resistencia a corte Y (CTE DB SE-A, Artículo 6.2.4)

La comprobación no procede, ya que no hay esfuerzo cortante.

Resistencia a momento flector Y y fuerza cortante Z combinados (CTE DB SE-A, Artículo 6.2.8)

No es necesario reducir la resistencia de cálculo a flexión, ya que el esfuerzo cortante solicitante de cálculo pésimo V_{Ed} no es superior al 50% de la resistencia de cálculo a cortante $V_{c,Rd}$.

$$V_{Ed} \leq \frac{V_{c,Rd}}{2}$$

$$2.115 \text{ t} \leq 15.637 \text{ t} \quad \checkmark$$

Los esfuerzos solicitantes de cálculo pésimos se producen para la combinación de acciones $1.35 \cdot PP + 1.35 \cdot CM + 1.5 \cdot Qa + 0.9 \cdot V(-Yexc. +)$.

V_{Ed} : Esfuerzo cortante solicitante de cálculo pésimo.

$$V_{Ed} : \underline{2.115} \text{ t}$$

$V_{c,Rd}$: Esfuerzo cortante resistente de cálculo.

$$V_{c,Rd} : \underline{31.275} \text{ t}$$

Resistencia a momento flector Z y fuerza cortante Y combinados (CTE DB SE-A, Artículo 6.2.8)

No hay interacción entre momento flector y esfuerzo cortante para ninguna combinación. Por lo tanto, la comprobación no procede.

Resistencia a flexión y axil combinados (CTE DB SE-A, Artículo 6.2.8)

No hay interacción entre axil y momento flector ni entre momentos flectores en ambas direcciones para ninguna combinación. Por lo tanto, la comprobación no procede.

Resistencia a flexión, axil y cortante combinados (CTE DB SE-A, Artículo 6.2.8)

No hay interacción entre momento flector, axil y cortante para ninguna combinación. Por lo tanto, la comprobación no procede.

Resistencia a torsión (CTE DB SE-A, Artículo 6.2.7)

Se debe satisfacer:

$$\eta = \frac{M_{T,Ed}}{M_{T,Rd}} \leq 1$$

$$\eta : \underline{0.065} \quad \checkmark$$

El esfuerzo solicitante de cálculo pésimo se produce para la combinación de acciones $1.35 \cdot PP + 1.35 \cdot CM + 1.5 \cdot Qa + 0.9 \cdot V(-Xexc. +)$.

$M_{T,Ed}$: Momento torsor solicitante de cálculo pésimo.

$$M_{T,Ed} : \underline{0.030} \text{ t}\cdot\text{m}$$

El momento torsor resistente de cálculo $M_{T,Rd}$ viene dado por:

$$M_{T,Rd} = \frac{1}{\sqrt{3}} \cdot W_T \cdot f_{yd}$$

$$M_{T,Rd} : \underline{0.464} \text{ t}\cdot\text{m}$$

Donde:

W_T : Módulo de resistencia a torsión.

$$W_T : \underline{30.11} \text{ cm}^3$$

f_{yd} : Resistencia de cálculo del acero.

$$f_{yd} : \underline{2669.77} \text{ kp/cm}^2$$

$$f_{yd} = f_y / \gamma_{M0}$$

Siendo:

f_y : Límite elástico. (CTE DB SE-A, Tabla 4.1)

$$f_y : \underline{2803.26} \text{ kp/cm}^2$$

γ_{M0} : Coeficiente parcial de seguridad del material.

$$\gamma_{M0} : \underline{1.05}$$

Comprobaciones E.L.U. - Viga B125-P5 (Pórtico 24)

Resistencia a cortante Z y momento torsor combinados (CTE DB SE-A, Artículo 6.2.8)

Se debe satisfacer:

$$\eta = \frac{V_{Ed}}{V_{pl,T,Rd}} \leq 1$$

$$h : \underline{0.069} \quad \checkmark$$

Los esfuerzos solicitantes de cálculo pésimos se producen para la combinación de acciones 1.35·PP+1.35·CM+1.5·Qa+0.9·V(-Yexc.+).

V_{Ed} : Esfuerzo cortante solicitante de cálculo pésimo.

$$V_{Ed} : \underline{2.115} \text{ t}$$

$M_{T,Ed}$: Momento torsor solicitante de cálculo pésimo.

$$M_{T,Ed} : \underline{0.030} \text{ t}\cdot\text{m}$$

El esfuerzo cortante resistente de cálculo reducido $V_{pl,T,Rd}$ viene dado por:

$$V_{pl,T,Rd} = \sqrt{1 - \frac{\tau_{T,Ed}}{1.25 \cdot f_{yd} / \sqrt{3}}} \cdot V_{pl,Rd}$$

$$V_{pl,T,Rd} : \underline{30.450} \text{ t}$$

Donde:

$V_{pl,Rd}$: Esfuerzo cortante resistente de cálculo.

$$V_{pl,Rd} : \underline{31.275} \text{ t}$$

$\tau_{T,Ed}$: Tensiones tangenciales por torsión.

$$\tau_{T,Ed} : \underline{100.31} \text{ kp/cm}^2$$

$$\tau_{T,Ed} = \frac{M_{T,Ed}}{W_t}$$

Siendo:

W_t : Módulo de resistencia a torsión.

$$W_t : \underline{30.11} \text{ cm}^3$$

f_{yd} : Resistencia de cálculo del acero.

$$f_{yd} : \underline{2669.77} \text{ kp/cm}^2$$

$$f_{yd} = f_y / \gamma_{M0}$$

Siendo:

f_y : Límite elástico. (CTE DB SE-A, Tabla 4.1)

$$f_y : \underline{2803.26} \text{ kp/cm}^2$$

γ_{M0} : Coeficiente parcial de seguridad del material.

$$\gamma_{M0} : \underline{1.05}$$

Resistencia a cortante Y y momento torsor combinados (CTE DB SE-A, Artículo 6.2.8)

No hay interacción entre momento torsor y esfuerzo cortante para ninguna combinación. Por lo tanto, la comprobación no procede.

Comprobaciones E.L.U. - Viga <-M5 (Pórtico 7)

1.- PLANTA 1

Perfil: HE 180 B Material: Acero (S275)						
Origen	Extremo	Luz libre (m)	Características mecánicas			
			Área (cm ²)	I _y ⁽¹⁾ (cm ⁴)	I _z ⁽¹⁾ (cm ⁴)	I _t ⁽²⁾ (cm ⁴)
-	M5	3.440	65.30	3831.00	1363.00	42.16
Notas: ⁽¹⁾ Inercia respecto al eje indicado ⁽²⁾ Momento de inercia a torsión uniforme						
		Pandeo		Pandeo lateral		
		Plano XY	Plano XZ	Ala sup.	Ala inf.	
β		0.00	0.00	2.00	2.00	
L _k		0.000	0.000	6.880	6.880	
C _m		1.000	1.000	1.000	1.000	
C ₁		-		1.000		
Notación: b: Coeficiente de pandeo L _k : Longitud de pandeo (m) C _m : Coeficiente de momentos C ₁ : Factor de modificación para el momento crítico						

Tramo	COMPROBACIONES (CTE DB SE-A)														Estado	
	$\bar{\lambda}$	λ_w	N _t	N _c	M _y	M _z	V _z	V _y	M _y V _z	M _z V _y	NM _y M _z	NM _z M _y V _z	M _t	M _y V _t		M _z V _t
<-M5	N.P. ⁽¹⁾	$\lambda_w \leq \lambda_{w,max}$ Cumple	N _{Ed} = 0.00 N.P. ⁽²⁾	N _{Ed} = 0.00 N.P. ⁽³⁾	η = 39.8	M _{Ed} = 0.00 N.P. ⁽⁴⁾	η = 6.6	V _{Ed} = 0.00 N.P. ⁽⁵⁾	η < 0.1	N.P. ⁽⁶⁾	N.P. ⁽⁷⁾	N.P. ⁽⁸⁾	η = 1.7	η = 6.6	N.P. ⁽⁹⁾	CUMPLE h = 39.8
Notación: λ̄: Limitación de esbeltez λ _w : Abolladura del alma inducida por el ala comprimida N _t : Resistencia a tracción N _c : Resistencia a compresión M _y : Resistencia a flexión eje Y M _z : Resistencia a flexión eje Z V _z : Resistencia a corte Z V _y : Resistencia a corte Y M _y V _z : Resistencia a momento flector Y y fuerza cortante Z combinados M _z V _y : Resistencia a momento flector Z y fuerza cortante Y combinados NM _y M _z : Resistencia a flexión y axil combinados NM _z M _y V _z : Resistencia a flexión, axil y cortante combinados M _t : Resistencia a torsión M _y V _t : Resistencia a cortante Z y momento torsor combinados M _z V _t : Resistencia a cortante Y y momento torsor combinados x: Distancia al origen de la barra h: Coeficiente de aprovechamiento (%) N.P.: No procede																
Comprobaciones que no proceden (N.P.): ⁽¹⁾ La comprobación no procede, ya que no hay axil de compresión ni de tracción. ⁽²⁾ La comprobación no procede, ya que no hay axil de tracción. ⁽³⁾ La comprobación no procede, ya que no hay axil de compresión. ⁽⁴⁾ La comprobación no procede, ya que no hay momento flector. ⁽⁵⁾ La comprobación no procede, ya que no hay esfuerzo cortante. ⁽⁶⁾ No hay interacción entre momento flector y esfuerzo cortante para ninguna combinación. Por lo tanto, la comprobación no procede. ⁽⁷⁾ No hay interacción entre axil y momento flector ni entre momentos flectores en ambas direcciones para ninguna combinación. Por lo tanto, la comprobación no procede. ⁽⁸⁾ No hay interacción entre momento flector, axil y cortante para ninguna combinación. Por lo tanto, la comprobación no procede. ⁽⁹⁾ No hay interacción entre momento torsor y esfuerzo cortante para ninguna combinación. Por lo tanto, la comprobación no procede.																

Limitación de esbeltez (CTE DB SE-A, Artículos 6.3.1 y 6.3.2.1 - Tabla 6.3)

La comprobación no procede, ya que no hay axil de compresión ni de tracción.

Comprobaciones E.L.U. - Viga <-M5 (Pórtico 7)

Abolladura del alma inducida por el ala comprimida (Criterio de CYPE Ingenieros, basado en: Eurocódigo 3 EN 1993-1-5: 2006, Artículo 8)

Se debe satisfacer:

$$\frac{h_w}{t_w} \leq k \frac{E}{f_{yf}} \sqrt{\frac{A_w}{A_{fc,ef}}}$$

17.88 ≤ 164.04 ✓

Donde:

h_w : Altura del alma.

h_w : 152.00 mm

t_w : Espesor del alma.

t_w : 8.50 mm

A_w : Área del alma.

A_w : 12.92 cm²

$A_{fc,ef}$: Área reducida del ala comprimida.

$A_{fc,ef}$: 25.20 cm²

k : Coeficiente que depende de la clase de la sección.

k : 0.30

E : Módulo de elasticidad.

E : 2140673 kp/cm²

f_{yf} : Límite elástico del acero del ala comprimida.

f_{yf} : 2803.26 kp/cm²

Siendo:

$$f_{yf} = f_y$$

Resistencia a tracción (CTE DB SE-A, Artículo 6.2.3)

La comprobación no procede, ya que no hay axil de tracción.

Resistencia a compresión (CTE DB SE-A, Artículo 6.2.5)

La comprobación no procede, ya que no hay axil de compresión.

Resistencia a flexión eje Y (CTE DB SE-A, Artículo 6.2.6)

Se debe satisfacer:

$$\eta = \frac{M_{Ed}}{M_{c,Rd}} \leq 1$$

η : 0.282 ✓

$$\eta = \frac{M_{Ed}}{M_{b,Rd}} \leq 1$$

η : 0.398 ✓

Para flexión positiva:

M_{Ed}^+ : Momento flector solicitante de cálculo pésimo.

M_{Ed}^+ : 0.000 t·m

Para flexión negativa:

El esfuerzo solicitante de cálculo pésimo se produce para la combinación de acciones 1.35·PP+1.35·CM+1.5·Qa+0.9·V(-Xexc.-).

M_{Ed}^- : Momento flector solicitante de cálculo pésimo.

M_{Ed}^- : 3.623 t·m

El momento flector resistente de cálculo $M_{c,Rd}$ viene dado por:

$$M_{c,Rd} = W_{pl,y} \cdot f_{yd}$$

$M_{c,Rd}$: 12.852 t·m

Donde:

Clase: Clase de la sección, según la capacidad de deformación y de desarrollo de la resistencia plástica de los elementos planos de una sección a flexión simple.

Clase : 1

$W_{pl,y}$: Módulo resistente plástico correspondiente a la fibra con mayor tensión, para las secciones de clase 1 y 2.

$W_{pl,y}$: 481.40 cm³

f_{yd} : Resistencia de cálculo del acero.

f_{yd} : 2669.77 kp/cm²

Comprobaciones E.L.U. - Viga <-M5 (Pórtico 7)

$$f_{yd} = f_y / \gamma_{M0}$$

Siendo:

f_y : Límite elástico. (CTE DB SE-A, Tabla 4.1)

$$f_y : \underline{2803.26} \text{ kp/cm}^2$$

γ_{M0} : Coeficiente parcial de seguridad del material.

$$\gamma_{M0} : \underline{1.05}$$

Resistencia a pandeo lateral: (CTE DB SE-A, Artículo 6.3.3.2)

El momento flector resistente de cálculo $M_{b,Rd}$ viene dado por:

$$M_{b,Rd} = \chi_{LT} \cdot W_{pl,y} \cdot f_{yd}$$

$$M_{b,Rd} : \underline{9.096} \text{ t}\cdot\text{m}$$

Donde:

$W_{pl,y}$: Módulo resistente plástico correspondiente a la fibra con mayor tensión, para las secciones de clase 1 y 2.

$$W_{pl,y} : \underline{481.40} \text{ cm}^3$$

f_{yd} : Resistencia de cálculo del acero.

$$f_{yd} : \underline{2669.77} \text{ kp/cm}^2$$

$$f_{yd} = f_y / \gamma_{M1}$$

Siendo:

f_y : Límite elástico. (CTE DB SE-A, Tabla 4.1)

$$f_y : \underline{2803.26} \text{ kp/cm}^2$$

γ_{M1} : Coeficiente parcial de seguridad del material.

$$\gamma_{M1} : \underline{1.05}$$

c_{LT} : Factor de reducción por pandeo lateral.

$$\chi_{LT} = \frac{1}{\Phi_{LT} + \sqrt{\Phi_{LT}^2 - \bar{\lambda}_{LT}^2}} \leq 1$$

$$c_{LT} : \underline{0.71}$$

Siendo:

$$\Phi_{LT} = 0.5 \cdot \left[1 + \alpha_{LT} \cdot (\bar{\lambda}_{LT} - 0.2) + \bar{\lambda}_{LT}^2 \right]$$

$$f_{LT} : \underline{1.02}$$

α_{LT} : Coeficiente de imperfección elástica.

$$a_{LT} : \underline{0.21}$$

$$\bar{\lambda}_{LT} = \sqrt{\frac{W_{pl,y} \cdot f_y}{M_{cr}}}$$

$$i_{LT} : \underline{0.94}$$

M_{cr} : Momento crítico elástico de pandeo lateral.

$$M_{cr} : \underline{15.300} \text{ t}\cdot\text{m}$$

El momento crítico elástico de pandeo lateral M_{cr} se determina según la teoría de la elasticidad:

$$M_{cr} = \sqrt{M_{LTV}^2 + M_{LTw}^2}$$

Siendo:

M_{LTV} : Componente que representa la resistencia por torsión uniforme de la barra.

$$M_{LTV} = C_1 \cdot \frac{\pi}{L_c} \cdot \sqrt{G \cdot I_t \cdot E \cdot I_z}$$

$$M_{LTV} : \underline{14.552} \text{ t}\cdot\text{m}$$

M_{LTw} : Componente que representa la resistencia por torsión no uniforme de la barra.

$$M_{LTw} = W_{el,y} \cdot \frac{\pi^2 \cdot E}{L_c^2} \cdot C_1 \cdot i_{f,z}^2$$

$$M_{LTw} : \underline{4.727} \text{ t}\cdot\text{m}$$

Siendo:

$W_{el,y}$: Módulo resistente elástico de la sección bruta, obtenido para la fibra más comprimida.

$$W_{el,y} : \underline{425.67} \text{ cm}^3$$

I_z : Momento de inercia de la sección bruta, respecto al eje Z.

$$I_z : \underline{1363.00} \text{ cm}^4$$

I_t : Momento de inercia a torsión uniforme.

$$I_t : \underline{42.16} \text{ cm}^4$$

E: Módulo de elasticidad.

$$E : \underline{2140673} \text{ kp/cm}^2$$

G: Módulo de elasticidad transversal.

$$G : \underline{825688} \text{ kp/cm}^2$$

Comprobaciones E.L.U. - Viga <-M5 (Pórtico 7)

L_c^+ : Longitud efectiva de pandeo lateral del ala superior.

$$L_c^+ : \underline{\underline{6.880}} \text{ m}$$

L_c^- : Longitud efectiva de pandeo lateral del ala inferior.

$$L_c^- : \underline{\underline{6.880}} \text{ m}$$

C_1 : Factor que depende de las condiciones de apoyo y de la forma de la ley de momentos flectores sobre la barra.

$$C_1 : \underline{\underline{1.00}}$$

$i_{r,z}$: Radio de giro, respecto al eje de menor inercia de la sección, del soporte formado por el ala comprimida y la tercera parte de la zona comprimida del alma adyacente al ala comprimida.

$$i_{r,z}^+ : \underline{\underline{4.99}} \text{ cm}$$

$$i_{r,z}^- : \underline{\underline{4.99}} \text{ cm}$$

Resistencia a flexión eje Z (CTE DB SE-A, Artículo 6.2.6)

La comprobación no procede, ya que no hay momento flector.

Comprobaciones E.L.U. - Viga <-M5 (Pórtico 7)

Resistencia a corte Z (CTE DB SE-A, Artículo 6.2.4)

Se debe satisfacer:

$$\eta = \frac{V_{Ed}}{V_{c,Rd}} \leq 1$$

h : 0.066 ✓

El esfuerzo solicitante de cálculo pésimo se produce para la combinación de acciones 1.35·PP+1.35·CM+1.5·Qa+0.9·V(-Xexc.-).

V_{Ed} : Esfuerzo cortante solicitante de cálculo pésimo.

V_{Ed} : 2.063 t

El esfuerzo cortante resistente de cálculo $V_{c,Rd}$ viene dado por:

$$V_{c,Rd} = A_v \cdot \frac{f_{yd}}{\sqrt{3}}$$

$V_{c,Rd}$: 31.275 t

Donde:

A_v : Área transversal a cortante.

A_v : 20.29 cm²

$$A_v = h \cdot t_w$$

Siendo:

h : Canto de la sección.

h : 180.00 mm

t_w : Espesor del alma.

t_w : 8.50 mm

f_{yd} : Resistencia de cálculo del acero.

f_{yd} : 2669.77 kp/cm²

$$f_{yd} = f_y / \gamma_{M0}$$

Siendo:

f_y : Límite elástico. (CTE DB SE-A, Tabla 4.1)

f_y : 2803.26 kp/cm²

γ_{M0} : Coeficiente parcial de seguridad del material.

γ_{M0} : 1.05

Abolladura por cortante del alma: (CTE DB SE-A, Artículo 6.3.3.4)

Aunque no se han dispuesto rigidizadores transversales, no es necesario comprobar la resistencia a la abolladura del alma, puesto que se cumple:

$$\frac{d}{t_w} < 70 \cdot \varepsilon$$

14.35 < 64.71 ✓

Donde:

l_w : Esbeltez del alma.

l_w : 14.35

$$\lambda_w = \frac{d}{t_w}$$

$l_{m\acute{a}x}$: Esbeltez máxima.

$l_{m\acute{a}x}$: 64.71

$$\lambda_{m\acute{a}x} = 70 \cdot \varepsilon$$

e : Factor de reducción.

e : 0.92

$$\varepsilon = \sqrt{\frac{f_{ref}}{f_y}}$$

Siendo:

f_{ref} : Límite elástico de referencia.

f_{ref} : 2395.51 kp/cm²

f_y : Límite elástico. (CTE DB SE-A, Tabla 4.1)

f_y : 2803.26 kp/cm²

Comprobaciones E.L.U. - Viga <-M5 (Pórtico 7)

Resistencia a corte Y (CTE DB SE-A, Artículo 6.2.4)

La comprobación no procede, ya que no hay esfuerzo cortante.

Resistencia a momento flector Y y fuerza cortante Z combinados (CTE DB SE-A, Artículo 6.2.8)

No es necesario reducir la resistencia de cálculo a flexión, ya que el esfuerzo cortante solicitante de cálculo pésimo V_{Ed} no es superior al 50% de la resistencia de cálculo a cortante $V_{c,Rd}$.

$$V_{Ed} \leq \frac{V_{c,Rd}}{2}$$

$$0.116 \text{ t} \leq 15.637 \text{ t} \quad \checkmark$$

Los esfuerzos solicitantes de cálculo pésimos se producen para la combinación de acciones 1.35·PP+1.35·CM+1.5·V(-Xexc.-).

V_{Ed} : Esfuerzo cortante solicitante de cálculo pésimo.

$$V_{Ed} : \underline{0.116} \text{ t}$$

$V_{c,Rd}$: Esfuerzo cortante resistente de cálculo.

$$V_{c,Rd} : \underline{31.275} \text{ t}$$

Resistencia a momento flector Z y fuerza cortante Y combinados (CTE DB SE-A, Artículo 6.2.8)

No hay interacción entre momento flector y esfuerzo cortante para ninguna combinación. Por lo tanto, la comprobación no procede.

Resistencia a flexión y axil combinados (CTE DB SE-A, Artículo 6.2.8)

No hay interacción entre axil y momento flector ni entre momentos flectores en ambas direcciones para ninguna combinación. Por lo tanto, la comprobación no procede.

Resistencia a flexión, axil y cortante combinados (CTE DB SE-A, Artículo 6.2.8)

No hay interacción entre momento flector, axil y cortante para ninguna combinación. Por lo tanto, la comprobación no procede.

Resistencia a torsión (CTE DB SE-A, Artículo 6.2.7)

Se debe satisfacer:

$$\eta = \frac{M_{T,Ed}}{M_{T,Rd}} \leq 1$$

$$h : \underline{0.017} \quad \checkmark$$

El esfuerzo solicitante de cálculo pésimo se produce para la combinación de acciones 1.35·PP+1.35·CM+1.5·Qa+0.9·V(+Yexc.-).

$M_{T,Ed}$: Momento torsor solicitante de cálculo pésimo.

$$M_{T,Ed} : \underline{0.008} \text{ t}\cdot\text{m}$$

El momento torsor resistente de cálculo $M_{T,Rd}$ viene dado por:

$$M_{T,Rd} = \frac{1}{\sqrt{3}} \cdot W_T \cdot f_{yd}$$

$$M_{T,Rd} : \underline{0.464} \text{ t}\cdot\text{m}$$

Donde:

W_T : Módulo de resistencia a torsión.

$$W_T : \underline{30.11} \text{ cm}^3$$

f_{yd} : Resistencia de cálculo del acero.

$$f_{yd} : \underline{2669.77} \text{ kp/cm}^2$$

$$f_{yd} = f_y / \gamma_{M0}$$

Siendo:

f_y : Límite elástico. (CTE DB SE-A, Tabla 4.1)

$$f_y : \underline{2803.26} \text{ kp/cm}^2$$

γ_{M0} : Coeficiente parcial de seguridad del material.

$$\gamma_{M0} : \underline{1.05}$$

Comprobaciones E.L.U. - Viga <-M5 (Pórtico 7)

Resistencia a cortante Z y momento torsor combinados (CTE DB SE-A, Artículo 6.2.8)

Se debe satisfacer:

$$\eta = \frac{V_{Ed}}{V_{pl,T,Rd}} \leq 1$$

$$h : \underline{0.066} \quad \checkmark$$

Los esfuerzos solicitantes de cálculo pésimos se producen para la combinación de acciones 1.35·PP+1.35·CM+1.5·Qa+0.9·V(-Xexc.-).

V_{Ed} : Esfuerzo cortante solicitante de cálculo pésimo.

$$V_{Ed} : \underline{2.063} \text{ t}$$

$M_{T,Ed}$: Momento torsor solicitante de cálculo pésimo.

$$M_{T,Ed} : \underline{0.006} \text{ t}\cdot\text{m}$$

El esfuerzo cortante resistente de cálculo reducido $V_{pl,T,Rd}$ viene dado por:

$$V_{pl,T,Rd} = \sqrt{1 - \frac{\tau_{T,Ed}}{1.25 \cdot f_{yd} / \sqrt{3}}} \cdot V_{pl,Rd}$$

$$V_{pl,T,Rd} : \underline{31.124} \text{ t}$$

Donde:

$V_{pl,Rd}$: Esfuerzo cortante resistente de cálculo.

$$V_{pl,Rd} : \underline{31.275} \text{ t}$$

$\tau_{T,Ed}$: Tensiones tangenciales por torsión.

$$\tau_{T,Ed} : \underline{18.52} \text{ kp/cm}^2$$

$$\tau_{T,Ed} = \frac{M_{T,Ed}}{W_t}$$

Siendo:

W_t : Módulo de resistencia a torsión.

$$W_t : \underline{30.11} \text{ cm}^3$$

f_{yd} : Resistencia de cálculo del acero.

$$f_{yd} : \underline{2669.77} \text{ kp/cm}^2$$

$$f_{yd} = f_y / \gamma_{M0}$$

Siendo:

f_y : Límite elástico. (CTE DB SE-A, Tabla 4.1)

$$f_y : \underline{2803.26} \text{ kp/cm}^2$$

γ_{M0} : Coeficiente parcial de seguridad del material.

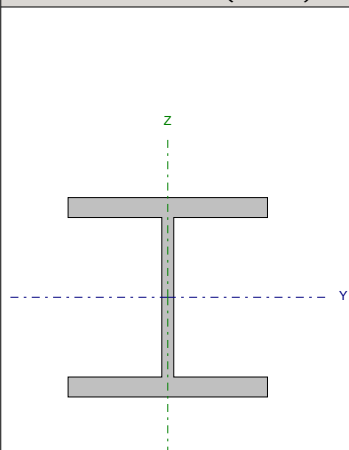
$$\gamma_{M0} : \underline{1.05}$$

Resistencia a cortante Y y momento torsor combinados (CTE DB SE-A, Artículo 6.2.8)

No hay interacción entre momento torsor y esfuerzo cortante para ninguna combinación. Por lo tanto, la comprobación no procede.

Comprobaciones E.L.U. - Viga Pórtico 1-M5 (Pórtico 9)

1.- PLANTA 1

Perfil: HE 100 B Material: Acero (S275)							
	Tramo		Luz libre (m)	Características mecánicas			
	Origen	Extremo		Área (cm ²)	I _y ⁽¹⁾ (cm ⁴)	I _z ⁽¹⁾ (cm ⁴)	I _t ⁽²⁾ (cm ⁴)
		Pórtico 1	M5	3.493	26.00	449.50	167.30
Notas: ⁽¹⁾ Inercia respecto al eje indicado ⁽²⁾ Momento de inercia a torsión uniforme							
	Pandeo			Pandeo lateral			
			Plano XY	Plano XZ	Ala sup.		Ala inf.
	β		0.00	0.00	0.00		0.00
	L _k		0.000	0.000	0.000		0.000
	C _m		1.000	1.000	1.000		1.000
	C ₁		-		1.000		
Notación: b: Coeficiente de pandeo L _k : Longitud de pandeo (m) C _m : Coeficiente de momentos C ₁ : Factor de modificación para el momento crítico							

Tramo	COMPROBACIONES (CTE DB SE-A)															Estado
	$\bar{\lambda}$	$\lambda_{w, \max}$	N _t	N _c	M _y	M _z	V _z	V _y	M _y V _z	M _z V _y	NM, M _z	NM, M _y V _z	M _t	M _y V _z	M _z V _y	
Pórtico 1-M5	N.P. ⁽¹⁾	$\lambda_w \leq \lambda_{w, \max}$ Cumple	N _{Ed} = 0.00 N.P. ⁽²⁾	N _{Ed} = 0.00 N.P. ⁽³⁾	$\eta = 67.6$	M _{Ed} = 0.00 N.P. ⁽⁴⁾	$\eta = 17.2$	V _{Ed} = 0.00 N.P. ⁽⁵⁾	$\eta < 0.1$	N.P. ⁽⁶⁾	N.P. ⁽⁷⁾	N.P. ⁽⁸⁾	$\eta = 0.9$	$\eta = 17.2$	N.P. ⁽⁹⁾	CUMPLE h = 67.6
Notación: 1: Limitación de esbeltez I _w : Abolladura del alma inducida por el ala comprimida N: Resistencia a tracción N _t : Resistencia a compresión M _y : Resistencia a flexión eje Y M _z : Resistencia a flexión eje Z V _z : Resistencia a corte Z V _y : Resistencia a corte Y M _y V _z : Resistencia a momento flector Y y fuerza cortante Z combinados M _z V _y : Resistencia a momento flector Z y fuerza cortante Y combinados NM, M _z : Resistencia a flexión y axil combinados NM, M _y V _z : Resistencia a flexión, axil y cortante combinados M _t : Resistencia a torsión M _y V _z : Resistencia a cortante Z y momento torsor combinados M _z V _y : Resistencia a cortante Y y momento torsor combinados x: Distancia al origen de la barra h: Coeficiente de aprovechamiento (%) N.P.: No procede																
Comprobaciones que no proceden (N.P.): ⁽¹⁾ La comprobación no procede, ya que no hay axil de compresión ni de tracción. ⁽²⁾ La comprobación no procede, ya que no hay axil de tracción. ⁽³⁾ La comprobación no procede, ya que no hay axil de compresión. ⁽⁴⁾ La comprobación no procede, ya que no hay momento flector. ⁽⁵⁾ La comprobación no procede, ya que no hay esfuerzo cortante. ⁽⁶⁾ No hay interacción entre momento flector y esfuerzo cortante para ninguna combinación. Por lo tanto, la comprobación no procede. ⁽⁷⁾ No hay interacción entre axil y momento flector ni entre momentos flectores en ambas direcciones para ninguna combinación. Por lo tanto, la comprobación no procede. ⁽⁸⁾ No hay interacción entre momento flector, axil y cortante para ninguna combinación. Por lo tanto, la comprobación no procede. ⁽⁹⁾ No hay interacción entre momento torsor y esfuerzo cortante para ninguna combinación. Por lo tanto, la comprobación no procede.																

Limitación de esbeltez (CTE DB SE-A, Artículos 6.3.1 y 6.3.2.1 - Tabla 6.3)

La comprobación no procede, ya que no hay axil de compresión ni de tracción.

Comprobaciones E.L.U. - Viga Pórtico 1-M5 (Pórtico 9)

Abolladura del alma inducida por el ala comprimida (Criterio de CYPE Ingenieros, basado en: Eurocódigo 3 EN 1993-1-5: 2006, Artículo 8)

Se debe satisfacer:

$$\frac{h_w}{t_w} \leq k \frac{E}{f_{yf}} \sqrt{\frac{A_w}{A_{fc,ef}}}$$

13.33 ≤ 158.72 ✓

Donde:

h_w : Altura del alma.

t_w : Espesor del alma.

A_w : Área del alma.

$A_{fc,ef}$: Área reducida del ala comprimida.

k : Coeficiente que depende de la clase de la sección.

E : Módulo de elasticidad.

f_{yf} : Límite elástico del acero del ala comprimida.

Siendo:

$$f_{yf} = f_y$$

h_w : 80.00 mm

t_w : 6.00 mm

A_w : 4.80 cm²

$A_{fc,ef}$: 10.00 cm²

k : 0.30

E : 2140673 kp/cm²

f_{yf} : 2803.26 kp/cm²

Resistencia a tracción (CTE DB SE-A, Artículo 6.2.3)

La comprobación no procede, ya que no hay axil de tracción.

Resistencia a compresión (CTE DB SE-A, Artículo 6.2.5)

La comprobación no procede, ya que no hay axil de compresión.

Comprobaciones E.L.U. - Viga Pórtico 1-M5 (Pórtico 9)

Resistencia a flexión eje Y (CTE DB SE-A, Artículo 6.2.6)

Se debe satisfacer:

$$\eta = \frac{M_{Ed}}{M_{c,Rd}} \leq 1$$

$$h : \underline{0.676} \quad \checkmark$$

Para flexión positiva:

M_{Ed}^+ : Momento flector solicitante de cálculo pésimo.

$$M_{Ed}^+ : \underline{0.000} \text{ t}\cdot\text{m}$$

Para flexión negativa:

El esfuerzo solicitante de cálculo pésimo se produce para la combinación de acciones $1.35 \cdot PP + 1.35 \cdot CM + 1.5 \cdot Qa + 0.9 \cdot V(-Y_{exc. +})$.

M_{Ed}^- : Momento flector solicitante de cálculo pésimo.

$$M_{Ed}^- : \underline{1.881} \text{ t}\cdot\text{m}$$

El momento flector resistente de cálculo $M_{c,Rd}$ viene dado por:

$$M_{c,Rd} = W_{pl,y} \cdot f_{yd}$$

$$M_{c,Rd} : \underline{2.782} \text{ t}\cdot\text{m}$$

Donde:

Clase: Clase de la sección, según la capacidad de deformación y de desarrollo de la resistencia plástica de los elementos planos de una sección a flexión simple.

$$\text{Clase} : \underline{1}$$

$W_{pl,y}$: Módulo resistente plástico correspondiente a la fibra con mayor tensión, para las secciones de clase 1 y 2.

$$W_{pl,y} : \underline{104.20} \text{ cm}^3$$

f_{yd} : Resistencia de cálculo del acero.

$$f_{yd} : \underline{2669.77} \text{ kp/cm}^2$$

$$f_{yd} = f_y / \gamma_{M0}$$

Siendo:

f_y : Límite elástico. (CTE DB SE-A, Tabla 4.1)

$$f_y : \underline{2803.26} \text{ kp/cm}^2$$

γ_{M0} : Coeficiente parcial de seguridad del material.

$$\gamma_{M0} : \underline{1.05}$$

Resistencia a pandeo lateral: (CTE DB SE-A, Artículo 6.3.3.2)

No procede, dado que las longitudes de pandeo lateral son nulas.

Resistencia a flexión eje Z (CTE DB SE-A, Artículo 6.2.6)

La comprobación no procede, ya que no hay momento flector.

Comprobaciones E.L.U. - Viga Pórtico 1-M5 (Pórtico 9)

Resistencia a corte Z (CTE DB SE-A, Artículo 6.2.4)

Se debe satisfacer:

$$\eta = \frac{V_{Ed}}{V_{c,Rd}} \leq 1$$

$$h : \underline{0.172} \quad \checkmark$$

El esfuerzo solicitante de cálculo pésimo se produce para la combinación de acciones 1.35·PP+1.35·CM+1.5·Qa+0.9·V(-Yexc.-).

V_{Ed} : Esfuerzo cortante solicitante de cálculo pésimo.

$$V_{Ed} : \underline{2.383} \text{ t}$$

El esfuerzo cortante resistente de cálculo $V_{c,Rd}$ viene dado por:

$$V_{c,Rd} = A_v \cdot \frac{f_{yd}}{\sqrt{3}}$$

$$V_{c,Rd} : \underline{13.873} \text{ t}$$

Donde:

A_v : Área transversal a cortante.

$$A_v : \underline{9.00} \text{ cm}^2$$

$$A_v = h \cdot t_w$$

Siendo:

h: Canto de la sección.

$$h : \underline{100.00} \text{ mm}$$

t_w : Espesor del alma.

$$t_w : \underline{6.00} \text{ mm}$$

f_{yd} : Resistencia de cálculo del acero.

$$f_{yd} : \underline{2669.77} \text{ kp/cm}^2$$

$$f_{yd} = f_y / \gamma_{M0}$$

Siendo:

f_y : Límite elástico. (CTE DB SE-A, Tabla 4.1)

$$f_y : \underline{2803.26} \text{ kp/cm}^2$$

γ_{M0} : Coeficiente parcial de seguridad del material.

$$\gamma_{M0} : \underline{1.05}$$

Abolladura por cortante del alma: (CTE DB SE-A, Artículo 6.3.3.4)

Aunque no se han dispuesto rigidizadores transversales, no es necesario comprobar la resistencia a la abolladura del alma, puesto que se cumple:

$$\frac{d}{t_w} < 70 \cdot \varepsilon$$

$$9.33 < 64.71 \quad \checkmark$$

Donde:

l_w : Esbeltez del alma.

$$l_w : \underline{9.33}$$

$$\lambda_w = \frac{d}{t_w}$$

l_{\max} : Esbeltez máxima.

$$l_{\max} : \underline{64.71}$$

$$\lambda_{\max} = 70 \cdot \varepsilon$$

e: Factor de reducción.

$$e : \underline{0.92}$$

$$\varepsilon = \sqrt{\frac{f_{ref}}{f_y}}$$

Siendo:

f_{ref} : Límite elástico de referencia.

$$f_{ref} : \underline{2395.51} \text{ kp/cm}^2$$

f_y : Límite elástico. (CTE DB SE-A, Tabla 4.1)

$$f_y : \underline{2803.26} \text{ kp/cm}^2$$

Comprobaciones E.L.U. - Viga Pórtico 1-M5 (Pórtico 9)

Resistencia a corte Y (CTE DB SE-A, Artículo 6.2.4)

La comprobación no procede, ya que no hay esfuerzo cortante.

Resistencia a momento flector Y y fuerza cortante Z combinados (CTE DB SE-A, Artículo 6.2.8)

No es necesario reducir la resistencia de cálculo a flexión, ya que el esfuerzo cortante solicitante de cálculo pésimo V_{Ed} no es superior al 50% de la resistencia de cálculo a cortante $V_{c,Rd}$.

$$V_{Ed} \leq \frac{V_{c,Rd}}{2}$$

$$1.205 \text{ t} \leq 6.936 \text{ t} \quad \checkmark$$

Los esfuerzos solicitantes de cálculo pésimos se producen para la combinación de acciones $1.35 \cdot PP + 1.35 \cdot CM + 1.5 \cdot Qa + 0.9 \cdot V(+Yexc. +)$.

V_{Ed} : Esfuerzo cortante solicitante de cálculo pésimo.

$$V_{Ed} : \underline{1.205} \text{ t}$$

$V_{c,Rd}$: Esfuerzo cortante resistente de cálculo.

$$V_{c,Rd} : \underline{13.873} \text{ t}$$

Resistencia a momento flector Z y fuerza cortante Y combinados (CTE DB SE-A, Artículo 6.2.8)

No hay interacción entre momento flector y esfuerzo cortante para ninguna combinación. Por lo tanto, la comprobación no procede.

Resistencia a flexión y axil combinados (CTE DB SE-A, Artículo 6.2.8)

No hay interacción entre axil y momento flector ni entre momentos flectores en ambas direcciones para ninguna combinación. Por lo tanto, la comprobación no procede.

Resistencia a flexión, axil y cortante combinados (CTE DB SE-A, Artículo 6.2.8)

No hay interacción entre momento flector, axil y cortante para ninguna combinación. Por lo tanto, la comprobación no procede.

Resistencia a torsión (CTE DB SE-A, Artículo 6.2.7)

Se debe satisfacer:

$$\eta = \frac{M_{T,Ed}}{M_{T,Rd}} \leq 1$$

$$\eta : \underline{0.009} \quad \checkmark$$

El esfuerzo solicitante de cálculo pésimo se produce para la combinación de acciones $1.35 \cdot PP + 1.35 \cdot CM + 1.5 \cdot Qa + 0.9 \cdot V(-Xexc. -)$.

$M_{T,Ed}$: Momento torsor solicitante de cálculo pésimo.

$$M_{T,Ed} : \underline{0.001} \text{ t}\cdot\text{m}$$

El momento torsor resistente de cálculo $M_{T,Rd}$ viene dado por:

$$M_{T,Rd} = \frac{1}{\sqrt{3}} \cdot W_T \cdot f_{yd}$$

$$M_{T,Rd} : \underline{0.143} \text{ t}\cdot\text{m}$$

Donde:

W_T : Módulo de resistencia a torsión.

$$W_T : \underline{9.25} \text{ cm}^3$$

f_{yd} : Resistencia de cálculo del acero.

$$f_{yd} : \underline{2669.77} \text{ kp/cm}^2$$

$$f_{yd} = f_y / \gamma_{M0}$$

Siendo:

f_y : Límite elástico. (CTE DB SE-A, Tabla 4.1)

$$f_y : \underline{2803.26} \text{ kp/cm}^2$$

γ_{M0} : Coeficiente parcial de seguridad del material.

$$\gamma_{M0} : \underline{1.05}$$

Comprobaciones E.L.U. - Viga Pórtico 1-M5 (Pórtico 9)

Resistencia a cortante Z y momento torsor combinados (CTE DB SE-A, Artículo 6.2.8)

Se debe satisfacer:

$$\eta = \frac{V_{Ed}}{V_{pl,T,Rd}} \leq 1$$

$$h : \underline{0.172} \quad \checkmark$$

Los esfuerzos solicitantes de cálculo pésimos se producen para la combinación de acciones 1.35·PP+1.35·CM+1.5·Qa+0.9·V(-Xexc.-).

V_{Ed} : Esfuerzo cortante solicitante de cálculo pésimo.

$$V_{Ed} : \underline{2.383} \text{ t}$$

$M_{T,Ed}$: Momento torsor solicitante de cálculo pésimo.

$$M_{T,Ed} : \underline{0.001} \text{ t}\cdot\text{m}$$

El esfuerzo cortante resistente de cálculo reducido $V_{pl,T,Rd}$ viene dado por:

$$V_{pl,T,Rd} = \sqrt{1 - \frac{\tau_{T,Ed}}{1.25 \cdot f_{yd} / \sqrt{3}}} \cdot V_{pl,Rd}$$

$$V_{pl,T,Rd} : \underline{13.846} \text{ t}$$

Donde:

$V_{pl,Rd}$: Esfuerzo cortante resistente de cálculo.

$$V_{pl,Rd} : \underline{13.873} \text{ t}$$

$\tau_{T,Ed}$: Tensiones tangenciales por torsión.

$$\tau_{T,Ed} : \underline{7.43} \text{ kp/cm}^2$$

$$\tau_{T,Ed} = \frac{M_{T,Ed}}{W_t}$$

Siendo:

W_t : Módulo de resistencia a torsión.

$$W_t : \underline{9.25} \text{ cm}^3$$

f_{yd} : Resistencia de cálculo del acero.

$$f_{yd} : \underline{2669.77} \text{ kp/cm}^2$$

$$f_{yd} = f_y / \gamma_{M0}$$

Siendo:

f_y : Límite elástico. (CTE DB SE-A, Tabla 4.1)

$$f_y : \underline{2803.26} \text{ kp/cm}^2$$

γ_{M0} : Coeficiente parcial de seguridad del material.

$$\gamma_{M0} : \underline{1.05}$$

Resistencia a cortante Y y momento torsor combinados (CTE DB SE-A, Artículo 6.2.8)

No hay interacción entre momento torsor y esfuerzo cortante para ninguna combinación. Por lo tanto, la comprobación no procede.

Pilar P2 - Forjado 7

Perfil: # 20.0x7.0x23.58, Doble con unión genérica Material: Acero (S275)							
	Cotas del tramo (m)		Altura libre (m)	Características mecánicas			
	Pie	Cabeza		Área (cm ²)	I _y ⁽¹⁾ (cm ⁴)	I _z ⁽¹⁾ (cm ⁴)	I _t ⁽²⁾ (cm ⁴)
	21.00	21.50	0.500	60.02	2721.01	2668.68	1466.70
	Notas: (1) Inercia respecto al eje indicado (2) Momento de inercia a torsión uniforme						
			Pandeo		Pandeo lateral		
			Plano XY	Plano XZ	Ala sup.	Ala inf.	
β		1.00	1.00	1.00	1.00		
L _k		0.500	0.500	0.500	0.500		
C _m		0.850	0.850	1.000	1.000		
C ₁		-		1.000			
Notación: b: Coeficiente de pandeo L _k : Longitud de pandeo (m) C _m : Coeficiente de momentos C ₁ : Factor de modificación para el momento crítico							

Planta	COMPROBACIONES (CTE DB SE-A)															Estado
	$\bar{\lambda}$	$\lambda_{w, \max}$	N _t	N _c	M _t	M _z	V _z	V _y	M _t V _z	M _z V _y	NM _t	NM _z	M _t	M _t V _z	M _z V _y	
Forjado 7	$\bar{\lambda} < 2.0$ Cumple	$\lambda_{w, \max} \leq \lambda_{w, \max}$ Cumple	$\eta = 57.7$	$\eta = 3.0$	$\eta = 20.3$	$\eta = 14.7$	$\eta = 5.8$	$\eta = 31.2$	$\eta < 0.1$	$\eta < 0.1$	$\eta = 92.6$	$\eta < 0.1$	$\eta < 0.1$	$\eta = 5.9$	$\eta = 31.2$	CUMPLE h = 92.6
Notación: I: Limitación de esbeltez I _w : Abolladura del alma inducida por el ala comprimida N _t : Resistencia a tracción N _c : Resistencia a compresión M _t : Resistencia a flexión eje Y M _z : Resistencia a flexión eje Z V _z : Resistencia a corte Z V _y : Resistencia a corte Y M _t V _z : Resistencia a momento flector Y y fuerza cortante Z combinados M _z V _y : Resistencia a momento flector Z y fuerza cortante Y combinados NM _t : Resistencia a flexión y axil combinados NM _z : Resistencia a flexión, axil y cortante combinados M: Resistencia a torsión M _t V _z : Resistencia a cortante Z y momento torsor combinados M _z V _y : Resistencia a cortante Y y momento torsor combinados x: Distancia al origen de la barra h: Coeficiente de aprovechamiento (%)																

Nota: El análisis de piezas compuestas se realiza mediante la verificación de cada uno de los perfiles simples que las constituyen. Las comprobaciones de dichos perfiles se realizan para los esfuerzos calculados a partir de los que actúan sobre la pieza compuesta, según sus características mecánicas. Para las comprobaciones de estabilidad se utiliza la esbeltez mecánica ideal, obtenida en función de la esbeltez de la pieza y una esbeltez complementaria que tiene en cuenta la separación de los enlaces entre los perfiles simples.

Limitación de esbeltez (CTE DB SE-A, Artículos 6.3.1 y 6.3.2.1 - Tabla 6.3)

La esbeltez reducida $\bar{\lambda}$ de las barras comprimidas debe ser inferior al valor 2.0.

$$\bar{\lambda} = \sqrt{\frac{A \cdot f_y}{N_{cr}}}$$

$\bar{\lambda} : \underline{\quad 0.20 \quad}$ ✓

Donde:

Clase: Clase de la sección, según la capacidad de deformación y de desarrollo de la resistencia plástica de los elementos planos comprimidos de una sección.

Clase : 2

A: Área de la sección bruta para las secciones de clase 1, 2 y 3.

A : 30.01 cm²

f_y : Límite elástico. (CTE DB SE-A, Tabla 4.1)

f_y : 2803.26 kp/cm²

N_{cr} : Axil crítico de pandeo elástico.

N_{cr} : 2146.032 t

El axil crítico de pandeo elástico N_{cr} es el menor de los valores obtenidos en a), b) y c):

a) Axil crítico elástico de pandeo por flexión respecto al eje Y.

$N_{cr,y}$: 11497.677 t

$$N_{cr,y} = \frac{\pi^2 \cdot E \cdot I_y}{L_{ky}^2}$$

b) Axil crítico elástico de pandeo por flexión respecto al eje Z.

$N_{cr,z}$: 2146.032 t

$$N_{cr,z} = \frac{\pi^2 \cdot E \cdot I_z}{L_{kz}^2}$$

c) Axil crítico elástico de pandeo por torsión.

$N_{cr,T}$: 11651.160 t

$$N_{cr,T} = \frac{1}{i_0^2} \cdot \left[G \cdot I_t + \frac{\pi^2 \cdot E \cdot I_w}{L_{kt}^2} \right]$$

Donde:

I_y : Momento de inercia de la sección bruta, respecto al eje Y.

I_y : 1360.50 cm⁴

I_z : Momento de inercia de la sección bruta, respecto al eje Z.

I_z : 253.94 cm⁴

I_t : Momento de inercia a torsión uniforme.

I_t : 733.35 cm⁴

I_w : Constante de alabeo de la sección.

I_w : 2514.82 cm⁶

E: Módulo de elasticidad.

E : 2140673 kp/cm²

G: Módulo de elasticidad transversal.

G : 825688 kp/cm²

L_{ky} : Longitud efectiva de pandeo por flexión, respecto al eje Y.

L_{ky} : 0.500 m

L_{kz} : Longitud efectiva de pandeo por flexión, respecto al eje Z.

L_{kz} : 0.500 m

L_{kt} : Longitud efectiva de pandeo por torsión.

L_{kt} : 0.500 m

i_0 : Radio de giro polar de la sección bruta, respecto al centro de torsión.

i_0 : 7.33 cm

$$i_0 = (i_y^2 + i_z^2 + y_0^2 + z_0^2)^{0.5}$$

Siendo:

i_y , i_z : Radios de giro de la sección bruta, respecto a los ejes principales de inercia Y y Z.

i_y : 6.73 cm

i_z : 2.91 cm

y_0 , z_0 : Coordenadas del centro de torsión en la dirección de los ejes principales Y y Z, respectivamente, relativas al centro de gravedad de la sección.

y_0 : 0.00 mm

z_0 : 0.00 mm

Abolladura del alma inducida por el ala comprimida (Criterio de CYPE Ingenieros, basado en: Eurocódigo 3 EN 1993-1-5: 2006, Artículo 8)

Se debe satisfacer:

$$\frac{h_w}{t_w} \leq k \frac{E}{f_{yf}} \sqrt{\frac{A_w}{A_{fc,ef}}}$$

31.33 ≤ 530.95 ✓

Donde:

h_w : Altura del alma.

t_w : Espesor del alma.

A_w : Área del alma.

$A_{fc,ef}$: Área reducida del ala comprimida.

k : Coeficiente que depende de la clase de la sección.

E : Módulo de elasticidad.

f_{yf} : Límite elástico del acero del ala comprimida.

Siendo:

$$f_{yf} = f_y$$

h_w : 188.00 mm

t_w : 6.00 mm

A_w : 22.56 cm²

$A_{fc,ef}$: 4.20 cm²

k : 0.30

E : 2140673 kp/cm²

f_{yf} : 2803.26 kp/cm²

Resistencia a tracción (CTE DB SE-A, Artículo 6.2.3)

Se debe satisfacer:

$$\eta = \frac{N_{t,Ed}}{N_{t,Rd}} \leq 1$$

η : 0.577 ✓

El esfuerzo solicitante de cálculo pésimo se produce para la combinación de acciones 1.35·PP+1.35·CM+1.5·Qa+0.9·V(-Xexc.-).

$N_{t,Ed}$: Axil de tracción solicitante de cálculo pésimo.

$N_{t,Ed}$: 46.250 t

La resistencia de cálculo a tracción $N_{t,Rd}$ viene dada por:

$$N_{t,Rd} = A \cdot f_{yd}$$

$N_{t,Rd}$: 80.123 t

Donde:

A : Área bruta de la sección transversal de la barra.

A : 30.01 cm²

f_{yd} : Resistencia de cálculo del acero.

f_{yd} : 2669.77 kp/cm²

$$f_{yd} = f_y / \gamma_{M0}$$

Siendo:

f_y : Límite elástico. (CTE DB SE-A, Tabla 4.1)

f_y : 2803.26 kp/cm²

γ_{M0} : Coeficiente parcial de seguridad del material.

γ_{M0} : 1.05

Resistencia a compresión (CTE DB SE-A, Artículo 6.2.5)

Se debe satisfacer:

$$\eta = \frac{N_{c,Ed}}{N_{c,Rd}} \leq 1$$

$$h : \underline{0.030} \quad \checkmark$$

El esfuerzo solicitante de cálculo pésimo se produce para la combinación de acciones 1.35·PP+1.35·CM+1.5·V(-Xexc.-).

$N_{c,Ed}$: Axil de compresión solicitante de cálculo pésimo.

$$N_{c,Ed} : \underline{2.410} \text{ t}$$

La resistencia de cálculo a compresión $N_{c,Rd}$ viene dada por:

$$N_{c,Rd} = A \cdot f_{yd}$$

$$N_{c,Rd} : \underline{80.123} \text{ t}$$

Donde:

Clase: Clase de la sección, según la capacidad de deformación y de desarrollo de la resistencia plástica de los elementos planos comprimidos de una sección.

$$\text{Clase} : \underline{2}$$

A: Área de la sección bruta para las secciones de clase 1, 2 y 3.

$$A : \underline{30.01} \text{ cm}^2$$

f_{yd} : Resistencia de cálculo del acero.

$$f_{yd} : \underline{2669.77} \text{ kp/cm}^2$$

$$f_{yd} = f_y / \gamma_{M0}$$

Siendo:

f_y : Límite elástico. (CTE DB SE-A, Tabla 4.1)

$$f_y : \underline{2803.26} \text{ kp/cm}^2$$

γ_{M0} : Coeficiente parcial de seguridad del material.

$$\gamma_{M0} : \underline{1.05}$$

Resistencia a pandeo: (CTE DB SE-A, Artículo 6.3.2)

Para esbelteces $\lambda \leq 0.2$ se puede omitir la comprobación frente a pandeo, y comprobar únicamente la resistencia de la sección transversal.

λ : Esbeltez reducida.

$$\lambda : \underline{0.20}$$

$$\lambda = \sqrt{\frac{A \cdot f_y}{N_{cr}}}$$

Donde:

A: Área de la sección bruta para las secciones de clase 1, 2 y 3.

$$A : \underline{30.01} \text{ cm}^2$$

f_y : Límite elástico. (CTE DB SE-A, Tabla 4.1)

$$f_y : \underline{2803.26} \text{ kp/cm}^2$$

N_{cr} : Axil crítico elástico de pandeo, obtenido como el menor de los siguientes valores:

$$N_{cr} : \underline{2146.032} \text{ t}$$

$N_{cr,y}$: Axil crítico elástico de pandeo por flexión respecto al eje Y.

$$N_{cr,y} : \underline{11497.677} \text{ t}$$

$N_{cr,z}$: Axil crítico elástico de pandeo por flexión respecto al eje Z.

$$N_{cr,z} : \underline{2146.032} \text{ t}$$

$N_{cr,T}$: Axil crítico elástico de pandeo por torsión.

$$N_{cr,T} : \underline{11651.160} \text{ t}$$

Resistencia a flexión eje Y (CTE DB SE-A, Artículo 6.2.6)

Se debe satisfacer:

$$\eta = \frac{M_{Ed}}{M_{c,Rd}} \leq 1$$

$$h : \underline{0.203} \quad \checkmark$$

Para flexión positiva:

El esfuerzo solicitante de cálculo pésimo se produce para la combinación de acciones 1.35·PP+1.35·CM+1.5·Qa+0.9·V(+Yexc.-).

M_{Ed}^+ : Momento flector solicitante de cálculo pésimo.

$$M_{Ed}^+ : \underline{1.017} \text{ t·m}$$

Para flexión negativa:

M_{Ed}^- : Momento flector solicitante de cálculo pésimo.

$$M_{Ed}^- : \underline{0.000} \text{ t·m}$$

El momento flector resistente de cálculo $M_{c,Rd}$ viene dado por:

$$M_{c,Rd} = W_{pl,y} \cdot f_{yd}$$

$$M_{c,Rd} : \underline{5.006} \text{ t}\cdot\text{m}$$

Donde:

Clase: Clase de la sección, según la capacidad de deformación y de desarrollo de la resistencia plástica de los elementos planos de una sección a flexión simple.

$$\text{Clase} : \underline{1}$$

$W_{pl,y}$: Módulo resistente plástico correspondiente a la fibra con mayor tensión, para las secciones de clase 1 y 2.

$$W_{pl,y} : \underline{187.51} \text{ cm}^3$$

f_{yd} : Resistencia de cálculo del acero.

$$f_{yd} : \underline{2669.77} \text{ kp/cm}^2$$

$$f_{yd} = f_y / \gamma_{M0}$$

Siendo:

f_y : Límite elástico. (CTE DB SE-A, Tabla 4.1)

$$f_y : \underline{2803.26} \text{ kp/cm}^2$$

γ_{M0} : Coeficiente parcial de seguridad del material.

$$\gamma_{M0} : \underline{1.05}$$

Resistencia a pandeo lateral: (CTE DB SE-A, Artículo 6.3.3.2)

Para esbelteces $\lambda_{LT} \leq 0.4$ se puede omitir la comprobación frente a pandeo, y comprobar únicamente la resistencia de la sección transversal.

$$\lambda_{LT} = \sqrt{\frac{W_{pl,y} \cdot f_y}{M_{cr}}}$$

$$\lambda_{LT} : \underline{0.12}$$

M_{cr} : Momento crítico elástico de pandeo lateral.

$$M_{cr} : \underline{369.370} \text{ t}\cdot\text{m}$$

El momento crítico elástico de pandeo lateral M_{cr} se determina según la teoría de la elasticidad:

$$M_{cr} = \sqrt{M_{LTV}^2 + M_{LTW}^2}$$

Siendo:

M_{LTV} : Componente que representa la resistencia por torsión uniforme de la barra.

$$M_{LTV} = C_1 \cdot \frac{\pi}{L_c} \cdot \sqrt{G \cdot I_t \cdot E \cdot I_z}$$

$$M_{LTV} : \underline{360.480} \text{ t}\cdot\text{m}$$

M_{LTW} : Componente que representa la resistencia por torsión no uniforme de la barra.

$$M_{LTW} = W_{el,y} \cdot \frac{\pi^2 \cdot E}{L_c^2} \cdot C_1 \cdot i_{f,z}^2$$

$$M_{LTW} : \underline{80.549} \text{ t}\cdot\text{m}$$

Siendo:

$W_{el,y}$: Módulo resistente elástico de la sección bruta, obtenido para la fibra más comprimida.

$$W_{el,y} : \underline{136.05} \text{ cm}^3$$

I_z : Momento de inercia de la sección bruta, respecto al eje Z.

$$I_z : \underline{253.94} \text{ cm}^4$$

I_t : Momento de inercia a torsión uniforme.

$$I_t : \underline{733.35} \text{ cm}^4$$

E: Módulo de elasticidad.

$$E : \underline{2140673} \text{ kp/cm}^2$$

G: Módulo de elasticidad transversal.

$$G : \underline{825688} \text{ kp/cm}^2$$

L_c^+ : Longitud efectiva de pandeo lateral del ala superior.

$$L_c^+ : \underline{0.500} \text{ m}$$

L_c^- : Longitud efectiva de pandeo lateral del ala inferior.

$$L_c^- : \underline{0.500} \text{ m}$$

C_1 : Factor que depende de las condiciones de apoyo y de la forma de la ley de momentos flectores sobre la barra.

$$C_1 : \underline{1.00}$$

$i_{f,z}$: Radio de giro, respecto al eje de menor inercia de la sección, del soporte formado por el ala comprimida y la tercera parte de la zona comprimida del alma adyacente al ala comprimida.

$$i_{f,z}^+ : \underline{2.65} \text{ cm}$$

$$i_{f,z}^- : \underline{2.65} \text{ cm}$$

Resistencia a flexión eje Z (CTE DB SE-A, Artículo 6.2.6)

Se debe satisfacer:

$$\eta = \frac{M_{Ed}}{M_{c,Rd}} \leq 1$$

$$h : \underline{0.147} \quad \checkmark$$

Para flexión positiva:

El esfuerzo solicitante de cálculo pésimo se produce para la combinación de acciones $1.35 \cdot PP + 1.35 \cdot CM + 1.5 \cdot Qa + 0.9 \cdot V(-Xexc.-)$.

M_{Ed}^+ : Momento flector solicitante de cálculo pésimo.

$$M_{Ed}^+ : \underline{0.341} \text{ t}\cdot\text{m}$$

Para flexión negativa:

M_{Ed}^- : Momento flector solicitante de cálculo pésimo.

$$M_{Ed}^- : \underline{0.000} \text{ t}\cdot\text{m}$$

El momento flector resistente de cálculo $M_{c,Rd}$ viene dado por:

$$M_{c,Rd} = W_{pl,z} \cdot f_{yd}$$

$$M_{c,Rd} : \underline{2.320} \text{ t}\cdot\text{m}$$

Donde:

Clase: Clase de la sección, según la capacidad de deformación y de desarrollo de la resistencia plástica de los elementos planos de una sección a flexión simple.

$$\text{Clase} : \underline{2}$$

$W_{pl,z}$: Módulo resistente plástico correspondiente a la fibra con mayor tensión, para las secciones de clase 1 y 2.

$$W_{pl,z} : \underline{86.89} \text{ cm}^3$$

f_{yd} : Resistencia de cálculo del acero.

$$f_{yd} : \underline{2669.77} \text{ kp/cm}^2$$

$$f_{yd} = f_y / \gamma_{M0}$$

Siendo:

f_y : Límite elástico. (CTE DB SE-A, Tabla 4.1)

$$f_y : \underline{2803.26} \text{ kp/cm}^2$$

γ_{M0} : Coeficiente parcial de seguridad del material.

$$\gamma_{M0} : \underline{1.05}$$

Resistencia a corte Z (CTE DB SE-A, Artículo 6.2.4)

Se debe satisfacer:

$$\eta = \frac{V_{Ed}}{V_{c,Rd}} \leq 1$$

$$h : \underline{0.058} \quad \checkmark$$

El esfuerzo solicitante de cálculo pésimo se produce para la combinación de acciones $1.35 \cdot PP + 1.35 \cdot CM + 1.5 \cdot Qa + 0.9 \cdot V (+Yexc.-)$.

V_{Ed} : Esfuerzo cortante solicitante de cálculo pésimo.

$$V_{Ed} : \underline{2.034} \text{ t}$$

El esfuerzo cortante resistente de cálculo $V_{c,Rd}$ viene dado por:

$$V_{c,Rd} = A_v \cdot \frac{f_{yd}}{\sqrt{3}}$$

$$V_{c,Rd} : \underline{34.774} \text{ t}$$

Donde:

A_v : Área transversal a cortante.

$$A_v : \underline{22.56} \text{ cm}^2$$

$$A_v = 2 \cdot d \cdot t_w$$

Siendo:

d : Altura del alma.

$$d : \underline{188.00} \text{ mm}$$

t_w : Espesor del alma.

$$t_w : \underline{6.00} \text{ mm}$$

f_{yd} : Resistencia de cálculo del acero.

$$f_{yd} : \underline{2669.77} \text{ kp/cm}^2$$

$$f_{yd} = f_y / \gamma_{M0}$$

Siendo:

f_y : Límite elástico. (CTE DB SE-A, Tabla 4.1)

$$f_y : \underline{2803.26} \text{ kp/cm}^2$$

γ_{M0} : Coeficiente parcial de seguridad del material.

$$\gamma_{M0} : \underline{1.05}$$

Abolladura por cortante del alma: (CTE DB SE-A, Artículo 6.3.3.4)

Aunque no se han dispuesto rigidizadores transversales, no es necesario comprobar la resistencia a la abolladura del alma, puesto que se cumple:

$$\frac{d}{t_w} < 70 \cdot \varepsilon$$

$$31.33 < 64.71 \quad \checkmark$$

Donde:

l_w : Esbeltez del alma.

$$l_w : \underline{31.33}$$

$$\lambda_w = \frac{d}{t_w}$$

$l_{m\acute{a}x}$: Esbeltez máxima.

$$l_{m\acute{a}x} : \underline{64.71}$$

$$\lambda_{m\acute{a}x} = 70 \cdot \varepsilon$$

e : Factor de reducción.

$$e : \underline{0.92}$$

$$\varepsilon = \sqrt{\frac{f_{ref}}{f_y}}$$

Siendo:

f_{ref} : Límite elástico de referencia.

$$f_{ref} : \underline{2395.51} \text{ kp/cm}^2$$

f_y : Límite elástico. (CTE DB SE-A, Tabla 4.1)

$$f_y : \underline{2803.26} \text{ kp/cm}^2$$

Resistencia a corte Y (CTE DB SE-A, Artículo 6.2.4)

Se debe satisfacer:

$$\eta = \frac{V_{Ed}}{V_{c,Rd}} \leq 1$$

$$h : \underline{0.312} \quad \checkmark$$

El esfuerzo solicitante de cálculo pésimo se produce para la combinación de acciones 1.35·PP+1.35·CM+1.5·Qa+0.9·V(-Xexc.-).

V_{Ed} : Esfuerzo cortante solicitante de cálculo pésimo.

$$V_{Ed} : \underline{3.580} \text{ t}$$

El esfuerzo cortante resistente de cálculo $V_{c,Rd}$ viene dado por:

$$V_{c,Rd} = A_v \cdot \frac{f_{yd}}{\sqrt{3}}$$

$$V_{c,Rd} : \underline{11.485} \text{ t}$$

Donde:

A_v : Área transversal a cortante.

$$A_v : \underline{7.45} \text{ cm}^2$$

$$A_v = A - 2 \cdot d \cdot t_w$$

Siendo:

A: Área de la sección bruta.

$$A : \underline{30.01} \text{ cm}^2$$

d: Altura del alma.

$$d : \underline{188.00} \text{ mm}$$

t_w : Espesor del alma.

$$t_w : \underline{6.00} \text{ mm}$$

f_{yd} : Resistencia de cálculo del acero.

$$f_{yd} : \underline{2669.77} \text{ kp/cm}^2$$

$$f_{yd} = f_y / \gamma_{M0}$$

Siendo:

f_y : Límite elástico. (CTE DB SE-A, Tabla 4.1)

$$f_y : \underline{2803.26} \text{ kp/cm}^2$$

γ_{M0} : Coeficiente parcial de seguridad del material.

$$\gamma_{M0} : \underline{1.05}$$

Abolladura por cortante del alma: (CTE DB SE-A, Artículo 6.3.3.4)

Aunque no se han dispuesto rigidizadores transversales, no es necesario comprobar la resistencia a la abolladura del alma, puesto que se cumple:

$$\frac{b}{t_f} < 70 \cdot \varepsilon$$

$$11.67 < 64.71 \quad \checkmark$$

Donde:

l_w : Esbeltez del alma.

$$l_w : \underline{11.67}$$

$$\lambda_w = \frac{b}{t_f}$$

l_{\max} : Esbeltez máxima.

$$l_{\max} : \underline{64.71}$$

$$\lambda_{\max} = 70 \cdot \varepsilon$$

e: Factor de reducción.

$$e : \underline{0.92}$$

$$\varepsilon = \sqrt{\frac{f_{ref}}{f_y}}$$

Siendo:

f_{ref} : Límite elástico de referencia.

$$f_{ref} : \underline{2395.51} \text{ kp/cm}^2$$

f_y : Límite elástico. (CTE DB SE-A, Tabla 4.1)

$$f_y : \underline{2803.26} \text{ kp/cm}^2$$

Resistencia a momento flector Y y fuerza cortante Z combinados (CTE DB SE-A, Artículo 6.2.8)

No es necesario reducir la resistencia de cálculo a flexión, ya que el esfuerzo cortante solicitante de cálculo pésimo V_{Ed} no es superior al 50% de la resistencia de cálculo a cortante $V_{c,Rd}$.

$$V_{Ed} \leq \frac{V_{c,Rd}}{2}$$

$$2.034 \text{ t} \leq 17.387 \text{ t}$$



Los esfuerzos solicitantes de cálculo pésimos se producen para la combinación de acciones $1.35 \cdot PP + 1.35 \cdot CM + 1.5 \cdot Qa + 0.9 \cdot V(+Yexc.-)$.

V_{Ed} : Esfuerzo cortante solicitante de cálculo pésimo.

$$V_{Ed} : \underline{2.034} \text{ t}$$

$V_{c,Rd}$: Esfuerzo cortante resistente de cálculo.

$$V_{c,Rd} : \underline{34.774} \text{ t}$$

Resistencia a momento flector Z y fuerza cortante Y combinados (CTE DB SE-A, Artículo 6.2.8)

No es necesario reducir la resistencia de cálculo a flexión, ya que el esfuerzo cortante solicitante de cálculo pésimo V_{Ed} no es superior al 50% de la resistencia de cálculo a cortante $V_{c,Rd}$.

$$V_{Ed} \leq \frac{V_{c,Rd}}{2}$$

$$3.580 \text{ t} \leq 5.743 \text{ t}$$



Los esfuerzos solicitantes de cálculo pésimos se producen para la combinación de acciones $1.35 \cdot PP + 1.35 \cdot CM + 1.5 \cdot Qa + 0.9 \cdot V(-Xexc.-)$.

V_{Ed} : Esfuerzo cortante solicitante de cálculo pésimo.

$$V_{Ed} : \underline{3.580} \text{ t}$$

$V_{c,Rd}$: Esfuerzo cortante resistente de cálculo.

$$V_{c,Rd} : \underline{11.485} \text{ t}$$

Resistencia a flexión y axil combinados (CTE DB SE-A, Artículo 6.2.8)

Se debe satisfacer:

$$\eta = \frac{N_{t,Ed}}{N_{pl,Rd}} + \frac{M_{y,Ed}}{M_{pl,Rd,y}} + \frac{M_{z,Ed}}{M_{pl,Rd,z}} \leq 1$$

$$h : \underline{0.926} \quad \checkmark$$

$$\eta = \frac{M_{ef,Ed}}{M_{b,Rd,y}} + \frac{M_{z,Ed}}{M_{pl,Rd,z}} \leq 1$$

$$h : \underline{0.147} \quad \checkmark$$

Los esfuerzos solicitantes de cálculo pésimos se producen para la combinación de acciones 1.35·PP+1.35·CM+1.5·Qa+0.9·V(-Xexc.-).

Donde:

$N_{t,Ed}$: Axil de tracción solicitante de cálculo pésimo.

$$N_{t,Ed} : \underline{46.250} \text{ t}$$

$M_{y,Ed}$, $M_{z,Ed}$: Momentos flectores solicitantes de cálculo pésimos, según los ejes Y y Z, respectivamente.

$$M_{y,Ed}^+ : \underline{1.011} \text{ t}\cdot\text{m}$$

$$M_{z,Ed}^+ : \underline{0.341} \text{ t}\cdot\text{m}$$

Clase: Clase de la sección, según la capacidad de deformación y de desarrollo de la resistencia plástica de sus elementos planos, para axil y flexión simple.

$$\text{Clase} : \underline{1}$$

$N_{pl,Rd}$: Resistencia a tracción.

$$N_{pl,Rd} : \underline{80.123} \text{ t}$$

$M_{pl,Rd,y}$, $M_{pl,Rd,z}$: Resistencia a flexión de la sección bruta en condiciones plásticas, respecto a los ejes Y y Z, respectivamente.

$$M_{pl,Rd,y} : \underline{5.006} \text{ t}\cdot\text{m}$$

$$M_{pl,Rd,z} : \underline{2.320} \text{ t}\cdot\text{m}$$

Resistencia a pandeo: (CTE DB SE-A, Artículo 6.3.4.1)

$M_{ef,Ed}$: Momento flector solicitante de cálculo pésimo.

$$M_{ef,Ed} : \underline{0.000} \text{ t}\cdot\text{m}$$

$$M_{ef,Ed} = W_{y,com} \cdot \sigma_{com,Ed}$$

Siendo:

$\sigma_{com,Ed}$: Tensión combinada en la fibra extrema comprimida.

$$S_{com,Ed} : \underline{0.00} \text{ kp/cm}^2$$

$$\sigma_{com,Ed} = \frac{M_{y,Ed}}{W_{y,com}} - 0.8 \cdot \frac{N_{t,Ed}}{A} < 0 \rightarrow \sigma_{com,Ed} = 0$$

$W_{y,com}$: Módulo resistente de la sección referido a la fibra extrema comprimida, alrededor del eje Y.

$$W_{y,com} : \underline{187.51} \text{ cm}^3$$

A: Área de la sección bruta.

$$A : \underline{30.01} \text{ cm}^2$$

$M_{b,Rd,y}$: Momento flector resistente de cálculo.

$$M_{b,Rd,y} : \underline{5.006} \text{ t}\cdot\text{m}$$

Resistencia a flexión, axil y cortante combinados (CTE DB SE-A, Artículo 6.2.8)

No es necesario reducir las resistencias de cálculo a flexión y a axil, ya que se puede ignorar el efecto de abolladura por esfuerzo cortante y, además, el esfuerzo cortante solicitante de cálculo pésimo V_{Ed} es menor o igual que el 50% del esfuerzo cortante resistente de cálculo $V_{c,Rd}$.

Los esfuerzos solicitantes de cálculo pésimos se producen para la combinación de acciones 1.35·PP+1.35·CM+1.5·Qa+0.9·V(-Xexc.-).

$$V_{Ed,y} \leq \frac{V_{c,Rd,y}}{2}$$

$$3.580 \text{ t} \leq 5.742 \text{ t} \quad \checkmark$$

Donde:

$V_{Ed,y}$: Esfuerzo cortante solicitante de cálculo pésimo.

$$V_{Ed,y} : \underline{3.580} \text{ t}$$

$V_{c,Rd,y}$: Esfuerzo cortante resistente de cálculo.

$$V_{c,Rd,y} : \underline{11.483} \text{ t}$$

Resistencia a torsión (CTE DB SE-A, Artículo 6.2.7)

Se debe satisfacer:

$$\eta = \frac{M_{T,Ed}}{M_{T,Rd}} \leq 1$$

$$h < \underline{0.001} \quad \checkmark$$

El esfuerzo solicitante de cálculo pésimo se produce para la combinación de acciones 1.35·PP+1.35·CM+1.05·Qa+1.5·V(-Yexc.-).

$M_{T,Ed}$: Momento torsor solicitante de cálculo pésimo.

$$M_{T,Ed} : \underline{0.001} \text{ t}\cdot\text{m}$$

El momento torsor resistente de cálculo $M_{T,Rd}$ viene dado por:

$$M_{T,Rd} = \frac{1}{\sqrt{3}} \cdot W_T \cdot f_{yd}$$

$$M_{T,Rd} : \underline{2.297} \text{ t}\cdot\text{m}$$

Donde:

W_T : Módulo de resistencia a torsión.

$$W_T : \underline{148.99} \text{ cm}^3$$

f_{yd} : Resistencia de cálculo del acero.

$$f_{yd} : \underline{2669.77} \text{ kp/cm}^2$$

$$f_{yd} = f_y / \gamma_{M0}$$

Siendo:

f_y : Límite elástico. (CTE DB SE-A, Tabla 4.1)

$$f_y : \underline{2803.26} \text{ kp/cm}^2$$

γ_{M0} : Coeficiente parcial de seguridad del material.

$$\gamma_{M0} : \underline{1.05}$$

Resistencia a cortante Z y momento torsor combinados (CTE DB SE-A, Artículo 6.2.8)

Se debe satisfacer:

$$\eta = \frac{V_{Ed}}{V_{pl,T,Rd}} \leq 1$$

$$h : \underline{0.059} \quad \checkmark$$

Los esfuerzos solicitantes de cálculo pésimos se producen para la combinación de acciones 1.35·PP+1.35·CM+1.5·Qa+0.9·V(+Yexc.-).

V_{Ed} : Esfuerzo cortante solicitante de cálculo pésimo.

$$V_{Ed} : \underline{2.034} \text{ t}$$

$M_{T,Ed}$: Momento torsor solicitante de cálculo pésimo.

$$M_{T,Ed} : \underline{0.000} \text{ t}\cdot\text{m}$$

El esfuerzo cortante resistente de cálculo reducido $V_{pl,T,Rd}$ viene dado por:

$$V_{pl,T,Rd} = \left[1 - \frac{\tau_{T,Ed}}{f_{yd}/\sqrt{3}} \right] \cdot V_{pl,Rd}$$

$$V_{pl,T,Rd} : \underline{34.766} \text{ t}$$

Donde:

$V_{pl,Rd}$: Esfuerzo cortante resistente de cálculo.

$$V_{pl,Rd} : \underline{34.774} \text{ t}$$

$\tau_{T,Ed}$: Tensiones tangenciales por torsión.

$$\tau_{T,Ed} : \underline{0.33} \text{ kp/cm}^2$$

$$\tau_{T,Ed} = \frac{M_{T,Ed}}{W_t}$$

Siendo:

W_T : Módulo de resistencia a torsión.

$$W_T : \underline{148.99} \text{ cm}^3$$

f_{yd} : Resistencia de cálculo del acero.

$$f_{yd} : \underline{2669.77} \text{ kp/cm}^2$$

$$f_{yd} = f_y / \gamma_{M0}$$

Siendo:

f_y : Límite elástico. (CTE DB SE-A, Tabla 4.1)

$$f_y : \underline{2803.26} \text{ kp/cm}^2$$

γ_{M0} : Coeficiente parcial de seguridad del material.

$$\gamma_{M0} : \underline{1.05}$$

Resistencia a cortante Y y momento torsor combinados (CTE DB SE-A, Artículo 6.2.8)

Se debe satisfacer:

$$\eta = \frac{V_{Ed}}{V_{pl,T,Rd}} \leq 1$$

$$h : \underline{0.312} \quad \checkmark$$

Los esfuerzos solicitantes de cálculo pésimos se producen para la combinación de acciones $1.35 \cdot PP + 1.35 \cdot CM + 1.5 \cdot Qa + 0.9 \cdot V(-Xexc.-)$.

V_{Ed} : Esfuerzo cortante solicitante de cálculo pésimo.

$$V_{Ed} : \underline{3.580} \text{ t}$$

$M_{T,Ed}$: Momento torsor solicitante de cálculo pésimo.

$$M_{T,Ed} : \underline{0.000} \text{ t}\cdot\text{m}$$

El esfuerzo cortante resistente de cálculo reducido $V_{pl,T,Rd}$ viene dado por:

$$V_{pl,T,Rd} = \left[1 - \frac{\tau_{T,Ed}}{f_{yd}/\sqrt{3}} \right] \cdot V_{pl,Rd}$$

$$V_{pl,T,Rd} : \underline{11.483} \text{ t}$$

Donde:

$V_{pl,Rd}$: Esfuerzo cortante resistente de cálculo.

$$V_{pl,Rd} : \underline{11.485} \text{ t}$$

$t_{T,Ed}$: Tensiones tangenciales por torsión.

$$t_{T,Ed} : \underline{0.26} \text{ kp/cm}^2$$

$$\tau_{T,Ed} = \frac{M_{T,Ed}}{W_t}$$

Siendo:

W_T : Módulo de resistencia a torsión.

$$W_T : \underline{148.99} \text{ cm}^3$$

f_{yd} : Resistencia de cálculo del acero.

$$f_{yd} : \underline{2669.77} \text{ kp/cm}^2$$

$$f_{yd} = f_y / \gamma_{M0}$$

Siendo:

f_y : Límite elástico. (CTE DB SE-A, Tabla 4.1)

$$f_y : \underline{2803.26} \text{ kp/cm}^2$$

γ_{M0} : Coeficiente parcial de seguridad del material.

$$\gamma_{M0} : \underline{1.05}$$

Pilar P3 - Forjado 7

Perfil: # 20.0x7.0x23.58, Doble con unión genérica Material: Acero (S275)							
	Cotas del tramo (m)		Altura libre (m)	Características mecánicas			
	Pie	Cabeza		Área (cm ²)	I _y ⁽¹⁾ (cm ⁴)	I _z ⁽¹⁾ (cm ⁴)	I _t ⁽²⁾ (cm ⁴)
		21.00	21.50	0.500	60.02	2721.01	2668.68
Notas: (1) Inercia respecto al eje indicado (2) Momento de inercia a torsión uniforme							
	Pandeo		Pandeo lateral				
	Plano XY	Plano XZ	Ala sup.	Ala inf.			
β	1.00	1.00	1.00	1.00			
L _K	0.500	0.500	0.500	0.500			
C _m	0.850	0.850	1.000	1.000			
C ₁	-		1.000				
Notación: b: Coeficiente de pandeo L _K : Longitud de pandeo (m) C _m : Coeficiente de momentos C ₁ : Factor de modificación para el momento crítico							

Planta	COMPROBACIONES (CTE DB SE-A)														Estado	
	$\bar{\lambda}$	λ_w	N _t	N _c	M _r	M _z	V _z	V _r	M _r V _z	M _z V _r	NM _r M _z	NM _r M _z V _z	M _t	M _r V _t		M _z V _t
Forjado 7	$\bar{\lambda} \leq 3.0$ Cumple	$\lambda_w \leq \lambda_{w,max}$ Cumple	$\eta = 51.9$	N _{eq} = 0.00 N.P. ⁽¹⁾	$\eta = 37.4$	$\eta = 5.2$	$\eta = 10.9$	$\eta = 11.1$	$\eta < 0.1$	$\eta < 0.1$	$\eta = 94.2$	$\eta < 0.1$	$\eta = 0.1$	$\eta = 10.9$	$\eta = 11.1$	CUMPLE h = 94.2
Notación: I _z : Limitación de esbeltez I _w : Abolladura del alma inducida por el ala comprimida N _t : Resistencia a tracción N _c : Resistencia a compresión M _r : Resistencia a flexión eje Y M _z : Resistencia a flexión eje Z V _r : Resistencia a corte Y V _z : Resistencia a corte Z M _r V _z : Resistencia a momento flector Y y fuerza cortante Z combinados M _z V _r : Resistencia a momento flector Z y fuerza cortante Y combinados NM _r M _z : Resistencia a flexión y axil combinados NM _r M _z V _z : Resistencia a flexión, axil y cortante combinados M _t : Resistencia a torsión M _r V _t : Resistencia a cortante Y y momento torsor combinados M _z V _t : Resistencia a cortante Z y momento torsor combinados x: Distancia al origen de la barra h: Coeficiente de aprovechamiento (%) N.P.: No procede																
Comprobaciones que no proceden (N.P.): (1) La comprobación no procede, ya que no hay axil de compresión.																

Nota: El análisis de piezas compuestas se realiza mediante la verificación de cada uno de los perfiles simples que las constituyen. Las comprobaciones de dichos perfiles se realizan para los esfuerzos calculados a partir de los que actúan sobre la pieza compuesta, según sus características mecánicas. Para las comprobaciones de estabilidad se utiliza la esbeltez mecánica ideal, obtenida en función de la esbeltez de la pieza y una esbeltez complementaria que tiene en cuenta la separación de los enlaces entre los perfiles simples.

Limitación de esbeltez (CTE DB SE-A, Artículos 6.3.1 y 6.3.2.1 - Tabla 6.3)

La esbeltez reducida $\bar{\lambda}$ de las barras traccionadas no debe superar el valor 3.0.

$$\bar{\lambda} = \sqrt{\frac{A \cdot f_y}{N_{cr}}}$$

$\bar{\lambda} : \underline{\quad 0.20 \quad}$ ✓

Donde:

A: Área bruta de la sección transversal de la barra.

A : 30.01 cm²

f_y: Límite elástico. (CTE DB SE-A, Tabla 4.1)

f_y : 2803.26 kp/cm²

N_{cr}: Axil crítico de pandeo elástico.

N_{cr} : 2146.032 t

El axil crítico de pandeo elástico N_{cr} es el menor de los valores obtenidos en a), b) y c):

a) Axil crítico elástico de pandeo por flexión respecto al eje Y.

N_{cr,y} : 11497.677 t

$$N_{cr,y} = \frac{\pi^2 \cdot E \cdot I_y}{L_{ky}^2}$$

b) Axil crítico elástico de pandeo por flexión respecto al eje Z.

N_{cr,z} : 2146.032 t

$$N_{cr,z} = \frac{\pi^2 \cdot E \cdot I_z}{L_{kz}^2}$$

c) Axil crítico elástico de pandeo por torsión.

N_{cr,T} : 11651.160 t

$$N_{cr,T} = \frac{1}{i_0^2} \cdot \left[G \cdot I_t + \frac{\pi^2 \cdot E \cdot I_w}{L_{kt}^2} \right]$$

Donde:

I_y: Momento de inercia de la sección bruta, respecto al eje Y.

I_y : 1360.50 cm⁴

I_z: Momento de inercia de la sección bruta, respecto al eje Z.

I_z : 253.94 cm⁴

I_t: Momento de inercia a torsión uniforme.

I_t : 733.35 cm⁴

I_w: Constante de alabeo de la sección.

I_w : 2514.82 cm⁶

E: Módulo de elasticidad.

E : 2140673 kp/cm²

G: Módulo de elasticidad transversal.

G : 825688 kp/cm²

L_{ky}: Longitud efectiva de pandeo por flexión, respecto al eje Y.

L_{ky} : 0.500 m

L_{kz}: Longitud efectiva de pandeo por flexión, respecto al eje Z.

L_{kz} : 0.500 m

L_{kt}: Longitud efectiva de pandeo por torsión.

L_{kt} : 0.500 m

i₀: Radio de giro polar de la sección bruta, respecto al centro de torsión.

i₀ : 7.33 cm

$$i_0 = (i_y^2 + i_z^2 + y_0^2 + z_0^2)^{0.5}$$

Siendo:

i_y , i_z: Radios de giro de la sección bruta, respecto a los ejes principales de inercia Y y Z.

i_y : 6.73 cm

i_z : 2.91 cm

y₀ , z₀: Coordenadas del centro de torsión en la dirección de los ejes principales Y y Z, respectivamente, relativas al centro de gravedad de la sección.

y₀ : 0.00 mm

z₀ : 0.00 mm

Abolladura del alma inducida por el ala comprimida (Criterio de CYPE Ingenieros, basado en: Eurocódigo 3 EN 1993-1-5: 2006, Artículo 8)

Se debe satisfacer:

$$\frac{h_w}{t_w} \leq k \frac{E}{f_{yf}} \sqrt{\frac{A_w}{A_{fc,ef}}}$$

31.33 ≤ 530.95 ✓

Donde:

h_w : Altura del alma.

t_w : Espesor del alma.

A_w : Área del alma.

$A_{fc,ef}$: Área reducida del ala comprimida.

k : Coeficiente que depende de la clase de la sección.

E : Módulo de elasticidad.

f_{yf} : Límite elástico del acero del ala comprimida.

Siendo:

$$f_{yf} = f_y$$

h_w : 188.00 mm

t_w : 6.00 mm

A_w : 22.56 cm²

$A_{fc,ef}$: 4.20 cm²

k : 0.30

E : 2140673 kp/cm²

f_{yf} : 2803.26 kp/cm²

Resistencia a tracción (CTE DB SE-A, Artículo 6.2.3)

Se debe satisfacer:

$$\eta = \frac{N_{t,Ed}}{N_{t,Rd}} \leq 1$$

η : 0.519 ✓

El esfuerzo solicitante de cálculo pésimo se produce para la combinación de acciones 1.35·PP+1.35·CM+1.5·Qa+0.9·V(+Yexc.-).

$N_{t,Ed}$: Axil de tracción solicitante de cálculo pésimo.

$N_{t,Ed}$: 41.587 t

La resistencia de cálculo a tracción $N_{t,Rd}$ viene dada por:

$$N_{t,Rd} = A \cdot f_{yd}$$

$N_{t,Rd}$: 80.123 t

Donde:

A : Área bruta de la sección transversal de la barra.

A : 30.01 cm²

f_{yd} : Resistencia de cálculo del acero.

f_{yd} : 2669.77 kp/cm²

$$f_{yd} = f_y / \gamma_{M0}$$

Siendo:

f_y : Límite elástico. (CTE DB SE-A, Tabla 4.1)

f_y : 2803.26 kp/cm²

γ_{M0} : Coeficiente parcial de seguridad del material.

γ_{M0} : 1.05

Resistencia a compresión (CTE DB SE-A, Artículo 6.2.5)

La comprobación no procede, ya que no hay axil de compresión.

Resistencia a flexión eje Y (CTE DB SE-A, Artículo 6.2.6)

Se debe satisfacer:

$$\eta = \frac{M_{Ed}}{M_{c,Rd}} \leq 1$$

η : 0.374 ✓

Para flexión positiva:

El esfuerzo solicitante de cálculo pésimo se produce para la combinación de acciones 1.35·PP+1.35·CM+1.5·Qa+0.9·V(-Xexc.-).

M_{Ed}^+ : Momento flector solicitante de cálculo pésimo.

M_{Ed}^+ : 1.872 t·m

Para flexión negativa:

M_{Ed} : Momento flector solicitante de cálculo pésimo.

$$M_{Ed} : \underline{0.000} \text{ t}\cdot\text{m}$$

El momento flector resistente de cálculo $M_{c,Rd}$ viene dado por:

$$M_{c,Rd} = W_{pl,y} \cdot f_{yd}$$

$$M_{c,Rd} : \underline{5.006} \text{ t}\cdot\text{m}$$

Donde:

Clase: Clase de la sección, según la capacidad de deformación y de desarrollo de la resistencia plástica de los elementos planos de una sección a flexión simple.

$$\text{Clase} : \underline{1}$$

$W_{pl,y}$: Módulo resistente plástico correspondiente a la fibra con mayor tensión, para las secciones de clase 1 y 2.

$$W_{pl,y} : \underline{187.51} \text{ cm}^3$$

f_{yd} : Resistencia de cálculo del acero.

$$f_{yd} : \underline{2669.77} \text{ kp/cm}^2$$

$$f_{yd} = f_y / \gamma_{M0}$$

Siendo:

f_y : Límite elástico. (CTE DB SE-A, Tabla 4.1)

$$f_y : \underline{2803.26} \text{ kp/cm}^2$$

γ_{M0} : Coeficiente parcial de seguridad del material.

$$\gamma_{M0} : \underline{1.05}$$

Resistencia a pandeo lateral: (CTE DB SE-A, Artículo 6.3.3.2)

Para esbelteces $\lambda_{LT} \leq 0.4$ se puede omitir la comprobación frente a pandeo, y comprobar únicamente la resistencia de la sección transversal.

$$\lambda_{LT} = \sqrt{\frac{W_{pl,y} \cdot f_y}{M_{cr}}}$$

$$\lambda_{LT} : \underline{0.12}$$

M_{cr} : Momento crítico elástico de pandeo lateral.

$$M_{cr} : \underline{369.370} \text{ t}\cdot\text{m}$$

El momento crítico elástico de pandeo lateral M_{cr} se determina según la teoría de la elasticidad:

$$M_{cr} = \sqrt{M_{LTV}^2 + M_{LTW}^2}$$

Siendo:

M_{LTV} : Componente que representa la resistencia por torsión uniforme de la barra.

$$M_{LTV} = C_1 \cdot \frac{\pi}{L_c} \cdot \sqrt{G \cdot I_t \cdot E \cdot I_z}$$

$$M_{LTV} : \underline{360.480} \text{ t}\cdot\text{m}$$

M_{LTW} : Componente que representa la resistencia por torsión no uniforme de la barra.

$$M_{LTW} = W_{el,y} \cdot \frac{\pi^2 \cdot E}{L_c^2} \cdot C_1 \cdot i_{f,z}^2$$

$$M_{LTW} : \underline{80.549} \text{ t}\cdot\text{m}$$

Siendo:

$W_{el,y}$: Módulo resistente elástico de la sección bruta, obtenido para la fibra más comprimida.

$$W_{el,y} : \underline{136.05} \text{ cm}^3$$

I_z : Momento de inercia de la sección bruta, respecto al eje Z.

$$I_z : \underline{253.94} \text{ cm}^4$$

I_t : Momento de inercia a torsión uniforme.

$$I_t : \underline{733.35} \text{ cm}^4$$

E: Módulo de elasticidad.

$$E : \underline{2140673} \text{ kp/cm}^2$$

G: Módulo de elasticidad transversal.

$$G : \underline{825688} \text{ kp/cm}^2$$

L_c^+ : Longitud efectiva de pandeo lateral del ala superior.

$$L_c^+ : \underline{0.500} \text{ m}$$

L_c^- : Longitud efectiva de pandeo lateral del ala inferior.

$$L_c^- : \underline{0.500} \text{ m}$$

C_1 : Factor que depende de las condiciones de apoyo y de la forma de la ley de momentos flectores sobre la barra.

$$C_1 : \underline{1.00}$$

$i_{r,z}$: Radio de giro, respecto al eje de menor inercia de la sección, del soporte formado por el ala comprimida y la tercera parte de la zona comprimida del alma adyacente al ala comprimida.

$$i_{r,z}^+ : \underline{2.65} \text{ cm}$$

$$i_{r,z}^- : \underline{2.65} \text{ cm}$$

Resistencia a flexión eje Z (CTE DB SE-A, Artículo 6.2.6)

Se debe satisfacer:

$$\eta = \frac{M_{Ed}}{M_{c,Rd}} \leq 1$$

$$h : \underline{0.052} \quad \checkmark$$

Para flexión positiva:

M_{Ed}^+ : Momento flector solicitante de cálculo pésimo.

$$M_{Ed}^+ : \underline{0.000} \text{ t}\cdot\text{m}$$

Para flexión negativa:

El esfuerzo solicitante de cálculo pésimo se produce para la combinación de acciones 1.35·PP+1.35·CM+1.05·Qa+1.5·V(+Yexc. +).

M_{Ed}^- : Momento flector solicitante de cálculo pésimo.

$$M_{Ed}^- : \underline{0.121} \text{ t}\cdot\text{m}$$

El momento flector resistente de cálculo $M_{c,Rd}$ viene dado por:

$$M_{c,Rd} = W_{pl,z} \cdot f_{yd}$$

$$M_{c,Rd} : \underline{2.320} \text{ t}\cdot\text{m}$$

Donde:

Clase: Clase de la sección, según la capacidad de deformación y de desarrollo de la resistencia plástica de los elementos planos de una sección a flexión simple.

$$\text{Clase} : \underline{2}$$

$W_{pl,z}$: Módulo resistente plástico correspondiente a la fibra con mayor tensión, para las secciones de clase 1 y 2.

$$W_{pl,z} : \underline{86.89} \text{ cm}^3$$

f_{yd} : Resistencia de cálculo del acero.

$$f_{yd} : \underline{2669.77} \text{ kp/cm}^2$$

$$f_{yd} = f_y / \gamma_{M0}$$

Siendo:

f_y : Límite elástico. (CTE DB SE-A, Tabla 4.1)

$$f_y : \underline{2803.26} \text{ kp/cm}^2$$

γ_{M0} : Coeficiente parcial de seguridad del material.

$$\gamma_{M0} : \underline{1.05}$$

Resistencia a corte Z (CTE DB SE-A, Artículo 6.2.4)

Se debe satisfacer:

$$\eta = \frac{V_{Ed}}{V_{c,Rd}} \leq 1$$

$$h : \underline{0.109} \quad \checkmark$$

El esfuerzo solicitante de cálculo pésimo se produce para la combinación de acciones 1.35·PP+1.35·CM+1.5·Qa+0.9·V(-Xexc.-).

V_{Ed} : Esfuerzo cortante solicitante de cálculo pésimo.

$$V_{Ed} : \underline{3.786} \text{ t}$$

El esfuerzo cortante resistente de cálculo $V_{c,Rd}$ viene dado por:

$$V_{c,Rd} = A_v \cdot \frac{f_{yd}}{\sqrt{3}}$$

$$V_{c,Rd} : \underline{34.774} \text{ t}$$

Donde:

A_v : Área transversal a cortante.

$$A_v : \underline{22.56} \text{ cm}^2$$

$$A_v = 2 \cdot d \cdot t_w$$

Siendo:

d: Altura del alma.

$$d : \underline{188.00} \text{ mm}$$

t_w : Espesor del alma.

$$t_w : \underline{6.00} \text{ mm}$$

f_{yd} : Resistencia de cálculo del acero.

$$f_{yd} : \underline{2669.77} \text{ kp/cm}^2$$

$$f_{yd} = f_y / \gamma_{M0}$$

Siendo:

f_y : Límite elástico. (CTE DB SE-A, Tabla 4.1)

$$f_y : \underline{2803.26} \text{ kp/cm}^2$$

γ_{M0} : Coeficiente parcial de seguridad del material.

$$\gamma_{M0} : \underline{1.05}$$

Abolladura por cortante del alma: (CTE DB SE-A, Artículo 6.3.3.4)

Aunque no se han dispuesto rigidizadores transversales, no es necesario comprobar la resistencia a la abolladura del alma, puesto que se cumple:

$$\frac{d}{t_w} < 70 \cdot \varepsilon$$

$$31.33 < 64.71 \quad \checkmark$$

Donde:

l_w : Esbeltez del alma.

$$l_w : \underline{31.33}$$

$$\lambda_w = \frac{d}{t_w}$$

$l_{m\acute{a}x}$: Esbeltez máxima.

$$l_{m\acute{a}x} : \underline{64.71}$$

$$\lambda_{m\acute{a}x} = 70 \cdot \varepsilon$$

e: Factor de reducción.

$$e : \underline{0.92}$$

$$\varepsilon = \sqrt{\frac{f_{ref}}{f_y}}$$

Siendo:

f_{ref} : Límite elástico de referencia.

$$f_{ref} : \underline{2395.51} \text{ kp/cm}^2$$

f_y : Límite elástico. (CTE DB SE-A, Tabla 4.1)

$$f_y : \underline{2803.26} \text{ kp/cm}^2$$

Resistencia a corte Y (CTE DB SE-A, Artículo 6.2.4)

Se debe satisfacer:

$$\eta = \frac{V_{Ed}}{V_{c,Rd}} \leq 1$$

$$h : \underline{0.111} \quad \checkmark$$

El esfuerzo solicitante de cálculo pésimo se produce para la combinación de acciones 1.35·PP+1.35·CM+1.05·Qa+1.5·V(+Yexc.+).

V_{Ed} : Esfuerzo cortante solicitante de cálculo pésimo.

$$V_{Ed} : \underline{1.275} \text{ t}$$

El esfuerzo cortante resistente de cálculo $V_{c,Rd}$ viene dado por:

$$V_{c,Rd} = A_v \cdot \frac{f_{yd}}{\sqrt{3}}$$

$$V_{c,Rd} : \underline{11.485} \text{ t}$$

Donde:

A_v : Área transversal a cortante.

$$A_v : \underline{7.45} \text{ cm}^2$$

$$A_v = A - 2 \cdot d \cdot t_w$$

Siendo:

A: Área de la sección bruta.

$$A : \underline{30.01} \text{ cm}^2$$

d: Altura del alma.

$$d : \underline{188.00} \text{ mm}$$

t_w : Espesor del alma.

$$t_w : \underline{6.00} \text{ mm}$$

f_{yd} : Resistencia de cálculo del acero.

$$f_{yd} : \underline{2669.77} \text{ kp/cm}^2$$

$$f_{yd} = f_y / \gamma_{M0}$$

Siendo:

f_y : Límite elástico. (CTE DB SE-A, Tabla 4.1)

$$f_y : \underline{2803.26} \text{ kp/cm}^2$$

γ_{M0} : Coeficiente parcial de seguridad del material.

$$\gamma_{M0} : \underline{1.05}$$

Abolladura por cortante del alma: (CTE DB SE-A, Artículo 6.3.3.4)

Aunque no se han dispuesto rigidizadores transversales, no es necesario comprobar la resistencia a la abolladura del alma, puesto que se cumple:

$$\frac{b}{t_f} < 70 \cdot \varepsilon$$

$$11.67 < 64.71 \quad \checkmark$$

Donde:

l_w : Esbeltez del alma.

$$l_w : \underline{11.67}$$

$$\lambda_w = \frac{b}{t_f}$$

l_{\max} : Esbeltez máxima.

$$l_{\max} : \underline{64.71}$$

$$\lambda_{\max} = 70 \cdot \varepsilon$$

e: Factor de reducción.

$$e : \underline{0.92}$$

$$\varepsilon = \sqrt{\frac{f_{ref}}{f_y}}$$

Siendo:

f_{ref} : Límite elástico de referencia.

$$f_{ref} : \underline{2395.51} \text{ kp/cm}^2$$

f_y : Límite elástico. (CTE DB SE-A, Tabla 4.1)

$$f_y : \underline{2803.26} \text{ kp/cm}^2$$

Resistencia a momento flector Y y fuerza cortante Z combinados (CTE DB SE-A, Artículo 6.2.8)

No es necesario reducir la resistencia de cálculo a flexión, ya que el esfuerzo cortante solicitante de cálculo pésimo V_{Ed} no es superior al 50% de la resistencia de cálculo a cortante $V_{c,Rd}$.

$$V_{Ed} \leq \frac{V_{c,Rd}}{2}$$

$$3.786 \text{ t} \leq 17.387 \text{ t} \quad \checkmark$$

Los esfuerzos solicitantes de cálculo pésimos se producen para la combinación de acciones $1.35 \cdot PP + 1.35 \cdot CM + 1.5 \cdot Qa + 0.9 \cdot V(-Xexc.-)$.

V_{Ed} : Esfuerzo cortante solicitante de cálculo pésimo.

$$V_{Ed} : \underline{3.786} \text{ t}$$

$V_{c,Rd}$: Esfuerzo cortante resistente de cálculo.

$$V_{c,Rd} : \underline{34.774} \text{ t}$$

Resistencia a momento flector Z y fuerza cortante Y combinados (CTE DB SE-A, Artículo 6.2.8)

No es necesario reducir la resistencia de cálculo a flexión, ya que el esfuerzo cortante solicitante de cálculo pésimo V_{Ed} no es superior al 50% de la resistencia de cálculo a cortante $V_{c,Rd}$.

$$V_{Ed} \leq \frac{V_{c,Rd}}{2}$$

$$1.275 \text{ t} \leq 5.743 \text{ t} \quad \checkmark$$

Los esfuerzos solicitantes de cálculo pésimos se producen para la combinación de acciones $1.35 \cdot PP + 1.35 \cdot CM + 1.05 \cdot Qa + 1.5 \cdot V(+Yexc.+)$.

V_{Ed} : Esfuerzo cortante solicitante de cálculo pésimo.

$$V_{Ed} : \underline{1.275} \text{ t}$$

$V_{c,Rd}$: Esfuerzo cortante resistente de cálculo.

$$V_{c,Rd} : \underline{11.485} \text{ t}$$

Resistencia a flexión y axil combinados (CTE DB SE-A, Artículo 6.2.8)

Se debe satisfacer:

$$\eta = \frac{N_{t,Ed}}{N_{pl,Rd}} + \frac{M_{y,Ed}}{M_{pl,Rd,y}} + \frac{M_{z,Ed}}{M_{pl,Rd,z}} \leq 1$$

$$h : \underline{0.942} \quad \checkmark$$

$$\eta = \frac{M_{ef,Ed}}{M_{b,Rd,y}} + \frac{M_{z,Ed}}{M_{pl,Rd,z}} \leq 1$$

$$h : \underline{0.050} \quad \checkmark$$

Los esfuerzos solicitantes de cálculo pésimos se producen para la combinación de acciones 1.35·PP+1.35·CM+1.5·Qa+0.9·V(+Yexc.-).

Donde:

$N_{t,Ed}$: Axil de tracción solicitante de cálculo pésimo.

$$N_{t,Ed} : \underline{41.587} \text{ t}$$

$M_{y,Ed}$, $M_{z,Ed}$: Momentos flectores solicitantes de cálculo pésimos, según los ejes Y y Z, respectivamente.

$$M_{y,Ed}^+ : \underline{1.867} \text{ t}\cdot\text{m}$$

$$M_{z,Ed}^+ : \underline{0.116} \text{ t}\cdot\text{m}$$

Clase: Clase de la sección, según la capacidad de deformación y de desarrollo de la resistencia plástica de sus elementos planos, para axil y flexión simple.

$$\text{Clase} : \underline{1}$$

$N_{pl,Rd}$: Resistencia a tracción.

$$N_{pl,Rd} : \underline{80.123} \text{ t}$$

$M_{pl,Rd,y}$, $M_{pl,Rd,z}$: Resistencia a flexión de la sección bruta en condiciones plásticas, respecto a los ejes Y y Z, respectivamente.

$$M_{pl,Rd,y} : \underline{5.006} \text{ t}\cdot\text{m}$$

$$M_{pl,Rd,z} : \underline{2.320} \text{ t}\cdot\text{m}$$

Resistencia a pandeo: (CTE DB SE-A, Artículo 6.3.4.1)

$M_{ef,Ed}$: Momento flector solicitante de cálculo pésimo.

$$M_{ef,Ed} : \underline{0.000} \text{ t}\cdot\text{m}$$

$$M_{ef,Ed} = W_{y,com} \cdot \sigma_{com,Ed}$$

Siendo:

$\sigma_{com,Ed}$: Tensión combinada en la fibra extrema comprimida.

$$S_{com,Ed} : \underline{0.00} \text{ kp/cm}^2$$

$$\sigma_{com,Ed} = \frac{M_{y,Ed}}{W_{y,com}} - 0.8 \cdot \frac{N_{t,Ed}}{A} < 0 \rightarrow \sigma_{com,Ed} = 0$$

$W_{y,com}$: Módulo resistente de la sección referido a la fibra extrema comprimida, alrededor del eje Y.

$$W_{y,com} : \underline{187.51} \text{ cm}^3$$

A: Área de la sección bruta.

$$A : \underline{30.01} \text{ cm}^2$$

$M_{b,Rd,y}$: Momento flector resistente de cálculo.

$$M_{b,Rd,y} : \underline{5.006} \text{ t}\cdot\text{m}$$

Resistencia a flexión, axil y cortante combinados (CTE DB SE-A, Artículo 6.2.8)

No es necesario reducir las resistencias de cálculo a flexión y a axil, ya que se puede ignorar el efecto de abolladura por esfuerzo cortante y, además, el esfuerzo cortante solicitante de cálculo pésimo V_{Ed} es menor o igual que el 50% del esfuerzo cortante resistente de cálculo $V_{c,Rd}$.

Los esfuerzos solicitantes de cálculo pésimos se producen para la combinación de acciones 1.35·PP+1.35·CM+1.05·Qa+1.5·V(+Yexc.-).

$$V_{Ed,y} \leq \frac{V_{c,Rd,y}}{2}$$

$$1.275 \text{ t} \leq 5.738 \text{ t} \quad \checkmark$$

Donde:

$V_{Ed,y}$: Esfuerzo cortante solicitante de cálculo pésimo.

$$V_{Ed,y} : \underline{1.275} \text{ t}$$

$V_{c,Rd,y}$: Esfuerzo cortante resistente de cálculo.

$$V_{c,Rd,y} : \underline{11.477} \text{ t}$$

Resistencia a torsión (CTE DB SE-A, Artículo 6.2.7)

Se debe satisfacer:

$$\eta = \frac{M_{T,Ed}}{M_{T,Rd}} \leq 1$$

$$h : \underline{0.001} \quad \checkmark$$

El esfuerzo solicitante de cálculo pésimo se produce para la combinación de acciones 1.35·PP+1.35·CM+1.05·Qa+1.5·V(+Yexc.-).

$M_{T,Ed}$: Momento torsor solicitante de cálculo pésimo.

$$M_{T,Ed} : \underline{0.002} \text{ t}\cdot\text{m}$$

El momento torsor resistente de cálculo $M_{T,Rd}$ viene dado por:

$$M_{T,Rd} = \frac{1}{\sqrt{3}} \cdot W_T \cdot f_{yd}$$

$$M_{T,Rd} : \underline{2.297} \text{ t}\cdot\text{m}$$

Donde:

W_T : Módulo de resistencia a torsión.

$$W_T : \underline{148.99} \text{ cm}^3$$

f_{yd} : Resistencia de cálculo del acero.

$$f_{yd} : \underline{2669.77} \text{ kp/cm}^2$$

$$f_{yd} = f_y / \gamma_{M0}$$

Siendo:

f_y : Límite elástico. (CTE DB SE-A, Tabla 4.1)

$$f_y : \underline{2803.26} \text{ kp/cm}^2$$

γ_{M0} : Coeficiente parcial de seguridad del material.

$$\gamma_{M0} : \underline{1.05}$$

Resistencia a cortante Z y momento torsor combinados (CTE DB SE-A, Artículo 6.2.8)

Se debe satisfacer:

$$\eta = \frac{V_{Ed}}{V_{pl,T,Rd}} \leq 1$$

$$h : \underline{0.109} \quad \checkmark$$

Los esfuerzos solicitantes de cálculo pésimos se producen para la combinación de acciones 1.35·PP+1.35·CM+1.5·Qa+0.9·V(-Xexc.-).

V_{Ed} : Esfuerzo cortante solicitante de cálculo pésimo.

$$V_{Ed} : \underline{3.786} \text{ t}$$

$M_{T,Ed}$: Momento torsor solicitante de cálculo pésimo.

$$M_{T,Ed} : \underline{0.001} \text{ t}\cdot\text{m}$$

El esfuerzo cortante resistente de cálculo reducido $V_{pl,T,Rd}$ viene dado por:

$$V_{pl,T,Rd} = \left[1 - \frac{\tau_{T,Ed}}{f_{yd}/\sqrt{3}} \right] \cdot V_{pl,Rd}$$

$$V_{pl,T,Rd} : \underline{34.759} \text{ t}$$

Donde:

$V_{pl,Rd}$: Esfuerzo cortante resistente de cálculo.

$$V_{pl,Rd} : \underline{34.774} \text{ t}$$

$\tau_{T,Ed}$: Tensiones tangenciales por torsión.

$$\tau_{T,Ed} : \underline{0.65} \text{ kp/cm}^2$$

$$\tau_{T,Ed} = \frac{M_{T,Ed}}{W_t}$$

Siendo:

W_T : Módulo de resistencia a torsión.

$$W_T : \underline{148.99} \text{ cm}^3$$

f_{yd} : Resistencia de cálculo del acero.

$$f_{yd} : \underline{2669.77} \text{ kp/cm}^2$$

$$f_{yd} = f_y / \gamma_{M0}$$

Siendo:

f_y : Límite elástico. (CTE DB SE-A, Tabla 4.1)

$$f_y : \underline{2803.26} \text{ kp/cm}^2$$

γ_{M0} : Coeficiente parcial de seguridad del material.

$$\gamma_{M0} : \underline{1.05}$$

Resistencia a cortante Y y momento torsor combinados (CTE DB SE-A, Artículo 6.2.8)

Se debe satisfacer:

$$\eta = \frac{V_{Ed}}{V_{pl,T,Rd}} \leq 1$$

$$h : \underline{0.111} \quad \checkmark$$

Los esfuerzos solicitantes de cálculo pésimos se producen para la combinación de acciones $1.35 \cdot PP + 1.35 \cdot CM + 1.05 \cdot Qa + 1.5 \cdot V(+Yexc.-)$.

V_{Ed} : Esfuerzo cortante solicitante de cálculo pésimo.

$$V_{Ed} : \underline{1.275} \text{ t}$$

$M_{T,Ed}$: Momento torsor solicitante de cálculo pésimo.

$$M_{T,Ed} : \underline{0.002} \text{ t}\cdot\text{m}$$

El esfuerzo cortante resistente de cálculo reducido $V_{pl,T,Rd}$ viene dado por:

$$V_{pl,T,Rd} = \left[1 - \frac{\tau_{T,Ed}}{f_{yd}/\sqrt{3}} \right] \cdot V_{pl,Rd}$$

$$V_{pl,T,Rd} : \underline{11.477} \text{ t}$$

Donde:

$V_{pl,Rd}$: Esfuerzo cortante resistente de cálculo.

$$V_{pl,Rd} : \underline{11.485} \text{ t}$$

$t_{T,Ed}$: Tensiones tangenciales por torsión.

$$t_{T,Ed} : \underline{1.11} \text{ kp/cm}^2$$

$$\tau_{T,Ed} = \frac{M_{T,Ed}}{W_t}$$

Siendo:

W_T : Módulo de resistencia a torsión.

$$W_T : \underline{148.99} \text{ cm}^3$$

f_{yd} : Resistencia de cálculo del acero.

$$f_{yd} : \underline{2669.77} \text{ kp/cm}^2$$

$$f_{yd} = f_y / \gamma_{M0}$$

Siendo:

f_y : Límite elástico. (CTE DB SE-A, Tabla 4.1)

$$f_y : \underline{2803.26} \text{ kp/cm}^2$$

γ_{M0} : Coeficiente parcial de seguridad del material.

$$\gamma_{M0} : \underline{1.05}$$